

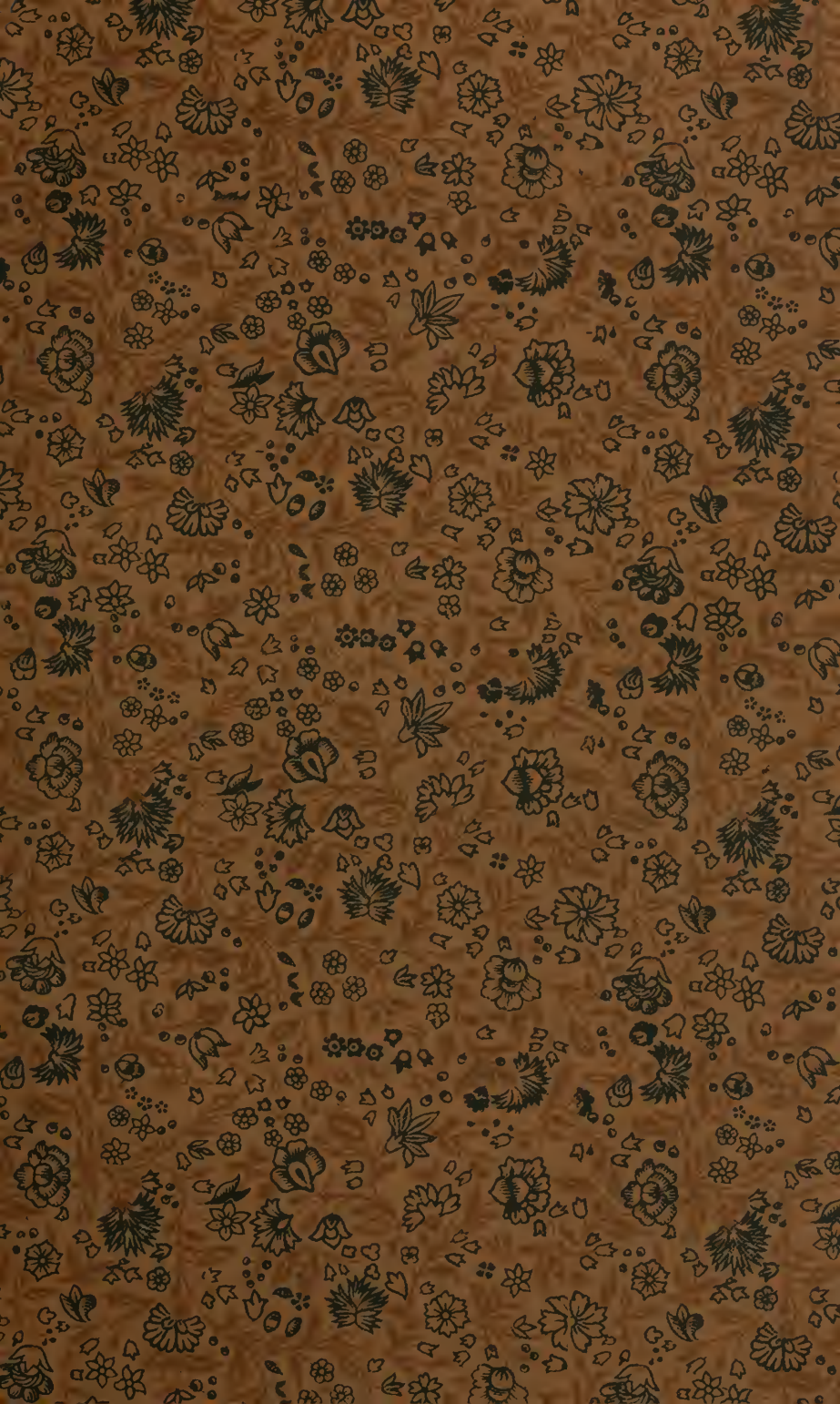
Brandeis University

Waltham, Massachusetts



In memory of

MRS. FANNIE UDINSKI







LEHRBUCH  
DER  
DARSTELLENDE GEOMETRIE

VON

Dr. KARL ROHN,

PROFESSOR DER MATHEMATIK  
AN DER K. S. TECHNISCHEN HOCHSCHULE  
ZU DRESDEN,

UND Dr. ERWIN PAPPERITZ,

PROFESSOR DER MATHEMATIK  
UND DARSTELLENDE GEOMETRIE AN DER  
K. S. BERG-AKADEMIE ZU FREIBERG.

---

IN ZWEI BÄNDEN.

---

**ERSTER BAND.**

MIT ZAHLREICHEN FIGUREN IM TEXT.

ZWEITE, UMGEARBEITETE AUFLAGE.



LEIPZIG,  
VERLAG VON VEIT & COMP.  
1901.

①/7

501

h 73

Bel. 1

## Vorwort zur ersten Auflage.

Für die Studierenden der exakten Wissenschaften liegt die Notwendigkeit vor, sich eine geläufige Raumanschauung zu erwerben. Ohne diese ist ein tieferes Eindringen in die einzelnen Naturwissenschaften und technischen Fächer unmöglich. Die praktische Erfahrung hat aber gelehrt, daß genaue Raumvorstellungen schwer zu erlernen sind. Das einzige Mittel hierzu bietet die bildliche Wiedergabe räumlicher Objekte nach mathematischer Methode, also die darstellende Geometrie. Durch sie und nur allmählich unter Behandlung zahlreicher Beispiele wird der Studierende dahin gebracht, sich in den Fragen, welche die räumlichen Formen betreffen, mit Sicherheit zurecht zu finden. Die darstellende Geometrie hat die Methoden zur Abbildung aller der geometrischen Gebilde zu entwickeln, die als Formelemente an den praktisch vorkommenden komplizierteren Objekten wiederkehren. Bei der Auswahl und Anordnung des Stoffes ist aber vor allem als Ziel die Entwicklung der Raumanschauung ins Auge zu fassen. Von diesem Gesichtspunkt aus erscheint es zweckmäßig, auch bei den ebenen Figuren zur Erklärung ihrer Eigenschaften und ihrer Abhängigkeit voneinander die sich im Raume vollziehende Projektion zu benutzen und die letztere überhaupt, wo es nur angeht, in den Vordergrund zu stellen. Dies gilt beispielsweise von der Erklärung der Kollinearverwandtschaften ebener Figuren und von der Theorie der Kegelschnitte; bei den letzteren ist die Entstehung aus der Centralprojektion des Kreises als Ausgangspunkt geeigneter, als die Erzeugungsweise durch projektive Büschel und Reihen, die der mehr formalen Methode der Geometrie der Lage entspricht.

Das vorliegende Buch soll nach der Meinung der Verfasser vornehmlich dem Zwecke dienen, durch die Lösung der Darstellungsprobleme dem Leser die klare Erfassung geometrischer Fragen und die Bildung präziser Raumvorstellungen zu vermitteln. Es setzt

nur die einfachsten geometrischen Kenntnisse voraus, schreitet systematisch vom Leichten zum Schwereren fort und bezieht viele solche stereometrische Aufgaben in den Lehrbereich ein, die zur Erreichung des oben bezeichneten Zieles geeignet erscheinen. Hierdurch dürfte es besonders den Bedürfnissen des Studierenden Rechnung tragen. Dem mit dem Stoff vertrauten Leser wird neben dem Bekannten gewiß manches Neue, manche Vereinfachung von Konstruktionen und Beweisen entgegentreten.

Der Wunsch, die Ergebnisse der darstellenden Geometrie durchweg auf die Projektionsmethoden begründet zu sehen, mag das Erscheinen dieses Buches rechtfertigen. Möge es sich im dargelegten Sinne als nutzbringend erweisen!

Im August 1893.

Karl Rohn. Erwin Papperitz.



## Vorwort zur zweiten Auflage.

Die neue Auflage unterscheidet sich von der ersten in mehreren Beziehungen.

Im I. Kapitel erschien eine Kürzung zweckmäßig: von dem Abschnitt über die im weiteren Sinne affinen Figuren der Ebene sind nur die konstruktiv wichtigsten Ergebnisse beibehalten, aber zusammen mit einigen Konstruktionen des V. Kapitels in die übrigen Abschnitte eingereiht worden. — Der Gang der Entwicklung ist im II., III. und IV. Kapitel derselbe geblieben, wie vorher; nur wird man bemerken, daß die Lösungen verschiedener Aufgaben vereinfacht sind. Beim Dreikant wurde der Grundgleichungen der sphärischen Trigonometrie gedacht. Durch die Einfügung von Beispielen für die Schattenkonstruktion an architektonischen Objekten soll den Studierenden technischer Richtung die praktische Anwendung der erlernten Methoden leichter gemacht werden. — Das V. Kapitel hat eine tiefgreifende Umgestaltung erfahren; ihr Ziel ist wiederum Vereinfachung der Theorie und Abkürzung der Konstruktion; zugleich hat der Stoff manche wichtige Bereicherung empfangen. Weil die Schulung der geometrischen Vorstellungskraft die vornehmste Aufgabe der deskriptiven Geometrie ist und ein gründliches Durcharbeiten der Lehre von den Kegelschnitten an der Hand anschaulicher Methoden hierzu eines der förderlichsten Mittel bietet, ist die Begründung der Kegelschnittkonstruktionen durch die im Raume sich vollziehende Centralprojektion des Kreises wie früher in den Vordergrund gestellt, aber noch mehr systematisch durchgeführt worden. Dabei blieb der Erzeugung der Kurven 2. Ordnung durch projektive Büschel und Reihen genügender Raum gewahrt, um der Vorteile, die sie für eine glatte Entwicklung vieler graphisch verwertbarer Sätze darbietet, nicht verlustig zu werden. Der Abschnitt über die Krümmungskreise der Kegelschnitte giebt eine durchaus neue Begründung der zweckmäßigsten Konstruktionen.

Auch die Untersuchung über die gemeinsamen Elemente zweier Kegelschnitte hat eine völlig neue Gestalt erhalten. — Am Anfang des VI. Kapitels sind die Vorbemerkungen über die geometrische Verwendung des Begriffes unendlich kleiner Größen zur Erleichterung des Verständnisses ausführlicher gehalten und schärfer begründet worden. — Im VII. Kapitel ist bei der stereographischen Projektion der Aufgaben der Kartenprojektion Erwähnung gethan und am Schlusse sind einige Beispiele für die Anwendungen auf Schatten- und Steinschnittkonstruktion angefügt worden.

Ein Anhang bringt Litteraturnachweise und historische Anmerkungen, die freilich bei ihrer Kürze keinen Anspruch darauf erheben, ein vollständiges Bild der geschichtlichen Entwicklung zu geben.

Wir hoffen durch die vorgenommenen Änderungen die Brauchbarkeit unseres Buches erhöht zu haben. Möge es wiederum freundliche Aufnahme finden!

Im März 1901.

Karl Rohn. Erwin Papperitz.

# Inhalt.

Einleitung . . . . .	Seite 1
----------------------	------------

## I. Kapitel. Ähnlichkeit und Affinität ebener Figuren.

### Ähnlichkeit ebener Figuren.

1. Centralprojektion einer Ebene auf eine zweite parallele Ebene. Ähnlichkeit bei ähnlicher Lage . . . . .	7
2. Parallelverschiebung der Bildebene. Ähnlichliegende Figuren einer Ebene . . . . .	8
3. Drei paarweise ähnlichliegende Figuren . . . . .	9
4. Ähnlichkeitscentra zweier Kreise . . . . .	10

### Parallelprojektion einer ebenen Figur auf eine andere Ebene.

5. Parallelprojektion einer Ebene auf eine zweite. Affinität bei affiner Lage . . . . .	10
6. 7. Eigenschaften affingelegener Figuren . . . . .	11
8. Drei paarweise affinliegende Figuren . . . . .	12
9. Affingelegene Figuren in einer Ebene (Indirekte Definition) . .	13
10. Drehung der einen Figur um die Affinitätsachse . . . . .	13

### Affine und affingelegene Figuren einer Ebene.

11. Affingelegene Figuren in einer Ebene (Direkte Definition) . .	13
12. Affingelegene rechte Winkel . . . . .	15
13. Affingelegene gleiche Winkel . . . . .	15
14. Verhältnis affiner Strecken . . . . .	16

### Die Ellipse als affine Kurve zum Kreise und ihre Konstruktion.

15. 16. Ellipse; konjugierte Durchmesser, Achsen . . . . .	17
17. Der zu einer Ellipse affine Kreis bei gegebener Affinitätsachse .	19
18. 19. Konstruktion der Ellipse aus konjugierten Durchmessern (Zwei Verfahren) . . . . .	20
20. 21. Konstruktion der Ellipse aus den Achsen. Tangente und Normale	21
22. Konstruktion der Achsen einer Ellipse aus konjugierten Durch- messern . . . . .	23
23. Mechanische Erzeugung der Ellipse . . . . .	23
24. Konstruktion der Ellipse aus fünf Punkten . . . . .	24

## II. Kapitel. Darstellung der Punkte, Geraden und Ebenen in orthogonaler Projektion. Bestimmung der einfachen Beziehungen dieser Grundgebilde zu einander.

### Das Verfahren der orthogonalen Parallelprojektion.

25.	Orthogonalprojektion . . . . .	25
26.	Grundriß- und Aufrißverfahren. Zwei-Tafel-System . . . . .	26
27.	Projektionen und Tafelabstände eines Punktes . . . . .	27
28—30.	Projektionen und Spurpunkte einer Geraden . . . . .	27
31.	Spurlinien einer Ebene . . . . .	29
32—34.	Drei-Tafel-System. Seitenriß . . . . .	29
35.	36. Besondere Lagen einer Geraden oder Ebene. Hilfsprojektion . . . . .	30
37.	38. Vereinigung der Tafeln mit der Zeichnungsebene. Zeichnungsregeln . . . . .	31

### Darstellung der Grundgebilde: Punkt, Gerade, Ebene in verschiedenen Lagen.

39—41.	Der Punkt . . . . .	33
42—44.	Die Gerade . . . . .	34
45.	Die Ebene . . . . .	37

### Punkte, Gerade und Ebenen in vereinigter Lage. Verbindungs- und Schnittelemente. Parallelismus.

46—51.	Kriterien für die vereinigte Lage, bezw. den Parallelismus zweier Grundgebilde . . . . .	38
52.	Haupt- oder Streichlinien einer Ebene . . . . .	42
53—65.	Darstellung von Punkten, Geraden und Ebenen, die durch Bedingungen (nämlich als Schnitt-, Verbindungs- oder Parallelelemente) bestimmt sind . . . . .	42

### Gerade und Ebenen in rechtwinkliger Stellung. Abstände und Winkel. Die Umlegung in eine Tafel und die Drehung um die Parallele zu einer Tafel.

66.	Projektion eines rechten Winkels in einen rechten Winkel . . . . .	50
67—70.	Normalen einer Ebene. Falllinien. Lot aus einem Punkt auf eine Ebene. Normalebene zu einer Geraden durch einen Punkt . . . . .	50
71—73.	Bestimmung der wahren Länge einer Strecke . . . . .	52
74.	Teilung einer Strecke . . . . .	53
75.	76. Tafelneigungen einer Geraden. Eine Gerade mit gegebenen Tafelneigungen zu zeichnen . . . . .	53
77.	78. Tafelneigungen einer Ebene. Eine Ebene mit gegebenen Tafelneigungen zu zeichnen . . . . .	54
79.	Der senkrechte Abstand eines Punktes von einer Ebene . . . . .	56
80.	Bestimmung der wahren Gestalt einer ebenen Figur durch Umlegung in eine Tafel . . . . .	57
81.	Affinität zwischen Grund- und Aufriß einer ebenen Figur . . . . .	58
82—84.	Winkel zweier Geraden, zweier Ebenen, einer Geraden und einer Ebene . . . . .	59



	Seite
85. Bestimmung der wahren Gestalt einer ebenen Figur durch Parallelldrehung zu einer Tafel . . . . .	61
86. Abstand eines Punktes von einer Geraden . . . . .	61
87. Errichtung einer Normalen von gegebener Länge in einem Punkte eines Dreiecks . . . . .	63
88. Drehung eines Punktes um eine Tafelparallele durch einen gegebenen Winkel . . . . .	63
89—91. Der kürzeste Abstand zweier windschiefer Geraden . . . .	64

### Lösung verschiedener stereometrischer Aufgaben durch Pro- jektionsmethoden.

92—94. Rotationskegel. Zwei Kegel mit gemeinsamer Spitze. Polarkegel	67
95. Rotationscylinder . . . . .	69
96. Neigungskreis in einer Ebene für Gerade und Ebenen durch einen Punkt . . . . .	69
97. Gerade von gegebener Tafelneigung in einer Ebene . . . .	70
98. Ebenen von gegebener Tafelneigung durch eine Gerade . .	71
99. Schnittlinien zweier Rotationskegel mit gemeinsamer Spitze .	71
100. Gemeinsame Tangentialebenen zweier Rotationskegel mit ge- meinsamer Spitze . . . . .	73
101. 102. Anwendung auf Gerade und Ebenen mit gegebenen Tafel- neigungen . . . . .	74
103. Gerade, die zwei windschiefe Gerade unter gegebenen Winkeln schneiden . . . . .	75
104. Ebenen durch einen Punkt, die mit zwei Geraden gegebene Winkel einschließen . . . . .	75
105. Gerade in einer Ebene, die von zwei festen Punkten außer- halb gegebene Abstände haben . . . . .	76
106. Gerade durch einen Punkt, die von zwei Geraden vorgeschrie- bene Abstände haben . . . . .	77
107. Dreieck, von dem eine Projektion und die Form der andern gegeben ist . . . . .	78
108. Dreieck, von dem eine Projektion und die Form gegeben ist	79
109. Schiefe Parallelprojektion eines Kreises in eine gegebene Ellipse	80

## III. Kapitel. Ebenflächige Gebilde, Körper.

### Die körperliche Ecke; das Dreikant.

110. Das $n$ -Kant und seine Bestimmungsstücke . . . . .	82
111. Seiten- und Winkelsumme des konkaven $n$ -Kants, Polar- $n$ -Kant	82
112. Das Dreikant. Die sechs Fundamentalaufgaben . . . . .	84
113—120. Konstruktion des Dreikants aus Seiten und Winkeln . . . .	85
121. Dreikant und das zugehörige sphärische Dreieck . . . .	93
122. Konstruktion eines Dreikants aus andern Bestimmungsstücken	94

### Allgemeines über Vielfache; reguläre Vielfache.

123. Das Vielfach oder Polyëder. Satz von Euler . . . . .	96
124. Anzahl der Bestimmungsstücke eines Vielfachs . . . . .	97

		Seite
125.	126. Folgerungen aus dem Euler'schen Satze . . . . .	98
	127. Wahrer und scheinbarer Umriß eines Polyeders . . . . .	99
	128. Reguläre Polyeder. Konstruktion des Achtecks . . . . .	100
129.	130. Konstruktion des Zwölfecks . . . . .	101
131.	132. Konstruktion des Zwanzigecks . . . . .	105
	133. Reguläre Sternpolyeder . . . . .	107
	134. Tetraeder, dessen Projektionen der Form nach bekannt sind	108
	135. Konstruktion des Würfels aus Kantenlänge und den Rich- tungen der ersten Kantenprojektionen . . . . .	109
	136. Konstruktion des Würfels aus den Längen der ersten Kanten- projektionen . . . . .	110
	137. Die einem Vierflach umschriebene Kugel . . . . .	111
	138. Die einem Vierflach eingeschriebene Kugel . . . . .	112

### **Ebene Schnitte und Netze von Vielflachen, insbesondere Prismen und Pyramiden.**

	139. Ebener Schnitt und wahre Gestalt einer einzelnen Seitenfläche. Netz des Vielflachs . . . . .	114
	140. Prismen und Pyramiden . . . . .	115
141.	142. Schnitt und Netz vom geraden und schiefen Prisma . . .	115
	143. Schnitt und Netz einer Pyramide . . . . .	118
	144. Bestimmung eines vierseitigen Pyramidenstumpfes aus Basis- und Schnittfläche und deren Neigungswinkel . . . . .	119

### **Durchdringung zweier Vielflache.**

	145. Allgemeines über die Durchdringungsfigur . . . . .	121
	146. Durchdringung von Würfel und Tetraeder . . . . .	122
	147. Durchdringung von Prisma und Pyramide in spezieller Lage . . . . .	123
148 — 150.	Durchdringung von Prismen und Pyramiden in allgemeiner Lage . . . . .	125

### **Schlagschatten und Eigenschatten bei Vielflachen.**

151.	Schlag- und Eigenschattenbegrenzung bei parallelen Licht- strahlen . . . . .	128
152.	Eigenschatten eines Zwölfecks und Schlagschatten auf die Tafeln . . . . .	128
153.	Schlagschatten eines Vielflachs auf ein anderes (Abgestumpfte Pyramide und Achteck) . . . . .	130

### **Beispiele für angewandte Schattenkonstruktion.**

154.	Freitreppe . . . . .	131
155.	Fenster . . . . .	133
156.	Dachfläche mit Schornstein . . . . .	135

# IV. Kapitel. Perspektivität ebener Figuren. Harmonische Gebilde.

## Centralprojektion einer Ebene auf eine andere Ebene.

157.	Centralprojektion einer ebenen Figur . . . . .	135
158.	Spezialfälle: Affine, ähnliche, kongruente Figuren . . . . .	136
159.	Flucht- und Verschwindungspunkt einer Geraden. Flucht- und Verschwindungslinie einer Ebene . . . . .	136
160.	Unendlich ferne Elemente. Richtung der Geraden, Stellung der Ebene . . . . .	137
161.	Bestimmung der Centralprojektion bei gegebener Original- und Bildebene . . . . .	137
162.	Drei paarweise perspektive Figuren . . . . .	138
163.	Drehung einer von zwei perspektiven Figuren um die Achse . . . . .	139
164.	Vereinigung von Original- und Bildebene durch Drehung . . . . .	140
165.	Perspektive Beziehungen zwischen Grund- und Schnittpolygon einer Pyramide . . . . .	140

## Perspektive in der Ebene.

166.	Eigenschaften perspektiver oder zentrisch-kollinearer Figuren einer Ebene . . . . .	141
167.	Übergang von der ebenen zur räumlichen Perspektive . . . . .	141
168 — 171.	Bestimmungsstücke der Perspektive, Gegenachsen (Flucht- und Verschwindungslinie) und Gegenpunkte (Flucht- und Verschwindungspunkt) . . . . .	142

## Perspektive Grundgebilde.

172.	173.	Die einförmigen Grundgebilde: Punktreihe, Strahlbüschel, Ebenenbüschel. Perspektive Lage zweier Grundgebilde . . . . .	144
	174.	Perspektive Punktreihen, Gegenpunkte . . . . .	144
175 — 180.		Unendlich viele perspektive Lagen dreier Punkte einer Geraden zu dreien einer zweiten. Das Entsprechen aller Punkte der beiden Reihen ist hierbei stets das gleiche. Folgerungen hieraus . . . . .	145
181.	182.	Unendlich viele perspektive Lagen von drei Strahlen eines Büschels mit drei Strahlen eines zweiten. Ihre perspektive Beziehung ist dadurch bestimmt . . . . .	148
	183.	Entsprechende Paare rechtwinkliger Strahlen . . . . .	149
	184.	Folgerungen . . . . .	149
	185.	Kongruente Schnitte aus perspektiven Büscheln . . . . .	149
	186.	Von zwei perspektiven Büscheln kann jedes als Orthogonalprojektion des andern angesehen werden . . . . .	150
187.	188.	Unendlich viele perspektive Lagen von drei Ebenen eines Büschels mit drei Ebenen eines zweiten. Ihre perspektive Beziehung ist dadurch bestimmt. Entsprechende Paare rechtwinkliger Ebenen. Folgerungen . . . . .	151
	189.	Projektivität von einförmigen Grundgebilden . . . . .	152
	190.	$ABCD$ , $BADC$ , $CDAB$ und $DCBA$ sind projektiv . . . . .	152
191 — 193.		Überführung zweier beliebiger Vierecke in perspektive Lage . . . . .	153

		Seite
	<b>Harmonische Grundgebilde. Vierseit und Viereck.</b>	
194.	Das vollständige Vierseit . . . . .	156
195 — 198.	Definition der harmonischen Lage von vier Punkten. Harmonische Beziehungen am Vierseit . . . . .	156
199.	Acht verschiedene projektive Anordnungen von vier harmonischen Punkten . . . . .	159
200.	Vier harmonische Strahlen oder Ebenen . . . . .	159
201.	Konstruktion des vierten harmonischen Punktes . . . . .	160
202. 203.	Das vollständige Viereck; harmonische Beziehungen an ihm. Konstruktion des vierten harmonischen Strahles . . . . .	160
204.	Spezielle harmonische Punkte und Strahlen . . . . .	161
205.	Verwandlung eines Vierecks durch Perspektive in ein Quadrat . . . . .	162
	<b>Metrische Beziehungen zwischen perspektiven Grundgebilden.</b>	
206. 207.	Verhältnisgleichung zwischen ähnlichen und affinen Strecken . . . . .	162
208. 209.	Messung von Strecken und Winkeln (Das Vorzeichen) . . . . .	163
210. 211.	Bestimmung jedes Elementes in einer Punktreihe, einem Strahl- oder Ebenenbüschel durch ein Abstandsverhältnis . . . . .	164
212. 213.	Das Doppelverhältnis von vier Punkten, Strahlen oder Ebenen . . . . .	165
214 — 217.	Doppelverhältnisgleichheit bei projektiven einförmigen Grundgebilden. Umkehrung . . . . .	166
218.	Das Doppelverhältnis von vier harmonischen Punkten . . . . .	168
	<b>Involutorische Grundgebilde.</b>	
219 — 221.	Vertauschbares Entsprechen bei involutorischen Punktreihen. Mittelpunkt der Involution; ihre Gegenpunkte decken sich . . . . .	169
222. 223.	Gleichlaufende und entgegenlaufende involutorische Reihen. Letztere besitzen Doppelpunkte; ihre harmonische Lage zu den Punktepaaren . . . . .	170
224.	Zwei Punktepaare bestimmen eine Involution. Konstruktion der Paare mittels eines vollständigen Vierecks . . . . .	172
225.	Herstellung der involutorischen Lage . . . . .	172
226.	Metrische Beziehungen . . . . .	173
227. 228.	Vertauschbares Entsprechen bei involutorischen Strahl- oder Ebenenbüscheln . . . . .	173
229.	Zwei Strahlenpaare bestimmen eine Involution. Konstruktion der Paare mittels eines Vierseits . . . . .	174
230. 231.	Das Rechtwinkelpaar. Die Involution rechtwinkliger Strahlenpaare . . . . .	174
232.	Doppelstrahlen; ihre harmonische Lage zu den Strahlenpaaren . . . . .	176
233.	Metrische Beziehungen . . . . .	177

## V. Kapitel. Die Kegelschnitte als Kreisprojektionen.

### Perspektivität zweier Kreise. Pol und Polare beim Kreise. Involutorische Centralprojektion in der Ebene. Perspektivität zweier Kreise im Raume.

234 — 236.	Perspektive Lagen zweier Kreise einer Ebene. Die Ähnlichkeitspunkte als Centren, die Chordale als Achse . . . . .	178
------------	---	-----



	Seite
237—239. Jeder Kreis ist zu sich selbst perspektiv; Achse oder Centrum der Perspektive ist dabei beliebig. Definition und Eigenschaften von Pol und Polare . . . . .	182
240—243. Involutorische Centralprojektion in der Ebene. Kreisbüschel, die in sich übergehen . . . . .	184
244—246. Involutionen bei Kreisbüscheln; Konstruktion der Doppelpunkte . . . . .	188
247—251. Schiefer Kreiskegel. Wechselschnitte. Zwei beliebige Kreise einer Kugel sind perspektiv und umgekehrt . . . . .	189
252. Symmetrieebenen des schiefen Kreiskegels . . . . .	193
253—256. Centralprojektionen eines Kreises in einen andern, wobei eine nicht schneidende Gerade in die unendlich ferne, oder ein innerer Punkt in den Mittelpunkt, oder drei Punkte des Originals in drei Punkte des Bildes übergehen . . . . .	194

### Entstehung der Kegelschnitte aus der Centralprojektion des Kreises. Um- und eingeschriebene Polygone.

257—259. Definition der Kegelschnitte als perspektive Bilder eines Kreises; sie sind stetige geschlossene Kurven und teilen die Ebene in ein inneres und ein äußeres Gebiet. Zwei Schnittpunkte mit einer Geraden und zwei Tangenten aus einem Punkte . . . . .	196
260—262. Drei Arten der Kegelschnitte: Ellipse, Hyperbel, Parabel . . . . .	198
263. Projektive Punktreihen oder Strahlbüschel gehen bei jeder Centralprojektion wieder in solche Reihen oder Büschel über . . . . .	200
264. Die Punkte eines Kreises oder Kegelschnittes projizieren sich aus zwei festen Punkten auf ihm durch projektive Strahlbüschel . . . . .	200
265. Die Tangenten eines Kreises oder Kegelschnittes schneiden zwei feste Tangenten an ihn in projektiven Punktreihen . . . . .	201
266. 267. Zwei Vierecke, die einem Kreise oder Kegelschnitt in den nämlichen Punkten ein- und umgeschrieben sind . . . . .	202
268. 269. Pascal'sches Sechseck und Brianchon'sches Sechseck . . . . .	204
270—274. Spezialfälle der Sätze von Pascal und Brianchon . . . . .	205

### Pol und Polare eines Kegelschnittes. Mittelpunkt, Durchmesser und Achsen.

275. Die Eigenschaften von Pol und Polare, abgeleitet aus dem Satz vom umgeschriebenen Vierseit und eingeschriebenen Viereck . . . . .	208
276. Polardreieck . . . . .	209
277—281. Harmonische Pole und Polaren eines Kegelschnittes. Beschreibt der Pol eine Punktreihe, so beschreibt seine harmonische Polare einen dazu projektiven Strahlbüschel . . . . .	210
282—284. Involution der harmonischen Pole auf einer Geraden und der harmonischen Polaren durch einen Punkt . . . . .	212
285—287. Durchmesser und Mittelpunkt eines Kegelschnittes . . . . .	214
288—291. Konjugierte Durchmesser und Achsen . . . . .	216
292. Um- und eingeschriebene Parallelogramme bei einem Kegelschnitt . . . . .	218

## Die Erzeugung der Kegelschnitte durch projektive Strahlbüschel und Punktreihen.

293 — 295.	Definition des Kegelschnittes als Erzeugnis projektiver Strahlbüschel. Zwei beliebige Punkte auf ihm können als Scheitel für solche Büschel dienen . . . . .	219
296.	Satz vom umgeschriebenen Vierseit und eingeschriebenen Viereck . . . . .	221
297 — 300.	Die Tangenten eines Kegelschnittes schneiden auf je zwei festen Tangenten projektive Punktreihen aus. Projektive Punktreihen erzeugen einen Kegelschnitt . . . . .	221
301 — 303.	Konstruktion eines Kegelschnittes, wenn man fünf Punkte, oder vier Punkte und in einem die Tangente, oder drei Punkte und in zweien die Tangente kennt . . . . .	224
304 — 306.	Konstruktion eines Kegelschnittes, wenn man fünf Tangenten, oder vier Tangenten und von einer den Berührungspunkt, oder drei Tangenten und von zweien die Berührungspunkte kennt . . . . .	225
307 — 309.	Die Überführung eines Kegelschnittes in einen dazu perspektiven Kreis . . . . .	227

## Einige Konstruktionsaufgaben bei Kegelschnitten. Metrische Eigenschaften.

310 — 313.	Zwei projektive Punktreihen auf derselben Geraden und zwei projektive Strahlbüschel mit demselben Scheitel. Konstruktion der Doppелеlemente, Gegenpunkte und Rechtwinkelstrahlen . . . . .	230
314.	Punktreihen auf und Tangentenbüschel an einem Kegelschnitt . . . . .	233
315. 316.	Die Punktinvolution auf einen Kegelschnitt; ihr Mittelpunkt. Die Strahleninvolution an einem Kegelschnitt; ihre Achse . . . . .	234
317. 318.	Konstruktion der Doppel- und Rechtwinkelstrahlen einer Strahleninvolution, sowie der Doppelpunkte und des Mittelpunktes einer Punktinvolution . . . . .	235
319 — 327.	Lösung von Aufgaben über Kegelschnitte, von denen fünf Punkte $ABCDE$ oder fünf Tangenten $abcde$ gegeben sind. Schnittpunkte eines Kegelschnittes $ABCDE$ mit einer Geraden und Tangenten an einem Kegelschnitt $abcde$ aus einem Punkte. Polare eines Punktes in Bezug auf den Kegelschnitt $ABCDE$ und Pol einer Geraden in Bezug auf den Kegelschnitt $abcde$ . Konjugierte Durchmesser, Achsen und Asymptoten. Involution harmonischer Pole auf einer Geraden und harmonischer Polaren an einem Punkte. Tangenten aus einem Punkte an den Kegelschnitt $ABCDE$ und Schnittpunkte einer Geraden mit dem Kegelschnitt $abcde$ . . . . .	236
328.	Konstruktion der Achsenendpunkte mit Hilfe zweier Punkte oder zweier Tangenten des Kegelschnittes . . . . .	241
329. 330.	Kriterien für die Art des durch zwei projektive Strahlbüschel oder Punktreihen erzeugten Kegelschnittes . . . . .	242
331.	Konstantes Produkt der von einer beliebigen Tangente auf zwei parallelen Tangenten bewirkten Abschnitte . . . . .	243
332.	Gleichungen der Ellipse und Hyperbel . . . . .	244
333 — 335.	Die Hyperbeltangenten liefern auf den Asymptoten Abschnitte	

	mit konstantem Produkt. Asymptotengleichung der Hyperbel. Hyperbel und Asymptoten begrenzen auf jeder Geraden Strecken mit gemeinsamem Mittelpunkt . . . .	245
336. 337.	Halbierung der Strecke zwischen Sehnenmitte und Pol durch die Parabel. Teilung der von einem Punkt an die Parabel gezogenen Tangenten nach dem gleichen Verhältnis durch jede andere Tangente. Parabelgleichung . . . . .	247
338 — 341.	Aus einem gegebenen Rotationskegel eine vorgegebene Ellipse, Hyperbel oder Parabel auszuschneiden . . . . .	248

**Gesetz der Dualität. Reciprokalfiguren in Bezug auf einen Kegelschnitt. Aufgaben zweiten Grades. Imaginäre Lösungen.**

342 — 345.	Gesetz der Dualität für ebene und räumliche Figuren . . .	252
346. 347.	Reciprozität in Bezug auf einen Kegelschnitt . . . . .	254
348 — 351.	Aufgaben ersten und zweiten Grades. Fundamentalaufgaben zweiten Grades und die hierbei auftretenden imaginären Lösungen. Konstruktiv verwertbare imaginäre Elemente .	255
352. 353.	Realitätsverhältnisse bei zwei und drei Punktepaaren in harmonischer Lage. Gemeinsames Elementepaar zweier Involutionen auf demselben Träger . . . . .	257
354. 355.	Zwei Punktinvolutionen auf verschiedenen Trägern, ebenso zwei Strahleninvolutionen mit verschiedenen Scheiteln sind stets in doppelter Weise perspektiv gelegen . . . . .	258
356 — 358.	Konstruktion von Kegelschnitten aus teilweise imaginären Elementen . . . . .	260
359. 360.	Involution rechter Winkel. Imaginäre Kreispunkte der Ebene. Konstruktion des Kreises aus teilweise imaginären Elementen	262

**Brennpunkte und Leitlinien eines Kegelschnittes.**

361.	Brennpunkte und Leitlinien der Schnittkurven eines Rotationskegels; erstere als Berührungspunkte zweier den Kegel berührender Kugeln. Konstantes Abstandsverhältnis der Kurvenpunkte von Brennpunkt und Leitlinie . . . . .	264
362.	Die Brennpunkte als Scheitel rechtwinkliger Polareninvolutionen	266
363.	Tangente und Normale in einem Kurvenpunkt halbieren die Winkel der Brennstrahlen . . . . .	267
364. 365.	Perspektivität des Kegelschnittes mit einem Kreise um einen der Brennpunkte. Eigenschaften, die sich daraus ergeben	267
366 — 368.	Ort der Fußpunkte aller von den Brennpunkten auf die Tangenten gefällten Lote. Tangentenkonstruktionen . . . .	269
369.	Brennstrahlen und Tangenten aus einem beliebigen Punkt der Ebene schließen miteinander gleiche Winkel ein . . . .	270
370 — 373.	Die harmonischen rechtwinkligen Polaren schneiden auf den Achsen eines Kegelschnittes Involutionen aus, deren Doppelpunkte die Brennpunkte sind. Haupt- oder Brennpunktsachse. Konstruktion der reellen Brennpunkte. Die Verhältnisse bei der Parabel. Brennstrahlen und Tangenten aus einem beliebigen Punkt der Ebene schließen miteinander gleiche Winkel ein . . . . .	271

	Seite
374. Ort der Schnittpunkte einer beweglichen Tangente mit zwei festen Tangenten bei der Parabel und mit den Asymptoten bei der Hyperbel . . . . .	273
375—377. Konfokale Kegelschnitte. Kurven gleicher Art schneiden sich nicht, Kurven verschiedener Art aber unter rechten Winkeln	274
<b>Krümmungskreise der Kegelschnitte.</b>	
378—380. Oskulations- oder Krümmungskreis. Perspektivität zwischen einem Kegelschnitt und einem ihn berührenden oder oskulierenden Kreise. Konstruktion des Krümmungskreises bei einem durch fünf Punkte bestimmten Kegelschnitt . .	276
381. 382. Die Krümmungskreise in den Scheitelpunkten bei der Ellipse und Hyperbel . . . . .	278
383. Konstruktion des Krümmungsmittelpunktes auf der Normalen eines Punktes, wenn zwei konjugierte Durchmesser oder die Achsen der Lage nach bekannt sind . . . . .	279
384—387. Konstruktion der Krümmungsmittelpunkte für die Endpunkte konjugierter Durchmesser bei der Ellipse und Hyperbel .	281
388. Die Krümmungskreise bei der Parabel . . . . .	284
<b>Gemeinsame Elemente zweier Kegelschnitte. Büschel und Scharen von Kegelschnitten. Perspektive Lage zweier beliebiger Kegelschnitte.</b>	
389. Kegelschnitte mit vier gemeinsamen Punkten und solche mit vier gemeinsamen Tangenten . . . . .	285
390. Bei zwei Kegelschnitten ist die Zahl der gemeinsamen Punkte oder Tangenten stets gerade . . . . .	285
391. Polvierseit und Polviereck . . . . .	286
392—393. Zwei Kegelschnitte besitzen auf jeder Geraden zwei gemeinsame harmonische Pole und in jedem Punkt zwei gemeinsame harmonische Polaren . . . . .	287
394. 395. Das gemeinsame Polardreieck zweier Kegelschnitte. Mindestens eine Ecke und eine Seite davon sind reell . . . .	288
396—398. Jede Ecke des Polardreiecks ist der Scheitel einer Strahleninvolution, deren Doppelstrahlen die den Kegelschnitten gemeinsamen Punkte tragen. Auf jeder Seite liegt eine Punktinvolution; in ihren Doppelpunkten scheiden sich die gemeinsamen Tangenten . . . . .	289
399. 400. Realitätsverhältnisse . . . . .	290
401—406. Fünf verschiedene Fälle sind bezüglich der gegenseitigen Lage zweier Kegelschnitte zu unterscheiden. Konstruktionen .	291
407—409. Der Kegelschnittbüschel. Seine Kurven schneiden aus jeder Geraden eine Punktinvolution aus; die Polaren eines jeden Punktes gehen durch einen zweiten. Die Kegelschnittschar. Die Tangentenpaare an ihre Kurven bilden in jedem Punkte eine Involution; die Pole einer jeden Geraden liegen auf einer zweiten. Gerade gleicher Punktinvolution . . . .	297
410. 411. Kegelschnitte durch vier resp. drei Punkte, die eine resp. zwei Gerade berühren und die dualen Aufgaben . . . . .	298
412. Die perspektive Lage zweier beliebiger Kegelschnitte . . .	301

**VI. Kapitel. Ebene Kurven und Raumkurven.****Begriff des Unendlichkleinen in der Geometrie.**

413.	Endliche, unendliche und unendlich kleine Größen. Die Vergleichung endlicher Größen . . . . .	303
414.	Die Vergleichung unendlich kleiner Größen. Ordnungen derselben . . . . .	304
415.	Gleichungen zwischen unendlich kleinen Größen. Bestimmter Grenzwert für das Verhältnis zweier und für die Summe unendlich vieler unendlich kleiner Größen . . . . .	305
416 — 418.	Wichtige Beispiele für geometrische unendlich kleine Größen verschiedener Ordnungen . . . . .	306

**Erzeugung ebener Kurven.**

419.	Erzeugung einer ebenen Kurve als Bahn eines bewegten Punktes. Nachbarpunkte, Kurvenelement. Stetigkeit. Sekante, Tangente. Stetigkeit in Bezug auf die Tangente . . . . .	308
420. 421.	Erzeugung durch eine bewegte Gerade als Hüllkurve. Nachbartangenten, Kontingenzwinkel, Berührungspunkt. Die Stetigkeit als projektive Eigenschaft. Asymptoten . . . . .	309
422.	Gleichzeitige doppelte Erzeugung der Kurve. Fortschreitungs- und Drehungssinn des Punktes resp. der zugehörigen Tangente. Gewöhnlicher Kurvenpunkt, Wendepunkt, Rückkehrpunkt, Schnabelspitze, Doppelpunkt, isolierter Punkt . . . . .	310

**Konstruktion von Tangenten und Normalen.**

423.	Zeichnung einer Kurve aus Punkten und Tangenten derselben . . . . .	311
424.	Tangente einer gezeichneten Kurve aus gegebenem Punkte und ihr Berührungspunkt . . . . .	311
425. 426.	Tangente und Normale in gegebenem Punkte einer gezeichneten Kurve . . . . .	312
427.	Normale aus gegebenem Punkte zu einer gezeichneten Kurve . . . . .	313
428.	Tangentenkonstruktion mittels der zur Konstruktion der Kurve selbst dienenden Hilfskurven . . . . .	314
429 — 433.	Beispiele: Ellipse, Cassini'sche Kurve, Konchoide, Pascal'sche Schneckenlinie . . . . .	315

**Krümmung der Kurven, Evoluten.**

434. 435.	Krümmungsmaß. Mittlere Krümmung eines Kurvenbogens, Krümmung einer Kurve in gegebenem Punkte. Stetigkeit in Bezug auf die Krümmung. Die für das Krümmungsmaß in Betracht kommenden unendlich kleinen Größen . . . . .	318
436.	Krümmungskreis und Krümmungsmittelpunkt. Konkave und konvexe Seite einer Kurve, Krümmungswechsel . . . . .	320
437 — 439.	Der den Krümmungskreis bestimmende Grenzprozeß. Dreipunktige Berührung des Krümmungskreises mit der Kurve. Krümmungsmittelpunkt als Schnitt benachbarter Kurvennormalen . . . . .	320
440.	Evolute und Evolventen einer Kurve . . . . .	322



	Seite
441. Vierpunktige Berührung des Krümmungskreises mit der Kurve, Scheitelpunkte. Verhalten der Evolute . . . . .	323
442. Verhalten der Krümmung im Wendepunkte, Rückkehrpunkte und bei der Schnabelspitze . . . . .	323
443. Konstruktion des Krümmungskreises für einen Punkt einer gezeichneten Kurve . . . . .	324
444. Beziehung zwischen der Krümmung einer ebenen Kurve und der ihres perspektiven Bildes . . . . .	325

### Rektifikation von Kurven.

445. Regel zur näherungsweisen Rektifikation. Rektifikation eines Kreises . . . . .	327
---	-----

### Raumkurven und ihre Projektionen; abwickelbare Flächen.

446. Entstehung einer Raumkurve. Kurvenelement, Tangente, Schmiegungsebene. Normalebene, Hauptnormale, Binormale, Rektifizierende Ebene . . . . .	328
447. Gleichzeitige Bewegungen des erzeugenden Punktes, der Tangente und der Schmiegungsebene. Stetigkeit. Kontingenz- und Torsionswinkel. Krümmung, Torsion . . . . .	329
448. Die zur Raumkurve gehörige abwickelbare Fläche. Ihre Erzeugung durch die Tangenten und Schmiegungsebenen . .	329
449. Die Raumkurve als Rückkehrkurve der abwickelbaren Fläche	330
450. Abwicklung der Fläche und der auf ihr liegenden Kurven .	331
451. Elemente, die bei der Abwicklung erhalten bleiben: Bogenlängen der Kurven und ihre Winkel mit den Erzeugenden, Kontingenzwinkel, Bogenelemente und Krümmung der Rückkehrkurve . . . . .	332
452. Beziehung zwischen den Krümmungsradien entsprechender Punkte einer Kurve der abwickelbaren Fläche und der abgewinkelten Kurve . . . . .	332
453. Geodätische Linien auf der abwickelbaren Fläche . . . .	333
454. Der Richtkegel einer Raumkurve . . . . .	333
455. Evolutenfläche und Evolventen . . . . .	333
456. Ebene Projektionen einer Raumkurve. Rückkehr-, Doppel- und Wendepunkte, die den Tangenten, Sehnen und Schmiegungsebenen durch das Projektionscentrum entsprechen . . .	334
457. Singularitäten bei den Raumkurven. Stationäre Ebene, Streckungspunkt, Rückkehrpunkt . . . . .	334
458. Konstruktion der Tangente und Schmiegungsebene in einem Punkte einer Raumkurve . . . . .	335

### Krumme Oberflächen.

459. Bestimmung einer krummen Fläche durch ein sie überdeckendes Kurvensystem, Nachbarkurven. Erzeugung durch stetige Bewegung einer konstanten oder ihre Form ändernden Kurve	336
460. 461. Tangenten und Tangentialebenen einer Fläche. Knotenpunkte.	337
462. 463. Flächennormale, Normalschnitte. Isolierter, gewöhnlicher Doppelpunkt oder Rückkehrpunkt im Schnitt mit der Tan-	



	Seite
gentialebene; elliptische, hyperbolische oder parabolische Krümmung. Haupttangente. Spezialfälle der abwickelbaren, der Kegel- und Cylinderflächen . . . . .	338
464. Tangentenkegel einer Fläche aus einem Raumpunkte . . .	339

## VII. Kapitel. Kugel, Cylinder, Kegel.

### Kugel, Cylinder und Kegel, ihre Projektionen, Eigen- und Schlagschatten.

465. 466. Bestimmung der Projektionen eines Flächenpunktes. Sichtbare und unsichtbare Flächenteile. Doppelkurven, wahrer und scheinbarer Umriß. Projektion einer auf der Fläche liegenden Kurve. Projizierender Cylinder, zur Projektionsrichtung parallele Tangentialebenen . . . . .	340
467. Lichtstrahlencylinder, Lichtgrenze auf der Fläche. Flächenteile im Lichte, im Eigen- und Schlagschatten . . . . .	342
468. Darstellung der Kugel, der Lichtgrenze auf ihr und ihres Schlagschattens . . . . .	342
469. Cylinderflächen. Ihre Entstehung, Mantellinien, Tangentialebenen . . . . .	344
470. Wahrer und scheinbarer Umriß einer Cylinderfläche. Lichtgrenze, Eigen- und Schlagschatten . . . . .	345
471. Darstellung des elliptischen Cylinders, Lichtgrenze, Schlagschatten . . . . .	346
472. Hohleylinder, Schlagschatten auf der Innenfläche . . . . .	348
473. Tangentialebenen eines Cylinders aus gegebenem Raumpunkte . . . . .	348
474. Kegelflächen. Ihre Entstehung, Spitze, Mantellinien, Tangentialebenen . . . . .	349
475. Wahrer und scheinbarer Umriß einer Kegelfläche. Lichtgrenze, Eigen- und Schlagschatten . . . . .	349
476. Darstellung des geraden Kreiskegels in beliebiger Lage. Lichtgrenze, Eigen- und Schlagschatten . . . . .	350
477. Hohlkegel, Schlagschatten auf der Innenfläche. Tangentialebenen des Kegels aus gegebenem Raumpunkte . . . . .	352
478. Polstrahlen und Polarebenen, Achsen und Symmetrieebenen eines Kegels, dessen Grundkurve ein gegebener Kegelschnitt ist . . . . .	353
479. Konjugierte, insbesondere rechtwinklige konjugierte Strahlen des Kegels. Konjugierte Punkte bezüglich der Grundkurve. Ort der konjugierten Punkte zu denen einer Geraden. Spurpunkte der Kegelsachsen . . . . .	354
480—483. Ausführung der Achsenbestimmung mit Hilfe einer gleichseitigen Hyperbel und eines Kreises. Bestimmung der Hyperbel. Hilfssatz. Bestimmung des Kreises. Allgemeiner Beweis des Hilfssatzes . . . . .	355

### Kugel, Cylinder, Kegel; ihre ebenen Schnitte und Abwickelungen.

484. Schnitt einer Kugel mit gegebener Ebene . . . . .	359
485. Schnitt eines beliebigen Cylinders mit gegebener Ebene; Abwicklung . . . . .	360

	Seite
486. 487. Ebener Schnitt eines geraden Kreiscylinders; Abwicklung . . .	361
488. 489. Ebener Schnitt eines schiefen Kreiscylinders; Abwicklung . . .	363
490. 491. Ebener Schnitt und Abwicklung eines geraden Kreiskegels . . .	367
492. 493. Ebener Schnitt und Abwicklung eines schiefen Kreiskegels . . .	370
494. 495. Die geodätischen Kurven auf dem geraden Kreiskegel . . .	373

### Durchdringung von Kugel-, Cylinder- und Kegelflächen.

496. 497. Allgemeines über Durchdringungen; Durchdringung von Cy- linder- und Kegelflächen . . . . .	375
498. 499. Durchdringung zweier Cylinderflächen, deren Grundkurven Kegelschnitte sind . . . . .	376
500. 501. Durchdringung eines geraden Kreiskegels mit einem geraden Kreiscylinder . . . . .	380
502. 503. Durchdringung von Kugel und Kegel . . . . .	383
504. 505. Eigenschaften der Durchdringungskurve 4. Ordnung zweier Kegelflächen . . . . .	386
506. Spezielle Durchdringungskurven zweier Kegelflächen . . . . .	388
507. Eigenschaften der Raumkurven 3. Ordnung . . . . .	389
508. 509. Konstruktion der Raumkurve 3. Ordnung als Schnitt zweier Kegel mit gemeinsamer Mantellinie . . . . .	389

### Die sphärischen Kegelschnitte.

510. Entstehung der sphärischen Kegelschnitte . . . . .	392
511. Brennpunkte und ihre Eigenschaften . . . . .	393
512. 513. Die Brennstrahlen des Kegels 2. Ordnung und ihre Konstruktion . . . . .	395
514. 515. Die Projektionen der sphärischen Kegelschnitte . . . . .	397

### Die stereographische Projektion.

516. Entstehung und Eigenschaften der stereographischen Pro- jektion. Abbildung der Kreise auf der Kugel in Kreise der Ebene. Erhaltung der Winkel . . . . .	399
517. Anwendung in der Kartenprojektion . . . . .	400

### Schlagschatten auf Kegel- und Cylinderflächen.

518. Bildung der Schlagschatten einer Fläche auf eine andere. Darstellungsverfahren . . . . .	402
519. Schlagschatten einer Kugel auf einen Kegel . . . . .	403

### Beispiele für Anwendungen.

520. Bemerkungen über Schattenkonstruktion an zusammengesetzten Gebilden . . . . .	404
521. Allgemeines über Steinschnitt . . . . .	405
522. Runder Eckturm. Schatten . . . . .	406
523. Gewölbte Mauernische. Schatten und Steinschnitt . . . . .	408
524. Dorische Säule. Schatten . . . . .	410

Litteraturnachweise und historische Anmerkungen . . . . .	413
---	-----

## EINLEITUNG.

Alle Zweige der Geometrie haben die Untersuchung gesetzmäßig entstandener Raumgebilde (ebener und räumlicher Figuren) zum Gegenstande. Während aber die Geometrie der Lage und die analytische Geometrie das hierdurch bezeichnete Ziel auf rein theoretischem Wege zu erreichen suchen, beschäftigt sich die darstellende Geometrie, wie schon ihr Name besagt, mit der praktischen Durchführung des Prozesses der Darstellung oder Konstruktion der Figuren, welche für die vorgenannten beiden Disziplinen an sich nebensächlich ist und mit steigender Entwicklung des Anschauungsvermögens mehr und mehr entbehrlich wird. Die darstellende Geometrie ist eine angewandte mathematische Disziplin: sie dient den Bedürfnissen der Praxis in verschiedenen Zweigen der technischen Wissenschaften und der Kunst. Zugleich aber bildet sie für den Mathematiker und Techniker das wirksamste Mittel, um das Vermögen der räumlichen Anschauung, dessen sie bei der Behandlung räumlicher geometrischer Fragen allenthalben bedürfen, bis zu möglichst hohem Grade zu entwickeln.

Der Zweck der darstellenden Geometrie ist die Bestimmung der Raumgebilde nach Gestalt, Größe und Lage durch die Konstruktion. Sie bedient sich dabei in der Hauptsache ebener Bilder derselben, indem sie zeigt, wie man mittels geeigneter Methoden erstens von den die Raumgebilde bestimmenden Angaben (also von ihrer Definition) ausgehend zu diesen Bildern gelangen, zweitens wie man von letzteren auf die Eigenschaften der dargestellten Figuren zurückschließen kann. In dieser letzteren Beziehung dient sie also dazu geometrische Eigenschaften räumlicher und ebener Gebilde aufzufinden und zu beweisen.

Außer auf die Strenge und Einfachheit des mathematischen Gedankenganges hat die darstellende Geometrie bei der Ausbildung ihrer Methoden auf die Erreichung größtmöglicher Genauigkeit für die praktische Ausführung der Konstruktionen Bedacht zu nehmen. Unter den verschiedenen möglichen Methoden, die zur gesetzmäßigen Abbildung der Raumfiguren führen, wählt sie demgemäß nur eine kleine Anzahl, als für ihre Zwecke geeignet, aus. Diese beziehen

sich sämtlich auf die Konstruktion der ebenen Bilder durch Projektion.

Die Methode des Projizierens ist aus den Vorgängen beim Sehen der Gegenstände abstrahiert. Die Centralprojektion entsteht, wenn man aus einem gegebenen Projektionscentrum (Augpunkt) durch die Punkte des Objektes projizierende Strahlen (Sehstrahlen) zieht und diese mit der Bildebene schneidet. Statt des Projektionscentrums kann auch eine feste Richtung gegeben werden, welche die projizierenden Strahlen haben sollen, sodaß sie gegen die Bildebene gleiche Neigung erhalten, insbesondere zu ihr rechtwinklig werden; hierbei ergibt sich die schiefe oder speziell die orthogonale Parallelprojektion. Diese Methoden empfehlen sich vor anderen durch die Bildlichkeit der Darstellungen, d. h. dadurch, daß die Gesichtseindrücke, welche wir von letzteren haben, in allem Wesentlichen mit denen übereinstimmen, welche die dargestellten Objekte selbst hervorrufen würden. Hiermit ist der weitere Vorteil verknüpft, daß bei ihrer Zugrundelegung die Entwicklung der geometrischen Beziehungen, die den räumlichen Objekten anhaften, sich am durchsichtigsten gestaltet.

Mit Rücksicht auf die Anwendungen sucht man die Anschaulichkeit der Darstellungen räumlicher Objekte dadurch zu erhöhen, daß man ihnen die Wiedergabe der Beleuchtungsverhältnisse für eine geeignet angenommene Lichtquelle, namentlich die Eigen- und Schlagschatten in genauer Konstruktion hinzufügt. Die Lichtquelle wird entweder durch einen leuchtenden Punkt im Endlichen vertreten, oder man nimmt sie in unendlicher Ferne an, sodaß die Lichtstrahlen parallel werden. Die Theorie der Schattenkonstruktionen ist in der Projektionslehre enthalten; die Theorie der Beleuchtung gesetzmäßig gestalteter Oberflächen schließt sich eng an die erstere an, bedarf aber besonderer Auseinandersetzungen.

In letzter Linie kommen für die darstellende Geometrie Methoden in Betracht, welche auf die Konstruktion räumlicher Abbilder oder Modelle der Raumfiguren abzielen. Unter ihnen bedürfen die, welche die Konstruktion von Modellen bezwecken, die mit den gegebenen Objekten kongruent oder (bei verändertem Maßstabe) in allen Teilen ähnlich sind, ihrer unmittelbaren Faßlichkeit wegen, keiner näheren Erläuterung. Hiervon abgesehen kommt die sogenannte Reliefperspektive gelegentlich zur Anwendung. Ihre Theorie läßt sich als eine Verallgemeinerung der Projektionsmethode an deren Darlegung ohne Schwierigkeit anfügen.

Die darstellende Geometrie bedarf zu ihrer Entwicklung keiner anderen theoretischen Voraussetzungen als der Begriffe und Lehrsätze der elementaren Planimetrie und Stereometrie. Diese bezeichnen daher auch das Maß der mathematischen Vorkenntnisse, die zum Verständnisse dieses Lehrbuches erforderlich sind und auf die Bezug genommen wird, ohne Erklärungen oder Beweise hinzuzufügen. An die Elemente der Raumlehre anknüpfend bildet die darstellende Geometrie selbständig die Lehre von den Projektionen aus. Das Verfahren des Projizierens aber, das in erster Linie benutzt wird, um die Darstellung gegebener Raumfiguren zu gewinnen, soll gleichzeitig dazu dienen, Eigenschaften derselben zu erkennen und zu beweisen. Auch sollen die Projektionsmethoden auf höhere stereometrische Fragen angewandt und diese durch Konstruktion gelöst werden. Dann erst wird dem Zwecke der mathematischen Schulung der Anschauung genügend Rechnung getragen; denn jede konstruktive Lösung besteht in einer methodisch geordneten Folge von Operationen, deren geometrische Bedeutungen, im Gegensatz zu denen der rechnenden Operationen, einzeln anschaulich erfaßt, in ihrer Gesamtheit aber bei der graphischen Ausführung überblickt werden können.

Durch ihre Methoden wird unsere Wissenschaft naturgemäß zur Untersuchung derjenigen Eigenschaften der Figuren geführt, welche mit denen der durch Projektion gewonnenen Bilder übereinstimmen. Diese durch Projektion unzerstörbaren oder projektiven Eigenschaften der Raumgebilde sind es, welche in allgemeinsten Weise aufgefaßt, die Grundlagen der Geometrie der Lage ausmachen. Bei letzterer fällt die Rücksicht auf Darstellbarkeit fort; sie operiert lediglich mit Begriffen. Die darstellende Geometrie aber bereitet die Bildung dieser Begriffe vor, indem sie alle geometrischen Gesetze untersucht, welche durch den wirklichen Vorgang der Projektion direkt begründet werden.

Steht also die darstellende Geometrie zur Geometrie der Lage in näherer Beziehung als zur analytischen Geometrie, welche die Gebilde und ihre Eigenschaften durch Gleichungen zwischen Maßzahlen bestimmt, so kann sie doch auf den Gebrauch von Maßrelationen nicht völlig verzichten, weil die Bestimmung der Größenverhältnisse, ebensogut wie die der Lagebeziehungen in ihrer Aufgabe liegt. Aber sie verwendet nur die einfachsten Formen derselben, bei denen an die Stelle der Rechnung mit analytischen Größen sogleich die Konstruktion treten kann.

Irgend eine Aufgabe der darstellenden Geometrie ist als gelöst



zu betrachten, wenn sie zurückgeführt ist auf solche Elementaroperationen, die man ohne weiteres mit bekannten Hilfsmitteln durchführen kann. Unter jenen Elementaroperationen aber sind lediglich die folgenden, welche sich sämtlich auf eine ebene Zeichnungsfläche beziehen, zu verstehen:

- das Ziehen gerader Linien durch gegebene Punkte; insbesondere das Ziehen gerader Linien, die zu einer gegebenen Geraden parallel sind, oder auf ihr rechtwinklig stehen;
- das Schlagen von Kreisen um ein gegebenes Centrum und mit gegebenem Radius.

Bezüglich des Entwicklungsganges mag Folgendes im Voraus bemerkt werden. Mit dem Einfachsten wird begonnen; so geht bei der Darstellung räumlicher Objekte die orthogonale der schiefen Parallel- und der Centralprojektion voraus. Zuerst werden durch diese Projektionen ebene Figuren abgebildet. Vereinigt man dann Bild- und Originalebene in geeigneter Weise, so ergeben sich mittelbar geometrische Abhängigkeiten, die zwischen Figuren ein und derselben Ebene stattfinden; sie werden Kollinearverwandtschaften oder Kollineationen genannt; weil dabei geraden Linien stets wieder Geraden entsprechen. Die einfachste Art der Centralprojektion, bei welcher Bild- und Originalebene parallel angenommen werden, liefert die Ähnlichkeit bei ähnlicher Lage. Aus der schiefen Parallelprojektion aber entsteht eine Verwandtschaft ebener Figuren, die als Affinität bei affiner Lage bezeichnet wird. Auf der anderen Seite ergibt die allgemeine Centralprojektion die centrische Kollineation ebener Systeme oder die Perspektivität.

Gerade deshalb, weil die genannten Verwandtschaften ebener Gebilde aus Projektionen im Raume entstanden gedacht werden können, haben sie für die darstellende Geometrie eine prinzipielle Wichtigkeit; die bei der Darstellung räumlicher Objekte auftretenden Probleme führen immer wieder auf sie zurück. Es erschien daher zweckmäßig, sie an geeigneter Stelle ausführlich zu behandeln. Wir beginnen also die Darlegung der Methoden der Parallelprojektion mit einem Kapitel über Ähnlichkeit und Affinität bei ebenen Figuren. Dementsprechend würde ein Kapitel über Perspektivität ebener Figuren vor der Behandlung der Perspektive räumlicher Figuren seinen natürlichen Platz finden. Wir ziehen es aber vor, ein solches bereits an einer früheren Stelle einzuschalten und später darauf zurück zu verweisen, weil für gewisse Gebilde schon an und für sich die Gesetze der Perspektivität in Betracht kommen, namentlich für Pyramiden und Kegel und ihre ebenen Schnitte.



Bei der Entwicklung der Projektionsmethoden für beliebige (nicht ebene) Objekte wird jedesmal mit der Darstellung der einfachen Grundgebilde: Punkt, Gerade, Ebene und der Lösung der aus ihren möglichen Beziehungen sich ergebenden Fundamentalaufgaben begonnen, um daran die Darstellung und Untersuchung der komplizierteren Gebilde in angemessener Ordnung anzuschliessen.

Schliesslich mögen noch einige Bemerkungen über die hauptsächlichsten, zum Teil am gehörigen Orte noch näher zu erläuternden, Bezeichnungen und Abkürzungen Platz greifen. Wir werden durchgängig:

Punkte mit großen lateinischen Buchstaben:  $A, B \dots P, \dots$ ,

Gerade mit kleinen lateinischen Buchstaben:  $a, b, \dots g, \dots$ ,

Ebenen mit großen griechischen Buchstaben:  $A, B, \dots E, \dots$ ,

Winkel mit kleinen griechischen Buchstaben:  $\alpha, \beta, \dots \varphi, \dots$ , bezeichnen, und zwar verwenden wir meist die ersten Buchstaben des betreffenden Alphabets für gegebene oder bekannte Elemente, für variable oder unbekannte aber die später folgenden Buchstaben.

Als Zeichen der Verbindung mehrerer Elemente durch ein neues Grundgebilde, welches sie zusammengenommen bestimmen, dient die bloße Nebeneinanderstellung der sie bezeichnenden Buchstaben. Es bedeutet also:

$g = AB$  die gerade Verbindungslinie der Punkte  $A$  und  $B$ ,

$E = ABC$  die Verbindungsebene der drei Punkte  $A, B, C$ ,

$\Delta = Ab$  die Verbindungsebene des Punktes  $A$  und der Geraden  $b$ .

$\Gamma = ab$  die Verbindungsebene der sich schneidenden Geraden  $a$  und  $b$ .

Zur Bezeichnung der Schnittelemente wählen wir das zwischen die betreffenden Buchstaben einzufügende Symbol  $\times$ . Hiernach bedeutet:

$P = g \times h$  den Schnittpunkt der in einer Ebene liegenden Geraden  $g$  und  $h$ .

$Q = g \times E$  den Schnittpunkt der Geraden  $g$  und der Ebene  $E$ ,

$g = E \times \Delta$  die Schnittlinie der Ebenen  $E$  und  $\Delta$ .

Wie gebräuchlich, legen wir parallelen Geraden einen unendlich fernen Schnittpunkt (Richtungspunkt, Richtung), parallelen Ebenen eine unendlich ferne Schnittlinie (Stellungsgerade, Stellung) bei.

Diese Bezeichnungen werden miteinander nach Bedürfnis kombiniert; z. B. würde  $AB \times PQR$  den Schnittpunkt der Verbindungslinie der Punkte  $A, B$  mit der Verbindungsebene der Punkte  $P, Q, R$  darstellen, u. s. f.

Als Dreieckszeichen dient  $\triangle$ , als Winkelzeichen  $\angle$ , so daß  $\triangle ABC$  das Dreieck mit den Ecken  $A, B, C$ ,

$\alpha = \angle ABC$  den Winkel, welchen die Schenkel  $BA$  und  $BC$  am Scheitel  $B$  einschließen,

$\beta = \angle ab$  den Winkel der Geraden  $a$  und  $b$ ,

$\gamma = \angle aE$  den Neigungswinkel der Geraden  $a$  gegen die Ebene  $E$ ,

$\varphi = \angle E\Delta$  den Winkel der Ebenen  $E$  und  $\Delta$

bezeichnet.

$R$  ist das Symbol für den rechten Winkel oder  $90^\circ$ ,  $2R$  für den gestreckten Winkel u. s. f.

Neben den bereits üblichen Abkürzungen  $\parallel$ ,  $\equiv$ ,  $\perp$ ,  $\sim$ ,  $\cong$  für parallel, parallel und gleich, senkrecht, ähnlich und kongruent, führen wir noch ein neues Symbol für den senkrechten Abstand ein; es soll nämlich  $(P \perp g)$  die Entfernung des Punktes  $P$  von der Geraden  $g$ ,  $(P \perp E)$  die des Punktes  $P$  von der Ebene  $E$  repräsentieren.

Übrigens wird für die geometrischen Beziehungen keineswegs ausschließlich die symbolische Schreibweise angewendet werden. Dieselbe soll nur bei Beweisen die Übersicht erleichtern und bei der unvermeidlichen Wiederholung geläufiger Operationen die Möglichkeit der Kürzung gewähren.

Im besonderen sind folgende feststehende Bezeichnungen zu nennen:

$\Pi_1, \Pi_2$  für die beiden rechtwinkligen Projektionsebenen bei orthogonaler Projektion,  $x$  für ihre Schnittlinie oder Achse.

$P, P'$  für die Projektionen eines Punktes  $P$ ,

$g', g''$  für die Projektionen einer Geraden  $g$ .

$G_1, G_2$  für die Spurpunkte einer Geraden  $g$ ,

$e_1, e_2$  für die Spurlinien einer Ebene  $E$ .

Schiefe Parallelprojektionen werden durch Anhängung des unteren Index  $s$ , centralperspektive Bilder durch die des Index  $c$  bezeichnet. Die Umlegung einer ebenen Figur in eine andere Ebene um die zu beiden gehörige Spurlinie charakterisieren wir durch den unteren oder oberen Index  $o$ , Elemente, die durch Drehung um irgend eine Gerade eine neue Lage erhalten haben, ebenso durch den Index  $\Delta$ , endlich Schatten durch den unteren oder oberen Index  $*$ .

## ERSTES KAPITEL.

### Ähnlichkeit und Affinität ebener Figuren.

Bevor wir die allgemeinen Gesetze der orthogonalen Parallelprojektion entwickeln und sie auf räumliche Gebilde anwenden, betrachten wir die ebenen Gebilde für sich. Hierbei beschränken wir uns nicht auf die orthogonale Parallelprojektion, sondern behandeln zuerst — gewissermaßen als Vorstufe — die einfachste Form der Centralprojektion, bei welcher Original- und Bildebene parallel liegen, hierauf aber sogleich die schiefe Parallelprojektion. Aus diesen beiden im Raume zu vollziehenden Projektionsarten werden die Ähnlichkeit und die Affinität zwischen Figuren einer Ebene abgeleitet; ihre Kombination ergibt eine allgemeinere Verwandtschaft, die Affinität im weiteren Sinne, die uns jedoch hier nicht beschäftigen soll<sup>1)</sup>.

#### Ähnlichkeit ebener Figuren.

1. Es sei eine Ebene  $E$  im Raume gegeben. Zu ihr parallel werde eine zweite Ebene  $E_1$  und außerhalb beider ein Punkt  $O$  nach Willkür festgelegt.

Legt man durch alle Punkte einer in  $E$  gelegenen Figur von dem Centrum  $O$  ausgehende, projizierende Strahlen, ebenso durch alle Geraden dieser Figur projizierende Ebenen, so liefern diese Strahlen und Ebenen in ihrem Schnitt mit der Ebene  $E_1$

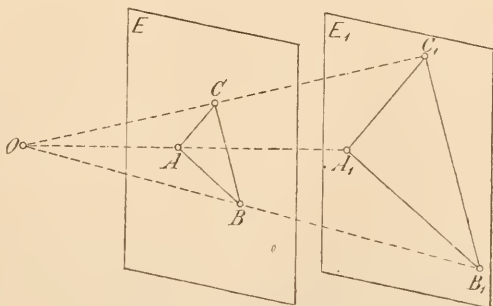


Fig. 1.

als Bildebene eine zweite Figur, deren Punkte und Geraden denen der gegebenen Figur eindeutig entsprechen. Beispielsweise geht (Fig. 1) aus dem Dreieck  $ABC$  in  $E$  ein Dreieck  $A_1B_1C_1$  in  $E_1$  als

Bild hervor. Die Beziehung, in welcher die einander entsprechenden Figuren stehen, heißt Ähnlichkeit bei ähnlicher Lage und besitzt folgende Eigenschaften:

- a) Entsprechende Gerade sind parallel; also:
- β) Parallelen Geraden  $g$  und  $h$  entsprechen parallele Gerade  $g_1$  und  $h_1$  und einem Winkel  $\varphi$  ein ihm gleicher Winkel  $\varphi_1$ .
- γ) Das Verhältnis irgend zweier entsprechenden Strecken  $AB$  und  $A_1B_1$  ist konstant  $= e:e_1$ , wenn  $e = (O \dashv E)$ ,  $e_1 = (O \dashv E_1)$  gesetzt wird.

Offenbar ist:

$$AB:A_1B_1 = OA:OA_1 = e:e_1$$

und folglich auch:

$$AB:A_1B_1 = BC:B_1C_1, \text{ u. s. f.}$$

Ist für irgend zwei ebene Figuren eine der beiden letzten Eigenschaften und folglich auch die andere erfüllt, so sind sie nur als ähnlich zu bezeichnen. Kommt aber die erste Eigenschaft hinzu, so befinden sie sich in ähnlicher Lage. In der That braucht man nur zwei einander entsprechende parallele Strecken  $AB$  und

$A_1B_1$  zu kennen, um das Ähnlichkeitscentrum  $O = AA_1 \times BB_1$  zu finden. Hieraus folgt weiter, daß je zwei ähnliche Figuren auf unendlich viele Arten in ähnliche Lage gebracht werden können.

**2.** Die ähnlichen Figuren bleiben in ähnlicher Lage, wenn die Bildebene  $E_1$  sich selbst parallel verschoben wird. An Stelle

von  $O$  tritt dabei ein neues Centrum  $O'$ . Die Strecke  $OO'$ , d. i. die Verschiebung des Centrums, ist mit derjenigen der Bildebene parallel und gleichgerichtet oder ihr entgegengesetzt, je nachdem  $O$  und  $E_1$  auf derselben oder auf verschiedenen Seiten von  $E$  liegen; der Größe nach ist sie durch die Relation:

$$OO' = a \cdot \frac{e}{e_1 - e}$$

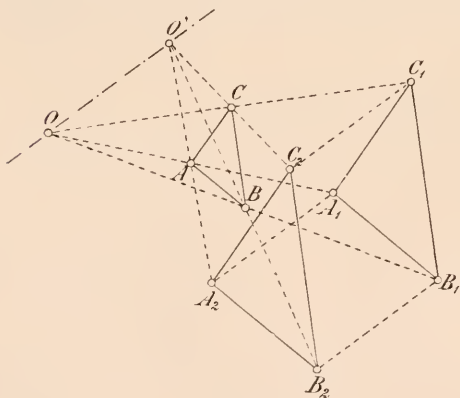


Fig. 2.

bestimmt, wo  $a$  die Größe der Verschiebung der Punkte von  $E_1$  bezeichnet. Geht nämlich (Fig. 2)  $A_1$ , das Bild eines beliebigen Punktes  $A$ , bei der im Raume vollführten Parallelverschiebung von  $E_1$  in  $A_2$  über, so schneidet die Gerade  $A_2A$  die durch  $O$  gezogene Parallele zu  $A_1A_2$  in einem Punkte  $O'$ , welcher durch die obigen Angaben bestimmt ist; dies gilt für jedes Paar entsprechender Punkte. — Insbesondere bleibt der Charakter unserer Abbildung erhalten, wenn  $E_1$  durch eine geeignete Parallelverschiebung mit  $E$  selbst zur Deckung gebracht wird. Diese Operation, bei der ein bestimmter Punkt von  $E_1$  in einen beliebigen Punkt von  $E$  verschoben werden kann, liefert ähnliche und ähnlich liegende Gebilde in einer Ebene. In die Ebene  $E$  fällt auch das Centrum  $O'$  und die projizierenden Strahlen. Die drei oben genannten Eigenschaften bleiben für die so erhaltene ähnliche Beziehung in der Ebene unverändert bestehen. Sie ist eindeutig bestimmt durch Angabe des Centrum und zweier einander entsprechender Punkte, oder durch ein Paar paralleler entsprechender Strecken.

3. Der vorige Satz ist ein Spezialfall des folgenden: Sind im Raume zwei Figuren zu einer dritten ähnlich und ähnlich gelegen, so sind sie es auch zu einander. Das neue Ähnlichkeitscentrum liegt

mit den beiden gegebenen in gerader Linie. Sind nämlich  $A, B$  und  $A_1, B_1$  (Fig. 3) entsprechende Punkte zweier ähnlicher und ähnlich gelegener Figuren, sowie  $O$  das zugehörige Ähnlichkeitscentrum, gilt ferner dasselbe von  $A, B, A_2, B_2$  und  $O'$ , so liegen  $A_1A_2$  und  $B_1B_2$  in einer Ebene, weil  $A_1B_1 \parallel AB \parallel A_2B_2$  ist. Weiter liegt der Strahl  $A_1A_2$  in der Ebene  $AOO'$  und schneidet  $OO'$  in einem Punkte  $O''$ . In demselben Punkte wird  $OO'$  von  $B_1B_2$  ge-

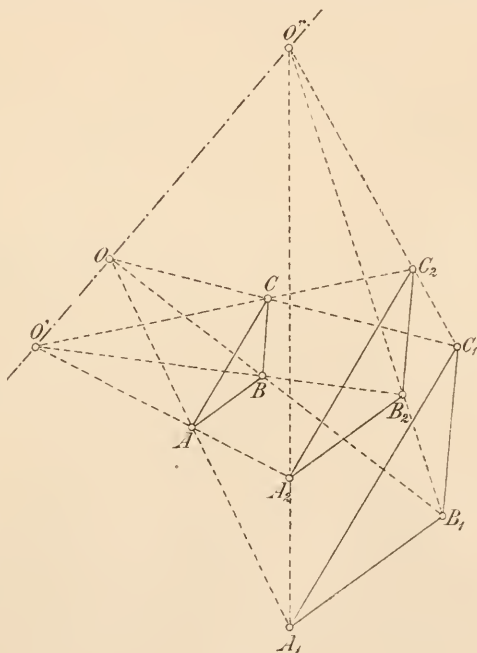


Fig. 3.

schnitten; denn  $B_1B_2$  und  $OO'$  müssen sich in einem Punkte schneiden, da sie in einer Ebene liegen; das muß aber der Schnittpunkt von  $OO'$  mit der Ebene  $A_1B_1A_2B_2$ , also  $O''$  sein.  $O''$  ist das neue Ähnlichkeitscentrum. Der Satz gilt auch für Figuren in einerlei Ebene.

4. Von den Folgerungen, die man unmittelbar aus diesen Betrachtungen ziehen kann, mag als beachtenswert diese hervorgehoben

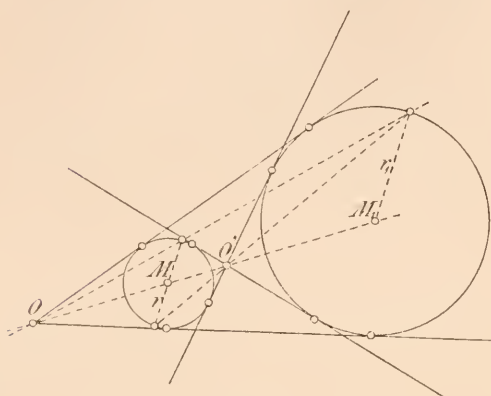


Fig. 4.

werden, daß jede zu einem Kreise ähnliche Figur wiederum ein Kreis ist, und daß je zwei Kreise einer Ebene in doppelter Weise als in ähnlicher Lage befindlich angesehen werden können. Da nämlich die Mittelpunkte  $M$  und  $M_1$  einander entsprechen (Fig. 4) und entsprechende Radien parallel und gleich oder entgegen-

gesetzt gerichtet sind, so ergeben sich auf  $MM_1$  zwei Ähnlichkeitscentren  $O$  und  $O'$  (ein äußeres und ein inneres), für welche die Verhältnisgleichung  $OM:OM_1 = r:r_1 = O'M:O'M_1$  besteht. Die Verbindungslinien der Endpunkte von parallelen, gleichgerichteten Radien gehen durch  $O$ , von entgegengesetzt gerichteten Radien aber durch  $O'$ . Durch  $O$  und  $O'$  gehen auch die gemeinsamen Tangenten der beiden Kreise, deren es im allgemeinen vier giebt.

### Parallelprojektion einer ebenen Figur auf eine andere Ebene.

5. Die zu projizierenden Gebilde seien in der Ebene  $E$  gelegen; als Bildebene nehmen wir irgend eine zweite Ebene  $E_1$  an. Werden durch die Punkte und Geraden einer in der Ebene  $E$  befindlichen Figur in einer festgewählten Richtung projizierende Strahlen resp. Ebenen gezogen und mit  $E_1$  geschnitten, so entsteht eine zweite Figur, die mit ihren Punkten und Geraden der vorgelegten eindeutig zugeordnet ist. Das Dreieck  $A_1B_1C_1$  in  $E_1$  geht z. B. auf diese Weise aus dem Dreieck  $ABC$  in  $E$  hervor (Fig. 5). Das benutzte Verfahren wird im allgemeinen als schiefe, im besonderen, wenn die Projektionsrichtung zur Bildebene  $E_1$  senkrecht steht, als orthogonale Parallelprojektion bezeichnet. Die geometrische Abhängigkeit zwischen den entsprechenden Figuren



heißt Affinität bei affiner Lage; die projizierenden Strahlen werden Affinitätsstrahlen, ihre Richtung Affinitätsrichtung, die Schnittlinie  $a = E \times E_1$  wird Affinitätsachse genannt.

6. Aus der Definition ergeben sich die Eigenschaften affiner und affin gelegener ebener Figuren.

- a) Jeder Punkt der Affinitätsachse  $a$  entspricht sich selbst; entsprechende Gerade  $g$  und  $g_1$  schneiden sich auf  $a$ , und insbesondere ist  $g_1 \parallel a$ , wenn  $g \parallel a$  angenommen wird.
- $\beta$ ) Parallelen Geraden  $g$  und  $h$  entsprechen parallele Gerade  $g_1$  und  $h_1$ .
- $\gamma$ ) Einem Winkel  $q$  entspricht im allgemeinen ein von ihm verschiedener Winkel  $q_1$ . Es existiert aber an je zwei affinen Punkten  $P$  und  $P_1$  ein Paar entsprechender rechtwinkliger Strahlen.
- $\delta$ ) Das Verhältnis je zweier Strecken auf der nämlichen oder auf parallelen Geraden ist dem ihrer Bilder gleich.

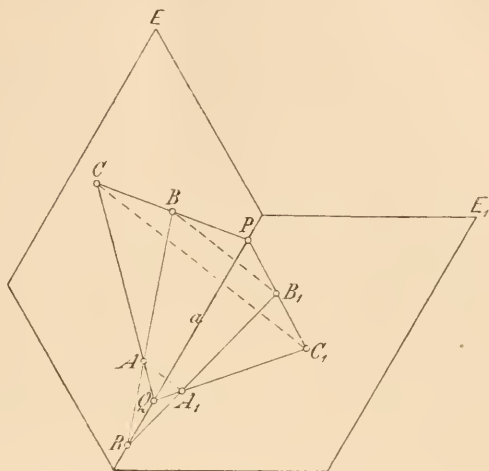


Fig. 5.

Die unter  $\gamma$ ) angeführten entsprechenden rechten Winkel erkennt man aus folgender Konstruktion. Man lege durch die Mitte der Strecke  $PP_1$  eine zu ihr rechtwinklige Ebene  $A$  und um deren Achsenschnittpunkt  $M = a \times A$  eine Kugelfläche, welche  $P$  und also auch  $P_1$  enthält. Schneidet diese die Achse  $a$  in  $X$  und  $Y$ , so sind  $\angle XPY$  und  $\angle XP_1Y$  einander entsprechende und, weil sie über dem Kugeldurchmesser stehen, zugleich rechte Winkel.

Liegen die in  $\delta$ ) erwähnten Strecken auf der nämlichen Geraden  $g$ , also ihre Bilder auf der affinen Geraden  $g_1$ , so werden die gegebenen und ihre Bildstrecken auf den Schenkeln des  $\angle gg_1$  durch Parallelen ausgeschnitten, woraus der eine Teil des Satzes unmittelbar folgt. Der allgemeinere Fall zweier paralleler Strecken  $AB$  und  $CD$  wird

auf den vorigen zurückgeführt, in dem man (Fig. 6)  $AB$  um die Strecke  $BE = CD$  verlängert. Dem Parallelogramm  $BCDE$  entspricht nach  $\beta$ ) ein affines Parallelogramm  $B_1C_1D_1E_1$ , wo  $B_1E_1 = C_1D_1$  die Verlängerung von  $A_1B_1$  bildet.

7. Umgekehrt sind zwei ebene Figuren affin und affin gelegen, wenn ihre Punkte und Geraden einander so entsprechen, daß die unter  $\alpha$ ),  $\beta$ ) und  $\delta$ ) aufgeführten Eigenschaften erfüllt sind. Aus  $\alpha$ ) und  $\beta$ ) folgt  $\delta$ ), ebenso kann man aus  $\alpha$ ) und  $\delta$ ) die Eigenschaft  $\beta$ ) folgern. Denn sind  $A, B, C$ , (siehe Fig. 5) irgend drei Punkte der einen,  $A_1, B_1, C_1$  die entsprechenden Punkte der andern Figur, so schneiden nach  $\alpha$ ) die Geraden  $BC, CA, AB$  ihre Bilder in Punkten  $P, Q, R$  der Schnittlinie  $a = ABC \times A_1B_1C_1$ . Da ferner nach  $\delta$ ):  $RA:AB = RA_1:A_1B_1$  sein soll, so ist  $AA_1 \parallel BB_1$ , u. s. f.

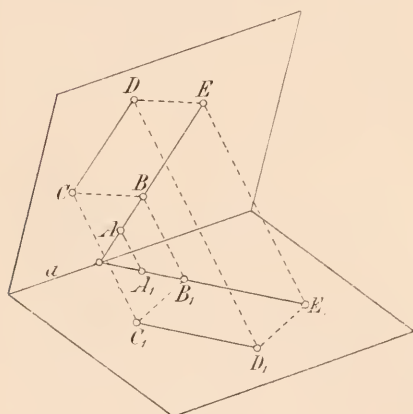


Fig. 6.

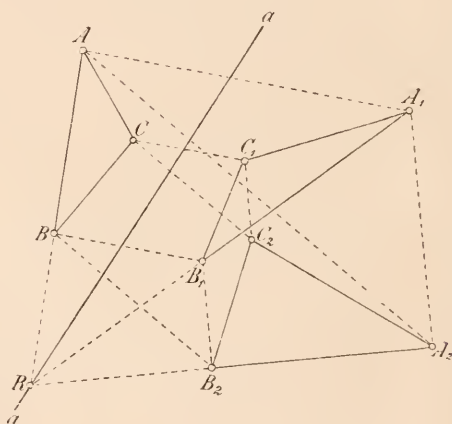


Fig. 7.

8. Es seien  $\mathfrak{F}, \mathfrak{F}_1$  und  $\mathfrak{F}_2$  drei Figuren, deren Ebenen  $E, E_1$  und  $E_2$  sich in einer Geraden  $a$  schneiden; ferner gehe  $\mathfrak{F}_2$  aus  $\mathfrak{F}$  und  $\mathfrak{F}_1$  aus  $\mathfrak{F}_2$  durch eine Parallelprojektion hervor. Dann ist auch  $\mathfrak{F}_1$  eine Parallelprojektion von  $\mathfrak{F}$ , d. h. es besteht der Satz: Sind in Bezug auf eine und dieselbe Achse zwei ebene Figuren zu einer dritten affin und affin gelegen, so sind sie es auch zu einander. Es genügt den Satz für irgend zwei Punkte und ihre beiderlei Bilder zu führen. Den Punkten  $A, B$  in  $\mathfrak{F}$  mögen  $A_2, B_2$  in  $\mathfrak{F}_2$  und diesen  $A_1, B_1$  in  $\mathfrak{F}_1$  entsprechen (Fig. 7). Die Geraden  $AB, A_1B_1, A_2B_2$  schneiden sich in einem Punkte  $R$  auf  $a$ . Da aber zugleich  $AA_2 \parallel BB_2$  und  $A_1A_2 \parallel B_1B_2$  ist, so sind die Dreiecke  $AA_1A_2$  und  $BB_1B_2$  ähnlich und ähnlich gelegen (aus dem Ähnlichkeitscentrum  $R$ ), folglich ist  $AA_1 \parallel BB_1$ , u. s. f.

9. Wenn man die bisherigen Annahmen spezialisiert, indem man die Ebene  $E_1$  als mit  $E$  zusammenfallend betrachtet, so gelangt man zu einer indirekten Definition affiner und affin gelegener Figuren  $\mathfrak{F}$  und  $\mathfrak{F}_1$  in einer Ebene, nämlich durch Vermittelung zweier nacheinander angewandter beliebiger Parallelprojektionen, welche zuerst  $\mathfrak{F}$  in  $\mathfrak{F}_2$  und dann  $\mathfrak{F}_2$  in  $\mathfrak{F}_1$  überführen. In der Folge wird die direkte Abhängigkeit zwischen  $\mathfrak{F}$  und  $\mathfrak{F}_1$  ohne Zuhilfenahme räumlicher Konstruktion untersucht. Der obige Satz läßt aber bereits erkennen, daß die Bedeutung der Affinitätsachse  $a$  als der Linie sich selbst entsprechender Punkte erhalten bleibt, sowie daß die Strahlen  $AA_1, BB_1$ , u. s. w., die jetzt gleichfalls der Ebene  $E$  angehören, parallel sind; dagegen kann das Bild eines Punktes nicht mehr als Spur seines projizierenden Strahles in der Bildebene erklärt werden. Die Parallelprojektion in der Ebene bedarf also besonderer Erklärung, da die im Raume anwendbaren Operationen beim Übergang zu Gebilden einer Ebene aufhören einen bestimmten Sinn zu haben.

10. Wird eine ebene Figur um eine in ihrer Ebene enthaltene Achse gedreht, so beschreiben die Punkte der Figur Kreisebögen, deren Sehnen parallel sind. Mithin folgt aus obigem Satze als Korollar: Zwei affine und affingelegene ebene Figuren bleiben in affiner Lage, wenn eine von ihnen um die Affinitätsachse beliebig gedreht wird. Insbesondere kann hier-nach für die betrachteten Figuren auf doppelte Art die affine Lage in einer Ebene herbeigeführt werden, indem man die Bildebene durch Drehung nach der einen oder der anderen Seite mit der Originalebene zur Deckung bringt. Dreht man umgekehrt von zwei in einer Ebene affingelegenen Figuren die eine beliebig um die Achse aus der Ebene heraus, so wird sie in der neuen Lage eine Parallelprojektion der anderen darstellen.

### Affine und affingelegene Figuren einer Ebene.

11. Zufolge der im vorigen Abschnitt enthaltenen indirekten Definition müssen zwei Figuren  $\mathfrak{F}$  und  $\mathfrak{F}_1$  derselben Ebene, wenn zwischen ihnen Affinität bei affiner Lage bestehen soll, folgende Eigenschaften aufweisen:

- a) Jeder Punkt der Affinitätsachse entspricht sich selbst.
- β) Den Punkten einer Geraden entsprechen wieder Punkte einer Geraden.
- γ) Die Verbindungslinien entsprechender Punkte sind parallel.

Die hier aufgeführten Eigenschaften genügen, um zu einer Figur ihr affines und affin gelegenes Bild zu konstruieren, wenn die Affinitätsachse  $a$  und ein Paar entsprechender Punkte  $P$  und  $P_1$  gegeben sind. In der That kann zu jedem gegebenen Punkte  $Q$  der entsprechende  $Q_1$  bestimmt werden, indem man (Fig. 8)  $S = PQ \times a$  sucht und  $SP_1$  mit der durch  $Q$

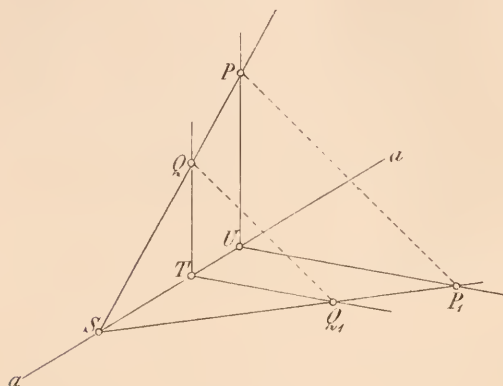


Fig. 8.

gelegten Parallelen zu  $PP_1$  in  $Q_1$  schneidet. Das Bild einer Geraden  $g$  ergibt sich, indem man zu einem ihrer Punkte  $Q$  den Bildpunkt  $Q_1$  zeichnet und diesen mit  $T = g \times a$  verbindet.

Die Figur läßt auch erkennen, daß parallelen Geraden  $PU$  und  $QT$  der einen Figur parallele Bilder  $P_1U$  und  $Q_1T$  in

der anderen entsprechen. Um das Bild  $g_1$  von  $g$  zu erhalten, kann man deshalb  $PU \parallel g$  zeichnen, dann  $P_1U$  und  $g_1 \parallel P_1U$  durch den Punkt  $g \times a = T$  ziehen.

Finden die unter  $\alpha$ ),  $\beta$ ) und  $\gamma$ ) aufgezählten Beziehungen zwischen zwei Figuren  $\mathfrak{F}$  und  $\mathfrak{F}_1$  statt, so wird  $\mathfrak{F}_1$  durch eine beliebige Drehung um die Affinitätsachse  $a$  in eine räumliche Lage  $\mathfrak{F}_2$  übergeführt, bei welcher sie eine Parallelprojektion von  $\mathfrak{F}$  darstellt. Sind  $A, B$  zwei beliebige Punkte von  $\mathfrak{F}$ ,  $A_1, B_1$  resp.  $A_2, B_2$  die entsprechenden Punkte von  $\mathfrak{F}_1$  resp.  $\mathfrak{F}_2$ , so ist nur zu zeigen, daß  $BB_2 \parallel AA_2$  ist. Aber es ist einerseits  $AA_1 \parallel BB_1$  und andererseits  $A_1A_2 \parallel B_1B_2$ , als Sehnen der von  $A_1$  und  $B_1$  bei der Drehung beschriebenen Bogen. Es schneiden sich ferner  $AB$  und  $A_1B_1$  in einem Punkt  $R$  der Achse  $a$ , durch diesen geht dann auch  $A_2B_2$ ; denn  $A_1B_1$  und  $A_2B_2$  liegen in einer Ebene, da  $A_1A_2 \parallel B_1B_2$  ist. Somit liegen die Dreiecke  $AA_1A_2$  und  $BB_1B_2$  vom Centrum  $R$  aus ähnlich, so daß auch  $AA_2 \parallel BB_2$  sein muß.

Eine Folge hiervon sind die Sätze:

- d) Parallelen Geraden entsprechen in der affinen Figur wieder parallele Gerade.
- e) Parallele Strecken verhalten sich wie ihre affinen Bilder.

12. Die Konstruktion der entsprechenden rechten Winkel an zwei affinen Punkten  $P$  und  $P_1$  erfolgt (Fig. 9) mit Hilfe eines Kreises durch  $P$  und  $P_1$ , dessen Centrum  $M$  der Affinitätsachse  $a$  angehört. Schneidet dieser  $a$  in den Punkten  $X$  und  $Y$ , so sind  $\angle XPY$  und  $\angle XP_1Y$  die gesuchten rechten Winkel. Ist  $P_1'$  der in Bezug auf  $a$  zu  $P_1$  symmetrische Punkt, so ist  $\angle P_1PY = \angle P_1'PY$ , weil die Bogen  $P_1Y$  und  $P_1'Y$  gleich sind; der Strahl  $PY$  halbiert den  $\angle P_1PP_1'$ ,  $PX$  den Nebwinkel. Diese Bemerkung kann zur Konstruktion der Rechtwinkelstrahlen dienen, falls etwa  $M$  ausserhalb der Zeichnungsfläche liegt. — Symmetrisch zu  $PX$  (oder  $PY$ ) gelegenen Punkten, z. B.  $Q$  und  $R$ , entsprechen symmetrisch zu  $P_1X$  (oder  $P_1Y$ ) gelegene Punkte  $Q_1$  und  $R_1$ .

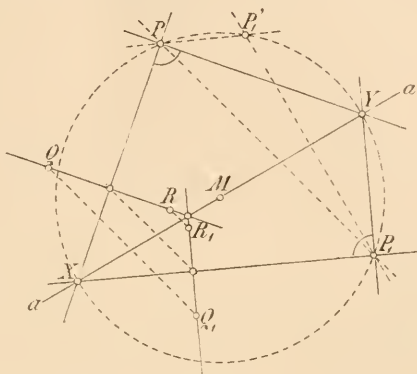


Fig. 9.

13. Es gibt auch an  $P$  und  $P_1$  entsprechende, gleiche Winkel von jeder gegebenen Grösse  $\varphi$ , die man in folgender Weise konstruiert. Wir gehen von dem Fall aus, wo  $P$  und  $P_1$  auf derselben Seite der Affinitätsachse liegen (Fig. 10). Sei  $Q$  die Mitte von  $PP_1$  und  $QR \perp PP_1$ , während  $R$  auf  $a$  liegt. Dann ist ein Kreis  $k$  durch  $P$  und  $P_1$ , also mit dem Centrum  $M$  auf  $QR$ , so zu bestimmen, daß  $\angle XPY =$

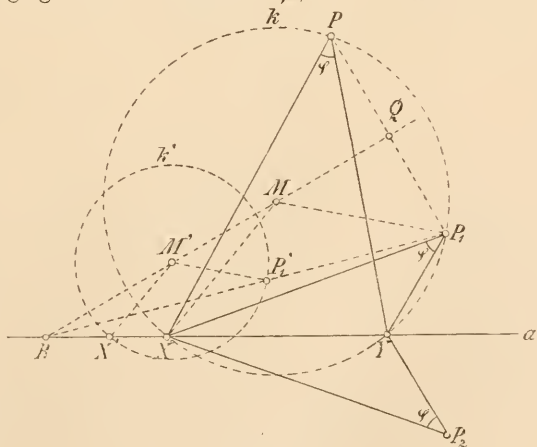


Fig. 10.

$\angle XP_1Y = \varphi$  und somit  $\angle MXY = R - \varphi$  wird ( $\angle XMY = 2\varphi$ ), wenn  $X$  und  $Y$  die Achsenschnittpunkte von  $k$  sind. Zieht man aus einem beliebig auf  $QR$  angenommenen Punkte  $M'$  den Strahl  $M'X'$  unter dem Winkel  $R - \varphi$  gegen  $a$  und beschreibt um  $M'$  einen Kreis  $k'$  durch  $X'$ ,



so ist  $R$  das Ähnlichkeitscentrum für die Kreise  $k$  und  $k'$ . Man findet daher  $M_1$  indem man  $RP_1$  mit  $k'$  in  $P_1'$  schneidet und  $P_1M \parallel P_1'M'$  zieht. Da  $RP_1$  den Kreis  $k'$  in zwei Punkten schneidet, so giebt es zwei Lösungen, in der Figur ist jedoch nur eine gezeichnet. Werden die gegebenen affinen Punkte durch die Achse von einander getrennt, wie  $P$  und  $P_2$ , so betrachte man statt des letzteren den symmetrisch zur Achse gelegenen Punkt  $P_1$ ; dann ist  $\angle XP_2Y = \angle XP_1Y$ .

14. Für jede Größe und Lage der Strecke  $PQ$  auf einer Geraden  $g$  hat, wenn  $P_1Q_1$  die entsprechende Strecke auf der affinen Geraden  $g_1$  ist, (nach 6) das Verhältnis:

$$\lambda = PQ : P_1Q_1$$

einen konstanten Wert, der sich auch nicht ändert, wenn  $g$  und damit zugleich  $g_1$  eine Parallelverschiebung erfährt. Zu jeder gegebenen Richtung (und der affinen) gehört also ein festes Streckenverhältnis  $\lambda$ . Dagegen entsprechen verschiedenen Richtungen verschiedene Werte  $\lambda$ ; dabei sind die Richtungen, welche durch die Schenkel der entsprechenden rechten Winkel gegeben sind, vor allen übrigen ausgezeichnet. Dreht sich eine Gerade  $g$  (mithin zugleich die affine  $g_1$ ) um einen ihrer Punkte, so nimmt das ihrer Richtung zugehörige Streckenverhältnis  $\lambda$  in jedem der von den affinen Rechtwinkelstrahlen gebildeten Quadranten entweder beständig zu oder beständig ab, erreicht für symmetrische Lagen zu jenen Strahlen gleiche

Werte und auf denselben ein Maximum resp. Minimum.

Es seien, um dies zu beweisen,  $\angle XPY$  und  $\angle XP_1Y$  affine rechte Winkel (Fig. 11), ferner  $U$  und  $V$  irgend zwei aufeinander folgende Lagen eines von  $X$  nach  $Y$  auf der Affinitätsachse fortschreitenden Punktes. Wir wählen nun die Strecke  $XY$  als Maßeinheit, setzen  $XU = k$ ,  $XV = l$ ,  $UY = m$ ,  $VY = n$  und bezeichnen mit  $x, u, v, y$  resp.

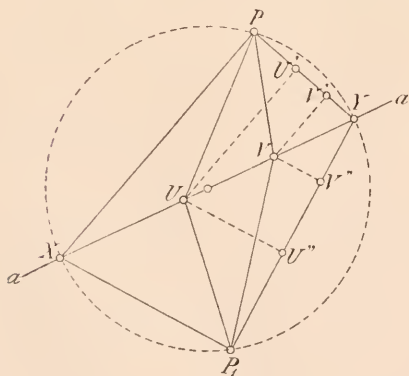


Fig. 11.

$x_1, u_1, v_1, y_1$  die von den Punkten  $X, U, V, Y$  einerseits und von  $P$  resp.  $P_1$  andererseits begrenzten affinen Strecken. Sind nun  $PUU'$ ,  $PVV'$ ,  $P_1UU'$ ,  $P_1VV'$  rechtwinklige Dreiecke, so folgen die Relationen:

$$\begin{aligned} u^2 &= m^2 x^2 + k^2 y^2, & v^2 &= n^2 x^2 + l^2 y^2, \\ u_1^2 &= m^2 x_1^2 + k^2 y_1^2, & v_1^2 &= n^2 x_1^2 + l^2 y_1^2; \end{aligned}$$

denn es ist:  $UP:XY = m$ ,  $UP:YP = UX:YX = k$ , u. s. f.

Es ist jetzt zu zeigen, daß unter der Voraussetzung:

$$\left(\frac{x}{x_1}\right)^2 > \left(\frac{y}{y_1}\right)^2$$

die Beziehung:

$$\left(\frac{u}{u_1}\right)^2 > \left(\frac{v}{v_1}\right)^2$$

besteht. Letzterer geben wir die neue Form:

$(m^2 x^2 + k^2 y^2)(n^2 x_1^2 + l^2 y_1^2) - (n^2 x^2 + l^2 y^2)(m^2 x_1^2 + k^2 y_1^2) > 0$ ,  
und diese reduziert sich auf die Ungleichung:

$$(l^2 m^2 - k^2 n^2)(x^2 y_1^2 - x_1^2 y^2) > 0,$$

welche mit der Voraussetzung zusammenfällt, da  $(l^2 m^2 - k^2 n^2)$  positiv ist.

### Die Ellipse als affine Kurve zum Kreise und ihre Konstruktion.

**15.** Jede zu einem Kreise affine und affin gelegene Kurve heißt Ellipse; so ist jede Parallelprojektion des Kreises eine Ellipse. Dem Mittelpunkt  $M$  des Kreises  $k$  (Fig. 12) entspricht der Mittelpunkt  $M_1$  der zum Kreise affinen Ellipse  $k_1$ . Jedem Kreisdurchmesser entspricht ein Durchmesser der Ellipse, der von ihrem Mittelpunkt  $M_1$  halbiert wird. Zwei schiefwinklige Durchmesser  $P_1 P_1'$ ,  $Q_1 Q_1'$  der Ellipse heißen konjugiert, wenn sie zu zwei rechtwinkligen Kreisdurchmessern  $PP$ ,  $QQ'$  affin sind. Von zwei konjugierten Durchmessern einer Ellipse halbiert jeder die

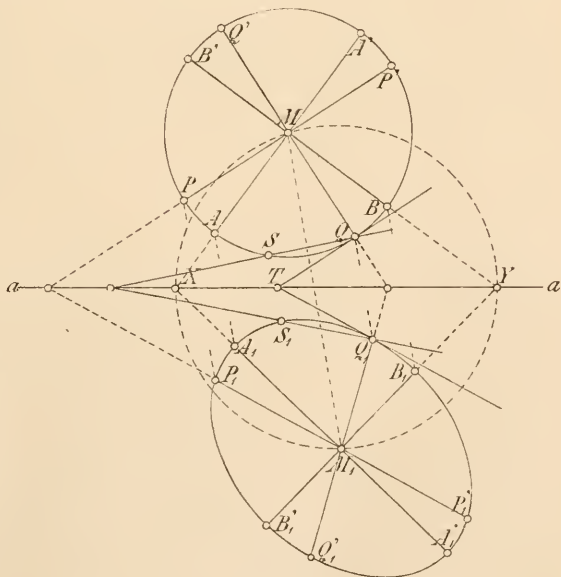


Fig. 12.

von zwei konjugierten Durchmessern einer Ellipse halbiert jeder die



punkt der Ellipse beliebig wählen kann. Umgekehrt kann jede Ellipse auf unendlich viele Weisen als affines Bild eines Kreises erhalten werden, indem auch hier die Wahl der Affinitätsachse noch völlig frei steht. Hierüber belehrt uns der Satz: Eine Ellipse  $k$  ist durch zwei konjugierte Durchmesser  $AA'$  und  $BB'$  völlig bestimmt. Es sei  $P$  ein beliebiger Punkt der Ellipse  $k$ ,  $Q$  ein Punkt auf  $AA'$  und  $PQ \parallel BB'$ ; ferner setzen wir zur Abkürzung  $MA = a$ ,  $MB = b$ ,  $MQ = x$  und  $QP = y$  (Fig. 13). Ein zur Ellipse affiner und affin gelegener Kreis sei  $k_1$ ; die zu  $A, A', B, B', M, P, Q$  affinen Punkte seien  $A_1, A'_1, B_1, B'_1, M_1, P_1, Q_1$ , während wir  $M_1A_1 = M_1B_1 = r_1$ ,  $M_1Q_1 = x_1$  und  $Q_1P_1 = y_1$  setzen. Mag nun die affine Beziehung zwischen Ellipse und Kreis beschaffen sein, wie sie wolle, immer gelten die Relationen:

$$\frac{x}{a} = \frac{x_1}{r_1}, \quad \frac{y}{b} = \frac{y_1}{r_1}.$$

Nun besteht für jeden Punkt des Kreises die Gleichung:  $x_1^2 + y_1^2 = r_1^2$ , also besteht für jeden Punkt der Ellipse die Gleichung:

$$\frac{x^2}{a^2} + \frac{y^2}{b^2} = 1.$$

Dabei bedeuten  $x$  und  $y$  die Längen der beiden zu den konjugierten Durchmessern parallelen Strecken, die einerseits von dem beliebigen Ellipsenpunkt und andererseits von diesen Durchmessern begrenzt werden. Durch Länge und Lage der konjugierten Durchmesser  $AA'$  und  $BB'$  ist hiernach die Gesamtheit der Ellipsenpunkte bestimmt.

**17.** Wir wollen jetzt zu der Ellipse  $k$  mit den konjugierten Durchmessern  $AA'$  und  $BB'$  den affin gelegenen Kreis  $k_1$  konstruieren, wenn die Affinitätsachse  $a$  beliebig gegeben ist. Die Tangenten in  $A$  und  $B$  mögen sich in  $I$  schneiden ( $IA \parallel BB'$ ,  $IB \parallel AA'$ ), dann muß dem Parallelogramm  $MAIB$  in der affinen Figur ein Quadrat  $M_1A_1I_1B_1$  entsprechen (Fig. 13)\*. Schneiden also die Geraden  $MA$ ,  $MB$  und  $MI$  die Affinitätsachse  $a$  in  $R$ ,  $S$  und  $T$ , so ist  $M_1$  derart zu bestimmen, daß  $\angle RM_1S = 90^\circ$  und  $\angle RM_1T = \angle TM_1S = 45^\circ$  wird. Zu dem Ende zeichne man über  $RS$  als Durchmesser einen Hilfskreis und wähle auf ihm den Punkt  $U$  in der Mitte des Halbkreisbogens  $RS$ ; dann schneidet  $UT$  den Hilfskreis in dem gesuchten Punkt  $M_1$  ( $\angle RM_1T = \angle TM_1S = 45^\circ$  als Peripheriewinkel über den Viertelkreisbogen  $RU$  und  $US$ ). In der That entspricht jetzt dem Parallelogramm  $MAIB$  in der affinen Figur ein Quadrat  $M_1A_1I_1B_1$ , wobei  $M_1$  der zu  $M$  affine Punkt ist,

und zu dem Kreise  $k_1$  mit dem Mittelpunkt  $M_1$  und dem Radius  $M_1A_1 = M_1B_1$  ist die Ellipse  $k$  mit den konjugierten Halbmessern  $MA$  und  $MB$  affin ( $IA \times I_1A_1$  und  $IB \times I_1B_1$  auf  $a$ ).

18. Will man eine Ellipse  $k$  aus zwei konjugierten Durchmessern konstruieren, so kann man einen zu ihr affinen und affin gelegenen Kreis  $k_1$  zeichnen und dann rückwärts zu einzelnen Punkten des Kreises die affinen Punkte der Ellipse suchen. Wie wir soeben sahen, ist dabei die Wahl der Affinitätsachse  $a$  noch freigestellt. Um die Konstruktion möglichst einfach zu gestalten, empfehlen sich besonders die folgenden beiden Verfahren.

Erstes Verfahren. Es seien (Fig. 14)  $O$  der Mittelpunkt,  $AA'$  und  $BB'$  die gegebenen konjugierten Durchmesser einer Ellipse  $k$ . Der über  $AA'$  als Durchmesser beschriebene Kreis  $k_1$  ist dann zu

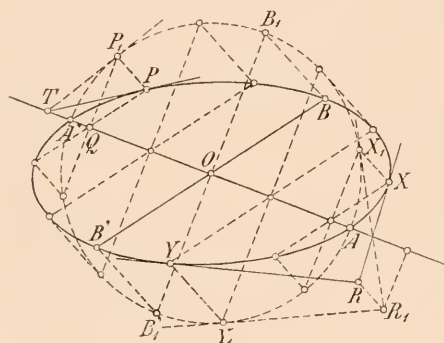


Fig. 14.

$k$  affin und  $AA'$  ist die Affinitätsachse. Dem Punkt  $B$  von  $k$  entspricht der affine Punkt  $B_1$  von  $k_1$ , wo  $OB_1 \perp OA$  ist, und  $BB_1$  ist ein Affinitätsstrahl. — Zu einem Punkte  $P_1$  von  $k_1$  ergibt sich der affine Ellipsenpunkt  $P$ , indem man  $P_1Q \perp AA'$  zieht und die Parallele zu  $OB$  aus  $Q$  mit der Parallelen zu  $B_1B$  aus  $P_1$  in  $P$  schneidet. — Trifft die Kreistangente in  $P_1$  die Affini-

tätsachse in  $T$ , so ist  $PT$  die Ellipsentangente in  $P$ . — Sollen aus einem Punkte  $R$  die Tangenten an die Ellipse gezogen werden, so suche man den affinen Punkt  $R_1$  und die Berührungspunkte  $X_1$  und  $Y_1$  der von ihm an den Kreis  $k_1$  gelegten Tangenten; dann sind die zu ihnen affinen Punkte  $X$  und  $Y$  die Berührungspunkte der gesuchten Ellipsentangenten. — Die Richtungen der Achsen der Ellipse und der zugehörigen rechtwinkligen Durchmesser des Kreises ergeben sich aus der Konstruktion entsprechender rechter Winkel an den affinen Punkten  $B$  und  $B_1$ , die Scheitel der Ellipse aus den Endpunkten der genannten Kreisdurchmesser.

19. Zweites Verfahren. Man ziehe durch den Endpunkt  $B$  des einen Durchmessers eine Parallele  $a$  zum konjugierten  $AA'$ , die zugleich Ellipsentangente sein wird (Fig. 15). Ein Kreis  $k_1$  vom Radius  $O_1A_1 = OA$ , welcher  $a$  ebenfalls in  $B$  berührt, ist dann zur Ellipse  $k$  affin gelegen. Dabei ist  $a$  die Affinitätsachse,  $O$  und  $O_1$



sind affine Punkte, und den beiden zu  $a$  parallelen und senkrechten Kreisdurchmessern  $A_1A_1'$  und  $BB_1'$  entsprechen die konjugierten Durchmesser  $AA'$  und  $BB'$  der gesuchten Ellipse. Die Konstruktion einzelner Ellipsenpunkte ist analog dem Vorigen. Die Achsen findet man hier direkt aus der Bestimmung der entsprechenden rechten Winkel  $\angle XOY$  und  $\angle XO_1Y'$  an den Mittelpunkten, hierauf aus den Endpunkten  $C_1$  und  $D_1$  der rechtwinkligen Kreisdurchmesser die Ellipsenscheitel  $C$  und  $D$ , u. s. f.

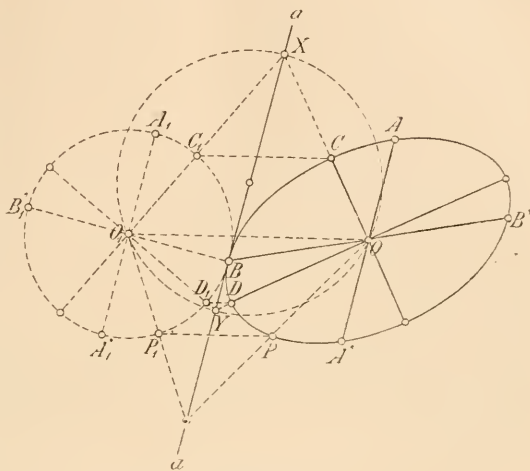


Fig. 15.

**20.** Konstruktion der Ellipse aus den Achsen. Es seien  $OA = a$  und  $OB = b$  (Fig. 16a) die gegebenen Halbachsen einer Ellipse  $k$ . Man schlage um  $O$  zwei Kreise  $k_1$  und  $k_2$  resp. vom Radius  $a$  und  $b$ . Jeder von ihnen kann als zur gesuchten Ellipse affin gelegen gelten. Bei der Affinität zwischen  $k_1$  und  $k$  ist  $OA$  die Achse und  $B_1$  und  $B$  sind entsprechende Punkte ( $B_1B \perp OA$ ); bei der Affinität zwischen  $k_2$  und  $k$  ist  $OB$  die Achse und  $A_2$  und  $A$  sind entsprechende Punkte. — Zu einem Punkte  $P_1$  auf  $k_1$  ergibt sich der affine Ellipsenpunkt  $P$  auf  $k$ , indem man  $P_1S \perp OA$  zieht, mittels der Beziehung

$$PS : P_1S = BO : B_1O = P_2O : P_1O;$$

man schneide also  $P_1O$  mit  $k_2$  in  $P_2$  und ziehe  $P_2P \parallel OA$ .  $P$  ist zugleich der affine Punkt zu  $P_2$  auf  $k_2$ . Zwei rechtwinklige Kreisradien  $OP_1$  und  $OQ_1$  liefern zwei konjugierte Halbmesser  $OP$  und

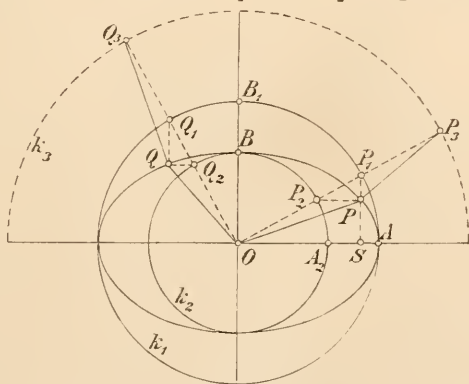


Fig. 16a.

$OQ$  der Ellipse. Die Tangenten in  $P$  und  $Q$  sind zu  $OQ$  und  $OP$  resp. parallel.

Zieht man um  $O$  einen Kreis  $k_3$  mit dem Radius  $(a + b)$  und schneidet dieser die Strahlen  $OP_1$  und  $OQ_1$  in  $P_3$  und  $Q_3$  resp., so sind  $PP_3$  und  $QQ_3$  Ellipsennormalen, d. h. sie stehen in  $P$  und  $Q$  auf den bezüglichen Tangenten senkrecht. Denn es ist  $\triangle P_1PP_2 \cong \triangle Q_3QQ_1$ , ( $P_1P_2 = Q_1Q_2$ ,  $\angle QQ_1Q_2 = \angle PP_2P_1$ , etc.); ferner ist  $\triangle Q_3QQ_1 \cong \triangle OPP_2$  ( $Q_3Q_1 = OP_2$ ,  $QQ_1 = PP_2$ ,  $\angle Q_3Q_1Q = \angle OP_2P$ ). Demnach ist  $Q_3Q = OP$  und  $Q_3Q \perp OP$  (da  $Q_3O \perp OP_1$  ist). Jeder Strahl durch  $O$  liefert einen Punkt  $P$  der Ellipse als Schnittpunkt zweier Geraden, von denen die erste durch  $P_2$  parallel zu  $OA$  und die zweite durch  $P_1$  parallel zu  $OB$  gezogen ist. Die Gerade  $PP_3$  ist eine Normale der Ellipse und gleich dem zu  $OP$  konjugierten Halbmesser  $OQ$ . Die Punkte  $P_2$ ,  $P_1$  und  $P_3$  auf dem durch  $O$  gezogenen Strahl haben die bezüglichen Abstände  $b$ ,  $a$  und  $(a + b)$  von  $O$ .

21. Das eingeschlagene Verfahren ergibt auch die Lösung der Aufgabe: Zu einem nur der Richtung nach gegebenen Halbmesser der Ellipse den Endpunkt und den konjugierten Halbmesser zu finden. Ein in der gegebenen Richtung aus  $O$

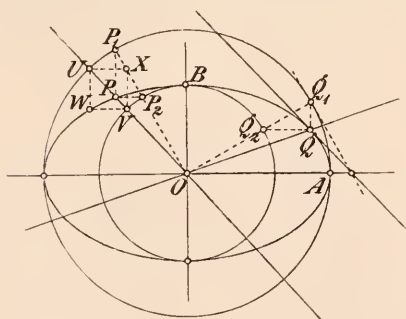


Fig. 16b.

gezogener Strahl schneide die Kreise  $k_1$  und  $k_2$  resp. in den Punkten  $U$  und  $V$  (Fig. 16 b); aus diesen konstruiere man wie vorher den Punkt  $W$  der Ellipse. Zieht man ferner durch  $U$  und  $V$  Parallelen zu  $OA$  und  $OB$ , die sich in  $X$  schneiden mögen, und legt man die Affinität zwischen  $k_1$  und der Ellipse  $k$  zu Grunde, so entspricht dem Punkt  $U$  der Punkt  $W$ , der Ge-

raden  $UX$  die Gerade  $WF$ , dem Punkte  $X$  der Punkt  $F$  und folglich dem Strahl  $OX$  der Strahl  $OF$ . Insbesondere entspricht dem Punkte  $P_1$  von  $k_1$  der Punkt  $P$  von  $k$  ( $P_1P \parallel OB$ ,  $P_2P \parallel OA$ ), und der zu  $OX$  rechtwinklige Strahl  $OQ_2Q_1$  liefert den Endpunkt  $Q$  des zu  $OP$  konjugierten Halbmessers  $OQ$ .

22. Konstruktion der Achsen einer Ellipse aus konjugierten Durchmessern. Irgend zwei konjugierte Halbmesser  $OC$  und  $OD$  einer Ellipse (Fig. 17) werden aus rechtwinkligen Halb-

messern  $OC_1$ ,  $OD_1$  resp.  $OC_2$ ,  $OD_2$  des um- und eingeschriebenen Kreises (vom Radius  $a$  und  $b$ ) erhalten, indem man  $CC_1$  und  $DD_1$  parallel zur Halbachse  $OB$  und  $CC_2$  und  $DD_2$  parallel zur Halbachse  $OA$  zieht.

Wird das rechtwinklige Dreieck  $DD_1D_2$  um das Centrum  $O$  durch den  $\angle D_1OC_1 = R$  gedreht, so erhält es die Lage  $EC_1C_2$ , in der seine Katheten wiederum den Achsen parallel liegen. Nun ist  $M = EC \times C_1C_2$  der Mittelpunkt des Rechteckes  $CC_1EC_2$ , also  $MC = MC_1 = MC_2 = ME$ . Deshalb schneidet  $EC$  die Achsen  $OA$  und  $OB$  resp. in  $A'$  und  $B'$ , so daß:  $MO = MA'$

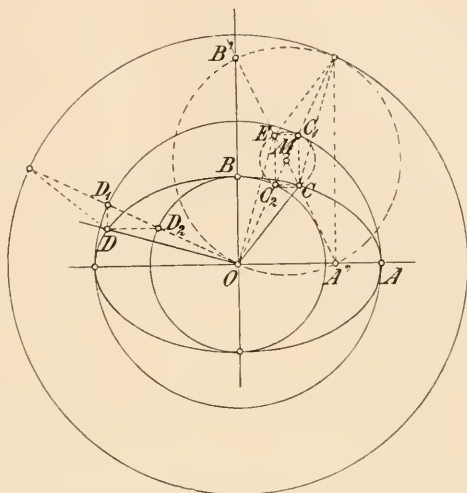


Fig. 17.

=  $MB'$  wird, d. h. ein um  $M$  mit dem Radius  $MO$  beschriebener Kreis schneidet die Gerade  $CE$  in Punkten  $A'$  und  $B'$  der Achsen. Überdies folgt:

$$\begin{aligned}
 OC_1 &= EA' = CB' = a, \\
 OC_2 &= CA' = EB' = b.
 \end{aligned}$$

Sind umgekehrt  $OC$  und  $OD$  als konjugierte Halbmesser gegeben, so ergibt sich folgende einfache Konstruktion der Achsen. Man ziehe  $OE \perp$  und  $= OD$ , halbiere  $EC$  in  $M$  und schneide  $CE$  mit einem Kreise vom Radius  $MO$  in  $A'$  und  $B'$ . Dann sind  $OA'$  und  $OB'$  die Achsen der Lage nach und  $A'E = B'C$  resp.  $A'C = B'E$  die bezüglichen Längen der Halbachsen.

**23.** Läßt man  $C$  die Ellipse durchlaufen, so geschieht dies auch mit dem Endpunkt  $D$  des zu  $OC$  konjugierten Halbmessers  $OD$ . Man erhält dann durch die vorige Konstruktion andere und andere Punkte  $A'$  und  $B'$  auf den Achsen; immer aber ist  $B'C = a$   $A'C = b$ , also die Strecke  $A'B'$  von der konstanten Länge  $(a + b)$ . Hieraus folgt der Satz: Gleitet eine Strecke  $A'B'$  mit ihren Endpunkten auf zwei rechtwinkligen Geraden, so beschreibt ein Punkt  $C$ , der sie in die Teile  $a$  und  $b$  zerlegt, eine Ellipse mit den Halbachsen  $a$  und  $b$ . Dieser Satz kann bequem zur Konstruktion von Ellipsenpunkten verwendet werden.

Zieht man in Fig. 17 durch  $C$  eine Parallele zu  $OC_1$  und schneidet diese die Achsen  $OA$  und  $OB$  in  $A''$  und  $B''$ , so ist  $OA'' = EC_1$ ,  $OB'' = EC_2$ ,  $CA'' = b$ ,  $CB'' = a$ ,  $B'A'' = C_2C_1 = (a - b)$ . Hieraus folgt der weitere Satz: Gleitet eine Strecke  $A''B''$  mit ihren Endpunkten auf zwei rechtwinkligen Geraden, so beschreibt ein Punkt  $C$  auf ihrer Verlängerung, dessen Abstände von ihren Endpunkten gleich  $a$  und  $b$  sind, eine Ellipse mit den Halbachsen  $a$  und  $b$ . Jede Ellipse kann also in doppelter Weise durch Bewegung erzeugt werden, indem man entweder eine Strecke von der Länge  $(a + b)$  oder eine von der Länge  $(a - b)$  mit ihren Endpunkten auf den Achsen der Ellipse gleiten läßt. Im ersten Falle ist es ein Punkt der Strecke selbst, im letzteren ein Punkt auf ihrer Verlängerung, der die Ellipse erzeugt.

**24.** Konstruktion der Ellipse  $k$  aus fünf gegebenen Punkten  $A, B, C, D, E$  derselben. Wählen wir die Gerade

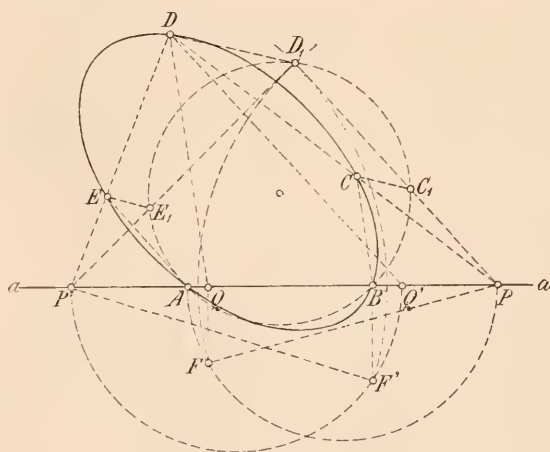


Fig. 18.

$AB = a$  zur Affinitätsachse, so muß nach 17 ein zur Ellipse  $k$  affiner Kreis  $k_1$  existieren, falls es möglich sein soll durch die fünf beliebig gegebenen Punkte eine Ellipse zu legen. Bezeichnen wir nun (Fig. 18) mit  $C_1, D_1, E_1$  die affinen Punkte zu  $C, D, E$ , so müssen die Punkte  $P' = DE \times D_1E_1$  und  $P = DC \times D_1C_1$  auf  $a$  liegen,

ferner  $DD_1 \parallel EE_1 \parallel CC_1$  sein und endlich müssen die fünf Punkte  $A, B, C_1, D_1, E_1$  einem Kreise  $k_1$  angehören. Das liefert die Relationen:

$$P'D : P'E = P'D_1 : P'E_1 \quad \text{und} \quad P'A \cdot P'B = P'D_1 \cdot P'E_1,$$

ferner:

$$PD : PC = PD_1 : PC_1 \quad \text{und} \quad PA \cdot PB = PD_1 \cdot PC_1.$$

Aus den ersteren folgt:

$$(P'D_1)^2 = \frac{P'A \cdot P'B \cdot P'D}{P'E}$$

und aus den letzteren:

$$(PD_1)^2 = \frac{PA \cdot PB \cdot PD}{PC}.$$

Da auf der rechten Seite dieser Gleichungen nur bekannte Punkte vorkommen, so lassen sich die Werte  $P'D_1$  und  $PD_1$  wie folgt konstruieren. Man bestimme  $Q'$  auf  $a$ , so daß  $DQ' \parallel EA$  wird, dann ist:  $P'Q' = P'A \cdot P'D : P'E$ . Damit geht die erste Gleichung in  $(P'D_1)^2 = P'Q' \cdot P'B$  über, d. h.  $P'D_1$  ist gleich der Kathete  $P'F'$  eines rechtwinkligen Dreieckes mit der Hypotenuse  $P'Q'$ , dessen Höhe in  $B$  errichtet ist. Ebenso bestimme man  $Q$  auf  $a$ , so daß  $DQ \parallel CB$  wird; dann ist  $PD_1$  gleich der Kathete  $PF$  eines rechtwinkligen Dreieckes mit der Hypotenuse  $PA$ , dessen Höhe in  $Q$  errichtet ist. Damit ist aber  $D_1$  als Schnittpunkt zweier Kreise gefunden. Legt man jetzt einen Kreis  $k_1$  durch  $A$ ,  $B$  und  $D_1$ , so schneidet er  $D_1P'$  und  $D_1P$  noch in den Punkten  $E_1$  und  $C_1$ , und es ist gemäß unserer Konstruktion  $EE_1 \parallel DD_1 \parallel CC_1$ . Der Kreis  $k_1$  ist demnach wirklich zu der gesuchten Ellipse affin, und man konstruiert ihre Punkte vermöge dieser Affinität, wobei  $a$  die Achse und  $D$  und  $D_1$  entsprechende Punkte sind.

Man erkennt aus der Figur, daß nicht jede fünf willkürlich gegebenen Punkte auf einer Ellipse liegen, da die Kreise mit den Mittelpunkten  $P'$  resp.  $P$  und den Radien  $P'F'$  resp.  $PF$  sich nicht immer schneiden. Die vollständige Erklärung hierfür wird sich erst an späterer Stelle im fünften Kapitel ergeben.

## ZWEITES KAPITEL.

Darstellung der Punkte, Geraden und Ebenen in orthogonaler Projektion. Bestimmung der einfachen Beziehungen dieser Grundgebilde zu einander.

### Das Verfahren der orthogonalen Parallelprojektion.

**25.** Werden durch alle Punkte einer räumlichen Figur senkrecht zu einer gegebenen Ebene  $\Pi_1$  projizierende Strahlen gezogen, so erzeugen deren Schnitt- oder Spurpunkte in  $\Pi_1$  ein ebenes Bild der Raumfigur, welches als eine orthogonale Projektion be-



zeichnet wird. Jeder Punkt  $P$  des Raumes hat einen bestimmten Punkt  $P'$  in  $\Pi_1$  zu seiner Orthogonalprojektion; dagegen bildet der Punkt  $P'$  gleichzeitig die Projektion aller Punkte der durch ihn zu  $\Pi_1$  gelegten Senkrechten. Ein Raumpunkt  $P$  ist somit durch seine Projektion  $P'$  noch nicht bestimmt, vielmehr gehört hierzu ein weiteres Bestimmungsstück, etwa die Strecke  $PP'$ , d. h. der senkrechte Abstand des Punktes  $P$  von der Projektionsebene  $\Pi_1$ . Dabei ist diesem Abstand zur Unterscheidung der beiden Richtungen, nach denen er von  $P'$  aus aufgetragen werden kann, ein bestimmtes Vorzeichen beizulegen.

Auf die zuletzt angeführte Bestimmungsweise kommt seinem Wesen nach das gebräuchlichste Darstellungsverfahren<sup>2)</sup> zurück, das unter Voraussetzung zweier zu einander rechtwinkliger Projektionsebenen  $\Pi_1$  und  $\Pi_2$  jeden Punkt durch seine beiden Orthogonalprojektionen  $P'$  und  $P''$  auf  $\Pi_1$  und  $\Pi_2$  bestimmt.

**26.** Um die Vorstellung zu fixieren, nimmt man die erste Projektionsebene  $\Pi_1$  horizontal, mithin die zweite Projektionsebene  $\Pi_2$  vertikal an und bezeichnet  $P'$  als Grundriß, erste oder Horizontalprojektion,  $P''$  als Aufriß, zweite oder Vertikalprojektion. Ferner nennt man  $\Pi_1$  die Grundriß- oder Horizontalebene,  $\Pi_2$  die Aufriß- oder Vertikalebene und  $x = \Pi_1 \times \Pi_2$  die Achse der Projektion. Von den Ebenen  $\Pi_1$  und  $\Pi_2$  werden natürlich nur begrenzte Teile als Projektionstafeln

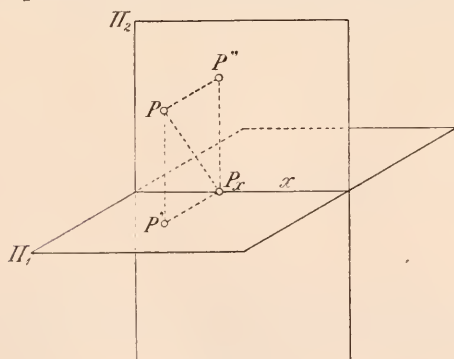


Fig. 19.

thatsächlich benutzt; sie sind aber an sich als unbegrenzt vorzustellen. Der ganze Raum wird durch die Projektionsebenen in vier Fächer oder Quadranten, jede Projektionsebene durch die Achse in zwei Halbebenen zerlegt. Zur Orientierung dienen Benennungen, die, ebenso wie die schon angeführten, für einen auf der Grundrißebene stehenden und der Aufriß-

ebene zugewandten Beschauer zutreffen. Man sagt nämlich von einem Punkte, er liege über, auf oder unter der Grundrißebene und zugleich vor, auf oder hinter der Aufrißebene. Die auf den projizierenden Strahlen gemessenen Strecken

$$PP' = (P \dashv \Pi_1), \quad PP'' = (P \dashv \Pi_2)$$

heißen erster und zweiter Tafelabstand des Punktes  $P$ ; für beide wird das Vorzeichen in dem vorderen oberen Fache positiv angenommen; es wechselt beim Durchgang von  $P$  durch die betreffende Projektionsebene. Die Ebene  $PP'P''$  der beiden projizierenden Strahlen steht zu beiden Projektionsebenen und folglich auch zur Achse  $x$  senkrecht. Ist also (Fig. 19)  $P_x = PP'P'' \times x$ , so sind  $PP_x$ ,  $P'P_x$  und  $P''P_x \perp x$  und  $PP'P_xP''$  ist ein Rechteck.

27. Hieraus erkennt man:

- a) Die, von den beiden Projektionen eines Punktes (und von diesem selbst) auf die Achse gefälltten Lote haben denselben Fußpunkt  $P_x$ .
- β) Der erste (zweite) Tafelabstand eines Punktes stimmt nach Größe und Vorzeichen mit dem Abstände seiner zweiten (ersten) Projection von der Achse überein. Liegt insbesondere der Punkt  $P$  auf einer Projektionsebene, so fällt die bezügliche Projection mit ihm zusammen, die andere auf die Achse. Ein Punkt der Achse endlich liegt mit seinen beiden Projektionen vereinigt.

Aus den beiden in  $\Pi_1$  und  $\Pi_2$  verzeichneten Projektionen eines Punktes, welche die Bedingung a) erfüllen müssen, sonst aber beliebig angenommen werden können, wird dieser selbst nach β) eindeutig bestimmt und zwar am einfachsten als Schnittpunkt der in  $P'$  auf  $\Pi_1$  und in  $P''$  auf  $\Pi_2$  errichteten Senkrechten. — Aus der Darstellung eines Punktes ergeben sich aber die der Geraden und Ebenen, sowie überhaupt der zusammengesetzten Raumgebilde.

28. Die Projektion einer Linie wird als Gesamtheit der Projektion ihrer Punkte erhalten. Die ersten Projektionen aller Punkte einer Geraden  $g$  ergeben deren Grundriß, erste oder Horizontalprojektion  $g'$ , ebenso die zweiten Projektionen den Aufriß, die zweite oder Vertikalprojektion  $g''$ . Die projizierenden Strahlen sämtlicher Punkte von  $g$  bilden resp. eine erste oder zweite projizierende Ebene. Die Projektionen der Geraden sind also die Schnittlinien (Spuren) ihrer projizierenden Ebenen in  $\Pi_1$  und  $\Pi_2$ , mithin selbst gerade Linien. Eine Ausnahme tritt nur für den besonderen Fall ein, daß die Gerade  $g$  zu einer Projektionsebene senkrecht ist; es existiert dann keine zugehörige projizierende Ebene mehr; die betreffende Projektion wird ein Punkt, während die andere Projektion eine zur Achse senkrechte Gerade bildet.

**29.** Nach Annahme einer Geraden  $g$  ist ihre Orthogonalprojektion  $g'$  auf eine gegebene Ebene als Spur der projizierenden Ebene bestimmt; dagegen ist  $g$  durch eine Projektion noch nicht bestimmt. Die beiden Projektionen  $g'$  und  $g''$  auf  $\Pi_1$  und  $\Pi_2$ , die wir willkürlich annehmen dürfen, definieren jedoch eine Raumgerade  $g$ , und zwar ist sie die Schnittlinie der beiden durch  $g'$  resp.  $g''$  senkrecht zu  $\Pi_1$  resp.  $\Pi_2$  gelegten Ebenen. Ausgenommen hiervon ist der Fall, wo eine der projizierenden Ebenen auf der Achse senkrecht steht; dann fällt die andere projizierende Ebene mit ihr zusammen, und die Projektionen  $g'$  und  $g''$  stehen in dem nämlichen Punkt der Achse auf dieser senkrecht. Ist demnach  $g'$  zur Achse normal, so ist auch  $g''$  in dem gleichen Punkt zur Achse normal; zur vollständigen Bestimmung der Raumgeraden  $g$  sind hier noch weitere Angaben erforderlich.

**30.** Die Darstellung einer Geraden  $g$  kann immer auf die zweier auf ihr liegender Punkte  $P$  und  $Q$  zurückgeführt werden, durch deren Projektionen dann die der Geraden  $g$  hindurchgehen,

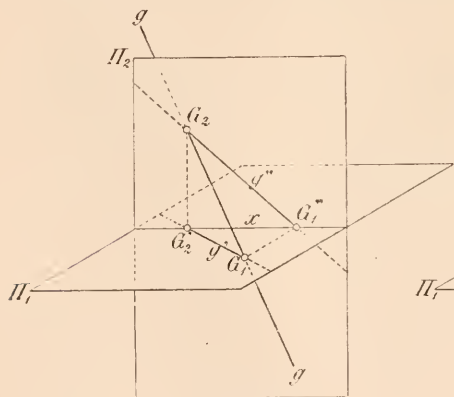


Fig. 20.

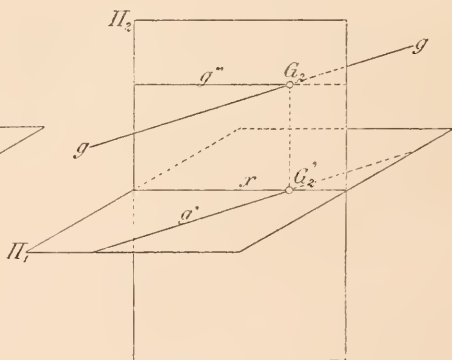


Fig. 21.

also  $g' = P'Q'$ ,  $g'' = P''Q''$ . Unter allen Punkten einer Geraden haben aber ihre Schnittpunkte mit den Projektionsebenen, nämlich  $G_1 = g \times \Pi_1$  und  $G_2 = g \times \Pi_2$ , eine besondere Bedeutung. Sie heißen erster und zweiter Spur- oder Durchstoßpunkt der Geraden. Jeder Spurpunkt fällt mit seiner gleichnamigen Projektion zusammen, während seine andere Projektion auf der Achse liegt (Fig. 20). — Ist  $g$  einer Tafel Ebene parallel, so liegt in dieser ihr Spurpunkt unendlich fern, die Projektion auf die andere Tafel Ebene wird zur Achse parallel. Z. B. folgt aus  $g \parallel \Pi_1$ , daß  $g' \parallel g$  und  $g'' \parallel x$  ist (Fig. 21).

Ist  $g$  zur Achse parallel, so sind es auch  $g'$  und  $g''$ ;  $G_1$  und  $G_2$  liegen dann beide unendlich fern.

Sind umgekehrt die Projektionen  $g'$  und  $g''$  der Geraden  $g$  gegeben, so findet man ihre Spurpunkte aus der Bemerkung, daß der Aufriß von  $G_1$  mit dem Punkt  $g'' \times x$  und der Grundriß von  $G_2$  mit dem Punkt  $g' \times x$  identisch ist.

**31.** Die Projektion einer (unbegrenzten) Ebene  $E$  überdeckt im allgemeinen die betreffende Projektionsebene in ihrer ganzen Ausdehnung und eignet sich daher nicht zur Bestimmung von  $E$ . Ausgenommen ist der Fall, wo  $E$  auf der Projektionsebene senkrecht steht; die Orthogonalprojektion der Ebene reduziert sich dann auf eine Gerade und genügt zu ihrer Bestimmung. Im allgemeinen Falle dagegen kann zur Darstellung der Ebene entweder die Angabe dreier Punkte oder zweier Geraden derselben durch ihre Grund- und Aufrisse dienen. Am gebräuchlichsten ist es, die Ebene  $E$  durch die beiden Geraden

$$e_1 = E \times \Pi_1 \text{ und } e_2 = E \times \Pi_2$$

darzustellen, die man als ihre erste oder Horizontalspur und ihre zweite oder Vertikalspur bezeichnet (Fig. 22). Die Spuren treffen sich im Achsenschnittpunkte  $E_x = E \times x$  und bestimmen  $E$  direkt als Verbindungsebene

$e_1 e_2$ . Ist  $E$  zur Achse pa-

rallel, so sind es auch ihre

Spuren  $e_1$  und  $e_2$  und  $E_x$  ist

unendlich fern. Ist  $E$  einer

Projektionsebene parallel, so

liegt in dieser ihre Spur un-

endlich fern, in der anderen

parallel zur Achse. Ist  $E$

zu einer Tafelebene normal,

so steht in der anderen ihre

Spur zur Achse senkrecht.

Enthält  $E$  die Achse, so fallen

beide Spuren  $e_1$  und  $e_2$  mit dieser zusammen; zur Bestimmung der Ebene bedarf es dann noch der Angabe eines auf ihr liegenden Punktes außerhalb der Achse.

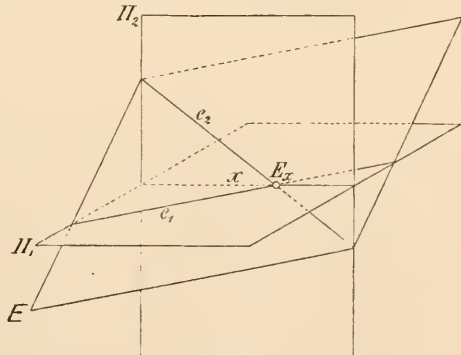


Fig. 22.

**32.** Die oben erwähnten speziellen Lagen einer Geraden oder einer Ebene, für die es nötig wird, von der gebräuchlichen Darstellung mittels Projektionen, bez. Spuren in  $\Pi_1$  und  $\Pi_2$  abzuweichen, weil diese zur Bestimmung nicht genügen, können als Beispiele dafür angeführt werden, daß es unter Umständen sich empfiehlt

eine dritte Projektionsebene  $\Pi_3$  einzuführen. Man legt dieselbe zumeist gegen  $\Pi_1$  und  $\Pi_2$ , also auch gegen die  $x$ -Achse senkrecht und bezeichnet sie als Seitenrißebene (Kreuzriß). Die Geraden  $y = \Pi_1 \times \Pi_3$  und  $z = \Pi_2 \times \Pi_3$  bezeichnen wir auch als horizontale und vertikale Nebenachse. Der Punkt  $O = \Pi_1 \times \Pi_2 \times \Pi_3$ , in dem

sich die drei Achsen rechtwinklig schneiden, heißt Ursprung. Von  $O$  aus werden auf jeder Achse die Strecken nach der einen Seite positiv, nach der anderen negativ gerechnet und zwar auf  $x$  nach rechts, auf  $y$  nach vorn, auf  $z$  nach oben in positivem Sinn.

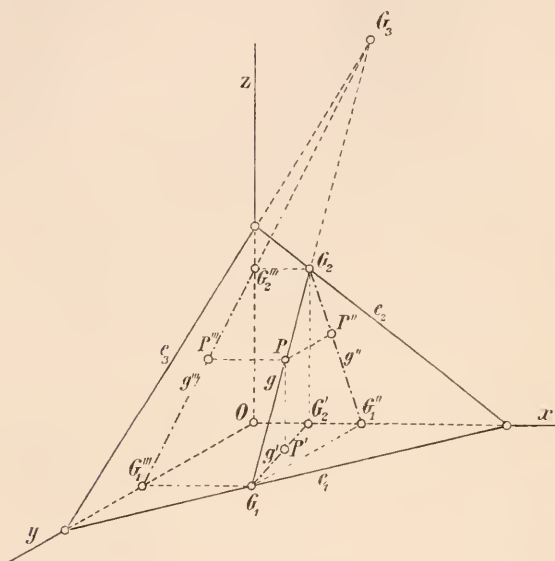


Fig. 23.

33. Zu den bisherigen Darstellungselementen eines jeden Grundgebildes kommt nach Einführung

von  $\Pi_3$  noch je ein drittes Element neu hinzu: für den Punkt  $P$  die dritte Projektion oder der Seitenriß  $P'''$ , sowie der dritte Abstand  $PP'''$  (welcher auf der rechten Seite von  $\Pi_3$  positiv gerechnet wird), für eine Gerade  $g$  der Seitenriß  $g'''$  und der dritte Spurlpunkt  $G_3 = g \times \Pi_3$ , für eine Ebene  $E$  endlich die dritte Spurlinie  $e_3 = E \times \Pi_3$  (Fig. 23).

34. Die drei Ebenen  $\Pi_1, \Pi_2, \Pi_3$  teilen den Raum in acht räumliche Ecken, sie selbst werden durch die Achsen  $x, y, z$  in je vier ebene Felder zerlegt. Zur Unterscheidung der möglichen Lagen eines Punktes hinsichtlich der acht Ecken dienen die Vorzeichen der drei Tafelabstände. Die Maßzahlen dieser Abstände bilden die rechtwinkligen Punktkoordinaten in der analytischen Geometrie des Raumes.

35. Es ist unmittelbar ersichtlich, daß in diesem Dreitafelsystem die Darstellung einer Geraden durch ihre Projektionen oder die einer Ebene durch ihre Spuren auch in den oben erwähnten Spezialfällen keine Unbestimmtheit mehr übrig läßt. Eine zur



Achse  $x$  senkrecht gerichtete, schneidende oder nicht schneidende (windschiefe) Gerade  $g$ , die durch ihre ersten beiden Projektionen  $g'$  und  $g''$  nicht bestimmbar ist, wird durch eine derselben in Verbindung mit der dritten (zu ihr selbst parallelen) Projektion  $g'''$  völlig bestimmt (Fig. 24). Eine die Achse  $x$  enthaltende Ebene  $E$  wird durch diese in Verbindung mit der dritten (durch den Ursprung gehenden) Spur  $e_3$  bestimmt (Fig. 25).

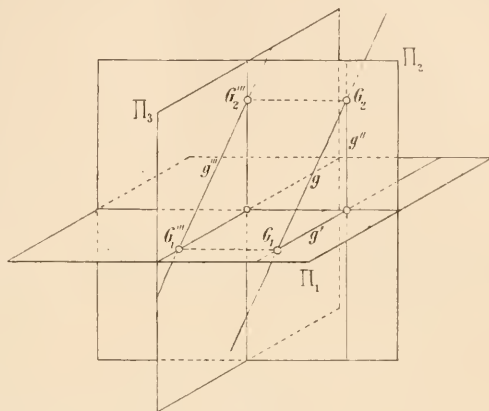


Fig. 24.

36. Im übrigen ist die Einführung einer dritten Projektionsebene (welche zudem den jeweiligen Bedingungen der Aufgabe entsprechend noch in anderer Weise gewählt werden kann) als eine der Hilfsmethoden zu betrachten, die wir in der Folge noch weiter zu entwickeln haben werden. Den Hauptbestandteil der Methode der Orthogonalprojektion bildet die Benutzung des rechtwinkligen Zweitafel systems oder das Grund- und Aufrißverfahren.

37. Die in der Horizontal- und Vertikalebene konstruierten Projektionen einer Raumfigur sollen jetzt in einer und derselben Zeichnungsebene zur Darstellung gebracht werden. Zu diesem Zwecke wählt man etwa die Aufrißebene als Zeichnungsebene und denkt sich nach Ausführung der Projektionen die Horizontalebene durch Drehung um die Achse  $x$  mit der ersteren derart vereinigt, daß der vordere Teil der Grundrißebene (den wir als  $+\Pi_1$  bezeichnen wollen) in den unteren Teil der Aufrißebene ( $-\Pi_2$ ), folglich zugleich der hintere

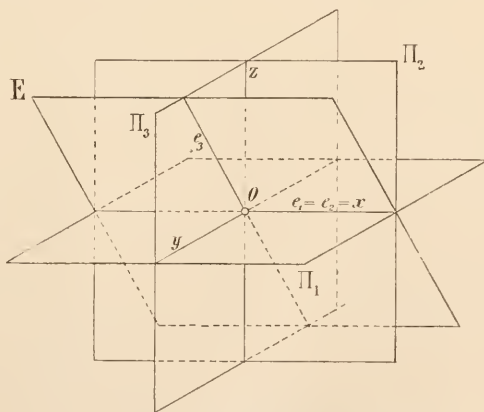


Fig. 25.

Teil der Grundrißebene ( $-\Pi_1$ ) in den oberen Teil der Aufrißebene ( $+\Pi_2$ ) zu liegen kommt (Fig. 26).

Ist eine Seitenrißebene  $\Pi_3$  zur Anwendung gekommen, so denkt man sich auch diese mit  $\Pi_2$  vereinigt und zwar durch eine solche Drehung um die Achse  $z$ , daß die vordere Halbebene  $\Pi_3$  die linke Halbebene  $\Pi_1$  deckt. In Fig. 27a und 27b sind diejenigen Quadranten der drei Projektionsebenen, welche den oben, vorn und rechts gelegenen Raumoktanten begrenzen (in dem alle drei Tafelabstände eines Punktes  $P$  positiv sind), vor und nach ihrer Umlegung in die Bildebene dargestellt.

Durch die getroffenen (an sich willkürlichen) Festsetzungen über die Anordnung der verschiedenen Projektionen einer Figur in der Zeichnungsebene ist umgekehrt der Übergang von diesen zu ihrer Konstruktion im Raume eindeutig festgelegt.

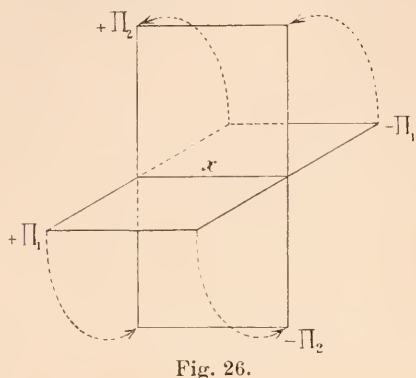
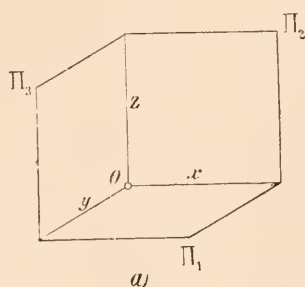
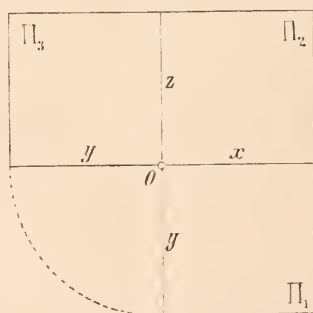


Fig. 26.



a)



b)

Fig. 27.

38. Zur leichteren Orientierung in den Figuren dient außer der Bezeichnung ihrer Punkte, Linien und Flächen durch Buchstaben die folgende Regel für das Zeichnen der Linien. In jeder Figur sind hauptsächliche und nebensächliche Linien zu unterscheiden; zu der ersteren gehören die bei der Problemstellung gegebenen und gesuchten Linien, sowie die Achse der Projektion, zu den letzteren die nur Konstruktionszwecken dienenden

Hilfslinien. Die Projektion einer jeden Hauptlinie wird voll ausgezogen, soweit letztere selbst im vorderen, oberen Raumquadranten liegt und sichtbar ist; anderenfalls wird sie punktiert. Nebenlinien werden — ob sichtbar oder unsichtbar — gestrichelt oder strichpunktiert. Für die Beurteilung der Sichtbarkeit ist zu bemerken, daß alle vorkommenden Flächen, ebenso wie die Projektionstafeln als undurchsichtig gelten, sowie daß die Sehrichtung den projizierenden Strahlen in ihrer ursprünglichen Lage folgt und zwar für  $\Pi_1$  von oben nach unten, für  $\Pi_2$  von vorn nach hinten.

Bei der Abbildung allseitig begrenzter Objekte denkt man sich diese zweckmäßig ganz in dem oberen, vorderen Raumquadranten gelegen, wodurch die Darstellung an Übersichtlichkeit gewinnt.

### Darstellung der Grundgebilde: Punkt, Gerade, Ebene in verschiedenen Lagen.

Wir nehmen die oben geforderte Umlegung der einen Projektionsebene in die andere als vollzogen an und betrachten alle möglichen Lagen von Punkten, Geraden und Ebenen gegen das ursprüngliche System und die entsprechende Anordnung ihrer Projektionen resp. Spuren in der Zeichnungsebene.

**39. Der Punkt.** Die Projektionen  $P'$  und  $P''$  eines Punktes  $P$  liegen in einer zur Achse senkrechten Geraden (Fig. 28). Umgekehrt bilden je zwei Punkte  $P'$  und  $P''$ , deren Verbindungslinie zur Achse senkrecht ist, die beiden Projektionen eines Raumpunktes  $P$ . Aus einer derselben wird  $P$  mittels seines senkrechten Abstandes von der betreffenden Tafel konstruiert. Der Punkt  $P$  liegt senkrecht über  $P'$  im Abstand  $PP' = P''P_x$ , oder senkrecht vor  $P''$  im Abstand  $PP'' = P'P_x$ .

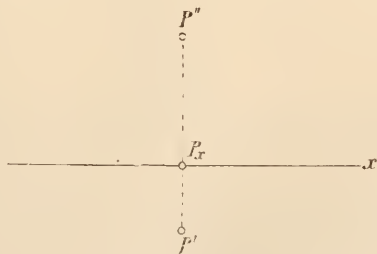


Fig. 28.

$P$  liegt über, auf oder unter  $\Pi_1$ , je nachdem  $P''$  oberhalb, auf oder unterhalb der Achse liegt, und befindet sich zugleich vor, auf oder hinter  $\Pi_2$ , je nachdem  $P'$  unterhalb, auf oder oberhalb der Achse liegt. Die so unterschiedenen Lagen eines Punktes sind in Fig. 29 dargestellt. Die Punkte  $P_1$ ,  $P_3$ ,  $P_7$ ,  $P_9$  gehören resp. dem oben vorn, unten vorn, oben hinten,

unten hinten liegenden Raumquadranten, die Punkte  $P_2, P_4, P_6, P_8$  resp. der Halbebene  $+\Pi_1, +\Pi_2, -\Pi_2, -\Pi_1$ , endlich  $P_5$  der Achse  $x$  an.

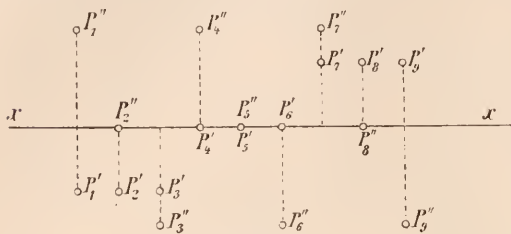


Fig. 29.

Fußpunkte  $P_y$  und  $P_z$  der von  $P'''$  auf die Nebenachsen  $y$  und  $z$  gefällten Perpendikel ab (Fig. 30). Mit Rücksicht auf den in jeder Achse festgesetzten Sinn der von  $O$  ausgehenden Strecken stimmen

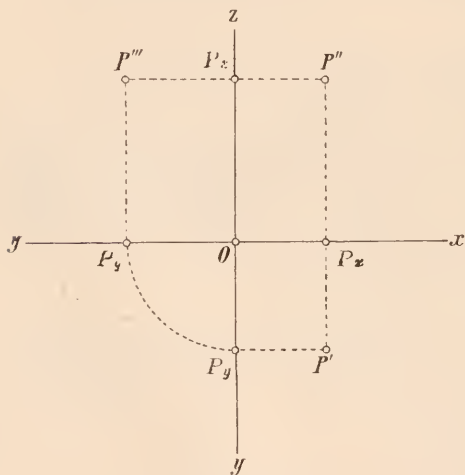


Fig. 30.

$OP_z$  und  $OP_y$  nach Größe und Vorzeichen mit dem ersten und zweiten Tafelabstand des Punktes  $P$ , d. h. mit  $P_x P''$  und  $P_x P'$  überein.  $OP_x$  ist der dritte Tafelabstand.

41. Den geometrischen Ort aller Punkte des Raumes, die von beiden Projektionsebenen gleiche Abstände haben, bilden zwei die Achse enthaltende Ebenen, welche die von den Tafeln gebildeten rechten Winkel halbieren und deshalb Halbierungsebenen heißen.

Die beiderlei Projektionen der Punkte in der ersten Halbierungsebene  $H_1$ , welche durch den oben vorn und den unten hinten liegenden Raumquadranten geht, liegen nach Vereinigung der Tafeln symmetrisch zur Achse, die Projektionen der Punkte in der zweiten Halbierungsebene  $H_2$  fallen zusammen.

42. Die Gerade. Die Projektionen  $g'$  und  $g''$  einer Geraden  $g$  sind zwei gerade Linien, deren Punkte paarweise als die beiden Projektionen eines Raumpunktes zusammengehören und auf zur Achse senkrechten Geraden liegen. Hieraus folgt: Falls eine der Projektionen zur Achse rechtwinklig steht (also  $g$  in einer Normalebene zu  $x$  liegt), fallen

beide Projektionen in die nämliche Gerade. Steht die Gerade auf einer Projektionsebene senkrecht, so ist die eine Projektion ein Punkt und die andere eine Senkrechte zur  $x$ -Achse durch diesen Punkt. Umgekehrt können je zwei (getrennte oder zusammenfallende) Gerade  $g'$  und  $g''$ , sofern nur keine von ihnen auf der Achse senkrecht steht, als die beiden Projektionen einer bestimmten Geraden  $g$  des Raumes betrachtet werden, die man nach dem Früheren als Schnitt der durch  $g'$  und  $g''$  gelegten projizierenden Ebenen erhalten kann.

43. Jeder der beiden Spurpunkte von  $g$  fällt mit seiner gleichnamigen Projektion zusammen, während die

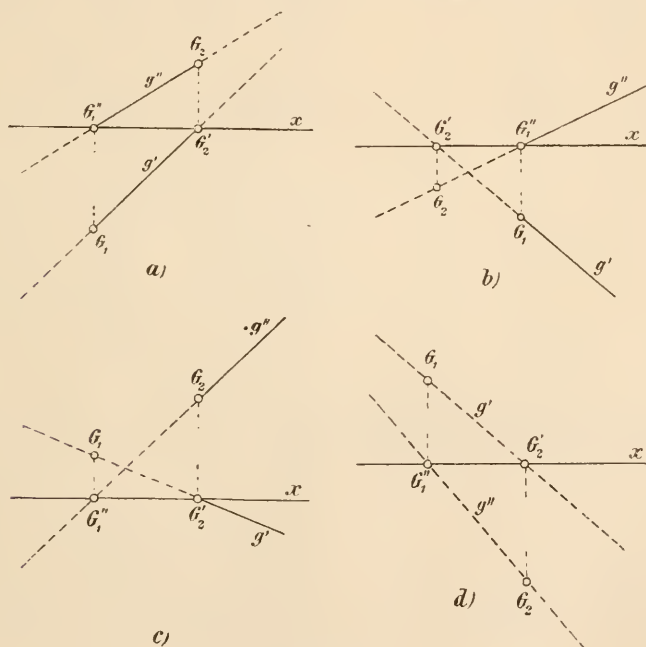


Fig. 31.

ungleichnamige auf der Achse liegt. Demnach findet man  $G_1$  auf  $g'$ , indem man auf der Achse in ihrem Schnittpunkt mit  $g''$  eine Normale errichtet; analog findet sich  $G_2$ . Umgekehrt sind durch die Spuren  $G_1$  und  $G_2$  die Fußpunkte  $G_1''$  und  $G_2'$  der von ihnen auf die Achsen gefällten Lote und die Projektionen von  $g$  als die Verbindungslinien  $g' = G_1G_2'$  und  $g'' = G_2G_1''$  bestimmt. Die von den Spurpunkten begrenzte Strecke  $G_1G_2$  der Geraden  $g$  kann in jedem der von den Tafeln gebildeten Raumquadranten liegen. Diese vier Lagen der Geraden sind in den Figuren 31 a, b, c, d dar-



gestellt. Ist in einer der Tafeln die Projektion von  $g$  der Achse parallel, so liegt in der anderen der Spurpunkt unendlich fern, folglich ist  $g$  selbst letzterer parallel. Mit  $g'$  und  $g''$  wird zugleich  $g$

der Achse parallel. Die Darstellung solcher Spezialfälle durch Figuren ist dem Leser überlassen.

Liegen  $g'$  und  $g''$  symmetrisch zur Achse, so ist dies auch für die beiden Projektionen eines jeden Punktes der Geraden  $g$  der Fall; letztere fällt daher in die erste Halbierungsebene  $H_1$ . Fallen  $g'$  und  $g''$ , mithin Grundriß und Aufriß eines jeden Punktes von  $g$  aufeinander, so gehört  $g$  der zweiten Halbierungsebene  $H_2$  an.

**44.** Eine senkrecht zur Achse gezogene Gerade tritt nur als Projektion einer rechtwinklig zu  $x$  gerichteten Geraden  $g$  auf und enthält daher gleichzeitig beide Projektionen  $g'$  und  $g''$ . Durch die Annahme, daß  $g'$  und  $g''$  in eine

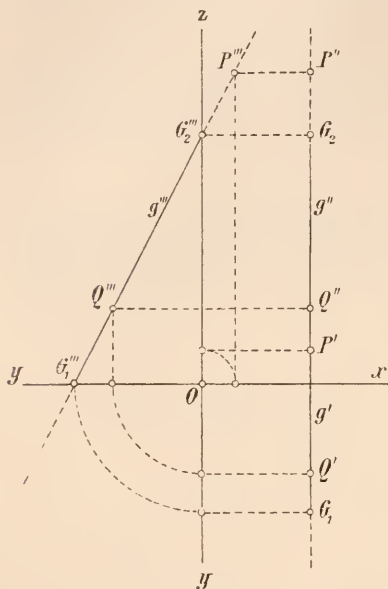


Fig. 32.

gegebene Vertikale fallen, wird aber lediglich die  $g$  enthaltende Normalebene zur Achse fixiert; es bleibt also noch die Lage von  $g$  in dieser Ebene zu bestimmen. Hierzu kann die zu  $g$  parallele

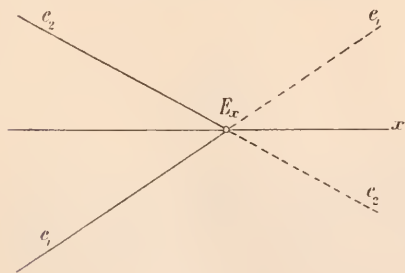


Fig. 33.

von  $G_1$  und  $G_2$  wird der Seitenriß  $g'''$  im allgemeinen entbehrlich; nur wenn  $G_1$  und  $G_2$  in einen Punkt der Achse zusammenfallen, also  $g$  diese selbst schneidet, ist  $g'''$  unumgänglich. — Wenn im besonderen einer der Spurpunkte  $G_1$  und  $G_2$  unendlich fern liegt, steht  $g$  im anderen

auf der bzw. Tafelebene senkrecht; die eine Projektion ist ihr Spurpunkt, ihre beiden anderen Projektionen sind wie  $g$  selbst zu einer Nebenachse parallel. — Mit Hilfe des Seitenrisses  $g'''$  wird die Aufgabe gelöst: von einer als Verbindungslinie zweier Punkte  $P$  und  $Q$  gegebenen Geraden  $g$  die Spuren zu konstruieren, wenn die Projektionen  $P', P'', Q', Q''$  in einer Senkrechten zur Achse  $x$  liegen. Man sucht zuerst  $P'''$  und  $Q'''$ , sodann zieht man den Seitenriß  $g''' = P'''Q'''$  und findet mit seiner Hilfe  $G_1$  und  $G_2$ .

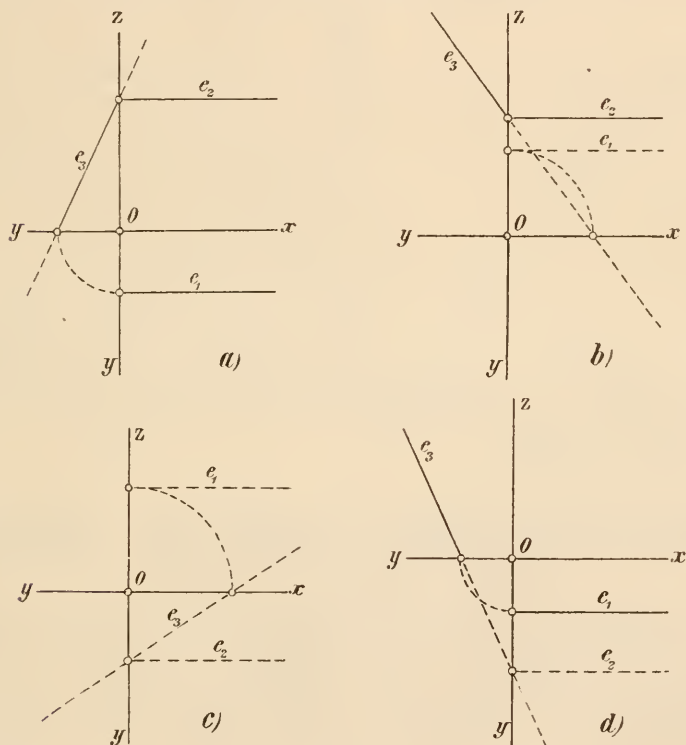


Fig. 34.

**45. Die Ebene.** Die Spuren  $e_1$  und  $e_2$  einer Ebene  $E$  sind zwei Gerade, die sich in einem Punkte  $E_x$  der Achse schneiden. Ist  $E$  der Achse parallel, so sind es auch  $e_1$  und  $e_2$ . Umgekehrt dürfen je zwei sich auf der Achse schneidende, oder zu ihr parallele Gerade  $e_1$  und  $e_2$  als Spuren einer Ebene angenommen werden. Schneiden sich die Spuren in einem erreichbaren Punkte der Achse (Fig. 33), so bilden sie in der Ebene  $E$  selbst vier Winkelfelder, deren Punkte je einem Quadranten

des Raumes angehören. Ist  $e_1$  zur Achse senkrecht, so ist  $E$  zu  $\Pi_2$  normal; ist dagegen  $e_2$  rechtwinklig zur Achse, so steht  $E$  zu  $\Pi_1$  senkrecht; findet beides gleichzeitig statt, so ist  $E$  normal zur Achse. In diesen drei Fällen sind in  $E$  selbst die Spuren zu einander rechtwinklig. Sind beide Spuren zur Achse parallel, so gilt dies auch von  $E$  und umgekehrt.  $E$  zerfällt dann durch  $e_1$  und  $e_2$  in drei, je in einem Raumquadranten verlaufenden Parallelstreifen; der vierte Quadrant enthält überhaupt keinen Punkt von  $E$ . Die Figuren 34 a, b, c, d

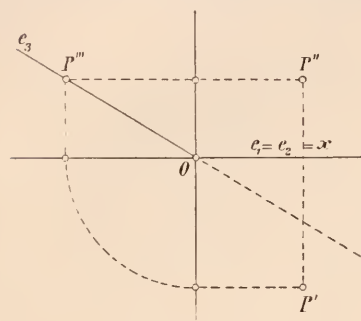


Fig. 35.

entsprechen den hierbei möglichen Fällen. Um die Lage von  $E$  deutlicher zu machen, ist jedesmal außer  $e_1$  und  $e_2$  in der umgelegten Seitenrißebene die dritte Spur  $e_3$  mitgezeichnet. — Fallen die beiden ersten Spuren  $e_1$  und  $e_2$  in die Achse zusammen, so ist die Angabe der dritten Spur  $e_3$  (die den Ursprung enthält) zur Bestimmung von  $E$  erforderlich. Da  $e_3$  in diesem Falle nicht nur die dritte Spur, sondern zugleich die dritte Projektion von  $E$  darstellt, so verbindet dieselbe die dritte Projektion eines beliebig auf  $E$  gegebenen Punktes  $P$  mit dem Ursprung  $O$ , also  $e_3 = OP'''$  (Fig. 35).

### Punkte, Gerade und Ebenen in vereinigter Lage. Verbindungs- und Schnittelemente. Parallelismus.

46. Aus der Entwicklung der Darstellungsmethode für Punkte, Gerade und Ebenen folgen eine Reihe allgemeiner Sätze.

Die Projektionen eines Punktes  $P$  liegen auf den gleichnamigen Projektionen jeder durch ihn gehenden Geraden  $g$ .

Die Spurlinien einer Ebene  $E$  enthalten die gleichnamigen Spurpunkte jeder auf ihr liegenden Geraden  $g$ .

47. Schneiden sich zwei Gerade  $g$  und  $h$ , so sind die Projektionen  $P'$  und  $P''$  des Schnittpunktes  $P$  die Schnittpunkte  $g' \times h'$  und  $g'' \times h''$  der gleichnamigen Projektionen der Geraden, folglich ist ihre Verbindungslinie zur Achse senkrecht (Fig. 36 und 38). — Sind zwei Gerade parallel, so sind ihre gleichnamigen projizierenden Ebenen und folglich ihre gleichnamigen Projektionen parallel (Fig. 37).

Im besonderen können sich zwei gleichnamige Projektionen paralleler Geraden auf Punkte reduzieren.

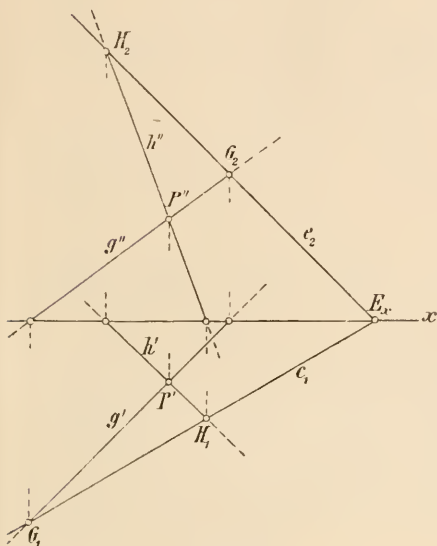


Fig. 36.

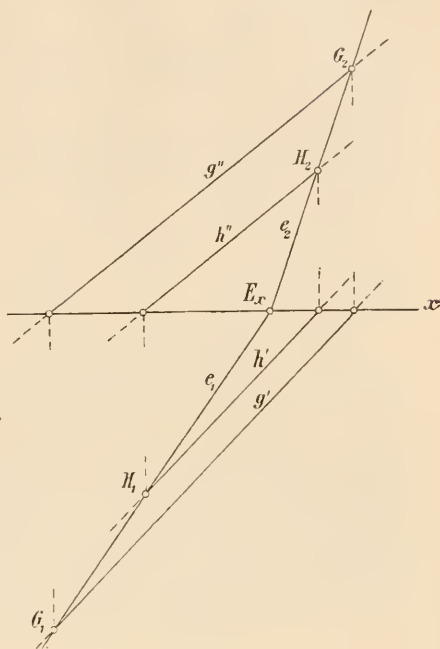


Fig. 37.

Liegen zwei Gerade  $g$  und  $h$  in einer Ebene  $E$ , so sind ihre Spuren  $e_1$  und  $e_2$  die Verbindungslinien  $G_1H_1$  und  $G_2H_2$  der gleichnamigen Spurpunkte der Geraden, und folglich müssen diese sich in einem Punkte  $E_x$  der Achse schneiden (Fig. 36 und 37), oder ihr beide parallel sein (Fig. 38).

Aus der Umkehrung der letzten Sätze folgt:

**48.** Liegen die Schnittpunkte der gleichnamigen Projektionen zweier Geraden auf einer Senkrechten zur Achse, so schneiden sich die Geraden; sind die gleichnamigen Projektionen parallel, so sind es auch die Geraden selbst. Zwei Gerade, deren

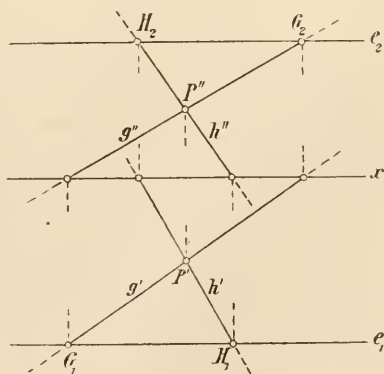


Fig. 38.

Projektionen keine dieser beiden Voraussetzungen erfüllen, sind windschief (haben keinen Punkt gemein).

Schneiden sich die Verbindungslinien der gleichnamigen Spurpunkte zweier Geraden in einem Punkte der Achse, oder sind sie beide zur Achse parallel, so liegen die Geraden in einer Ebene. Zwei Gerade, deren Spurpunkte keiner dieser beiden Bedingungen genügen, sind windschief (haben keine Verbindungsebene).

Die beiden letzten Kriterien sind einander äquivalent, insofern je zwei sich schneidende oder parallele Gerade eine Ebene bestimmen, resp. je zwei in einer Ebene liegende Gerade einen erreichbaren oder unendlich fernen Punkt gemein haben.

49. Es giebt einige besondere Lagen der beiden betrachteten Geraden gegen das Tafelsystem, bei denen die Voraussetzungen des einen oder anderen der Sätze in 48 für die ersten und zweiten Projektionen oder Spurpunkte an sich erfüllt sind, ohne daß daraus die Existenz eines Schnittpunktes und einer Verbindungsebene geschlossen, bzw. diese selbst nach einem der vorausgehenden Sätze direkt gezeichnet werden könnten. Hierzu kommt, daß gegebenen Falles die Schnitt- und Spurpunkte zum Teil außerhalb der Zeichnungsfläche fallen können, so daß keines der beiden

Kriterien in 48 direkt anwendbar ist. In allen diesen Fällen bedarf es geeigneter Hilfskonstruktionen.

50. Liegt eine der Geraden, etwa  $g$ , in einer Normalebene  $N$  zur Achse, so wird sie von der anderen  $h$  getroffen, wenn der Schnittpunkt  $S = h \times N$  auf  $g$ , also  $S'''$  auf  $g'''$  liegt (Fig. 39); oder — falls ihre Spurpunkte gegeben sind — wenn sich  $G_1H_1$  und  $G_2H_2$  auf

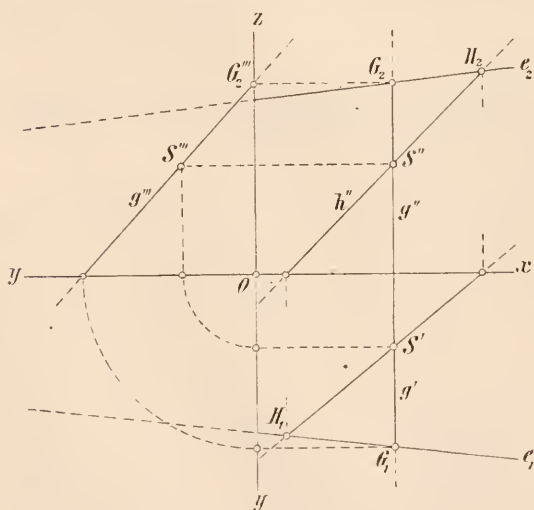


Fig. 39.

der Achse  $x$  schneiden; andernfalls sind  $g$  und  $h$  windschief. Ist der Schnittpunkt auf der Achse  $x$  nicht erreichbar, wie in der Figur,



so wird man den Seitenriß zu Hilfe nehmen. — Liegen beide Gerade in derselben Normalebene zur Achse, so schneiden sie sich oder sind parallel, je nachdem dies bei ihren dritten Projektionen  $g'''$  und  $h'''$  der Fall ist. — Schneidet  $g$  die Achse in  $G$ , so verbinde man einen beliebigen Punkt  $P$  auf  $g$  mit einem Punkte  $Q$  auf  $h$  durch eine Gerade  $i$  und suche ihre Spurpunkte, sowie die Spurlinien der Ebene  $E = hi$ . Fällt der Achsenschnittpunkt  $E_x = e_1 \times e_2$  der letzteren mit  $G$  zusammen, so geht sie zugleich durch  $g$  (Fig. 40); andernfalls giebt es keine gemeinsame Ebene durch  $g$  und  $h$ . — Eine die beiden gegebenen Geraden  $g$  und  $h$  schneidende Hilfsgerade  $i$  wird auch in dem Falle benutzt, wenn  $g$  und  $h$  die Achse in getrennten Punkten schneiden. Sollen beide in einer Ebene  $E$  liegen, so muß auch  $i$  die Achse treffen; ihre Seitenspur  $e_3$  deckt sich dann mit den zusammenfallenden Seitenrissen  $g'''$  und  $h'''$ .

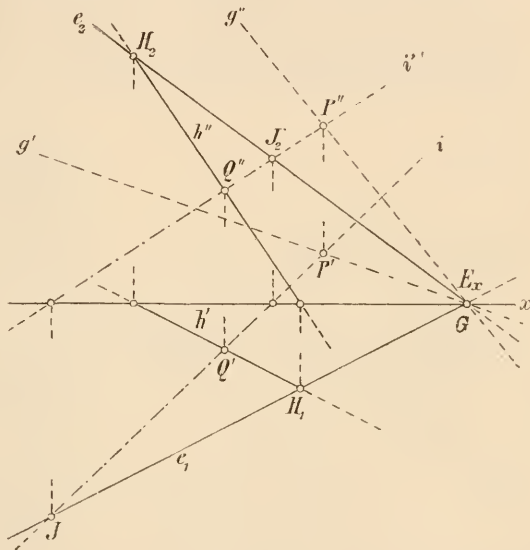


Fig. 40.

Im Interesse der Genauigkeit der Zeichnung werden die hier besprochenen Konstruktionen auch öfters verwendet, wo es theoretisch nicht nötig wäre. Ist z. B. die Gerade  $h$  beliebig, liegen aber die Spurpunkte von  $g$  nahe bei der Achse, so können die beiden Geraden windschief sein und gleichwohl können die Geraden  $G_1H_1$  und  $G_2H_2$  die Achse in so benachbarten Punkten schneiden, daß man sie in der Zeichnung nicht mit Sicherheit als getrennt bestimmen kann.

**51.** Parallele Ebenen haben in jeder Tafel parallele Spurlinien. Umgekehrt folgt aus dem Parallelismus der gleichnamigen Spuren zweier Ebenen, daß diese selbst parallel sind. Hierbei genügt es im allgemeinen die ersten und zweiten Spuren zu betrachten; nur wenn diese sämtlich zur Achse parallel laufen, sind noch die Spuren in irgend einer Hilfsebene, z. B. der Seitenrißebene, als unter sich parallel festzustellen.

52. Die in einer Ebene  $E$  parallel zur ersten oder zweiten Tafel, folglich auch parallel zu den gleichnamigen Spuren gezogenen Geraden heißen erste oder zweite *Hauptlinien* (*Streichlinien*) von  $E$ . Die eine Projektion einer Hauptlinie ist parallel zur gleichnamigen Spur (und zu ihr selbst), die andere zur Achse. Die Hauptlinien vertreten oft bei Konstruktionen die Spuren; letztere sind Hauptlinien von spezieller Lage.

53. Wie zu einer Projektion eines auf gegebener Geraden  $g$  gelegenen Punktes die andere Projektion, oder zu einer Spur einer durch  $g$  gehenden Ebene  $E$  die andere Spur gefunden wird, ist aus dem Vorhergehenden unmittelbar zu entnehmen. Die Aufgaben: Aus *einer* Projektion eines Punktes  $P$  und den

beiden Spuren einer ihn enthaltenden Ebene  $E$  die *andere* Projektion, sowie aus *einer* Spur von  $E$  und beiden Projektionen des auf ihr liegenden Punktes  $P$  die *andere* Spur zu finden, werden auf folgende Art gelöst. Man ziehe (Fig. 41) durch  $P'$  eine Gerade  $h'$  parallel zu  $e_1$ ; diese stellt den Grundriß einer ersten Hauptlinie von  $E$  dar, deren Aufriß  $h''$  parallel zur Achse

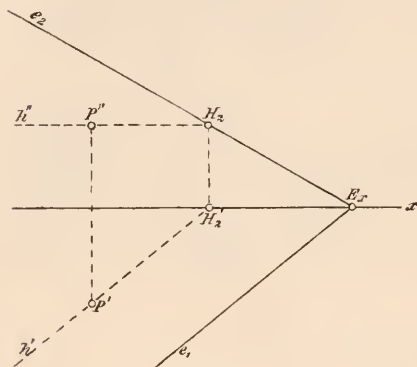


Fig. 41.

durch den Spurpunkt  $H_2$  auf  $e_2$  geht ( $H_2' = h' \times x$ ,  $H_2' H_2 \perp x$ );  $P''$  liegt dann auf  $h''$ . — Im anderen Falle sei neben  $P'$  und  $P''$  die Spur  $e_1$  gegeben. Man lege auch hier eine erste Hauptlinie  $h$  durch  $P$ , ziehe also  $h'$  durch  $P'$  parallel zu  $e_1$  und  $h''$  durch  $P''$  parallel zu  $x$ ; dann liegt  $H_2$  senkrecht über  $h' \times x$  und die gesuchte Spur  $e_2$  verbindet  $H_2$  und  $E_x$ . — Statt der Hauptlinie  $h$  kann man in beiden Fällen auch eine beliebige in  $E$  durch  $P$  gezogene Gerade benutzen. Zieht man z. B.  $i'$  durch  $P'$  parallel  $x$ , so ist  $J_1 = i' \times e_1$  der erste Spurpunkt einer in  $E$  liegenden Geraden  $i$ . Der zu  $J_1$  gehörige Aufriß liegt auf der Achse, durch diesen zieht man  $i''$  und zwar im ersten Falle parallel zu  $e_2$  und im zweiten durch  $P''$ , woraus sich dann entweder  $P''$  oder  $e_2$  ergibt.

Auf Grund der angeführten Sätze können eine Reihe von Fundementalaufgaben gelöst werden, welche sich darauf beziehen, Punkte, Gerade und Ebenen, durch ihre Projektionen, resp.

Spuren darzustellen, wenn dieselben ursprünglich auf andere Weise definiert sind.

**54.** Die Verbindungsline  $g$  zweier Punkte  $P$  und  $Q$ . Sind  $P$  und  $Q$  endliche Punkte, so hat man nur  $g' = P'Q'$  und  $g'' = P''Q''$  zu ziehen. — Liegt einer der Punkte, etwa  $Q$ , unendlich fern, d. h. bildet er die Richtung einer gegebenen Geraden  $q$ , so lautet die Aufgabe: Eine Gerade  $g$  parallel zu einer Geraden  $q$  durch einen Punkt  $P$  zu legen. Hier zieht man  $g'$  parallel zu  $q'$  durch  $P'$  und  $g''$  parallel  $q''$  durch  $P''$ .

**55.** Die Verbindungsebene  $E$  zweier sich schneidender oder paralleler Geraden  $g$  und  $h$ . Aus den Projektionen von  $g$

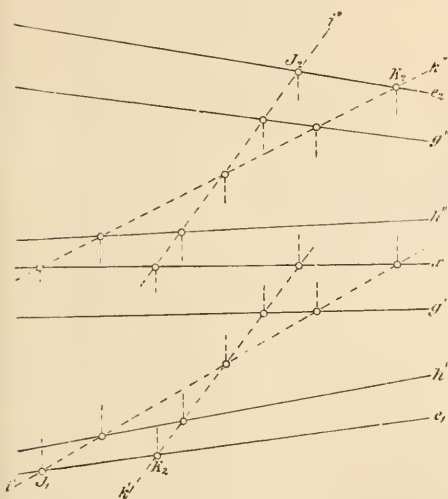


Fig. 42.

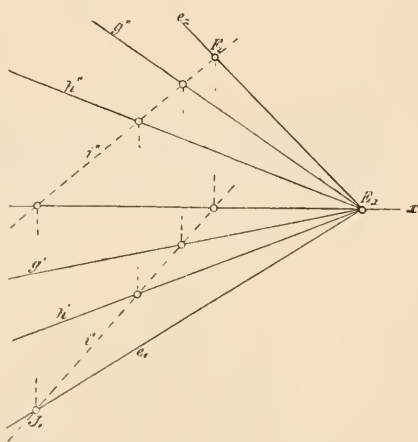


Fig. 43.

und  $h$  findet man zuerst deren Spurpunkte  $G_1, G_2, H_1, H_2$ , hierauf die Spuren der Verbindungsebene  $E = gh$  als  $e_1 = G_1H_1$  und  $e_2 = G_2H_2$  (Fig. 36, 37 u. 38). — Liegen die Spurpunkte teilweise oder sämtlich außerhalb der Zeichnungsfläche, so benutzt man zwei Hilfsgeraden  $i$  und  $k$  (Fig. 42), welche  $g$  und  $h$  gleichzeitig schneiden, bestimmt deren Spurpunkte  $J_1, J_2, K_1, K_2$  und erhält hierauf die Spuren der Verbindungsebene  $E = gh = ik$  als  $e_1 = J_1K_1$  und  $e_2 = J_2K_2$ . Eventuell genügt schon eine Hilfsgerade  $i$ . — Ähnlich kann man verfahren, wenn sich die gegebenen Geraden auf der Achse in  $E_x$  schneiden. Man zieht eine beide Gerade schneidende Hilfsgerade  $i$  in beiden Projektionen und verbindet ihre Spurpunkte  $J_1$  und  $J_2$  mit  $E_x$  (Fig. 43). Diese Verbindungslinien stellen die Spuren  $e_1$



Gerade  $h$  zu legen erscheint als ein spezieller Fall der voranstehenden Aufgabe, indem einer der drei Punkte ins Unendliche rückt. Man ziehe durch einen beliebigen Punkt  $P$  auf  $h$  eine Parallele  $i$  zu  $g$ , wobei man der Einfachheit halber  $i'$  mit  $g'$  zusammenfallen lassen kann ( $g' \times h' = P'$ ,  $P''$  auf  $h''$ ,  $i'' \parallel g''$  durch  $P''$ ). Die Spuren der Ebene  $E$  verbinden alsdann die gleichnamigen Spurpunkte der Geraden  $h$  und  $i$ ; man hat also  $e_1 = J_1 H_1$  und  $e_2 = J_2 H_2$  (Fig. 46).

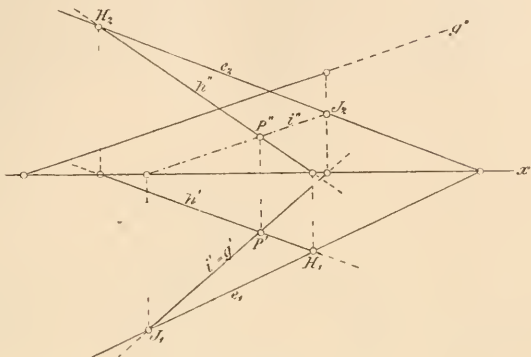


Fig. 46.

Einen weiteren Spezialfall bildet die Aufgabe: Durch einen Punkt  $P$  eine Ebene  $E$  parallel zu zwei gegebenen Geraden  $g$  und  $h$  zu legen. Zieht man durch  $P'$  die Parallelen  $i'$  und  $k'$  resp. zu  $g'$  und  $h'$ , ebenso durch  $P''$  die Parallelen  $i''$  und  $k''$

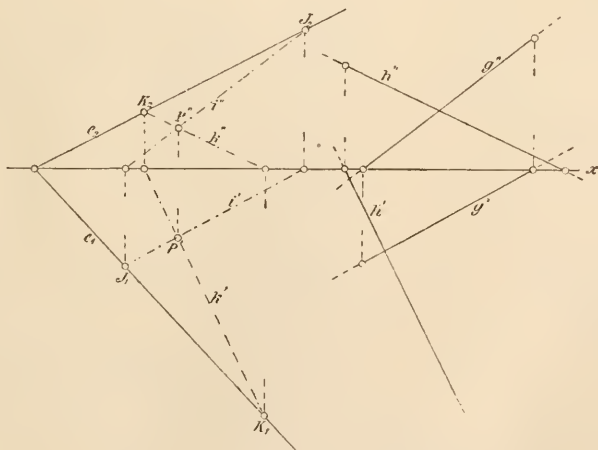


Fig. 47.

resp. zu  $g''$  und  $h''$ , so sind  $i$  und  $k$  zwei Gerade durch  $P$  und resp. zu  $g$  und  $h$  parallel, welche die gesuchte Ebene  $E$  bestimmen. Ihre Spuren sind  $e_1 = J_1 K_1$  und  $e_2 = J_2 K_2$  (Fig. 47).

58. Die Schnittlinie  $g$  zweier Ebenen  $A$  und  $B$ . Man findet die Spurpunkte von  $g$  als Schnittpunkte der gleichnamigen



Spurlinien der gegebenen Ebenen (Fig. 48a), nämlich  $G_1 = a_1 \times b_1$ ,  $G_2 = a_2 \times b_2$ , weiter durch Lote auf die Achse  $G_1'$  und  $G_2'$ , schließlich die Projektionen der Schnittlinie  $g' = G_1 G_2'$  und  $g'' = G_1'' G_2$ . — Sind zwei gleichnamige Spuren der Ebenen, etwa  $a_1$  und  $b_1$ , parallel, so ist auch die Schnittlinie  $g$  zu ihnen parallel (Fig. 48b); daher ist  $g''$  parallel zur Achse durch  $G_2 = a_2 \times b_2$  und  $g'$  parallel zu  $a_1$  durch  $G_2'$  zu ziehen. — Sind beide Ebenen, also auch ihre

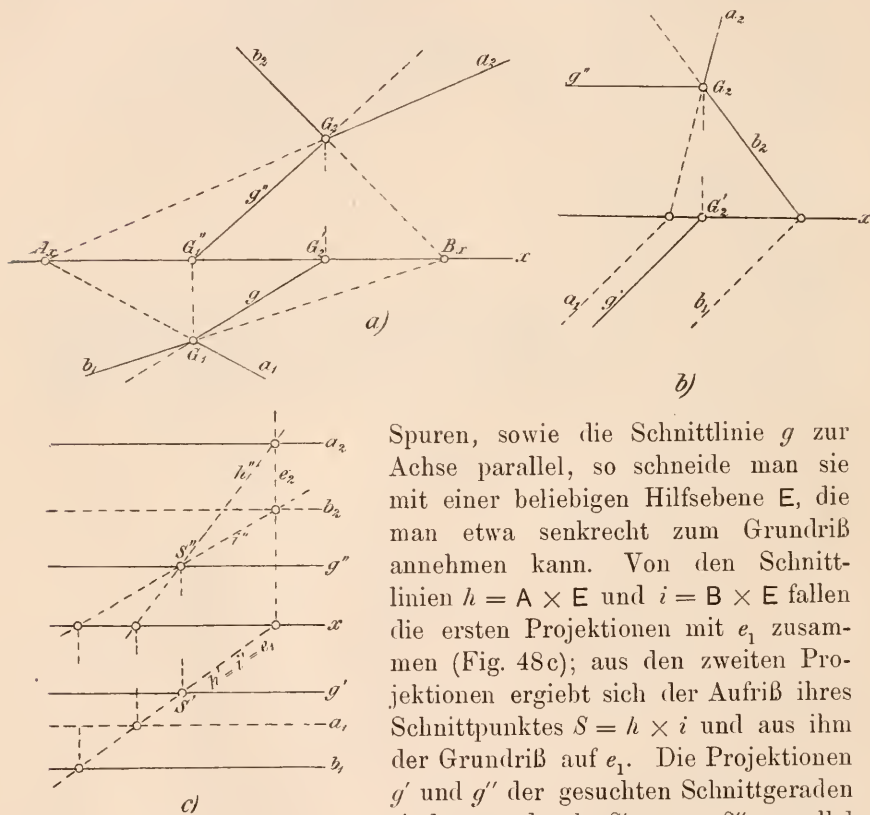


Fig. 48.

Spuren, sowie die Schnittlinie  $g$  zur Achse parallel, so schneide man sie mit einer beliebigen Hilfsebene  $E$ , die man etwa senkrecht zum Grundriß annehmen kann. Von den Schnittlinien  $h = A \times E$  und  $i = B \times E$  fallen die ersten Projektionen mit  $e_1$  zusammen (Fig. 48c); aus den zweiten Projektionen ergibt sich der Aufriß ihres Schnittpunktes  $S = h \times i$  und aus ihm der Grundriß auf  $e_1$ . Die Projektionen  $g'$  und  $g''$  der gesuchten Schnittgeraden sind nun durch  $S'$  resp.  $S''$  parallel zur Achse zu ziehen.

**59.** Liegen die Spurpunkte  $G_1 = a_1 \times b_1$  und  $G_2 = a_2 \times b_2$  der Schnittlinie  $g = A \times B$  außerhalb der Zeichnungsfläche (Fig. 49), so lege man eine Hilfsebene  $\Gamma$  parallel zu einer der gegebenen, etwa zu  $B$ , so daß ihre Spuren  $c_1$  und  $c_2$  die von  $A$  in erreichbaren Punkten  $H_1$  und  $H_2$  schneiden. Dann zeichne man die Schnittlinie  $h = A \times \Gamma$  in Grund- und Aufriß und suche auf der Achse die Punkte  $G_2'$  und  $G_1''$ , durch welche die Projektionen  $g'$  und  $g''$

resp. zu  $h'$  und  $h''$  parallel zu ziehen sind. Zur Konstruktion von  $G_2'$  und  $G_1''$  dient aber die Bemerkung, daß  $A, C, H_1, H_1'', H_2, H_2'$  und  $A, B, G_1, G_1'', G_2, G_2'$  entsprechende Punkte zweier ähnlicher und ähnlich liegender Figuren sind, folglich  $A$  ihr Ähnlichkeitszentrum ist. Zieht man daher durch  $A$  einen beliebigen Strahl  $r$ , welcher  $b_2$  und  $c_2$  in  $B'$  und  $C'$  schneiden mag, so sind  $B'G_1''$  und  $B'G_2'$  resp. zu  $C'H_1''$  und  $C'H_2'$  parallel und demgemäß  $G_2'$  und  $G_1''$  bestimmbar.

**60.** Schneiden sich die gegebenen Ebenen  $A$  und  $B$  in einem Punkte  $A$  der Achse (Fig. 50), so benutzt man am einfachsten eine senkrecht zum Grundriß (oder Aufriß) gestellte Hilfsebene  $\Gamma$ . Zuerst sucht man ihre Schnittlinien  $h$  und  $i$  mit  $A$  und  $B$  ( $h' = i' = c_1$ ), dann ist  $S = h \times i$  ein Punkt der Schnittgeraden  $g$ . Demnach verbindet  $g''$  den Punkt  $A$  mit  $S'' = h'' \times i''$  und  $g'$  den Punkt  $A$  mit  $S'$  ( $S'$  auf  $c_1$ ).

Aus dem folgenden (62) ergibt sich eine einfache Konstruktion der Schnittlinie  $g$  zweier Ebenen  $A$  und  $B$ , wenn diese je durch ein Dreieck oder — was wesentlich auf dasselbe hinauskommt — durch je zwei Gerade gegeben sind.

**61.** Der Schnittpunkt  $P$  einer Ebene  $E$  und einer Geraden  $k$ . Um  $P = E \times k$  zu be-

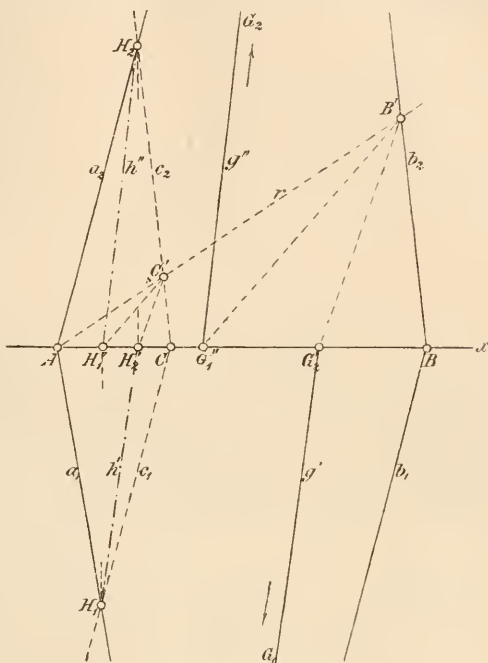


Fig. 49.

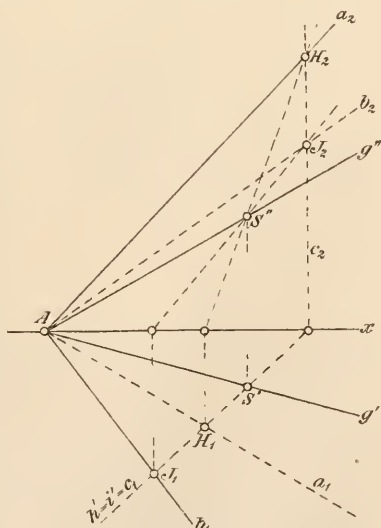


Fig. 50.

stimmen, lege man eine beliebige Hilfsebene  $K$  durch  $k$ , zeichne die Schnittlinie  $i = K \times E$ , dann ist  $P = k \times i$ . Insbesondere kann man die Ebene  $K$  senkrecht zum Grundriß wählen, so daß ihre erste Spur mit  $k'$  zusammenfällt und ihre zweite Spur senkrecht zur Achse wird (Fig. 51); dann ist  $P'' = i'' \times k''$  und  $P'$  liegt senkrecht darunter auf  $k' = i'$ .

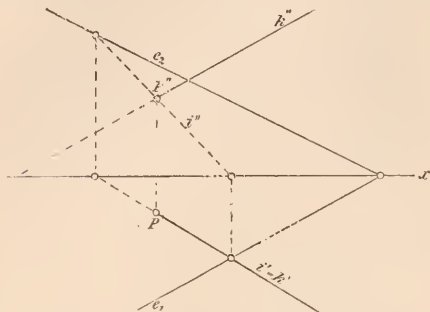


Fig. 51.

wiederum durch  $k$  eine vertikale Hilfsebene gelegt, welche die Dreiecksebene in einer Geraden  $i$  schneidet, diese trifft dann die Gerade  $k$  in dem gesuchten Punkte  $P = k \times i$  (Fig. 52). Die Gerade  $i$ , deren Grundriß  $i'$  sich mit  $k'$  deckt, mag die Seiten  $a$  und  $b$

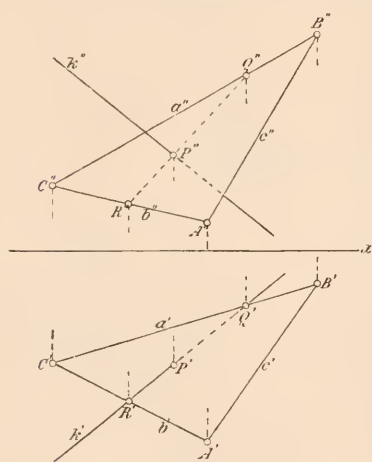


Fig. 52.

Ist die Ebene  $E$  durch ein Dreieck  $ABC$  mit den Seiten  $AB=c$ ,  $BC=a$ ,  $CA=b$  gegeben, so denke man sich wiederum durch  $k$  eine vertikale Hilfsebene gelegt, welche die Dreiecksebene in einer Geraden  $i$  schneidet, diese trifft dann die Gerade  $k$  in dem gesuchten Punkte  $P = k \times i$  (Fig. 52). Die Gerade  $i$ , deren Grundriß  $i'$  sich mit  $k'$  deckt, mag die Seiten  $a$  und  $b$  in  $Q$  und  $R$  schneiden, also  $Q' = a' \times i'$  und  $R' = b' \times i'$ , ferner  $Q''$  auf  $a''$  und  $R''$  auf  $b''$ . Hiermit ist  $i'' = Q''R''$  und auch  $P' = i' \times k'$  gefunden, der zugehörige Grundriß  $P'$  liegt senkrecht darunter auf  $k'$ . — Die gleiche Konstruktion führt auch zum Ziel, wenn die Ebene  $E$  durch zwei parallele Gerade bestimmt ist.

**62.** Auf Grund des soeben erklärten Verfahrens wird auch die Schnittlinie  $g$  der Ebenen zweier gegebener Dreiecke  $ABC$  und  $DEF$  gefunden. Man suche nämlich ganz wie vorher die Schnittpunkte  $P$  und  $Q$  der Seiten  $d = EF$  und  $e = DF$  des zweiten Dreiecks mit der Fläche des ersten Dreiecks, dann ist  $g'' = P''Q''$  und  $g' = P'Q'$  (Fig. 53). — Zur Darstellung des Schnittpunktes dreier Ebenen,  $P = A \times B \times \Gamma$ , konstruiere man zuerst die Schnittlinien  $g = A \times B$  und  $h = B \times \Gamma$  zweier Ebenenpaare und aus diesen den gemeinsamen Punkt  $P = g \times h$  nach einer der angeführten Methoden.

Die gleiche Konstruktion führt auch zum Ziel, wenn die Ebene  $E$  durch zwei parallele Gerade bestimmt ist.

**63.** Für die Schnittpunkte  $S$  und  $T$  einer Geraden  $g$  mit den beiden Halbierungsebenen  $H_1$  und  $H_2$  mag beiläufig eine einfache Konstruktion angegeben werden, die sich aus den besonderen Eigenschaften der letzteren ergibt (vergl. 41). Der Grundriß  $S'$  und Aufriß  $S''$  liegen auf  $g'$  bzw.  $g''$  symmetrisch zur Achse (Fig. 54); hieraus folgt, daß sie der durch  $M = G_1 G_2 \times x$  gezogenen Normalen zur Achse angehören, was zu ihrer Konstruktion dient. In der That hat man:  $S''M : G_2 G_2' = G_1''M : G_1'' G_2' = G_1 S' : G_1 G_2' = MS' : G_2 G_2'$ , d. h.  $S''M = MS'$ . Die beiden Projektionen  $T'$  und  $T''$  von  $T$  liegen im Schnittpunkt  $g' \times g''$  vereinigt.

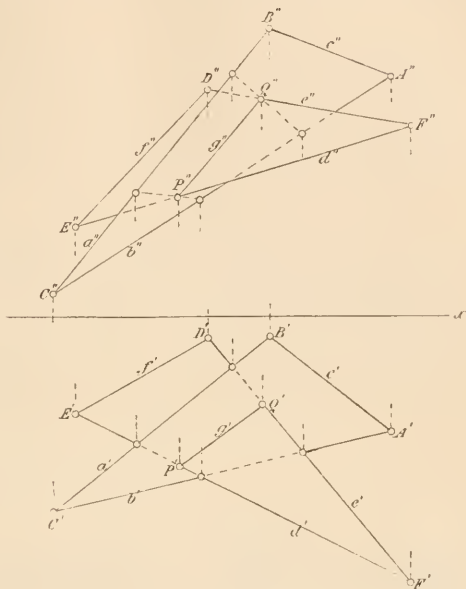


Fig. 53.

**64.** Durch einen Punkt  $P$  die gemeinsame Sekante  $s$  zweier Geraden  $g$  und  $h$  zu ziehen. Man konstruiere die Ebene  $E = Pg$ , schneide sie mit  $h$  in  $R$ , dann ist  $PR$  die gesuchte Sekante, die auch  $g$  in einem Punkte  $Q$  schneidet, da sie mit  $g$  in der gemeinsamen Ebene  $E$  liegt. Bei Ausführung der Konstruktion (Fig. 55) zeichne man zuerst in beiden Projektionen die Parallele  $i$  zu  $g$  durch  $P$  und betrachte  $E$  als durch die parallelen Geraden  $g$  und  $i$  gegeben, so daß der Schnittpunkt  $R = h \times gi$  nach 61 konstruiert werden kann. — Ist  $P$  ein unendlich ferner

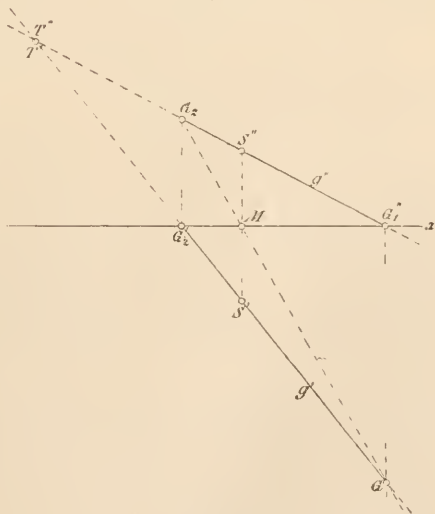


Fig. 54.

Punkt, d. h. ist die Richtung der gemeinsamen Sekante  $s$  von  $g$  und  $h$  gegeben, so ziehe man in dieser Richtung durch irgend einen Punkt von  $g$  eine Gerade  $i$  und schneide wiederum die Ebene  $E = gi$  mit  $h$  in  $R$ . Die durch  $R$  gezogene Parallele zu  $i$  ist die fragliche gemeinsame Sekante.

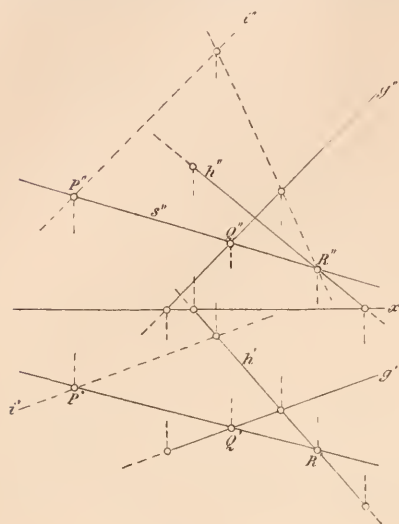


Fig. 55.

65. Auf Grund der vorangehenden Entwicklungen kann leicht entschieden werden, ob drei Punkte in einer Geraden oder vier Punkte in einer Ebene liegen, ob drei Ebenen durch eine Gerade oder vier Ebenen durch einen Punkt gehen, ob eine Gerade zu einer Ebene parallel liegt und dergleichen mehr.

### Gerade und Ebenen in rechtwinkliger Stellung. Abstände und Winkel. Die Umlegung in eine Tafel und die Drehung um die Parallele zu einer Tafel.

66. Die Grundlage unserer nächsten Entwicklungen bildet folgender Satz:

Ist ein Schenkel eines rechten Winkels zu einer Tafel parallel, so ist auch seine orthogonale Projektion auf dieselbe ein rechter Winkel. Sind nämlich  $g$  und  $h$  die Schenkel, und ist  $g \parallel \Pi_1$  und  $l$  das Lot aus dem Scheitel auf  $\Pi_1$ , so ist  $g \perp l$ ; da zugleich  $g \perp h$ , so ist auch  $g \perp hl$  und ebenso  $g' \perp hl$ , da  $g' \parallel g$  ist. Wenn aber  $g'$  auf der Ebene  $hl$  senkrecht steht, ist sie zu jeder in der Ebene liegenden Geraden rechtwinklig, also auch zu der Geraden  $h' = hl \times \Pi_1$ . — Offenbar kann der Satz in der allgemeineren Form ausgesprochen werden. Zwei normal zu einander gerichtete (windschiefe oder sich schneidende) Gerade  $g$  und  $h$  haben zu einander rechtwinklige Projektionen, wenn eine von ihnen zu der betreffenden Projektionsebene parallel ist.

67. Hieraus folgt weiter: Steht eine Gerade  $g$  auf einer Ebene  $E$  senkrecht, so sind ihre Projektionen zu den gleichnamigen Spuren der Ebene rechtwinklig. Es ist



nämlich  $g$ , wie zu allen Geraden der Ebene  $E$ , so insbesondere zu ihren Spuren  $e_1$  und  $e_2$  normal, also nach dem vorigen Satze  $g' \perp e_1$  und  $g'' \perp e_2$ .

**68.** Die in einer Ebene  $E$  rechtwinklig zu ihren ersten (zweiten) Hauptlinien gezogenen Geraden werden als erste (zweite) *Falllinien* bezeichnet, insofern sie unter allen Geraden von  $E$  die größte Neigung (oder den stärksten Fall) gegen die bezügliche Tafel haben. Die eine Projektion einer Falllinie steht senkrecht auf der gleichnamigen Ebenenspur, was unmittelbar aus dem Satze in 66 folgt.

Dies vorausgeschickt, können wir zur Besprechung der in der Überschrift dieses Abschnittes bezeichneten Fundamentalaufgaben und der zu ihrer Lösung erforderlichen besonderen Methoden übergehen.

**69.** Das aus einem Punkte  $P$  auf eine Ebene  $E$  gefällte Lot  $l$  wird nach 67 gefunden, indem man seine Projektionen  $l'$  und  $l''$

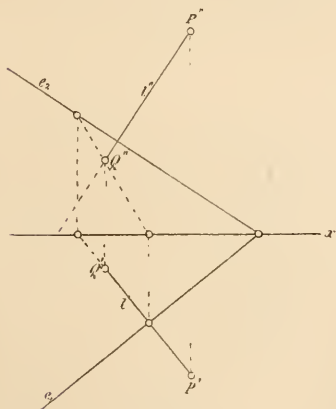


Fig. 56.

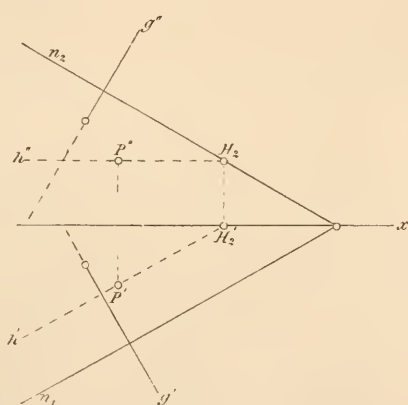


Fig. 57.

resp. durch  $P'$  und  $P''$  und senkrecht zu  $e_1$  und  $e_2$  zieht. Sein Fußpunkt  $Q$  ergibt sich als Schnittpunkt  $l \times E$  nach dem früher (61) entwickelten Verfahren (Fig. 56). Ein anderer Weg zur Darstellung, auf dem man zugleich die Länge des Lotes oder Abstandes ( $P \dashv E$ ) erhält, findet sich in 75.

**70.** Die Normalebene  $N$  zu einer Geraden  $g$  durch einen Punkt  $P$ . Die Spurlinien  $n_1$  und  $n_2$  der gesuchten Ebene müssen rechtwinklig zu  $g'$  und  $g''$  liegen. Legt man also durch  $P$  eine erste Hauptlinie  $h$  unserer Ebene, so ist  $h'$  durch  $P'$  senkrecht zu  $g'$  und  $h''$  durch  $P''$  parallel zur Achse zu ziehen. Durch den Spurpunkt  $H_2$  von  $h$  geht dann die Spur  $n_2$  und durch  $n_2 \times x$  die Spur  $n_1$  ( $n_2 \perp g''$ ,  $n_1 \perp g'$ ) (Fig. 57).

**71.** Die wahre Länge einer durch ihre Projektionen gegebenen Strecke. Eine Strecke  $AB$  bildet mit ihrer ersten Projektion  $A'B'$  und den projizierenden Geraden ihrer Endpunkte ein ebenes, bei  $A'$  und  $B'$  rechtwinkliges Viereck  $A'ABB'$ . Dieses Trapez kann in der Grundrißebene verzeichnet werden, indem man (Fig. 58) in den Endpunkten von  $A'B'$  die Normalen  $A'A_0$  und  $B'B_0$  errichtet und resp. gleich den ersten Tafelabständen der Punkte  $A$  und  $B$ , also gleich  $A''A_x$  resp.  $B''B_x$  macht. Die vierte Seite  $A_0B_0$  giebt die wahre Länge der Strecke  $AB$  an. — Das Trapez  $A'A_0B_0B'$

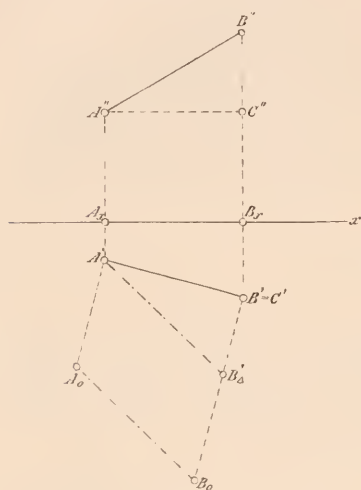


Fig. 58.

stellt eine der beiden Lagen dar, die das Trapez  $A'ABB'$  annehmen kann, wenn es durch Drehung um die Grundlinie  $A'B'$  in die erste Tafel umgelegt wird. Das geschilderte Verfahren bezeichnet man daher als Umlegung der Strecke in eine Tafel um ihre bezügliche Projektion.

**72.** Wird von einem Endpunkte  $A$  der vorgelegten Strecke ein Lot  $AC$  auf  $BB'$  gefällt, so entsteht das rechtwinklige Dreieck  $ABC$ , dessen Hypotenuse die zu bestimmende Strecke ist und dessen Katheten resp. parallel und normal zum Grundriß sind (Fig. 58) ( $C' = B'$ ,  $A''C'' \parallel x$ ). Die Kathete  $AC$

erscheint im Grundriß  $A'C'$  und die Kathete  $BC$  im Aufriß  $B''C''$  in wahrer Größe. Trägt man daher an den Grundriß  $A'C'$  die Strecke  $C'B_{\Delta}' = C'B'$  unter rechtem Winkel an, so giebt  $A'B_{\Delta}'$  die Streckenlänge an. Das Dreieck  $A'B_{\Delta}'C'$  stellt den Grundriß des durch Drehung um seine horizontale Kathete  $AC$  in horizontale Lage gebrachten Dreiecks  $ABC$  dar. Unser Verfahren ist also anzusehen als eine Drehung der Strecke bis zum Parallelismus mit einer Tafel und zwar um eine Gerade, die durch einen Endpunkt der Strecke zu ihrer bezw. Projektion parallel läuft.

**73.** Endlich kann man auch noch folgende dritte Methode in Anwendung bringen. Man trage (Fig. 59) an die Strecke  $B''C''$  im Aufriß als andere Kathete des rechtwinkligen Dreiecks  $ABC$  die Strecke  $C''A_{\Delta}'' = B'A'$  horizontal an und ziehe die Hypotenuse  $A_{\Delta}''B''$ , welche die gesuchte Strecke darstellt. Das Dreieck  $A_{\Delta}''B''C''$  kann als Aufriß des um seine vertikale Kathete  $BC$  zur Aufrißebene

parallel gedrehten Dreiecks  $ABC$  angesehen werden. Bei dieser Drehung behalten die Punkte  $B$  und  $C$  ihre Lagen bei, während der Punkt  $A$  einen Kreisbogen  $AA_{\Delta}$  in horizontaler Ebene beschreibt. Der Grundriß  $A_{\Delta}'A'$  dieses Bogens ist also ein kongruenter Bogen und sein Aufriß  $A_{\Delta}''A''$  eine Parallele zur Achse. Nach der Drehung muß die Strecke zu  $\Pi_2$  parallel sein, also  $B'A_{\Delta}' \parallel x$ . Dieses dritte Verfahren führt also eine Drehung der Strecke bis zum Parallelismus mit einer Tafel aus und zwar um das aus einem Endpunkt auf die andere Tafel gefällte Lot. — Bei jedem der drei Verfahren zur Streckenbestimmung hat man die Wahl, ob man vom Grund- oder Aufriß, vom einen oder anderen Endpunkt ausgehen, sowie auch ob man die Drehung im einen oder anderen Sinne vornehmen will.

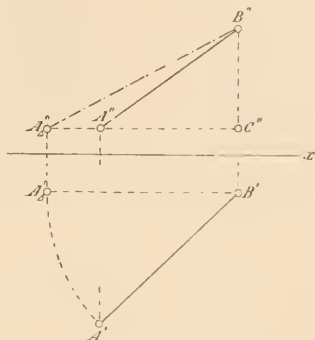


Fig. 59.

**74.** Die Teilung einer durch ihre Projektion gegebenen Strecke  $AB$  nach vorgeschriebenem Verhältnis erfolgt auf Grund des Satzes, daß sich parallele Strecken, also insbesondere die Teilstrecken einer Geraden, wie ihre Projektionen verhalten (vergl. 6  $\delta$ ). Man teilt demnach die Projektionen  $A'B'$  und  $A''B''$  in dem verlangten Verhältnis. Handelt es sich darum, auf  $AB$  eine Teilstrecke  $AC$  von gegebener Länge aufzutragen, so müssen nach einer der in 71—73 gegebenen Methoden die wahre Größe von  $AB$  gezeichnet, auf ihr die Strecke  $AC$  aufgetragen und durch Zurückdrehung die Projektionen gefunden werden.

**75.** Die Neigungswinkel  $\gamma_1$  und  $\gamma_2$  einer Geraden  $g$  gegen die Tafeln. Unter dem Neigungswinkel einer Geraden gegen eine Ebene versteht man den spitzen Winkel, den sie mit ihrer senkrechten Projektion auf die Ebene einschließt. Man erhält den Winkel  $\gamma_1 = \angle G_2G_1G_2'$  durch Umliegung der Winkelebene um ihre zweite Spur  $G_2G_2'$  in die zweite

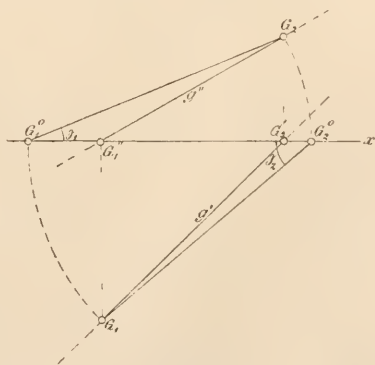


Fig. 60.

Tafel. Hierbei beschreibt der Scheitel  $G_1$  in der Grundrißebene einen Kreisbogen  $G_1 G_1^0$  um  $G_2'$ , der auf der Achse endigt, und es ist  $\gamma_1 = \angle G_2 G_1^0 G_2'$ . Analog findet man den Winkel  $\gamma_2 = \angle G_1 G_2 G_1''$  durch Umlegen in die erste Tafel als  $\angle G_1 G_2^0 G_1''$  (Fig. 60). — Unter allen Winkeln, die eine Gerade mit den Geraden einer Ebene einschließt, ist ihr Neigungswinkel gegen dieselbe am kleinsten. Für jede Lage von  $g$  ist daher  $\gamma_2 \leq \angle G_1 G_2 G_2'$ ; da andererseits  $\angle G_1 G_2 G_2' = \angle G_1^0 G_2 G_2' = R - \gamma_1$  ist, so folgt für die Summe der Tafelneigungen einer Geraden die Relation:  $\gamma_1 + \gamma_2 \leq R$ .

**76.** Durch einen Punkt  $P$  eine Gerade  $g$  mit den Neigungswinkeln  $\gamma_1$  und  $\gamma_2$  gegen die Tafeln zu legen.

Man ziehe zunächst durch  $P$  eine Gerade  $l$  parallel zur Aufrißebene mit dem Neigungswinkel  $\gamma_1$  gegen die Grundrißebene. Ist  $L_1$  ihr erster Spurpunkt, so ist also  $\angle P' L_1' P_x = \gamma_1$  und  $P' L_1 \parallel x$  (Fig. 61). Dreht man nun  $l$  um die Vertikale  $PP'$ , so behält sie ihren Neigungswinkel  $\gamma_1$  gegen  $\Pi_1$  bei, während ihr Spurpunkt  $L_1$  einen Kreisbogen  $c$  in  $\Pi_1$  um  $P'$  beschreibt. Insbesondere kann  $l$  durch eine solche Drehung in die Lage der gesuchten Geraden  $g$  übergeführt werden, deren Spurpunkt  $G_1$  muß also auf dem genannten Kreise  $c$  liegen. Hierbei ist

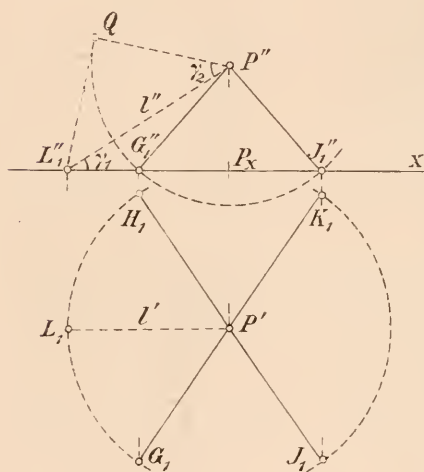


Fig. 61.

er so zu bestimmen, daß der Aufriß von  $PG_1$  die Länge  $P'G_1'' = PG_1 \cdot \cos \gamma_2 = PL_1 \cdot \cos \gamma_2 = P'L_1'' \cdot \cos \gamma_2$  erhält. Man zeichne demgemäß über  $P'L_1''$  als Hypotenuse ein rechtwinkliges Dreieck, dessen Kathete  $P''Q$  mit  $l''$  den Winkel  $\gamma_2$  einschließt, und schlage um  $P''$  mit dem Radius  $P''Q$  einen Kreisbogen, so schneidet dieser die Achse in  $G_1''$ ; denn dann ist  $P''G_1'' = P''Q = P'L_1'' \cdot \cos \gamma_2$  wie verlangt. Der Spurpunkt  $G_1$  liegt auf  $c$  senkrecht unter  $G_1''$ . Es giebt offenbar vier Lösungen unserer Aufgabe, nämlich die Geraden  $g, h, i$  und  $k$ , deren Spurpunkte  $G_1, H_1, J_1$  und  $K_1$  auf dem Kreise  $c$  liegen und die Endpunkte zweier in Bezug auf  $l'$  symmetrischer Durchmesser bilden. Eine andere Lösung ist in 78 enthalten.

**77.** Die Neigungswinkel  $\varepsilon_1$  und  $\varepsilon_2$  einer Ebene  $E$  gegen

die Tafeln. Unter dem Neigungswinkel einer Ebene gegen eine der Tafeln wird der Neigungswinkel von irgend einer gleichnamigen Falllinie der Ebene verstanden. Er wird bestimmt, indem man ihn entweder (wie in 75) in die ungleichnamige Tafel, oder um den einen Schenkel in die gleichnamige Tafel umlegt. Um  $\varepsilon_1$  zu finden, ziehen wir

(Fig. 62)  $F_1F_2'$  normal zu  $e_1$  als Grundriß einer ersten Falllinie mit den Spurpunkten  $F_1$  und  $F_2$  und zeichnen nach dem früheren Verfahren  $\varepsilon_1 = \angle F_2F_1F_2' = \angle F_2F_1^0F_2'$ .

Um  $\varepsilon_2$  zu bestimmen, ziehen wir  $G_2G_1''$  normal zu  $e_2$  als Aufriß einer

zweiten Falllinie mit den Spurpunkten  $G_1$  und  $G_2$  und legen das Dreieck  $G_1G_2G_1''$  um seine Kathete  $G_2G_1''$  in die Aufrißebene als Dreieck  $G_1^0G_2G_1''$  um, wodurch  $\varepsilon_2 = \angle G_1^0G_2G_1''$  erhalten wird ( $G_1''G_1 = G_1''G_1^0$ ,  $G_1''G_1^0 \perp G_1''G_2$ ). — Daß unter allen Geraden einer Ebene die Falllinien gegen die zugehörige Tafel den größten Neigungswinkel haben, ist schon oben (68) erwähnt worden. Erwägt man, daß der Neigungswinkel einer Ebene durch den gleichnamigen Neigungswinkel der Ebenennormale

zu einem Rechten ergänzt wird, so folgt aus 75 für die Summe der Tafelneigungen einer Ebene die Beziehung:  $\varepsilon_1 + \varepsilon_2 \geq R$ .

**78.** Eine Ebene  $E$  mit den Neigungswinkeln  $\varepsilon_1$  und  $\varepsilon_2$  durch einen gegebenen Punkt  $P$  zu legen. Durch einen Punkt  $A$  der Achse denken wir uns eine Gerade  $AB$

von beliebig gewählter Länge senkrecht zu  $E$  gezogen; sie besitzt die Neigungswinkel  $\gamma_1 = R - \varepsilon_1$  und  $\gamma_2 = R - \varepsilon_2$ . Nun ziehen wir durch  $A$  senkrecht zur Achse zwei Gerade  $p$  und  $q$ , von denen die erste der Grundriß-, die zweite der Aufrißebene angehört (Fig. 63).

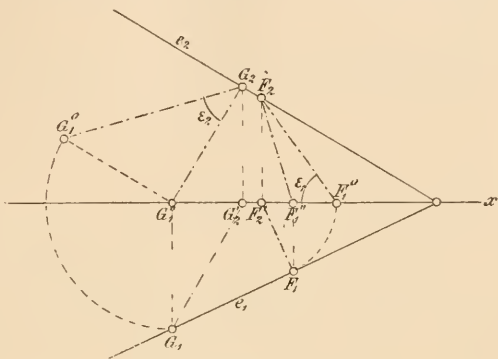


Fig. 62.

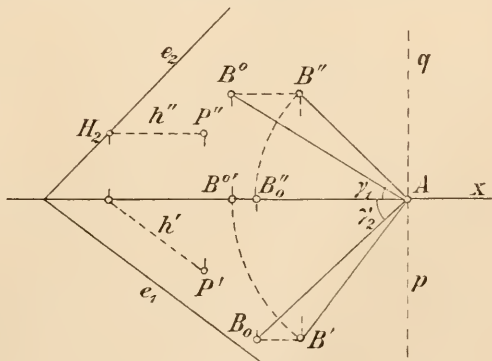


Fig. 63.



Legen wir jetzt  $AB$  um  $p$  als Strecke  $AB_0$  in die Ebene  $\Pi_1$  um und ebenso um  $q$  als Strecke  $AB^0$  in die Ebene  $\Pi_2$ , so schließen  $AB_0$  und  $AB^0$  mit der Achse die Winkel  $\gamma_2$  resp.  $\gamma_1$  ein ( $AB^0 = AB_0$ ). Beim Rückwärtsdrehen von  $AB_0$  um  $p$  in die Raumlage  $AB$  beschreibt  $B_0$  einen Kreisbogen, sein Aufriß einen dazu kongruenten Kreisbogen und sein Grundriß eine Parallele zur Achse. Beim Rückwärtsdrehen von  $AB^0$  um  $q$  in die Raumlage  $AB$  beschreiben  $B^0$  und sein Grundriß kongruente Kreisbogen und sein Aufriß eine Parallele zur Achse. So ergeben sich  $B'$  und  $B''$  als Schnittpunkte von je einem Kreisbogen und einer Parallelen zur Achse. (Es giebt wieder vier Lösungen wie in 76, die zu der in der Figur gezeichneten Lösung symmetrisch in Bezug auf die Tafelebenen sind.)

Die Spuren  $e_1$  und  $e_2$  der gesuchten Ebene sind senkrecht zu  $AB'$  und  $AB''$ . Zeichnet man eine in  $E$  liegende erste Hauptlinie  $h$  durch  $P$  und ihren Spurpunkt  $H_2$  ( $h'' \parallel x$  durch  $P'$ ,  $h' \perp AB'$  durch  $P'$ ), so ist nur noch  $e_2$  durch  $H_2$  normal zu  $AB''$  und  $e_1$  durch  $e_2 \times x$  normal zu  $AB'$  zu ziehen.

**79.** Der senkrechte Abstand eines Punktes  $P$  von einer Ebene  $E$  kann nach 69 in Verbindung mit 71 bestimmt

werden. Ebenso einfach ist folgender Weg. Ist  $l = PQ$  das gesuchte Lot, so lege man durch dasselbe eine Ebene  $N$  senkrecht zu  $\Pi_2$  (Fig. 64). Dann ist ihre Spur  $n_2 = l''$  normal zu  $e_2$  und ihre Spur  $n_1$  normal zur Achse ( $n_2$  durch  $P''$ ,  $n_1 \times n_2 = N$  auf  $x$ ). Diese Ebene  $N$  steht auf  $e_2$  senkrecht und schneidet  $E$  in einer Falllinie  $F_2F_1$  ( $F_2 = n_2 \times e_2$  und  $F_1 = n_1 \times e_1$ ), die ebenfalls zu dem gesuchten Lot rechtwinklig ist. Legt man also  $N$  um die Spur  $n_2$  in  $\Pi_2$  um, so gelangt die Falllinie in die

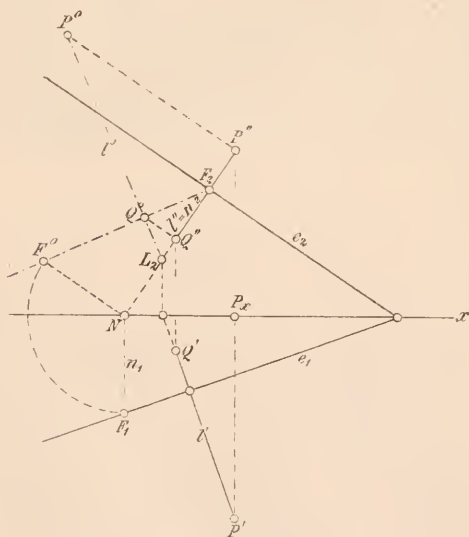


Fig. 64.

Lage  $F_1^0F_2$  und  $P$  in die Lage  $P^0$  ( $NF_1^0 \perp n_2$  und  $= NF_1$ ,  $P^0P'' \perp n_2$  und  $= P'P_x$ ). Jetzt ziehe man die Gerade  $l^0 \perp F_1^0F_2$ , welche auf der letzteren den Punkt  $Q^0$  und auf  $n_2$  den Spurpunkt  $L_2$  aus-

schneidet. Aus der Umlegung  $Q^0$  des Fußpunktes  $Q$  findet man rückwärts  $Q''$  auf  $l''$  durch eine zu  $n_2$  normale Gerade  $Q^0Q''$  und hieraus  $Q'$ .  $P^0Q^0$  ist die wahre Länge des Abstandes.

**80.** Bestimmung der wahren Gestalt einer ebenen Figur durch Umlegung in eine der Tafeln. Eine ebene Figur und ihre Projektion auf eine Tafel sind affin und in affiner Lage und bleiben es auch, wenn die erstere um die bezügliche Spur ihrer Ebene (d. i. um ihre Affinitätsachse) in die Tafel umgelegt wird (vergl. 10). Durch

Benutzung dieses Umstandes werden die zur Umlegung nötigen Operationen vereinfacht. Es sei beispielsweise ein Dreieck  $ABC$  durch die Spuren  $e_1$  und  $e_2$  seiner Ebene  $E$  und seinen Aufriß  $A'B'C''$  gegeben, woraus sich der Grundriß in bekannter Weise ergibt (Fig. 65). Zur Ermittlung seiner wahren Gestalt lege man das Dreieck um  $e_2$  in die Aufrißebene um. Man denke sich in  $E$

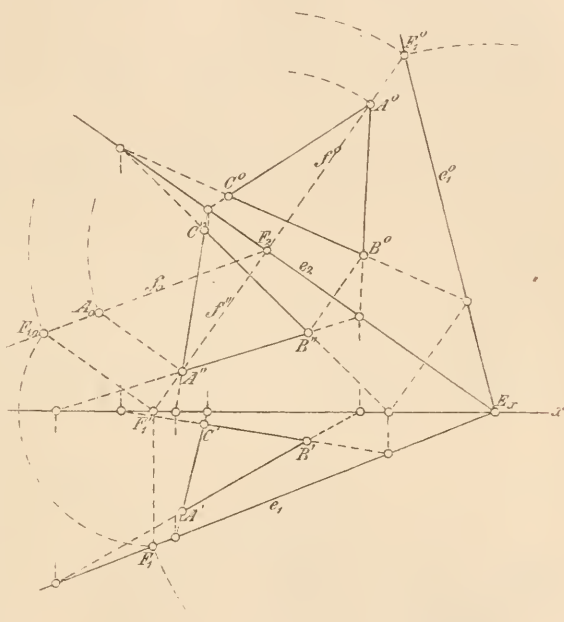


Fig. 65.

durch den Punkt  $A$  eine Falllinie  $f$  gezogen ( $f \perp e_2$ ,  $f'' \perp e_2$ ). Diese lege man, um zunächst ihre Länge zwischen den Spurpunkten  $F_1$  und  $F_2$  zu finden, wie in voriger Nummer um  $f''$  seitwärts in die Aufrißebene nieder als  $f_0 = F_2F_{10}$ ; sodann lege man sie um  $e_2$  in  $\Pi_2$  um als  $f^0 = F_2F_1^0$ . Hieraus ergibt sich die Umlegung  $e_1^0 = E_xF_1^0$  von  $e_1$ . Die Umlegung  $A^0B^0C^0$  des Dreiecks  $ABC$  aber kann als die affine Figur zu  $A''B''C''$  gezeichnet werden, da man außer der Affinitätsachse  $e_2$  zwei einander entsprechende Punkte  $F_1^0$  und  $F_1''$  kennt (vergl. 11); die Affinitätsstrahlen sind normal zu  $e_2$ . So ist  $B^0B'' \perp e_2$  und die Parallelen durch  $B''$  und  $B^0$  resp. zu  $x$  und  $e_1^0$  treffen sich in einem Punkte von  $e_2$ ; denn bei unserer Affinität

entsprechen sich der Aufriß der Spur  $e_1$ , d. h. die Achse  $x$  und ihre Umlegung  $e_1^0$ . Ferner schneiden sich  $B''C''$  und  $B^0C^0$  auf  $e_2$  und treffen  $x$  resp.  $e_1^0$  in entsprechenden Punkten u. s. f. — Man kann die Umlegung eines jeden Punktes auch mittels seines Abstandes von der Drehachse  $e_2$  konstruieren, indem man den Umstand benutzt, daß sich dieser Abstand zu seiner Projektion jedesmal wie  $F_{10}F_2$  zu  $F_1''F_2$  verhält. So schneidet eine Parallele zu  $e_2$  durch  $B''$  auf  $f_0$  die wahre Länge des Abstandes ( $B \perp e_2$ ) ab.

Die oben ausgeführte Umlegung der Falllinie  $f$  und ihres Spurpunktes  $F_1$  um  $e_2$  nach  $f^0$  und  $F_1^0$  in die Aufrißebene läßt sich durch folgende Überlegung noch einfacher gestalten. Der Abstand des Punktes  $F_1$  von  $E_x$  erscheint sowohl im Grundriß als auch in der Umlegung in wahrer Länge, also  $F_1E_x = F_1^0E_x$ . Deshalb liegt  $F_1^0$  sowohl auf einem Kreis mit dem Centrum  $E_x$  und dem Radius  $E_xF_1$ , als auch auf einer durch  $F_1''$  senkrecht zu  $e_2$  gezogenen Geraden.

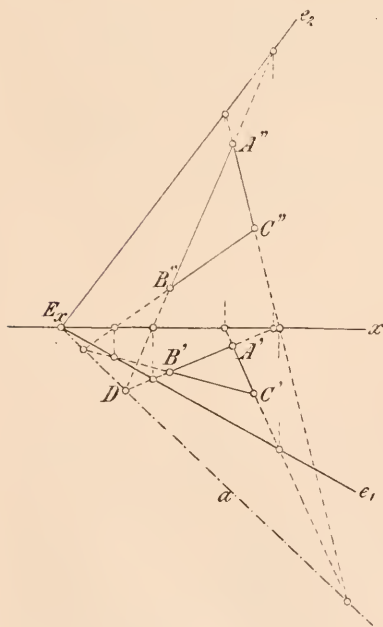


Fig. 66.

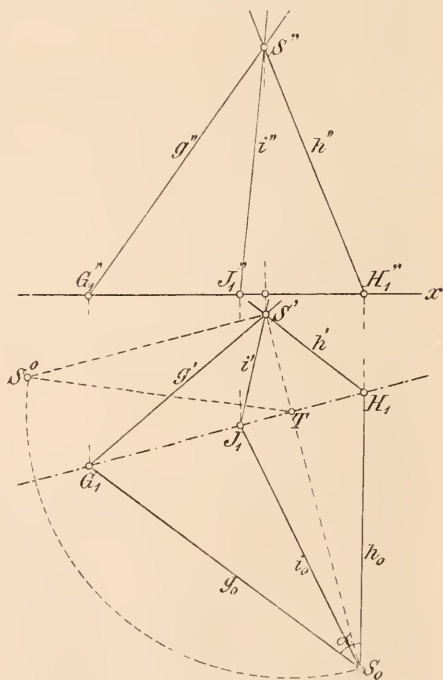


Fig. 67.

**§1. Affinität zwischen Grund- und Aufriß einer ebenen Figur.** Die beiden Projektionen einer ebenen Figur sind affin und befinden sich nach der Umlegung der einen Tafel in die andere in

affiner Lage. In der That sind die Verbindungslinien entsprechender Punkte parallel, nämlich senkrecht zur Achse; sie bilden die Affinitätsstrahlen; andererseits fallen Grund- und Aufriß der Geraden, in welcher die Ebene  $E$  der betrachteten Figur von der zweiten Halbierungsebene  $H_2$  geschnitten wird, in eine Gerade  $a$  (Fig. 66) zusammen; dies ist die Affinitätsachse. Die Gerade  $a$  geht durch den Achsenschnittpunkt  $E_x$  von  $E$ ; einen zweiten Punkt auf ihr liefert der Durchschnitt  $D$  der beiden Projektionen von irgend einer in  $E$  gezogenen Geraden (vergl. 64). — Hiernach kann die Affinität benutzt werden, um von einer in gegebener Ebene liegenden Figur aus einer Projektion die andere abzuleiten (wie dies in unserer Figur für das Dreieck  $ABC$  ausgeführt ist).

82. Der Winkel  $\alpha$  zweier durch ihre Projektionen gegebenen Geraden  $g$  und  $h$ . Man kann annehmen, daß beide Gerade sich in einem Punkte  $S$  schneiden (indem man nötigenfalls die eine durch eine Parallele ersetzt). Den Scheitel  $S$  lege man um die Verbindungslinie der Spurpunkte der Schenkel in eine Tafel um, z. B. durch Drehung um  $G_1H_1$  (Fig. 67). Der niedergelegte Punkt  $S_0$  findet sich auf der aus  $S'$  zur Drehachse gezogenen Normalen  $S'T'$ , und seine Entfernung  $S_0T'$  von dieser ist nach früherem gleich  $S^0T'$ , wo  $S^0S'T'$  das um die Kathete  $S'T'$  in den Grundriß umgelegte Dreieck  $SS'T'$  bedeutet ( $S^0S' = (S'' \rightarrow x)$ ). Dann ist  $\alpha = \angle G_1S_0H_1$ .

Die Halbierung des Winkels  $\alpha$  kann nur nach seiner Darstellung in wahrer Größe gefunden werden. Die umgelegte Halbierungslinie  $i_0$  schneidet auf der Drehachse den ersten Spurpunkt  $J_1$  aus, woraus sich dann  $i'$  und  $i''$  ergeben.

83. Um den Winkel  $\varepsilon$  zweier durch ihre Spuren gegebenen Ebenen  $A$

und  $B$  zu finden, zeichnen wir zunächst ihre Schnittlinie  $g$  mit ihren Spurpunkten  $G_1 = a_1 \times b_1$  und  $G_2 = a_2 \times b_2$  (Fig. 68). Eine

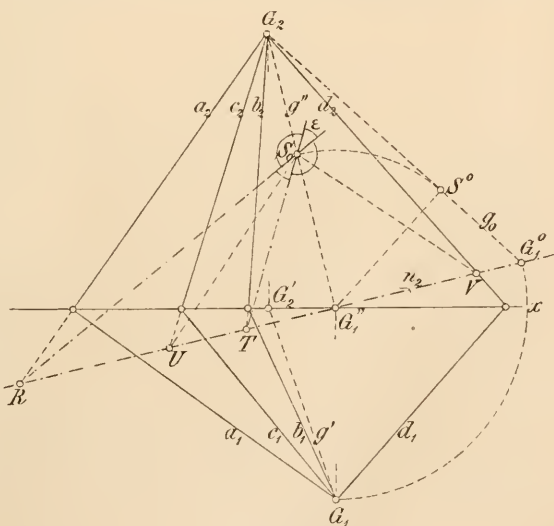


Fig. 68.

Normalebene  $N$  zu  $g$  schneidet  $A$  und  $B$  in den Schenkeln und  $g$  in dem Scheitel  $S$  des gesuchten Winkels  $\varepsilon$ . Die zweite Spur  $n_2$  von  $N$  ist senkrecht zu  $g''$  und wir ziehen sie etwa durch  $G_1''$ ; dann sind  $R = n_2 \times a_2$  und  $T = n_2 \times b_2$  die Spurpunkte der Schenkel. Legen wir jetzt den Winkel  $\varepsilon = \angle RST$  um  $n_2$  in die Aufrißebene nieder, so gelangt sein Scheitel  $S$  in eine bestimmte Lage  $S_0$  auf  $g''$ , denn  $S_0S''$  muß senkrecht zur Drehachse  $n_2$  sein. Dabei ist  $G_1''S$  das von  $G_1''$  auf  $g$  gefällte Lot und  $G_1''S_0$  ist seine wahre Länge. Diese finden wir, indem wir  $g$  um  $g''$  in die Aufrißebene als  $g^0$  umlegen und von  $G_1''$  das Lot  $G_1''S^0$  auf  $g^0$  fallen ( $G_1''G_1^0 = G_1''G_1$ ,  $G_1^0$  auf  $n_2 \perp g''$ ). Schließlich ist  $\angle RS_0T$  der gesuchte Winkel oder dessen Nebenwinkel.

Um die zu  $A$  und  $B$  gehörigen Winkelhalbierungsebenen  $\Gamma$  und  $\Delta$  zu bestimmen, schneide man  $n_2$  mit den beiden Geraden, die den umgelegten Winkel  $\varepsilon$  und seinen Nebenwinkel halbieren, in den Punkten  $U$  und  $V$ ; es sind dies die zweiten Spurpunkte der Winkelhalbierenden von  $\varepsilon$  und seinem Nebenwinkel. Da die gesuchten Ebenen je eine dieser Geraden enthalten müssen, so ist  $c_2 = G_2U$  und  $d_2 = G_2V$ , während  $c_1$  und  $d_1$  aus  $G_1$  nach ihren Schnittpunkten mit der Achse zu ziehen sind.

Der Winkel zweier Ebenen ist dem von ihren Normalen eingeschlossenen gleich. Man kann daher von einem beliebigen Punkte die Lote auf diese Ebene fallen und deren Winkel nach 82 bestimmen.

**84.** Der Neigungswinkel  $\alpha$  einer Geraden  $g$  gegen eine Ebene  $E$  ergänzt den Winkel zwischen  $g$  und der Ebenennormale zu einem Rechten. Man fälle daher aus irgend einem Punkte  $S$  von  $g$  auf  $E$  ein Lot  $n$  und bestimme die wahre Größe des Winkels  $\beta = \angle gn$  nach dem in

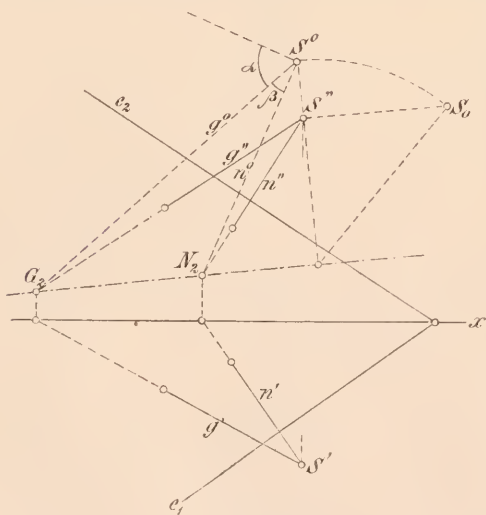


Fig. 69.

82 dargelegten Verfahren (Fig. 69). Zu diesem Zweck lege man etwa  $S$  um die Verbindungslinie  $G_2N_2$  der zweiten Spurpunkte



von  $g$  und  $n$  in die zweite Tafel um. Mit  $\beta$  ist auch der Winkel  $\alpha = R - \beta$  bekannt.

**85.** Die Bestimmung der wahren Gestalt eines in beiden Projektionen gegebenen Dreiecks  $ABC$  durch Paralleldrehung seiner Ebene zu einer Tafel. Man schneide die Dreiecksebene mit einer zur Aufrißtafel parallelen Hilfsebene  $\Pi$  in der Hauptlinie  $a = DE$ , die als Achse der Drehung dienen soll.

Die Paralleldrehung zu  $\Pi_2$  kann man dann als Umlegung um  $a$  in die Ebene  $\Pi$  auffassen. Der Aufriß des gedrehten Dreiecks  $A_\Delta B_\Delta C_\Delta$  wird seine wahre Gestalt zeigen, der Grundriß in die Gerade  $a'$  fallen (Fig. 70). Der Eckpunkt  $A$  beschreibt einen Kreisbogen, dessen Ebene auf  $a$  normal steht und dessen Aufriß folglich in die zu  $a''$  senkrechte Gerade  $A''G''$  fällt. Der Radius dieses Bogens ist das von  $A$  auf  $a$  gefällte Lot  $AG$  und bildet die Hypotenuse des rechtwinkligen Dreiecks mit den Katheten  $AF = (A \rightarrow \Pi)$  und  $FG = (F \rightarrow a)$ ; erstere erscheint mit ihrer wahren Länge im Grundriß  $A'F'$ , letztere im Aufriß  $F''G''$  ( $A'F' \perp a'$ ,  $F''G'' \perp a''$ ,  $F'' = A''$ ). Dieses rechtwinklige Dreieck  $AFG$  sowie die Bahnkurve  $AA_\Delta$  des Punktes  $A$  zeichnen wir, um  $FG$  in die Hilfsebene  $\Pi$  umgelegt, im Aufriß als Dreieck  $A_0''F''G''$  und Kreisbogen  $A_0''A_\Delta''$ . Da man nun  $A_\Delta''$  kennt, kann die weitere Konstruktion mit Benutzung der Affinität erfolgen;  $a''$  ist die Affinitätsachse und  $A_\Delta''$  und  $A''$  sind ein Paar entsprechender affiner Punkte ( $A''B'' \times A_\Delta''B_\Delta''$  auf  $a''$ ,  $B''B_\Delta'' \perp a''$ ).

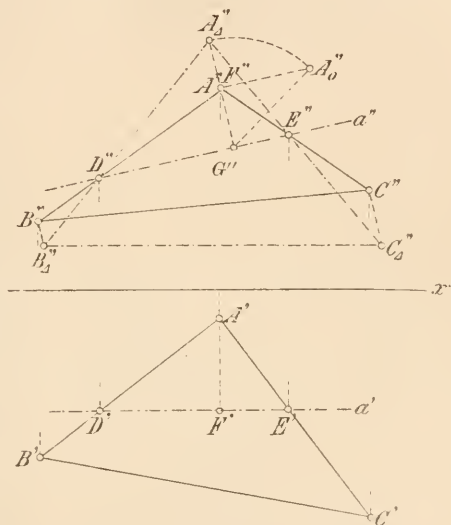


Fig. 70.

Nach dem auseinandergesetzten Verfahren kann die wahre Gestalt jeder durch ihre Projektionen gegebenen ebenen Figur ermittelt werden.

**86.** Der senkrechte Abstand eines Punktes  $P$  von einer Geraden  $g$ .  $P$  und  $g$  seien durch ihre Projektionen gegeben. Ein erster Weg zur Ermittlung des Abstandes  $PQ = (P \rightarrow g)$  ist folgender. Man bestimme mittels zweier Hauptlinien  $h_1$  und  $h_2$

die Normalebene  $N$  zu  $g$ , welche den Punkt  $P$  enthält, indem man als Projektionen von  $h_1$  und  $h_2$  durch  $P'$  resp.  $P''$  je eine Parallele

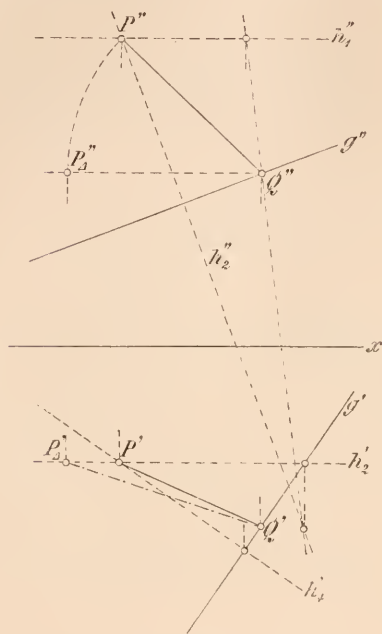


Fig. 71.

zur Achse und eine Normale zur gleichnamigen Projektion von  $g$  zieht (Fig. 71). Hierauf schneide man  $N$  mit  $g$  nach dem in 61 erklärten Verfahren in  $Q$  und bestimme die wahre Länge von  $PQ = (P \perp g)$  nach der in 73 angeführten Methode als  $P_{\Delta}'Q'$ .

Wir geben eine zweite Lösung der vorigen Aufgabe an, welche auf der in 85 entwickelten Methode beruht.  $P$  und  $g$  liegen in einer Ebene, die wir um eine Achse  $a$  parallel zum Aufriß drehen. Als Drehachse  $a$  diene die zweite Hauptlinie durch  $P$  ( $a' \parallel x$ ), welche die Gerade  $g$  im Punkte  $A$  trifft (Fig. 72). Um dieselbe werde die Gerade  $g$  und mit ihr das von  $P$  auf sie gefällte Lot  $PQ$  gedreht, bis sie zum Aufriß parallel werden. Die gedrehte Gerade  $g_{\Delta}$  und das gedrehte Lot  $PQ_{\Delta}$  erscheinen im Aufriß zu einander rechtwinklig und letzteres in wahrer Länge. Die Drehung selbst wird an einem auf  $g$  beliebig gewählten Punkte  $B$  (genau wie in 85) vorgenommen, hierauf  $g_{\Delta}'' = A'B''$  und senkrecht dazu  $P''Q_{\Delta}''$  gezogen.  $Q''$  findet man durch Zurückdrehen in die ursprüngliche Lage, wobei der von  $Q$  beschriebene Kreisbogen sich als Senkrechte zu  $a''$  projiziert. Aus dem Aufriß ergibt sich der Grundriß  $Q'$  und die beiden Projektionen von  $PQ$ .

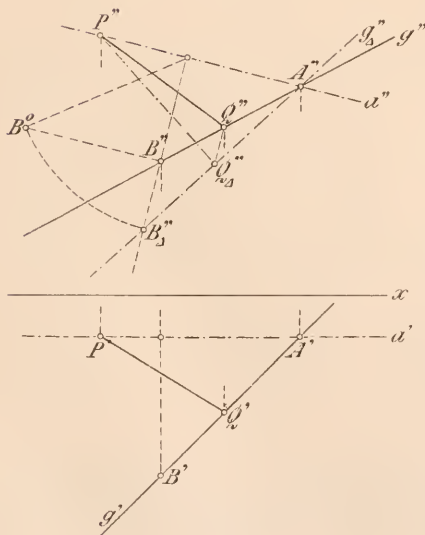


Fig. 72.

87. Das in 79 angegebene Verfahren, um Lote auf eine durch ihre Spurlinien gegebene Ebene zu fällen, läßt sich umgekehrt anwenden, um auf ihr die Normale in einem ihrer Punkte zu errichten. Wir führen gegenwärtig eine Modifikation desselben an, die zur Errichtung einer Normalen von gegebener Länge  $l$  auf einer Dreiecksebene in vorgeschriebenem Punkte  $P$  dient. Man denke sich durch  $P$  parallel zur Aufrißebene eine Hilfsebene  $\Pi$  gelegt und zeichne die Hauptlinie  $h$ , die sie aus der Dreiecksebene  $ABC$  ausschneidet (Fig. 73). Ferner denke man sich zu  $h$  eine Normalebene  $N$  durch  $P$ , welche  $ABC$  in einer Falllinie  $f$  schneidet; es wird dann  $f'' \perp h''$  sein. Die gesuchte Normale liegt in  $N$  und steht auf  $f$  senkrecht. Man drehe also die Ebene  $N$  um ihre in  $\Pi$  liegende Hilfsspur  $n$ , bis sie mit  $\Pi$  zur Deckung kommt; dabei ist zu beachten, daß der Grundriß  $n'$  dieser Hilfsspur mit  $h'$ , der Aufriß  $n''$  mit  $f''$  zusammenfällt. Man erhält zuerst durch Drehung eines Punktes der Falllinie, etwa  $F'$  auf  $AB$ , die Lage von  $F_{\Delta}''$  und von  $f_{\Delta}''$  ( $F_{\Delta}'' F_{\Delta}'' = (F' \dashv n')$ ), sodann den Aufriß der gedachten Normalen  $l_{\Delta}'' (\perp f_{\Delta}'')$ , dem die Länge  $l = P'Q_{\Delta}''$  zu erteilen ist. Beim Zurückdrehen um  $n$  beschreibt der Aufriß des Endpunktes die Strecke  $Q_{\Delta}''Q''$ ; senkrecht unter  $Q''$  und um dieselbe Strecke von  $n'$  entfernt findet man  $Q'$ . Hierbei ist zu erwägen, daß  $F'$  und  $Q'$  in der Ebene  $N$  auf verschiedenen Seiten von  $n$  liegen, wie man aus der gedrehten Ebene erkennt, und daß deshalb auch  $F'$  und  $Q'$  im Grundriß auf verschiedenen Seiten von  $n'$  liegen müssen. — Die zu  $PQ$  entgegengesetzt gerichtete Normale sei  $PR$ ,  $R$  liegt mit  $F'$  auf der nämlichen Seite von  $n$  und ebenso müssen sich ihre Grundrisse  $R'$  und  $F'$  in Bezug auf  $n'$  verhalten.

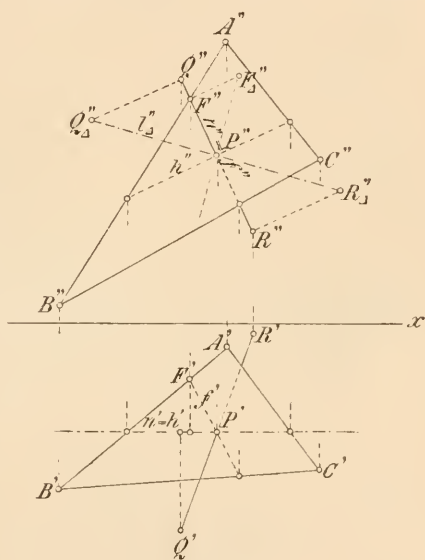


Fig. 73.

88. Für spätere Anwendungen ist die Lösung der Aufgabe von Wichtigkeit: einen Punkt  $P$  um eine Tafelparallele  $a$  durch einen gegebenen Winkel  $\omega$  zu drehen. Durch die Achse  $a$ , die

man etwa zur Aufrißtafel parallel nehmen mag, lege man eine vertikale Hilfsebene  $\Pi$  und durch  $P$  eine Ebene  $N$  normal zu  $a$ ,

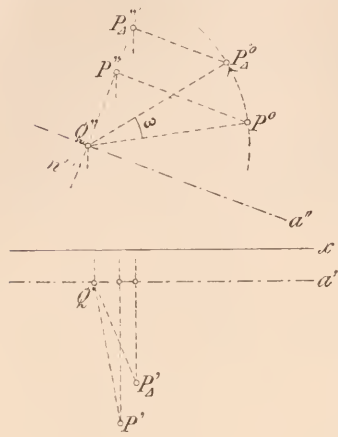


Fig. 74.

welche die Bahnlinie dieses Punktes enthält.  $N$  schneidet in  $\Pi$  die Hilfsspur  $n$  aus ( $n'' \perp a''$ ,  $n' = a'$ ) (Fig. 74). Eine Seitenansicht, die man durch Umlegen von  $N$  in  $\Pi$  gewinnt, zeigt die Bahnlinie in ihrer wahren Gestalt, nämlich als den um  $Q'' = n'' \times a''$  durch die Seitenansicht  $P^0$  von  $P$  beschriebenen Kreisbogen. Trägt man daher an  $Q''P^0$  in vorgeschriebenem Drehungsinne den Winkel  $\omega = \angle P^0Q''P_{\Delta}^0$  an, so ist  $P_{\Delta}^0$  die Seitenansicht des gedrehten Punktes. Hieraus ergibt sich der Aufriß  $P_{\Delta}''$ , wenn  $P_{\Delta}^0P_{\Delta}''$  normal zu  $n''$  gezogen, und der Grundriß  $P_{\Delta}'$ , wenn sein Abstand von  $a'$  derselben Strecke

gleichgemacht wird. Diese letzten Operationen entsprechen dem Wiederaufrichten der umgelegten Ebene  $N$ .

89. Der kürzeste Abstand zweier widerschiefen Ge-

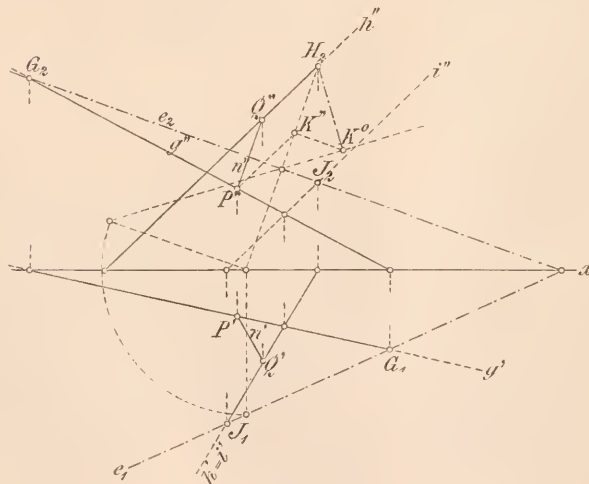


Fig. 75.

raden ist diejenige Strecke, die auf beiden senkrecht steht. Es werde durch die eine Gerade  $g$  eine Parallelebene  $E$  zur anderen  $h$  gelegt, dann  $h$  auf  $E$  senkrecht projiziert und  $g$  mit dieser Projektion im Punkte  $P$  geschnitten. Errichtet man schließlich in  $P$  die Normale auf  $E$ , so trifft sie  $h$  in einem

Punkte  $Q$  und  $PQ$  ist der gesuchte Abstand. In der That, alle Punkte von  $h$  haben von  $E$  einerlei senkrechten Abstand  $d = PQ$ ,

folglich kann kein Punkt von  $h$  um weniger als die Strecke  $d$  von  $g$  entfernt sein.

Aus dieser Überlegung ergibt sich folgende Konstruktion (Fig. 75). Man ziehe durch einen Punkt von  $g$  die Gerade  $i$  parallel zu  $h$  etwa so, daß  $i'$  mit  $h'$  zusammenfällt, und zeichne die Spur-  
linien  $e_1$  und  $e_2$  der Ebene  $E = gi$ . Aus einem auf  $h$  beliebig angenommenen Punkte — in der Figur ist der Spurpunkt  $H_2$  benutzt — fälle man sodann das Lot auf  $E$  nach dem in 79 gegebenen Verfahren. Man lege nämlich durch  $H_2$  eine Ebene senkrecht zu  $e_2$ , welche  $E$  in einer Falllinie schneidet; diese lege man um die zweite Spur der letztgenannten Ebene um und fälle von  $H_2$  das Lot  $H_2K^0$  auf sie, was von der Länge des kürzesten Abstandes  $d$  ist. Hieraus folgt dann auch der Aufriß  $H_2K''$  und damit der Aufriß  $P''Q''$  des gesuchten gemeinsamen Lotes, das mit jenem parallel und gleich lang ist ( $K''P'' \parallel h''$ ,  $P''$  auf  $g''$ ,  $P''Q'' \perp e_2$ ). Aus  $P''$  und  $Q''$  ergeben sich die Grundrisse  $P'$  und  $Q'$  auf  $g'$  und  $h'$  und man hat zu beachten, daß  $P'Q'$  zur ersten Spur  $e_1$  normal sein muß.

**90.** Die gemeinsame Normale zweier zu einer Tafel, etwa zu  $\Pi_2$ , parallelen Geraden liegt zu dieser senkrecht; ihr Aufriß redu-

ziert sich demgemäß auf den Schnittpunkt der zweiten Projektionen, während ihr Grundriß direkt den kürzesten Abstand angiebt. Wir erhalten daher eine zweite Lösung unserer Aufgabe, wenn wir durch Drehung den Parallelismus der Geraden  $g$  und  $h$  zur Aufrißtafel herbeiführen. — Man ziehe, wie oben, durch den Punkt  $G$  von  $g$  die Parallele  $i$  zu  $h$  (Fig. 76) und hierauf eine in der Ebene  $gi$  liegende,

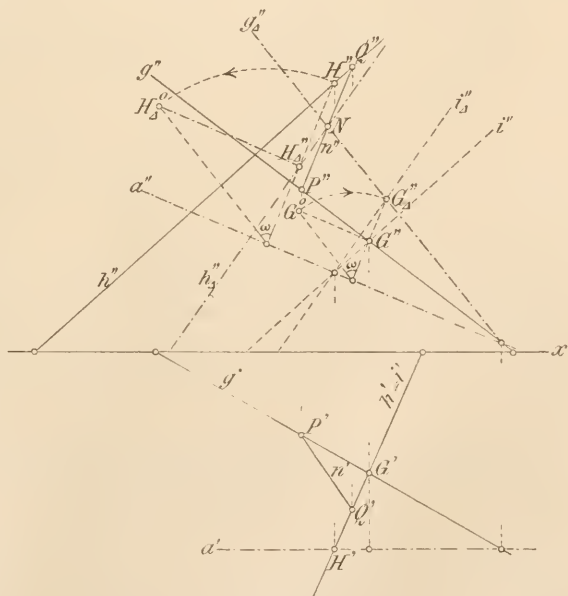


Fig. 76.

zur Aufrißtafel parallele Drehachse  $a$ . Um diese sind die gegebenen Geraden zu drehen, bis  $g$  und  $i$ , und folglich auch  $h$  zu



$\Pi_2$  parallel werden. Die gedrehten Elemente bezeichne der Index  $\Delta$ , die erforderlichen Seitenrisse (vergl. 88) der obere Index  $^0$ . Zunächst wird  $G$  in die Lage  $G_\Delta$  gedreht ( $G^0 G'' \parallel a'' \perp G_\Delta'' G''$ ,  $G^0 G'' = (G' \dashv a')$ ); man erhält so  $G_\Delta''$ ,  $g_\Delta''$  und  $i_\Delta''$ . Der Seitenriß  $G^0 G_\Delta''$  der Bahnlinie von  $G$  ergibt den Drehwinkel  $\omega$ . Hierauf drehen wir einen Punkt von  $h$ , am einfachsten den vertikal über der Drehachse  $a$  gelegenen Punkt  $H$ , um den gleichen Winkel  $\omega$  und in gleichem Sinne. Im zugehörigen Seitenriß geht  $H''$  in die Lage  $H_\Delta^0$  über, wobei der beschriebene Bogen wieder zum Winkel  $\omega$  gehört. In der Figur ist der letztere Seitenriß durch eine Umlegung im umgekehrten Sinne hergestellt, so daß die zu den Winkeln  $\omega$  gehörigen Bogen entgegengesetzten Drehsinn haben; das bietet den Vorteil, daß die Schenkel der Winkel  $\omega$  parallel werden. Die Strecke  $H_\Delta^0 H_\Delta''$  giebt die kürzeste Entfernung  $d$  an. Ferner ergibt sich  $h_\Delta''$  durch  $H_\Delta''$  und parallel zu  $i_\Delta''$ , sowie der Aufriß  $N = g_\Delta'' \times h_\Delta''$  der gemeinsamen Normalen  $n$  nach der Drehung. Beim Zurückdrehen bewegt sich der Aufriß eines jeden Punktes von  $n$  auf der durch  $N$  gelegten Senkrechten zu  $a''$ ; folglich findet man auf ihr  $n'' = P''Q''$  und hier aus  $n' = P'Q'$ .

**91.** Wir führen noch eine dritte Lösung desselben Problems an, um dadurch die Bedeutung verschiedener Methoden hervortreten zu lassen. Wiederum ziehen wir durch einen Punkt von  $g$  eine Parallele  $i$  zu  $h$ , etwa so, daß  $i' = h'$  wird, und zeichnen dann die Spur  $e_1 = J_1 G_1$  der Ebene  $E = ig$ . Hierauf wählen wir eine Ebene  $\Pi_3$  senkrecht zu  $e_1$ , die wir als Seitenrißebene benutzen und um ihre Spur  $y$  in die Grundrißebene niederlegen (Fig. 77). Im Seitenriß konstruieren wir nun  $g''' = i'''$  und  $h''' \parallel i'''$  und fällen von einem Punkte  $A$  von  $h$  das Lot  $AC$  auf  $E$ . Dieses Lot ist gleich der Länge des gesuchten kürzesten Abstandes  $d$  und erscheint im Seitenriß  $A'''C'''$  in wahrer Größe und normal zu  $g'''$ , während sein Grundriß  $A'C'$  zu  $e_1$  senkrecht ist. In der Figur fällt  $A'$  mit  $B' = g' \times h'$  zusammen ( $B = g \times i$ ). Zuletzt verschieben wir  $A'C'$  parallel mit sich selbst in der Richtung von  $h'$ , bis der eine Endpunkt auf  $g'$  gelangt, indes der andere auf  $h'$  bleibt. Die so erhaltene Strecke  $P'Q'$  stellt den Grundriß des gesuchten kürzesten Abstandes von  $g$  und  $h$  dar, woraus der Aufriß unmittelbar folgt. Der hier verwendete Seitenriß läßt sich entbehren, wenn man die Figur einer gewissen Drehung unterwirft. Man drehe nämlich  $g$  und  $h$  um die vertikale Achse  $a$ , welche die Geraden in  $B$  und  $A$  resp. schneidet, deren Grundriß also  $A' = B' = g' \times h'$  ist, und zwar richte man die Drehung so ein, daß die gedrehte Ebene  $E = gi$  senkrecht zu  $\Pi_2$ , d. h. ihre

Spur  $e_{1\Delta}$  senkrecht zur Axe  $x$  wird. Dann verbindet der Aufriß  $g_{\Delta}''$  der gedrehten Geraden  $g_{\Delta}$  den Punkt  $B''$  mit  $e_{1\Delta} \times x$ , und das von  $A$  auf die gedrehte Ebene  $E$  gefällte Lot hat den Aufriß  $A''C_{\Delta}''$  und erscheint in wahrer Länge, da  $AC_{\Delta}$  parallel zu  $\Pi_2$  ist. Aus dem gleichen Grunde ist  $(C_{\Delta} \dashv a'') = (C_{\Delta} \dashv a)$ ; weil aber  $C_{\Delta}$  seinen Ab-

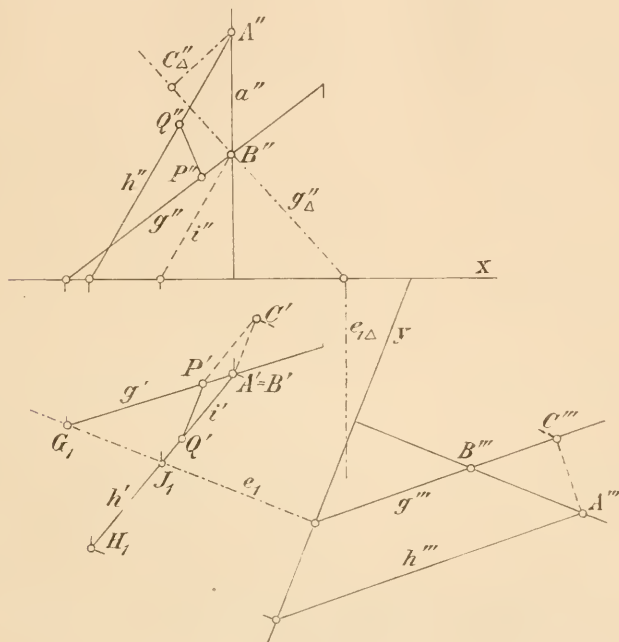


Fig. 77.

stand von  $a$  bei der Rückwärtsdrehung nicht ändert, hat man  $C'A'$  senkrecht zu  $e_1$  zu ziehen und  $= (C_{\Delta}'' \dashv a'')$  zu machen. Jetzt verschiebt man wieder  $A'C'$  wie vorher und erhält zunächst den Grundriß  $P'Q'$  und sodann den Aufriß  $P''Q''$ .

### Lösung verschiedener stereometrischer Aufgaben durch Projektionsmethoden.

Wir wenden im Folgenden die bisher entwickelten Methoden der Projektion auf eine Reihe einfacher stereometrischer Probleme an, deren Lösung in späteren Untersuchungen von Nutzen sein wird. Zu diesem Zwecke aber bedarf es der Feststellung einiger Vorbegriffe.

**92.** Dreht sich eine Gerade  $g$  um eine sie schneidende feste Achse  $a$ , so beschreibt sie eine Fläche, die man als Rotations-



vier gemeinsame Erzeugende liefern. Diese vier Geraden können paarweise in je eine Berührungslinie der Kegel zusammenrücken, bzw. in Wegfall kommen.

**94.** Denkt man sich durch die Spitze  $S$  eines Rotationskegels  $\mathfrak{K}$  zu jeder Berührungsebene  $T$  eine Normale  $g_1$  gezogen, so erzeugen diese einen zweiten um dieselbe Achse  $a$  beschriebenen (koaxialen) Rotationskegel  $\mathfrak{K}_1$ , den sogenannten Polarkegel. Legt man umgekehrt in der Mantellinie  $g_1$  an den Polarkegel die Tangentialebene  $T_1$  und zieht durch die Spitze  $S'$  eine Normale  $g$  zu ihr, so ist  $g$  eine Mantellinie des ursprünglichen Kegels und  $T$  die zugehörige Tangentialebene. Ist nämlich  $g$  die Berührungslinie von  $T$ , so ist die Ebene  $ga$  normal zu  $T$ , folglich enthält die Ebene  $ga$  auch die Gerade  $g_1$  (als Normale von  $T$ ) und zwar sind  $g$  und  $g_1$  rechtwinklig. Die Ebene  $T_1$  steht aber auf der Ebene  $ga$  senkrecht und die auf ihr errichtete Normale fällt demnach mit  $g$  zusammen. Die Beziehung zwischen einem Kegel und seinem Polarkegel ist umkehrbar, die Erzeugenden eines jeden sind die Normalen zu den Tangentialebenen des anderen.

Den gemeinsamen Erzeugenden zweier Rotationskegel mit gemeinsamer Spitze entsprechen die gemeinsamen Tangentialebenen ihrer Polarkegel. Hieraus folgt: zwei Rotationskegel mit gemeinsamer Spitze haben im allgemeinen vier gemeinsame Berührungsebenen. Im besonderen kann ihre Zahl sich vermindern, indem sie paarweise zusammenfallen oder ganz fortfallen.

**95.** Dreht sich eine Gerade  $g$  um eine zu ihr parallele feste Achse  $a$ , so beschreibt sie einen Rotationscylinder, oder geraden Kreiscylinder, den man auch als Rotationskegel mit unendlich ferner Spitze auffassen kann. Die auf ihm liegenden Geraden heißen wieder Erzeugende oder Mantellinien und  $a$  die Achse des Cylinders. Alle Ebenen normal zur Achse schneiden den Cylinder in gleich großen Kreisen. Eine Parallelebene zur Achse des Cylinders schneidet ihn entweder in zwei Mantellinien, oder berührt ihn längs einer Mantellinie, oder hat keine mit ihm gemein. Eine gegen die Achse geneigte Ebene schneidet den Cylinder in einer Kurve, die zu dem Kreise des Normalschnittes affin ist, also in einer Ellipse. Zwei Rotationscylinder mit parallelen Achsen haben entweder zwei getrennte, oder zwei vereinte, oder keine Erzeugende gemein.

**96.** Es mag daran erinnert werden, daß, ebenso wie die Punkte einer Kugel, auch ihre Tangenten und Tangentialebenen, da sie

normal zu den Radien nach ihren Berührungspunkten stehen, einerlei Abstand vom Centrum haben.

Analog haben die Punkte, Tangenten und Tangentialebenen eines Rotationscylinders einerlei senkrechten Abstand von seiner Achse. Denn jede Tangentialebene steht senkrecht auf der Ebene, die durch ihre Berührungslinie und die Achse gelegt wird; ihr Abstand von der Achse ist also gleich dem der Mantellinien von der Achse. Jede Tangente des Cylinders liegt in einer Tangentialebene, ihr Berührungspunkt auf deren Berührungslinie; der kürzeste Abstand einer Tangente von der Achse ist also gleich dem der sie enthaltenden Tangentialebene von der Achse, sein Endpunkt auf der Tangente ist ihr Berührungspunkt.

Der geometrische Ort aller Geraden, die man durch einen Punkt  $S$  unter gegebenem Neigungswinkel  $\gamma$  gegen eine Ebene  $E$ , mithin unter dem Winkel  $(R - \gamma)$  gegen das von  $S$  auf  $E$  gefällte Lot  $a$  ziehen kann, ist der durch Rotation des Winkels  $(R - \gamma)$  um seinen Schenkel  $a$  erzeugte Kegel mit seiner Spitze  $S$ . Der vom Kegel auf  $E$  ausgeschnittene Kreis mag als der zur Spitze  $S$  und zum Winkel  $\gamma$  gehörige Neigungskreis jener Ebene bezeichnet werden; sein Centrum ist der Fußpunkt des von  $S$  auf  $E$  gefällten Lotes, er enthält die Spurpunkte der oben definierten Geraden. — Den in Rede stehenden Kegel müssen andererseits alle durch  $S$  unter dem Neigungswinkel  $\gamma$  gegen  $E$  (oder dem Winkel  $(R - \gamma)$  gegen  $a$ ) gelegten Ebenen berühren, weil der Neigungswinkel einer Tangentialebene des Kegels gegen seine Achse mit dem ihrer Berührungslinie identisch ist. Die Spurlinien der fraglichen Ebenen in  $E$  berühren sonach den Neigungskreis.

**97.** Gerade von gegebener Tafelneigung in gegebener Ebene. Es sollen die Geraden durch einen Punkt  $P$  in der Ebene  $E$  dargestellt werden, welche mit  $\Pi_1$  den Winkel  $\gamma_1$  bilden. Damit die Aufgabe Lösungen habe, darf  $\gamma_1$  nicht größer als die erste Tafelneigung von  $E$  sein; ist dies der Fall, so genügen ihr zwei Gerade  $g$  und  $h$ . Sie erscheinen als Schnittlinien der Ebene  $E$  mit einem Rotationskegel, dessen Spitze  $P$ , dessen Achse  $PP'$  ist und dessen Mantellinien mit ihr den Winkel  $(R - \gamma_1)$  einschließen (Fig. 79). Wir zeichnen zunächst die zu  $\Pi_2$  parallele Mantellinie  $PQ$  des Kegels, deren Aufriß  $P''Q''$  die Achse  $x$  unter dem Winkel  $\gamma_1$  in  $Q''$  schneidet. Dann geht sein in  $\Pi_1$  liegender Spurkreis  $k$  durch  $Q$  und hat den Punkt  $P$  zum Centrum; er schneidet  $e_1$  in den Spurpunkten  $G_1$  und  $H_1$  der gesuchten Geraden. — Berührt  $e_1$  den Neigungskreis  $k$ , so fallen  $g$  und  $h$  in eine Falllinie von  $E$  zusammen.



98. Ebenen von gegebener Tafelneigung durch eine gegebene Gerade. Durch eine Gerade  $g$  mögen die Ebenen gelegt werden, welche mit  $\Pi_1$  den Winkel  $\varepsilon_1$  einschließen, was nur möglich ist, wenn  $\varepsilon_1$  nicht kleiner als die erste Tafelneigung von  $g$  ist. Man wähle auf  $g$  irgend einen Punkt (Fig. 80), etwa den zweiten Spurpunkt  $G_2$ , als Spitze eines Kegels und das von ihm auf  $\Pi_1$  gefällte Lot  $G_2G_2'$  als seine Achse. Seine in der Aufrißebene liegende Mantellinieschneidet  $x$  unter dem Winkel  $\varepsilon_1$ . Dann geht der Spurkreis  $k$  des Kegels durch den (auf  $x$  liegenden) Spurpunkt der verzeichneten Mantellinie und  $G_2'$  ist sein Centrum. (Ist der auf  $g$  gewählte Punkt beliebig, so zeichne man die zu  $\Pi_2$  parallele Mantellinie, deren Aufriß mit  $x$  den Winkel  $\varepsilon_1$  bildet). Die von  $G_1$  an  $k$  gelegten Tangenten  $d_1$  und  $e_1$  sind die ersten Spurlinien der gesuchten Ebenen, deren zweite Spuren durch  $G_2$  gehen. In der That berühren diese Ebenen den genannten Kegel, besitzen also die gleiche Tafelneigung  $\varepsilon_1$  gegen  $\Pi_1$  wie seine Mantellinien.

**99.** Die Schnitt-  
linien zweier Rotationskegel mit gemeinsamer Spitze.  
Sind  $a$  und  $b$  die Achsen der beiden Kegel, die sich in der

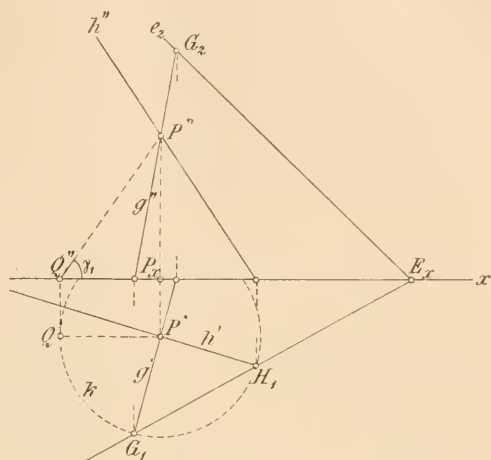
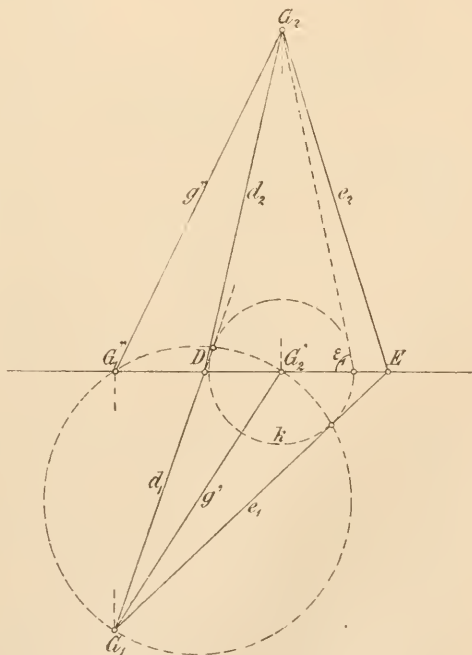


Fig. 79.



gemeinsamen Spitze  $S$  schneiden, so lege man sie mit ihrer Ebene um die zugehörige erste Spurlinie in die Grundrißebene nieder. Dann bestimme man für diese Lage der Achsen die gesuchten Schnittlinien und führe schließlich die der vorher genannten Niederlegung entgegengesetzte Bewegung aus (nach 82 u. 88). Dadurch gelangen die Achsen  $a$  und  $b$  wieder in ihre ursprüngliche Lage und zugleich nehmen die gefundenen Schnittlinien eine Lage ein, in der sie die Lösung der ursprünglich gestellten Aufgabe darstellen. Wir

behandeln hier nur den Fall, wo die Achsen  $a$  und  $b$  in  $\Pi_1$  liegen (Fig. 81), so daß  $\Pi_1$  die Kegel  $\mathfrak{K}$  und  $\mathfrak{L}$  in je zwei Erzeugenden.  $K_1K_3$ ,  $K_2K_4$  und  $L_1L_3$ ,  $L_2L_4$  schneidet. Eine um den Punkt  $S$  als Centrum beschriebene Kugel, die  $\Pi_1$  in einem Kreise  $c$  schneidet, hat mit den Kegeln je zwei Kreise gemein, deren Ebenen resp. zu  $a$  und  $b$  normal sind. Diese Kreise projizieren sich deshalb als gerade Linien  $K_1K_2$  und  $K_3K_4$  resp.  $L_1L_2$  und  $L_3L_4$ , und die Schnittpunkte  $A'$ ,  $B'$ ,  $C'$ ,  $D'$  der letzteren sind die Projektionen von je zwei symmetrisch zu  $\Pi_1$  liegenden Schnittpunkten  $A_1$ ,  $A_2$ ,  $B_1$ ,  $B_2$ ,  $C_1$ ,  $C_2$ ,  $D_1$ ,  $D_2$  der ersteren. Den Abstand des einzelnen Schnittpunktes von der Grundrißebene (nach oben oder unten) entnimmt man aus der Umlegung eines der

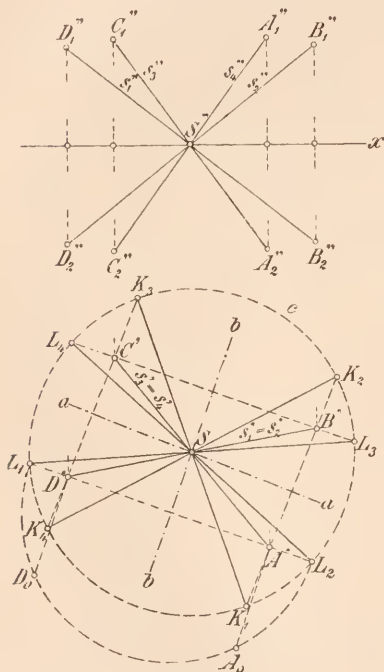


Fig. 81.

beiden ihn enthaltenden Kreise um seinen in  $\Pi_1$  liegenden Durchmesser. Daraus ergibt sich dann sofort der Aufriß des fraglichen Punktes ( $A_0A' = (A_1'' \dashv x)$  u. s. w.), sowie die Aufrisse  $A_1''C_2''$ ,  $A_2''C_1''$ ,  $B_1''D_2''$ ,  $B_2''D_1''$  der gesuchten Schnittlinien und ihre paarweise sich deckenden Grundrisse  $A'C'$  und  $B'D'$ . — Je nachdem die vier Ecken des Parallelogramms  $A'B'C'D'$  alle vier innerhalb, oder außerhalb, oder teils inner-, teils außerhalb liegen, besitzen die beiden Kegel vier, keine oder zwei gemeinsame Erzeugenden. Fallen zwei gegenüberliegende Ecken auf den Kreis  $c$ , so berühren sich die Kegel in einer in  $\Pi_1$  gelegenen Mantellinie.

100. Die gemeinsamen Tangentialebenen zweier Rotationskegel mit gemeinsamer Spitze. Wir nehmen wiederum die Kegelachsen  $a$  und  $b$  in  $\Pi_1$  an; als Erzeugende der Kegel  $\mathfrak{R}$  und  $\mathfrak{L}$  seien  $SK_1$ ,  $SK_2$  und  $SL_1$ ,  $SL_2$  in  $\Pi_1$  gegeben (Fig. 82). Es genügt, die Konstruktion für eine der vier im allgemeinen möglichen

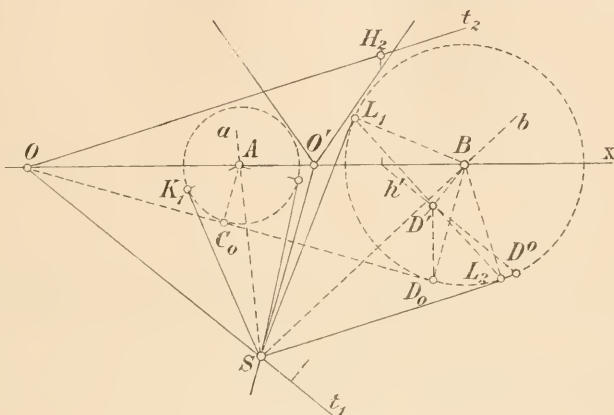


Fig. 82.

gemeinsamen Berührungsebenen der Kegel  $\mathfrak{R}$  und  $\mathfrak{L}$  durchzuführen, da sich die übrigen ganz ebenso zeichnen lassen.

Wir wählen auf  $a$  und  $b$  willkürlich zwei Punkte  $A$  und  $B$ , etwa die Schnittpunkte mit der Achse  $x$ , und denken uns aus ihnen auf die gesuchte Berührungsebene  $\mathsf{T}$  die Lote  $AC$  und  $BD$  gefällt, deren Fußpunkte  $C$  und  $D$  auf den Berührungslinien liegen (vergl. 92). Die Verbindungslinie  $CD$ , die mit den parallelen Loten in einer Ebene liegt, trifft die Achse  $x$  in einem Punkte  $O$ . Durch  $O$  geht auch die um  $x$  in  $\Pi_1$  umgelegte Gerade  $C_0D_0$ , die man in folgender Weise bestimmt. Alle von  $A$  auf die Mantellinien des Kegels  $\mathfrak{R}$  gefällten Lote sind gleich, also  $AK_1 = AC = AC_0$  ( $AK_1 \perp SK_1$ ), und da  $AC \perp CO$  ist, ist auch  $AC_0 \perp C_0O$ . Ganz ebenso findet man  $BL_1 = BD = BD_0$  und  $BD_0 \perp OD_0$ , so daß die Gerade  $OC_0D_0$  die beiden Kreise berührt, welche um die Punkte  $A$  resp.  $B$  mit den Radien  $AK_1$  resp.  $BL_1$  beschrieben sind. Demnach ist  $O$  ein Ähnlichkeitspunkt dieser beiden Kreise (vergl. 4) und  $OS = t_1$  die erste Spurlinie der gesuchten Ebene  $\mathsf{T}$ . Die Fußpunkte aller aus  $B$  auf die Mantellinien des Kegels  $\mathfrak{L}$  gefällten Lote liegen auf einem Kreise, dessen Projektion mit seinem in  $\Pi_1$  liegenden Durchmesser  $I_1L_2$  zusammenfällt. Auf diesem findet man daher auch den zu  $D$  gehörigen Grundriß  $D'$  ( $D_0D' \perp x$ ,  $BD' \perp t_1$ ) und durch Umlegen des

rechtwinkligen Dreiecks  $DD'B$  um eine Kathete  $D'B$  den Tafelabstand  $DD' = D^0D'$  des Punktes  $D$  ( $D^0D' \parallel t_1$ ,  $D^0$  auf dem Kreis). Die Hauptlinie  $h(\parallel t_1)$  durch  $D$  hat den gleichen Tafelabstand, also liegt ihr zweiter Spurpunkt  $H_2$  senkrecht über  $h' \times x$  im Abstand  $D^0D'$ . Damit ist die zweite Spur  $t_2 = OH_2$  von  $T$  gefunden.

Symmetrisch zu  $T$  in Bezug auf  $\Pi_1$  liegt eine zweite gemeinsame Tangentialebene; ihre erste Spur ist wieder  $t_1$ , während ihre zweite Spur mit  $x$  den gleichen Winkel bildet wie  $t_2$ . Ist  $O'$  der andere Ähnlichkeitspunkt der beiden um  $A$  und  $B$  beschriebenen Kreise, so ist  $O'S$  die gemeinsame erste Spur zweier weiterer Tangentialebenen, die wiederum zu  $\Pi_1$  symmetrisch sind. Ihre zweiten Spuren sind in der Figur eingetragen, jedoch ohne Konstruktion.

Die gegebenen Kegel haben nur dann vier verschiedene Tangentialebenen gemein, wenn die Linien  $OS$  und  $O'S$  beide außerhalb derselben liegen. Umschließen die Kegelflächen eine dieser Linien, oder beide, so kommen zwei resp. vier gemeinsame Tangentialebenen in Wegfall. Den Übergang bilden die Fälle, wo die gegebenen Kegel einander längs einer Mantellinie berühren, die dann in  $\Pi_1$  liegen muß.

Es mag noch erwähnt werden, daß die Bestimmung der gemeinsamen Tangentialebenen zweier Rotationskegel mit derselben Spitze auch auf die der gemeinsamen Erzeugenden ihrer Polarkegel zurückgeführt werden kann (vergl. 94).

**101.** Das in 99 gegebene Verfahren läßt sich, natürlich mit gewissen Abkürzungen, auf die schon in 76 behandelte Aufgabe anwenden: die Geraden durch einen gegebenen Punkt  $P$  mit den Neigungswinkeln  $\gamma_1$  und  $\gamma_2$  gegen die Tafeln zu ziehen. Die zum gegebenen Punkt  $P$  und den gegebenen Winkeln  $\gamma_1$  und  $\gamma_2$  in  $\Pi_1$  und  $\Pi_2$  gehörigen Neigungskreise  $k_1$  und  $k_2$  bestimmen zwei Rotationskegel mit der Spitze  $P$ , deren gemeinsame Erzeugende die Lösungen des Problems bilden. Die Achsen  $PP'$  und  $PP''$  dieser Kegel liegen in einer zur Projektionsachse  $x$  senkrechten Ebene  $\Pi_3$ , die als Seitenrißebene zu benutzen ist. Damit nimmt die Aufgabe, was die Darstellung der dritten Projektionen der gesuchten Geraden betrifft, dieselbe Form, wie in 99 für die ersten Projektionen an. Zur Auffindung der ersten und zweiten Projektionen dient hier die Bemerkung, daß die bezüglichen Spurpunkte auf den Neigungskreisen  $k_1$  und  $k_2$  liegen.

**102.** Die in 78 erledigte Aufgabe: durch einen Punkt  $P$  die Ebenen mit den gegebenen Tafelneigungen  $\varepsilon_1$  und  $\varepsilon_2$  zu legen, kann auch nach der in 100 dargelegten Methode be-

handelt werden. Diese Ebenen müssen die beiden Kegel gleichzeitig berühren, welche durch den Punkt  $P$  als Spitze und die zu ihr und zu den Winkeln  $\varepsilon_1$  und  $\varepsilon_2$  in  $\Pi_1$  und  $\Pi_2$  gehörigen Neigungskreise  $k_1$  und  $k_2$  bestimmt sind. Man benutze wiederum die durch  $P$  gelegte Seitenrißebene  $\Pi_3$ . Hat man in ihr, wie in 100 für  $\Pi_1$ , die paarweise zusammenfallenden dritten Ebenenspuren gefunden, so hat man aus ihren Schnittpunkten mit den Nebenachsen  $y$  und  $z$  nur noch die Tangenten an die Kreise  $k_1$  und  $k_2$  zu legen; diese sind die ersten und zweiten Spuren der gesuchten Ebenen. — Man kann die Aufgabe auch auf die in 99 gelöste zurückführen, indem man zuerst die Geraden durch  $P$  konstruiert, welche die Tafelneigungen  $(R - \varepsilon_1)$  und  $(R - \varepsilon_2)$  haben und zu ihnen die Normalebenen durch  $P$  legt.

**103.** Um die Geraden darzustellen, welche zwei gegebene windschiefe Gerade  $k$  und  $i$  unter gegebenen Winkeln  $\alpha$  und  $\beta$  schneiden, suche man zuerst die Richtungen derselben auf die folgende Art. Man ziehe durch einen beliebigen Punkt  $S$  auf  $k$  eine Parallele  $l$  zu  $i$ . Die Schnittlinien der Kegel  $\mathfrak{K}$  und  $\mathfrak{L}$ , die durch Rotation des Winkels  $\alpha$  um den Schenkel  $k$  und des Winkels  $\beta$  um den Schenkel  $l$  erzeugt werden, wenn die Scheitel dieser Winkel in  $S$  vereinigt liegen, geben die fraglichen Richtungen an. Man lege daher  $k$  und  $l$  in  $\Pi_1$  um die Spur ihrer Ebene nieder (oder drehe sie zu  $\Pi_1$  parallel), wende zur Bestimmung der gemeinsamen Mantellinien der mitgedrehten Kegel das Verfahren in 99 an und drehe hierauf zurück. Schließlich lege man durch  $k$  und  $i$  parallel zu einer der gefundenen Richtungen zwei Ebenen, die sich dann in einer der gesuchten gemeinsamen Sekanten von  $k$  und  $i$  schneiden.

**104.** In ähnlicher Weise erhält man die Ebenen durch einen gegebenen Punkt  $P$ , die mit zwei gegebenen Geraden  $k$  und  $i$  gegebene Neigungswinkel  $\alpha$  und  $\beta$  einschließen. Auch diese Aufgabe hat, wie die vorangehenden, im allgemeinen vier Lösungen. Ist wiederum  $l$  eine Parallele zu  $i$ , welche  $k$  schneidet, und sind  $\mathfrak{K}$  und  $\mathfrak{L}$  die wie vorher bestimmten Kegel, so geben ihre gemeinsamen Tangentialebenen die Stellungen an, welche die unserer Aufgabe genügenden Ebenen haben. Letztere sind also durch  $P$  parallel zu jenen zu ziehen. Statt aber die fraglichen Berührungsebenen nach 100 zu bestimmen, empfiehlt es sich hier, die Polarkegel von  $\mathfrak{K}$  und  $\mathfrak{L}$  miteinander zu schneiden und zu ihren gemeinsamen Erzeugenden durch  $P$  die Normalebenen zu legen. Man gelangt so kürzer zum Ziele.



**105.** Es sei die Aufgabe gestellt: in einer gegebenen Ebene  $E$  eine Gerade zu ziehen, die von zwei festen Punkten  $P$  und  $Q$  des Raumes vorgeschriebene Abstände  $p$  und  $q$  hat. Man denke sich um  $P$  und  $Q$  resp. mit den Radien  $p$  und  $q$  je eine Kugel beschrieben. Die gesuchten Geraden sind dann die in  $E$  liegenden gemeinsamen Tangenten beider Kugeln, oder — was dasselbe besagt — sie sind die gemeinsamen Tangenten

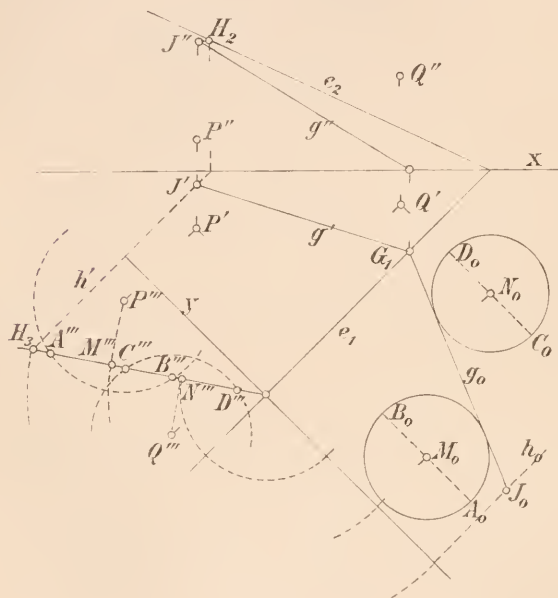


Fig. 83.

der beiden Kreise  $m$  und  $n$ , welche  $E$  aus jenen Kugeln ausschneidet. Man erkennt hieraus, daß die Aufgabe keine Lösung besitzen kann, falls eine der beiden Kugeln die Ebene  $E$  nicht schneidet, daß sie aber — abgesehen von diesem Falle — keine, vier oder zwei Lösungen besitzt, je nachdem einer der beiden Kreise den anderen einschließt, oder beide sich gegenseitig ausschließen, oder sich schneiden. Man führt die Konstruktion am besten mit Hilfe einer Seitenrißebene  $\Pi_3$  durch, die normal zur ersten Spur  $e_1$  von  $E$  ist (Fig. 83). Man zeichne die Seitenrisse  $P'''$  und  $Q'''$ , sowie die Seitenrißspur  $e_3$ ; letztere erhält man mittels einer Hauptlinie  $h$  ( $h' \parallel e_1$ ), durch deren Spurpunkt  $H_3$  sie geht ( $(H_3 \dashv y) = (H_2 \dashv x)$ ). Nun falle man von  $P$  und  $Q$  auf  $E$  die Lote  $PM$  und  $QN$ , und schlage um ihre Fußpunkte  $M$  und  $N$  resp. die Kreise  $m$  und  $n$ . Um die Durchmesser dieser Kreise zu bestimmen, lege man durch  $P$  und  $Q$  Ebenen parallel zu  $\Pi_3$ ; sie schneiden die bezw. Kugeln in größten Kreisen und die Ebene  $E$  in Falllinien; auf diesen werden durch die letztgenannten Kreise die obengenannten Durchmesser  $AB$  und  $CD$  ausgeschnitten. Alle diese Dinge stellen sich in  $\Pi_3$  in wahrer Größe dar. Die gemeinsamen Tangenten von  $m$

der beiden Kreise  $m$  und  $n$ , welche  $E$  aus jenen Kugeln ausschneidet. Man erkennt hieraus, daß die Aufgabe keine Lösung besitzen kann, falls eine der beiden Kugeln die Ebene  $E$  nicht schneidet, daß sie aber — abgesehen von diesem Falle — keine, vier oder zwei Lösungen besitzt, je nachdem einer der beiden Kreise den anderen einschließt, oder beide sich gegenseitig ausschließen, oder sich schneiden.

und  $n$  findet man, indem man zunächst in der um  $e_1$  in den Grundriß niedergelegten Ebene  $E$  die gemeinsamen Tangenten an  $m_0$  und  $n_0$  zeichnet. Man suche  $M_0$ ,  $A_0$  und  $B_0$  auf der umgelegten Falllinie, deren Verlängerung durch  $P'$  geht, und ebenso  $N_0$ ,  $C_0$  und  $D_0$  auf der umgelegten Falllinie, deren Verlängerung durch  $Q'$  geht. Dann kann man  $m_0$  und  $n_0$  und ihre gemeinsamen Tangenten, von denen  $g_0$  in der Figur eine ist, unmittelbar zeichnen. Daraus ergibt sich  $g'$  als Verbindungslinie des Spurpunktes  $G_1 = g_0 \times e_1$  mit dem zu  $J_0 = g_0 \times h_0$  gehörigen Grundriß  $J'$  und hieraus sofort  $g''$ .

**106.** Durch einen Punkt  $P$  die Geraden zu legen, die in Bezug auf zwei gegebene Gerade  $a$  und  $b$  die vorgeschriebenen kürzesten Abstände  $p$  und  $q$  besitzen. Alle Geraden, die in Bezug auf  $a$  den kürzesten Abstand  $p$  aufweisen, berühren nach 96 einen Rotationscylinder  $\mathfrak{K}$  mit der Achse  $a$ , dessen Normalschnitt ein Kreis vom Radius  $p$  ist. Ganz ebenso müssen die gesuchten Geraden einen Rotationscylinder  $\mathfrak{L}$  mit der Achse  $b$  berühren, dessen Normalschnitt ein Kreis vom Radius  $q$  ist. Man lege demgemäß durch  $P$  zwei Tangentialebenen, eine an den Cylinder  $\mathfrak{K}$  und eine an den Cylinder  $\mathfrak{L}$ ; ihre gemeinsame Schnittlinie ist eine von den gesuchten Geraden. Es giebt offenbar vier Lösungen unserer Aufgabe, da man von  $P$  aus sowohl an  $\mathfrak{K}$  als auch an  $\mathfrak{L}$  je zwei Tangentialebenen legen kann. Hieraus erkennt man auch, daß die Konstruktion nur dann, aber auch immer dann möglich ist, wenn die Abstände des Punktes  $P$  von den Geraden  $a$  und  $b$  größer als  $p$  und  $q$  respektive sind.

Die eigentliche Konstruktion gestaltet sich, wie folgt. Alle Tangentialebenen an den Cylinder  $\mathfrak{K}$  sind zu seiner Achse  $a$  parallel; die beiden durch  $P$  gehenden Tangentialebenen enthalten demnach eine Gerade  $c$ , die durch  $P$  parallel zu  $a$  gezogen wird. Legt man ferner durch  $P$  eine Normalebene zu  $a$ , so schneidet diese  $a$  in einem Punkte  $M$  und  $\mathfrak{K}$  in einem Kreise  $m$  mit dem Centrum  $M$  und dem Radius  $p$ . Jede der beiden aus  $P$  an  $m$  gezogenen Tangenten bestimmt mit  $c$  zusammen eine der gemeinten Tangentialebenen an  $\mathfrak{K}$ . Legt man ebenso durch  $P$  eine Normalebene zu  $b$ , welche  $b$  in  $N$  und den Cylinder  $\mathfrak{L}$  in einem Kreise  $n$  schneidet, so gehören die aus  $P$  an den Kreis  $n$  gelegten Tangenten zwei Tangentialebenen des Cylinders  $\mathfrak{L}$  an, die außerdem eine Parallele  $d$  zu  $b$  durch  $P$  enthalten. Die Schnittlinien der letzteren und ersteren Tangentialebenen stellen die Lösungen unseres Problems dar.

Die Normalebene zu  $a$  bestimmt man durch zwei Hauptlinien  $g$  und  $h$  ( $g' \parallel x$ ,  $h'' \parallel x$ ,  $g'' \perp a''$ ,  $h' \perp a'$ ), die durch  $P$  gezogen sind, sucht ihren Schnittpunkt  $M$  mit  $a$  und dreht sie um  $g$  parallel zur Aufrißebene nach 85. Gelangt hierbei  $M$  nach  $M_\Delta$ , so schlage man um diesen Punkt mit dem Radius  $p$  den Kreis  $m_\Delta$  und lege aus  $P$  zwei Tangenten  $t_\Delta$  und  $u_\Delta$  an ihn; durch Zurückdrehen gewinnt man die Tangenten  $t$  und  $u$ . Man kann dazu die Affinität benutzen, für welche  $g''$  die Achse ist und  $M_\Delta$  und  $M''$  ein Paar entsprechender Punkte sind;  $t''$  und  $u''$  stellen die zu  $t_\Delta$  und  $u_\Delta$  affinen Geraden dar. Ihre Grundrisse ergeben sich ebenfalls nach 85. In gleicher Weise konstruiere man  $v''$ ,  $w''$  und  $v'$ ,  $w'$  als die Projektionen der aus  $P$  an den Kreis  $n$  gelegten Tangenten. Zuletzt schneide man die Ebenen  $ct$  und  $cu$  mit den Ebenen  $dv$  und  $dw$ , was die vier Lösungen liefert.

**107.** Ein Dreieck  $ABC$ , dessen erste Projektion gegeben ist, soll so bestimmt werden, daß seine zweite Projektion einem gegebenen Dreieck  $A_1B_1C_1$  ähnlich wird.

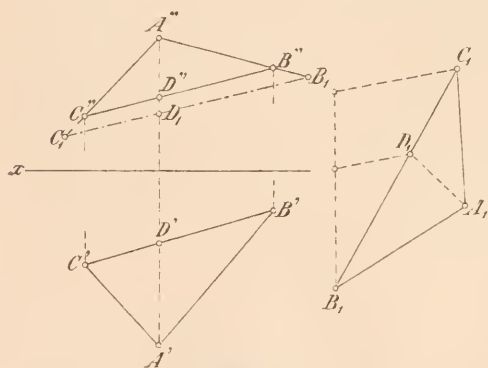


Fig. 84.

Die Aufgabe läßt die Lage des Dreiecks  $ABC$  insofern unbestimmt, als eine Parallelverschiebung desselben in der Richtung senkrecht zu  $\Pi_1$  belanglos ist. Man darf daher den ersten Tafelabstand eines Eckpunktes, etwa  $A$ , willkürlich fixieren, indem man  $A''$  auf der durch  $A'$  senkrecht zur Achse  $x$  gezogenen Geraden irgendwie

wählt. Diese Gerade teile  $B'C'$  im Punkte  $D'$  (Fig. 84), die entsprechende Strecke  $B''C''$  im Punkte  $D''$ ; dann muß  $B''D'' : D''C'' = B'D' : D'C'$  sein. Entspricht ferner im Dreieck  $A_1B_1C_1$  dem Punkte  $D''$  der Punkt  $D_1$ , so hat man wegen der vorausgesetzten Ähnlichkeit:  $B_1D_1 : D_1C_1 = B''D'' : D''C''$ . Man teile daher die Seite  $B_1C_1$  durch den Punkt  $D_1$  im Verhältnis  $B'D' : D'C'$ , zeichne sodann  $\triangle A_1B_1C_1$  in solcher Lage, daß  $A_1$  sich mit  $A''$  deckt,  $D_1$  auf  $A'A'$  und die Punkte  $B'$  und  $B_1$  auf dieselbe Seite von  $A'A''$  zu liegen kommen. Zuletzt schneide man die Geraden  $A'B_1$  und  $A'C_1$  mit den Vertikalen durch  $B'$  und  $C'$  in  $B''$  und  $C''$ , womit der Aufriß  $A''B''C''$  des gesuchten Dreiecks gefunden ist.

108. Ein Dreieck, dessen zweite Projektion  $A''B''C''$  gegeben ist, soll so bestimmt werden, dass es einem gegebenen Dreieck  $A_2B_2C_2$  ähnlich wird. Auch diese Aufgabe ist in derselben Weise wie die vorige unbestimmt, indem eine Parallelverschiebung des Dreiecks in der zu  $\Pi_2$  senkrechten Richtung ohne Belang ist. Wir denken uns zunächst, daß ein unserer Aufgabe genügendes Dreieck  $ABC$  gefunden und durch Umlegung um die zweite Spur  $e_2$  seiner Ebene in seiner wahren Gestalt als

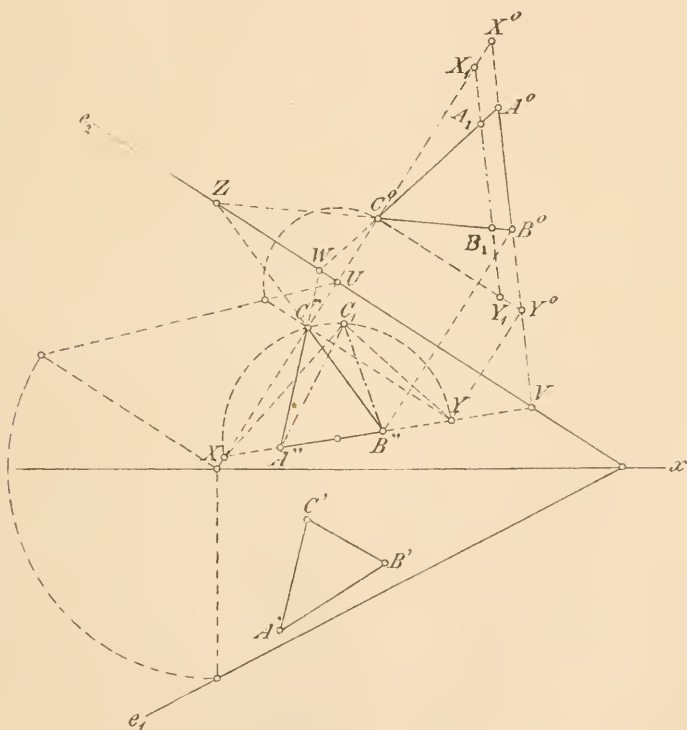


Fig. 85.

$\triangle A^0B^0C^0$  dargestellt sei (Fig. 85). Dann kann man durch  $C$  eine Haupt- und eine Falllinie ziehen, welche die Dreiecksseite  $AB$  in zwei Punkten  $Y$  und  $X$  schneiden werden. Im Aufriß und in der Umlegung ergeben sich so zwei rechtwinklige Dreiecke  $X''C''Y''$  und  $X^0C^0Y^0$ , deren Katheten  $C''Y''$  und  $C^0Y^0$  gleich lang und parallel sind und deren Katheten  $X''C''$  und  $X^0C^0$  auf der nämlichen Geraden liegen. Zugleich besteht die Relation:  $X^0A^0:A^0B^0:B^0Y^0 = X''A'':A''B'':B''Y''$ . Schneidet man also die Seiten  $C^0X^0$ ,  $C^0A^0$ ,  $C^0B^0$ ,  $C^0Y^0$  mit einer Parallelen zu  $A^0B^0$  bezüglich in den Punkten

$X_1, A_1, B_1, Y_1$  und richtet es dabei so ein, daß  $A_1 B_1 = A'' B''$  wird, so wird zugleich  $X_1 A_1 = X'' A''$  und  $B_1 Y_1 = B'' Y''$ . Jetzt kann man das Dreieck  $X_1 C^0 Y_1$  samt den Punkten  $A_1$  und  $B_1$  auf seiner Hypotenuse so verschieben, daß die Punkte  $X_1 A_1 B_1 Y_1$  sich mit den Punkten  $X'' A'' B'' Y''$  der Reihe nach decken. Dabei mag  $C^0$  nach  $C_1$  gelangt sein.

Das Dreieck  $A'' C_1 B''$  läßt sich aber unmittelbar aus den Daten unserer Aufgabe zeichnen, indem es die Seite  $A'' B''$  besitzt und dem Dreieck  $A_2 C_2 B_2$  ähnlich ist. Die Punkte  $X''$  und  $Y''$  findet man dann dadurch, daß  $\angle X'' C'' Y'' = \angle X'' C_1 Y'' = R$  ist; ein Kreis durch  $C''$  und  $C_1$ , dessen Centrum auf  $A'' B''$  liegt, schneidet sie aus. Nun ist  $X'' C'' Y''$  die Projektion eines rechtwinkligen Dreiecks, dessen Katheten auf einer Haupt- und einer Falllinie liegen und dessen Umlegung zu  $\triangle X'' C_1 Y''$  ähnlich ist. Dabei ist zu beachten, daß die Kathete  $X'' C''$  dieser Falllinie angehört, wenn  $X'' C'' < X'' C_1$  ist. Man bringe demnach das letztgenannte Dreieck in eine solche Lage  $X_1 C^0 Y_1$ , daß seine Kathete  $X_1 C^0$  auf der Verlängerung von  $X'' C''$  liegt, wobei seine Kathete  $C^0 Y_1$  zu  $C'' Y''$  parallel wird. Jetzt trage man  $C^0 Y^0 = C'' Y''$  auf  $C^0 Y_1$  auf und ziehe  $Y^0 X^0 \parallel Y_1 X_1$ , so ist  $\triangle X^0 C^0 Y^0$  die Umlegung und  $\triangle X'' C'' Y''$  die Projektion eines rechtwinkligen Dreiecks  $XCY$ . Ist  $E$  die Ebene dieses Dreiecks, so ist ihre Spur  $e_2$  parallel zu  $C'' Y''$  und geht durch den Punkt  $V = X^0 Y^0 \times X'' Y''$ . Ist  $U = e_2 \times C^0 C''$ , so ist die Tafelneigung von  $E$  so zu bemessen, daß  $C'' U$  die orthogonale Projektion von  $CU = C^0 U$  wird; bildet man also aus  $C^0 U$  und  $C'' U$  als Hypotenuse und Kathete ein rechtwinkliges Dreieck, so schließen sie den Winkel der Tafelneigung ein. Bestimmt man noch  $A_1$  und  $B_1$  auf  $X_1 Y_1$ , indem man  $X_1 A_1 = X'' A''$  und  $Y_1 B_1 = Y'' B''$  macht, und schneidet die Geraden  $C^0 A_1$  und  $C^0 B_1$  mit  $X^0 Y^0$  in  $A^0$  und  $B^0$ , so sind  $A^0$  und  $B^0$  die Umlegungen der Punkte  $A$  und  $B$ , deren Aufrisse  $A''$  und  $B''$  sind. Denn nach der Konstruktion gilt die Relation:  $X'' A'' : A'' B'' : B'' Y'' = X^0 A^0 : A^0 B^0 : B^0 Y^0$ , damit werden aber  $A'' A^0$  und  $B'' B^0$  zu  $e_2$  senkrecht, w. z. b. w. Somit ist die Umlegung  $A^0 B^0 C^0$  des gesuchten Dreiecks gefunden; in der Figur ist dann noch eine  $x$ -Achse angenommen und der Grundriß, sowie die Spur  $e_1$  aus Aufriß und Umlegung konstruiert.

**109.** Die schiefe Parallelprojektion eines gegebenen Kreises vom Radius  $r$  auf eine Ebene  $\Pi_1$  soll so bestimmt werden, daß sein Bild eine Ellipse von gegebenen Halbachsen  $a$  und  $b$  wird. Der Kreis  $k$  werde um die Spur  $e_1$  seiner Ebene in  $\Pi_1$  niedergelegt. Seine Umlegung  $k_0$  (Fig. 86b) und sein



Bild, die Ellipse  $k_1$ , müssen sich in Bezug auf  $e_1$  als Achse in affiner Lage befinden; mithin muß dem zu  $e_1$  parallelen Kreisdurchmesser  $C_0D_0$  ein ihm gleicher und paralleler Ellipsendurchmesser  $C_1D_1$  entsprechen. Damit aber eine Ellipse mit den Halbachsen  $a$  und  $b$  einen Durchmesser von der Länge  $2r$  habe, muß  $a \geq r \geq b$  sein. Diese Bedingung entscheidet über die Lösbarkeit unseres Problems; ist sie erfüllt, so giebt es im allgemeinen zwei Ellipsendurchmesser der geforderten Art symmetrisch zu den Achsen.

Sind  $M_1A_1$  und  $M_1B_1$  die Halbachsen der Ellipse  $k_1$  und schneiden sie die Spur  $e_1$  in  $X$  und  $Y$ , so entsprechen ihnen beim affinen Kreis  $k_0$  zwei rechtwinklige Halbmesser  $M_0A_0$  und  $M_0B_0$ , welche die Spur  $e_1$  ebenfalls in  $X$  und  $Y$  schneiden (vergl. 19). In dieser affinen Beziehung zwischen  $k_1$  und  $k_0$  entspricht dem  $\triangle A_1M_1B_1$  das  $\triangle A_0M_0B_0$ . Nun bleiben zwei Figuren  $\mathfrak{F}_0$  und  $\mathfrak{F}_1$  in affiner Lage, wenn man die eine in der Richtung der Affinitätsstrahlen gegen die andere verschiebt. Sind nämlich  $h_0$  und  $h_1$  zwei zur Affinitätsachse  $e_1$  parallele, sich entsprechende Gerade, so sind je zwei auf ihnen liegende, entsprechende Strecken einander gleich. Führt man also

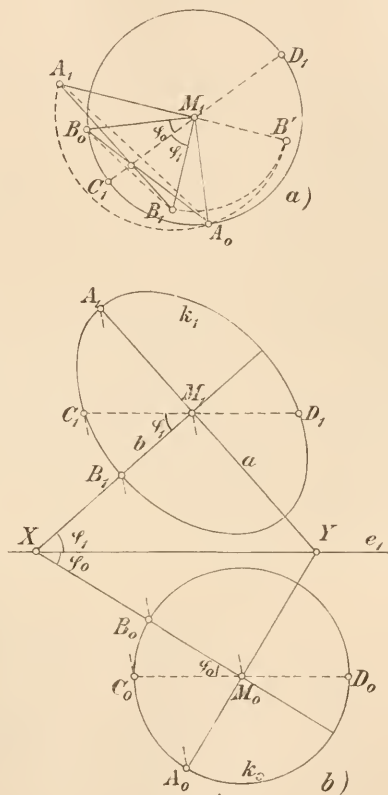


Fig. 86.

die gemeinte Verschiebung von  $\mathfrak{F}_0$  aus, so daß  $h_0$  und  $h_1$  sich decken, so fallen auf  $h_1$  je zwei entsprechende Punkte zusammen, d. h. diese Gerade bildet nach der Verschiebung die Affinitätsachse, während die Affinitätsrichtung ersichtlich die frühere bleibt. Insbesondere bleiben die Dreiecke  $A_1M_1B_1$  und  $A_0M_0B_0$  in affiner Lage, wenn man das letztere um die Strecke  $M_0M_1$  verschiebt; dann deckt sich  $C_0D_0$  mit  $C_1D_1$  und diese Gerade wird für die neue Lage der Dreiecke zur Affinitätsachse.

Es gilt hiernach zwei der Größe nach bekannte rechtwinklige



Dreiecke  $A_1M_1B_1$  (mit den Katheten  $a$  und  $b$ ) und  $A_0M_0B_0$  (mit den Katheten  $r$ ) in eine solche affine Lage zu bringen, daß  $M_0$  und  $M_1$  sich decken (Fig. 86a). Dazu ist nur nötig, daß  $B_0B_1 \parallel A_0A_1$  wird, die Affinitätsachse verbindet dann  $M_1$  mit dem Punkt  $A_0B_0 \times A_1B_1$ . Lassen wir also  $\triangle M_1B_0B_1$  eine Drehung von  $90^\circ$  um  $M_1$  ausführen, so gelangt  $B_0$  nach  $A_0$  und  $B_1$  nach  $B'$  auf  $M_1A_1$ , zugleich ist  $\angle B'A_0A_1 = R$ . Das liefert folgende Konstruktion. Man trage  $M_1B_1 = M_1B'$  an  $M_1A_1$  an, beschreibe über  $B'A_1$  einen Halbkreis und schlage um  $M_1$  mit dem Radius  $r$  einen Kreis. Beide Kreise schneiden sich in dem gesuchten Punkt  $A_0$ , während  $M_1B_0 = r$  senkrecht zu  $M_1A_0$  zu ziehen ist. Nun zeichne man noch die Affinitätsachse  $C_1D_1$  ein, die  $M_1$  mit  $A_0B_0 \times A_1B_1$  verbindet. Wie aber in Figur 86a  $M_1B_0$  und  $M_1B_1$  mit  $M_1C_1$  die Winkel  $\varphi_0$  resp.  $\varphi_1$  einschließen, so müssen in Figur 86b  $M_0B_0$  und  $M_1B_1$  mit  $e_1$  die nämlichen Winkel  $\varphi_0$  und  $\varphi_1$  bilden. Man ziehe also  $M_0X$  unter dem Winkel  $\varphi_0$  gegen  $e_1$  und  $M_0Y$  senkrecht dazu, ziehe ferner  $M_1X$  unter dem Winkel  $\varphi_1$  gegen  $e_1$  und  $M_1Y$  dazu senkrecht; so erhält man den Mittelpunkt  $M_1$  der gesuchten Ellipse und auf  $M_1X$  und  $M_1Y$  ihre Scheitel  $A_1$  und  $B_1$  ( $M_0M_1 \parallel A_0A_1 \parallel B_0B_1$ ). Damit ist unsere Aufgabe gelöst. — Wird der Kreis  $k_0$  in seine ursprüngliche Lage aufgedreht, so bleibt er durch Parallelprojektion auf die Ellipse bezogen.

## DRITTES KAPITEL.

### Ebenflächige Gebilde, Körper.

#### Die körperliche Ecke; das Dreikant.

**110.** An einem ebenflächigen Gebilde<sup>3)</sup> unterscheidet man Seitenflächen, Kanten und Ecken. Die Kanten sind in zweifacher Weise angeordnet; einerseits bilden sie ebene Vielecke, andererseits körperliche Ecken.

Eine körperliche  $n$ -kantige Ecke oder kürzer ein  $n$ -Kant wird gebildet von  $n$  Strahlen und  $n$  Ebenen, die von einem Punkte ausgehen. Dieser Punkt heißt der Scheitel, jene Strahlen die Kanten und die zwischen ihnen liegenden Winkel die Seiten (Seitenflächen) der körperlichen Ecke. Jede Seite wird von zwei

Kanten begrenzt und kann daher auch als Kantenwinkel bezeichnet werden, in jeder Kante stoßen zwei Seiten aneinander und bilden die Flächenwinkel oder kurz die Winkel des  $n$ -Kants.

Zwei  $n$ -Kante, welche alle Seiten und alle Winkel entsprechend gleich haben, sind entweder kongruent oder symmetrisch. Dies erkennt man unmittelbar, wenn man die beiden  $n$ -Kante in eine solche gegenseitige Lage bringt, daß zwei aufeinanderfolgende Kanten des einen mit den entsprechenden des anderen zusammenfallen, wobei dann beide  $n$ -Kante sich entweder ganz decken oder sich in symmetrischer Lage in Bezug auf die gemeinsame Seitenfläche als Symmetrieebene befinden. Verlängert man die Kanten eines  $n$ -Kants über den Scheitel hinaus, so erhält man ein neues  $n$ -Kant, dessen Seiten die Scheitelwinkel der Seiten des ersteren sind; beide  $n$ -Kante sind symmetrisch.

**111.** Ein  $n$ -Kant, bei dem jeder Flächenwinkel  $< 2R$  ist, heißt konkav. Bei einem konkaven  $n$ -Kant ist die Summe der Seiten  $< 4R$ , vorausgesetzt, daß sich die Seitenflächen nicht durchkreuzen. Schneidet man nämlich das  $n$ -Kant mit einer Ebene, die alle Kanten trifft, so entsteht ein Körper, den man als  $n$ -seitige Pyramide bezeichnet; derselbe wird begrenzt von einem  $n$ -Eck, der Basisfläche, und  $n$  Dreiecken, den Seitenflächen (vergl. Fig. 87). Nennt man die Ecken der Basisfläche 1, 2, ...,  $n$  und die nach ihnen laufenden Kanten  $k_1, k_2, \dots, k_n$ , so kann man die Kantenwinkel durch  $\angle k_1 k_2, \angle k_2 k_3, \dots, \angle k_n k_1$ , die Flächenwinkel durch  $\angle k_1, \angle k_2, \dots, \angle k_n$  bezeichnen. Bedenkt man, daß die Winkelsumme in jedem der  $n$  Seitendreiecke  $2R$  beträgt, so folgt:

$$\begin{aligned} \angle k_1 k_2 + \angle k_2 k_3 + \dots + \angle k_n k_1 &= 2nR \\ - \angle S12 - \angle S21 - \angle S23 - \angle S32 \\ &\quad - \dots - \angle Sn1 - \angle S1n. \end{aligned}$$

Nun ist der Punkt 2 Scheitel eines Dreikants mit den Kanten 21, 23, 2S, und da in jedem Dreikant die Summe zweier Seiten größer als die dritte ist, hat man:

$$\angle S21 + \angle S23 > \angle 123.$$

Indem man die analogen Resultate für die Ecken 3, 4, ...,  $n$ , 1 benutzt, geht die frühere Gleichung in die Ungleichung über:

$$\angle k_1 k_2 + \angle k_2 k_3 + \dots + \angle k_n k_1 < 2nR - \angle 123 - \angle 234 - \dots$$

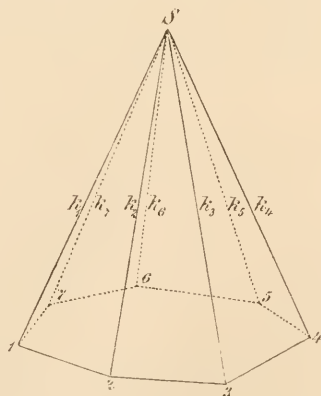


Fig. 87.

oder, da die Winkelsumme im  $n$ -Eck  $(2n - 4) R$  beträgt, in:

$$\angle k_1 k_2 + \angle k_2 k_3 + \dots + \angle k_n k_1 < 4 R.$$

Fällt man von einem Punkt im Innern eines  $n$ -Kants der Reihe nach Lote auf seine Seitenflächen, so bestimmen die aufeinanderfolgenden Lote die Seitenflächen eines neuen  $n$ -Kants, des Polar- $n$ -kants. Daraus folgt sofort, daß auch die Kanten des ursprünglichen  $n$ -Kants auf den bezüglichen Seitenflächen seines Polar- $n$ -kants senkrecht stehen; und es ist weiter ersichtlich, daß die Kantenwinkel eines jeden von ihnen die Supplemente der entsprechenden Flächenwinkel des anderen sind. Dabei sind solche Kanten und Seiten als entsprechend aufgefaßt, die aufeinander senkrecht stehen.

Die Summe der Winkel (Flächenwinkel) eines konkaven  $n$ -Kants ist  $> (2n - 4) R$ . Denn für das zugehörige Polar- $n$ -kant, das ebenfalls konkav ist, ist nach dem vorangehenden Satze die Summe der Seiten  $< 4 R$ , also die Summe der zugehörigen Supplementwinkel  $> (2n - 4) R$ ; diese sind aber jenen Flächenwinkeln gleich.

**112.** Wie in der Ebene die Konstruktion der  $n$ -Ecke auf die der Dreiecke zurückgeführt wird, so wird im Raume die Konstruktion der  $n$ -Kante auf die der Dreikante reduziert. Wir werden uns deshalb weiterhin ausführlicher mit den Dreikanten zu beschäftigen haben. In einem Dreikant sind alle Winkel und alle Seiten  $< 2 R$ . Seine Kanten sollen durchweg mit  $a, b, c$ , die gegenüberliegenden Seiten mit  $A, B, \Gamma$  bezeichnet werden, so daß  $A = bc$ ,  $B = ca$ ,  $\Gamma = ab$  und  $a = B \times \Gamma$ ,  $b = \Gamma \times A$ ,  $c = A \times B$  ist.

$A, B, \Gamma$  bedeuten dann zugleich die Kantenwinkel, und  $a, b, c$  die Flächenwinkel des Dreikants. Nach den vorausgeschickten Untersuchungen haben wir die Ungleichungen:

$$0 < A + B + \Gamma < 4 R$$

$$\text{und } 2 R < a + b + c < 6 R.$$

Hierzu kommen noch die Ungleichungen:

$$A + B > \Gamma, B + \Gamma > A, \Gamma + A > B,$$

welche besagen, daß die Summe zweier Seiten größer als die dritte ist. Es ist hier nicht nötig, diese letzteren Ungleichungen zu beweisen, da sie bei der folgenden Konstruktion des Dreikants aus seinen drei Seiten sofort als richtig erkannt werden. Mit Hilfe des Polardreikants folgern wir aus den letzten Ungleichungen noch die weiteren:

$$a + b < 2 R + c, b + c < 2 R + a, c + a < 2 R + b.$$

Von den sechs Bestimmungsstücken (drei Seiten und drei Winkeln) eines Dreikants genügt es irgend drei zu kennen, um

das zugehörige Dreikant konstruktiv zu bestimmen. Soll die Konstruktion nicht unmöglich werden, so dürfen die gegebenen Stücke den angeführten Ungleichungen nicht widersprechen. Es ergeben sich nun die folgenden 6 Aufgaben:

Ein Dreikant zu konstruieren

1. aus:  $A, B, \Gamma$  — seinen drei Seiten,
2. aus:  $A, B, c$  — zwei Seiten und dem eingeschlossenen Winkel,
3. aus:  $A, B, a$  — zwei Seiten und dem einer von ihnen gegenüberliegenden Winkel,
4. aus:  $A, b, c$  — einer Seite und den beiden anliegenden Winkeln,
5. aus:  $A, a, b$  — einer Seite, einem anliegenden und einem gegenüberliegenden Winkel,
6. aus:  $a, b, c$  — seinen drei Winkeln.

Diese Aufgaben lassen sich unter Benutzung des Polardreikants paarweise aufeinander zurückführen. Die Aufgaben 3. und 5. lassen, wie wir später sehen werden, eventuell zwei Lösungen zu, alle anderen jedoch stets nur eine Lösung, abgesehen davon, daß es zu jeder Lösung eine symmetrische giebt.

**113.** Konstruktion des Dreikants aus seinen drei Seiten  $A, B, \Gamma$ . Wir denken uns das Dreikant mit der Seitenfläche  $\Gamma$  in der Zeichenebene liegend, trennen es längs der Kante  $c$  auf und legen die Seiten  $A = bc$  und  $B = ac$  um die bezüglichen Kanten  $b$  und  $a$  in die Zeichenebene nieder, so daß die gegebenen Seiten am Scheitel  $S$  nebeneinander zu liegen kommen (vergl. Fig. 88). Gehen wir von dieser Lage aus, so gewinnen wir das Dreikant, indem wir die Seiten  $A$  und  $B$  um die Kanten  $b$  und  $a$  zurückdrehen, bis die Kanten  $c_0$  und  $c^0$  in  $c$  zusammenfallen. Dann fällt auch  $P_0$  mit  $P^0$

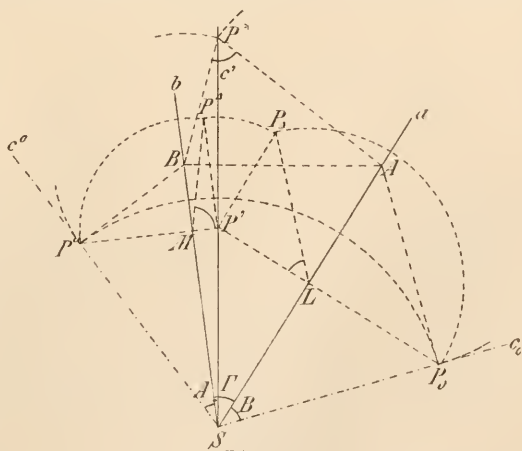


Fig. 88.

in  $P$  zusammen, wenn wir  $SP_0 = SP^0$  wählen. Bei dieser Drehung beschreibt  $P_0$  einen Kreisbogen um  $a$  als Achse, d. h. die Projektion







1. Lösung (Fig. 91). Wir breiten die beiden Seiten A und B nebeneinander in die Zeichenebene aus, die wir mit der gesuchten Seite  $\Gamma$  zusammenfallen lassen. Nun drehen wir die Seite B um die Kante  $a$ , bis sie mit der Tafel Ebene den Winkel  $\alpha$  einschließt. Indem wir dabei genau wie in 113 vorgehen, gewinnen wir  $P'$  und damit  $c'$  und erkennen, daß  $P$  den Tafelabstand  $PP' = P_{\Delta}P'$  besitzt. Das von  $P$  auf die gesuchte Kante  $b$  gefällte Lot  $PM$  hat die Länge  $P_0M_{00}$ , woraus sich das Lot  $P'M$  als Kathete eines Dreiecks mit der Hypotenuse  $P_{\Delta}M_{\Delta} = P_0M_{00}$  und der Kathete  $P_{\Delta}P'$  ergibt. Man braucht also nur um  $P'$  einen Kreis mit dem Radius  $P'M_{\Delta}$  zu ziehen, die gesuchte Kante  $b$  muß dann diesen Kreis berühren.

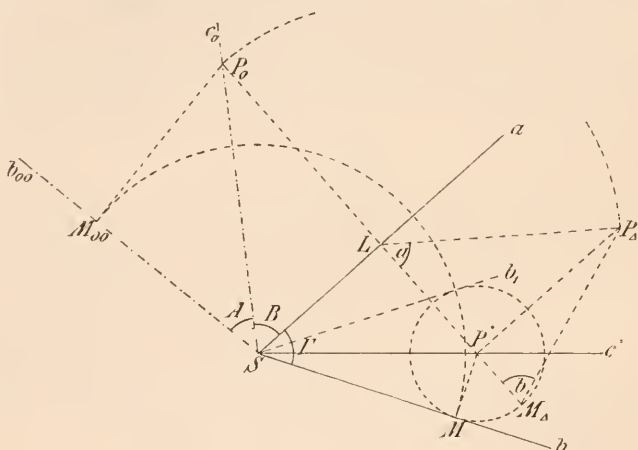


Fig. 91.

Damit ist  $\Gamma = \angle ab$  und  $b = \angle P_{\Delta}M_{\Delta}P'$  gefunden. Zur Kontrolle dient:  $SM = SM_{00}$ .

Ist, wie im vorliegenden Beispiel,  $A < B$ , — folglich  $P_0M_{00} < P_0L$  und  $P_{\Delta}M_{\Delta} < P_{\Delta}L$  —, so schneidet der Kreis um  $P'$  die Kante  $a$  nicht und es gibt zwei ganz verschiedene Dreikante ( $abc$  und  $ab_1c$ ), oder gar keines, wenn  $P_0M_{00} < P_{\Delta}P'$  ist. Ist dagegen  $A > B$ , so schneidet der Kreis um  $P'$  die Kante  $a$  und es gibt immer ein Dreikant, so lange  $A < B + \Gamma$ .

117. 2. Lösung (Fig. 92). Wir lassen jetzt die Seite B mit der Zeichenebene zusammenfallen. Durch die Kante  $a$  legen wir eine Ebene  $\Gamma$  mit dem Neigungswinkel  $\alpha$  und um die Kante  $c$  als Achse einen Rotationskegel, indem wir die Seite A um ihre Kante  $c$  sich drehen lassen. Die gesuchte Kante  $b$  muß dann gleichzeitig auf jener Ebene  $\Gamma$  und diesem Kegel liegen. Um die Schnittlinie

der Ebene und des Kegels zu finden, benutzen wir eine zu  $c$  senkrechte Hilfsebene, die wir um ihre Spur in die Zeichenebene niederlegen. Unser Kegel weist in der niedergelegten Hilfsebene als Spur den Kreis mit dem Mittelpunkt  $L$  und dem Radius  $LB_0$  auf und unsere Ebene  $\Gamma$  die Spur  $AP''$ . Denn ein Punkt  $P$  von  $\Gamma$ , dessen Projektion  $P' = L$  ist, hat den Tafelabstand  $P''P' = P_{\Delta}P'$ , wo  $P_{\Delta}P'$  Kathete des rechtwinkligen Dreiecks  $P_{\Delta}P'M$  ist. Eine in  $M$  zu  $a$  senkrechte Ebene schneidet nämlich  $\Gamma$  in der Geraden  $PM$ , deren Umlegung in die Tafel offenbar  $MP_{\Delta}$  ist und mit  $MP'$  den Winkel  $a$

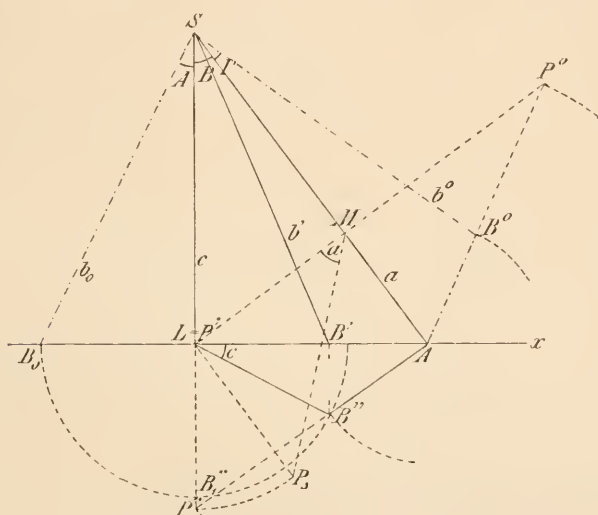


Fig. 92.

einschließt. Spurkreis und Spurlinie  $AP''$  schneiden sich in  $B''$ , dem Spurpunkt der gesuchten Kante  $b$  in der Hilfsebene, woraus sich sofort  $b'$  ergibt.  $\angle B''LA = c$  und die wahre Größe der Seite  $ab = \Gamma$  erhält man durch Umlegen derselben um die Kante  $a$ . In der Figur ist zu diesem Zwecke zunächst  $P$  nach  $P^0$  umgelegt, hierdurch  $AP^0$  und auf dieser Geraden  $B^0$  bestimmt. Zur Kontrolle dient die Gleichheit von  $SB_0$  und  $SB^0$ . Eine zweite Lösung liefert der Punkt  $B_1''$ , doch ist die weitere Durchführung derselben unterlassen, um die Figur nicht zu sehr zu komplizieren.

**118.** Konstruktion des Dreikants aus einer Seite  $B$ , einem anliegenden Winkel  $a$  und dem gegenüberliegenden Winkel  $b$  (Fig. 93).

Lassen wir die Zeichenebene mit der gesuchten Seite  $\Gamma$  zusammenfallen und denken wir uns  $B$  in dieselbe niedergelegt. Als-

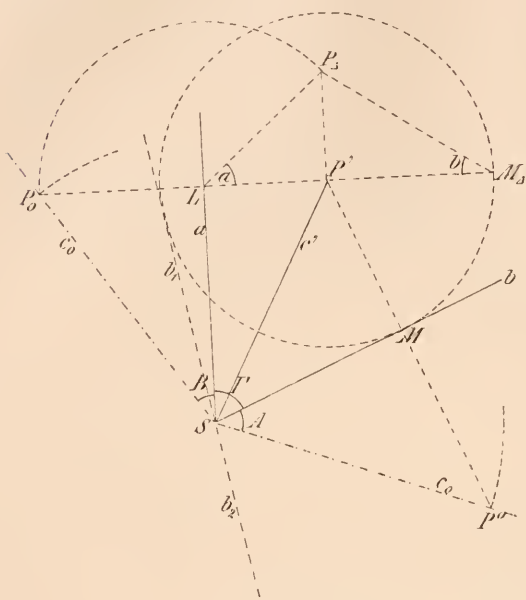


Fig. 93.

dann drehen wir  $B$  um die Kante  $a$ , bis sie mit der Tafel den Winkel  $a$  einschließt; ganz wie früher erhalten wir so  $P'$  und  $c'$  und  $P'P_{\Delta}$  als Tafelabstand des Punktes  $P$ . Durch  $c = SP$  ist nun eine Ebene zu legen, die mit der Tafel den Winkel  $b$  bildet. Die Spuren aller Ebenen durch  $P$  mit der Tafelneigung  $= b$  berühren nach 96 einen Kreis mit dem Mittelpunkt  $P'$ . Sein Radius ist eine Kathete des rechtwinkligen Dreiecks  $P_{\Delta}P'M_{\Delta}$ , dessen andere Kathete

gleich dem Tafelabstand  $PP'$  ist und dem Winkel  $b$  gegenüberliegt.

Die Spur der gesuchten Seite  $A$  ist also die von  $S$  an unseren Kreis gelegte Tangente  $b$ . Die Tangente  $b_1$  liefert in unserer Zeichnung ein Dreikant mit dem Winkel  $2R - a$ , dagegen liefert die Verlängerung von  $b_1$  über  $S$  hinaus, nämlich  $b_2$ , mit  $a$  und  $c$  ein Dreikant, welches die gegebenen drei Stücke  $B$ ,  $a$ ,  $b$  besitzt. Es kann, ganz wie in der vorhergehenden Nummer, zwei oder keine oder eine Lösung geben, je nachdem  $S$  außerhalb, innerhalb oder auf dem Kreise um  $P'$  liegt. Mit  $b$  ist Seite  $ab = \Gamma$  gefunden, während sich die wahre Größe von  $A$  durch Niederlegen in die Tafel ergibt. ( $MP^0 = M_{\Delta}P_{\Delta}$ . Kontrolle:  $SP_0 = SP^0$ ).

**119. Konstruktion des Dreikants aus seinen drei Winkeln  $a$ ,  $b$ ,  $c$ .** 1. Lösung (Fig. 94). Wir legen eine Seite, etwa  $A$ , in die Grundrißebene, und wählen die Aufrißebene senkrecht zur Kante  $c$ , so daß die Ebene der Seite  $B$  die Kante  $c$  zur ersten, die Gerade, die mit der  $x$ -Achse den Winkel  $c$  einschließt, zur zweiten Spur hat. Die gesuchte Seite  $\Gamma$  muß dann mit den Ebenen  $A$  resp.  $B$  die Winkel  $b$  resp.  $a$  einschließen, und kann noch durch einen be-

liebigen Punkt, etwa den Punkt  $P$  in  $\Pi_3$ , gelegt werden. Da  $\Gamma$  mit  $A$  den Winkel  $b$  bildet, so muß sie den Kegel berühren, der durch Rotation von  $PQ$  um die Achse  $PP'$  entsteht ( $\angle PQP' = b$ ). Ganz ebenso muß  $\Gamma$  den Kegel berühren, der durch Rotation von  $PR$  um die Achse  $PF$  entsteht ( $\angle PRF = a$ ,  $PF \perp CF$ ). Es sind also die gemeinsamen Tangentialebenen der beiden Kegel mit den Achsen  $PP'$  und  $PF$  zu bestimmen und wir verfahren dabei wie in 100.

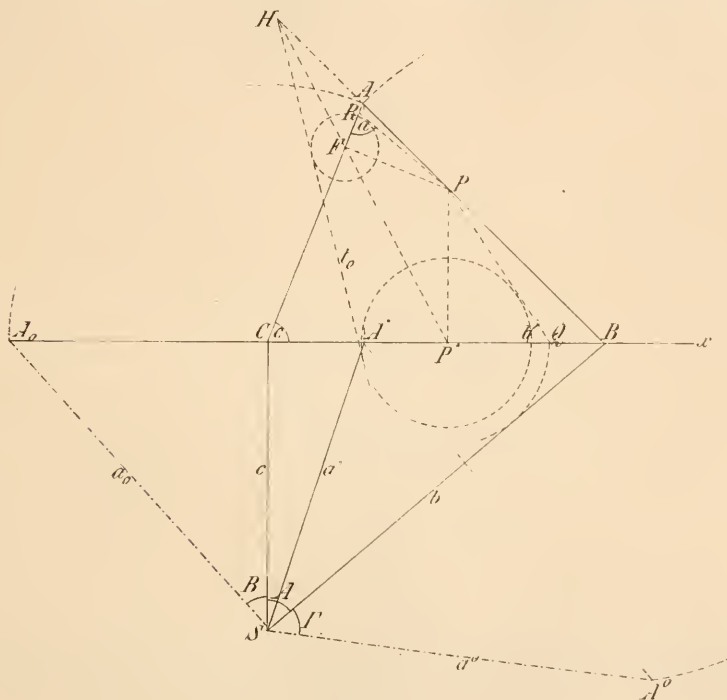


Fig. 94.

Wir denken uns nämlich aus  $P'$  und  $F'$  auf die gesuchte Tangentialebene die beiden Lote gefällt. Die Verbindungslinie ihrer Fußpunkte ist eine gemeinsame Tangente  $t$  beider Kegel, ihr Schnittpunkt  $H$  mit  $P'F'$  ist ihr zweiter Spurpunkt und folglich  $PH$  die zweite Spurlinie der gesuchten Seite  $\Gamma$ . Um  $H$  wirklich zu konstruieren, suchen wir die um  $P'F'$  niedergelegte Tangente  $t_0$ , deren Abstände von  $P'$  und  $F'$  gleich sind den Abständen dieser Punkte von den Geraden  $PQ$  und  $PR$  respektive. Die Kante  $b$ , d. h. die erste Spur der Seite  $\Gamma$ , findet man nun als Tangente aus  $B$  an den ersten Spurkreis des Kegels, der durch Rotation von  $PQ$  um die Achse  $PP'$  gebildet wurde; die Kante  $a = SA$  legt man noch



um  $c$  resp.  $b$  nieder und erhält so die wahre Größe der Seiten  $B$  und  $\Gamma$ .

**120. 2. Lösung** (Fig. 95). Man zeichne zunächst ein Dreikant mit den drei Seiten:  $A_1 = 2R - a$ ,  $B_1 = 2R - b$ ,  $\Gamma_1 = 2R - c$ , indem man ganz wie in 113 zu Werke geht. Dann wähle man auf den Kanten  $a_1$ ,  $b_1$ ,  $c_1$  desselben die Punkte  $L$ ,  $M$ ,  $N$  respektive, und errichte in ihnen Ebenen senkrecht zu den bezüglichen Kanten. Bei geeigneter Wahl von  $L$ ,  $M$ ,  $N$  liegt der Schnittpunkt  $S$  dieser

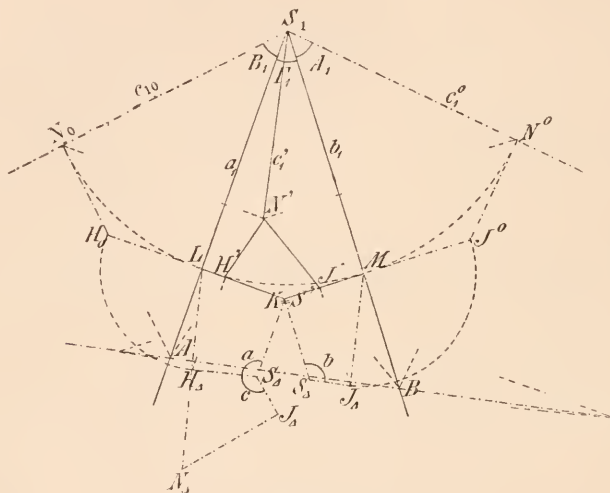


Fig. 95.

Ebenen im Innern des Dreikantes  $a_1 b_1 c_1$ ; die Ebenen schneiden sich dann in den Kanten des Polardreikantes mit dem Scheitel  $S$ , das die vorgeschriebenen Winkel  $a$ ,  $b$ ,  $c$  besitzt. In der Figur ist die Spur  $AB$  der in  $N$  auf  $c_1$  normalen Ebene wie früher bestimmt. Die Spuren der in  $L$  auf  $a_1$ , und in  $M$  auf  $b_1$  normalen Ebenen sind  $LK$  und  $MK$ ; sie schneiden aus den Seiten  $B_1$  resp.  $\Gamma_1$  die Geraden  $LH$  resp.  $MJ$  aus, die in den umgelegten Seiten zu  $LH_0$  und  $MJ^0$  werden. Das gesuchte Dreikant hat den Scheitel  $S$  und die Kanten  $SJ$ ,  $SH$ ,  $SK$ , die auf den Seiten  $A_1$ ,  $B_1$ ,  $\Gamma_1$  respektive senkrecht stehen. Die Seitenflächen unseres Dreikantes sind  $HSJN$ ,  $JSKM$  und  $KSHL$ , deren wahre Größe wir durch Umlegen in die Zeichenebene finden. So erhält man  $KS_{\Delta}J_{\Delta}M$ , indem man  $S_{\Delta}K$  und  $J_{\Delta}J' \perp KM$  zieht,  $J_{\Delta}M = J^0M$  macht und  $S_{\Delta}J_{\Delta}$  durch den Spurpunkt von  $JS$ , d. h. durch  $AB \times J'S'$  zieht; ganz ebenso findet man  $KS_{\Delta}H_{\Delta}L$  ( $\angle MJ_{\Delta}S_{\Delta} = R$ ,  $\angle LH_{\Delta}S_{\Delta} = R$ ,  $KS_{\Delta} = KS_{\Delta}$ ). Von dem

Vierecke  $SJNH$  kennt man die wahre Länge aller Seiten und die Winkel  $\angle SJN = R$  und  $\angle SHN = R$  und kann also die wahre Größe  $S_{\Delta}J_{\Delta}N_{\Delta}H_{\Delta}$  zeichnen ( $J_{\Delta}N_{\Delta} = J^0N^0$ ,  $H_{\Delta}N_{\Delta} = H_0N_0$ ,  $H_{\Delta}S_{\Delta} = H_{\Delta}S_{\Delta}$ ). Damit ist dann  $a = \angle H_{\Delta}S_{\Delta}K$ ,  $b = \angle J_{\Delta}S_{\Delta}K$  und  $c = \angle J_{\Delta}S_{\Delta}H_{\Delta}$  gefunden.

**121.** Wird ein Dreikant von einer konzentrischen Kugel­fläche geschnitten, so entsteht ein sphärisches Dreieck. Seine Ecken liegen auf den Kanten  $a$ ,  $b$ ,  $c$ . Seine Seiten (als Bogen größter Kreise auf der Kugel durch ihre Centriwinkel bestimmt)

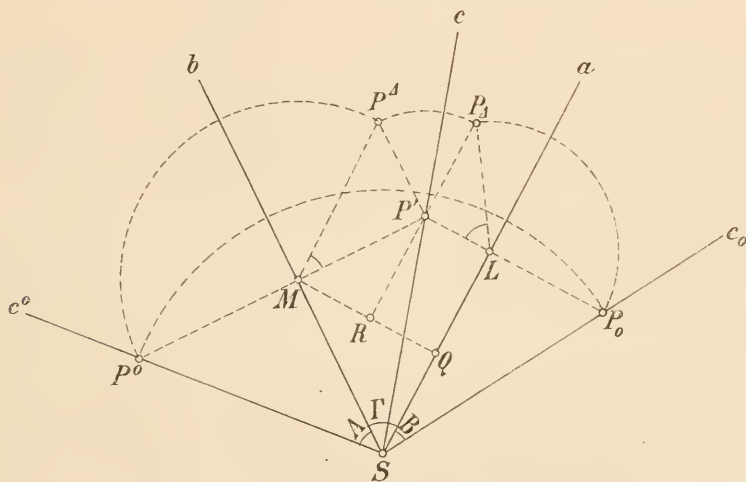


Fig. 96.

entsprechen den Seiten  $A$ ,  $B$ ,  $\Gamma$  des Dreikants und seine Winkel stimmen mit den Winkeln  $a$ ,  $b$ ,  $c$  desselben resp. überein.

Die gegebenen Dreikantskonstruktionen bilden daher das Äquivalent für die Berechnungen der sphärischen Trigonometrie und aus unseren Figuren müssen sich die Formeln der letzteren ablesen lassen.

In Fig. 96, die auf dieselbe Art wie Fig. 88 in 113 entsteht, ziehe man  $MQ \perp a$  und die Verlängerung von  $P_{\Delta}P'$  bis  $R$  auf  $MQ$ . Ferner wähle man der Einfachheit halber den Kugelradius als Längeneinheit und setze dementsprechend:  $SP_0 = SP^0 = 1$ . Dann ist  $MP^0 = \sin A$ ,  $LP_0 = \sin B$  und  $P'P_{\Delta} = \sin A \sin b$ ,  $P'P_{\Delta} = \sin B \sin a$ . Die sofort erkennbare Gleichheit der beiden letzten Strecken giebt:  $\sin A \sin b = \sin B \sin a$ , oder allgemein die Formel:

$$\alpha) \quad \sin A : \sin B : \sin \Gamma = \sin a : \sin b : \sin c.$$

Sodann ist  $SM = \cos A$ ,  $SL = \cos B$ ,  $SQ = \cos A \cos \Gamma$ ,  $MQ = \cos A \sin \Gamma$ ,  $MP' = \sin A \cos b$ ,  $RP' = MP' \cdot \sin \Gamma = \sin A \sin \Gamma \cos b$ ,  $MR = MP' \cdot \cos \Gamma = \sin A \cos \Gamma \cos b$ ,  $P'L = LP_{\Delta} \cdot \cos a = \sin B \cos a$ . Aus der Relation:  $SL = SQ + RP'$  folgt daher:

$$\beta) \quad \cos B = \cos A \cos \Gamma + \sin A \sin \Gamma \cos b.$$

Aus der Beziehung:  $MQ = MR + P'L$  folgt zunächst:

$$\cos A \sin \Gamma = \sin A \cos \Gamma \cos b + \sin B \cos a;$$

dividiert man die Gleichung mit  $\sin A$  und setzt dann (nach  $a$ ) statt  $\sin B : \sin A$  das Verhältnis  $\sin b : \sin a$  ein, so findet man:

$$\gamma) \quad \cotg A \sin \Gamma = \cos \Gamma \cos b + \cotg a \sin b.$$

Aus  $\beta)$  und  $\gamma)$  kann man gleichbedeutende Formeln entwickeln, indem man die Symbole der Seiten  $A, B, \Gamma$ , zugleich aber die Symbole  $a, b, c$  der ihnen gegenüberliegenden Winkel mit einander vertauscht. Bedenkt man noch, daß die abgeleiteten Gleichungen auch für das „Polardreieck“ gelten müssen, das den Kugelschnitt eines „Polar-dreikantes“ bildet und dessen Seiten und Winkel sich mit den Winkeln und Seiten unseres Dreikantes je zu 2  $R$  ergänzen, sowie daß die Sinus supplementärer Winkel (Bogen) gleich, ihre Cosinus aber entgegengesetzt gleich sind, so findet man z. B. aus  $\beta)$  die Gleichung:

$$\delta) \quad \cos b = -\cos a \cos c + \sin a \sin c \cos B.$$

Die angeführten Gleichungen bilden die Grundlage der sphärischen Trigonometrie; aus ihnen läßt sich der ganze Formelapparat derselben entwickeln, worauf indessen hier nicht näher eingegangen werden soll.

**122.** Nachdem wir Dreikante aus Seiten und Winkeln konstruiert haben, könnten wir solche auch aus anderen Bestimmungsstücken konstruieren. Hierbei wird es jedoch öfters geboten sein, die Formeln der sphärischen Trigonometrie zu benutzen, um zu solchen Bestimmungsstücken zu gelangen, die ein einfaches Zeichnen ermöglichen. Nicht jede drei beliebig gewählten Bestimmungsstücke führen zu einer Konstruktion. Die Aufgabe wird vielmehr häufig konstruktiv unlösbar, weil sie, analytisch formuliert, von Gleichungen höheren Grades abhängt. Um hier ein konstruierbares Beispiel zu geben, soll ein Dreikant aus einer Seite  $A$ , dem gegenüberliegenden Winkel  $a$  und dem Neigungswinkel  $\alpha$  der Kante  $a$  gegen die Seite  $A$  gezeichnet werden.

Wir errichten in einem Punkte  $A$  der Kante  $a$  eine zu ihr senkrechte Ebene  $E$ , die die Kanten  $b$  und  $c$  resp. in  $B$  und  $C$  schneidet (Fig. 97). Verschiebt man  $A$  auf  $a$ , so verschiebt sich auch  $B$  auf  $b$  und  $C$  auf  $c$ , so daß durch geeignete Wahl von  $A$  die Linie

$BC$  eine vorgeschriebene Länge erhält. Läßt man nun  $A$  mit der Zeichenebene zusammenfallen, nimmt in dieser  $BC$  beliebig an und legt die Ebene  $E$  um ihre Spur  $BC$  um, so muß man zwei Dreiecke  $CBS$  und  $CBA_0$  mit folgenden Eigenschaften erhalten.  $\angle BSC = A$  und  $\angle BA_0C = a$ ; die Lote aus  $A_0$  und  $S$  auf  $BC$  treffen diese Linie in dem gleichen Punkte  $F$ , da  $a' \perp BC$  und  $\angle FSA = \alpha$ . Man konstruiere also über  $BC$  als Sehne zwei Kreise, von denen der erstere den Winkel  $A$ , der letztere den Winkel  $\alpha$  als Peripheriewinkel faßt. Dann sind  $S$  und  $A_0$  auf diesen Kreisen so zu bestimmen, daß  $A_0S \perp BC$  und  $A_0F:SF = \sin \alpha$  ist. Sind nun  $JL_0$  und  $JK$  den gesuchten Strecken  $FA_0$  resp.  $FS$  gleich, so ist:

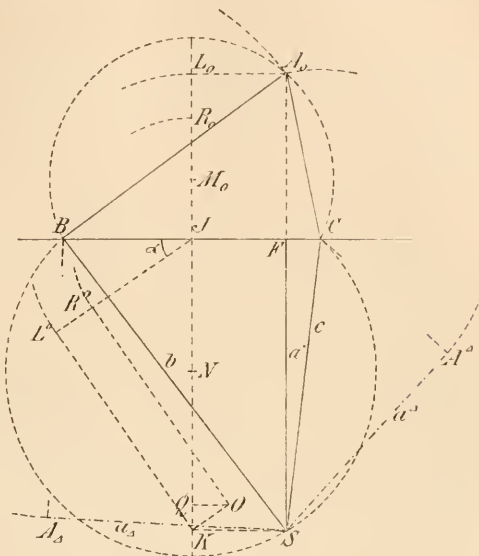


Fig. 97.

$$\begin{aligned}
 M_0 A_0^2 &= M_0 L_0^2 + L_0 A_0^2 = M_0 J^2 + JC^2 \\
 \text{und } NS^2 &= NK^2 + KS^2 = NJ^2 + JC^2,
 \end{aligned}$$

also durch Subtraktion:

$$M_0 L_0^2 - M_0 J^2 = NK^2 - NJ^2,$$

oder indem man die Differenz der Quadrate zerlegt:

$$L_0 J \cdot L_0 R_0 = KJ \cdot KQ,$$

wobei  $L_0 R_0 = M_0 L_0 - M_0 J$  und  $KQ = NK - NJ$  ist.

Berücksichtigt man noch die Relation  $L_0 J : KJ = \sin \alpha$ , so folgt schließlich:

$$\sin \alpha = L_0 J : KJ = KQ : L_0 R_0.$$

$M_0 R_0 = M_0 J$  und  $NQ = NJ$  sind bekannt; es gilt also nur noch  $JL_0$  und  $JK$  mit Hilfe der letzten Gleichung zu finden. Trägt man aber im Punkte  $J$  die Strecke  $JR^0 = JR_0$  so an, daß  $\angle R^0 JB = \alpha$  ist, zieht in  $R^0$  eine Senkrechte zu  $JR^0$  und in  $Q$  eine Senkrechte zu  $JQ$ , die sich in  $O$  schneiden, so liegt  $K$  auf einer zu  $JR^0$  durch  $O$  gezogenen Parallelen und  $L^0$  auf einem von  $K$  auf  $JR^0$  gefällten

Lote. In der That ergibt sich aus der Ähnlichkeit der Dreiecke  $L^0JK$  und  $QKO$  sofort:

$$\sin \alpha = L_0J : JK = QK : KO = QK : L_0R_0.$$

Hiermit ist  $FA_0 = JL^0$  bekannt und die Kanten des gesuchten Dreikantes können unmittelbar gezeichnet werden.

Für das Umlegen der Seiten B und  $\Gamma$  genügt es zu bemerken, daß  $CA^\Delta = CA_0$  und  $CA^\Delta \perp SA^\Delta$ , sowie  $BA_\Delta = BA_0$  und  $BA_\Delta \perp SA_\Delta$  ist.

### Allgemeines über Vielfache; reguläre Vielfache.

**123.** Unter einem Vielflach oder Polyëder ist ein räumliches Gebilde zu verstehen, das von ebenen Vielecken begrenzt wird und überall geschlossen ist, also ein ebenflächiger Körper. Jene ebenen Vielecke heißen die Seitenflächen oder kurz Seiten, ihre Seitenlinien die Kanten des Vielflachs. In jeder Kante stoßen zwei Seitenflächen aneinander. Die Eckpunkte jener ebenen Vielecke sind zugleich die Ecken des Vielflachs, in denen also mindestens drei Kanten — und ebenso viele Seitenflächen — zusammenstoßen. Zwei Vielfache, die in den bezüglichen Seitenflächen einerseits und in den bezüglichen körperlichen Ecken andererseits übereinstimmen, sind kongruent resp. symmetrisch.

Zwischen der Anzahl der Ecken, der Anzahl der Seitenflächen und der Anzahl der Kanten eines Vielflachs besteht eine Beziehung (Eulerscher Satz). Sie lautet: Bei jedem Vielflach ist die Zahl der Seiten vermehrt um die Zahl der Ecken gleich der Zahl der Kanten vermehrt um 2.

Zum Beweise gehen wir von einem Vielflach mit  $F$  Flächen,  $E$  Ecken und  $K$  Kanten aus, nehmen von demselben eine Seitenfläche nach der anderen weg, bis zuletzt nur noch eine einzige Fläche übrig bleibt, und sehen zu, welche Veränderung hierbei die Zahl:  $F + E - K$  erfährt. Bei Beseitigung der ersten Fläche reduziert sich diese Zahl um eine Einheit. Es entsteht nämlich dadurch ein offenes Vielflach, das einen freien Rand besitzt; die Zahl der Flächen hat sich dabei um 1 vermindert, die der Kanten und Ecken jedoch nicht. Freilich gehören diese teilweise dem Rande des offenen Vielflachs an. Bei Beseitigung jeder weiteren Fläche reduziert sich jene Zahl nicht mehr. Denn beim Abtrennen einer Seitenfläche, die  $n$  aufeinanderfolgende Kanten des freien Randes enthält, vermindert sich  $F$  um 1,  $K$  um  $n$  und  $E$  um  $(n - 1)$ . Nach der Ausführung von  $(F - 1)$  Operationen wird also die obige Zahl sich nur um 1 vermindert haben, so daß sie dann



gleich  $F + E - K - 1$  ist. Es ist aber jetzt nur noch ein Seitenpolygon vom ganzen Vielflach übrig, so daß die Zahl der Ecken nun gleich der Zahl der Kanten ist, mithin muß

$$F + E - K - 1 = 1, \text{ oder: } F + E = K + 2 \text{ sein.}$$

Bei dieser Beweisführung wurde vorausgesetzt, daß jedesmal die Seitenfläche, die man abtrennt, an den freien Rand grenzt, aber nur mit einer Anzahl aufeinanderfolgender Kanten. Würde dagegen eine Seitenfläche entfernt, die an zwei getrennten Stellen — mit Kanten, die nicht aufeinander folgen — an den Rand des offenen Vielflachs grenzt, so würden zwei getrennte Ränder entstehen. Das kann vermieden werden, wenn nicht zuletzt alle Seitenflächen an zwei Stellen an den freien Rand angrenzen; dann gilt der obige Satz nicht mehr, vielmehr müssen Modifikationen angebracht werden, auf die jedoch hier nicht eingegangen werden soll. Läßt sich auf einem Vielflach keine geschlossene Folge von Kanten angeben, ohne daß das Vielflach in zwei getrennte Teile zerfällt wenn man es längs dieser Kantenfolge aufschneidet, so sind die oben geschilderten Operationen immer möglich und der Satz ist gültig.

**124.** Legen wir uns jetzt die Frage vor: wie viele Bestimmungsstücke (Konstanten) besitzt ein Vielflach? Offenbar ist ein Vielflach durch die Wahl seiner Eckpunkte völlig bestimmt. Die Lage eines Raumpunktes hängt aber von der Wahl dreier Konstanten ab — etwa seiner Abstände von drei festen Ebenen. Die Annahme sämtlicher Eckpunkte ergibt demnach  $3E$  Konstanten. An dieser Konstantenzahl sind indes noch zwei Korrekturen anzubringen. Erstens ist durch die Annahme der Eckpunkte im Raume nicht nur die Gestalt des Vielflachs an sich, sondern auch seine räumliche Lage fixiert. Die Bestimmung der räumlichen Lage eines Gegenstandes erfordert aber 6 Konstanten. Denn einen Punkt desselben kann man an eine bestimmte Stelle im Raume bringen, das bedingt 3 Konstanten, einer Achse durch jenen Punkt kann man eine bestimmte Richtung geben, das bedingt zwei weitere Konstanten, und um jene Achse kann man den Gegenstand noch drehen, was noch eine Konstante erheischt. Die Zahl 6 ist also von der ursprünglich gefundenen Zahl zu subtrahieren. Zweitens können nicht alle Eckpunkte ganz beliebig angenommen werden, wenn die Seitenflächen nicht lauter Dreiecke sind. Ist z. B. eine Seite des Vielflachs ein Viereck, so können nur drei Ecken desselben beliebig im Raume angenommen werden, die vierte muß dann in der Ebene der drei ersten liegen. Jedes Viereck, das dem Vielflach angehört, vermindert also die Zahl der Konstanten um 1.

Ebenso vermindert jedes Fünfeck die Zahl der Konstanten um 2, da die vierte und die fünfte Ecke in der Ebene der drei ersten liegen müssen, u. s. w.

Die Gesamtzahl aller Seitenflächen hatten wir  $F$  genannt, und wir wollen nun mit  $F_3, F_4, F_5, \dots$  die Anzahl der dreieckigen, viereckigen, fünfeckigen .... Seiten bezeichnen, so daß:  $F = F_3 + F_4 + F_5 + \dots$  ist.

Die Zahl der willkürlichen Konstanten eines Vielflachs ist nun:

$$3E - F_4 - 2F_5 - 3F_6 - \dots - 6.$$

Mit Berücksichtigung der Relation:  $E + F = K + 2$  wird sie:

$$3K - 3F - F_4 - 2F_5 - 3F_6 - \dots,$$

$$\text{oder: } 3K - [3F_3 + 4F_4 + 5F_5 + 6F_6 + \dots].$$

Der Klammerausdruck ist aber  $= 2K$ , da jede dreieckige Fläche drei, jede viereckige vier Kanten liefert u. s. f., wobei dann jede Kante zweimal gezählt ist. Wir erkennen also: Jedes Vielflach enthält ebenso viele willkürliche Konstanten als Kanten.

Daraus folgt, daß, wenn die Kanten eines Vielflachs sowie ihre Verteilung in die Seitenflächen gegeben sind, im allgemeinen nur eine endliche Zahl entsprechender Vielflache existieren kann.

**125.** Aus dem Eulerschen Satze können wir eine Reihe weiterer Schlüsse ziehen, wenn wir bestimmte Voraussetzungen über die Art der Seitenflächen und der Ecken eines Vielflachs machen. Nehmen wir an, daß alle Seitenflächen des Vielflachs Dreiecke und alle Ecken Dreikante sind, so ergibt sich das Vierflach mit 4 Ecken. Sind die Flächen Dreiecke, aber die Ecken vierkantig, so erhält man das Achthflach mit 6 Ecken; sind endlich die Flächen Dreiecke, aber die Ecken fünfkantig, so entsteht das Zwanzigflach mit 12 Ecken. Für alle diese Fälle ist nämlich  $K = \frac{3F}{2}$  also  $F = 2E - 4$ , und ferner  $K = \frac{nE}{2}$ , wo  $n = 3$ , resp. 4, resp. 5 zu nehmen ist. Vielflache, deren Seitenflächen Dreiecke sind, können nicht lauter sechskantige und mehrkantige Ecken aufweisen, wie sich direkt aus dem Eulerschen Satze ergibt. Nehmen wir nun an, ein Vielflach besitze lauter viereckige Seitenflächen, so daß  $K = 2F$ , und  $E = F + 2$  ist, und seine Ecken seien Dreikante, dann ist es ein Sechsfach mit 8 Ecken. Wollte man voraussetzen, alle Ecken seien Vierkante, Fünfkante u. s. w., so würde der Eulersche Satz wieder zu einem Widerspruch führen.

Ein Vielflach kann auch lauter fünfeckige Seitenflächen be-

sitzen; sind dann alle Ecken Dreikante, so hat man es mit dem Zwölfflach mit 20 Ecken zu thun.

**126.** Es mag hier noch darauf hingewiesen werden, daß nicht alle Annahmen über die Zahlen der Ecken und Flächen, welche dem Eulerschen Satze genügen, auch wirklich einem Vielfache entsprechen. Einige Beispiele mögen dieses erläutern. Gehen wir von dem Falle aus, daß alle Seitenflächen Dreiecke sind, so folgt aus dem Eulerschen Satze die Zahl der Ecken:  $E = \frac{F}{2} + 2$ . Bezeichnen wir die Zahl der Dreiecke, Vierecke u. s. w. wie vorher mit  $F_3, F_4$  u. s. w. und analog die Zahl der Dreikante, Vierkante u. s. w. mit  $E_3, E_4$  u. s. w., so ergeben sich folgende Fälle.

Ist  $F_3 = 4$ , also  $E = 4$ , so findet man ein Vielflach mit  $E_3 = 4$ .

Ist  $F_3 = 6$ , also  $E = 5$ , so findet man ein Vielflach mit  $E_3 = 2, E_4 = 3$ .

Ist  $F_3 = 8$ , also  $E = 6$ , so findet man ein Vielflach mit  $E_3 = E_4 = E_5 = 2$  und eins mit:  $E_4 = 6$ .

Dagegen kann weder ein Vielflach mit:  $E_3 = E_5 = 1, E_4 = 4$  noch ein solches mit:  $E_3 = E_5 = 3$  existieren, wie man sich leicht überzeugt, obgleich diese Zahlen den weiter oben angeführten Relationen genügen.

Ist  $F_3 = 10$ , also  $E = 7$ , so giebt es Vielfache mit:  $E_3 = E_5 = 3, E_6 = 1$ , oder mit:  $E_3 = E_6 = 2, E_4 = 3$ , oder mit:  $E_3 = E_4 = E_5 = 2, E_6 = 1$ , oder mit:  $E_3 = 1, E_4 = E_5 = 3$ , oder mit:  $E_4 = 5, E_5 = 2$ . Andere Vielfache kann es dagegen hier nicht geben, so z. B. existiert ein Vielflach mit  $E_3 = 2, E_4 = 1, E_5 = 4$  nicht, obgleich die angeführten Relationen diese Möglichkeit zulassen. Diese Beispiele mögen zur Beleuchtung des Gesagten genügen.

**127.** Über die Konstruktion von Vielfachen ist im allgemeinen wenig zu sagen. Man hat besonders auf die Gruppierung der Kanten in den Seitenflächen und an den körperlichen Ecken zu achten; das Zeichnen der Kanten basiert im wesentlichen auf Dreieckskonstruktionen und auf der Affinität zwischen beiden Projektionen einer Seitenfläche, sowie auf der Konstruktion von Dreikanten. Ein Vielflach aus den Längen seiner Kanten und ihrer Anordnung zu zeichnen müßte nach 124 möglich sein, doch giebt es in den einfachsten Fällen bereits eine so große Anzahl von Lösungen (die, analytisch aufgefaßt, durch Bestimmung der Wurzeln von einer Reihe quadratischer und höherer Gleichungen gefunden werden müssen), daß das Problem konstruktiv zu große Schwierigkeiten bietet.

Bei der Projektion eines Vielfachs haben wir einen sichtbaren und einen unsichtbaren Teil zu unterscheiden. Jeder pro-

jizierende Strahl, der das Vielflach durchschneidet, enthält einen sichtbaren und einen oder mehrere unsichtbare Punkte seiner Oberfläche; der sichtbare Punkt ist derjenige, der am weitesten von der Projektionsebene absteht, die anderen Punkte sind verdeckt. Es giebt auf dem Vielflach ein Polygon (oder mehrere), in dessen Punkten die projizierenden Strahlen das Vielflach nur streifen; dieses Polygon wird als der wahre Umriß und seine Projektion als der scheinbare Umriß bezeichnet. Der wahre Umriß trennt offenbar im allgemeinen den sichtbaren Teil der Oberfläche von dem unsichtbaren; es kann indessen vorkommen, daß er selbst unsichtbar ist, womit auch die beiderseits anliegenden Seitenflächen unsichtbar werden. In allen Fällen wird das erwähnte Kriterium ausreichen, um zu entscheiden, ob eine Kante sichtbar ist oder nicht. Am besten wählt man dazu projizierende Strahlen, die zwei Kanten des Vielflachs treffen, also durch einen Schnittpunkt ihrer Projektionen gehen; aus der anderen Projektion kann man dann unmittelbar ersehen, welcher der beiden Punkte der Projektionsebene näher liegt und somit verdeckt wird. Die unsichtbaren Kanten eines Vielflachs sind in den Zeichnungen punktiert.

**128.** Ein Vielflach, das nur reguläre, unter sich kongruente Seitenpolygone und ebenso reguläre, unter sich kongruente Ecken besitzt, heißt regulär. Nach 125 giebt es folgende reguläre Vielflache: das Vierflach (Tetraëder), Achthflach (Oktaëder) und Zwanzigflach (Ikosaëder), die von Dreiecken begrenzt werden, das Sechsfach (Würfel, Hexaëder), das von Quadraten und das Zwölfflach (Dodekaëder), das von Fünfecken gebildet wird.

Die Konstruktion der regulären Vielflache. Wir können hier vom Vierflach und vom Würfel absehen, da ihre Konstruktion ohne weiteres einleuchtet. Beim regulären Achthflach stoßen in den Ecken je vier gleiche Kanten zusammen, die ein reguläres Vierkant bilden und deren Endpunkte deshalb ein Quadrat bestimmen. Hieraus erkennt man, daß die 12 Kanten des Achthflachs drei Quadrate bilden, deren Ebenen aufeinander senkrecht stehen. Der Schnittpunkt dieser Ebenen ist der Mittelpunkt des regulären Achthflachs; ihre Schnittlinien sind die drei Diagonalen oder Achsen desselben und tragen die 6 Ecken; sie sind zugleich die Diagonalen der genannten Quadrate.

Um das Achthflach darzustellen, stellen wir etwa eine Achse senkrecht zur Horizontalebene, sie projiziert sich dann im Aufriß in wahrer Länge, während die beiden anderen Achsen im Grundriß in wahrer Länge erscheinen. Der Grundriß wird demnach ein

Quadrat mit seinen beiden Diagonalen, im Aufriß liegen die Punkte  $C'', D'', E'', F''$  auf einer Parallelen zur  $x$ -Achse, da das Quadrat  $CEDF$  zum Grundriß parallel ist (Fig. 98).

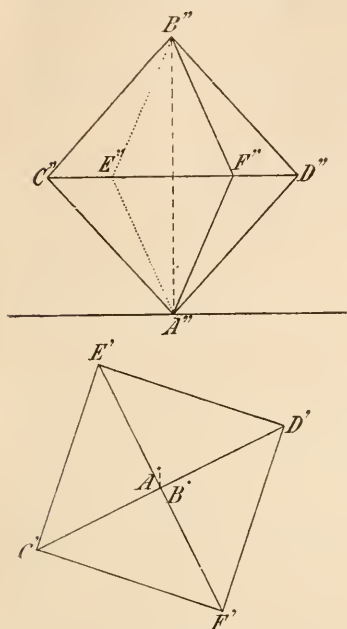


Fig. 98.

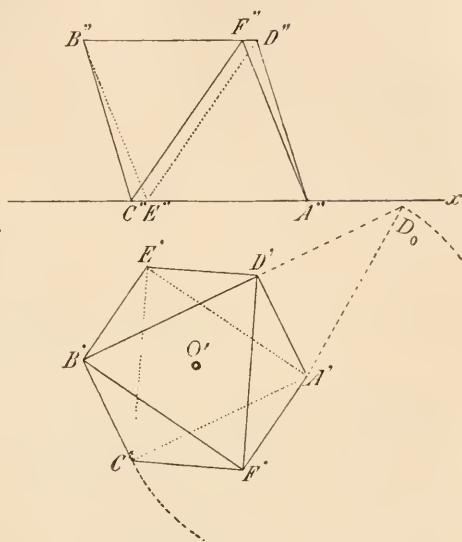


Fig. 99.

Wir geben noch eine zweite Darstellung des Achtecks, indem wir eine Seitenfläche in die Grundrißebene legen, etwa  $\triangle ACE$  (Fig. 99). Der Mittelpunkt  $O$  des Achtecks liegt senkrecht über der Mitte jeder Seitenfläche, also fällt  $O'$  mit dem Mittelpunkt von  $\triangle A'C'E'$  zusammen. Verlängert man  $OA$ ,  $OC$  und  $OE$  um sich selbst über  $O$  hinaus, so erhält man die Achsen  $AB$ ,  $CD$  und  $EF$ , so daß  $O'$  die Projektionen  $A'B'$ ,  $C'D'$  und  $E'F'$  halbiert, wodurch sich der Grundriß bestimmt. Im Aufriß fällt  $A''C''E''$  auf die  $x$ -Achse und  $B''D''F''$  wird parallel zu ihr; es ist also nur noch der Abstand dieser beiden Parallelen zu finden. Hierzu können wir etwa die Seite  $AD$  benutzen, von der wir die Projektion  $A'D'$  und die wahre Länge ( $= A'C'$ ) kennen. Jener Abstand ist  $= D_0'D'$ , wenn  $D_0A' = A'C'$  ist.

**129. Konstruktion des Zwölfflachs.** Die Ecken des Zwölfflachs sind reguläre Dreikante; errichtet man in den Mitten dreier, in einer Ecke zusammenlaufenden Kanten senkrechte Ebenen, so schneiden sich diese in einem Punkte  $O$ , der auf der Mittelsenkrechten jedes der drei regulären Fünfecke liegt, die jene körper-



liche Ecke bilden. Durch  $O$  geht demnach jede Ebene, die in der Mitte irgend einer Kante der genannten drei Fünfecke auf dieser senkrecht steht. Daraus geht weiter hervor, daß durch  $O$  die Mittelsenkrechte jeder Seitenfläche geht, die an zwei jener drei Fünfecke angrenzt. Durch Fortsetzung dieser Betrachtung folgt:  $O$  liegt über den Mitten aller Seitenflächen und ist von allen Ecken des Zwölfflachs gleich weit entfernt, man nennt deshalb  $O$  den Mittelpunkt. Die Seitenflächen sind paarweise parallel und die Ecken liegen paarweise auf 10 Achsen durch  $O$ . Man überzeugt sich hiervon leicht, wenn man

das Zwölfflach um eine zu einer Fläche senkrechte Achse durch  $O$  dreht, und zwar um einen Winkel, der  $\frac{1}{5} R$  (oder ein Vielfaches davon) beträgt. Es kommt dann das Zwölfflach mit sich selbst zur Deckung; die Fläche senkrecht zur Drehachse geht in sich selbst, von den fünf angrenzenden Flächen geht jede in die nächste über. Gleiches gilt von den fünf Flächen, die an jene anstoßen, so daß die letzte Fläche bei

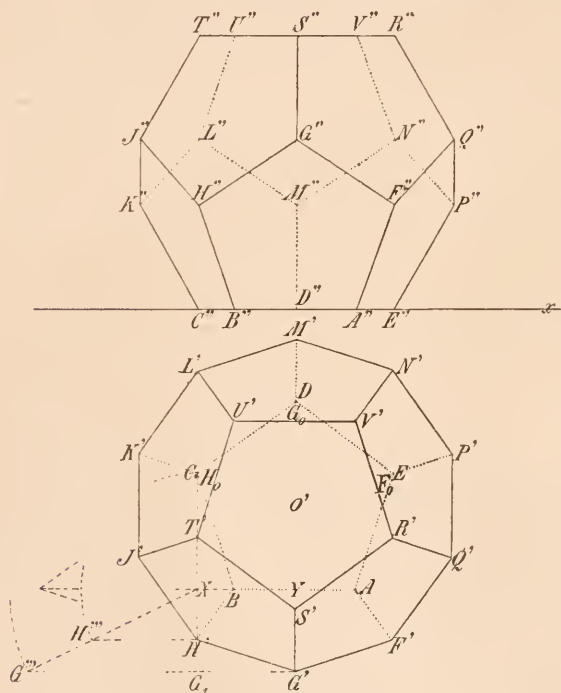


Fig. 100.

der Drehung in sich übergehen, also auf der Drehachse senkrecht stehen muß.

Bei der Darstellung mag eine Fläche in den Grundriß fallen, eine zweite ist dann hierzu parallel und erscheint in der Projektion wie diese als reguläres, aber um  $2 R$  gedrehtes Fünfeck. Die der ersteren anliegenden 5 Flächen werden sich dann im Grundriß als kongruente Fünfecke projizieren, ebenso die 5 Flächen, die an die zweitgenannte angrenzen (Fig. 100).

Die Horizontalprojektionen der 20 Eckpunkte kommen auf zwei konzentrische Kreise zu liegen. Das Basisfünfeck sei  $ABCDE$ , ein angrenzendes  $ABHGF$ . Um seine Projektion zu erhalten, denke man sich dasselbe um  $AB$  gedreht, bis es mit dem Basisfünfeck zusammenfällt und  $H_0G_0F_0$  in  $CDE$  zu liegen kommen.  $BH$  und ebenso  $BH'$  schließt mit  $BA$  und  $BC$  gleiche Winkel ein und, da  $H_0H' \perp AB$ , ist  $H'$  bestimmt; hiermit sind alle Ecken im Grundriß gefunden. Als Kontrolle dient der Umstand, daß sich  $G_0H_0 = DC$  und  $G'H'$  auf der Verlängerung von  $AB$  schneiden müssen. Im Aufriß liegen die Ecken zu je 5 auf vier Parallelen zur  $x$ -Achse, deren Abstände man durch Bestimmung der Abstände  $III'$  und  $GG'$  gewinnt. Zu ihrer Ermittlung wähle man eine Hilfsebene  $\Pi_3 \perp AB$  und zeichne in ihr eine Seitenansicht des Fünfecks  $ABHGF$ , das hier als Gerade erscheint ( $XH''' = XH_0$ ,  $XG''' = G_0F$ ), wo dann  $H'''H'$  und  $G'''G_1$  die gesuchten Abstände sind ( $H'''H' \parallel G'''G' \parallel BA$ ). Selbstverständlich ist von den 4 Parallelen die zweite ebensoweit entfernt von der ersten, wie die dritte von der vierten.

Zur Konstruktion können auch die folgenden Beziehungen verwendet werden. Es sei  $r_1$  der Radius des Kreises  $ABCDEST' \dots$  und  $r_2$  der des Kreises durch  $F'G'H'JK' \dots$ ; ferner sei  $s$  die Seite und  $d$  die Diagonale des Fünfecks  $ABCDE$ . Dann ist  $r_1:r_2 = I'R':N'Q' = s:d$ ; ferner  $M'N' = r_1$  und  $R'N' = r_2$ , da  $R'N' \parallel P'Q' \parallel O'M'$  und  $M'N' \parallel O'R'$ ; endlich  $R'F' = r_1$ , da  $R'F'S'O'$  ein Parallelogramm ist. Daraus folgt noch  $ER' = r_2 - r_1$  und da  $P'Q':ER' = r_2:r_1$  ist, folgt weiter:  $r_2:r_1 = r_1:r_2 - r_1$  oder:  $d:s = s:d - s$ , wie ja bekannt. Offenbar ist  $L'N' \perp N'R'$  und da die Diagonale  $LN \parallel \Pi_1$ , so stehen die Diagonalen  $LN$  und  $NR$  aufeinander senkrecht. Gleiches gilt für je zwei Diagonalen, die in der nämlichen relativen Lage sich befinden, so ist  $NR \perp RF$ . Aber es ist die Ebene  $RRF \perp \Pi_2$ , demnach ist  $NR$  ebenso gegen  $\Pi_1$  (resp.  $\Pi_2$ ) geneigt wie  $RF$  gegen  $\Pi_2$  (resp.  $\Pi_1$ ) und da  $NR = RF = d$ , ergibt sich:  $R'F'' = R'N' = r_2$  und  $R''N'' = R'F' = r_1$ .

Aus dem Gesagten geht auch hervor, daß die 8 Eckpunkte  $RRFELTHC$  die Ecken eines Würfels bilden.

**130.** Wir wollen das Zwölfflach noch in einer zweiten Lage zeichnen, wobei eine Achse, etwa  $AF$ , vertikal gestellt sein mag (Fig. 101). Die drei von  $A$  ausgehenden Kanten, etwa  $AB$ ,  $AC$ ,  $AD$ , haben gleiche Neigung unter sich und gleiche Neigung gegen die Horizontalebene, sie projizieren sich also als gleiche Strecken, deren Neigungswinkel  $\frac{4}{3} R$  betragen. Die erste Spurlinie der Ebene  $ABC$  ist  $a_1 \perp AD'$ , und die in dieser Ebene gelegene Seitenfläche  $ABEFC$  erhält durch Umlegen

um  $a_1$  in die Grundrißebene die Lage  $AB_0E_0F_0C_0$ , wo  $E_0F_0 \parallel a_1$ . Da  $B'B_0 \perp a_1$ , so kann man  $B'$  und ebenso  $C', D'$  angeben. Benutzt man eine Hilfsebene  $\Pi_3 \perp a_1$  im Punkte  $X$ , so erhält man in ihr als Seitenansicht des Fünfecks  $ABEFC$  die Gerade  $XB''E'''$ , wo  $XB'' = XB_0$

und  $XE'''$  gleich dem Lot von  $X$  auf  $E_0F_0$  ist ( $B'''B' \parallel a_1$ ).  $E'F'$  ist dann parallel zu  $a_1$  und gleich  $E_0F_0$  und geht verlängert durch  $E'''$ .

Ganz in gleicher Weise finden sich die ersten Projektionen der Eckpunkte  $G, H, J, K$ ; die 10 übrigen Eckpunkte liegen diesen diametral gegenüber und sind dadurch direkt gegeben, somit ist der Grundriß des Zwölfflachs bestimmt. Zur Kontrolle dient, daß sich  $B'E'$  und  $B_0E_0$  auf  $a_1$  schneiden müssen. Um den Aufriß zu zeichnen, suchen wir zuerst noch den Seitenriß  $O'''$  von  $O$ .  $O$  liegt aber senkrecht über dem Mittelpunkt  $Z$  des Fünfecks  $ABEFC$ , also ist  $O'''Z''' \perp XZ'''$  und  $XZ''' = AZ_0$ . Da man nun Grundriß und Seitenriß von  $B, E$  und  $O$  kennt, kann man

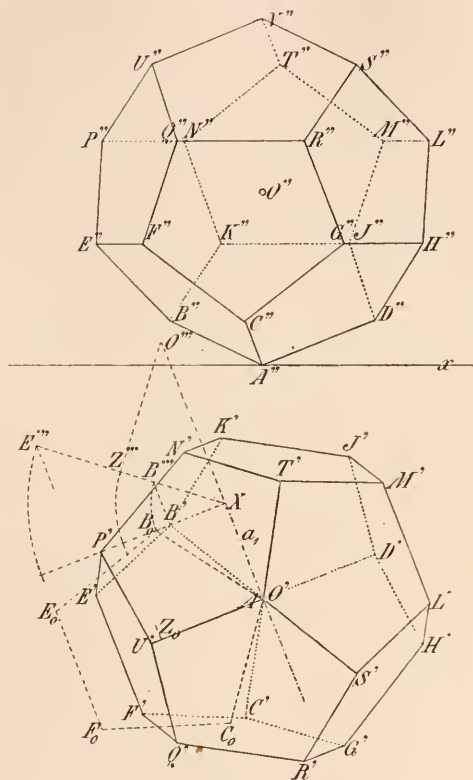


Fig. 101.

unmittelbar ihre Aufrisse finden und hieraus, wie leicht zu erkennen, die Aufrisse sämtlicher Ecken und so den Aufriß des Zwölfflachs selbst.

Auch hier mögen wieder die Beziehungen zwischen den einzelnen Strecken erwähnt werden. Wenn wir, wie vorher, mit  $s$  und  $d$  Seite und Diagonale des Fünfecks bezeichnen, so ist  $d:s = s:d-s = G'D':C'A = G'S':H'L'$ , da sich die Projektionen paralleler Strecken, wie die Strecken selbst verhalten. Nun ist:  $D'S' = C'A$ , also  $s:d = D'S':G'D'$  sowie  $s:d-s = C'A:G'S'$ , und durch Einfügen in die obige Relation kommt:  $d:s:d-s = C'A:G'S':H'L'$ . Nimmt man  $C'A$  an, so kann man hiernach die anderen Strecken finden.

Die Diagonalen  $MD$  und  $DG$  liegen wieder in einer Vertikal-

ebene und stehen aufeinander senkrecht (vergl. 141), folglich ist  $(M'' \dashv x) - (D'' \dashv x) = D'G'$  und  $(G'' \dashv x) - (D'' \dashv x) = M'D'$ . Die Kanten  $AC$  und  $HL$  sind zu jenen Diagonalen parallel, also ist auch:  $(C'' \dashv x) = H'L'$  und  $(L'' \dashv x) - (H'' \dashv x) = AC'$ .

**131. Konstruktion des Zwanzigflachs.** Beim Zwanzigflach stoßen in jeder Ecke fünf Kanten zusammen, die ein reguläres Fünfkant, und deren Endpunkte ein reguläres Fünfeck bilden. Je zwei aufeinanderfolgende Seiten des Fünfecks sind zwei Kanten des Zwanzigflachs, die nicht der nämlichen Seitenfläche angehören. Umgekehrt bilden je zwei von einer Ecke ausgehende Kanten, die nicht der gleichen Seitenfläche angehören, zwei Seiten eines regulären Fünfecks, dessen andere Seiten ebenfalls Kanten des Zwanzigflachs sind. Ganz ähnlich wie beim Zwölfflach zeigt man auch hier, daß die Eckpunkte paarweise auf sechs Achsen liegen, die durch einen Punkt, den Mittelpunkt, gehen, daß dieser Mittelpunkt senkrecht über der Mitte jeder Seitenfläche liegt und daß diese paarweise parallel sind.

Wählt man bei der Darstellung eine Achse etwa  $AQ$  senkrecht zum Grundriß, so bilden die Endpunkte der Kanten, die von  $A$  ausstrahlen, ein horizontales Fünfeck, ebenso die der von  $Q$  ausstrahlenden Kanten. Die Eckpunkte beider Fünfecke liegen sich diametral gegenüber, wonach sich der Grundriß sofort ergibt (Fig. 102). Um den

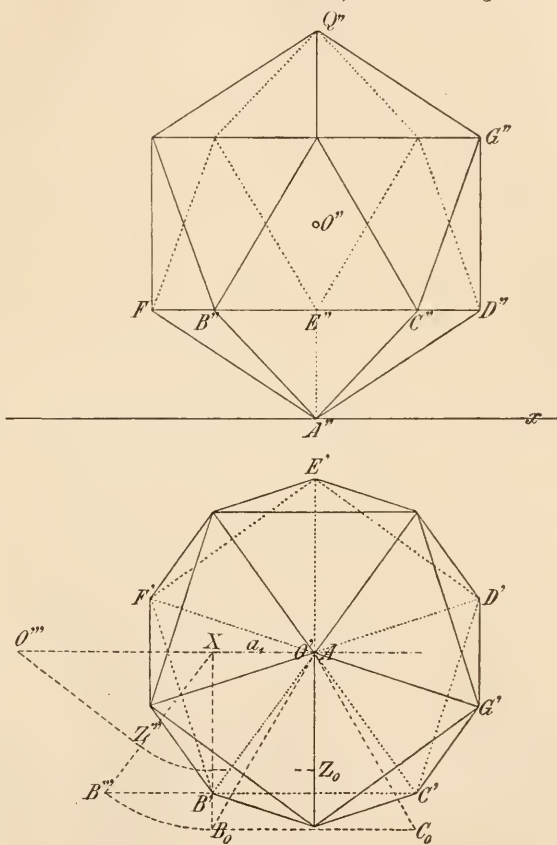


Fig. 102.

Aufriß zu zeichnen, braucht man nur noch die Abstände der beiden horizontalen Fünfecke von der Grundrißebene zu kennen. Sind nun die Kanten aus  $A$  der Reihe nach  $AB, AC, AD, AE, AF$ , und ist  $a_1$  die erste Spur der Fläche  $ABC$ , so ist  $a_1 \perp AE'$ . Durch Umlagen von  $\triangle ABC$  um  $a_1$  erhält man das gleichseitige Dreieck  $AB_0C_0$ . In einer Hilfsebene  $\Pi_3 \perp a_1$  im Punkte  $X$  sucht man den Seitenriß  $B'''$  von  $B$  ( $XB_0 = XB'''$ ) und den Seitenriß  $Z'''$  von dem Mittelpunkt  $Z$  des  $\triangle ABC$  ( $AZ_0 = XZ'''$ ). Da der Mittelpunkt  $O$  des Zwanzigflachs senkrecht über der Mitte  $Z$  des  $\triangle ABC$  liegt, so ist  $Z'''O''' \perp XB'''$ . Aus Grund- und Seitenriß von  $B$  und  $O$  findet man aber die Aufrisse dieser beiden Punkte und damit die Aufrisse aller 12 Eckpunkte. Man hätte bei der Konstruktion auch das ebene reguläre Fünfeck mit den Seiten  $AB$  und  $AD$ , dessen erste Spurline auf  $AC'$  senkrecht steht, benutzen können, dann wäre die Konstruktion von  $O$  überflüssig geworden.

Die Höhe der Ecken über der Horizontalebene bestimmen sich auch durch folgende Betrachtung. Es ist  $AD' \perp B'F'$  und folglich auch  $AD \perp BF$ , da  $BF$  horizontal; analog ist  $AE \perp DG$ , da diese Kanten in der gleichen gegenseitigen Lage sich befinden wie jene. Man folgert daraus (wie in 129), daß  $A'E' = D'G'$  und  $D'G'' = AE''$ .

**132.** Legt man bei der Darstellung eine Seitenfläche des Zwanzigflachs etwa  $\triangle ABC$  in die Grundrißebene hinein, und sind die Kanten aus  $A$  der Reihe nach  $AB, AC, AD, AE, AL$ , so läßt sich die räumliche Lage von  $AD, AE, AL$  in folgender Weise bestimmen (Fig. 103).  $AB, AC, AD$  bilden ein Dreikant, für das  $\angle BAC = \angle CAD = \frac{2}{3}R$  und  $\angle BAD = \frac{6}{5}R$  ist, da ja nach Früherem  $BA$  und  $AD$  zwei Seiten eines regulären Fünfecks sind; ganz ebenso bestimmt sich die Kante  $AL$ . Auch die Kanten  $AB, AC, AE$  bilden ein Dreikant, für das  $\angle BAC = \frac{2}{3}R$  und  $\angle CAE = \angle BAE = \frac{6}{5}R$  ist. Man zeichnet zunächst das um  $AB$  umgelegte Kantenfünfeck  $BAE_0G_0H_0$  und dreht es um  $AB$  zurück, so daß  $E'$  auf die Halbierungslinie des  $\angle BAC$  zu liegen kommt; durch Affinität findet man auch  $G'$  und  $H'$  ( $H'B = E'A$ ,  $G_0E_0 \times G'E'$  auf  $AB$ ). Beachtet man noch, daß die Ecken paarweise diametral einander gegenüberliegen, so kann man den Grundriß vollständig zeichnen. Im Aufriß liegen die 12 Ecken zu je drei auf vier Geraden parallel zur  $x$ -Achse, deren Abstände noch zu konstruieren sind. Dies geschieht wieder durch Benutzung einer Hilfsebene  $\Pi_3 \perp AB$  im Punkte  $X$ , in der man die Seitenrisse  $E'''$  und  $G'''$  zeichnet.

Anstatt das Fünfeck  $BAEGH$  zu benutzen, hätte man auch das Fünfeck  $CALHJ$  bei der Konstruktion verwerten können.



Wiederum kann man gewisse Streckenbeziehungen zur Konstruktion von Grund- und Aufriß verwenden. Ist nämlich  $r_1$  der Radius des Kreises durch  $ABCG' \dots$  und  $r_2$  der des Kreises durch  $D'E'H'J' \dots$ , so geht die Beziehung:  $O'B:O'H' = BC:H'K'$  über

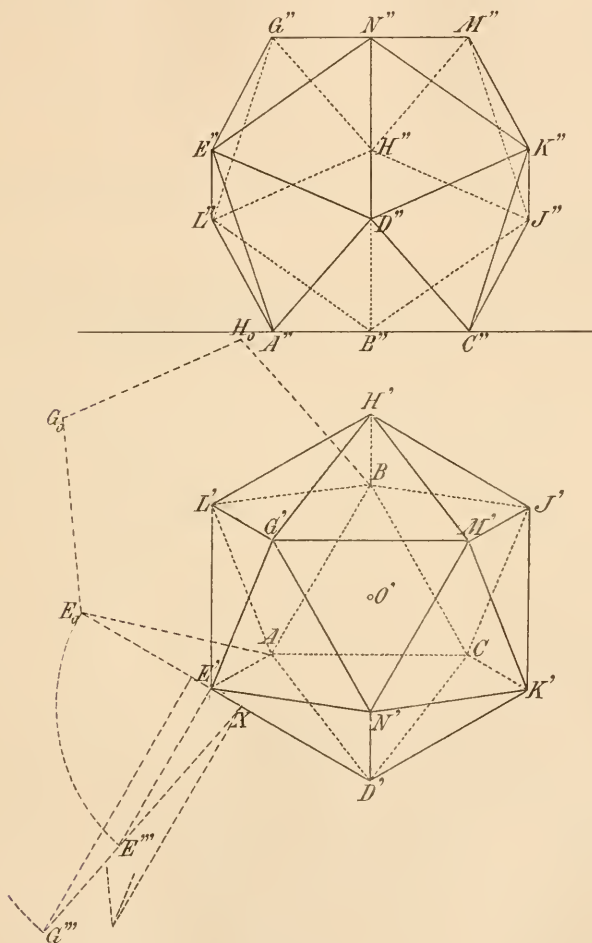


Fig. 103.

in:  $r_1:r_2 = s:d$ , wo  $s$  und  $d$  Seite und Diagonale eines regulären Fünfecks sind. Da  $M'C = r_1$  und  $M'C:H'B = d:s = r_2:r_1 = r_1:r_2 - r_1$ , folgt:  $H'B = r_2 - r_1$ , und da die Kanten  $JK$  und  $HB$  aufeinander senkrecht stehen, ergibt sich wie früher:  $H''B'' = J'K' = r_2$  und  $J''K'' = H'B = r_2 - r_1$ .

**133.** Außer den angeführten gewöhnlichen regelmäßigen

Vielfachen giebt es noch verschiedene sternförmige regelmäßige Vielfache. Diese Vielfache sind dadurch charakterisiert, daß entweder die Seitenflächen reguläre Sternfünfecke oder die Ecken reguläre Sternfünfkante sind; sie lassen sich aus den gewöhnlichen Vielfachen ableiten, indem man ihre Ecken entweder wie die des Zwölf- oder wie die des Zwanzigflachs anordnet, aber in anderer Reihenfolge durch Kanten und Flächen verbindet. Sie sollen hier nicht weiter untersucht werden, vielmehr mag es genügen, auf die bezügliche Speziallitteratur hinzuweisen<sup>4)</sup>.

**134.** Es mögen hier noch einige Fragen besprochen werden, die sich auf die einfachsten Vielfache, nämlich Tetraëder und Würfel beziehen.

Von einem Tetraëder kennt man beide Projektionen, jedoch nur der *Form* nicht der *Lage* und *Größe* nach; dasselbe sei zu zeichnen. Die gesuchten Projektionen nennen wir

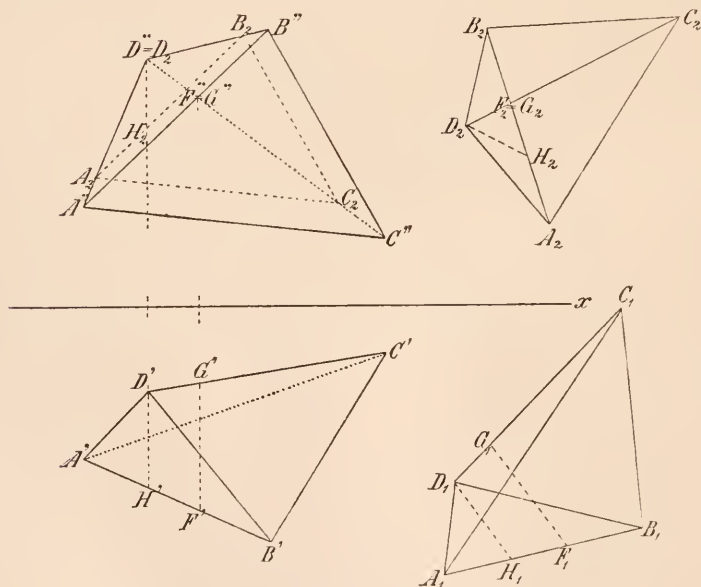


Fig. 104.

wie gewöhnlich  $A'B'C'D'$  und  $A''B''C''D''$ ; die gegebenen Figuren seien  $A_1B_1C_1D_1$  und  $A_2B_2C_2D_2$  und zwar setzen wir voraus, daß:  $A_2B_2C_2D_2 \sim A''B''C''D''$  und  $A_1B_1C_1D_1 \cong A'B'C'D'$  (Fig. 104). In der That können wir den Grundriß des Tetraëders auch der Größe nach wählen, also kongruent zu  $A_1B_1C_1D_1$  annehmen; damit ist dann

auch die Größe des gesuchten Tetraëders fixiert.  $A'B'C'D'$  und  $A''B''C''D''$  sind nun dadurch als orthogonale Projektionen des nämlichen Tetraëders charakterisiert, daß die Linien  $A'A''$ ,  $B'B''$ ,  $C'C''$ ,  $D'D''$  senkrecht zu einer Geraden, nämlich der  $x$ -Achse, stehen, also untereinander parallel sind. In dem Schnittpunkte der Geraden  $A''B''$  und  $C''D''$  fallen die Aufrisse  $F'' = G''$  zweier Punkte zusammen, deren Grundrisse  $F'$  und  $G'$  resp. auf  $A'B'$  und  $C'D'$  liegen; dabei ist:  $A'F' : F'B' = A''F'' : F''B''$  und  $C'G' : G'D' = C''G'' : G''D''$ . Ist  $A_2B_2 \times C_2D_2 = F_2 = G_2$  und sind  $F_1$  und  $G_1$  die homologen Punkte zu  $F'$  und  $G'$  in der Figur  $A_1B_1C_1D_1$ , so folgen aus jenen Relationen die weiteren:  $A_1F_1 : F_1B_1 = A_2F_2 : F_2B_2$  und  $C_1G_1 : G_1D_1 = C_2G_2 : G_2D_2$ , wonach sich  $F_1$  und  $G_1$  direkt zeichnen lassen. Legt man nun die Figur  $A_1B_1C_1D_1F_1G_1$  so in die Grundrißebene, daß  $F_1G_1 \perp x$ -Achse wird, so stellt sie den gesuchten Grundriß unseres Tetraëders vor. Um den Aufriß zu finden, ziehe man durch  $D'$  eine Parallele zu  $F'G'$ , die  $A'B'$  in  $H'$  schneiden mag und bestimme  $H_2$  auf  $A_2B_2$  gemäß der Relation:  $A_2H_2 : H_2B_2 = A'H' : H'B'$ . Nun gebe man der Figur  $A_2B_2C_2D_2F_2H_2$  eine solche Lage, daß  $D_2H_2$  in die Verlängerung von  $D'H'$  fällt, dann ist der gesuchte Aufriß zu dieser Figur ähnlich und ähnlich gelegen. Man hat nur  $D'' = D_2$  zu wählen und auf den Geraden  $D_2A_2$ ,  $D_2B_2$  und  $D_2C_2$  die Punkte  $A''B''$  und  $C''$  beziehentlich so zu bestimmen, daß  $A'A''$ ,  $B'B''$ ,  $C'C''$  senkrecht zur  $x$ -Achse werden.

**135.** Einen Würfel von gegebener Kantenlänge zu zeichnen, wenn man die Richtungen der ersten Projektionen seiner Kanten kennt.

Sei  $A$  eine Ecke und seien  $AB$ ,  $AC$ ,  $AD$  die drei von dieser Ecke ausgehenden Kanten des Würfels, so mögen  $A$  und die Richtungen  $b'$ ,  $c'$ ,  $d'$ , auf denen die Punkte  $B'$ ,  $C'$ ,  $D'$  gelegen sind, gegeben sein (Fig. 105). Da nun die Kante  $AB$  auf der Seitenfläche  $ACD$  senkrecht steht, so steht  $b'$  auf der ersten Spurlinie von  $ACD$  senkrecht. Analoges gilt für die beiden anderen Kanten. Das Spurendreieck  $B_1C_1D_1$  in einer horizontalen Hilfsebene ist also so beschaffen, daß  $b'$ ,  $c'$ ,  $d'$  seine Höhen sind; dabei kann ein Spurpunkt, etwa  $B_1$ , noch beliebig gewählt werden, was einem bestimmten Abstand der Ecke  $A$  von der Hilfsebene entspricht. Legt man jetzt die Ebene  $B_1AC_1$  um die Spur  $B_1C_1$  in die Hilfsebene um, so erhält man  $B_1A_0C_1$ , wo  $AA_0 \perp B_1C_1$  und  $B_1A_0 \perp C_1A_0$ ; ganz ebenso findet man  $C_1A^0D_1$  durch Umlegen der Ebene  $C_1AD_1$ . Auf  $A_0B_1$ ,  $A_0C_1$  resp.  $A^0C_1$  und  $A^0D_1$  trägt man die Kantenlänge des Würfels gleich  $A_0B_0 = A_0C_0 = A^0C^0 = A^0D^0$  auf und gewinnt dann durch Zurück-

drehen der umgelegten Ebenen  $B'$ ,  $C'$ ,  $D'$  und damit die erste Projektion des Würfels. Um den Aufriß des Würfels zu zeichnen,

hat man noch die Abstände der Ecken  $ABCD$  von der Hilfsebene zu bestimmen, was in bekannter Weise geschieht; so ergibt sich z. B. der Abstand  $AA_0$  des Punktes  $A$  von der Hilfsebene als Kathete eines rechtwinkligen Dreiecks, dessen Hypotenuse  $= A_0J$  und dessen andere Kathete  $= AJ$  ist.

**136.** Einen Würfel zu zeichnen, wenn man die Längen der ersten Projektionen seiner Kanten kennt.

Eine Ecke des Würfels, etwa  $A$ ,

verlegen wir in die Horizontalebene, sind dann  $B$ ,  $C$  und  $D$  die benachbarten Ecken und  $B'$ ,  $C'$ ,  $D'$  ihre Projektionen, so ist:

$$AB'^2 + BB'^2 = AC'^2 + CC'^2 = AD'^2 + DD'^2 = k^2,$$

wo  $k$  die Länge der Kanten des Würfels bedeutet. Nun läßt sich aber auch leicht zeigen, daß:

$$BB'^2 + CC'^2 + DD'^2 = k^2$$

ist. Errichtet man nämlich in  $A$  eine Vertikale, macht sie  $= k$  und fällt von ihrem Endpunkte Lote auf die Kanten  $AB$ ,  $AC$ ,  $AD$ , so werden auf ihnen Strecken abgeschnitten, welche resp. gleich  $BB'$ ,  $CC'$ ,  $DD'$  sind. Diese in  $A$  zusammenstoßenden Strecken bestimmen ein rechtwinkliges Parallelepipeton, dessen Diagonale eben jene Vertikale  $k$  ist. Für ein solches Parallelepipeton gilt aber der Satz, daß die Summe der Quadrate dreier zu einander rechtwinkliger Kanten gleich dem Quadrate der Diagonale ist.

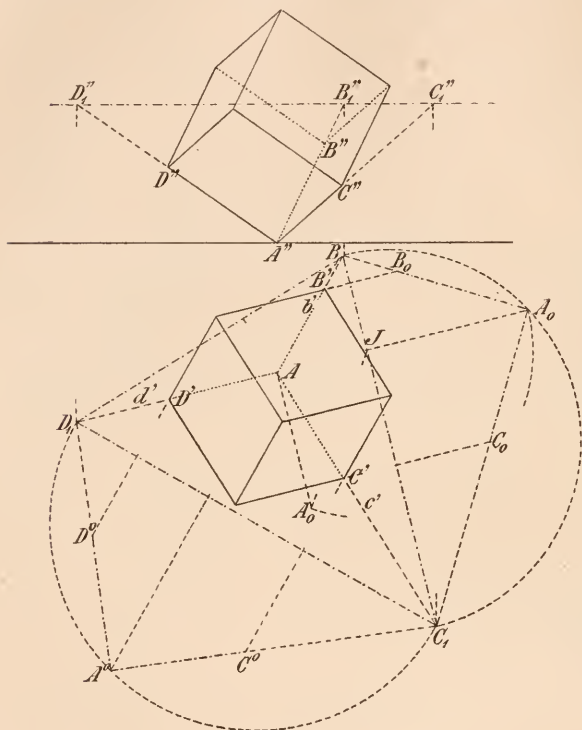


Fig. 105.

Aus jenen Relationen folgt nun die weitere:

$$AB'^2 + AC'^2 + AD'^2 = 2k^2,$$

die unmittelbar eine Konstruktion der Kantenlänge  $k$  ermöglicht, wie dies Fig. 106 zeigt (wobei  $AB' = b$ ,  $AC' = c$ ,  $AD' = d$ ). Hiermit kennt man auch sofort die Neigungswinkel, die die Kanten  $AB$ ,  $AC$ ,  $AD$  mit der Horizontalebene einschließen. Nimmt man nun eine Aufrißebene zu Hilfe, die einer Kante, etwa  $AB$ , parallel ist und dreht die beiden anderen Kanten  $AC$  und  $AD$  um eine in  $A$  vertikale Achse, bis sie zur Aufrißebene parallel werden, so erhält man  $A''B''$ ,  $A''C''$ ,  $A''D''$ ,  $AB' = b$ ,  $AC_{\Delta}' = c$ ,  $AD_{\Delta}' = d$ . Dreht man jetzt die beiden Kanten  $AC$  und  $AD$  wieder zurück, bis sie ihre richtige räumliche Lage eingenommen haben, d. h. bis sie beide auf  $AB$  senkrecht stehen, so erhält man die gewünschten Projektionen  $A''C''$ ,  $A''D''$  (wo  $C_{\Delta}''C'' \parallel D_{\Delta}''D'' \parallel x$ -Achse,  $A''C'' \perp A''B''$ ,  $A''D'' \perp A''B''$ )

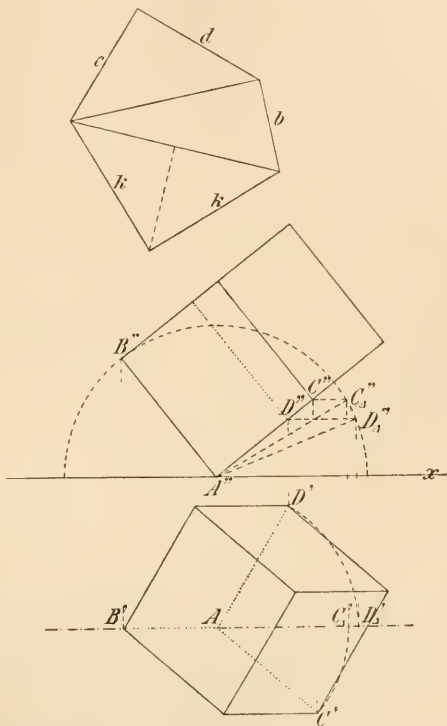


Fig. 106.

und  $AC'$ ,  $AD'$  (wo  $AC' = AC_{\Delta}'$ ,  $AD' = AD_{\Delta}'$ ). Die weiteren Kanten des Würfels lassen sich dann unmittelbar in ihren Projektionen zeichnen.

### 137. Einem Vierflach eine Kugel umzuschreiben.

Der Einfachheit halber mögen drei Ecken des Vierflachs  $ABCD$  in der Horizontalebene gelegen sein (Fig. 107). Dann gehört der Kreis durch die Ecken  $ABC$  der Kugel an und ihr Mittelpunkt  $M$  liegt senkrecht über dem Mittelpunkt  $M'$  dieses Kreises. Wählt man nun  $J$  auf diesem Kreise so, daß  $D'J \parallel x$ -Achse, so ist  $DJ$  eine zur Aufrißebene parallele Sehne der Kugel. Nun geht jede in der Mitte einer Kugelsehne zu ihr senkrechte Ebene durch den Kugelmittelpunkt. Die Mittelebene der Sehne  $DJ$  projiziert



sich aber im Aufriß als eine Gerade, die auf  $D''J''$  in der Mitte senkrecht steht, auf der sich also  $M''$  befinden muß. Wählt man

endlich auf dem Kreise durch  $ABC$  einen Punkt  $K$  so, daß  $M'K \parallel x$ -Achse, so ist  $M'K$  ein Kugelradius, dessen wahre Größe gleich  $M''K''$  ist, wonach sich die Kugelprojektionen direkt zeichnen lassen.

**138.** Einem Vierflach eine Kugel einzuschreiben.

Der Kugelmittelpunkt muß von den vier Flächen des Körpers gleichen Abstand besitzen. Sind nun  $A, B, C, D$  wieder die vier Ecken und konstruiert man drei Ebenen, die die Flächenwinkel längs der Kanten  $AB, BC, CA$  halbieren, so hat ihr Schnittpunkt offenbar gleichen Abstand von den vier Seiten-

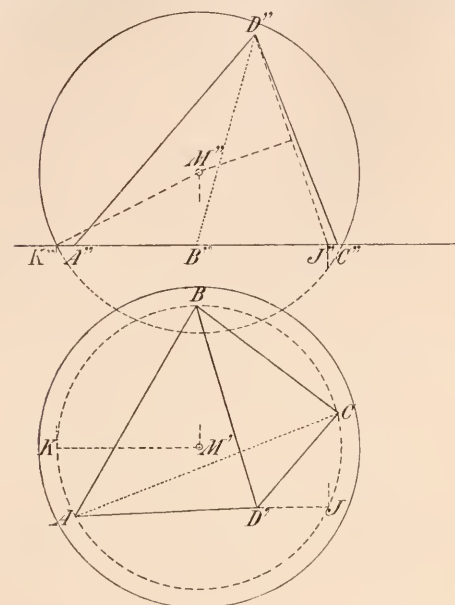


Fig. 107.

flächen, ist also der gesuchte Kugelmittelpunkt. Durch ihn gehen natürlich auch die Halbierungsebenen der Winkel an den anderen Kanten. Je nachdem man nun bei jenen Kanten die Innen- oder die Außenwinkel halbiert, erhält man acht verschiedene Lagen und demnach acht einbeschriebene Kugeln, die freilich die Flächen nicht alle von innen, sondern teilweise von außen berühren. Halbiert man überall die Innenwinkel, so liegt die einbeschriebene Kugel im Innern des Vierflachs.

Um diese Kugel zu finden, setzen wir wieder voraus, daß die Ecken  $ABC$  in der Grundrißebene liegen, dann können wir uns zur Konstruktion der Halbierungsebenen in den Kanten  $AB, BC, CA$  der folgenden Methode bedienen (Fig. 108). Die Halbierungsebene durch die Kante  $AB$  schließt mit der Seite  $ABD$  und der Grundrißebene gleiche Winkel ein, also auch mit jeder anderen Horizontalebene. Legt man demnach durch die Ecke  $D$  eine horizontale Hilfsebene, so wird dieselbe von jener Halbierungsebene in einer Hilfsspur  $c$  geschnitten ( $c \parallel AB$ ), und es muß  $D$  von  $c$  und  $AB$  gleichen Abstand besitzen, d. h. es muß  $DH = DL$  sein, denn  $\triangle DHL$  ist gleich-

schenklig wegen der Gleichheit der Winkel bei  $H$  und  $L$ . Nun bestimmt sich  $DH$  als Hypotenuse eines rechtwinkligen Dreiecks mit den Katheten  $D'H$  und  $D'E$ ; man hat also nur  $D'L' = DL = DH$  auf die Verlängerung von  $HD'$  aufzutragen, um  $L'$  und damit  $c'$  zu finden. Analog verfährt man, um die Projektionen  $a'$  und  $b'$  der Hilfsspuren  $a$  und  $b$  bei den Halbierungsebenen durch die Kanten  $BC$  und  $CA$  zu gewinnen. Bezeichnen wir jetzt das Dreieck der drei Hilfsspuren mit  $A_1B_1C_1$ , so sind  $AA_1$ ,  $BB_1$ ,  $CC_1$  die gegenseitigen Schnittpunkte unserer Halbierungsebenen und ihr gemeinsamer

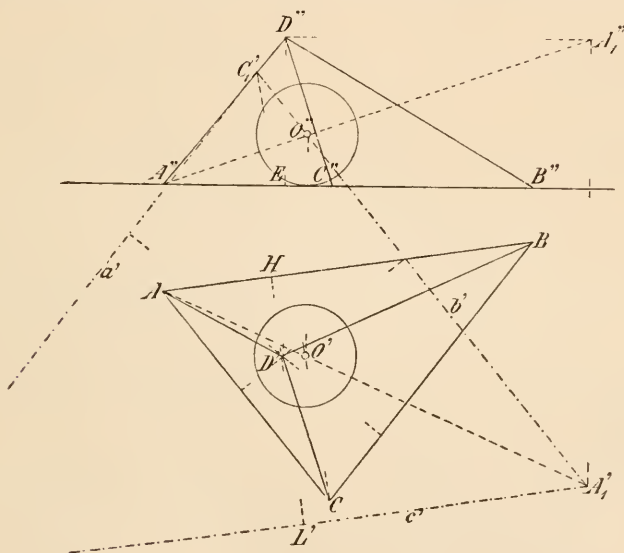


Fig. 108.

Punkt  $O$  ist der gesuchte Kugelmittelpunkt ( $O' = AA_1' \times BB_1' \times CC_1'$  und  $O''$  auf  $A''A_1''$ ). Der Kugelradius ist gleich dem Abstände des Punktes  $O''$  von der  $x$ -Achse.

Für die Halbierungsebene des Außenwinkels an der Kante  $AB$  gilt wiederum die Beziehung, daß der Abstand ihrer Hilfsspur von  $D$  gleich  $DH$  ist, nur ist dieser Abstand in entgegengesetzter Richtung wie vorher aufzutragen. Hieraus folgt sofort die Konstruktion der anderen berührenden Kugeln.

Die horizontale Hilfsebene kann auch in beliebigem Abstand von der Grundrißebene gewählt werden. Dann hat man zunächst das Hilfsspurdreieck der Flächen  $DAB$ ,  $DBC$ ,  $DCA$  zu zeichnen, was eine geringe Abänderung obiger Konstruktion nach sich zieht.

## Ebene Schnitte und Netze von Vielflachen, insbesondere Prismen und Pyramiden.

**139.** Ist ein ebenflächiger Körper durch seine Projektionen gegeben und soll man einen ebenen Schnitt durch ihn legen, so geht man meist von der Bestimmung der Ecken des Schnittpolygons aus; in speziellen Fällen ist es möglich, sogleich die Seiten desselben zu zeichnen.

Um nun auf einer Polyöderkante  $JK$  ihren Schnittpunkt  $S$  mit der gegebenen Ebene  $E$  zu finden, benutzt man am besten zwei in

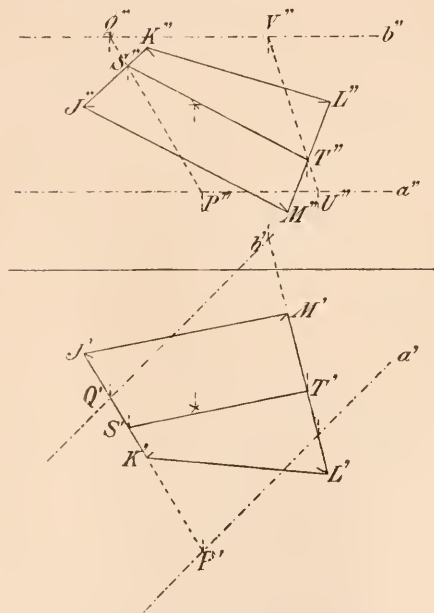


Fig. 109.

$E$  gelegene parallele Gerade, etwa zwei Hauptlinien  $a \parallel b \parallel \Pi_1$ . Man denke sich (Fig. 109) durch  $JK$  eine vertikale Hilfsebene, die  $a$  und  $b$  in  $P$  und  $Q$  resp. schneiden mag, dann ist:  $J''K'' \times P''Q'' = S''$ . Auf diese Weise findet man alle Ecken des Schnittpolygons. Von den Polyöderkanten sind natürlich nur die zu benutzen, die unverlängert die Ebene  $E$  wirklich treffen.

Um die wahre Gestalt der Seitenflächen und der Schnittfläche des Körpers zu bestimmen, muß man ihre Ebenen zu einer Tafel parallel drehen (85) oder in die Tafel umlegen (80). Hierbei genügt es, die Endlage einer Ecke

des betreffenden Polygons durch die Drehung zu bestimmen; die übrigen ergeben sich aus der Affinität, die zwischen seiner Projektion und Umlegung besteht. — Legt man alle Seitenflächen eines Polyeders in einer Ebene nebeneinander, so daß jede mit der vorhergehenden eine Kante gemein hat, so erhält man ein Netz des Vielflachs.

Statt der Polyöderkanten kann man zuweilen direkt die Polyöderflächen mit der Ebene  $E$  schneiden und erhält so die Seiten des Schnittpolygons. Die weiteren Beispiele zeigen die Anwendung dieses Verfahrens auf Prismen und Pyramiden.

**140.** Eine prismatische Fläche wird von einer Geraden beschrieben, die an einem ebenen (offenen oder geschlossenen) Polygon so hingleitet, daß sie beständig die gleiche Richtung beibehält. Das Polygon heißt Leitlinie, die bewegliche Gerade wird im allgemeinen Erzeugende, im besonderen, wenn sie durch eine Ecke des Polygons geht, Kante genannt. Zwei parallele Ebenen schneiden die prismatische Fläche in kongruenten Polygonen, der von ihnen begrenzte Körper heißt Prisma. Jene Polygone heißen die Grundfläche oder Basis resp. die Endfläche, die übrigen Flächen (Parallelogramme) die Seitenflächen des Prismas. Stehen die Kanten senkrecht auf der Basis, so heißt das Prisma gerade, sonst heißt es schief. Der Abstand zwischen der Grund- und Endfläche heißt die Höhe.

Eine pyramidale Fläche entsteht, wenn eine Gerade an einem ebenen Polygon so hingleitet, daß sie dabei beständig durch einen festen Punkt geht. Das Polygon heißt wieder Leitlinie, die bewegliche Gerade wieder Kante oder Erzeugende, je nachdem sie durch eine Ecke des Polygons verläuft oder nicht; den festen Punkt nennt man Spitze oder Scheitel. Parallele Ebenen schneiden die Fläche in ähnlichen und ähnlich gelegenen Polygonen resp. Polygonstücken. Die pyramidale Fläche besteht aus zwei symmetrischen sich im Scheitel gegenüberstehenden Flächenteilen. Eine Ebene schneidet eine solche Fläche in einem Polygon, oder in mehreren Polygonstücken, je nachdem eine Parallelebene durch den Scheitel nur diesen selbst oder mehrere Erzeugende enthält.

Der von einer Ebene und einer pyramidalen Fläche begrenzte Körper heißt Pyramide. Erstere wird Grundfläche, die übrigen Flächen (Dreiecke) werden Seitenflächen genannt. Unter der Höhe der Pyramide versteht man das von der Spitze auf die Basisfläche gefällte Lot.

**141.** Ein reguläres Prisma, dessen Basis und Achse gegeben ist, zu zeichnen, sowie einen ebenen Schnitt desselben und das Netz des einen Teiles anzugeben (Fig. 110).

Bei einem regulären Prisma ist die Grundfläche ein reguläres Polygon und die Kanten stehen auf ihr senkrecht; die Verbindungslinie der Mittelpunkte der Grund- und Endfläche heißt die Achse, und ist offenbar zu den Kanten parallel. Sei  $JK$  die Achse und  $A_0B_0C_0D_0E_0$  das um die Hauptlinie  $h$  der Grundebene zu  $\Pi_1$  parallel gedrehte reguläre Polygon, so benutze man eine vertikale Hilfsebene durch  $JK$  und drehe sie parallel  $\Pi_1$  um die Hauptlinie  $JL$ . Die mit der Hilfsebene gedrehte Achse des Prismas ist dann  $J'K_\Delta$ ;

die Projektion von  $A_0B_0C_0D_0E_0$  auf die Hilfsebene fällt mit  $J'K'$ , diejenige von  $ABCDE$  mit  $A_\Delta D_\Delta$  zusammen, wo  $A_\Delta D_\Delta \perp J'K_\Delta$  und  $J'A_\Delta = (A_0 \dashv h')$ . Aus der Hilfsprojektion des Basispolygons ergeben sich aber sofort sein Grund- und Aufriß ( $A_\Delta A' \parallel h'$  und  $A_0 A' \perp h'$  etc.,  $A_\Delta A' = (A'' \dashv J''L')$  etc.). Hierauf lassen sich die Projektionen des Prismas leicht vervollständigen.

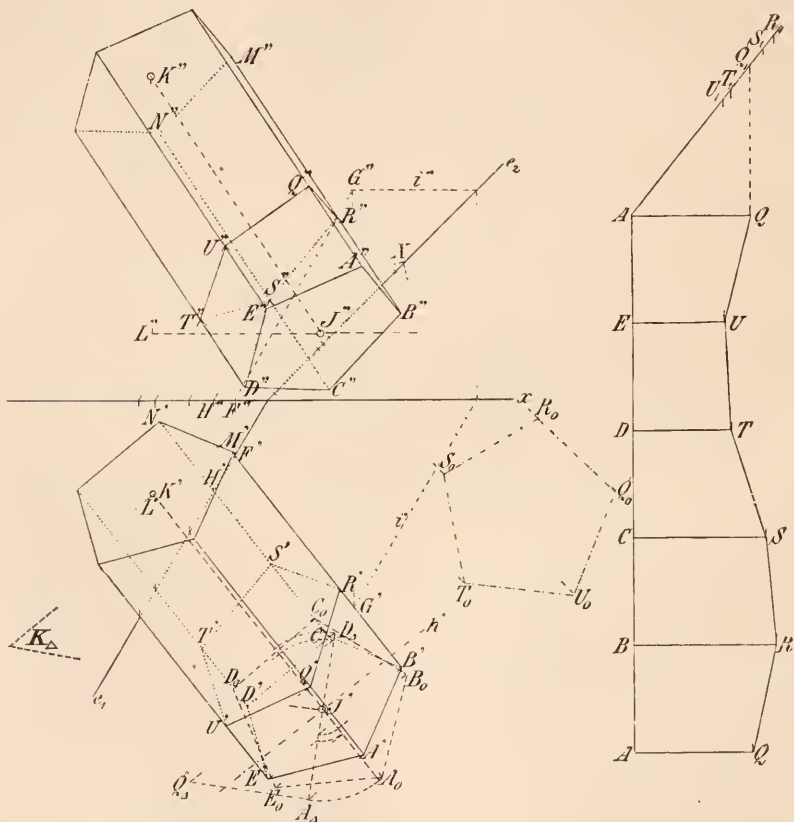


Fig. 110.

Ist die Schnittebene  $E$  durch ihre Spuren  $e_1, e_2$  gegeben, so zeichne man zunächst in ihr eine Hauptlinie  $i$ . Die Vertikalebene in  $B'M'$  schneidet  $E$  in der Geraden  $FG$ ;  $R''$  ist also der Aufriß der auf  $BM$  gelegenen Ecke des Schnittpolygons. Hiernach lassen sich die Projektionen dieses Polygons  $QRSTU$  angeben; denn es ist  $H''S'' \parallel F''G''$  und  $H' = e_1 \times C'N'$  etc. Um seine wahre Größe  $Q_0R_0S_0T_0U_0$  zu finden, legen wir es um die Spur  $e_2$  in  $\Pi_2$  um; dabei ist



$Q_0Q'' \perp e_2$  und  $Q_0X$  ist die Hypotenuse eines Dreiecks mit den Katheten  $Q''X$  und  $(Q' \dashv x)$ . Zur Bestimmung der übrigen Punkte kann man auch die Affinität von  $Q''R''S''T''U''$  und  $Q_0R_0S_0T_0U_0$  benutzen.

Um das Netz des einen Stückes des Prismas mit der Grundfläche  $ABCDE$  und der Endfläche  $QRSTU$  zu zeichnen, braucht man nur zu bedenken, daß die Seitenflächen Trapeze sind, deren Seiten man kennt. Im Trapez  $ABRQ$  ist  $AB = A_0B_0$ ,  $QR = Q_0R_0$ ,  $AQ = A_\Delta Q_\Delta$  und  $\angle ABR = \angle BAQ = R$ ; ferner ist:  $AQ:BR:CS:DT:EU = A''Q':B''R':C''S':D''T':E''U''$ . In der Figur ist  $AQ_1 = 2 A''Q''$  und  $Q_1Q \parallel AE$  gewählt; ist dann ebenso  $AR_1 = 2 A''R''$ , etc., so muß auch  $R_1R \parallel AE$  sein, etc. Es mag noch erwähnt werden, daß auch die Fünfecke  $ABCDE$  und  $QRSTU$  affin sind, die Affinitätsachse ist die Schnittlinie ihrer beiden Ebenen, auch die Projektionen sind infolgedessen affin.

**142.** Von einem schiefen Prisma soll das Netz entwickelt werden (Fig. 111). Seine Grundfläche  $ABCD$  mag in der Horizontalebene liegen und die Projektionen der Kante  $AK$  mögen gegeben sein, dann lassen sich die Projektionen des Prismas direkt zeichnen. Um das Netz zu bestimmen verfährt man am besten so, daß man einen Schnitt senkrecht zu den Kanten ausführt und dessen wahre Größe sucht. Dazu benutze man eine zu den Kanten parallele Vertikalebene als Seitenrißebene und zeichne den Seitenriß des Prismas. Die Ebene des Normalschnittes hat die Spuren  $e_1 \perp A'K'$ ,  $e_2 \perp A''K''$ ,  $e_3 \perp A'''K'''$  und der Seitenriß des Schnittpolygons fällt mit  $e_3$  zusammen, woraus sich auch seine anderen Projektionen ergeben. Um die wahre Größe von  $LMNO$  zu finden, legt man dieses Viereck um  $e_1$  in  $\Pi_1$  nieder, was mit Hilfe des Seitenrisses in bekannter Weise geschieht. Die Vierecke  $ABCD$ ,  $L'M'N'O'$ , und  $L_0M_0N_0O_0$  sind affin,  $e_1$  ist für alle drei die gemeinsame Affinitätsachse.

Schneidet man die prismatische Fläche längs einer Kante auf und breitet sie in eine Ebene aus, so werden alle Kanten parallel und die Seiten des Normalschnittes bilden Stücke einer dazu senkrechten Geraden. Hiernach kann man das Netz zeichnen, indem man die Teilstücke der Kanten aus dem Seitenriß direkt entnehmen kann. In der Figur ist nur das Netz des einen Stückes des Prismas entworfen.

Handelt es sich nur um das Netz, so kann man die Projektionen des Normalschnittes fortlassen, da alsdann die Konstruktion seiner wahren Gestalt  $L_0M_0N_0O_0$  genügt. Wollte man einen schiefen

Schnitt zeichnen, so könnte man ganz wie vorher beim geraden Prisma verfahren.

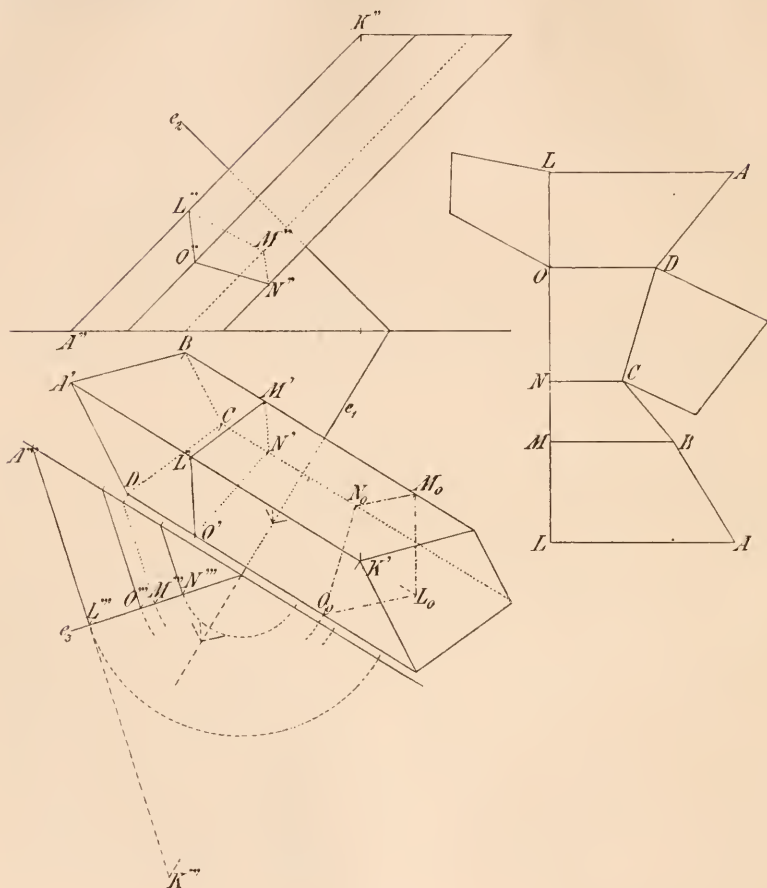


Fig. 111.

143. Eine beliebige Pyramide mit einer Ebene zu schneiden und ihr Netz zu entwickeln (Fig. 112). Wir wollen annehmen, daß die Basisebene  $ABCDE$  der Pyramide mit der Horizontalebene zusammenfällt; aus der Lage dieses Polygons und der der Spitze gehen die Projektionen der Pyramide hervor. Sind  $e_1$  und  $e_2$  die Spuren der Schnittebene  $E$ , so kann man zunächst  $J = AS \times E$  in der bekannten Weise finden. Das Schnittpolygon  $JKLMN$  bestimmt sich dann dadurch, daß es mit  $ABCDE$  in perspektiver Lage ist (vergl. 165), d. h. daß die Schnittpunkte homologer Seiten  $AB \times JK$ ,  $BC \times KL$ ,  $CD \times LM$ , ... auf  $e_1$  liegen, wie das ja klar

ist. Die Konstruktion läßt sich auch in der Weise ausführen, daß man eine horizontale Hilfsebene durch die Spitze  $S$  benutzt.  $E$  besitzt dann die Hilfsspur  $e_3 \parallel e_1$  und die Seitenfläche  $SAB$  die Hilfsspur  $SQ \parallel AB$  und es ist  $J'K'$  die Verbindungslinie des Punktes  $e_1 \times AB$  mit  $e_3' \times S'Q'$ ; analog konstruiert man  $K'L'$  etc. Endlich könnte man bei der Konstruktion wieder eine Hilfsebene  $\perp e_1$  wählen und würde dann wie bei den vorausgehenden Aufgaben verfahren.

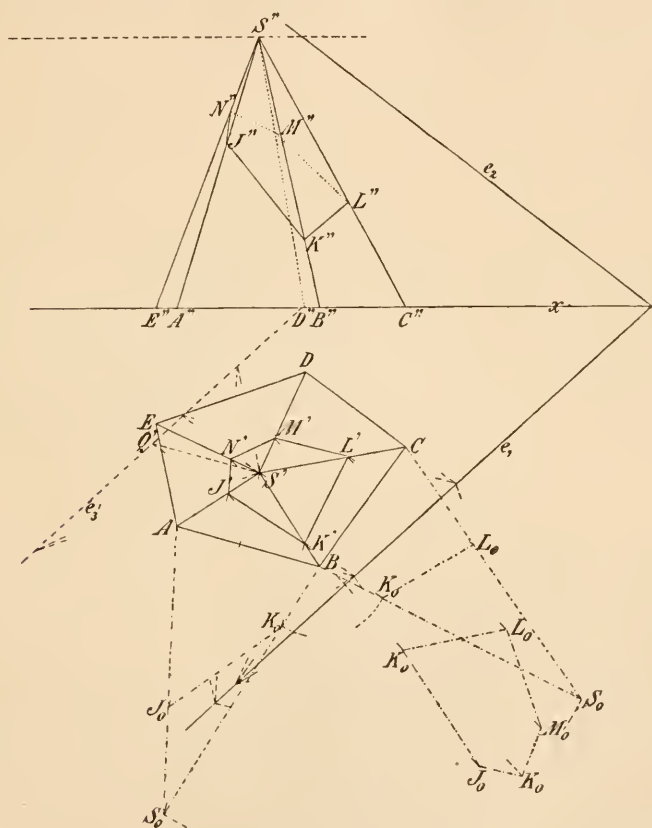


Fig. 112.

Um das Netz zu zeichnen, legt man die Schnittflächen um ihre Basislinien nieder, also  $SAB$  um  $AB$ ,  $SBC$  um  $BC$ , etc.; so entsteht  $S_0AB$  und  $J_0K_0$  und es ist  $J'K' \times J_0K_0 = AB \times e_1$  etc. Das Polygon  $JKLMN$  legt man um die Spur  $e_1$  in  $\Pi_1$  nieder.

**144.** Den Stumpf einer vierseitigen Pyramide zu zeichnen, wenn das Basisviereck, sowie der Neigungswinkel  $\alpha$

der Schnittfläche gegen die Basis gegeben sind, und die Schnittfläche ein gegebenes Parallelogramm ist.

Um eine vierseitige Pyramide mit dem Scheitel  $S$  und dem Grundviereck  $ABCD$  in einem Parallelogramm  $JKLM$  zu schneiden, muß man die Schnittebene parallel den Geraden  $SU = SAB \times SCD$  und  $SV = SBC \times SDA$  wählen (Fig. 113). Der Schnittpunkt von  $JK$  (in  $SAB$ ) und  $LM$  (in  $SCD$ ) muß nämlich auf  $SU$  liegen, und da  $JK \parallel LM$ , so folgt weiter  $JK \parallel SU \parallel LM$ . Die Seiten des Parallelogramms  $JKLM$  sind paarweise den Geraden  $SU$  und  $SV$  parallel.

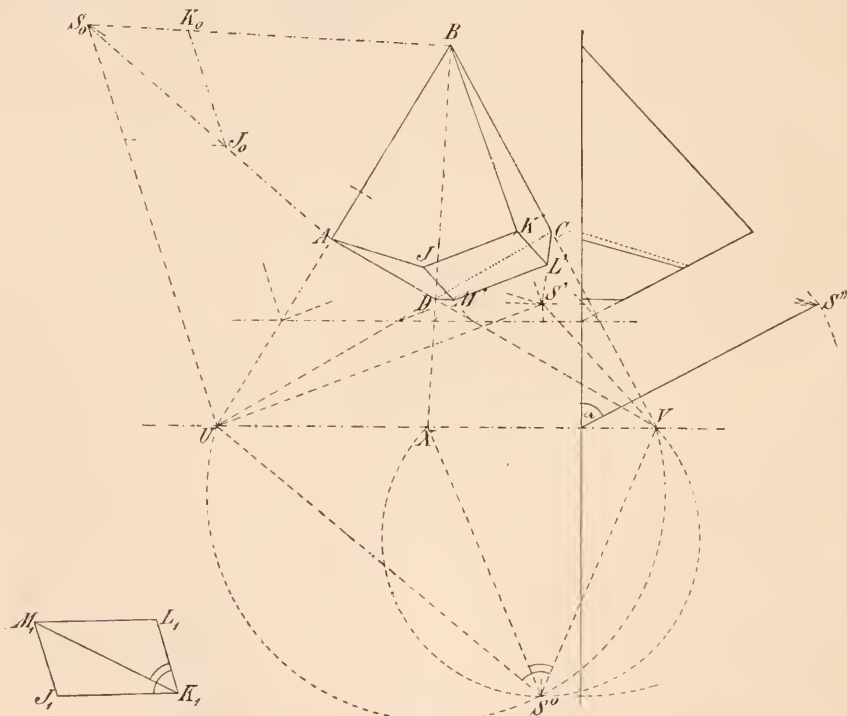


Fig. 113.

Die Diagonalen  $JL$  und  $KM$  des Parallelogramms müssen in den Ebenen  $SAC$  resp.  $SBD$  gelegen sein, also muß  $JL \parallel SY$  und  $KM \parallel SX$  sein, wo  $SY = SAC \times SUV$  und  $SX = SBD \times SUV$  ist. Hiernach läßt sich nun die Konstruktion leicht durchführen. Mit  $ABCD$  ist auch  $U, V, X$  und  $Y$  bekannt. Denken wir uns die Ebene  $SUV$  um  $UV$  in  $\Pi_1$  umgelegt, so bestimmt sich  $S^0$  dadurch, daß  $\angle US^0V = \angle J_1K_1L_1$  und  $\angle VS^0X = \angle L_1K_1M_1$  ist;  $S^0$  erscheint also als Schnittpunkt zweier Kreise, die über den Sehnen  $UV$  und  $VX$  resp. beschrieben

sind und die bezüglichen Winkel als Peripheriewinkel über diesen Sehnen fassen. Mit Hilfe einer Ebene  $\Pi_3 \perp UV$  drehen wir jetzt  $S^0UV$  um  $UV$ , bis dieses Dreieck mit  $\Pi_1$  den gegebenen Winkel  $\alpha$  einschließt, dann ist  $S(S', S'')$  die Spitze einer Pyramide, von der der gesuchte Pyramidenstumpf ein Teil ist. In der That schneidet jede zu  $USV$  parallele Ebene aus dieser Pyramide ein Parallelogramm, welches zu dem gegebenen  $J_1K_1J_1M_1$  ähnlich ist. Legt man nun noch die Seitenfläche  $SAB$  um  $AB$  in  $\Pi_1$  um, so bestimmt sich  $J_0K_0$  in ihr dadurch, daß  $J_0K_0 = J_1K_1$  und  $J_0K_0 \parallel S_0U$  ist; dadurch ergibt sich dann sofort  $J'K'$  und somit das Parallelogramm und die Spur der Schnittfläche in der Basisebene.

Die Aufgabe: eine abgestumpfte vierseitige Pyramide zu zeichnen, wenn die Vierecke in der Grund- und in der Schnittfläche, sowie der Neigungswinkel  $\alpha$  dieser beiden Flächen bekannt sind, läßt sich ähnlich behandeln, doch ist hierbei auf die Darlegungen des folgenden Kapitels zu verweisen. Man bringt nämlich beide Vierecke auf der nämlichen Ebene in perspektive Lage und dreht dann die Ebene des einen Vierecks um die Achse der Perspektivität, bis sie mit der anderen Ebene den Winkel  $\alpha$  einschließt; schließlich hat man nur noch die entsprechenden Ecken der beiden Vierecke zu verbinden.

### Durchdringung zweier Vielfläche.

**145.** Zwei Vielfläche schneiden sich — falls sie überhaupt ineinander eindringen — in einem oder mehreren räumlichen Vierecken, deren Eckpunkte auf den Kanten der Vielfläche liegen und in deren Seiten sich die Flächen beider durchschneiden. Die Seite eines Durchdringungspolygons verbindet entweder zwei Kanten des nämlichen Vielflachs oder eine Kante des einen Vielflachs mit einer des anderen. Im ersteren Falle müssen beide Kanten der nämlichen Seitenfläche angehören und die nämliche Fläche durchstoßen, im zweiten Falle muß jede der beiden Kanten eine Fläche durchstoßen, welche von der anderen begrenzt wird. Besteht die ganze Durchdrigungsfigur aus einem einzigen Polygon, so sagt man, daß die Vielfläche ineinander eindringen, oder daß das eine ein Stück aus dem anderen ausschneide; bildet sie dagegen mehrere Polygone, so sagt man, das eine Vielflach durchdringe das andere.

Eine Seite der Durchdrigungsfigur ist sichtbar, sobald sie in zwei sichtbaren Flächen gelegen ist, wenn man jedes Vielflach für sich allein betrachtet, in allen anderen Fällen ist sie un-



sichtbar. Eine Seite ist demnach stets unsichtbar, wenn einer ihrer Endpunkte auf einer unsichtbaren Kante eines Vielflachs liegt; sie kann aber auch unsichtbar sein, wenn sie zwei sichtbare Kanten verbindet, die dann entweder dem gleichen Vielflach angehören müssen, oder von denen eine auf dem scheinbaren Umriß liegen muß.

Um die Durchdringungsfigur zu konstruieren, kann man die Seiten des einen Vielflachs mit denen des anderen zum Schnitt bringen, man erhält so die Seiten dieser Figur, deren Ecken sich auf den unverlängerten Kanten der Vielflache befinden müssen (Flächenverfahren). Man kann aber auch die unverlängerten Kanten jedes der beiden Vielflache mit den Seiten des anderen schneiden, wodurch sich die Ecken der Durchdringungsfigur ergeben. Es sind dann diese Ecken in solcher Folge zu verbinden, daß je zwei aufeinanderfolgende Ecken bei beiden Vielflachen in der nämlichen Seite liegen (Kantenverfahren). Das letztere wird gewöhnlich angewendet.

**146.** Die Durchdringung eines Würfels mit einem Tetraëder zu zeichnen (Fig. 114). Eine Diagonale des Würfels soll auf  $\Pi_1$  senkrecht stehen. Um ihn in dieser Lage zu zeichnen, gehen wir von einer speziellen Lage aus, wobei die Würfelseite  $AB_0C_0D_0$  in  $\Pi_1$  liegt und drehen den Würfel um die Gerade  $a$  ( $a \perp AC_0$ ), bis seine Diagonale  $AC_1$  zu  $\Pi_1$  senkrecht wird. Hierzu benutzen wir, wie bekannt, eine zu  $a$  senkrechte Hilfsebene als Seitenriß; daraus ergeben sich Grund- und Aufriß des Würfels. Das Tetraëder mag durch seine Projektionen gegeben sein. Wir wenden das Kantenverfahren an. Die erste projizierende Ebene durch  $GH$  schneidet die Würfelseite  $BB_1C_1C$  in der Geraden  $KL$  und es ist  $G''H'' \times K''L'' = 1''$  ein Eckpunkt des Durchdringungspolygons. Die Kante  $GH$  durchdringt ferner die Seite  $AA_1B_1B$  im Punkte 10. Ganz in gleicher Weise sind auf den übrigen Kanten des Tetraëders, sowie auf denjenigen des Würfels die Durchstoßpunkte zu bestimmen. Natürlich werden nicht alle Kanten an der Durchdringung teilnehmen und um sich keine überflüssige Mühe zu machen, wird man am besten in der folgenden Weise vorgehen. Ist eine Ecke des Durchdringungspolygons, etwa  $1 = GH \times BB_1C_1C$  gefunden, so ist seine Seite  $1, 2 = GHF \times BB_1C_1C$ ; der Eckpunkt 2 muß also auf einer Kante der einen oder anderen Seitenfläche liegen. Wir können nun irgend eine Kante der einen Fläche mit der anderen zum Schnitt bringen; befindet sich dieser Schnittpunkt auf der Kante und der Fläche selbst, so ist er der Punkt 2, liegt er

dagegen auf der Verlängerung der Kante oder Fläche, so befindet er sich auf der Verlängerung von 1, 2. Gleichwohl ist hierdurch die Richtung der Seite 1, 2 und damit offenbar auch der Eck-

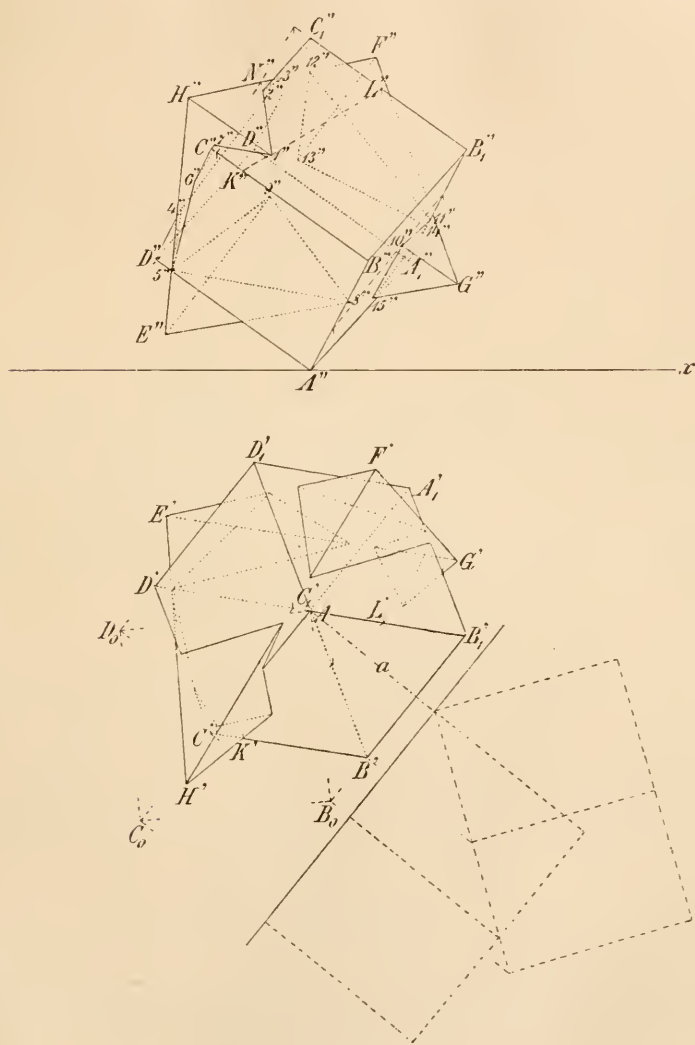


Fig. 114.

punkt 2 gefunden, der auf der Berandung der einen und im Innern der anderen Fläche gelegen sein muß. So würden wir, wenn wir in der Figur die Kante  $CC_1$  benutzt hätten, direkt den Punkt 2 gewonnen haben, während wir bei Benutzung der Kante  $HF$  zu-

nächst ihren Schnittpunkt  $N$  und damit 1,  $N$  und so auch 2 erhalten würden.

Die Reihenfolge der Ecken des Durchdringungspolygons ergibt sich sofort aus der Bemerkung, daß zwei aufeinanderfolgende Ecken bei beiden Vielflachen der nämlichen Seitenfläche, resp. deren Berandung, angehören müssen. So finden sich die Folgen der Ecken:

$1 = GH \times BB_1C_1C$	$10 = GH \times ABB_1A_1$	$5 = HE \times DA$
$2 = GHF \times C_1C$	$11 = GHF \times B_1A_1$	$8 = EG \times DAA_1D_1$
$3 = HF \times CC_1D_1D$	$12 = HF \times A_1B_1C_1D_1$	$9 = EF \times DAA_1D_1$
$4 = HFE \times CD$	$13 = FE \times A_1B_1C_1D_1$	$5 = HE \times DA$
$5 = HE \times DA$	$14 = FEG \times A_1B_1$	
$6 = HEG \times CD$	$15 = EG \times A_1B_1BA$	
$7 = HEG \times CC_1$	$10 = GH \times A_1B_1BA$	
$1 = HG \times BB_1C_1C$		

Im Punkte 5 treffen sich zufällig zwei Kanten und es laufen von ihm vier Durchdringungslinien aus. Was die Sichtbarkeit der einzelnen Linien anlangt, so genügt das, was in voriger Nummer im allgemeinen darüber gesagt worden ist. Es folgt daraus, daß die sichtbaren Teile der Durchdrungsfigur immer von den Umrissen der beiden Vielflache begrenzt werden. Von einer Ecke dieser Figur, die auf dem sichtbaren Teil des Umrisses liegt, geht stets eine sichtbare und eine unsichtbare Seite aus.

**147.** Die Durchdringung eines Prismas und einer Pyramide, die auf der Horizontalebene aufstehen (Fig. 115).

Hier läßt sich am leichtesten das Flächenverfahren durchführen, indem man außer  $\Pi_1$  noch eine horizontale Hilfsebene  $\Pi_3$  durch die Spitze der Pyramide verwendet. Jede Seitenfläche der Pyramide besitzt in  $\Pi_3$  eine zu ihrer ersten Spur parallele Hilfsspur durch  $S$ , während die paarweise parallelen Spuren der Seitenflächen des Prismas zwei kongruente Vierecke bilden. Mit Hilfe dieser Spurlinien findet man die ersten und die Hilfsspurpunkte der Seiten der Durchdrungsfigur. In der Figur ist die obere Endfläche des Prismas bereits so gewählt, daß sie durch  $S$  hindurchgeht; liegt dieser Fall nicht vor, so muß erst das zu  $EFGH$  kongruente Schnittpolygon gezeichnet werden. Die Seitenflächen  $SBC$  und  $EFKJ$  schneiden sich in der Geraden  $NN_1$ , wo  $N = BC \times EF$ ,  $N_1 = JK \times SN_1$  und  $SN_1 \parallel BC$  ist; diese Gerade nimmt nur insoweit an der Durchdrungsfigur teil, als sie zugleich im Innern der beiden Vierecke  $SBC$  und  $EFKJ$  liegt, d. h. in der Erstreckung von 1 nach 2. In 2 setzt sich dann die Seite 2, 3 an, die ebenfalls der Fläche  $EFKJ$

angehören muß und von der (der erstgenannten Pyramidenseite benachbarten) Seite  $CDS$  ausgeschnitten wird. In gleicher Weise läßt sich die ganze Durchdringung im Grundriß zeichnen. Den

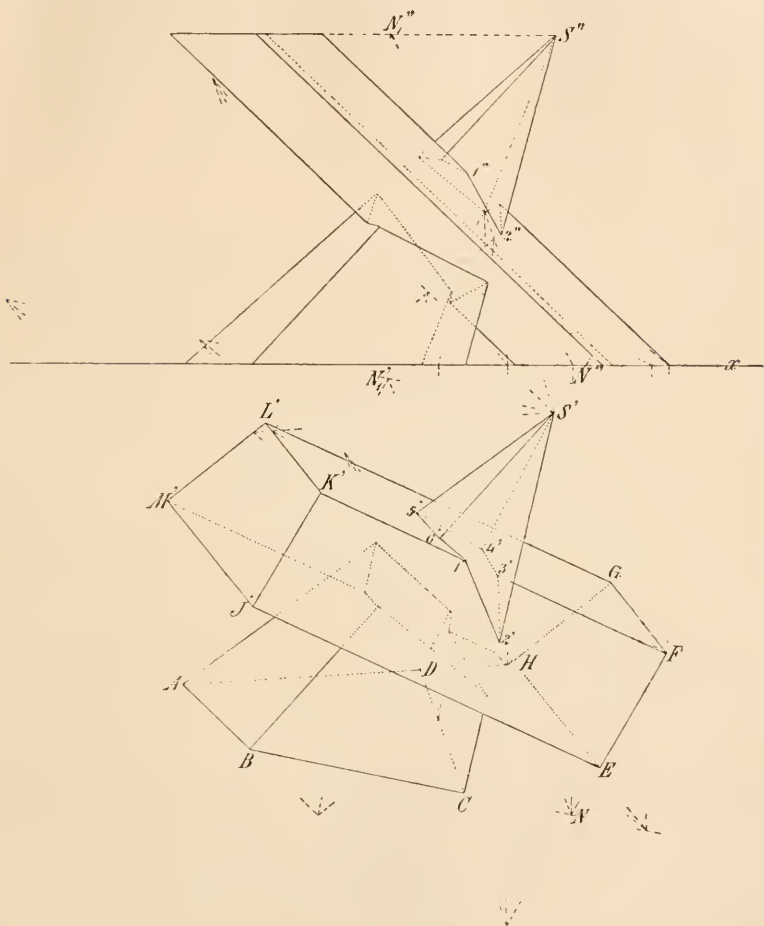


Fig. 115.

Aufriß erhält man entweder durch direktes Hinaufloten der Punkte  $1', 2', 3', \dots$  oder durch Hinaufloten der Spurpunkte  $N, N_1, \dots$

**148.** Das hier geschilderte Verfahren läßt sich mit geringer Abänderung auch bei der Durchdringung von Prisma mit Prisma, Prisma mit Pyramide und Pyramide mit Pyramide bei allgemeiner Lage anwenden. Im ersten Fall wähle man zwei parallele Hilfsebenen senkrecht zum Aufriß (oder Grundriß), die sonst beliebig sein können; sie schneiden die Prismen in kongruenten Vielecken,

deren parallele Seiten als Hilfsspuren der Prismenflächen betrachtet werden können. Zwei Hilfsspuren in der nämlichen Hilfsebene und die entsprechenden in der anderen liefern die beiden Hilfsspurpunkte einer Seite des Durchdringungspolygons, das im Grundriß unmittelbar gezeichnet werden kann. Tritt an Stelle eines gegebenen Prismas eine Pyramide, so schneiden die Hilfsebenen nicht kongruente, sondern ähnliche Vielfache aus. Gewöhnlich wird man in diesem Falle eine Hilfsebene durch die Spitze der Pyramide legen. Analog verfährt man bei zwei Pyramiden.

**149.** Die Durchdringung zweier Pyramiden in allgemeiner Lage (Fig. 116). Das Kantenverfahren läßt sich hier in besonderer Weise abändern, wie es sich später noch in anderen Fällen vorteilhaft erweisen wird. Verbindet man die Spitzen beider Pyramiden durch eine Gerade  $a$  und legt durch dieselbe eine beliebige Ebene, so schneidet sie jede der beiden Mantelflächen in zwei oder mehr erzeugenden Geraden, deren gegenseitige Schnittpunkte auf der Durchdrungsfigur gelegen sind. Wählt man die Ebene durch  $a$  speziell so, daß sie eine Pyramidenkante enthält, so ergeben sich auf dieser zwei oder mehr Ecken der Durchdrungsfigur. Sind nun  $A$  und  $B$  die Basisebenen der beiden Pyramiden, ist  $s$  ihre Schnittlinie und sind  $P$  und  $Q$  die Spurpunkte von  $a$  in den Ebenen  $A$  und  $B$ , so schneidet eine beliebige Ebene  $E$  durch  $a$  aus den Ebenen  $A$  und  $B$  Gerade aus, die durch  $P$  resp.  $Q$  verlaufen und sich auf  $s$  treffen; umgekehrt bestimmen zwei derartige Gerade eine Ebene durch  $a$ . Wir suchen demgemäß zunächst auf der Verbindungslinie  $a$  der Spitzen  $S$  und  $T$  die Punkte  $P = a \times A$  und  $Q = a \times B$  und zwar ist  $P'' = a'' \times K''L''$  und  $Q'' = a'' \times H''J''$ . Sodann bestimmen wir  $s$ , indem wir irgend zwei Strahlen in  $A$  mit der Ebene  $B$  des Vierecks  $ABCD$  zum Schnitt bringen; so liefert die Gerade  $PE$  in  $A$  den Punkt  $O$  von  $(M'' = P''E'' \times B''C'', N'' = P''E'' \times C''D'', M'$  auf  $B'C', N'$  auf  $C'D', O' = P'E' \times M'N')$ . Nach Auffindung von  $s$  verbinden wir  $P$  mit einem der Punkte  $E, F, G$ , etwa mit  $E$ , suchen den Punkt  $O = PE \times s$  auf und verbinden ihn mit  $Q$ ; diese Linie schneidet das Viereck  $ABCD$  in den Punkten  $U, V$ ; die Kante  $TE$  durchdringt demnach die andere Pyramide in den Punkten  $1 = TE \times SF$  und  $6 = TE \times SU$ . Ganz analog verfahren wir mit sämtlichen Kanten aus  $S$  sowohl wie aus  $T$  und erhalten so alle Ecken der Durchdrungsfigur; die Reihenfolge derselben ist nach dem früher Gesagten leicht anzugeben.

**150.** Das soeben geschilderte Verfahren läßt sich ganz in der gleichen Weise anwenden bei Durchdringung von Pyramide und



Prisma. Zunächst legt man eine Gerade  $a$  durch die Spitze der Pyramide parallel zu den Kanten des Prismas, sucht ihre Spurlinien  $P$  und  $Q$  in den Basisebenen  $A$  und  $B$  und die Gerade  $s = A \times B$  auf. Dann ist genau wie vorher zu verfahren, indem jede Ebene durch  $a$  beide Flächen in Erzeugenden, nämlich die Pyramide in Geraden durch den Scheitel und das Prisma in Parallelen zu den Kanten schneidet.

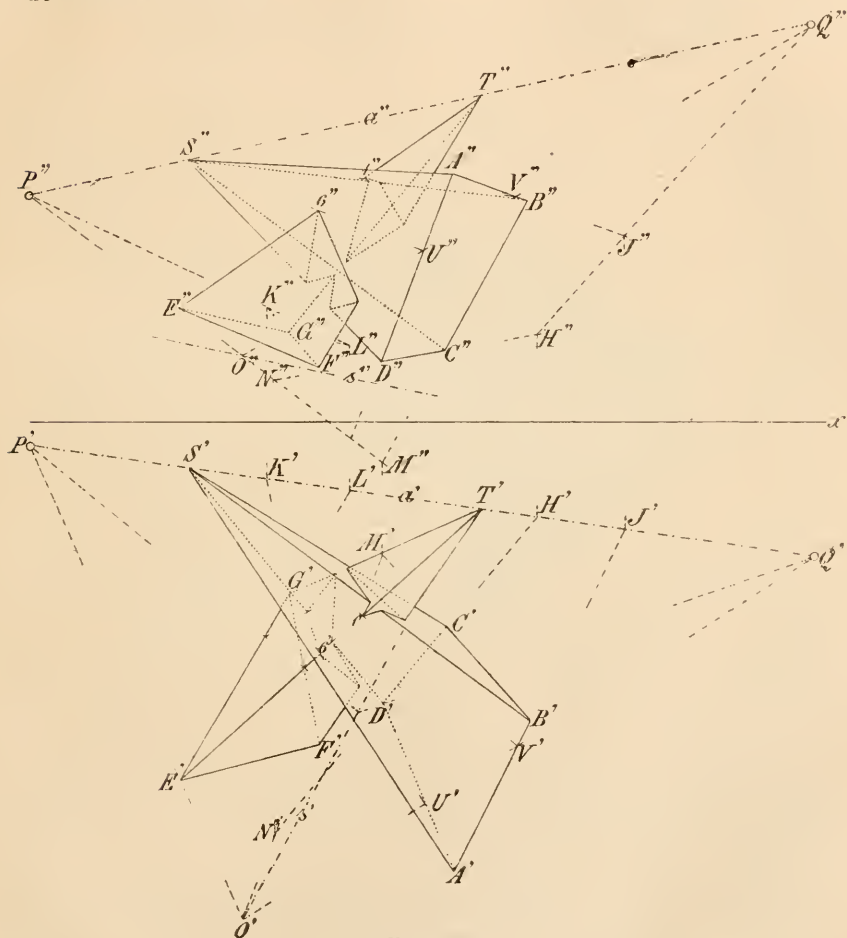


Fig. 116.

Handelt es sich um die Durchdringung zweier Prismen, so bestimme man die Schnittlinie  $s$  ihrer Basisebenen  $A$  und  $B$  und in diesen die Spurlinien einer zu den Kanten beider Prismen parallelen Ebene  $E$ , etwa  $u = A \times E$ ,  $v = B \times E$ . Jede zu  $E$  parallele Ebene

schneidet aus A und B Spuren aus, die zu  $u$  resp.  $v$  parallel sind und sich auf  $s$  treffen, sie schneidet die Prismen in Geraden, die den Kanten parallel laufen. Legt man die zu E parallele Ebene durch eine Kante, d. h. legt man ihre eine Spurlinie durch die bezügliche Ecke des Basispolygons, so gewinnt man Eckpunkte der Durchdringungsfigur, die sich hiernach leicht völlig zeichnen läßt.

### **Schlagschatten und Eigenschatten bei Vielflachen.**

**151.** Unter der Annahme paralleler Lichtstrahlen bildet der Schlagschatten eines Körpers auf irgend eine Ebene, z. B. auf die Grund- oder Aufrißebene, nichts anderes als eine schiefe Parallelprojektion. Ganz ebenso nun wie die Oberfläche eines Vielflachs in Bezug auf eine bestimmte Projektionsrichtung in einen sichtbaren und einen unsichtbaren Teil zerfällt, die längs des Umrisses aneinander grenzen, zerfällt die Oberfläche desselben in einen beleuchteten und einen im Eigenschatten liegenden Teil, die längs eines Polygons, des Lichtgrenzpolygons oder kurz der Lichtgrenze aneinanderstoßen. Alle Kanten, in denen der Lichtstrahl den Körper bloß streift, ohne in ihn einzudringen, gehören der Lichtgrenze an; alle Punkte, in denen der verlängerte Lichtstrahl in den Körper eindringt, liegen auf seinem beleuchteten Teile, die Punkte dagegen, in denen der verlängerte Lichtstrahl aus dem Körper austritt, befinden sich im Eigenschatten. Wird ein Lichtstrahl, bevor er auf den Körper trifft, durch dazwischen liegende Gegenstände aufgehalten, so liegt die betreffende Stelle des Körpers im Schlagschatten. Von den Durchstoßpunkten eines Lichtstrahles mit einem oder mehreren Körpern ist der erste im Lichte, der zweite, vierte, ... im Eigenschatten, der dritte, fünfte, ... im Schlagschatten. Die Schlagschattengrenze auf einer Projektionsebene wird gebildet von dem Schatten des Lichtgrenzpolygons. Der Schlagschatten auf einen Körper kann teilweise von dem Lichtgrenzpolygon begrenzt werden.

**152.** Den Schlagschatten eines Zwölfflachs auf die Projektionsebenen sowie seinen Eigenschatten zu bestimmen (Fig. 117). Wir nehmen an, daß seine Projektionen nach der früheren Darlegung gefunden und die des Lichtstrahles  $l'$  und  $l''$  gegeben sind. Die Schatten eines Eckpunktes auf die Grund- und Aufrißebene sind die Spurpunkte des durch ihn gelegten Lichtstrahles, so z. B. bilden  $E_*$  und  $E^*$  Grund- und Aufrißschatten von  $E$ . Läßt man alle Kanten Schatten werfen, so wird die Grenze

des Schlagschattens von denjenigen Linien gebildet, welche alle übrigen einschließen. Es ist indes nicht nötig, den Schatten aller Kanten zu bestimmen. Zunächst findet man mehrere Eckpunkte, die dem Lichtgrenzpolygon angehören, indem man auf dem scheinbaren Umriß der ersten Projektion diejenigen Punkte aufsucht, in denen eine Parallele zu  $l'$  diesen Umriß streift, ohne ihn zu schneiden. In der Figur sind dies die Punkte  $B'$  und  $G'$ ; ihre Schatten  $B_*$  und  $G_*$

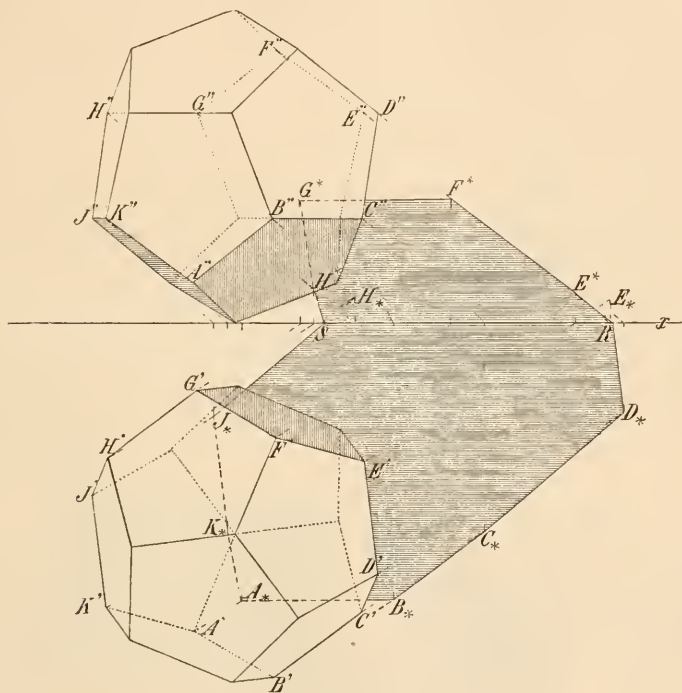


Fig. 117.

müssen notwendigerweise auf dem Randpolygon des Schlagschattens gelegen sein. Denn der Lichtstrahl aus  $B$  kann das Vielfach nicht schneiden, da ja sonst seine Projektionen die Projektionen des Vielfachs schneiden müßten, was im Grundriß nicht eintritt. Ebenso bestimmen sich mittels des Aufrisses die Punkte  $D_*$  und  $J_*$  als Eckpunkte des Schlagschattenpolygons. Von den Kanten aus  $B$  gehören zwei dem Lichtgrenzpolygon an, es sind diejenigen, deren Schlagschatten den Schatten der dritten in ihren Winkel einschließen. Hiernach können die beiden Seiten des Grenzpolygons aus  $B$  bestimmt werden, und ganz analog alle übrigen Seiten desselben. Auch wenn von einer Ecke des Vielfachs mehr als drei Kanten ausgehen, lassen

sich in der angegebenen Weise die Seiten des Grenzpolygons finden. Der Schlagschatten wird an der  $x$ -Achse gebrochen in den Punkten  $R$  und  $S$ , indem die Kanten  $DE$  und  $HJ$  die gebrochenen Schattenlinien  $D_*RE_*$  und  $H_*SJ_*$  liefern ( $D_*E_* \times x = R$ ,  $H_*J_* \times x = S$ ).

153. Den Schlagschatten einer dreiseitigen abgestumpften Pyramide auf ein Achteck zu entwickeln (Fig. 118). Sind Pyramide und Achteck gezeichnet, so bestimme

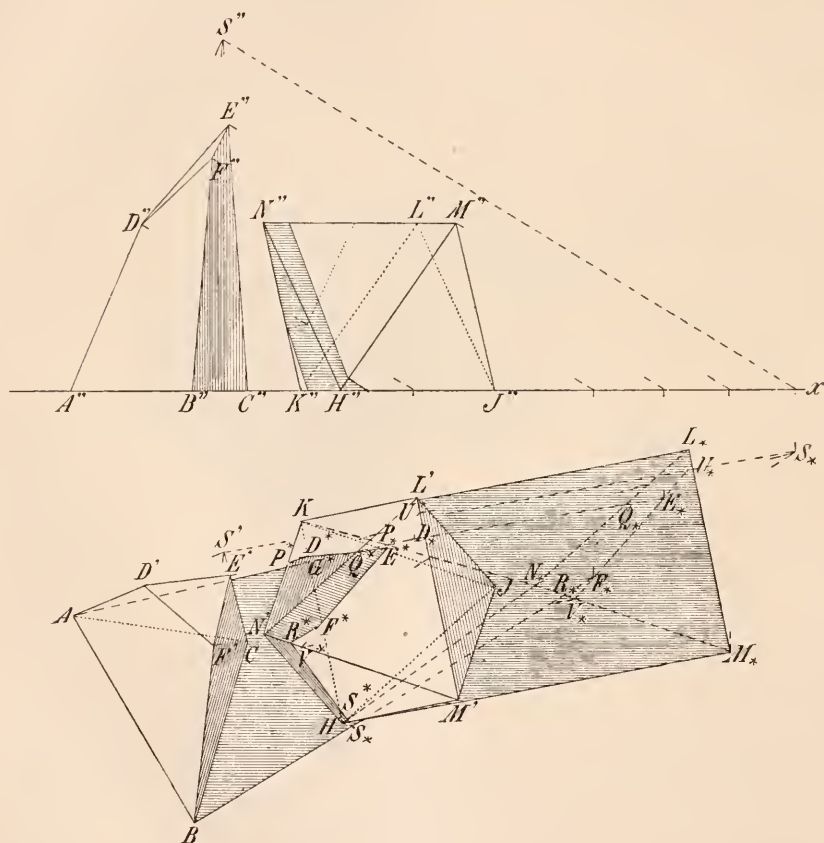


Fig. 118.

man zunächst den Schlagschatten beider auf die Horizontalebene, ganz abgesehen davon, ob er wirklich zu stande kommen kann oder nicht. Außerdem zeichne man noch den Schlagschatten derjenigen Flächen des Achtecks, die Schlagschatten von dem Pyramidenstumpf empfangen. In der Figur sind dieses die Flächen  $KHN$ ,  $KLN$ ,  $LMN$  und  $HMN$ , die in  $N$  zusammenstoßen. Da der Schatten

$BF_*$  von  $BF$  den Schatten  $HN_*M_*$  in  $S_*$  und  $R_*$  durchschneidet, so muß der Schatten von  $BF$  auf die Seitenfläche  $HNM$  fallen und wird dort  $S^*R^*$ , wo  $S^*S_*$  und  $R^*R_*$  parallel zu der ersten Projektion des Lichtstrahles sind. Ebenso findet man den Schatten von  $FE$  auf die Fläche  $LMN$ ; hier muß man  $F_*E_*$  verlängern, bis es zwei Seiten des Dreiecks  $L_*M_*N_*$  in  $U_*$  und  $V_*$  schneidet, dann ist  $U^*V^*$  der Schatten dieser Geraden auf die Fläche  $LMN$  und  $E^*F^*$  derjenige von  $EF$  auf diese Fläche ( $E^*E_* \parallel l' \parallel F^*F_*$ ). Die gleiche Konstruktion läßt sich überall durchführen. Es kommt die Konstruktion stets auf die Aufgabe hinaus, den Schatten einer Geraden  $a$  auf eine Gerade  $b$  zu finden, indem man zunächst die Schatten  $a_*$ ,  $b_*$  beider Geraden auf den Grundriß bestimmt und durch ihren Schnittpunkt  $S_*$  eine Parallele zu  $l$  legt, die die eine Gerade im Schatten werfenden, die andere im Schatten empfangenden Punkte schneidet. In der Zeichnung zieht man natürlich durch  $S_*$  eine Parallele zu  $l'$ , die die Horizontalprojektion der genannten Punkte aus  $a'$  und  $b'$  ausschneidet. Das Gesagte wird zur Konstruktion völlig genügen; es mag nur noch bemerkt werden, daß die Punkte  $P^*D^*Q^*E^*F^*R^*S^*$  Horizontalprojektionen sind, ihre Bezeichnungen also einen Strich erhalten müßten, was jedoch der Einfachheit halber unterblieben ist.

### Beispiele für angewandte Schattenkonstruktion.

Die Schattenbestimmung im Verfahren der orthogonalen Parallelprojektion mag noch durch ihre Anwendung auf einige einfache, durchweg ebenflächig begrenzte, architektonische Objekte erläutert werden. Wir stellen diese jedesmal im Grundriß, Aufriß und Seitenriß (resp. Profilschnitt) dar und geben den Tafeln  $\Pi_1$ ,  $\Pi_2$ ,  $\Pi_3$  die meist gebräuchliche Lage zum Gegenstande.

**154.** In Fig. 119 ist eine Freitreppe dargestellt, die zwischen steinernen Wangen mit fünf Stufen zu einem mit Brüstung versehenen Podest hinaufführt.

Die Richtung  $l$  der parallel einfallenden Lichtstrahlen ist im Grund- und Aufriß durch  $l'$  und  $l''$  gegeben ( $\angle l'x = 45^\circ$ ). Es handele sich um die Zeichnung der Schatten des Objektes auf dem Boden und auf seinen eigenen Flächen. Die Ausführung gestaltet sich sehr einfach, weil die einen sichtbaren Schlagschatten empfangenden Flächen entweder zu  $\Pi_1$  oder zu  $\Pi_2$  parallel sind. In der einen Hilfsfigur (links unten) ist eine zu den schrägen Oberkanten der Treppenwangen parallele Strecke  $w = AB$  so gezeichnet, daß  $B$  ihr



erster,  $A$  ihr zweiter Spurpunkt ist und folglich  $A'$  mit  $B''$  auf der  $x$ -Achse zusammenfällt. Hieraus findet man sofort  $A_*$  und  $B^*$  und damit den Grundrißschatten  $w_* = A_*B$ , sowie den Aufrißschatten  $w^* = AB^*$  der Linie  $w$ .

Von den Schatten auf horizontalen Flächen sind die der vertikalen Kanten parallel zu  $l'$ , die der schrägen parallel zu  $w_*$ , die der horizontalen parallel zu diesen selbst. Auf den sichtbaren

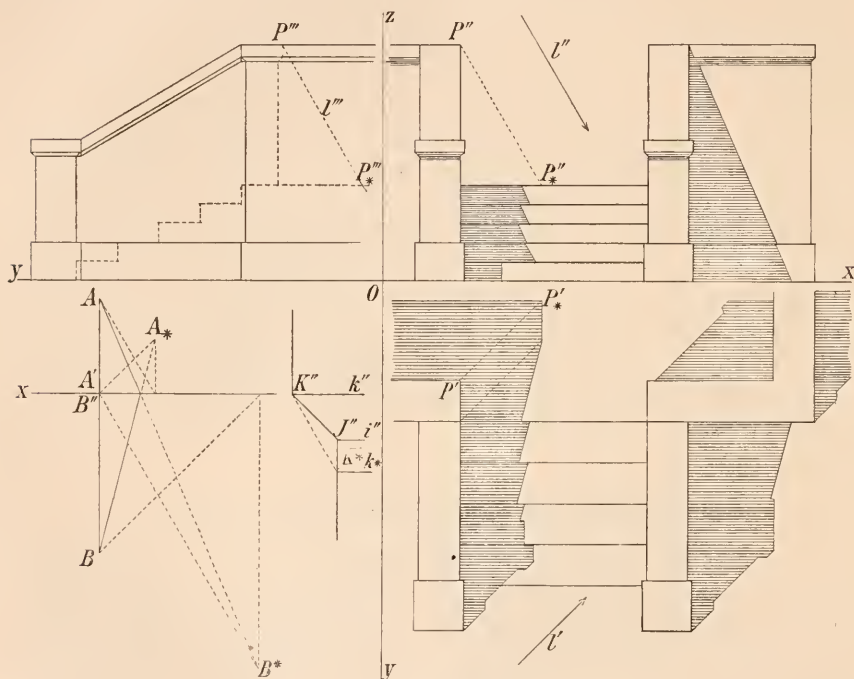


Fig. 119.

vertikalen Flächen sind die Schatten von solchen Kanten, die entweder normal zu  $\Pi_2$ , oder parallel zu  $w$ , oder parallel zu  $\Pi_2$  laufen, resp. mit  $l''$ , oder  $w^*$ , oder mit den Kanten selbst gleichgerichtet.

Man beginnt nun bei einem geeigneten Eckpunkte, z. B. dem Punkte  $P$ , und bestimmt in Grund- und Aufriß seinen Schlag-schatten auf die wagrechte Fläche des Podestes ( $P_*$ ,  $P''$ ). Hiervon ausgehend kann man unter abwechselnder Benutzung der Grund- und Aufrißelemente die Grenzen der Schlag-schatten leicht bestimmen. Zugleich ergeben sich mannigfache Kontrollen für die Richtigkeit der Zeichnung. So kann man z. B. auch von dem Bodenschatten einer der vordersten vertikalen Kanten ausgehen, u. s. f.

Die Deckplatten der vorgelagerten Ecksteine und der Brüstung sind unten abgeschrägt; die betreffenden Flächen sind sämtlich unter  $45^\circ$  gegen  $\Pi_1$  geneigt. Ein Teil des so entstehenden Simses ist in der zweiten Hilfsfigur vergrößert dargestellt (Aufriß). Der Eckpunkt  $K$  der horizontalen Kante  $k$  wirft (weil  $\angle l'x = 45^\circ$  ist) seinen Schatten  $K^*$  auf die von  $J$  abwärts gehende vertikale Kante ( $K''K^* \parallel l''$ ). Die schräge Fläche zwischen  $k$  und  $i$  liegt im Eigenschatten, die vertikale Fläche zwischen  $i$  und  $k^*$  im Schlagschatten.

155. In Fig. 120 ist ein Fenster gezeichnet. Die oben schwach geneigte Sohlbank ist mit wenig vortretenden Konsolen

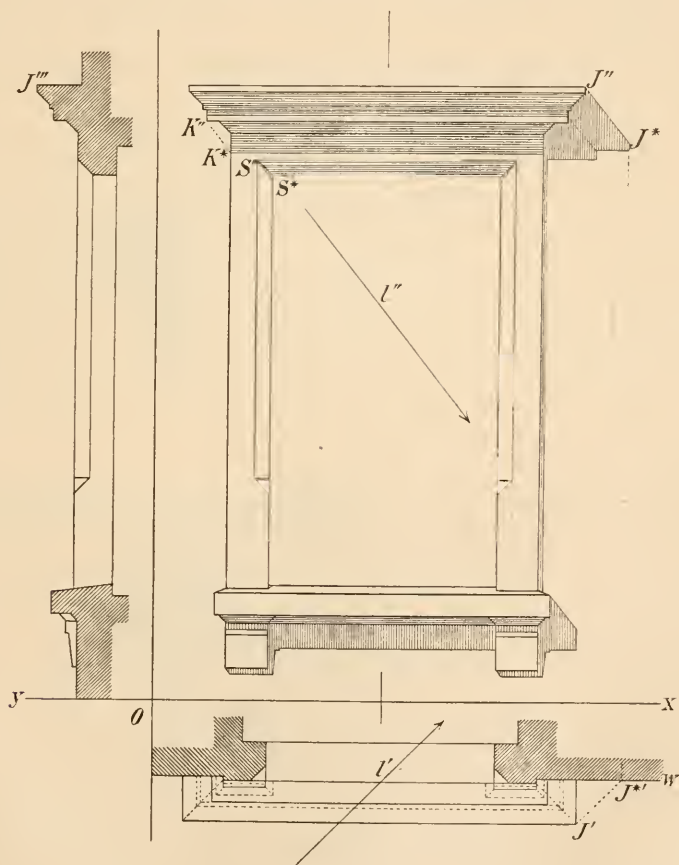


Fig. 120.

versehen. Die Leibungen zeigen ebenso wie der Fenstersturz nach innen abgeschrägte Flächen, die sogen. Schmiegen. Der

Sturz ist durch ein einfaches Gesims verdacht. Das Fenster-  
gewände tritt ein wenig aus der Wandfläche hervor.

Die Lichtrichtung  $l$  ist durch  $l'$  und  $l''$  gegeben ( $\angle l'x = 45^\circ$   
 $\angle l''x = 60^\circ$ ). Die schrägen Flächen des Gesimses liegen im Eigen-  
schatten, auf den vertikalen Flächen liegen horizontale Streifen im  
Schlagschatten. Man geht zu ihrer Bestimmung etwa von einem  
Punkte  $K$  aus und sucht wie im vorigen Beispiele  $K^*$  auf der  
vertikalen Kante der Leibung ( $K''K^* \parallel l''$ ). Um den Schlagschatten  
des Gesimses, der Sohlbank und der Konsole auf der Wandfläche  
zu finden, die im Grundriß durch die Linie  $w$  vertreten ist, be-  
stimmt man von einzelnen Eckpunkten die Schatten, z. B. von  $J$ ,  
indem man  $J''J^* \parallel l''$ ,  $J'J^* \parallel l'$  zieht ( $J^*$  auf  $w$ ,  $J^*J^* \perp x$ ) und be-  
achtet, daß die Schatten der vertikalen Kanten wiederum vertikal,

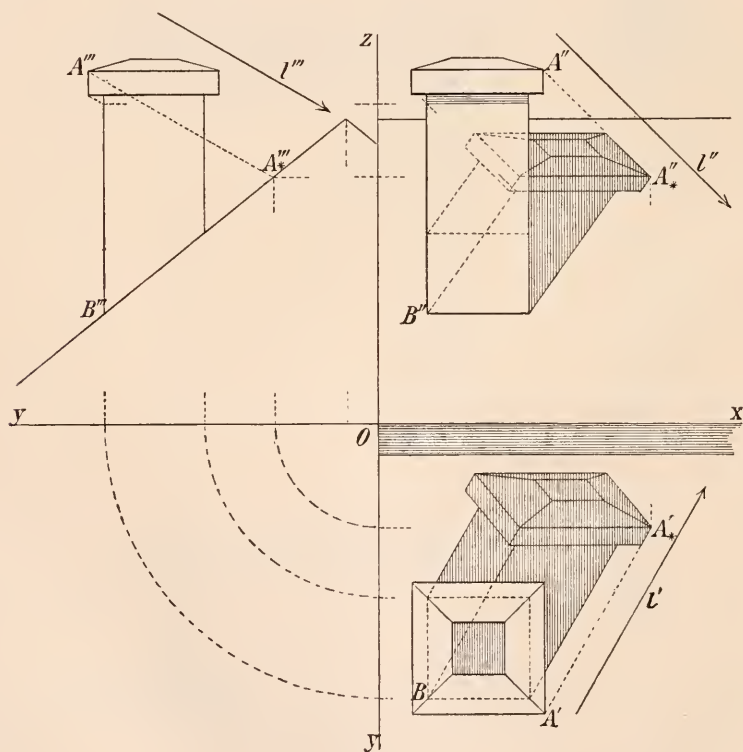


Fig. 121.

die der horizontalen Kanten aber entweder parallel zu  $x$  oder zu  $l''$   
sind. Die Schmiege am Sturz liegt im Eigenschatten, auf den beiden  
Schmiegenflächen der Leibungen entstehen oben zwei kleine drei-

eckige Schlagschatten. Nach diesen Andeutungen ist es leicht, die Schattenkonstruktion in allen Einzelheiten durchzuführen.

**156.** Als letztes Beispiel mag die Bestimmung des Schattens dienen, den ein Schornstein auf eine geneigte Dachfläche wirft (Fig. 121).

Die Richtung der Lichtstrahlen  $l$  ist hier so gewählt, daß  $\angle l'x = 60^\circ$ ,  $\angle l''x = 45^\circ$  und folglich  $\angle l'''x = 30^\circ$  ist. Man benutzt zweckmäßig den Seitenriß (was auch schon bei den vorhergehenden Beispielen geschehen konnte). Den Schatten  $A_*$  eines Eckpunktes  $A$  am Essenkopf findet man dann, indem man durch  $A'$ ,  $A''$ ,  $A'''$  Gerade resp. parallel zu  $l'$ ,  $l''$ ,  $l'''$  zieht, und zwar letztere bis zu  $A_*'''$  auf der Seitenspur der Dachfläche. Dann ist  $A_*'''A_*'' \parallel x$  und  $A_*''A_*' \perp x$ . Liegt der betrachtete Eckpunkt auf einer vertikalen Kante, deren Durchstoßpunkt mit der Dachfläche gezeichnet ist, so findet man durch dieses Verfahren zugleich die Richtung, welche die Schatten der Vertikalen auf die Dachfläche im Aufriß zeigen; im Grundriß sind sie parallel zu  $l'$ . Man beachte noch, daß die Schatten horizontaler Kanten im Aufriß teils zu  $x$ , teils zu  $l''$  parallel liegen; im Grundriß sind sie teils parallel zu  $x$ , teils haben sie eine schiefe Richtung, die sich aus dem Vorigen ergibt. — Die hintere Dachfläche liegt vollständig im Eigenschatten. Auch wirft die Deckplatte des Schornsteins auf seine Seitenflächen einen Streifen von Schlagschatten.

## VIERTES KAPITEL.

### Perspektivität ebener Figuren. Harmonische Gebilde.

#### Centralprojektion einer Ebene auf eine andere Ebene.

**157.** Es seien im Raume zwei Ebenen  $E$  und  $\Pi$  und außerhalb beider ein Punkt  $O$  willkürlich festgelegt. Zieht man aus  $O$  durch alle Punkte einer in  $E$  angenommenen Figur Strahlen, so schneiden diese die Ebene  $\Pi$  in einer zweiten Figur, welche der gegebenen eindeutig Punkt für Punkt entspricht. Dieses Abbildungsverfahren heißt Centralprojektion oder Perspektive, der Punkt

$O$  das Projektionscentrum oder Centrum der Perspektive, die Schnittlinie  $e_1$  der Originalenebene  $E$  mit der Bildebene  $\Pi$  die Projektionsachse oder Achse der Perspektive.<sup>5)</sup> Die einander entsprechenden Figuren werden kurz als perspektiv bezeichnet, man sagt, daß sie

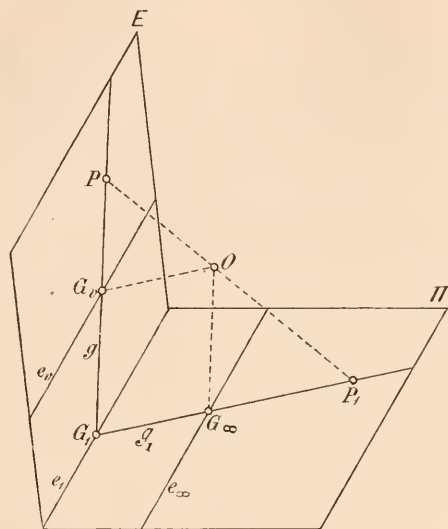


Fig. 122.

sich in perspektiver (centraler) Lage befinden. Offenbar entspricht jedem Punkt  $P$  (Fig. 122) der Originalenebene ein Punkt  $P_1$  der Bildebene, jeder Geraden  $g$  eine Gerade  $g_1$  und umgekehrt. Ferner entspricht jeder Punkt der Projektionsachse  $e_1$  sich selbst und je zwei entsprechende Gerade schneiden sich auf der Achse ( $g \times g_1$  auf  $e_1$ ), oder sind ihr im besonderen beide parallel.

**158.** Die Centralprojektion einer Ebene auf eine zweite umfaßt als spezielle Fälle die Affinität und Ähn-

lichkeit ebener Figuren. Die perspektive Lage geht über in die ähnliche, wenn die Bildebene zur Originalenebene parallel wird, was zur Folge hat, daß die Projektionsachse ins Unendliche rückt; sie geht über in die affine Lage, wenn die projizierenden Strahlen parallel werden, also das Projektionscentrum ins Unendliche fällt. Macht man beide Annahmen gleichzeitig, so ergeben sich kongruente Figuren; solche stellen sich auch bei affiner Lage ein, wenn die projizierenden Strahlen zu einer der beiden Ebenen normal sind, welche die Winkel zwischen Original- und Bildebene halbieren. Affine, ähnliche und kongruente Figuren sind somit als spezielle Fälle perspektiver Figuren anzusehen, wenn sie sich in affiner oder ähnlicher Lage befinden.

**159.** Die durch  $O$  parallel zu  $E$  und  $\Pi$  gelegten Ebenen mögen  $\Pi$  und  $E$  in den Geraden  $e_\infty$  und  $e_v$  (beide parallel zur Achse  $e_1$ ) schneiden (Fig. 122). Bewegt sich in  $E$  ein Punkt  $P$  auf der Geraden  $g$  nach der einen oder anderen Seite ins Unendliche, so dreht sich der projizierende Strahl  $OP$  in der Ebene  $Og$  um  $O$  im entsprechenden Sinne und nähert sich beide Male der nämlichen Grenz-



lage  $OG_\infty$ , die durch  $O$  parallel zu  $g$  gezogen ist. Der Spurpunkt  $G_\infty$  dieser Geraden in  $\Pi$  liegt auf  $e_\infty$ ; er kann als das Bild des auf  $g$  ins Unendliche fliehenden Punktes aufgefaßt werden und heißt darum der zu  $g$  gehörige Fluchtpunkt. Offenbar gehört er ebenso als Fluchtpunkt zu allen Geraden, die mit  $g$  parallel laufen; denn flieht ein Punkt auf einer solchen Parallelen ins Unendliche, so strebt der zugehörige projizierende Strahl stets der gleichen Grenzlage  $OG_\infty$  zu. Der Gesamtheit aller unendlich fernen Punkte der Ebene  $E$  entspricht in  $\Pi$  die eine bestimmte Gerade  $e_\infty$ , die Fluchtlinie der Ebene  $E$ . — Umgekehrt verschwindet das Bild des Schnittpunktes  $G_v$  der Geraden  $g$  mit  $e_v$ , d. h. es liegt auf  $g_1$  unendlich fern;  $G_v$  heißt darum der Verschwindungspunkt von  $g$ . Die Gerade  $e_v$  selbst, deren Bild ins Unendliche fällt, heißt die Verschwindungslinie der Ebene  $E$ . — Allen zu  $g$  parallelen Geraden der Ebene  $E$  entsprechen in  $\Pi$  alle Gerade durch den Punkt  $G_\infty$  der Fluchtlinie  $e_\infty$ , und allen Geraden der Ebene  $E$  durch den Punkt  $G_v$  der Verschwindungslinie  $e_v$  entsprechen in  $\Pi$  die Parallelen zu  $g_1$ .

**160.** Das angegebene Verhalten der unendlich fernen Punkte einer Geraden oder einer Ebene gegenüber der Centralprojektion, nämlich der Umstand, daß sie nur in einem einzigen Punkt oder einer einzigen Geraden abgebildet werden, begründet die Ausdrucksweise, nach welcher einer Geraden nur ein unendlich ferner Punkt (Richtung) zugeschrieben wird, den sie mit allen parallelen Geraden gemein hat, und einer Ebene nur eine unendlich ferne Gerade (Stellung), die ihr mit allen Parallelebenen gemeinsam ist. Erst auf Grund dieser Erklärung dürfen wir das umkehrbar eindeutige Entsprechen zwischen den Punkten und Geraden der Originalebene und den Punkten und Geraden der Bildebene als ein ausnahmslos geltendes Grundgesetz der Centralprojektion betrachten. — Im Verfolg dieser perspektiven Betrachtungsweise hat man eine Gerade als geschlossene Linie aufzufassen, weil ein Punkt, der sie beschreibt, sich demselben unendlich fernen Punkte nähert, gleichviel in welchem Sinne er sich bewegt.

**161.** Für die Centralprojektion von  $E$  auf  $\Pi$  kann, wenn die Lage dieser Ebenen zu einander fixiert ist, die Angabe des Projektionscentrums  $O$  offenbar durch die zweier entsprechender Punktepaare  $A, B$  und  $A_1, B_1$  ersetzt werden, deren Verbindungslinien  $AB$  und  $A_1B_1$  sich auf der Achse  $e_1 = E \times \Pi$

schneiden. Es liegen dann  $AA_1$  und  $BB_1$  in einer Ebene und bestimmen  $O$  als ihren Schnittpunkt.

**162.** Gehen die Ebenen dreier Figuren  $\mathfrak{F}$ ,  $\mathfrak{F}_1$ ,  $\mathfrak{F}_2$  durch eine und dieselbe Achse  $e_1$  und sind zwei derselben  $\mathfrak{F}$  und  $\mathfrak{F}_1$  zur dritten  $\mathfrak{F}_2$  perspektiv, so sind sie es auch untereinander. Die drei Centren liegen in gerader Linie. — Die Perspektivitätscentren,  $O_2$  für  $\mathfrak{F}_2$  und  $\mathfrak{F}$  sowie  $O_1$  für  $\mathfrak{F}_2$  und  $\mathfrak{F}_1$ ,

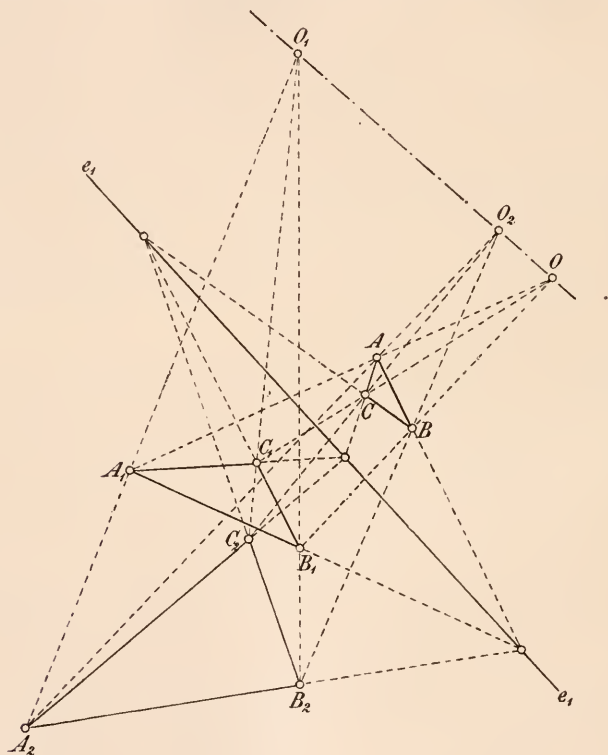


Fig. 123.

denke man sich mittels eines Punktpaares  $A_2$ ,  $B_2$  und der ihm entsprechenden Paare  $A$ ,  $B$  und  $A_1$ ,  $B_1$  bestimmt (Fig. 123). Dann ist zu zeigen: erstens daß die Geraden  $AA_1$  und  $BB_1$  einen Schnittpunkt  $O$  bestimmen, zweitens daß auch die Gerade  $CC_1$  durch  $O$  geht, wenn dem beliebigen Punkte  $C_2$  von  $\mathfrak{F}_2$  die Punkte  $C_1$  von  $\mathfrak{F}_1$  und  $C$  von  $\mathfrak{F}$  entsprechen. Nun gehen durch den Schnittpunkt von  $A_2B_2$  und  $e_1$  auch die Geraden  $AB$  und  $A_1B_1$  und somit liegen auch  $AA_1$  und  $BB_1$  in einer Ebene und schneiden sich in einem Punkte  $O$ . Ganz ebenso gehen  $AC$  und  $A_1C_1$  durch den Schnitt-

punkt von  $A_2C_2$  und  $e_1$ , es müssen sich also auch  $AA_1$  und  $CC_1$  schneiden, und in gleicher Weise schließt man, daß  $BB_1$  und  $CC_1$  einen Schnittpunkt haben. Da die drei Geraden  $AA_1$ ,  $BB_1$ ,  $CC_1$  sich paarweise schneiden, so müssen sie entweder in der nämlichen Ebene liegen, oder sich in einem Punkte schneiden. Das erstere ist ausgeschlossen, sonst müßten die Dreiecke  $ABC$  und  $A_1B_1C_1$ , also auch  $\mathfrak{F}$  und  $\mathfrak{F}_1$  in einer Ebene liegen, folglich geht  $CC_1$  durch  $O = AA_1 \times BB_1$ . Das Centrum  $O$  liegt auf  $AA_1$ , ebenso  $O_1$  auf  $A_1A_2$  und  $O_2$  auf  $A_2A$ , folglich liegen alle drei Centren auf der Ebene  $AA_1A_2$ , desgleichen auf der zweiten Ebene  $BB_1B_2$ , also in der Schnittlinie beider, durch welche auch die dritte Ebene  $CC_1C_2$  gehen muß.

**163.** Als einen wichtigen Spezialfall des soeben bewiesenen Satzes heben wir folgenden hervor: Zwei perspektiv gelegene ebene Figuren bleiben in perspektiver Lage, wenn man die eine derselben um die Achse der Perspektive beliebig dreht. Die zu drehende

Figur liegt nämlich zu der gedrehten affin (vergl. 10), d. h. perspektiv mit unendlich fernem Centrum. Durch letzteres geht auch die Verbindungslinie des alten und neuen Perspektivitätscentrums,

diese ist also parallel zur Sehne des Kreisbogens, den

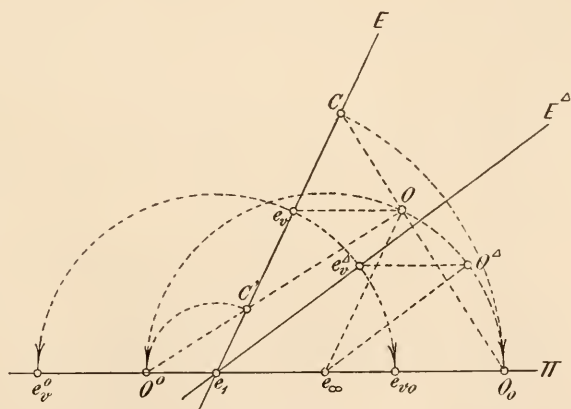


Fig. 124.

irgend ein Punkt der beweglichen Figur beschrieben hat. Wir wollen die Sache noch etwas genauer verfolgen und etwa die Original-ebene  $E$  einer Drehung unterwerfen. Um die Lageveränderung des Perspektivitätscentrums besser zu überblicken, legen wir die Zeichenebene normal zur Achse  $e_1$  durch das Centrum  $O$ . Die beiden perspektiven Ebenen  $E$  und  $\Pi$ , die Achse  $e_1$ , Verschwindungslinie  $e_v$ , Fluchtlinie  $e_\infty$  u. s. f. stellen wir dann durch ihre senkrechten Projektionen auf die Zeichenebene dar und setzen an diese die gleichen Buchstaben, welche die Elemente selbst bezeichnen (Fig. 124).

Die Originalebene  $E$  werde in ihrer neuen, durch Drehung um

$e_1$  erhaltenen Lage mit  $E^\Delta$ , ihre Verschwindungslinie mit  $e_v^\Delta$  bezeichnet. Das neue Centrum  $O^\Delta$  liegt dann in der Schnittlinie der beiden Ebenen, welche durch  $e_\infty$  und  $e_v^\Delta$  respektive zu  $E^\Delta$  und  $\Pi$  parallel gelegt werden können, und überdies wiederum in der Zeichenebene. Hieraus folgt, daß das Centrum eine Drehung um die Fluchtlinie  $e_\infty$  erleidet von gleichem Sinne und gleichem Drehwinkel wie  $E$  selbst um die Achse  $e_1$ .

**164.** Wird die Originalebene durch die Drehung mit der Bildebene zur Deckung gebracht, so gelangt auch das Perspektivitätscentrum  $O$  in die letztere und zwar, je nach dem Sinne der Drehung, entweder nach  $O_0$  oder nach  $O^0$  (Fig. 124). Dabei erhält die Verschwindungslinie  $e_v$  entweder die Lage  $e_{v0}$  oder  $e_v^0$ . Im ersteren Falle schließen in der Bildebene Centrum und Achse der Perspektive die Flucht- und Verschwindungslinie zwischen sich ein; im letzteren werden sie von diesen eingeschlossen. Jedesmal aber bleibt der senkrechte Abstand des Centrums von der Fluchtlinie dem der Verschwindungslinie von der Achse gleich. Derjenige Punkt  $C$  in der Originalebene  $E$ , welcher nachmals mit dem Centrum  $O_0$  zur Deckung kommt, liegt auf dem Strahle  $OO_0$ ; im neuen Centrum fallen daher zwei entsprechende Punkte der Ebenen  $E$  und  $\Pi$  zusammen, was — von den Punkten der Achse abgesehen — für kein weiteres Paar entsprechender Punkte eintritt. Analoges gilt bei umgekehrtem Drehsinn für  $C'$  und  $O^0$ .

**165.** Hier ist noch der Ort darauf hinzuweisen, daß bei einer Pyramide jedes ebene Schnittpolygon zum Basispolygon perspektiv liegt; die Spitze der Pyramide ist das Centrum, ihre Kanten sind die projizierenden Strahlen und die Schnittlinie von Basis- und Schnittebene ist die Achse dieser perspektiven Beziehung. Aus dem vorher Gesagten geht auch hervor, daß die Projektion des Schnittpolygons auf die Basisebene mit dem Basispolygon perspektiv liegt, und zwar bildet die Projektion der Spitze das zugehörige Centrum. Auch bei der Umlegung des Schnittpolygons um die Spur seiner Ebene in die Basisebene bleibt die perspektive Beziehung zwischen diesem und dem Basispolygon bestehen. Ihr Centrum erhält man, wenn man durch die Spitze der Pyramide zur Schnittebene eine Parallelebene zieht und diese um ihre Spur in die Basisebene umlegt, dabei gelangt die Spitze in die Lage des neuen Centrums. Alle diese Dinge sind nach dem Vorausgehenden unmittelbar klar.

## Perspektive in der Ebene.

**166.** Nach 164 sind wir mittelbar zu dem Begriffe perspektiver Figuren derselben Ebene, also zur Perspektive (Centralprojektion) in der Ebene gelangt, die noch genauerer Erörterung bedarf.

Es sollen jetzt in einer Ebene zweierlei Figuren betrachtet werden, die wir als Original und Bild unterscheiden, und die einander Punkt für Punkt nach folgenden Gesetzen entsprechen:

- $\alpha$ ) Die Verbindungslinien entsprechender Punkte gehen durch einen festen Punkt  $O$ , das Centrum.
- $\beta$ ) Drei Punkten in gerader Linie entsprechen drei Punkte in gerader Linie.
- $\gamma$ ) Jeder Punkt einer festen Geraden  $e_1$ , der Achse, entspricht sich selbst.

Hieraus folgt sofort:

- $\delta$ ) Entsprechende Strahlen schneiden sich auf der Achse  $e_1$ ; jeder Strahl durch das Centrum  $O$  entspricht sich selbst und mithin gilt das Gleiche vom Centrum selbst.

Eine solche Verwandtschaft zwischen zweierlei Figuren wird als Centralkollineation oder Perspektive in der Ebene bezeichnet. Indem wir zeigen, daß zwei centrisc-kollineare oder perspektive Figuren einer Ebene durch Drehung der einen um die Achse der Perspektive in eine räumliche Lage übergeführt werden können, bei welcher die eine als Centralprojektion der andern erscheint, wird erwiesen, daß die vorstehenden Gesetze zwischen zwei Figuren einer Ebene die nämliche geometrische Beziehung feststellen, wie sie in 164 zwischen Original- und Bildebene bestehen, die zur Deckung gebracht sind.

**167.** Nun seien  $\mathfrak{F}$  und  $\mathfrak{F}_1$  perspektive Figuren einer Ebene und  $O$  das zugehörige Centrum. Ferner möge  $\mathfrak{F}_0$  aus  $\mathfrak{F}$  durch Drehung um die Achse  $e_1$  der Perspektive hervorgegangen sein.  $A_1, B_1, C_1, D_1$  seien beliebige Punkte der Figur  $\mathfrak{F}_1$ ,  $A, B, C, D$  die entsprechenden Punkte von  $\mathfrak{F}$ , und  $A_0, B_0, C_0, D_0$  die bezüglichen Punkte der gedrehten Figur  $\mathfrak{F}_0$ . Da sich  $A_1B_1$  und  $AB$  auf  $e_1$  schneiden und mithin auch  $A_1B_1$  und  $A_0B_0$ , so liegen diese Punkte in einer Ebene; in gleicher Weise liegen  $B_1C_1$  und  $B_0C_0$  in einer zweiten und  $C_1A_1$  und  $C_0A_0$  in einer dritten Ebene. Diese drei Ebenen schneiden sich in einem Punkte  $O_0$ , in dem sich auch die drei Strahlen  $A_1A_0, B_1B_0$  und  $C_1C_0$  treffen. Ist jetzt  $D_1$  ein beliebiger Punkt von  $\mathfrak{F}_1$ , so ziehen wir  $D_1A_1$  und  $D_1B_1$ ; sodann ver-



binden wir  $D_1A_1 \times e_1$  mit  $A$  und  $D_1B_1 \times e_1$  mit  $B$ ; beide Gerade schneiden sich im Punkte  $D$  von  $\mathfrak{F}$ ; woraus man durch Drehung  $D_0$  erhält. Wiederum liegen die vier Punkte  $A_1B_1A_0B_0$ , resp.  $B_1D_1B_0D_0$ , resp.  $A_1D_1A_0D_0$  je in einer Ebene und die drei Strahlen  $A_1A_0$ ,  $B_1B_0$  und  $D_1D_0$  laufen durch einen Punkt. Da aber  $A_1A_0 \times B_1B_0 = O_0$  ist, geht auch  $D_1D_0$  durch diesen Punkt hindurch, d. h. der beliebige Punkt  $D_1$  von  $\mathfrak{F}_1$  liegt mit dem entsprechenden Punkte  $D_0$  von  $\mathfrak{F}_0$  auf einem Strahle durch  $O_0$ . Beide Figuren  $\mathfrak{F}_1$  und  $\mathfrak{F}_0$  sind somit perspektiv aus dem Punkte  $O_0$ .

168. Wir hatten in 164 gesehen, wie man aus zwei perspektiv gelegenen Figuren, die sich in verschiedenen Ebenen befinden, durch Drehung zwei centrisch-kollineare oder perspektive Figuren einer Ebene erhalten kann. Dieser Übergang gestattet auch die Eigenschaften centrisch-kollinearer oder perspektiver Figuren einer Ebene abzuleiten. Es müssen sich diese Eigenschaften jedoch auch aus der Definition der Centralkollineation ergeben, und dieser Gedanke

soll noch mit wenigen Worten etwas näher ausgeführt werden (Fig. 125).

Zunächst ist klar, daß das Centrum  $O$ , die Achse  $e_1$  und ein Paar entsprechender Punkte  $A$  und  $A_1$ , die auf einem Strahle durch  $O$  liegen, die perspektive Beziehung in der Ebene völlig bestimmen. Zu einem beliebigen Punkte  $B$  erhält man ja das zugehörige Bild  $B_1$ , indem man  $AB = g$  mit  $e_1$  in  $G_1$  schneidet und die Gerade  $G_1A_1 = g_1$  zieht, auf welcher der Strahl  $OB$  dann den Bildpunkt  $B_1$  ausschneidet. Zieht man durch  $O$  einen Strahl parallel zu  $g$ , so schneidet er die Bildgerade  $g_1$  im Fluchtpunkt  $G_\infty$ , dem Bilde des unendlich fernen Punktes von  $g$ . Zieht man durch  $O$  einen Strahl parallel zu  $g_1$ , so schneidet er auf  $g$  den Verschwindungspunkt  $G_v$  aus, dem ein unendlich fernes Bild zugehört. Mit anderen Worten: Das Bild einer Geraden  $g$  geht durch ihren Achsenschnittpunkt  $G_1$  und ist zur Verbindungslinie  $G_vO$  ihres Ver-

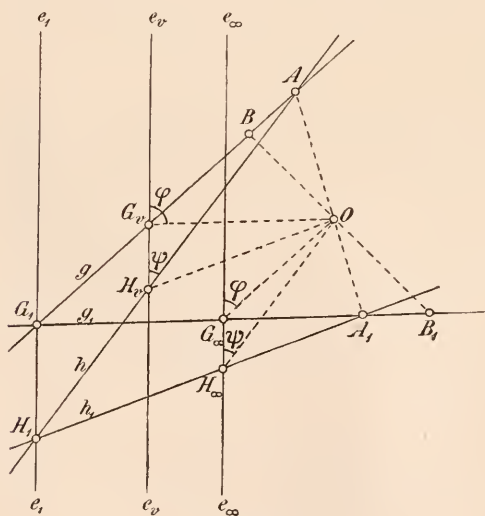


Fig. 125.

punkt  $B_1$  ausschneidet. Zieht man durch  $O$  einen Strahl parallel zu  $g$ , so schneidet er die Bildgerade  $g_1$  im Fluchtpunkt  $G_\infty$ , dem Bilde des unendlich fernen Punktes von  $g$ . Zieht man durch  $O$  einen Strahl parallel zu  $g_1$ , so schneidet er auf  $g$  den Verschwindungspunkt  $G_v$  aus, dem ein unendlich fernes Bild zugehört. Mit anderen Worten: Das Bild einer Geraden  $g$  geht durch ihren Achsenschnittpunkt  $G_1$  und ist zur Verbindungslinie  $G_vO$  ihres Ver-

schwindungspunktes mit dem Centrum parallel. Ebenso geht das Original zu einer Geraden  $g_1$  durch ihren Achsenschnittpunkt  $G_1$  und ist zur Verbindungslinie  $G_\infty O$  ihres Fluchtpunktes mit dem Centrum parallel.

**169.** Ferner ergibt sich, daß die Fluchtpunkte auf allen Bildgeraden durch eine Gerade  $e_\infty$  ausgeschnitten werden, die zur Achse  $e_1$  parallel ist. Ebenso schneidet eine zur Achse parallele Gerade  $e_v$  auf allen Originalgeraden die Verschwindungspunkte aus. Die Gerade  $e_\infty$  heißt wieder Fluchtlinie und ist das Bild der unendlich fernen Geraden des Originalsystems, während der unendlich fernen Geraden im Bildsystem die Gerade  $e_v$  als Verschwindungslinie entspricht. Zum Beweise wähle man noch ein Paar entsprechender Geraden  $h$  und  $h_1$  (Fig. 125), die sich in einem Punkte  $H_1$  der Achse  $e_1$  schneiden, und suche wie vorher den Verschwindungspunkt  $H_v$  und den Fluchtpunkt  $H_\infty$  ( $OH_\infty \parallel h$ ,  $OH_v \parallel h_1$ ). Dann sind die Dreiecke  $AG_1A_1$  und  $AG_vO$  ähnlich; also:  $G_1A : G_vA = A_1A : OA$ ; ebenso kommt:  $H_1A : H_vA = A_1A : OA$ ; demnach müssen  $G_1H_1 = e_1$  und  $G_vH_v = e_v$  parallel sein, da sie auf  $g$  und  $h$  proportionale Stücke abschneiden. In gleicher Weise erschließt man den Parallelismus von  $e_\infty$  und  $e_1$ .

Die Verschwindungslinie  $e_v$  und die Fluchtlinie  $e_\infty$  werden auch als die Gegenachsen von Original und Bild bezeichnet; ebenso spricht man von den Gegenpunkten  $G_v$  und  $G_\infty$  einer Geraden und ihres Bildes.

**170.** Es mag noch erwähnt werden, daß die Perspektive in der Ebene auch durch Angabe des Centrums, der Achse und einer Gegenachse bestimmt ist. Denn indem man an Stelle zweier entsprechender Punkte eine Gegenachse einführt, wird ihrem Schnittpunkt mit irgend einer Geraden der Punkt zugeordnet, welcher auf der Verbindungslinie des ersteren mit dem Centrum unendlich fern liegt.

**171.** Wichtig für das Folgende sind die beiden unmittelbar aus der Fig. 125 zu entnehmenden Beziehungen: Das Bild einer Geraden schneidet die Fluchtlinie unter dem gleichen Winkel  $\varphi$ , wie der Strahl aus dem Centrum nach dem Verschwindungspunkt die Verschwindungslinie, und andererseits: Eine Gerade schneidet die Verschwindungslinie unter dem gleichen Winkel  $\psi$ , wie der Strahl aus dem Centrum nach dem Fluchtpunkt die Fluchtlinie.

### Perspektive Grundgebilde.

Wir erklären zunächst einige öfter wiederkehrende Benennungen.

**172.** Faßt man eine Gerade als ein aus Punkten bestehendes Gebilde auf, so legt man ihm dem Namen Punktreihe bei und nennt die Gerade den Träger der Punktreihe. Von Geraden, die in einer Ebene liegen und durch einen Punkt derselben gehen, sagt man, daß sie einen Strahlbüschel bilden; der gemeinsame Punkt heißt der Scheitel und die Ebene der Träger desselben. Ähnlich sagt man von Ebenen, die eine gemeinsame Gerade enthalten, daß sie einen Ebenenbüschel bilden und nennt diese Gerade seine Achse. — Die Punktreihe, der Strahlbüschel und der Ebenenbüschel sind die einfachsten Grundgebilde, die man aus Punkten, Geraden oder Ebenen als Elementen zusammensetzen kann. In ihnen ist das einzelne Element jedesmal durch eine einzige Bedingung bestimmbar (vergl. 210), weshalb sie auch als einförmige Grundgebilde bezeichnet werden.

**173.** Eine Punktreihe wird aus einem außerhalb gelegenen Punkte durch einen Strahlbüschel projiziert, ebenso ein Strahlbüschel durch einen Ebenenbüschel. Umgekehrt wird jeder Ebenenbüschel von einer nicht in ihm enthaltenen Ebene in einem Strahlbüschel und von einer Geraden in einer Punktreihe geschnitten. Zwei Punktreihen bezeichnen wir als perspektiv, wenn sie Schnitte des nämlichen Strahlbüschels sind. Ebenso heißen zwei Strahlbüschel perspektiv, wenn sie Schnitte desselben Ebenenbüschels sind, oder wenn sie eine und dieselbe Punktreihe aus zwei verschiedenen Centren projizieren. Endlich werden zwei Ebenenbüschel perspektiv genannt, wenn sie einen und denselben Strahlbüschel aus verschiedenen Centren projizieren. Auch von einer Punktreihe und einem Strahlbüschel, oder von einer Punktreihe und einem Ebenenbüschel, oder einem Strahl- und einem Ebenenbüschel sagt man, daß sie perspektiv seien, wenn die Elemente des einen Gebildes auf den entsprechenden Elementen des andern liegen.

Es gilt jetzt eine Reihe von Sätzen abzuleiten, die sich auf die erwähnten einfachen Grundgebilde beziehen und für die Projektionslehre von grundlegender Bedeutung sind. Wir dürfen uns dabei größtenteils auf die Betrachtung von Punktreihen beschränken, da die Übertragung der betreffenden Sätze auf Strahl- und Ebenenbüschel keiner Schwierigkeit unterliegt.

**174.** Wir gehen aus von zwei durch Centralprojektion Punkt

für Punkt aufeinander bezogenen Geraden  $g$  und  $g_1$  (Fig. 126). Auf ihnen ist der Schnittpunkt beider  $G_1$  als der sich selbst entsprechende Punkt ausgezeichnet, ferner auf  $g_1$  der Fluchtpunkt  $G_\infty$ , das Bild des unendlich fernen Punktes von  $g$ , sowie auf  $g$  der Verschwindungspunkt  $G_v$ , welcher dem unendlich fernen Punkt von  $g_1$  entspricht. Dreht man eine der beiden Geraden, etwa  $g_1$ , beliebig um den Punkt  $G_1$ , so bleiben die Punktreihen nach dem Früheren perspektiv.

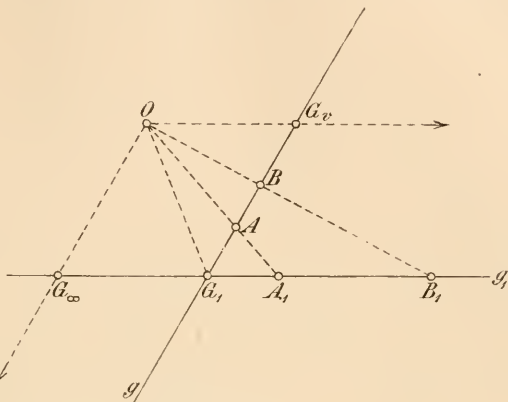


Fig. 126.

Das Centrum  $O$  darf daher beliebig auf einer um  $G_v$  mit dem Radius  $= G_1 G_\infty$  beschriebenen Kugel angenommen werden, worauf sich die Lage von  $g_1$  ergibt.

Sollen zwei Punktreihen  $g$  und  $g_1$  sich in perspektive Lage bringen lassen, so fragt es sich, zu wieviel Punkten der einen die entsprechenden Punkte der anderen willkürlich gewählt werden können. Hierüber geben die nächsten Sätze weiteren Aufschluss.

**175.** Eine Gerade  $g_1$  kann zu einer anderen  $g$  stets in solche Lage gebracht werden, daß drei gegebene Punkte  $A, B, C$  der letzteren mit drei beliebig gegebenen Punkten  $A_1, B_1, C_1$  der ersteren perspektiv sind. Vereinigt man z. B. zwei entsprechende Punkte  $C$  und  $C_1$  durch geeignete Verschiebung der Geraden in einem Punkte  $G_1$ , so bestimmen die Verbindungslinien  $AA_1$  und  $BB_1$  der übrigen das Projektionscentrum  $O$  als ihren Schnittpunkt. Dies Beispiel giebt indes nicht die allgemeinste Art der Herstellung der im Satz geforderten Lage. Vielmehr kann man noch die Lage des Centrums  $O$  gegen eine der Geraden, etwa  $g$ , willkürlich fixieren. Dann kann man der Geraden  $g_1$  stets eine solche Lage geben, daß ihre Punkte  $A_1, B_1, C_1$  sich auf den entsprechenden Strahlen  $OA, OB, OC$  befinden. Es gilt nämlich der Satz: Eine Punktreihe und ein Strahlbüschel lassen sich stets in solche Lage bringen, daß drei gegebene Strahlen  $a, b, c$  des Büschels durch drei beliebig gegebene Punkte  $A, B, C$  der Reihe gehen. Um diese Lage herzustellen, lege man

zunächst die Reihe  $A, B, C$  derart auf den Strahl  $a$ , daß  $C$  mit dem Scheitel des Büschels zusammenfällt, bestimme dann  $B_1$  auf  $b$ , indem man  $BB_1 \parallel c$  macht, und ziehe die Gerade  $AB_1$ , welche  $c$  in  $C_1$  schneidet

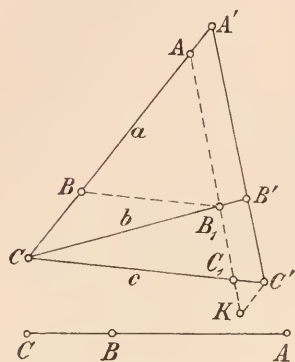


Fig. 127.

(Fig. 127). Nun ist  $C_1A : B_1A = CA : BA$ ; legt man also zu  $AB_1C_1$  eine Parallele, welche die Strahlen  $a, b, c$  in  $A', B', C'$  respektive schneidet, so hat man:  $CA : BA = C'A' : B'A'$ . Sorgt man noch dafür, daß  $C'A' = CA$  wird, indem man  $AK = AC$  macht und  $KC' \parallel a$  zieht, so wird auch  $B'A' = BA$ ; die Reihe läßt sich somit so verschieben, daß ihre Punkte  $A, B, C$  mit den Punkten  $A', B', C'$  zur Deckung kommen.

**176.** Wie wir sahen, brauchen drei Punkte einer Geraden keinerlei Bedingung zu erfüllen, damit man sie mit drei gegebenen Punkten einer anderen Geraden

in perspektive Lage bringen kann. Dagegen müssen vier Punkte auf  $g_1$  eine gewisse besondere Lage haben, damit sie zu vier gegebenen Punkten von  $g$  perspektiv gelegt werden können. Dies erhellt aus folgendem Satze: Liegen die vier Punkte  $A, B, C, D$  der Geraden  $g$  perspektiv zu den vier Punkten  $A_1, B_1, C_1, D_1$  der Geraden  $g_1$  vom Centrum  $O_1$  aus, so kann man sie auch von jedem anderen Centrum  $O_2$  aus in perspektive Lage bringen, wobei die Lage von  $O_2$  gegen  $g$  willkürlich fixiert werden darf.

**177.** Die Punktreihen  $A, B, C, D$  und  $A_1, B_1, C_1, D_1$  auf  $g$  und  $g_1$  seien ursprünglich durch Centralprojektion aus dem Centrum  $O_1$  aufeinander bezogen (Fig. 128). Es werde nun im Raume beliebig ein neues Centrum  $O_2$  gegeben und die in der Ebene  $E_1 = O_1g$  liegende Figur auf die Ebene  $E_2 = O_2g$  in der Richtung  $O_1O_2$  projiziert. Dann ist die Gerade  $g_2$  die Projektion von  $g_1$  und ihre Schnittpunkte  $A_2, B_2, C_2, D_2$  mit den Strahlen aus  $O_2$  sind die Projektionen der Punkte  $A_1, B_1, C_1, D_1$ . Zugleich gilt die Relation:  $A_1B_1 : B_1C_1 : C_1D_1 = A_2B_2 : B_2C_2 : C_2D_2 = A'B' : B'C' : C'D'$ , wenn  $g'$  parallel zu  $g_2$  gezogen wird und die Strahlen aus  $O_2$  in den Punkten  $A', B', C', D'$  schneidet. Richtet man es zugleich so ein, daß  $A'B' = A_1B_1$  wird, so wird auch  $B'C' = B_1C_1$  und  $C'D' = C_1D_1$ . Man kann also die Punktreihe  $A_1, B_1, C_1, D_1$  mit der Reihe  $A', B', C', D'$  zur Deckung bringen und dann liegt sie aus dem Centrum  $O_2$  perspektiv zur Reihe  $A, B, C, D$ .

**178.** Diese neue perspektive Lage wird aber nach 175 schon durch die Wahl der drei Punkte  $A_1, B_1, C_1$  bestimmt; demnach ist



$D_1$  nicht mehr willkürlich, hängt vielmehr von der Lage des Punktes  $D$  ab. Um  $D_1$  zu konstruieren, bringt man die Reihe  $A_1, B_1, C_1$  auf irgend eine Weise in perspektive Lage mit der Reihe  $A, B, C$ , dann liegt  $D_1$  mit  $D$  auf einem Strahl durch das Centrum.

Am einfachsten kann das durch eine Verschiebung geschehen, die  $A_1$  mit  $A$  zur Deckung bringt; dann ist  $O = BB_1 \times CC_1$  das zugehörige Centrum. Zwei Punktreihen liegen

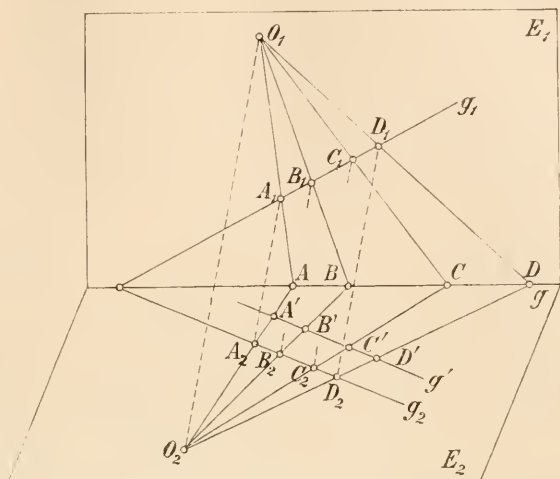


Fig. 128.

perspektiv, wenn sie zwei Punkte entsprechend gemein haben.

Ferner folgt der Satz: Zwei Gerade  $g$  und  $g_1$  lassen sich nicht derart in perspektive Lage bringen, daß vier gegebenen Punkten der ersten Reihe vier beliebig gegebene Punkte der zweiten entsprechen.

**179.** Aus dem Vorhergehenden wollen wir noch folgende spezielle Folgerung ziehen. Liegen die Punkte  $A, B, C$  einer Geraden  $g$  perspektiv mit den Punkten  $A_1, B_1, C_1$  einer Geraden  $g_1$  aus einem Punkte  $O$ , und bestimmt man auf jeder Geraden den Gegenpunkt, also  $G_v$  auf  $g$  und  $G_\infty$  auf  $g_1$  ( $OG_v \parallel g_1$  und  $OG_\infty \parallel g$ ), so bleiben  $G_v$  und  $G_\infty$  die Gegenpunkte bei jeder Lage von  $g$  und  $g_1$ , für welche  $A, B, C$  mit  $A_1, B_1, C_1$  perspektiv sind.

**180.** Es ergeben sich auch die weiteren Sätze:

Sind zwei Punktreihen zu einer dritten perspektiv, so können sie zu einander in Perspektive gesetzt werden, indem man sie aus einem und demselben Centrum zur dritten Punktreihe perspektiv legt. Wenn zwei Punktreihen einerseits perspektiv gelegt und andererseits drei Punkte der einen mit den entsprechenden der andern zur Deckung gebracht werden können, so sind sie kongruent. Denn in dieser letzteren Lage sind sie von jedem Punkte aus perspektiv, so daß je zwei entsprechende Punkte beider Reihen sich decken müssen.

**181.** Den Sätzen über die perspektive Lage von Punktreihen in 175—180 stehen analoge Sätze gegenüber, die sich auf Strahlbüschel beziehen.

Zwei Strahlbüschel  $S$  und  $S_1$  können stets in solche Lage gebracht werden, daß drei gegebene Strahlen  $a, b, c$  des einen mit drei beliebig gewählten Strahlen  $a_1, b_1, c_1$  des andern perspektiv liegen, d. h. sich auf einer Geraden — der Perspektivitätsachse — schneiden. Die Lage der Perspektivitätsachse gegen einen der Büschel kann dabei willkürlich angenommen werden. Schneidet nämlich diese Achse die Strahlen  $a, b, c$  resp. in  $A, B, C$ , so kann man den Büschel  $S_1$  so verschieben, daß seine Strahlen  $a_1, b_1, c_1$  resp. durch  $A, B, C$  hindurchgehen. Zu diesem Zweck schneide man den ursprünglichen Büschel  $S_1$  in einer Reihe  $A', B', C'$ , die zu  $A, B, C$  kongruent ist (vergl. 175) und gebe ihm darauf eine solche Lage, daß  $A', B', C'$  mit  $A, B, C$  resp. zur Deckung gelangen.

Die einfachste Lösung — freilich nicht die allgemeine — ergibt sich, wenn man zwei entsprechende Strahlen  $a$  und  $a_1$  zusammen fallen läßt; die Schnittpunkte  $b \times b_1$  und  $c \times c_1$  der andern Strahlenpaare ergeben dann die Perspektivitätsachse als ihre Verbindungslinie. Zwei Strahlbüschel liegen perspektiv, wenn sie zwei Strahlen entsprechend gemein haben.

**182.** Liegen die vier Strahlen  $a, b, c, d$  des Büschels  $S$  perspektiv zu den vier Strahlen  $a_1, b_1, c_1, d_1$  des Büschels  $S_1$  in Bezug auf die Achse  $e_1$ , so kann man sie auch in Bezug auf jede andere Achse  $e_2$  in perspektive Lage bringen, wobei die Lage von  $e_2$  gegen  $S$  willkürlich fixiert werden darf. Seien  $A, B, C, D$  die Punkte der Achse  $e_1$ ,

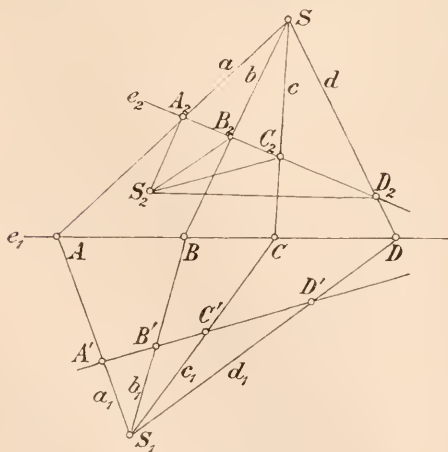


Fig. 129.

durch welche die bezüglichen Strahlen  $a, b, c, d$  des ersten Büschels und auch die entsprechenden Strahlen  $a_1, b_1, c_1, d_1$  des zweiten hindurchgehen (Fig. 129). Ferner möge  $e_2$  die Strahlen des ersten Büschels in den Punkten  $A_2, B_2, C_2, D_2$  resp. schneiden. Dann

gibt es nach 177 eine Gerade  $e'$ , welche die Strahlen  $a_1, b_1, c_1, d_1$  in einer Reihe  $A', B', C', D'$  schneidet, die zur Reihe  $A_2, B_2, C_2, D_2$  kongruent ist (vergl. auch 185). Nun verschiebe man den Büschel  $S_2$  so, daß die auf seinen Strahlen liegenden Punkte  $A', B', C', D'$  mit der Reihe  $A_2, B_2, C_2, D_2$  zur Deckung gelangen.

**183.** In zwei perspektiven Strahlbüscheln  $S$  und  $S_1$  giebt es zwei einander entsprechende Paare rechtwinkliger Strahlen. Sie werden

(vergl. 12) gefunden, indem man durch die Scheitel  $S$  und  $S_1$  einen Kreis mit dem Mittelpunkt auf der Perspektivitätsachse legt. Schneidet dieser die Achse in  $X$  und  $Y$ , so sind  $SX = x$ ,  $S_1X = x_1$ ,  $S_1Y = y_1$  die gesuchten Rechtwinkelpaare (Fig. 130).

Aus dem vorigen Satz folgt weiter: Hat man in zwei perspektiven Strahlbüscheln die entsprechenden Recht-

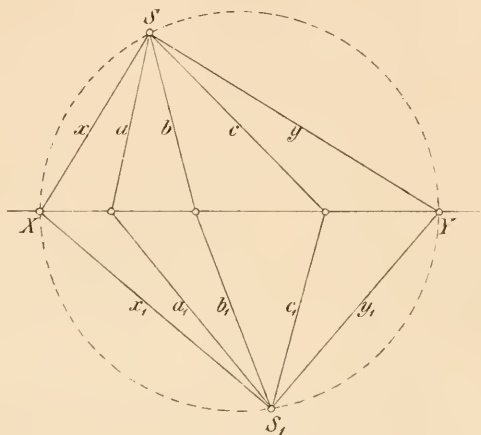


Fig. 130.

winkelpaare bestimmt und bringt die Büschel in irgend eine andere perspektive Lage, so entsprechen sich die Schenkel der Rechtwinkelpaare auch in der neuen Lage.

**184.** Wir haben ferner den Satz: Sind zwei Strahlbüschel zu einem dritten perspektiv, so können sie zu einander in Perspektive gesetzt werden, indem man sie in Bezug auf eine und dieselbe Achse zum dritten Strahlbüschel perspektiv legt. Und weiter: Wenn zwei Strahlbüschel einerseits perspektiv gelegt und andererseits drei Strahlen des einen mit den entsprechenden des andern zur Deckung gebracht werden können, so sind sie kongruent.

**185.** An diese allgemeinen Sätze wollen wir noch einige besondere Bemerkungen anknüpfen, die weiterhin ihre Verwendung finden sollen. Schon in 177 haben wir gesehen, wie man perspektive Strahlbüschel in kongruenten Punktreihen schneiden kann. So sind in Fig. 128 die Punktreihen  $A_1B_1C_1D_1$  auf  $g_1$  und  $A'B'C'D'$  auf  $g'$  kongruent. Aus dieser Figur erkennt man auch, daß zwei Strahlen durch  $O_1$  und  $O_2$ , die zu  $g_1$  und  $g_2$  resp. parallel laufen,

sich auf  $g$  schneiden und somit entsprechende Strahlen der Büschel  $O_1$  und  $O_2$  sind. Die Konstruktion kongruenter Schnitte aus perspektiven Büscheln folgt hier-

aus und ist in Figur 131 dargestellt. Der Büschel  $S$  wird von  $g$  in der Reihe  $ABCD$  geschnitten. Nun ziehe man im Büschel  $S$  den Strahl  $h$  parallel  $g$  und hierauf den entsprechenden Strahl  $h_1$  im Büschel  $S_1$ . Die zu  $h_1$  parallele Gerade  $g'$  schneidet dann den zweiten Büschel in der Punktreihe  $A'B'C'D'$ , die zu der ersteren kongruent ist. Die Richtigkeit des Gesagten erhellt auch schon daraus, daß in kongruen-

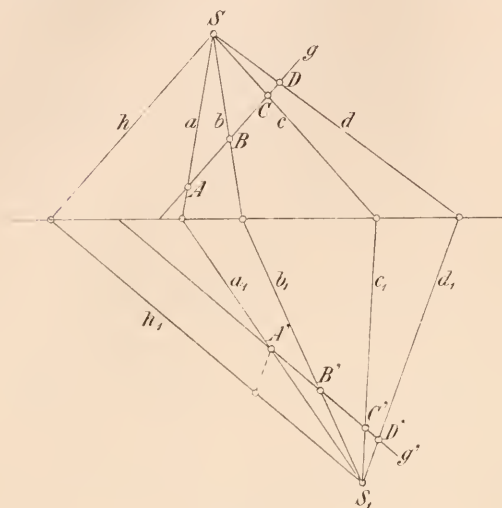


Fig. 131.

ten Punktreihen die unendlich fernen Punkte einander wechselseitig entsprechen. Es muß also in den Strahlbüscheln  $S$  und  $S_1$  entsprechende Strahlen  $h$  und  $h_1$  geben, die zu den Trägern  $g$  und  $g'$  der kongruenten Schnitte parallel sind.

**186.** Von zwei perspektiven Strahlbüscheln kann jedes

als orthogonale Projektion des andern dargestellt werden. Da man insbesondere drei beliebige Strahlen  $abc$  eines Büschels mit drei beliebigen Strahlen  $a_1b_1c_1$  eines zweiten in perspektive Lage bringen kann, ist zu zeigen, daß sowohl die ersteren als orthogonale Projektion der letzteren, als auch die letzteren als orthogonale Projektion der ersteren erhalten werden können. Um dies einzusehen, konstruieren wir zu-

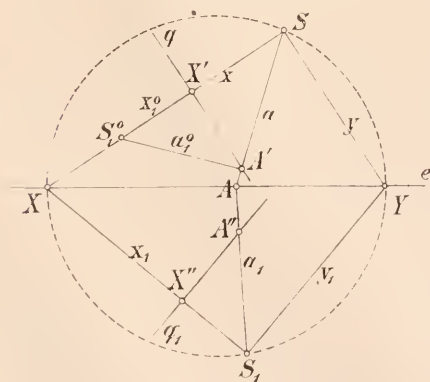


Fig. 132.

nächst in den Büscheln  $S$  und  $S_1$  die Schenkel der entsprechenden rechten Winkel  $xy$  und  $x_1y_1$  (Fig. 132), die sich in  $X$  und  $Y$  auf der

Perspektivitätsachse  $e$  schneiden. Nun ziehen wir zu  $y$  eine Parallele  $q$ , welche die Strahlen  $x$  und  $a$  in  $X'$  und  $A'$  schneidet, und zu  $y_1$  eine Parallele  $q_1$ , welche  $x_1$  und  $a_1$  in  $X''$  und  $A''$  trifft, doch so, daß  $X''A'' = X'A'$  wird. Dann liefern die Büschel  $S$  und  $S_1$  auf  $q$  und  $q_1$  resp. kongruente Punktreihen und wir können den Büschel  $S_1$  samt der Reihe  $q_1$  derart verschieben, daß  $X''A''$  mit  $X'A'$  zusammenfällt. Ist  $\angle x_1 a_1 > \angle x a$ , so ist  $X'S > X''S_1$ , folglich läßt sich die Ebene des Büschels  $S$  der Art um  $q$  drehen, daß die orthogonale Projektion von  $S$  mit  $S_1^0$ , der neuen Lage von  $S_1$ , zusammenfällt. Damit wird zugleich der Büschel mit dem Scheitel  $S_1^0$  die orthogonale Projektion des Büschels mit dem Scheitel  $S$ .

Schneiden wir dagegen die Büschel  $S$  und  $S_1$  durch Parallele zu  $x$  und  $x_1$  in kongruenten Reihen und bedenken, daß  $\angle y_1 a_1 < \angle y a$  ist, so erkennen wir, daß nach geeigneter Verschiebung und Drehung der Büschel  $S_1$  als orthogonale Projektion von  $S$  erscheint.

**187.** Die seitherigen Betrachtungen können schließlich auch ausgedehnt werden auf die perspektive Lage von Ebenenbüscheln. Wir erwähnen die bezüglichlichen Ergebnisse hier der Vollständigkeit halber, obwohl wir uns für konstruktive Zwecke nur derjenigen Sätze zu bedienen brauchen, die sich auf Punktreihen und Strahlbüschel beziehen.

Zwei Ebenenbüschel mit den Achsen  $s$  und  $s_1$  können stets in solche Lage gebracht werden, daß drei gegebene Ebenen  $A, B, \Gamma$  des einen mit drei beliebig gewählten Ebenen des anderen perspektiv liegen, d. h. so, daß ihre Schnittlinien einen Strahlbüschel bilden, dessen Träger als Perspektivitätsebene bezeichnet werden mag. Die Lage der Perspektivitätsebene gegen einen der beiden Büschel kann willkürlich angenommen werden. Schneidet nämlich diese Ebene die Ebenen  $A, B, \Gamma$  in dem Strahlbüschel  $abc$ , so hat man, um die perspektive Lage der Ebenenbüschel  $s$  und  $s_1$  herzustellen, die Ebenen  $A_1, B_1, \Gamma_1$  in einem kongruenten Strahlbüschel zu schneiden und darauf dem Ebenenbüschel  $s_1$  eine solche Lage zu geben, daß die kongruenten Strahlbüschel sich decken. Um aber den Ebenenbüschel  $A_1, B_1, \Gamma_1$  in einem zu  $abc$  kongruenten Büschel  $a'b'c'$  zu schneiden, schneide man ihn zuerst normal zu seiner Achse  $s_1$  in dem Büschel  $a_1 b_1 c_1$  und stelle letzteren nach 186 als Orthogonalprojektion von  $a'b'c'$  dar. (Vergl. die schiefe Ansicht in Fig. 133.)

**188.** Liegen vier Ebenen  $AB\Gamma\Delta$  eines Büschels  $s$  perspektiv zu den vier Ebenen  $A_1 B_1 \Gamma_1 \Delta_1$  eines anderen Büschels  $s_1$  in Bezug auf die Perspektivitätsebene  $E_1$ , so



kann man sie auch in Bezug auf jede andere Ebene  $E_2$  in perspektive Lage bringen, wobei die Lage von  $E_2$  gegen  $s$

beliebig fixiert werden darf. Es folgt das unmittelbar aus der vorhergehenden Nummer.

In zwei perspektiven Ebenenbüscheln giebt es zwei einander entsprechende Paare rechtwinkliger Ebenen. Sie entsprechen einander für jede mögliche perspektive Lage der beiden Büschel. Man findet sie mit Hilfe der entsprechenden rechten

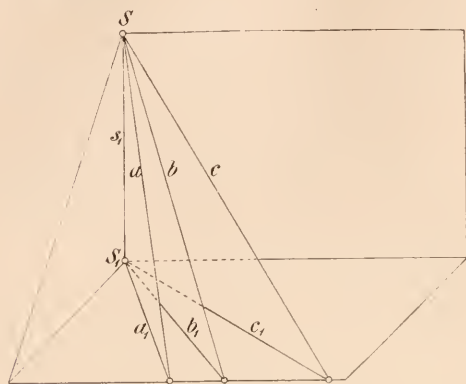


Fig. 133.

Winkel in den beiden Strahlbüscheln, die von zwei zu den Achsen  $s$  und  $s_1$  senkrechten Ebenen aus den Ebenenbüscheln ausgeschnitten werden.

Sind zwei Ebenenbüschel zu einem dritten perspektiv, so können sie zu einander in Perspektive gesetzt werden, indem man sie in Bezug auf eine und dieselbe Ebene zum dritten Ebenenbüschel perspektiv legt. Wenn zwei Ebenenbüschel einerseits perspektiv gelegt und andererseits drei Ebenen des einen mit den entsprechenden des andern zur Deckung gebracht werden können, so sind sie kongruent.

**189.** Zwei einförmige Grundgebilde (Punktreihen, Strahl- und Ebenenbüschel) nennt man *projektiv*, wenn sie in perspektive Lage gebracht werden können. So kann eine Punktreihe sowohl zu einer zweiten, als auch zu einem Strahl- oder Ebenenbüschel projektiv sein, u. s. f. Aus den Sätzen in 180, 184 und 188 folgt aber sofort der allgemeine Satz: Ist ein einförmiges Grundgebilde (Punktreihe, Strahl- oder Ebenenbüschel) zu einem zweiten projektiv und dieses wiederum zu einem dritten, das dritte zu einem vierten u. s. f., so ist auch das erste Gebilde zu dem letzten projektiv, d. h. die beiden können in perspektive Lage zu einander gebracht werden.

**190.** Sind die vier Punkte  $ABCD$  einer Reihe zu den vier Punkten  $A_1B_1C_1D_1$  einer anderen projektiv, so sind diese Punkte  $A_1B_1C_1D_1$  auch zu den Punkten  $BADC$  oder  $CDAB$  oder  $DCBA$  projektiv. Bringen wir etwa die beiden

Träger der Reihen in eine solche relative Lage zu einander, daß  $C$  mit  $D_1$  zusammenfällt (Fig. 134), dann werden die Strahlen  $A_1A$ ,  $A_1B$ ,  $A_1C$ ,  $A_1D$  die Gerade  $DC_1$  in vier Punkten  $A'B'C_1D$  schneiden, die zu  $ABCD$  perspektiv sind. Ebenso wird diese Gerade von den Strahlen  $AA_1$ ,  $AB_1$ ,  $AC_1$ ,  $AD_1$  in vier Punkten  $A'B''C_1D$  geschnitten, die zu  $A_1B_1C_1D_1$  perspektiv sind. Da aber  $ABCD$  und  $A_1B_1C_1D_1$  projektiv sind, so gilt Gleiches für  $A'B'C_1D$  und  $A'B''C_1D$ ; deshalb muß nach 180  $B'$  mit  $B''$  identisch sein. Von dem Centrum  $B' = B''$  liegen nun die Punkte  $BADC$  der Reihe nach perspektiv zu den Punkten  $A_1B_1C_1D_1$ ; beide Reihen sind also auch projektiv. Ganz ebenso gestaltet sich der Beweis für die beiden andern oben genannten Reihenfolgen  $CDAB$  und  $DCBA$ .

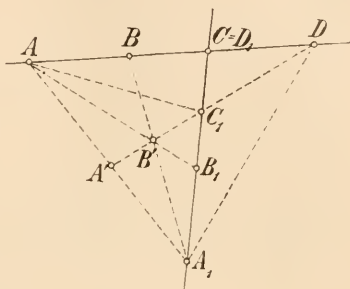


Fig. 134.

Im Speziellen können die Reihen  $ABCD$  und  $A_1B_1C_1D_1$  kongruent sein. Dann folgt, daß die vier Reihen  $ABCD$ ,  $BADC$ ,  $CDAB$  und  $DCBA$  untereinander projektiv sind, also in perspektive Lage gebracht werden können.

**191.** Wir wenden uns jetzt wieder der Centralprojektion ebener Figuren zu, von der wir ausgegangen waren, um mit den gewonnenen Hilfsmitteln folgenden Satz zu beweisen.

Je zwei ebene Vierecke  $ABCD$  und  $A_1B_1C_1D_1$  können in perspektive Lage gebracht werden. — Wir weisen zunächst nach, daß dies in einer Ebene möglich ist. Wird dann das eine

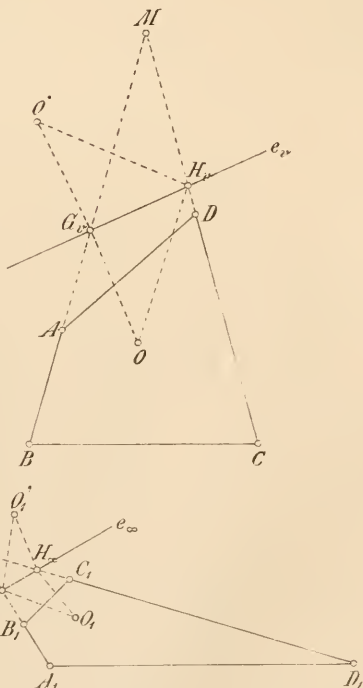


Fig. 135.

Viereck um die Perspektivitätsachse gedreht, so ergeben sich perspektive Lagen der Vierecke im Raume.

Es seien  $M = g \times h$  und  $M_1 = g_1 \times h_1$  die Schnittpunkte zweier entsprechender Gegenseitenpaare  $g = AB$ ,  $h = CD$  und  $g_1 = A_1B_1$ ,  $h_1 = C_1D_1$ , die zusammen alle acht Ecken enthalten (Fig. 135). Denken wir uns eines der Vierecke, etwa  $ABCD$  fest, so ist dem andern eine solche Lage zu erteilen, daß die Punktreihen  $ABM$  und  $A_1B_1M_1$ , sowie die Punktreihen  $CDM$  und  $C_1D_1M_1$  aus einem Centrum  $O$  perspektiv liegen. Legen wir diese Reihen zunächst einzeln irgendwie perspektiv, so können wir ihre Gegenpunkte bestimmen, nämlich  $G_v$  auf  $g$ ,  $G_\infty$  auf  $g_1$ ,  $H_v$  auf  $h$ ,  $H_\infty$  auf  $h_1$ . Hieraus ergeben sich die Gegenachsen  $e_v = G_vH_v$  und  $e_\infty = G_\inftyH_\infty$  der beiden perspektiven Figuren.

Nach 171 müssen ferner die Beziehungen bestehen:

$$\begin{aligned} \angle OG_vH_v &= \angle g_1e_\infty, & \angle OG_\inftyH_\infty &= \angle ge_v, \\ \angle OH_vG_v &= \angle h_1e_\infty, & \angle OH_\inftyG_\infty &= \angle he_v. \end{aligned}$$

**192.** Jetzt drehen wir das zweite Viereck bis  $e_\infty$  zu  $e_v$  parallel wird, dann muß sich die gewünschte perspektive Lage der beiden Vierecke durch eine bloße Parallelverschiebung der zweiten bewirken lassen. Wir ziehen nun einerseits in dem festen Viereck durch  $G_v$  und  $H_v$  respektive die Parallelen zu den Seiten  $g_1$  und  $h_1$  des gedrehten Vierecks und andererseits in dem gedrehten Viereck durch  $G_\infty$  und  $H_\infty$  respektive die Parallelen zu den Seiten  $g$  und  $h$  des festen Vierecks. Dann werden sich die ersteren in einem Punkte  $O'$  und die letzteren in einem Punkte  $O'_1$  schneiden, und eine Parallelverschiebung des zweiten Vierecks, bei der  $O'_1$  mit  $O'$  zusammenfällt, bringt die beiden Vierecke in perspektive Lage. Eine andere perspektive Lage der Vierecke ergibt sich, wenn wir das zweite Viereck nachträglich um  $O' = O'_1$  um  $180^\circ$  drehen.

Man kann jedoch auch zuerst das zweite Viereck um  $e_\infty$  umklappen und dann eine Drehung desselben vornehmen, so daß  $e_\infty \parallel e_v$  wird. In diesem Falle schneiden sich die durch  $G_v$  und  $H_v$  gezogenen Geraden, welche zu den Seiten  $g_1$  und  $h_1$  des so gelegenen zweiten Vierecks parallel sind, im Punkte  $O$ , und ebenso die Parallelen zu  $g$  und  $h$  durch  $G_\infty$  und  $H_\infty$  im Punkte  $O_1$ . Eine Parallelverschiebung des zweiten Vierecks, wobei  $O_1$  mit  $O$  zusammenfällt, bewirkt wiederum eine perspektive Lage beider Vierecke, und eine weitere perspektive Lage ergibt sich noch, wenn man das zweite Viereck nachträglich um  $O = O_1$  um  $180^\circ$  dreht. Es sind also vier verschiedene perspektive Lagen in der Ebene möglich.

In der Figur 136 ist eine der zuletzt erwähnten perspektiven Lagen dargestellt, wobei  $O_1$  mit  $O$  vereinigt liegt. Sind  $G_1 = g \times g_1$  und  $H_1 = h \times h_1$  die Schnittpunkte der sich entsprechenden Seiten,

so sind die Vierecke  $OH_\infty M_1 G_\infty$  und  $MH_v OG_v$  ähnlich, da ihre homologen Seiten und die homologen Diagonalen  $H_\infty G_\infty$  und  $H_v G_v$  parallel laufen. Demnach sind auch ihre Diagonalen  $OM_1$  und  $OM$  parallel, d. h.  $M, M_1$  und  $O$  liegen auf einer Geraden. Nun sind auch die Vierecke  $OH_\infty M_1 G_\infty$  und  $MH_1 M_1 G_1$  ähnlich, da ihre homologen Seiten und die homologen Diagonalen  $OM_1$  und  $MM_1$  parallel laufen, folglich ist auch  $H_1 G_1 \parallel H_\infty G_\infty$ . — Jetzt liegen drei Punkte von  $g$ , nämlich  $M, G_v$  und der unendlich ferne Punkt, perspektiv vom Centrum  $O$  aus zu den entsprechenden Punkten auf  $g_1$ , nämlich  $M_1$ , dem unendlich fernen Punkt und  $G_\infty$ . Mithin liegen je zwei entsprechende Punkte von  $g$  und  $g_1$  auf einem Strahle durch  $O$ ; insbesondere gehen  $AA_1$  und  $BB_1$  durch  $O$ . Ganz ebenso zeigt sich, daß  $CC_1$  und  $DD_1$  durch  $O$  gehen; die Vierecke  $ABCD$  und  $A_1 B_1 C_1 D_1$  befinden sich also in perspektiver Lage.

**193.** In Fig. 136 ist noch eine andere perspektive Lage angegeben; sie geht aus der vorigen hervor, wenn man das Viereck  $A_1 B_1 C_1 D_1$  um die Perspektivitätsachse  $e_1$  umklappt; hierbei ist  $O'$  das Centrum. Die Fig. 137

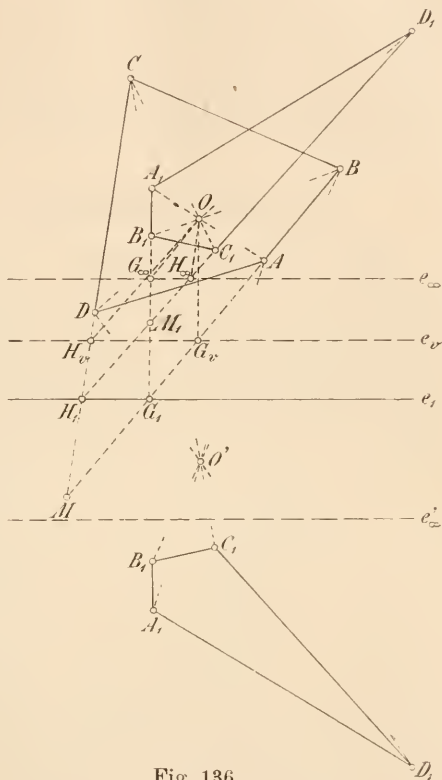


Fig. 136.

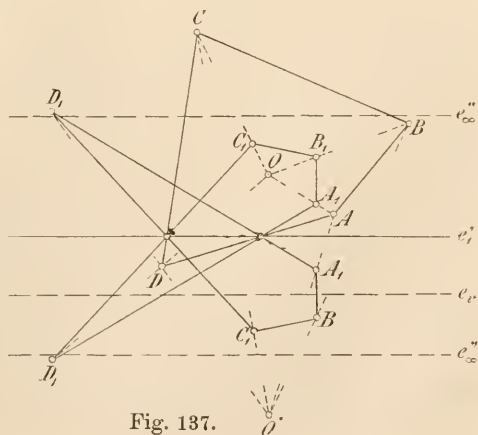


Fig. 137.

bringt die beiden noch fehlenden perspektiven Lagen; sie ergeben sich aus den Lagen in Fig. 136, wenn man das eine Viereck  $A_1B_1C_1D_1$  um  $O$  und das andere Viereck  $A_1B_1C_1D_1$  um  $O'$  um  $180^\circ$  dreht. Im Raume sind nur zwei verschiedene Arten perspektiver Lagen der beiden Vierecke möglich. Sie werden erhalten, wenn man in Fig. 136 das Viereck  $A_1B_1C_1D_1$  um die Achse  $e_1$ , oder wenn man es in Fig. 137 um die Achse  $e'_1$  aufdreht.

### Harmonische Grundgebilde. Vierendeit und Viereck.

**194.** Die einfachste Figur in der Ebene ist — vom Dreieck abgesehen — das Vierseit. Das vollständige Vierseit wird von vier Geraden  $a, b, c, d$  einer Ebene gebildet, deren sechs Schnittpunkte seine Ecken heißen. Diese gruppieren sich paarweise als Gegenecken, nämlich:  $a \times b = E$  und  $c \times d = F$ ,  $a \times c = G$  und  $b \times d = H$ ,  $a \times d = K$  und  $b \times c = J$ , so daß durch

jedes Paar alle vier Seiten gehen. Die Verbindungslinien je zweier Gegenecken werden Diagonalen genannt und bilden das Diagonaldreiseit (Fig. 138).

Die Ecken eines Vierseits und seines Diagonaldreiseits weisen eine charakteristische Lage zu einander auf, die sich bei jedem Vierseit wieder findet. Daraus folgt denn auch, daß

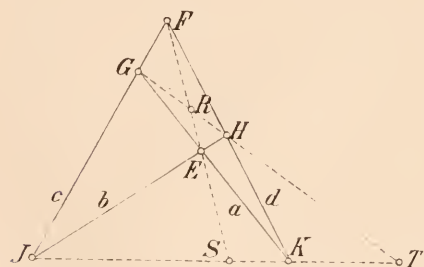


Fig. 138.

diese charakteristische Lage durch irgend welche Parallel- oder Centralprojektion nicht zerstört werden kann, da eine solche ein Vierseit immer wieder in ein Vierseit verwandelt.

**195.** Betrachten wir zwei Diagonalen eines Vierseits, so trägt jede von ihnen vier Punkte, und die vier Punkte auf der einen liegen zu den vier Punkten auf der andern in doppelter Weise perspektiv. So sind  $GHRT$  vom Centrum  $F$  aus perspektiv zu  $JKST$ , dagegen vom Centrum  $E$  aus perspektiv zu  $KJST$ . Nach 180 können somit auch die vier Punkte  $JKST$  zu den vier Punkten  $KJST$  in perspektive Lage gebracht werden, oder wie wir uns nach 189 kürzer ausdrücken: die Punkte  $JKST$  sind projektiv zu den Punkten  $KJST$ . Von vier Punkten  $JKST$ , welche diese besondere Eigenschaft besitzen, sagen wir, daß sie sich in harmonischer Lage befinden.

Wir sprechen also die Definition aus: Auf jeder Diagonale



eines Vierseits liegen die beiden Ecken und die Schnittpunkte mit den beiden andern Diagonalen harmonisch.

**196.** Es läßt sich auch leicht die Umkehrung zeigen, daß vier Punkte  $JKST$  einer Geraden stets zwei Gegenecken und zwei Diagonalschnittpunkte eines Vierseits bilden können, falls  $JKST$  zu  $KJST$  projektiv ist. Zum Beweise ziehe man durch  $T$  eine beliebige Gerade und projiziere aus einem beliebigen Centrum  $F$  jene Punkte auf diese Gerade, so daß  $GHRT$  zu  $JKST$  perspektiv liegen (Fig. 138).

Wenn nun aber  $JKST$  und  $KJST$  projektiv sind, so sind nach 189 auch  $GHRT$  und  $KJST$  projektiv, und da in  $T$  zwei entsprechende Punkte zusammenfallen, so sind nach 178 die zweimal vier Punkte sogar perspektiv, d. h.  $GK$ ,  $JH$  und  $RS$  schneiden sich in einem Punkte  $E$ . Damit ist aber die erwähnte Umkehrung bewiesen.

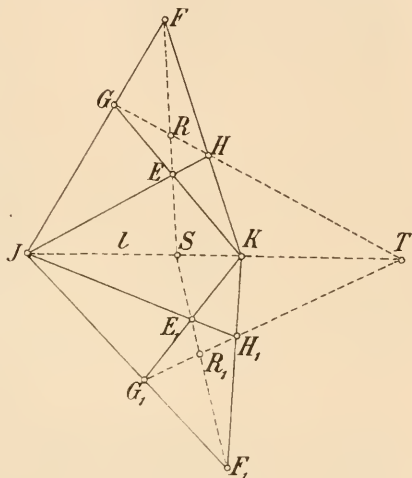


Fig. 139.

**197.** Aus diesen Betrachtungen geht zugleich hervor, daß durch drei von den vier harmonischen Punkten der vierte mit bestimmt ist. Denn sind  $JKT$  gegeben, so kann man

wie vorher eine Gerade durch  $T$  und den Punkt  $F$  beliebig annehmen, dann ergeben sich  $G$ ,  $H$  und  $E = JH \times GK$ , und damit auch  $S = JK \times EF$ .

Führen wir dieselbe Konstruktion zweimal aus, wie das in Fig. 139 geschehen ist, so gelangen wir von den Punkten  $JKT$  der Geraden  $l$  ausgehend immer zu dem nämlichen Punkte  $S$ , welcher sich in harmonischer Lage mit jenen drei Punkten befindet. Das giebt den Satz: Alle Vierseite, welche eine Diagonale und auf ihr zwei Eckpunkte und einen Diagonalschnittpunkt gemein haben, haben auch noch den andern Diagonalschnittpunkt auf ihr gemeinsam.

Man kann die Richtigkeit dieses Satzes auch leicht direkt erkennen, wenn man in Fig. 139 von den beiden Vierseiten mit der gemeinsamen Diagonalen  $l$  und den gemeinsamen Punkten  $JK$  und  $T$  das eine um  $l$  aufdreht. Dann sind die beiden Vierseite in perspektiver Lage im Raume. Denn zunächst gilt dies von den Drei-

ecken  $FGH$  und  $F_1G_1H_1$ , deren entsprechende Seiten sich auf  $l$  schneiden; durch das zugehörige Centrum  $O$  gehen die Geraden  $FF_1$ ,  $GG_1$  und  $HH_1$ . Auch die Ebenen  $GKG_1$  und  $HJH_1$  enthalten den Punkt  $O$  und folglich geht auch ihre Schnittlinie  $EE_1$  durch  $O$ . Die Geraden  $EE_1$  und  $FF_1$  liegen also in einer Ebene und diese schneidet  $l$  in einem Punkte  $S$ , durch welchen die beiden Geraden  $EF$  und  $E_1F_1$  hindurchgehen.

198. Nach dem Vorhergehenden könnte es scheinen, daß von vier harmonischen Punkten zwei eine andere Rolle spielen als die beiden übrigen, insofern zwei davon, etwa  $J$  und  $K$ , zwei Ecken

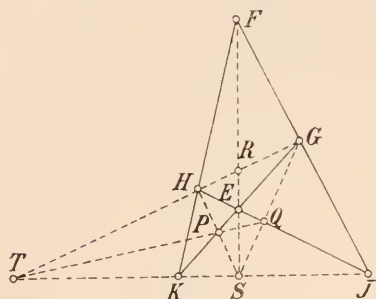


Fig. 140.

eines Vierseits, die beiden andern aber, etwa  $S$  und  $T$ , zwei Diagonalschnittpunkte desselben bilden. Daß dem nicht so ist, folgt daraus, daß man auch Vierseite konstruieren kann, welche  $S$  und  $T$  zu Ecken, dagegen  $J$  und  $K$  zu Diagonalschnittpunkten haben. Geht man nämlich von dem früheren Vierseit aus (Fig. 140) und zieht  $SG$  und  $SH$ ,

so liegen die Punkte  $P = SH \times GK$ ,  $Q = SG \times JH$  und  $T$  in gerader Linie. Denn die Punkte  $JKST$  sind perspektiv zu den Punkten  $GHRT$ , und folglich sind die Strahlen  $EJ$ ,  $EK$ ,  $ES$ ,  $ET$  nach 189 projektiv zu den Strahlen  $SG$ ,  $SH$ ,  $SR$ ,  $ST$ . Die zweimal vier Strahlen sind aber sogar in perspektiver Lage, da die entsprechenden Strahlen  $ES$  und  $SR$  sich decken (vergl. 181); sonach liegen die Schnittpunkte entsprechender Strahlen, nämlich  $Q$ ,  $P$  und  $T$ , auf einer Geraden. Jetzt bilden die Geraden  $THG$ ,  $TPQ$ ,  $SPH$ ,  $SQG$  die Seiten eines Vierseits, dessen Diagonalen sich in  $E$ ,  $K$  und  $J$  schneiden, womit unsere Behauptung erwiesen ist. Wir erkennen also den Satz: Vier Punkte in harmonischer Lage gruppieren sich in zwei Paare derart, daß jedes Paar die Ecken eines Vierseits bilden kann, welches das andere Paar zu Diagonalschnittpunkten hat.

Wenn man von vier Punkten  $ABCD$  nur aussagt, daß sie harmonisch liegen, so ist damit noch in keiner Weise festgelegt, wie sie sich in Paare gruppieren. Will man dieser Gruppierung Ausdruck verleihen, so sagt man: Das Punktepaar  $AB$ , oder die Strecke  $AB$ , wird durch das Punktepaar  $CD$  harmonisch geteilt. Dann wird nach den obigen Untersuchungen zugleich die Strecke  $CD$  durch die Punkte  $AB$  harmonisch geteilt.

**199.** Wir haben in 190 gesehen, daß vier beliebige Punkte einer Geraden in folgenden vier verschiedenen Anordnungen  $ABCD$ ,  $BADC$ ,  $CDAB$ ,  $DCBA$  zu einander projektiv sind. Liegen die vier Punkte im besonderen harmonisch, und werden etwa die Punkte  $AB$  durch  $CD$  harmonisch getrennt, so sind nach 195 auch die Punkte  $BACD$  und  $ABCD$  projektiv. Auch hier giebt es wieder vier zu einander projektive Anordnungen  $BACD$ ,  $ABDC$ ,  $CDBA$ ,  $DCAB$ , so daß also bei vier harmonischen Punkten im ganzen acht zu einander projektive Reihenfolgen existieren. Man erhält alle acht Anordnungen, wenn man sowohl die beiden Punktepaare, die sich gegenseitig harmonisch trennen, als auch die Punkte jedes Paares unter sich vertauscht.

**200.** Vier Strahlen aus einem Punkte und ebenso vier Ebenen durch eine Achse heißen harmonisch, wenn sie von einer Geraden in vier harmonischen Punkten geschnitten werden. Offenbar giebt es auch für solche vier Strahlen und für solche vier Ebenen acht Reihenfolgen, die untereinander projektiv sind.

Hiernach gilt auch der Satz: In jeder Ecke eines Vierseits werden die beiden Seiten von der Diagonale und dem Strahl nach dem Schnittpunkt der andern beiden Diagonalen harmonisch getrennt.

**201.** Zweimal vier harmonische Punkte (Strahlen, Ebenen) sind stets projektiv, d. h. sie können in perspektive Lage gebracht werden. Werden die Punkte  $AB$  durch  $CD$  und die Punkte  $A_1B_1$  durch  $C_1D_1$  harmonisch getrennt, so sind durch die Wahl der Punkte  $ABC$  einerseits und  $A_1B_1C_1$  andererseits die Punkte  $D$  und  $D_1$  mitbestimmt. Man bringe nun  $A_1B_1C_1$  zu  $ABC$  in perspektive Lage, indem man  $C_1$  mit  $C$  vereinigt (Fig. 141), und verbinde dann  $A$  und  $B$  mit jedem der beiden Punkte  $A_1$  und  $B_1$ . Diese vier Geraden bilden ein Vierseit, von dem  $AB$  und  $A_1B_1$  zwei Diagonalen sind, während die dritte Diagonale  $JK$  auf ihnen die vierten harmonischen Punkte  $D$  resp.  $D_1$  ausschneidet. Aus der Figur ist aber zu ersehen, daß  $ABCD$  und  $A_1B_1C_1D_1$

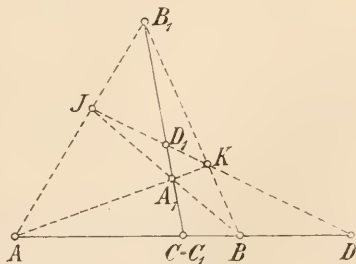


Fig. 141.

vom Centrum  $K$  aus perspektiv liegen. Es ist nach Früherem selbstverständlich, daß es acht verschiedene Reihenfolgen der Punkte  $A_1B_1C_1D_1$  giebt, deren jede zu  $ABCD$  projektiv ist.

Hiermit ist auch die Aufgabe gelöst, einen Punkt  $D$  zu finden, der mit  $C$  zusammen die Strecke  $AB$  harmonisch teilt. Man zieht nämlich eine beliebige Gerade durch  $C$  und nimmt auf ihr zwei beliebige Punkte  $A_1$  und  $B_1$  an (Fig. 141). Die vier Geraden  $AA_1$ ,  $AB_1$ ,  $BA_1$ ,  $BB_1$  bilden ein Vierseit mit den Diagonalen  $AB$  und  $A_1B_1$ , dessen dritte Diagonale  $JK$  den Punkt  $D$  ausschneidet.

**202.** Das vollständige Viereck wird von vier Punkten  $ABCD$  einer Ebene gebildet, deren sechs Verbindungslinien seine Seiten heißen. Diese ordnen sich paarweise als Gegenseiten an, nämlich  $AB$  und  $CD$ ,  $AC$  und  $BD$ ,  $AD$  und  $BC$ , so daß jedes Paar alle vier Ecken enthält. Die Schnittpunkte je zweier Gegenseiten heißen Diagonalepunkte und bilden das Diagonaldreieck  $LMN$  (Fig. 142).

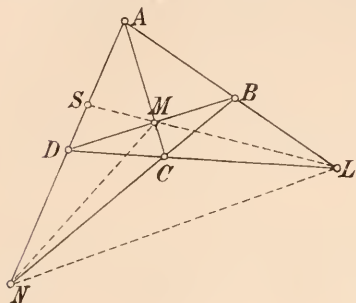


Fig. 142.

**203.** In jedem Diagonalepunkt werden die Seiten des vollständigen Vierecks durch die Seiten seines Diagonal-

dreiecks harmonisch getrennt. So liegen im Punkte  $M$  der Fig. 142 die Vierecksseiten  $MA$  und  $MB$  zu den Seiten  $ML$  und  $MN$  des Diagonaldreiecks harmonisch. Die vier Geraden  $BL$ ,  $BM$ ,  $CL$ ,  $CM$  bilden nämlich ein Vierseit, und nach 200 liegen seine Seiten  $MB$ ,  $MA$  harmonisch zu seiner Diagonale  $ML$  und dem Strahl nach dem Schnittpunkt  $N$  der Diagonalen  $AD$  und  $BC$ .

Auf jeder Seite eines Vierecks werden die Ecken durch einen Diagonalepunkt und den Schnittpunkt mit der Verbindungslinie der beiden andern Diagonalepunkte harmonisch geteilt. Denn in dem von den Geraden  $BL$ ,  $BM$ ,  $CL$ ,  $CM$  gebildeten Vierseit sind  $A$  und  $D$  Gegenecken,  $S$  und  $N$  aber Diagonalschnittpunkte; somit werden  $A$  und  $D$  durch  $N$  und  $S$  nach 195 harmonisch geteilt.

Um den Strahl  $d$  zu finden, der mit einem Strahle  $c$  zusammen den Winkel  $ab$  harmonisch teilt, wähle man auf  $c$  einen beliebigen Punkt und ziehe durch ihn zwei beliebige Gerade  $a_1$  und  $b_1$  (Fig. 143). Die vier Schnittpunkte  $a \times a_1$ ,  $a \times b_1$ ,  $b \times a_1$ ,  $b \times b_1$  bilden ein Viereck mit den Diagonalepunkten  $a \times b$  und  $a_1 \times b_1$ , durch dessen dritten Diagonalepunkt der Strahl  $d$  zu ziehen ist.

Aus der geschilderten Konstruktion folgt zugleich, daß von den beiden Strahlen, welche den Winkel  $ab$  harmonisch teilen, der eine im Winkel  $ab$ , der andere aber außerhalb liegt. Ganz ebenso zeigt die frühere Konstruktion, daß von zwei Punkten, welche die Strecke  $AB$  harmonisch teilen, der eine auf der Strecke, der andere aber außerhalb liegen muß.

**204.** Wir wollen jetzt unsere Aufmerksamkeit noch kurz einigen speziellen Vierseiten und Vierecken zuwenden. Projizieren wir ein Vierseit derart auf eine andere Ebene, daß das Bild einer Diagonale ins Unendliche fällt, so erhalten wir ein Parallelogramm. Auf einer Diagonale des Parallelogramms liegen dann die Eckpunkte mit dem Mittelpunkt und dem unendlich fernen Punkt harmonisch. Jede Strecke wird also von ihrem Mittelpunkt und dem unendlich fernen Punkt harmonisch geteilt.

Durch perspektive Abbildung können wir auch ein beliebiges Viereck  $ABCD$  in ein Rechteck  $A_1B_1C_1D_1$  verwandeln (Fig. 144). Dazu brauchen wir nur die Verbindungslinie zweier Diagonalpunkte  $L$  und  $N$  zur Verschwindungslinie  $e_v$  zu machen und das Centrum  $O$  so zu wählen, daß  $ON \perp OL$  wird, während die Achse  $e_1$

zu  $e_v$  beliebig parallel gezogen werden kann. Da aber im Punkte  $M$  die Geraden  $AC$  und  $BD$  mit  $ML$  und  $MN$  harmonisch liegen, so sind in  $M_1$  die Diagonalen des Rechtecks harmonisch zu den beiden Geraden, die den Seiten des Rechtecks parallel laufen. Jeder Winkel wird also von seiner Halbierungslinie und der Halbierungslinie seines Nebenwinkels harmonisch geteilt und umgekehrt. Oder auch: Stehen von vier harmonischen Strahlen

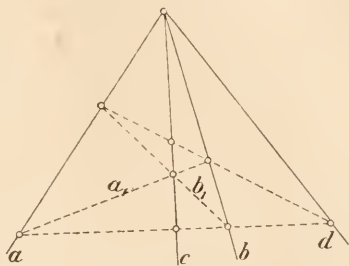


Fig. 143.

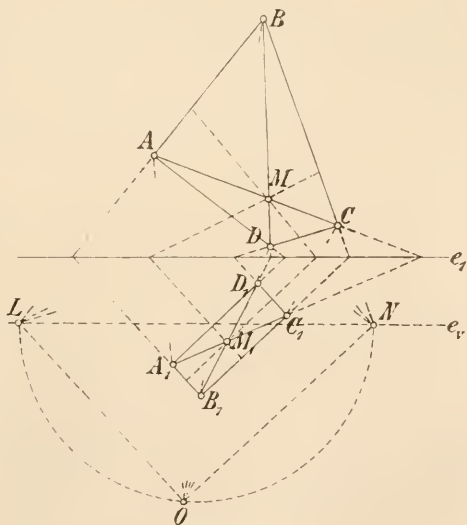


Fig. 144.



die Strahlen des einen Paares senkrecht aufeinander, so halbieren sie Winkel und Nebenwinkel der beiden andern.

Die Richtigkeit dieser Sätze erkennt man auch, wenn man vier spezielle harmonische Punkte zu Grunde legt, von denen der eine unendlich fern ist (Fig. 145). Projiziert man diese aus einem Punkte  $S$ , so daß  $SC \perp AB$  ist, dann stehen zwei der vier harmonischen Strahlen durch  $S$  aufeinander senkrecht, während die beiden andern  $SA$  und  $SB$  mit  $SC$  gleiche Winkel einschließen.

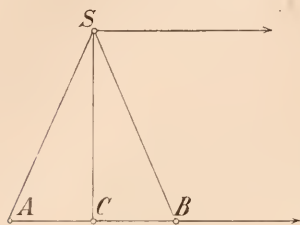


Fig. 145.

**205.** Will man ein beliebiges Viereck  $ABCD$  in ein Quadrat  $A_1B_1C_1D_1$  durch Perspektive abbilden, so hat man in Fig. 144 das Centrum  $O$  so zu wählen, daß nicht nur  $OL \perp ON$  wird, sondern auch die beiden Strahlen, die  $O$  mit den Punkten  $U = e_v \times AC$  und  $V = e_v \times BD$  verbinden, aufeinander senkrecht stehen. Denn beim Quadrat schneiden sich auch die Diagonalen  $A_1C_1$  und  $B_1D_1$  rechtwinklig. Demnach wird  $O$  als Schnittpunkt zweier Kreise erhalten, von denen der eine über dem Durchmesser  $LN$  und der andere über dem Durchmesser  $UV$  beschrieben ist.

### Metrische Beziehungen zwischen perspektiven Grundgebilden.

**206.** Für zwei ähnliche ebene Figuren gilt das Gesetz: Alle Strecken des Originals haben zu ihren Bildern das nämliche Verhältnis (gleichviel in welcher Richtung sie gezogen sind). Für affine Figuren ergab sich: Alle unter sich parallele Strecken des Originals haben zu ihren Bildern das gleiche Verhältnis (aber dies ändert sich von einer Richtung zur andern). In beiden Fällen besteht zwischen den Abständen dreier Punkte  $A, B, C$  einer Geraden und denen der entsprechenden Punkte  $A_1, B_1, C_1$  der Bildgeraden die Verhältnisgleichung:

$$AC:BC = A_1C_1:B_1C_1.$$

Es erhebt sich jetzt die Frage nach einem analogen Gesetze für perspektive Figuren.

**207.** Zwischen drei Punkten  $A, B, C$  einer Geraden und den entsprechenden Punkten  $A_1, B_1, C_1$  der dazu perspektiven Bildgeraden kann keine Streckenrelation bestehen, denn wir haben gesehen, daß letztere noch willkürlich angenommen werden dürfen, wenn erstere gegeben sind. Dagegen zeigt der in 178 bewiesene

Satz, daß vier Punkte einer Geraden  $g_1$  eine Streckenrelation erfüllen müssen, wenn es möglich sein soll, sie mit vier gegebenen Punkten einer andern Geraden  $g$  in Perspektive zu setzen. Hier sind aber nicht mehr, wie bei affinen Figuren, die Streckenverhältnisse selbst auf der Original- und Bildgeraden gleich; vielmehr werden erst die Quotienten zweier Streckenverhältnisse auf beiden Geraden einander gleich, und ein derartiger Quotient wird Doppelverhältnis genannt. — Obgleich nun in der darstellenden Geometrie auf die Bestimmung von Doppelverhältniswerten im allgemeinen nicht Bezug genommen wird, so soll doch hier der Begriff des Doppelverhältnisses entwickelt und seine Bedeutung für perspektive Figuren erklärt werden. Dies kann indes nicht geschehen, ohne einige allgemeine Bemerkungen über die Messung von Strecken und Winkeln vorausszuschicken.<sup>6)</sup>

**208.** Eine Strecke ist durch ihre Endpunkte  $A$  und  $B$  eindeutig bestimmt, wenn zugleich die Richtung gegeben ist, in der sie durchlaufen werden soll. Ist dies die Richtung von  $A$  nach  $B$ , so bezeichnen wir die Strecke durch  $AB$ , durch  $BA$  dagegen im entgegengesetzten Falle. Wir setzen ferner für jede Gerade eine positive Richtung fest (welche ist gleichgültig), d. h. wir stellen alle in der einen Richtung durchlaufenen Strecken als positiv in Rechnung, die in der umgekehrten Richtung durchlaufenen Strecken aber als negativ. Hiernach besteht für zwei beliebige Punkte  $A$  und  $B$  die Gleichung:

$$AB + BA = 0, \text{ oder } BA = -AB;$$

ebenso besteht für drei beliebig auf einer Geraden gelegene Punkte  $A, B, C$  die Gleichung:

$$AB + BC + CA = 0, \text{ oder } AB = AC + CB,$$

und ähnliche Gleichungen gelten für mehr Punkte.

**209.** Der von zwei Geraden  $a$  und  $b$  (in einer Ebene) eingeschlossene Winkel ist eindeutig bestimmt, wenn angegeben wird, nach welcher Richtung vom Scheitel  $O$  aus die Schenkel gehen und in welchem Drehsinne der Winkel beschrieben werden soll. Bezeichnen wir mit  $a$  nicht bloß die Gerade, sondern drücken durch dieses Zeichen zugleich eine bestimmte Richtung aus, welche als positive Durchlaufungsrichtung genommen wird, und machen wir die gleiche Festsetzung für  $b$ , so giebt es zwischen den Schenkeln  $a$  und  $b$ , die vom Scheitel  $O$  in positiver Richtung ausgehen, zwei verschiedene Winkel, die sich zu  $4 R$  ergänzen. Wir setzen ferner für jede Ebene willkürlich einen positiven Drehsinn fest, d. h. wir rechnen die in dem einen Sinn beschriebenen Winkel

positiv, die in dem entgegengesetzten Sinn beschriebenen negativ. Durch  $\angle ab$  bezeichnen wir den Winkel, den die Gerade  $a$  in positivem Drehsinn beschreiben muß, um in die Lage  $b$  zu gelangen, so zwar, daß die positiven Durchlaufungsrichtungen beider Geraden übereinstimmen. Es ist dann:

$$\angle ab + \angle ba = 4R \quad \text{und} \quad \angle ab + \angle ba' = 2R,$$

wenn  $a'$  mit  $a$  zusammenfällt, aber eine entgegengesetzte positive Durchlaufungsrichtung zeigt.

Wenn wir verabreden, daß ganze Umdrehungen außer Acht bleiben, also Winkel, die sich um ganze Vielfache von  $4R$  unterscheiden, als gleich angesehen werden sollen, so haben wir die Gleichung:

$$\angle ab + \angle ba = 0, \quad \text{oder} \quad \angle ba = -\angle ab.$$

Ebenso besteht für drei beliebige Gerade  $a, b, c$  einer Ebene die Gleichung:

$$\angle ab + \angle bc + \angle ca = 0, \quad \text{oder} \quad \angle ab = \angle ac - \angle bc.$$

Ähnliche Gleichungen giebt es für mehr Gerade. Wie man leicht erkennt, ist es gleichgültig, ob die betrachteten Geraden durch den nämlichen Punkt gehen oder nicht. Auch bedarf es keiner weiteren Erläuterung, wie die gegebenen Erklärungen auf die Bestimmung der Winkel windschiefer Geraden, oder der Neigungswinkel gegebener Ebenen auszudehnen sind.

Wird ein Winkel durch seinen Scheitel  $O$  und zwei auf den Schenkeln gelegene Punkte  $A$  und  $B$  bestimmt, so bezeichnen wir ihn durch  $\angle AOB$ , wenn er von einem Strahle beschrieben wird, der aus der Lage  $OA$  mit positivem Drehsinn in die Lage  $OB$  übergeht. Dann ergibt sich, ähnlich wie vorher:

$$\angle AOB + \angle BOA = 0, \quad \text{oder} \quad \angle BOA = -\angle AOB,$$

$\angle AOB + \angle BOC + \angle COA = 0$ , oder  $\angle AOB = \angle AOC - \angle BOC$ ,  
u. s. f., wobei die Punkte  $O, A, B, C \dots$  beliebig in der Ebene verteilt sein können.

**210.** In einer Punktreihe ist nach Festlegung zweier Grundpunkte  $A$  und  $B$  jeder dritte Punkt  $C$  durch das Verhältnis

$$x = \frac{CA}{CB}$$

seiner Abstände von den Grundpunkten bestimmt (wobei vorausgesetzt wird, daß  $x$  auch dem Vorzeichen nach bekannt sei).  $x$  ist ersichtlich ein reiner Zahlenwert; jedem solchen Wert gehörte ein Punkt der Reihe  $AB$  zu. Durchläuft das Abstandsverhältnis  $x$  stetig alle positiven Werte von  $+\infty$  bis  $+1$  und von  $+1$  bis  $0$ , dann alle

negativen Werte von 0 bis  $-1$  und von  $-1$  bis  $-\infty$ , so beschreibt dementsprechend der Punkt  $C$  die Punktreihe in der Richtung der Strecke  $AB$ , nämlich

vom Punkte  $B$  aus bis ins Unendliche, auf der andern Seite aus

dem Unendlichen kommend bis  $A$ , dann von  $A$  bis zur Mitte  $M$  der Strecke  $AB$  und endlich von hier bis wieder zu  $B$  (Fig. 146).

**211.** In einem Strahlbüschel ist nach Angabe zweier Grundstrahlen  $a$  und  $b$  (und willkürlicher Festsetzung ihrer positiven Richtungen) jeder dritte Strahl  $c$  durch das Verhältnis der senkrechten Abstände irgend eines seiner Punkte von den Strahlen  $a$  und  $b$ , oder — was dasselbe ist — durch das Sinusverhältnis

$$\kappa = \frac{\sin ca}{\sin cb}$$

seiner Winkel mit den Grundstrahlen bestimmt bis auf die Durchlaufungsrichtung, welche willkürlich bleibt. Mag man aber diese Durchlaufungsrichtung von  $c$  wählen, wie man will, immer wird das Sinusverhältnis  $\kappa$  negativ sein, wenn  $c$  in dem von den positiven Richtungen der Grundstrahlen  $a$  und  $b$  gebildeten Winkel liegt; im andern Falle wird  $\kappa$  positiv. Speziell nimmt  $\kappa$  die Werte 0,  $\infty$ ,  $-1$  und  $+1$  an, wenn die Gerade  $c$  mit  $a$ ,  $b$ ,  $m$  oder  $n$  zusammenfällt, wo  $m$  den Winkel  $ab$  und  $n$  seinen Nebenwinkel halbiert (Fig. 147). Analoges gilt von der Bestimmung der Ebenen eines Büschels durch ein Sinusverhältnis.

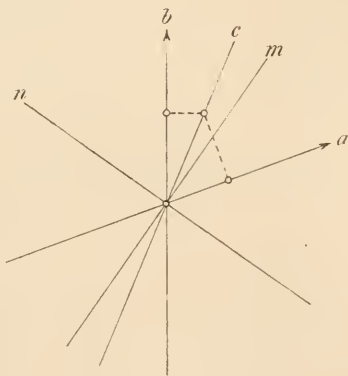


Fig. 147.

**212.** Vier Punkte  $A, B, C, D$  einer Geraden bestimmen ein Doppelverhältnis; es ist dies der Quotient der beiden Abstandsverhältnisse, welche der dritte und vierte Punkt in Bezug auf die ersten beiden ergeben, und hat somit den Wert

$$\frac{CA}{CB} : \frac{DA}{DB},$$

der gewöhnlich kurz durch das Symbol  $(ABCD)$  bezeichnet wird.

Vier Strahlen  $a, b, c, d$  (Ebenen  $A, B, \Gamma, \Delta$ ) eines Büschels haben als Doppelverhältnis den Quotient der beiden Sinus-

verhältnisse, welche der dritte und vierte Strahl (Ebene) in Bezug auf die ersten beiden ergeben, und hat somit den Wert

$$\frac{\sin ca}{\sin cb} : \frac{\sin da}{\sin db} = (abcd),$$

wo die rechte Seite der Gleichung wieder ein Symbol für den Wert der linken ist, und der Winkel zweier Geraden einfach durch Nebeneinanderschreiben ihrer Zeichen ausgedrückt wird.

**213.** Ändert man die Reihenfolge der vier Punkte  $ABCD$ , so ändert sich im allgemeinen auch der Wert ihres Doppelverhältnisses, indem die beiden darin auftretenden Abstandsverhältnisse andere und andere werden. Bei gewissen Vertauschungen der vier Punkte bleibt jedoch der Wert ungeändert. Man hat nämlich:

$$\frac{CA}{CB} : \frac{DA}{DB} = \frac{DB}{DA} : \frac{CB}{CA} = \frac{AC}{AD} : \frac{BC}{BD} = \frac{BD}{BC} : \frac{AD}{AC},$$

oder  $(ABCD) = (BADC) = (CDAB) = (DCBA)$  (vergl. 190).

Teilt man also die vier Punkte irgendwie in zwei Paare und vertauscht man in der ursprünglichen Reihenfolge die beiden Punkte eines jeden Paares miteinander, so behält das Doppelverhältnis seinen Wert bei. Den 24 möglichen Anordnungen der vier Punkte entsprechen daher nicht ebenso viele, sondern nur sechs verschiedene Doppelverhältnisswerte. So zeigen die Anordnungen

$ABCD, ABDC, ACBD, ACDB, ADBC, ADCB,$

oder die mit ihnen äquivalenten, lauter verschiedene Werte.

Die gleichen Betrachtungen lassen sich für die Doppelverhältnisswerte von vier Strahlen oder vier Ebenen eines Büschels wiederholen.

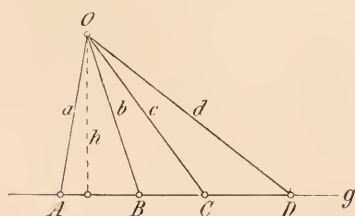


Fig. 148.

sei  $h$  das vom Scheitel  $O$  des Büschels auf  $g$  gefällte Lot (Fig. 148). Der doppelte Flächeninhalt des Dreiecks  $CAO$  läßt sich dann in der doppelten Form ausdrücken:

$$h \cdot CA = CO \cdot AO \cdot \sin ca.$$

Ebenso gelten die Relationen:

$$h \cdot CB = CO \cdot BO \cdot \sin cb$$

$$h \cdot DA = DO \cdot AO \cdot \sin da$$

$$h \cdot DB = DO \cdot BO \cdot \sin db,$$



und daraus folgt:

$$\frac{CA}{CB} : \frac{DA}{DB} = \frac{\sin ea}{\sin eb} : \frac{\sin da}{\sin db}.$$

**215.** In zwei projektiven Punktreihen (Strahlbüscheln) haben vier beliebige Punkte der einen Reihe (Strahlen des einen Büschels) das gleiche Doppelverhältnis wie die entsprechenden Punkte der andern Reihe (Strahlen des andern Büschels). Bringt man nämlich beide Reihen in perspektive Lage, so erscheinen sie als Schnitte eines und desselben Strahlbüschels. Nach dem vorausgehenden Satze haben dann zweimal vier Punkte, die sich in beiden Reihen entsprechen, das gleiche Doppelverhältnis wie die vier Strahlen, welche sie ausschneiden. Bringt man zwei projektive Strahlbüschel in perspektive Lage, so schneiden sich ihre entsprechenden Strahlen in den Punkten einer Geraden. Je zweimal vier Strahlen, die sich in beiden Büscheln entsprechen, haben das gleiche Doppelverhältnis wie die vier Punkte der Geraden, in denen sie sich schneiden.

**216.** Es gilt auch ganz allgemein der Satz: In zwei projektiven einförmigen Grundgebilden (Punktreihen, Strahlbüschel, Ebenenbüschel) weisen je vier Elemente des einen Gebildes das gleiche Doppelverhältnis auf wie die entsprechenden des andern. Für Punktreihen und Strahlbüschel ist der Beweis schon geführt; und er gilt offenbar in seiner ganzen Allgemeinheit, sobald gezeigt wird, daß vier Ebenen  $A, B, \Gamma, \Delta$  eines Büschels das gleiche Doppelverhältnis besitzen wie die vier Geraden  $a, b, c, d$ , die eine beliebige Ebene, oder wie die vier Punkte  $A, B, C, D$ , die eine beliebige Gerade aus ihnen ausschneidet. Legt man aber zur Achse des Ebenenbüschels einen Normalschnitt, so ist das Doppelverhältnis der von ihm ausgeschnittenen Strahlen  $a', b', c', d'$  gleich demjenigen der vier Ebenen, da ja je zwei dieser Strahlen den Winkel der bezüglichen Ebenen messen ( $\angle a'b' = \angle AB$ , u. s. f.). Ferner sind auch die Doppelverhältnisse  $(abcd)$  und  $(a'b'c'd')$  gleich, da beide Strahlbüschel perspektiv sind; somit kommt:  $(abcd) = (AB\Gamma\Delta)$ . Daß auch die vier Punkte  $ABCD$  das gleiche Doppelverhältnis besitzen, erkennt man, wenn man von einem Punkt auf der Achse des Ebenenbüschels vier Strahlen nach ihnen zieht. Denn diese vier Strahlen haben sowohl mit den vier Punkten der Reihe, als mit den vier Ebenen des Büschels das gleiche Doppelverhältnis. Damit ist unser Satz bewiesen.

**217.** Vom letzten Satze giebt es auch eine Umkehrung, die in gleicher Allgemeinheit gilt. Es genügt indessen den speziellen

Satz zu beweisen: Damit vier Punkte  $A, B, C, D$  und vier Strahlen  $a, b, c, d$  in perspektive Lage gebracht werden können, ist notwendig und hinreichend, daß ihre entsprechenden Doppelverhältnisse gleich sind. Aus diesem Satz folgt dann unmittelbar, daß man auch zweimal vier Punkte zweier Reihen, oder zweimal vier Strahlen zweier Büschel bei gleichem Doppelverhältnis in perspektive Lage bringen kann. Zum Beweise unseres Satzes verschieben wir den Träger der Punkte  $A, B, C, D$  so, daß  $A, B$  und  $C$  resp. auf  $a, b$  und  $c$  zu liegen kommen (175); dann ist zu zeigen, daß auch  $d$  durch den Punkt  $D$  geht. Schnitte nun  $d$  den Träger der Punktreihe bei seiner neuen Lage im Punkte  $D'$ , so wäre:

$$(ABCD) = (abcd) = (ABCD'),$$

woraus

$$DA:DB = D'A:D'B, \text{ oder } (DA - DB):DB = (D'A - D'B):D'B$$

folgt, und da das erste und dritte Glied der Proportion gleich sind, muß auch  $DB = D'B$  sein, d. h.  $D'$  muß mit  $D$  zusammenfallen.

**218.** Teilen die Punkte  $C, D$  das Punktepaar  $A, B$  harmonisch, so sind ihre Abstandsverhältnisse in Bezug auf dieses Paar entgegengesetzt gleich und das Doppelverhältnis der vier Punkte hat den Wert  $-1$ . Nach 195 sind die Punkte  $A, B, C, D$  projektiv zu den Punkten  $B, A, C, D$ ; sie haben also das gleiche Doppelverhältnis, und es ist:

$$\frac{CA}{CB} : \frac{DA}{DB} = \frac{CB}{CA} : \frac{DB}{DA}.$$

Die rechte Seite der Gleichung ist der reciproke Wert der linken, folglich muß das Doppelverhältnis den Wert  $\pm 1$  aufweisen. Der Wert  $+1$  ist aber ausgeschlossen, sonst müßte  $C$  mit  $D$  zusammenfallen. Damit ist unsere Behauptung erwiesen, daß  $(ABCD) = -1$ , oder  $\frac{CA}{CB} = -\frac{DA}{DB}$  ist.

Auch für die harmonische Lage von vier Strahlen  $a, b, c, d$  gilt die Relation:  $(abcd) = -1$ . Halbieren die Strahlen  $c$  und  $d$  im speziellen den Winkel und Nebenwinkel der Strahlen  $a$  und  $b$ , so sind ihre Sinusverhältnisse in Bezug auf die letzteren gleich der negativen und positiven Einheit, sie liegen also harmonisch (vergl. 204). Halbiert der Punkt  $C$  die Strecke  $AB$  und fällt der Punkt  $D$  ins Unendliche, so werden ihre Abstandsverhältnisse ebenfalls gleich der negativen und positiven Einheit, d. h. die vier Punkte liegen harmonisch (vergl. 204).

Daß unter den vier Punkten  $A, B, C, D$ , ohne ihre harmonische Beziehung zu zerstören, die in 199 angegebenen Vertauschungen stattfinden können, drückt sich in der Gleichheit der acht Doppelverhältnisse aus:

$$(ABCD) = (BACD) = (ABDC) = (BADC) = (CDAB) = (DCAB) = \\ = (CDBA) = (DCBA) = -1.$$

### Involutorische Grundgebilde.

**219.** Zwei projektive Punktreihen auf dem nämlichen Träger befinden sich in involutorischer Lage, wenn jedem Punkt des Trägers, mag man ihn zur ersten oder zweiten Reihe rechnen, der nämliche Punkt in der andern Reihe entspricht. Sind  $ABCDE \dots$  und  $A_1B_1C_1D_1E_1 \dots$  solche Reihen, so entspricht also dem Punkte  $A$  der ersten Reihe der Punkt  $A_1$  der zweiten, aber auch zugleich dem Punkte  $A$  der zweiten Reihe der Punkt  $A_1$  in der ersten. Und in gleicher Weise findet überhaupt zwischen den Punkten des gemeinsamen Trägers ein vertauschbares (doppeltes) Entsprechen statt. Dabei werden also die Punkte des Trägers in Paare  $AA_1, BB_1, CC_1, DD_1, EE_1, \dots$  geordnet, und die Punkte eines jeden Paares entsprechen sich, einerlei welchen man von ihnen als zur ersten und welchen als zur zweiten Reihe gehörig ansieht. In Rücksicht auf diesen Umstand sagt man: Die Punktepaare  $AA_1, BB_1, CC_1, DD_1, \dots$  sind involutorisch, oder sie bilden eine Involution.<sup>7)</sup>

**220.** Daß man zwei projektive Punktreihen stets in involutorische Lage bringen kann, werden wir weiterhin sehen. Zunächst stellen wir den Satz auf: Zwei projektive Punktreihen auf dem nämlichen Träger sind involutorisch, sobald es ein Paar getrennter (nicht zusammenfallender) Punkte giebt, die sich vertauschbar entsprechen. Sind nämlich  $A, A_1, B, C, D, \dots$  und  $A_1, A, B_1, C_1, D_1, \dots$  entsprechende Punkte der projektiven Reihen und entspricht dem Punkte  $B_1$  der ersten Reihe in der zweiten der Punkt  $B$ , so sind die vier Punkte  $A, A_1, B, B_1$  projektiv zu den vier Punkten  $A_1, A, B_1, B$  und nach 190 auch zu den vier Punkten  $A, A_1, B', B_1$ . Nun fallen aber drei Punkte der Reihe  $A, A_1, B, B_1$  mit den entsprechenden der projektiven Reihe  $A, A_1, B', B_1$  zusammen, folglich müssen nach 180 auch  $B'$  und  $B$  sich decken. Demnach findet auch zwischen den Punkten  $B$  und  $B_1$  der gegebenen Reihen ein vertauschbares Entsprechen statt; damit ist aber unser Satz bewiesen.

Insbesondere entspricht dem unendlich fernen Punkt des Trägers,

mag man ihn als Punkt der ersten oder zweiten Reihe nehmen, der nämliche Punkt in der andern Reihe. Die Gegenpunkte der beiden projektiven Reihen decken sich also bei involutorischer Lage. Dieser Punkt heißt der Mittelpunkt der Involution, er bildet mit dem unendlich fernen Punkt zusammen ein Punktepaar desselben.

**221.** Zwei beliebige projektive Punktreihen kann man in involutorische Lage bringen, indem man die eine so verschiebt, daß ihre Träger und ihre Gegenpunkte sich decken. Denn dann bildet dieser Punkt mit dem unendlich fernen Punkt ein Paar sich vertauschbar entsprechender Punkte beider Reihen; deshalb muß nach dem Satz der vorangehenden Nummer das Entsprechen der Punkte beider Reihen immer ein vertauschbares sein, und die Reihen liegen involutorisch.

**222.** Liegen zwei projektive Punktreihen auf der nämlichen Geraden, so hat man bezüglich ihrer Anordnung zwei verschiedene Fälle zu unterscheiden. Wir lassen einen Punkt der ersten Reihe den Träger in einer bestimmten Richtung durchlaufen. Dann wird der entsprechende Punkt der zweiten Reihe den Träger entweder ebenfalls in der gleichen Richtung wie der erste Punkt durchlaufen, oder in der dazu entgegengesetzten Richtung. Im ersten Falle nennt man die projektiven Punktreihen auf dem nämlichen Träger gleichlaufend, im zweiten Falle entgegengelaufend.

Sind zwei involutorische Punktreihen gleichlaufend, und bilden  $AA_1$  irgend ein Paar entsprechender Punkte, dann entspricht

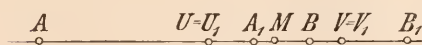


Fig. 149a u. b.

jedem Punkt auf der Strecke  $AA_1$  ein Punkt außerhalb; sind sie aber entgegengelaufend, dann entspricht jedem Punkt auf der Strecke  $AA_1$  wieder ein solcher Punkt und

jedem Punkt außerhalb wieder ein Punkt außerhalb. Denn bewegt sich im ersten Falle (Fig. 149a) ein Punkt der ersten (oder zweiten) Reihe von  $A$  nach  $A_1$ , so bewegt sich der entsprechende Punkt von  $A_1$  ins Unendliche und auf der andern Seite aus dem Unendlichen zurückkommend nach  $A$ ; es liegen also niemals beide Punkte gleichzeitig auf der Strecke  $AA_1$ . Bewegt sich aber im zweiten Fall (Fig. 149b) ein Punkt der ersten (oder zweiten) Reihe von  $A$  nach  $A_1$ , so bewegt sich der entsprechende Punkt von  $A_1$  in entgegengesetzter Richtung nach  $A$ ; es liegen also beide Punkte gleichzeitig auf der Strecke  $AA_1$ , oder gleichzeitig außerhalb der-

selben. Wenden wir dieses Resultat auf den Mittelpunkt und den entsprechenden unendlich fernen Punkt der Reihen an, so kommt der Satz: Bei gleichlaufenden involutorischen Punktreihen wird jedes Paar entsprechender Punkte durch den Mittelpunkt der Involution getrennt, bei entgegengelauenden Reihen geschieht dies nicht. In Fig. 149 ist der Mittelpunkt mit  $M$  bezeichnet.

**223.** Entgegengelauende involutorische Reihen besitzen zwei sich selbst entsprechende Punkte oder Doppelpunkte der Involution; diese liegen zu jedem Punktepaar der Involution harmonisch. Gleichlaufende involutorische Reihen besitzen solche Doppelpunkte nicht.

Nach dem Vorhergehenden ist das letztere selbstverständlich. Bei entgegengelauenden Reihen muß ein Punkt, der sich von  $A$  nach  $A_1$  bewegt, einmal seinem entsprechenden, der sich von  $A_1$  nach  $A$  bewegt, auf dieser Strecke begegnen, das liefert den einen Doppelpunkt  $U = U_1$  (Fig. 149b). Bewegt sich aber der erstere Punkt von  $A$  durchs Unendliche nach  $A_1$ , so bewegt sich der letztere von  $A_1$  durchs Unendliche nach  $A$ , und wiederum muß eine Begegnung stattfinden, aber dieses Mal außerhalb der Strecke  $AA_1$ , das liefert den andern Doppelpunkt  $V = V_1$ . Den Punkten  $A, A_1, U, V$  der einen Reihe entsprechen die Punkte  $A_1, A, U, V$  der andern; wenn aber die Punkte  $A, A_1, U, V$  zu den Punkten  $A_1, A, U, V$  projektiv sind, so liegen sie nach 195 harmonisch. Der Mittelpunkt bildet mit dem unendlich fernen Punkt des Trägers zusammen ein Punktepaar der Involution. Dieses Paar liegt ebenfalls zu den Doppelpunkten harmonisch; folglich halbiert der Mittelpunkt einer Involution die Entfernung ihrer beiden Doppelpunkte.

**224.** Kennt man von einer Involution zwei Paare entsprechender Punkte  $AA_1$  und  $BB_1$ , so ist die Involution bestimmt und man kann zu jedem weiteren Punkt den entsprechenden konstruieren. Sei etwa  $C$  ein beliebiger Punkt der Involution und  $C_1$  der entsprechende, dann müssen diese beiden Punkte nur die Bedingung erfüllen, daß die vier Punkte  $A, B, C, C_1$  projektiv zu den vier Punkten  $A_1, B_1, C_1, C$  sind. Es besteht ja alsdann ein vertauschbares Entsprechen zwischen  $C, C_1$  und somit nach 220 auch zwischen  $A, A_1$ , sowie zwischen  $B, B_1$ .

Zur Konstruktion ziehe man durch  $C$  eine beliebige Gerade und wähle auf ihr zwei beliebige Punkte  $J$  und  $K$  (Fig. 150). Darauf verbinde man  $K$  mit  $A$  und  $B$ , sowie  $J$  mit  $A_1$  und  $B_1$ ; dann schneidet die Gerade, welche durch  $L = KA \times JB_1$  und  $M$



$= KB \times JA_1$  geht, auf dem Träger den Punkt  $C_1$  aus. Es sind nämlich die Punkte  $A, B, C, C_1$  vom Centrum  $K$  aus perspektiv zu

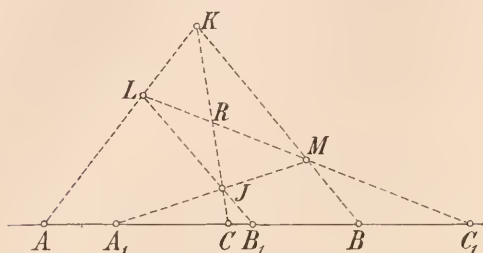


Fig. 150.

den Punkten  $L, M, R, C_1$ ; diese sind wiederum vom Centrum  $J$  aus perspektiv zu den Punkten  $B_1, A_1, C, C_1$  und die letzteren sind nach 190 projektiv zu den Punkten  $A_1, B_1, C_1, C$ . Damit sind aber auch die erstgenannten Punkte zu den letztgenannten projektiv,

was unsern Satz beweist. Insbesondere kann man in dieser Weise den Mittelpunkt der Involution als den entsprechenden zum unendlich fernen konstruieren.

Aus unserer Figur folgt zugleich ein weiterer Satz.  $JMKL$  sind die Eckpunkte eines vollständigen Vierecks, dessen drei Paar Gegenseiten die Punktpaare  $AA_1, BB_1$  und  $CC_1$  der Involution ausschneiden. Jede Gerade schneidet die drei Paar Gegenseiten eines vollständigen Vierecks in drei Punktpaaren einer Involution.

**225.** Nach 221 gelangen zwei projektive Punktreihen dadurch in involutorische Lage, daß man sie so aufeinander legt, daß ihre Träger und ihre Gegenpunkte sich decken. Man kann sich nun leicht davon überzeugen, daß in der neuen Lage das Entsprechen der Punkte vertauschbar ist. Sind  $g$  und  $g_1$  die Träger zweier Punktreihen in perspektiver Lage;

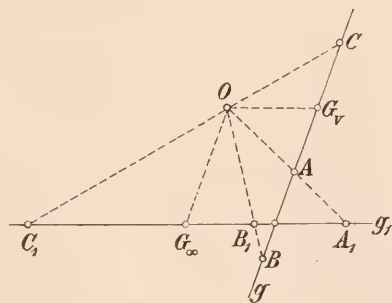


Fig. 151.

dann seien  $G_v$  und  $G_\infty$  ihre Gegenpunkte,  $A$  und  $A_1$  irgend zwei entsprechende Punkte und  $O$  das Centrum der Perspektive (Fig. 151). Bestimmt man jetzt auf  $g$  die beiden Punkte  $B_1$  und  $C$ , so daß  $G_v A = G_v C = G_\infty B_1$  ist, dann gilt für die entsprechenden Punkte  $B$  und  $C_1$  die Relation:  $G_\infty A_1 = G_\infty C_1 = G_v B$ . Denn die Dreiecke  $AG_v O$  und  $OG_\infty A_1$  sind ähnlich, also wird:  $G_v A \cdot G_\infty A_1 = OG_v \cdot OG_\infty$ . Ebenso sind die Dreiecke  $BG_v O$  und  $OG_\infty B_1$  ähnlich und es folgt:  $G_v B \cdot G_\infty B_1 = OG_v \cdot OG_\infty$ . Die rechten Seiten dieser Gleichungen sind identisch und somit folgt aus  $G_\infty B_1 = G_v A$  die Gleichheit

und  $OG_\infty A_1$  sind ähnlich, also wird:  $G_v A \cdot G_\infty A_1 = OG_v \cdot OG_\infty$ . Ebenso sind die Dreiecke  $BG_v O$  und  $OG_\infty B_1$  ähnlich und es folgt:  $G_v B \cdot G_\infty B_1 = OG_v \cdot OG_\infty$ . Die rechten Seiten dieser Gleichungen sind identisch und somit folgt aus  $G_\infty B_1 = G_v A$  die Gleichheit

der Strecken  $G_v B = G_\infty A_1$ . In gleicher Weise ergibt sich auch  $G_v B = G_\infty C_1$ .

Bringt man nun die Träger  $g$  und  $g_1$  und zugleich  $G_v$  mit  $G_\infty$  zur Deckung, so kann das in doppelter Weise geschehen. Im einen Fall deckt sich  $A$  mit  $B_1$  und  $B$  mit  $A_1$ ; die Punkte  $A = B_1$  und  $B = A_1$  entsprechen sich dann vertauschbar. Im andern Fall deckt sich  $B$  mit  $C_1$  und  $C$  mit  $B_1$ ; hierbei entsprechen sich also die Punkte  $B = C_1$  und  $C = B_1$  vertauschbar. Da der Punkt  $A$  der Reihe  $g$  beliebig gewählt wurde, so erkennt man die Richtigkeit der obigen Behauptung.

**226.** Zum Schluß mag noch einer metrischen Beziehung bei den involutorischen Reihen gedacht werden. Zu den Punkten  $A, B, M, \infty$  sind die Punkte  $A_1, B_1, \infty, M$  projektiv; wobei  $M$  der Mittelpunkt der Involution und  $\infty$  ihr unendlich ferner Punkt ist.

Aus der Gleichheit der Doppelverhältnisse  $(ABM\infty)$  und  $(A_1B_1\infty M)$  ergibt sich  $\frac{MA}{MB} = 1 : \frac{MA_1}{MB_1}$ , denn  $\frac{\infty A}{\infty B} = 1$ . Daraus folgt weiter:  $MA \cdot MA_1 = MB \cdot MB_1$ . Da aber  $AA_1$  und  $BB_1$  ganz willkürliche Punktepaare der Involution sind, so gilt der Satz: Das Produkt der Abstände je zweier entsprechender Punkte einer Involution von ihrem Mittelpunkt ist konstant. Hat dieses Produkt einen positiven Wert  $+c$ , so bestimmen sich die Doppelpunkte  $U = U_1$  und  $V = V_1$  durch die Relation:  $(MU)^2 = (MV)^2 = +c$ , während für den negativen Wert  $-c$  eine solche Gleichung nicht existieren kann.

**227.** Die obigen Definitionen und Sätze lassen sich mit Leichtigkeit auf die übrigen einförmigen Grundgebilde ausdehnen. Ebenso wie für Punktreihen auf derselben Geraden gelten sie auch für Strahlbüschel mit demselben Scheitel und in derselben Ebene und für Ebenenbüschel mit derselben Achse. Man erhält z. B. zwei involutorische Strahlbüschel oder eine Involution von Strahlen, wenn man zwei involutorisch liegende Punktreihen aus einem außerhalb gelegenen Centrum projiziert, und analog erhält man eine Involution von Ebenen durch Projektion aus einer Strahleninvolution. Umgekehrt ergibt jeder ebene Schnitt einer Ebeneninvolution eine solche von Strahlen und jeder geradlinige Schnitt einer Strahleninvolution eine solche von Punkten. Es mag hier genügen, das Wichtigste bezüglich der involutorischen Strahlbüschel hervorzuheben.

**228.** Zwei projektive Strahlbüschel mit gemeinsamem Scheitel liegen involutorisch, wenn zwischen ihren Strahlen ein vertauschbares Entsprechen stattfindet. Besteht zwischen

einem Paare getrennter Strahlen ein vertauschbares Entsprechen, so ist das Entsprechen auch für die übrigen Strahlen vertauschbar; sie bilden die Strahlenpaare einer Involution. Zwei involutorische Strahlenbüschel sind entweder gleichlaufend, oder entgegenlaufend, je nachdem entsprechende Strahlen sich in gleichem oder entgegengesetztem Sinne drehen. Im letzteren Falle giebt es zwei sich selbst entsprechende oder Doppelstrahlen.

**229.** Zwei Paare entsprechender Strahlen einer Involution bestimmen diese vollständig, und man kann zu jedem weiteren Strahl derselben den entsprechenden konstruieren. Sind etwa  $aa_1$  und  $bb_1$  zwei Strahlenpaare der Involution und soll zu  $c$  der entsprechende Strahl  $c_1$  gesucht werden,

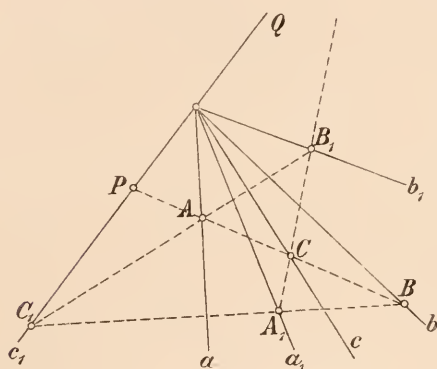


Fig. 152.

so wähle man auf  $c$  einen beliebigen Punkt  $C$  und ziehe durch ihn zwei beliebige Strahlen (Fig. 152). Der eine von ihnen mag  $a$  in  $A$  und  $b$  in  $B$ , der andere mag  $a_1$  in  $A_1$  und  $b_1$  in  $B_1$  schneiden; dann liegt der Schnittpunkt  $C_1 = A_1B \times AB_1$  auf einem Strahl  $c_1$ , der mit  $c$  ein Strahlenpaar der Involution bildet. Zum Beweise bezeichne man noch  $P = c_1 \times AB$  und  $Q = c_1 \times A_1B_1$ ,

so ist:  $(abcc_1) = (ABCP)$  als Schnitt des Büschels, ferner  $(ABCP) = (B_1A_1CQ)$ , da beide Reihen aus dem Centrum  $C_1$  perspektiv liegen. Weiter ist  $(B_1A_1CQ) = (b_1a_1cc_1)$  und endlich  $(b_1a_1cc_1) = (a_1b_1c_1c)$  nach 190; also wird auch  $(abcc_1) = (a_1b_1c_1c)$ , d. h. die Strahlen  $c$  und  $c_1$  entsprechen sich vertauschbar und die Strahlenpaare  $aa_1$ ,  $bb_1$ ,  $cc_1$  gehören einer Involution an. Diese Konstruktion liefert noch den Satz: Verbindet man die drei Paar Gegenecken eines vollständigen Vierseits mit einem beliebigen Punkt seiner Ebene, so erhält man drei Strahlenpaare einer Involution.

**230.** In jeder Strahleninvolution giebt es ein Paar entsprechender Strahlen, die aufeinander senkrecht stehen. Nach 183 sahen wir, daß es in zwei projektiven Strahlbüscheln zwei entsprechende rechte Winkel giebt, die wie früher mit  $x \perp y$  und  $x_1 \perp y_1$  bezeichnet sein mögen. Legen wir nun die beiden projektiven Strahlbüschel so aufeinander, daß die nicht entsprechenden Schenkel der entsprechenden rechten Winkel sich decken, so sind

die Büschel in involutorischer Lage und  $x = y_1$ ,  $y = x_1$  bilden ein Paar rechtwinkliger Strahlen, die sich vertauschbar entsprechen.

Leicht überzeugt man sich, daß bei einer solchen Übereinanderlagerung der beiden Büschel entsprechende gleich große Winkel zur Deckung gelangen, indem die nicht entsprechenden Schenkel dieser Winkel zusammenfallen. Um diese Verhältnisse zu überblicken, bringe man die Strahlbüschel  $S$  und  $S_1$  in eine solche perspektive Lage, daß die Strahlen  $x$  und  $x_1$  sich decken (Fig. 153). Sind hier  $a$  und  $a_1$  entsprechende Strahlen, so geht die Perspektivitätsachse  $e_1$  durch  $A = a \times a_1$  und ist zu  $y \parallel y_1$  parallel. Wir tragen jetzt am Scheitel  $S$  zu beiden Seiten des Strahles  $x$  und am Scheitel  $S_1$  zu

beiden Seiten des Strahles  $y_1$  den willkürlich gewählten Winkel  $\varphi$  an. Die so erhaltenen neuen Winkelschenkel mögen durch  $a, d, b_1, c_1$  bezeichnet werden, ihre Schnittpunkte mit der Perspektivitätsachse durch  $A, D, B, C$  und die zu ihnen perspektiv liegenden Strahlen durch  $a_1, d_1, b, c$ . Dann sind die rechtwinkligen Dreiecke  $SXA$  und  $BXS_1$  ähnlich, da ihre Winkel bei  $S$  und  $B$  gleich  $\varphi$

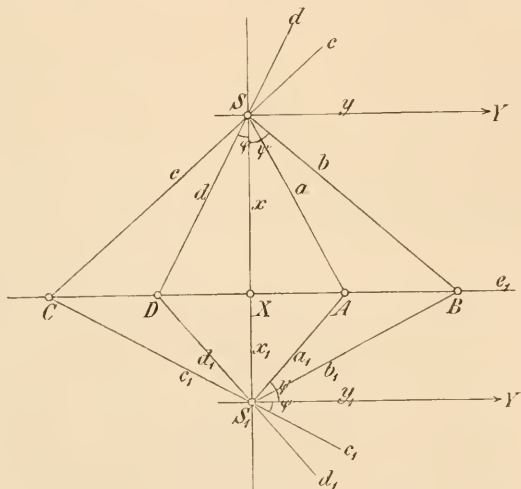


Fig. 153.

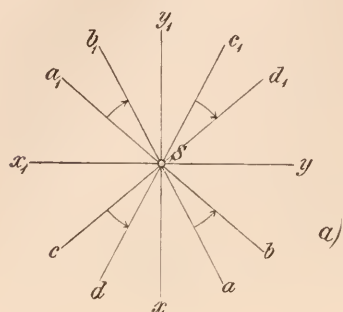
sind, also:  $S_1X:XA = BX:XS$ . Folglich sind auch die rechtwinkligen Dreiecke  $S_1XA$  und  $BXS$  ähnlich und es ist:  $\angle BSX = \angle S_1AX$ , oder  $\angle bx = \angle a_1y_1$ . Bezeichnet man die Größe dieser beiden Winkel mit  $\psi$ , so kommt:

$$\angle ab = \angle a_1b_1 = \angle cd = \angle c_1d_1 = \psi - \varphi.$$

Ebenso findet man:  $\angle ac = \angle a_1c_1 = \angle bd = \angle b_1d_1 = \psi + \varphi$ .

Man kann nun beide Büschel  $S$  und  $S_1$  zur Deckung bringen, indem man  $x_1$  mit  $y$  und  $y_1$  mit  $x$  zusammenfallen läßt. Das kann aber noch in doppelter Weise geschehen, wie die Figg. 154 a und 154 b erkennen lassen. Im ersten Fall decken sich die gleichen Winkel  $ab$  und  $b_1a_1$ , sowie  $cd$  und  $d_1c_1$ ; im zweiten Fall decken sich die Winkel  $ac$  und  $c_1a_1$ , sowie  $bd$  und  $d_1b_1$ . Im ersten Fall entspricht einer Drehung des Strahles  $x$  durch die Lage  $a$  hindurch

nach  $y$  die Drehung des Strahles  $x_1 = y$  durch die Lage  $a_1 = b$  hindurch nach  $y_1 = x$ ; wir haben es hier mit entgegengelauenden



involutorischen Strahlbüscheln zu thun. Im zweiten Fall entspricht einer Drehung des Strahles  $x$  durch die Lage  $a$  hindurch nach  $y$  die Drehung des Strahles  $x_1 = y$  durch die Lage  $a_1 = c$  hindurch nach  $y_1 = x$ ; die involutorischen Strahlbüschel sind also hier gleichlaufend.

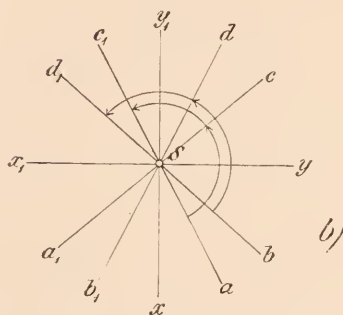


Fig. 154.

**231.** Geht man im speziellen von zwei kongruenten Strahlbüscheln aus und wählt irgend zwei rechtwinklige Strahlen  $x$  und  $y$  im ersten Büschel, so entsprechen ihnen auch zwei rechtwinklige Strahlen  $x_1$  und  $y_1$  im zweiten. Sind ferner  $a$  und  $b$  zwei andere rechtwinklige Strahlen des ersten Büschels und  $a_1$  und  $b_1$  die entsprechenden rechtwinkligen im zweiten, so hat man  $\angle xa = \angle yb = \angle x_1 a_1 = \angle y_1 b_1$ . Nun lege man beide Büschel so aufeinander, daß  $y_1$  auf  $x$  und  $b_1$  auf  $a$  fällt, dann deckt

sich auch  $x_1$  mit  $y$  und  $a_1$  mit  $b$ ; d. h. jetzt sind die beiden Strahlbüschel in involutorischer Lage und die Strahlen jedes der beiden Paare  $xx_1$  und  $aa_1$  unserer Involution stehen senkrecht aufeinander. Jedes Strahlenpaar der Involution hat aber die gleiche Eigenschaft, denn der Strahl  $a$  war beliebig gewählt. Es gibt eine spezielle Involution von Strahlen, bei der je zwei entsprechende Strahlen zu einander normal sind.

**232.** Beizweientgegengelauendeninvolutorischen Strahlbüscheln gibt es zwei sich selbst entsprechende oder Doppelstrahlen, bei gleichlaufenden giebtessolche Strahlen nicht. Die Doppelstrahlen lassen sich leicht konstruieren, wenn man von der in 230 angenommenen perspektiven Lage der beiden Strahlbüschel  $S$  und  $S_1$  ausgeht. Sind nämlich  $SU$  und  $S_1U$  zwei perspektive Strahlen (Fig. 155) und sollen dieselben bei der Vereinigung der Büschel zur Involution zur Deckung kommen, so muß  $\angle x_1 u_1 = \angle yu$  sein, und da  $x_1 \perp y$  ist, folgt  $u_1 \perp u$ . Beschreibt man daher über  $SS_1$  als Durchmesser einen Kreis, so schneidet er



die Perspektivitätsachse  $e_1$  in Punkten  $U$  und  $V$ , die mit  $S$  resp.  $S_1$  verbunden die gesuchten Strahlen  $u, v$  resp.  $u_1, v_1$  liefern. Aus dieser Konstruktion folgt unmittelbar: Die beiden Geraden, welche Winkel und Nebenwinkel der beiden Doppelstrahlen einer Involution halbieren, sind ihre entsprechenden rechtwinkligen Strahlen.

Aus denselben Gründen wie oben für die Punktreihen folgt noch der Satz: Bei zwei entgegenlaufenden involutorischen Strahlbüscheln werden je zwei einander vertauschbar entsprechende Strahlen durch die Doppelstrahlen harmonisch getrennt.

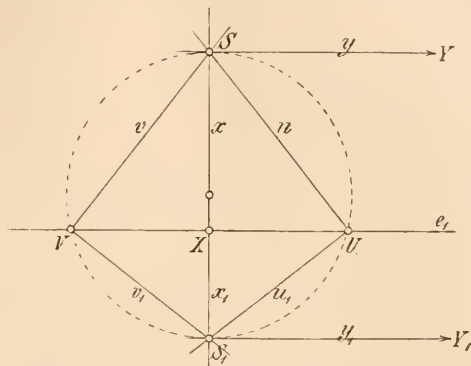


Fig. 155.

**233.** Auch für die involutorischen Strahlbüschel soll noch zum Schluß eine metrische Beziehung abgeleitet werden. Sind  $aa_1$  und  $bb_1$  zwei beliebige und ist  $xx_1$  das rechtwinklige Strahlenpaar einer Involution, so haben wir gleiche Doppelverhältnisse  $(abx_1) = (a_1b_1x_1x)$  oder:

$$\frac{\sin xa}{\sin xb} : \frac{\sin x_1a}{\sin x_1b} = \frac{\sin x_1a_1}{\sin x_1b_1} : \frac{\sin xa_1}{\sin xb_1}.$$

Da aber  $\angle xa + \angle ax_1 = R$  ist, so ist:  $\sin x_1a = \cos xa$ , und ähnliche Relationen gelten für die andern Strahlen. Dadurch geht unsere Gleichung über in:

$$\tan xa : \tan xb = \tan x_1b_1 : \tan xa_1;$$

also findet man:

$$\tan xa \cdot \tan xa_1 = \tan xb \cdot \tan x_1b_1 = \text{const.},$$

da ja die beiden Strahlenpaare  $aa_1$  und  $bb_1$  völlig beliebig aus der Involution gewählt sind. Dieses Resultat führt zu dem Satz: Je zwei entsprechende Strahlen einer Involution schließen mit einem der beiden sich entsprechenden rechtwinkligen Strahlen zwei Winkel ein, für welche das Produkt ihrer trigonometrischen Tangenten konstant ist.

Sind zwei involutorische Punktreihen oder Strahlbüschel gegeben — etwa durch Angabe zweier Paare von einander vertausch-

bar entsprechenden Elementen — so entsteht die Frage nach der Konstruktion ihrer Doppelemente. Die einfachsten Hilfsmittel hierzu werden wir später kennen lernen.

## FÜNFTES KAPITEL.

### Die Kegelschnitte als Kreisprojektionen.

**Perspektivität zweier Kreise. Pol und Polare beim Kreise. Involutorische Centralprojektion in der Ebene. Perspektivität zweier Kreise im Raume.**

**234.** Es ist bekannt, daß zwei beliebige Kreise einer Ebene in doppelter Weise als ähnliche und ähnlich liegende Figuren angesehen werden können (vergl. 4). Dabei entsprechen sich die Mittelpunkte und die Endpunkte je zweier paralleler Radien. Sind die Radien gleichgerichtet, so geht die Verbindungslinie ihrer Endpunkte stets durch den äußeren, dagegen durch den inneren Ähnlichkeitspunkt, falls die Radien entgegengesetzte Richtung haben. Die Ähnlichkeit kann als spezieller Fall der Perspektive angesehen werden, wobei die Achse der Perspektive ins Unendliche gerückt ist. Es gilt aber auch weiter noch der Satz: Zwei beliebige Kreise  $k$  und  $k_1$  einer Ebene stehen auf doppelter Weise in perspektiver Beziehung; dabei bildet einer der beiden Ähnlichkeitspunkte das Centrum und ihre gemeinsame Potenzlinie die Achse der Perspektive.

Zur Erklärung erinnern wir an folgende elementare Sätze. Das Streckenprodukt  $SP \cdot SQ$  hat für alle durch einen Punkt  $S$  gezogenen Sehnen  $PQ$  eines Kreises  $k$  denselben Wert und heißt die Potenz des Punktes  $S$  in Bezug auf den Kreis  $k$ . Diese Potenz läßt sich auch in der Form  $(SM)^2 - r^2$  schreiben, wenn  $M$  das Centrum und  $r$  der Radius von  $k$  ist. Der geometrische Ort aller Punkte gleicher Potenz in Bezug auf zwei Kreise  $k$  und  $k_1$  ist eine Gerade, welche die gemeinsame Potenzlinie oder Chordale genannt wird. Sie steht auf der gemeinsamen Centralen (Verbindungslinie der beiden Kreiscentren) senkrecht, liegt außerhalb der beiden

Kreise, wenn diese sich nicht treffen (Fig. 156), oder verbindet ihre Schnittpunkte, wenn es solche giebt (Fig. 158). Von diesem letzteren Umstande rührt die Bezeichnung Chordale her; daß ihre Punkte in Bezug auf beide Kreise die gleiche Potenz haben, ist selbstverständlich. Daß es auch eine gemeinsame, zur Centralen senkrechte Potenzlinie giebt, wenn die Kreise  $k$  und  $k_1$  sich nicht schneiden, folgt so. Ist  $S$  ein beliebiger Punkt gleicher Potenz in Bezug auf  $k$  und  $k_1$ , so ist:  $(SM)^2 - r^2 = (SM_1)^2 - r_1^2$ . Ist ferner  $E$  der Fußpunkt des aus  $S$  auf die Centrale  $MM_1$  gefällten Lotes und subtrahiert man  $(SE)^2$  von dieser Gleichung, so kommt:

$(EM)^2 - r^2 = (EM_1)^2 - r_1^2$ , also ist auch  $E$  ein Punkt gleicher Potenz.

Für drei Kreise gilt der Satz, daß die drei Potenzlinien, welche je zwei von ihnen bestimmen, sich in einem Punkte schneiden. Denn der Schnittpunkt zweier Potenzlinien ist ein Punkt gemeinsamer Potenz für alle drei Kreise, liegt also auch auf der dritten Potenz-

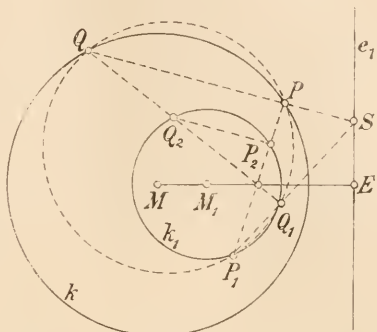


Fig. 156.

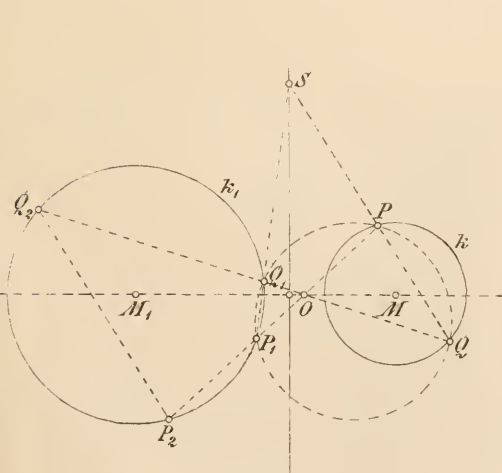


Fig. 157.

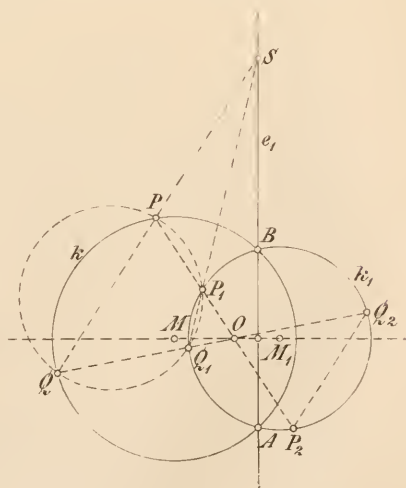


Fig. 158.

linie. Diesen Satz kann man benutzen, um die Potenzlinie zweier sich nicht schneidender Kreise  $k$  und  $k_1$  zu zeichnen. Zieht man nämlich einen beliebigen Hilfskreis, der  $k$  und  $k_1$  schneidet, dann

schneiden sich die so bestimmten Chordalen in einem Punkt der gesuchten Potenzlinie.

**235.** Wir wollen nun die vorher behauptete perspektive Lage der beiden Kreise  $k$  und  $k_1$  nachweisen. Dabei ist es gleichgültig, ob die Kreise  $k$  und  $k_1$  sich gegenseitig ausschließen (Fig. 157), oder schneiden (Fig. 158), oder einer den andern einschließt (Fig. 156).

Ist  $O$  der äußere oder innere Ähnlichkeitspunkt der beiden Kreise  $k$  und  $k_1$ , so läßt sich auf den Strahlen durch  $O$  jedem Punkt  $P$  auf  $k$  ein bestimmter Punkt  $P_1$  auf  $k_1$  als entsprechender Punkt zuordnen. Freilich schneidet der Strahl  $OP$  aus  $k_1$  noch zwei Punkte  $P_1$  und  $P_2$  aus; aber einer von ihnen, etwa  $P_2$ , ist der zu  $P$  ähnlich liegende Punkt des Kreises  $k_1$  und ist dadurch charakterisiert, daß die Radien  $MP$  und  $M_1P_2$  parallel sind. Wir lassen nun je zwei Punkte der Kreise  $k$  und  $k_1$  einander entsprechen, die sich auf einem Strahle durch  $O$  befinden, aber nicht parallelen Radien angehören, also nicht ähnlich liegen, so z. B. die Punkte  $P$  und  $P_1$ ,  $Q$  und  $Q_1$  u. s. f. Auf diese Weise gehört zu jedem Punkt des einen Kreises ein und nur ein Punkt des andern, und wir werden jetzt zeigen, daß hierdurch die beiden Kreise in perspektive Beziehung gebracht sind. Einerseits laufen ja die Verbindungslinien entsprechender Punkte durch den festen Punkt  $O$ , der das Centrum der Perspektive bildet. Andererseits müssen sich entsprechende Gerade auf einer festen Geraden, der Achse der Perspektive, schneiden. Das ist in der That der Fall, denn eine ganz beliebig gewählte Sehne  $PQ$  von  $k$  und die entsprechende Sehne  $P_1Q_1$  von  $k_1$  treffen sich immer in einem Punkt der gemeinsamen Potenzlinie  $e_1$  beider Kreise, die somit die Achse der Perspektive darstellt. Um dies zu erkennen, beachte man (Figg. 156, 157, 158), daß die Sehnen  $PQ$  und  $P_2Q_2$  ähnlich liegen, also parallel sind, und daß deshalb aus der Gleichheit der Winkel in  $P_1$  und  $Q_2$  (als Centriwinkel über dem Kreisbogen  $P_2Q_1$ ) die Gleichheit der Winkel in  $P_1$  und  $Q$  folgt. Hiernach kann man durch die vier Punkte  $PQP_1Q_1$  einen Hilfskreis legen, und dieser bestimmt mit  $k$  die Chordale  $PQ$  und mit  $k_1$  die Chordale  $P_1Q_1$ ; beide müssen sich aber nach dem früher erwähnten Satze auf der gemeinsamen Potenzlinie  $e_1$  von  $k$  und  $k_1$  schneiden.

**236.** Wir haben in der vorigen Nummer nachgewiesen, daß die beiden Kreise  $k$  und  $k_1$  sich in perspektiver Lage befinden, wobei wir allerdings von der Annahme ausgingen, daß das Centrum der Perspektive stets einer der beiden Ähnlichkeitspunkte sei. Wir haben nun nachträglich noch den Beweis zu führen, daß in der

That nur ein Ähnlichkeitspunkt das Perspektivitätscentrum bilden kann. Zunächst zeigen wir, daß dieses auf der Centrale  $MM_1$  liegen muß. Entsprechende Tangenten der Kreise  $k$  und  $k_1$  schneiden sich auf der Achse  $e_1$ , deren Lage wir freilich noch nicht kennen. Insbesondere entsprechen den zu  $e_1$  parallelen Tangenten des einen Kreises die zu  $e_1$  parallelen Tangenten des andern. Somit entsprechen sich auch ihre Berührungspunkte und die sie verbindenden Durchmesser, die zu  $e_1$  normal sind. Da sich aber beide als entsprechende Gerade auf der Achse  $e_1$  schneiden müssen, liegen sie auf der nämlichen Normalen zur Achse. So sehen wir denn, daß die Centrale  $MM_1$  der beiden Kreise zur Achse  $e_1$  der Perspektive

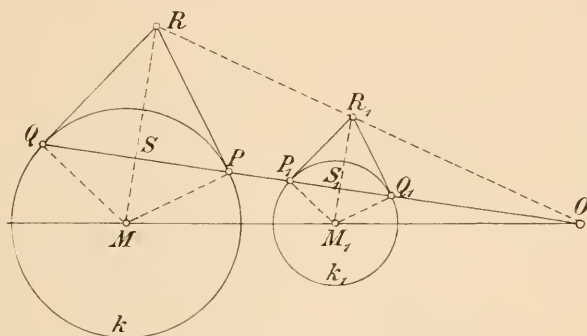


Fig. 159.

senkrecht ist und als Träger entsprechender Punkte durch das Centrum  $O$  der Perspektive hindurchgeht.

Sind jetzt  $P, P_1$  zwei entsprechende Punkte der Kreise  $k$  und  $k_1$ , so schneidet  $PP_1$  auf  $MM_1$  das Centrum  $O$  aus und trifft die Kreise noch in zwei weiteren entsprechenden Punkten  $Q$  und  $Q_1$ . Auch die Tangenten an  $k_1$  in  $P_1$  und  $Q_1$  und ihr Schnittpunkt  $R_1$  entsprechen den Tangenten an  $k$  in  $P$  und  $Q$  und deren Schnittpunkt  $R$  (Fig. 159); deshalb muß auch  $RR_1$  durch  $O$  gehen. Zugleich sind  $RM$  und  $R_1M_1$  senkrecht zu dem Strahle  $OP$  und halbieren die Sehnen  $PQ$  und  $P_1Q_1$  in  $S$  resp.  $S_1$ . Nun sind die rechtwinkligen Dreiecke  $MPR$  und  $M_1Q_1R_1$  ähnlich und, vom Centrum  $O$  aus gesehen, in ähnlicher Lage. Denn  $MR$  und  $M_1R_1$  sind ähnlich gelegen, und das zu  $\triangle MPR$  ähnlich liegende Dreieck mit der Seite  $M_1R_1$  muß seine dritte Ecke auf  $OP$  haben und rechtwinklig sein, da  $\angle MPR = 90^\circ$  ist. Es giebt aber nur zwei solche Dreiecke, nämlich  $M_1Q_1R_1$  und  $M_1P_1R_1$ , also muß eines von ihnen und zwar  $\triangle M_1Q_1R_1$  zu  $\triangle MPR$  ähnlich liegen. Demnach ist  $MP \parallel M_1Q_1$ , so daß



$P$  und  $Q_1$  ähnlich liegende Punkte auf  $k$  und  $k_1$  sind und  $O$  das zugehörige Ähnlichkeitscentrum ist.

**237.** Es giebt unendlich viele perspektive Beziehungen oder Centralprojektionen in der Ebene, die einen gegebenen Kreis in sich selbst überführen. Die Achse oder das Centrum der Perspektive kann beliebig angenommen werden. Aus der perspektiven Beziehung eines Kreises zu einem zweiten läßt sich in einfachster Weise auch die perspektive Beziehung eines Kreises zu sich selbst ableiten. Sei  $k_1$  ein Kreis und  $e_1$  irgend eine Gerade in seiner Ebene, so bestimme man zunächst den zu  $k_1$  in Bezug auf  $e_1$  symmetrischen Kreis  $k$ . Betrachtet man  $k_1$  als das

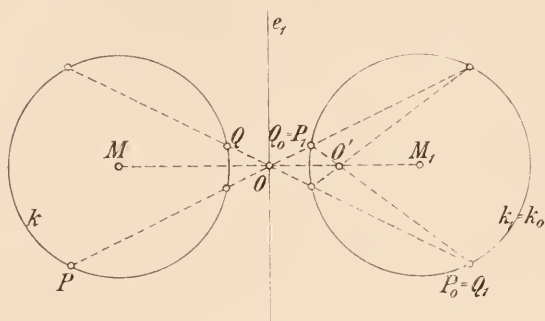


Fig. 160.

perspektive Bild von  $k$ , so ist  $e_1$  die Achse und  $O = e_1 \times MM_1$  — als innerer Ähnlichkeitspunkt — das Centrum (Fig. 160). Läßt man jetzt den Kreis  $k$  um  $e_1$  eine halbe Umdrehung machen und bezeichnet ihn in seiner neuen Lage mit  $k_0$ , so deckt sich  $k_0$  völlig

mit  $k_1$ . Nach 163 sind dann auch die Kreise  $k_1$  und  $k_0$  in perspektiver Lage, d. h. wir haben es mit einer neuen perspektiven Beziehung zu thun, bei welcher der Kreis  $k_1$  sich selbst entspricht und die beliebige Gerade  $e_1$  die Perspektivitätsachse ist. Sind ferner  $P$  und  $P_1$  entsprechende Punkte der Kreise  $k$  und  $k_1$ , so gelangt  $P$  bei der Umdrehung in die Lage  $P_0$ , die zu  $P$  in Bezug auf  $e_1$  symmetrisch ist.  $P_1$  und  $P_0$  werden entsprechende Punkte der neuen Perspektive, die  $k_1$  in sich selbst verwandelt, und die Gerade  $P_1P_0$  schneidet auf  $MM_1$  das Centrum  $O'$  derselben aus. Der zu  $P_1$  symmetrische Punkt  $Q$  und der Punkt  $Q_1 = P_0$  entsprechen sich ebenfalls als Punkte von  $k$  und  $k_1$ , und nach der Drehung des Kreises  $k$  bilden  $Q_1 = P_0$  und  $Q_0 = P_1$  entsprechende Punkte von  $k_1$  und  $k_0$ . So sehen wir denn, daß jeder Strahl durch  $O'$  den Kreis  $k_1 = k_0$  in zwei Punkten schneidet, die sich vertauschbar entsprechen, d. h. zu dem ersten als Originalpunkt gehört der zweite als perspektives Bild und zu dem zweiten als Originalpunkt wiederum der erste als perspektives Bild.

**238.** Als Achse der Perspektive, die einen Kreis  $k$  in sich

selbst verwandelt, kann, wie wir sahen, jede Gerade  $e$  in seiner Ebene dienen, das zugehörige Centrum  $O$  ist alsdann bestimmt. Wir wollen nun noch etwas näher untersuchen, in welcher Weise Achse und Centrum einer solchen Perspektive miteinander verknüpft sind. Zunächst schicken wir

die Definition voraus: Ein Punkt und eine Gerade werden als Pol und Polare in Bezug auf einen Kreis  $k$  bezeichnet, wenn sie Centrum und Achse einer Perspektive darstellen, die den Kreis  $k$  in sich selbst abbildet. Ziehen wir jetzt durch den Pol  $O$  zwei beliebige Strahlen, welche den Kreis  $k$  in  $P$  und  $P_1$  resp.  $Q$  und  $Q_1$  schneiden (Fig. 161), so entsprechen den Originalpunkten  $P, Q, P_1, Q_1$  die Bildpunkte  $P_1, Q_1, P, Q$ . Demnach schneiden sich die entsprechenden Geraden  $PQ$  und  $P_1Q_1$  in einem

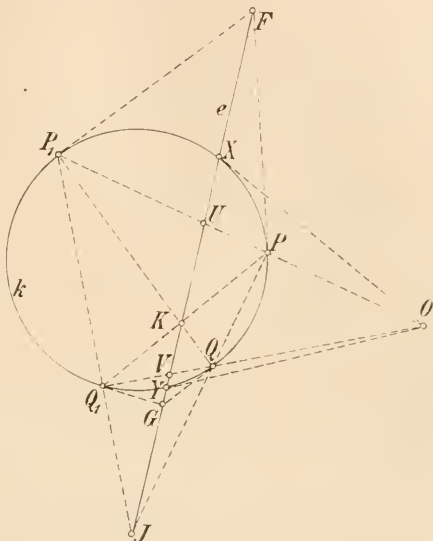


Fig. 161.

Punkte  $J$  der Polare  $e$  und ebenso die entsprechenden Geraden  $PQ_1$  und  $P_1Q$  in einem Punkte  $K$  derselben. Hierin liegt die Konstruktion der Polare zu einem gegebenen Punkt als Pol.

Auch die Tangenten in  $P$  und  $P_1$  entsprechen sich, so daß ihr Schnittpunkt  $F$  auf der Polare  $e$  liegt, und in gleicher Weise muß sich der Schnittpunkt  $G$  der Tangenten in  $Q$  und  $Q_1$  auf der Polare befinden. Ferner schneidet die Polare die Sehnen  $PP_1$  und  $QQ_1$  in Punkten  $U$  resp.  $V$ , welche mit  $O$  zusammen diese Sehnen harmonisch teilen. Denn die Linien  $PQ, PQ_1, P_1Q, P_1Q_1$  bilden ein Vierseit, dessen Diagonalschnittpunkte  $O, U$  und  $V$  sind. Liegt  $O$  im Innern des Kreises  $k$ , so liegen  $U$  und  $V$  als vierte harmonische Punkte auf den verlängerten Sehnen  $PP_1$  resp.  $QQ_1$ ; da ein gleiches Verhalten bei allen Sehnen durch  $O$  eintritt, schneidet die Polare  $e$  den Kreis nicht. Liegt dagegen  $O$  außerhalb  $k$ , so liegen  $U$  und  $V$  innerhalb, und die Polare schneidet den Kreis in zwei Punkten  $X$  und  $Y$ . Diese sind die Berührungspunkte der von  $O$  an den Kreis gelegten Tangenten. Denn  $OX$  schneidet  $k$  in zwei Punkten, die zu  $O$  und  $X$  harmonisch liegen, und da einer dieser Schnittpunkte mit  $X$  zu-

sammenfällt, muß es nach 218 auch der andere thun. Wir fassen diese Resultate in die folgenden Sätze zusammen.

- $\alpha$ ) Je zwei beliebige Sehnen durch den Pol besitzen vier Endpunkte, deren vier Verbindungslinien sich zweimal zu zwei auf der Polaren schneiden. Dieser Satz liefert die Konstruktion der Polaren zu einem gegebenen Pole.
- $\beta$ ) Jede Sehne durch den Pol bestimmt in ihren Endpunkten zwei Tangenten, die sich auf der Polaren schneiden und umgekehrt.
- $\gamma$ ) Jede Sehne durch den Pol wird von diesem und der Polaren harmonisch geteilt.
- $\delta$ ) Kann man vom Pol aus Tangenten an den Kreis legen, so geht die Polare durch ihre Berührungspunkte.

Je nachdem der Pol außer- oder innerhalb des Kreises liegt, schneidet ihn die Polare, oder sie schneidet ihn nicht. Im besonderen erhält man als Polare des Kreismittelpunktes die unendlich ferne Gerade der Ebene. Tangiert die Polare den Kreis, so ist ihr Berührungspunkt der zugehörige Pol und umgekehrt. Denn legt man aus irgend einem Punkt der Polaren die beiden Tangenten an den Kreis (deren eine in diesem Falle die Polare selbst ist), so muß die Verbindungslinie ihrer Berührungspunkte durch den Pol gehen.

**239.** Wir haben zu Anfang dieses Kapitels untersucht, in welcher Weise ein Kreis durch Perspektive in einen zweiten Kreis abgebildet werden kann. Die hierbei gewonnenen Resultate haben wir alsdann benutzt, um die perspektive Abbildung eines Kreises in sich selbst abzuleiten. Diese letztere lieferte uns die Eigenschaften von Pol und Polare, welche dabei als Centrum und Achse der Perspektive auftreten. Wir werden späterhin die Beziehungen zwischen Pol und Polare direkt ableiten, gestützt auf einen einfachen Satz über den Kreis (vergl. 267). Daraus können wir dann wieder den Schluß ziehen, daß ein Kreis auf unendlich viele Weisen zu sich selbst perspektiv liegt.

**240.** Die Perspektive in der Ebene, bei welcher ein Kreis  $k$  in sich selbst verwandelt wird, ist von einer besonderen Art, die wir jetzt noch etwas studieren wollen. In 237 fanden wir, daß sich hierbei die Punkte des Kreises paarweise vertauschbar entsprechen, so daß jeder Punkt eines Paares als Bild des andern erscheint. Im Anschluß an dieses Verhalten stellen wir die Definition an die

Spitze: Eine Centralprojektion oder Perspektive in der Ebene heißt involutorisch, wenn je zwei als Original und Bild einander zugeordnete Punkte sich vertauschbar entsprechen. Aus dieser Definition folgt unmittelbar: Jede Punktreihe, welche das Centrum  $O$  enthält, liegt mit ihrem Bilde (entgegenlaufend) involutorisch; das Centrum und der Achsenschnittpunkt bilden die Doppelpunkte der Involution. Denn bei einer jeden Perspektive entspricht einer Punktreihe, deren Träger durch das Centrum  $O$  geht, eine dazu projektive Punktreihe auf dem gleichen Träger. Die Punkte beider Reihen entsprechen sich aber im vorliegenden Falle vertauschbar, die Reihen sind also nach 219 involutorisch. Ferner folgt aus der Definition: Jeder Strahlbüschel, der seinen Scheitel auf der Achse  $e_1$  hat, liegt mit einem Bilde (entgegenlaufend) involutorisch; die Achse und der Strahl durch das Centrum bilden die Doppelstrahlen der Involution. Jede von zwei entsprechenden Punkten begrenzte Strecke wird durch das Centrum und den Schnittpunkt mit der Achse harmonisch geteilt (vergl. 223). Ebenso wird jeder von zwei entsprechenden Geraden eingeschlossene Winkel durch die Achse und den Strahl nach dem Centrum harmonisch geteilt (232). Sind Centrum und Achse einer involutorischen Centralprojektion gegeben, so ist sie völlig bestimmt, denn man kann nach dem Gesagten zu jedem Punkt und jeder Geraden den entsprechenden Punkt und die entsprechende Gerade zeichnen.

Da bei jedem Paare involutorischer Punktfolgen die Gegenpunkte ( $G_v$  und  $G_\infty$ ) im Mittelpunkte der Involution vereinigt liegen, ergibt sich ferner: Die Verschwindungs- und die Fluchtlinie ( $e_v$  und  $e_\infty$ ) einer involutorischen Perspektive fallen in diejenige Parallele zur Achse zusammen, welche deren Abstand vom Centrum halbiert (164).

**241.** Auf Grund der voranstehenden Erklärungen kann der in 237 ausgesprochene Satz dahin vervollständigt werden: Ein gegebener Kreis wird durch jede involutorische Centralprojektion oder Perspektive in sich übergeführt, deren Centrum  $O$  und Achse  $e_1$  in der Beziehung von Pol und Polare hinsichtlich des Kreises stehen. Denn jeder Strahl durch  $O$  schneidet den Kreis in zwei Punkten, die zu  $O$  und dem Schnittpunkt mit  $e_1$  harmonisch liegen, also sich wechselseitig entsprechen. — Aus den gleichen Gründen erkennt man die Richtigkeit des Satzes: Eine gegebene involutorische Centralprojektion führt alle Kreise der Ebene in sich über, für welche das Centrum und die Achse respektive Pol und Polare bilden.

Diese Kreise werden erhalten, wenn man von dem Centrum  $O$  das Lot  $OE$  auf die Achse  $e_1$  fällt, auf demselben irgend zwei harmonisch

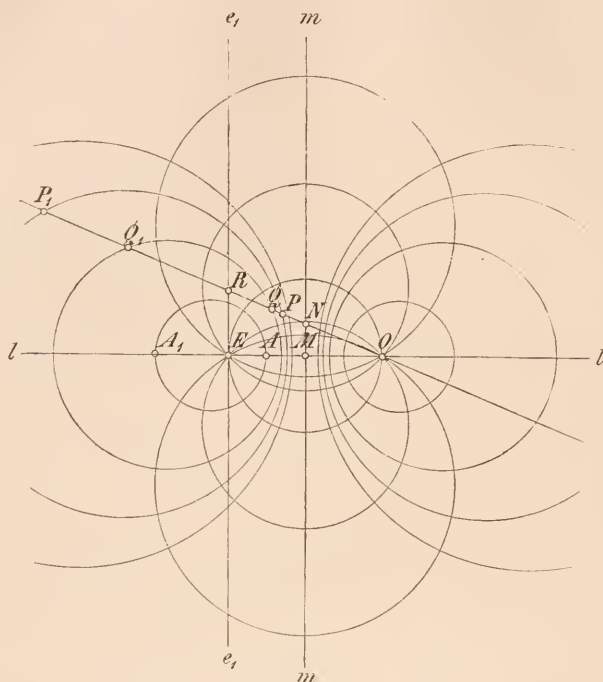


Fig. 162.

zu  $O$  und  $E$  liegende Punkte  $A$  und  $A_1$  aufsucht und über  $AA_1$  als Durchmesser den Kreis beschreibt (Fig. 162).

**242.** Von welcher Art ist nun das System der Kreise, die bei einer involutorischen Perspektive in sich selbst abgebildet werden? Die Mittelpunkte aller dieser Kreise liegen wie gesagt auf der Geraden  $l = OE$ , und ihre auf  $l$  liegenden Durchmesser werden durch  $O$  und  $E$  harmonisch geteilt. In dem System befinden sich deshalb auch zwei Kreise von verschwindendem Radius (Nullkreise), nämlich die Punkte  $O$  und  $E$ , ferner ein Kreis von unendlich großem Radius, nämlich die Gerade  $m$ , die im Mittelpunkt  $M$  von  $OE$  auf dieser Geraden senkrecht steht. In der Geraden  $m$  fallen zugleich Flucht- und Verschwindungslinie der Perspektive zusammen, und es bildet  $m$  für alle Kreise des Systems die gemeinsame Chordale. Ist nämlich  $N$  irgend ein Punkt derselben, so schneidet der Strahl  $ON$  das Kreissystem in einer Involution von



Punktepaaren, deren Doppelpunkte  $O$  und der Achsenschnittpunkt  $R$  sind und deren Mittelpunkt  $N$  ist. Sind  $P, P_1$  und  $Q, Q_1$  die Schnittpunkte des Strahls mit irgend zwei Kreisen des Systems, so ist nach 226:

$$NP \cdot NP_1 = NQ \cdot NQ_1,$$

folglich ist  $N$  ein Punkt der gemeinsamen Potenzlinie, oder Chordale beider Kreise, w. z. b. w.

**243.** Aus der letzten Relation folgt ferner: Zieht man von einem Punkte  $N$  der Chordalen an alle Kreise des Systems die Tangenten, so sind die Längen derselben (von  $N$  bis zum Berührungspunkte gemessen) sämtlich gleich ( $= \sqrt{NP \cdot NP_1}$ ), d. h. die Berührungspunkte liegen auf einem neuen Kreise mit dem Centrum  $N$ . Dieser geht durch die Punkte  $O$  und  $E$  (die Nullkreise) und schneidet alle Kreise des Systems unter rechtem Winkel (d. h. in jedem Schnittpunkte stehen die beiderlei Kreistangenten aufeinander senkrecht). Da der Punkt  $N$  auf der Geraden  $m$  beliebig angenommen werden darf, erhält man ein zweites System von unendlich vielen Kreisen, die alle durch die beiden festen Punkte  $O$  und  $E$  gehen und die Kreise des ersten Systems rechtwinklig kreuzen. Für die Kreise dieses zweiten Systems bildet die Gerade  $l$  die gemeinsame Chordale; sie ist als der zum System gehörige Kreis mit unendlich großem Radius aufzufassen. Nullkreise treten hier nicht auf.

Bei der involutorischen Perspektive mit dem Centrum  $O$  und der Achse  $e_1$  wird jeder Kreis des ersten Systems in sich selbst übergeführt, dagegen jeder Kreis des zweiten in einen andern Kreis des nämlichen Systems.

**244.** Das System aller Kreise, die eine gemeinsame Chordale oder Potenzlinie besitzen, bezeichnet man als Kreisbüschel. Demnach bilden die soeben betrachteten Systeme, deren Kreise sich gegenseitig rechtwinklig durchschneiden, zwei Kreisbüschel. Sie liefern uns die Hilfsmittel, um die in 233 gestellten Aufgaben zu lösen, welche die Involution von Punkten betreffen. Sind nämlich von einer Involution zwei Paare entsprechender Punkte  $P$  und  $P_1$ ,  $Q$  und  $Q_1$ , so schlage man über den Strecken  $PP_1$  und  $QQ_1$  als Durchmesser Kreise  $p$  und  $q$ . Dann schneidet ihre gemeinsame Chordale den Mittelpunkt  $M$  der Involution und jeder Kreis des Büschels, dem  $p$  und  $q$  angehören, ein Punktepaar derselben aus (Fig. 163). Denn für  $M$  gilt dann die Relation  $MP \cdot MP_1 = MQ \cdot MQ_1 = MR \cdot MR_1$ , wie es nach 226 für den Mittelpunkt der Involution sein

muß. Für die Nullkreise  $U$  und  $V$  des Büschels ist ferner  $(MU)^2 = (MV)^2 = MP \cdot MP_1$ , sie bilden also die Doppelpunkte der Involution.

**245.** Schneiden sich die beiden Kreise  $p$  und  $q$  nicht, so gehören die Paare  $PP_1$  und  $QQ_1$  einer entgegenlaufenden Involution an (Fig. 163). In diesem Falle konstruiere man mittels eines Hilfskreises  $k$  einen Punkt  $E$  der gemeinsamen Potenzlinie von  $p$  und  $q$  nach 234; hierauf ziehe man die Chordale senkrecht zu  $g$  und findet damit den Mittelpunkt  $M$  der Involution. Legt man aus  $M$  eine Tangente  $MT$  an einen der Kreise, so schneidet der um  $M$  mit dem Radius  $MT$  beschriebene Kreis auf  $g$  die Doppelpunkte  $U$  und  $V$  aus. Derselbe Kreis schneide die Chordale in  $X$  und  $Y$ , dann treffen

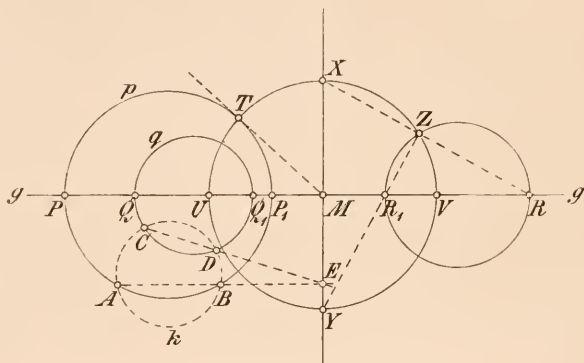


Fig. 163.

je zwei zu einander rechtwinklige Strahlen durch  $X$  und  $Y$  die Gerade  $g$  in einem Punktepaar der Involution, z. B.  $XR \perp YR_1$ . Denn der Schnittpunkt  $Z$  dieser Strahlen muß sowohl auf einem über dem Durchmesser  $XY$ , als auf einem über dem Durchmesser  $RR_1$  beschriebenen Kreise liegen, und es folgt:  $MR \cdot MR_1 = MX \cdot MY = (MV)^2$ .

**246.** Schneiden sich die Kreise  $p$  und  $q$ , so gehören die Paare  $PP_1$  und  $QQ_1$  einer gleichlaufenden Involution an (Fig. 164), und die Verbindungslinie der Schnittpunkte  $X$  und  $Y$  unserer Kreise geht durch den Mittelpunkt  $M$ . Für die Schnittpunkte  $U$  und  $V$  des über dem Durchmesser  $XY$  beschriebenen Kreises mit  $g$  besteht die Relation  $(MU)^2 = (MV)^2 = -MP \cdot MP_1$ ; sie stellen aber keine Doppelpunkte dar, sondern entsprechen sich vertauschbar. Je zwei zu einander rechtwinklige Strahlen durch  $X$  treffen die Gerade  $g$  in einem Punktepaar der Involution.

Die Strahleninvolution, welche die betrachtete Punktinvolution

aus einem der beiden Punkte  $X$  oder  $Y$  projiziert, hat die Eigenschaft, daß jedes Paar entsprechender Strahlen einen rechten Winkel einschließt und heißt deshalb eine Involution rechter Winkel.

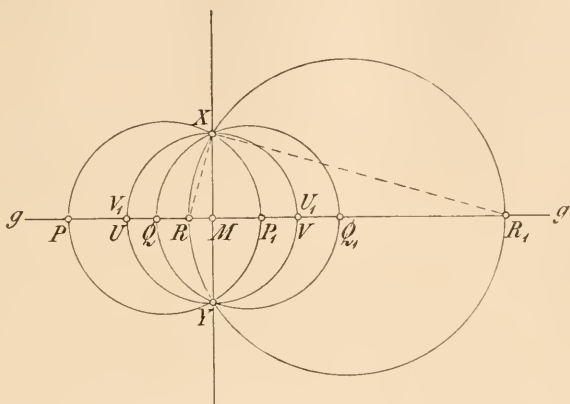


Fig. 164.

Es mag noch erwähnt werden, daß ein Kreisbüschel von jeder beliebigen Geraden in einer Involution von Punktepaaren und seine gemeinsame Chordale im Mittelpunkt der Involution geschnitten wird, wie ja unmittelbar aus der Eigenschaft der Chordalen folgt.

**247.** Seither haben wir die Perspektive in der Ebene behandelt, die einen Kreis in einen andern oder in sich selbst überführt. Man kann von jener zur Perspektive oder Centralprojektion im Raume übergehen, die einen gegebenen Kreis in einen andern oder in einen kongruenten Kreis verwandelt. Denn denkt man sich für die perspektive Lage zweier Kreise in einer Ebene, oder für die eines Kreises mit sich selbst Centrum und Achse bestimmt, so bleibt nur übrig, die eine der beiden perspektiven Figuren um die Achse aus der Ebene herauszudrehen, um räumliche perspektive Lagen der Kreise zu erhalten. Während zwei beliebige Kreise einer Ebene perspektiv liegen, erkennt man schon hieraus, daß zwei perspektive Kreise im Raume sich in einer besonderen Lage zu einander befinden.

Um diese Sache weiter verfolgen zu können, betrachten wir eine zu unserer Untersuchung in nächster Beziehung stehende Figur: den schiefen Kreiskegel.

**248.** Alle Strahlen, die durch einen festen Punkt  $S$  des Raumes nach den Punkten eines festen Kreises  $k$  gezogen werden können, liegen auf einer Fläche, die man als schiefen Kreiskegel be-

zeichnet. Der Punkt  $S$  heißt die Spitze oder der Scheitel,  $k$  der Grundkreis, jene Strahlen die Erzeugenden oder Mantellinien (Kanten) des Kegels. Die vollständige Fläche besteht aus zwei Mänteln (Kegel und Gegenkegel), die in der Spitze zusammenstoßen; die Mantellinien des Gegenkegels sind die Verlängerungen von denen des Kegels und umgekehrt. Jede Ebene durch die Spitze des Kegels schneidet ihn entweder gar nicht (abgesehen von der Spitze), oder sie schneidet ihn in zwei getrennten Mantellinien, oder in zwei zusammenfallenden; im letzten Falle berührt sie ihn längs dieser Mantellinie und heißt Tangentialebene.

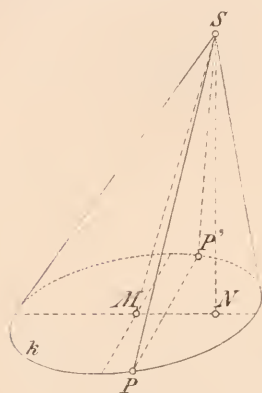


Fig. 165.

Man ziehe nun von der Spitze  $S$  einen Strahl nach dem Mittelpunkt  $M$  des Kreises  $k$  und fälle ferner auf die Ebene des Grundkreises das Lot  $SN$  (vergl. die schiefe Ansicht in Fig. 165), so bestimmen diese Linien eine Symmetrieebene  $A = SMN$  des Kegels, d. h. zu jeder Mantellinie des Kegels giebt es eine in Bezug auf  $A$  symmetrische. Trifft erstere den Grundkreis in  $P$ , so trifft die letztere ihn in  $P'$ , wo  $P$  und  $P'$  symmetrisch zum Durchmesser  $MN$  liegen. — Fallen die

Linien  $SM$  und  $SN$  zusammen, so geht der schiefe Kreiskegel in einen geraden oder Rotationskegel über und alle durch  $SM$  gezogenen Ebenen sind Symmetrieebenen. — Rückt die Spitze ins Unendliche, so verwandelt sich der Kegel in einen schiefen Kreiscylinder, dessen Mantellinien sämtlich parallel liegen.

**249.** Alle Parallelebenen zur Grundkreisebene schneiden den schiefen Kreiskegel in Kurven, die mit  $k$  ähnlich sind, also wiederum in Kreisen. Ebenso schneidet jedes System paralleler Ebenen aus dem Kegel ähnliche Kurven aus. Es gilt nun der Satz: Durch zwei Kreise, die sich in perspektiver Lage, aber nicht in parallelen Ebenen befinden, läßt sich stets eine Kugel fläche legen. Ist  $e$  die Schnittlinie der Ebenen der beiden Kreise  $k$  und  $k_1$ , so hat man zwei Fälle zu unterscheiden. Schneidet  $e$  den Kreis  $k$  in  $P$  und  $Q$ , so geht auch  $k_1$  durch diese Punkte, da sie sich als Punkte der Perspektivitätsachse selbst entsprechen. Zwei derartige Kreise liegen aber stets auf einer Kugel. Denn die Ebene  $A$  welche auf  $PQ$  im Mittelpunkt senkrecht steht, enthält nicht nur die Mittelpunkte der Kreise  $k$  und  $k_1$ , sondern auch die in diesen Punkten auf den Kreisebenen errichteten Normalen. Die letzteren

schneiden sich somit in einem Punkte  $O$ , und eine um  $O$  mit dem Radius  $OP$  beschriebene Kugel geht durch beide Kreise. Zugleich erkennt man, daß die Ebene  $A$  das Centrum  $S$  der Perspektive enthält. Die Ebene  $A$  schneidet nämlich die Kreise  $k$  und  $k_1$  in zwei Durchmesser  $AB$  und  $A_1B_1$ , deren Endpunkte sich in der Perspektive entsprechen müssen, weil die zugehörigen Tangenten als Parallelen zur Achse  $e$  sich entsprechen.  $S$  erscheint also als Schnittpunkt der Strahlen  $AA_1$  und  $BB_1$ .  $S$  ist der Scheitel eines Kegels, auf dessen Mantel die beiden Kreise  $k$  und  $k_1$  liegen und der die Ebene  $A$  zur Symmetrieebene hat.

Schneidet dagegen die Achse  $e$  die Kreise  $k$  und  $k_1$  nicht, so führt folgende Überlegung zum Ziele. Die Kegelfläche mit der Spitze  $S$ , auf der die Kreise  $k$  und  $k_1$  liegen, schneide man mit einer zur Ebene von  $k_1$  parallelen Ebene in einem Kreise  $k_2$  so zwar, daß  $k_2$  und  $k$  zwei Punkte  $P$  und  $Q$  gemein haben. Dann geht nach dem Voranstehenden durch die beiden Kreise  $k$  und  $k_2$  eine Kugel, und die Ebene  $A$ , welche auf  $PQ$  im Mittelpunkt senkrecht steht, enthält den Scheitel  $S$  des Kegels und ist eine Symmetrieebene desselben. Macht man die Ebene  $A$  zur Projektionsebene, so stellen die in ihr liegenden Durchmesser  $AB$ ,  $A_1B_1$  und  $A_2B_2$  der Kreise  $k$ ,  $k_1$  und  $k_2$  die orthogonalen Projektionen dieser Kreise dar (Fig. 166). Nun liegen  $k$  und  $k_2$  auf einer Kugel; sie wird von  $A$  in einem größten Kreise  $l$  geschnitten, der durch die vier Punkte  $ABA_2B_2$  geht. Demnach sind die Winkel bei  $A$  und  $B_2$  einander gleich, da sie auf demselben Bogen  $A_2B$  stehen, und ebenso die Winkel bei  $A$  und  $B_1$ , da  $A_1B_1 \parallel A_2B_2$  ist. Mithin kann man auch durch die vier Punkte  $ABA_1B_1$  einen Kreis  $m$  legen, und eine Kugel, für welche  $m$  ein größter Kreis, also  $A$  eine Symmetrieebene ist, enthält wie ersichtlich die beiden Kreise  $k$  und  $k_1$ .

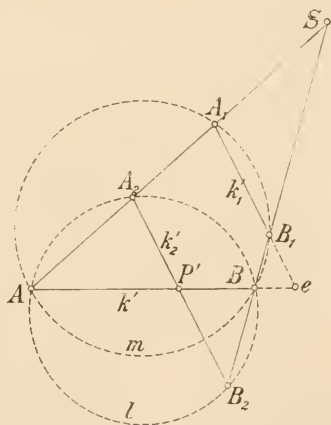


Fig. 166.

Zu jedem der beiden Kreise  $k$  und  $k_1$  giebt es auf dem Kegel ein System von Parallelkreisen, d. h. Kreise in parallelen Ebenen. Da jeder Kreis des einen Systems zu jedem Kreis des andern perspektiv liegt, geht nach unserm Satz durch je zwei solche Kreise eine Kugel. Zwei Kreisschnitte eines Kegels heißen Wechsel-



schnitte, wenn ihre Ebenen nicht parallel sind. Wir haben also den Satz: Durch je zwei Wechselschnitte eines Kegels — Kreisschnitte mit nicht parallelen Ebenen — läßt sich eine Kugelfläche legen.

**250.** Eine Umkehrung des soeben bewiesenen Satzes lautet: Kann man durch zwei Kreise eine Kugel legen, so befinden sie sich auch in perspektiver Lage und zwar auf zweifache Weise. Sind  $k$  und  $k_1$  die beiden Kreise und ist  $e$  die Schnittlinie ihrer Ebenen, so ziehe man durch den Kugelmittelpunkt eine zu  $e$  normale Ebene  $A$ . Diese schneidet die Kugel in einem größten Kreise  $m$  und steht auf den Ebenen der beiden Kreise  $k$  und  $k_1$  senkrecht; sie enthält also deren Mittelpunkte und je einen Durchmesser, den wir mit  $AB$  resp.  $A_1B_1$  bezeichnen (Fig. 166 stellt diese Verhältnisse wieder in orthogonaler Projektion dar). Nun betrachte man den Punkt  $S = AA_1 \times BB_1$  als Spitze einer Kegelfläche, die man durch den Kreis  $k_1$  legt; es ist dann zu zeigen, daß diese Kegelfläche auch durch den Kreis  $k$  geht. Das ist aber der Fall, sobald man beweisen kann, daß jeder beliebige Punkt  $P$  von  $k$  auf derselben liegt. Zu diesem Zwecke ziehe man durch  $P$  eine Ebene parallel zu der des Kreises  $k_1$ , dieselbe wird den Kegel in einem Kreise  $k_2$  mit dem Durchmesser  $A_2B_2$  schneiden. Nach der Voraussetzung liegen die Punkte  $ABA_1B_1$  auf dem Kreise  $m$ , und da  $A_2B_2 \parallel A_1B_1$  ist, liegen auch die Punkte  $ABA_2B_2$  auf einem Kreise  $l$ . Hieraus schließt man weiter, daß die Kreise  $k$  und  $k_2$  auf einer Kugelfläche liegen, für die der Kreis  $l$  ein größter Kreis ist. Somit müssen sich  $k$  und  $k_2$  in zwei in Bezug auf  $A$  symmetrischen Punkten schneiden, von denen der eine der Punkt  $P$  sein muß;  $P$  liegt also auch auf dem Kreis  $k_2$ , d. h. auf der Kegelfläche.

Es gibt noch eine zweite Kegelfläche durch die beiden Kreise  $k$  und  $k_1$ ; ihre Spitze wird von dem Schnittpunkt der Geraden  $AB_1$  und  $A_1B$  gebildet.

**251.** Eine andere Umkehrung läßt sich in der Form aussprechen: Schneidet eine Kugel einen Kegel in einem Kreise  $k$ , so schneidet sie ihn außerdem in einem zweiten Kreise  $k_1$  (Wechselschnitt). Zum Beweis gehe man wieder von der Symmetrieebene  $A$  des Kegels aus und wähle sie zur Projektionsebene (Fig. 166). Sie schneide  $k$  in dem Durchmesser  $AB$ , den Kegel in den Mantellinien  $SA$  und  $SB$  und die Kugel in dem größten Kreise  $m$ .  $SA$  und  $SB$  mögen  $m$  noch in  $A_1$  und  $B_1$  treffen, dann ist  $A_1B_1$  der Durchmesser eines Kugelkreises  $k_1$ , dessen Ebene auf  $A$  senkrecht steht. Nach dem Vorigen gehören aber  $k$  und  $k_1$  als

Kreise auf der nämlichen Kugel einem Kegel mit dem Scheitel  $S = AA_1 \times BB_1$  an, w. z. b. w.

Wir drücken unser Ergebnis noch in einer zweiten Form aus: Durch Centralprojektion eines Kreises auf eine ihn enthaltende Kugel aus einem beliebigen Punkte des Raumes entsteht wieder ein Kreis; bei Parallelprojektion sind beide Kreise kongruent.

**252.** Es wurde bereits gezeigt, daß jeder schiefe Kreiskegel eine Symmetrieebene  $A$  besitzt, die zu den Ebenen aller Kreisschnitte normal ist. Wählt man nun als Wechselschnitte zwei Kreise  $k$  und  $k_1$  von gleicher Größe, so werden sie von  $A$  in den gleich großen Durchmessern  $AB$  und  $A_1B_1$  geschnitten (Fig. 167 in schiefer Ansicht). Da wir es mit Wechselschnitten zu thun haben, ist  $\angle SAB = \angle SB_1A_1$ , also  $\triangle SAB \cong \triangle SB_1A_1$ ; folglich muß auch  $SA = SB_1$ ,  $SA_1 = SB$  und  $\triangle SAE \cong \triangle SB_1E$  sein ( $E = AB \times A_1B_1$ ). Demnach halbiert  $SE$  die Winkel  $ASB_1$  und  $A_1EB$ . Nennen wir  $B$  die Ebene, die in  $SE$  auf  $A$  senkrecht steht, so ist der eine Wechselschnitt zu dem andern symmetrisch in Bezug auf  $B$ , und somit ist  $B$  auch eine Symmetrieebene für den Kegel.

In der Figur sind die gleich großen Wechselschnitte  $k$  und  $k_1$  auf dem nämlichen Kegelmantel genommen. Wählt man jedoch  $k$  auf dem einen und  $k_1$  auf dem andern Mantel, so kann man

die ganzen Betrachtungen wiederholen und gelangt zu einer Symmetrieebene  $\Gamma$ , die zu  $A$  normal ist und den Nebenwinkel von  $\angle ASB_1$  halbiert. Je zwei gleich große Wechselschnitte auf verschiedenen Mänteln liegen zu der Ebene  $\Gamma$  symmetrisch.

Ein schiefer Kreiskegel besitzt drei zu einander senkrechte Symmetrieebenen  $A, B, \Gamma$ ; ihre drei in der Spitze  $S$  aufeinander senkrecht stehenden Schnittlinien  $a = B \times \Gamma$ ,  $b = \Gamma \times A$ ,  $c = A \times B$  heißen die Achsen des Kegels. Es giebt zwei Systeme von Kreisen auf dem Kegel; ihre Ebenen stehen auf  $A$  senkrecht und schließen mit  $B$  (ebenso mit  $\Gamma$ ) gleiche Winkel ein.

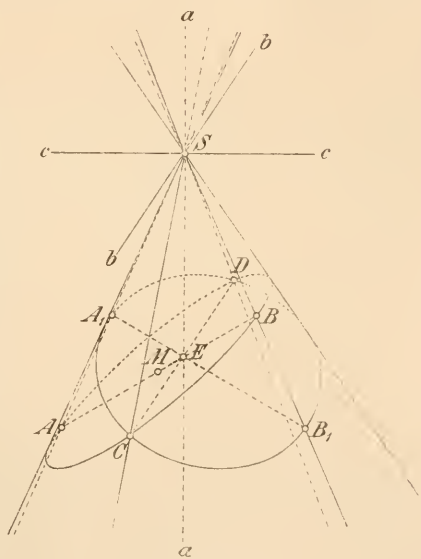


Fig. 167.





der fraglichen Perspektive, so müßte  $\angle AOB = \angle AB'B - \angle A'AB'$  sein. Die letzteren beiden Winkel sind aber als Peripheriewinkel über den Bogen  $AB$  und  $A'B'$  bekannt.  $O$  liegt demnach auf einem Kreise, der über der Sehne  $AB$  beschrieben ist und den bekannten Winkel  $AOB$  als Peripheriewinkel über dieser Sehne faßt. Ganz ebenso liegt  $O$  auf einem zweiten Kreise über der Sehne  $BC$ , der einen bekannten Winkel  $BOC$  als zugehörigen Peripheriewinkel faßt. Somit ist  $O$  konstruierbar und man erhält  $A', B', C'$  in der gesuchten Lage auf  $k$  durch die Strahlen  $OA, OB, OC$ . Bringt man schließlich  $k_1$  samt den Punkten  $A_1, B_1, C_1$  in ähnliche Lage zu  $k$  und den Punkten  $A', B', C'$ , indem man  $O$  als Ähnlichkeitscentrum ansieht ( $M_1 A_1 \parallel MA'$  und von bekannter Größe), so ist auch die perspektive Lage der Kreise  $k$  und  $k_1$  und der auf ihnen gegebenen Punkte  $A, B, C$  resp.  $A_1, B_1, C_1$  hergestellt.

**256.** Wir haben uns in diesem Kapitel die Aufgabe gestellt, die Centralprojektionen des Kreises zu studieren. Bisher haben wir indessen nur solche besondere Centralprojektionen oder perspektive Abbildungen des Kreises untersucht, die denselben entweder in einen neuen Kreis oder in sich selbst verwandeln. Die Abbildung eines Kreises in sich selbst hat uns insbesondere zu den Eigenschaften von Pol und Polare geleitet, deren Bedeutung später noch mehr hervortreten wird, und die wir dort noch in anderer Weise ableiten werden. Die räumliche Auffassung des Problems führte uns zum schiefen Kreiskegel und zu dem Resultat, daß auf einem solchen neben den Parallelschnitten zum Basiskreis noch ein zweites System von Kreisschnitten existierte, die wir als Wechselschnitte bezeichneten.

### Entstehung der Kegelschnitte aus der Centralprojektion des Kreises. Um- und eingeschriebene Polygone.

**257.** Entgegen den seitherigen Untersuchungen wollen wir uns jetzt mit den Eigenschaften derjenigen Kurven befassen, die aus einem Kreise bei einer ganz beliebigen perspektiven Abbildung hervorgehen. Dabei ist es gleichgültig, ob man die Centralprojektion in der Ebene oder im Raume zu Grunde legen will, da ja die eine in die andere übergeführt werden kann (164). Die Centralprojektion eines Kreises aus einem Raumpunkt auf eine beliebige Ebene ist aber nichts anderes als der Schnitt dieser Ebene mit einem schiefen Kreiskegel. Aus dieser Anschauung heraus bezeichnet man jedes beliebige perspektive Bild eines Kreises als Kegelschnitt. Daß man jede derartige Kurve sogar immer als Schnitt eines geraden Kreiskegels erhalten kann, werden wir später nachzuweisen haben.<sup>8)</sup>



Wir werden nun solche Eigenschaften der Kreise aufzusuchen haben, die bei einer Centralprojektion unveränderlich sind; dann kommen die gleichen Eigenschaften auch den Kegelschnitten zu. So werden alle Sätze beim Kreise, die aussagen, daß drei oder mehr Punkte auf einer Geraden liegen, oder daß drei oder mehr Gerade durch einen Punkt gehen, sich bei den Kegelschnitten wiederfinden müssen, da die Punkte einer Geraden und ebenso die Geraden durch einen Punkt sich wieder als Punkte und Gerade von der nämlichen Eigenschaft projizieren. Auch projektive Punktreihen oder Strahlbüschel, die beim Kreise auftreten, projizieren sich als projektive Punktreihen oder Strahlbüschel beim Kegelschnitt, und alle hierauf basierenden Sätze haben gleichzeitig für den Kreis und sein perspektives Bild — den Kegelschnitt — Gültigkeit. Insbesondere verlieren harmonische Punkte oder Strahlen und involutorische Reihen oder Büschel bei der perspektiven Abbildung ihre Eigenschaften nicht. Die Beziehungen zwischen Pol und Polare, wie sie beim Kreis auftreten, werden sich deshalb auch beim Kegelschnitt einstellen müssen. Hiermit ist aber die Richtung angegeben, in der sich unsere weiteren Untersuchungen zu bewegen haben. Zunächst sollen allerdings einige allgemeine Bemerkungen über die Kreisprojektionen vorausgeschickt werden.

**258.** Wir stellen an den Anfang die Definition: *Die ebenen Centralprojektionen oder perspektiven Bilder des Kreises heißen Kegelschnitte.* Durchläuft ein Punkt  $P$  den Kreis, so dreht sich sein projizierender Strahl  $OP$  um das Centrum  $O$  und sein Bildpunkt  $P_1$  durchläuft den Kegelschnitt als Bild des Kreises. So wie  $P$  den Kreis in einem Zuge beschreibt und zur Ausgangslage zurückkehrt, so beschreibt auch  $P_1$  von einem seiner Punkte anfangend den ganzen Kegelschnitt in einem ununterbrochenen Zuge und kehrt nach Durchlaufung desselben in die Anfangslage zurück. Man darf daher jeden Kegelschnitt, ebenso wie den Kreis, als eine stetige geschlossene Kurve bezeichnen. Es ist nicht ausgeschlossen, daß bei der geschilderten Bewegung der Bildpunkt  $P_1$  sich ins Unendliche entfernt und wieder zurückkehrt, der Kegelschnitt also sich ins Unendliche erstreckt. Man hat ihn dann, ähnlich wie die gerade Linie (160), als im Unendlichen geschlossen aufzufassen.

**259.** Aus dem gegenseitigen Entsprechen der geraden Linien in der Original- und Bildfigur und ihrer Schnittpunkte mit dem gegebenen Kreise resp. mit seinem Bilde, dem Kegelschnitt, folgen unmittelbar die Sätze:

Ein Kegelschnitt wird von irgend einer Geraden seiner

Ebene in höchstens zwei Punkten geschnitten. Einer Kreistangente und ihrem Berührungspunkt entsprechen im Bilde eine Tangente des Kegelschnittes und deren Berührungspunkt.

An einen Kegelschnitt können aus irgend einem Punkte seiner Ebene höchstens zwei Tangenten gezogen werden, die in eine zusammenfallen, wenn der Punkt auf der Kurve liegt.

Beim Kreise spricht man von einem Gebiete innerhalb und von einem solchen außerhalb desselben; dem ersteren gehören alle Punkte an, von denen sich keine Tangenten an den Kreis legen lassen, dem letzteren alle Punkte mit zwei Kreistangenten. Ganz ebenso sagt man beim Kegelschnitt von einem Punkte seiner Ebene, daß er außerhalb oder innerhalb desselben liege, je nachdem durch ihn Tangenten an den Kegelschnitt gelegt werden können oder nicht.

**260.** Es giebt drei Arten von Kegelschnitten, auf deren Unterscheidung man sofort geführt wird, wenn man ihre Beziehung zur unendlich fernen Geraden der Ebene in Betracht zieht. Geht man vom schiefen Kreiskegel aus, dessen Spitze das Centrum der Perspektive und dessen Mantellinien projizierende Strahlen sind, so kann die Bildebene  $\Pi$ , die den Kegel in der Bildkurve schneidet, folgende drei wesentlich verschiedene Lagen gegen den Kegel einnehmen. Die Ebene  $\Pi$  kann entweder nur den einen Mantel des Kegels schneiden, oder sie kann beide Mäntel (Kegel und Gegenkegel) treffen; zwischen beiden Fällen aber bildet ein dritter den Übergang. Von solchen Fällen, die keine eigentlichen Kegelschnitte liefern, sehen wir ab. Denkt man sich durch das Centrum  $O$  (Spitze des Kegels) eine Parallelebene zu  $\Pi$  gelegt, so wird sie den genannten drei Fällen entsprechend entweder keine Mantellinie des Kegels enthalten, oder deren zwei, oder sie wird ihn längs einer Mantellinie berühren. Die fragliche Ebene schneidet aber die des gegebenen Kreises  $k$  (die Originalebene  $E$ ) in der Verschwindungslinie  $e_v$ . Hiernach können wir unsere Unterscheidungen auf die Lage des Originalkreises gegen die Verschwindungslinie seiner Ebene basieren.

**261.** Die Centralprojektion eines Kreises auf eine Ebene ergiebt drei verschiedene Kegelschnitte, je nachdem der Kreis mit der Verschwindungslinie seiner Ebene keinen, zwei getrennte, oder einen Berührungspunkt gemein hat; sie heißen: *Ellipse, Hyperbel, Parabel*.

Aus dieser Erklärung folgt:

Die Ellipse ist im Endlichen geschlossen. Ihre Über-

einstimmung mit der affinen Kurve des Kreises (vergl. die Definition in 15) wird weiterhin nachgewiesen werden.

Die Hyperbel schneidet die unendlich ferne Gerade ihrer Ebene in zwei getrennten Punkten; sie verläuft also zweimal durch das Unendliche. Ihre beiden unendlich fernen Punkte sind die Bilder der Schnittpunkte des Originalkreises mit der Verschwindungslinie  $e_v$ . Die Tangenten der Hyperbel in diesen Punkten sind die Bilder der Tangenten des Kreises in seinen beiden Verschwindungspunkten und heißen Asymptoten; die unendlich fernen Punkte der Hyperbel werden durch die Asymptotenrichtungen vertreten.

Die Parabel berührt die unendlich ferne Gerade ihrer Ebene. Der Berührungspunkt ist das Bild des Berührungspunktes von Verschwindungslinie und Originalkreis.

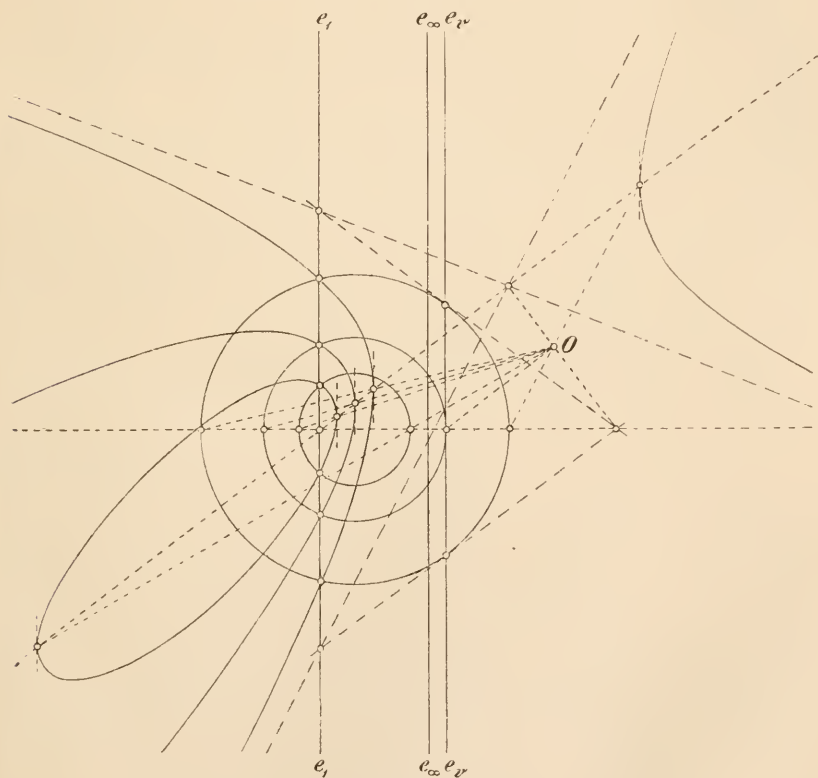


Fig. 171.

**262.** Da man aus einem Kreise die gleichen Bilder sowohl durch eine ebene wie durch eine räumliche Perspektive erhalten

kann, werden wir bei der konstruktiven Erzeugung des Kegelschnittes die erstere benutzen, weil sie für die Zeichnung bequemer ist. Sind Centrum  $O$ , Achse  $e_1$  und Verschwindungslinie  $e_v$ , oder an Stelle der letzteren ein Paar entsprechender Punkte gegeben, so können wir nach den in 166 bis 171 auseinandergesetzten Prinzipien zu beliebig vielen Punkten und Tangenten eines vorgelegten Kreises die perspektiven Bilder und somit beliebig viele Punkte und Tangenten eines Kegelschnittes erhalten. In Fig. 171 sind drei konzentrische Kreise so gewählt, daß einer die Verschwindungslinie  $e_v$  nicht schneidet, einer dagegen sie schneidet und einer sie berührt. Dementsprechend werden die Bilder durch eine Ellipse, eine Hyperbel und eine Parabel dargestellt. Von der Hyperbel sind zugleich die Asymptoten angegeben.

**263.** Wir werden jetzt eine Reihe von Sätzen für den Kreis aufstellen, die sich unmittelbar auf die Kegelschnitte als perspektive Bilder des Kreises übertragen lassen. Insbesondere werden wir dabei den Satz benutzen: Bei der perspektiven Abbildung einer Figur in eine andere gehen projektive Punktreihen oder Strahlbüschel wieder in projektive Punktreihen oder Strahlbüschel über. Denn das Bild der ersten Reihe ist projektiv (sogar perspektiv) zu dieser Reihe; nach Voranssetzung ist die erste Reihe projektiv zu einer zweiten, und diese wiederum ist projektiv (sogar perspektiv) zu ihrem Bilde. Somit sind nach 189 auch die Bilder der beiden Reihen projektiv. —

**264.** Eine Reihe beliebig auf einem Kreise gegebener Punkte  $A, B, C, D, \dots$  wird aus irgend zwei festen Punkten  $S$  und  $S_1$  desselben durch kongruente Strahlbüschel projiziert (Fig. 172). Denn je zwei Strahlen des einen Büschels, etwa  $SA$  und  $SB$ , schließen den gleichen Winkel ein, wie die entsprechenden Strahlen  $S_1A$  und  $S_1B$  des andern (Peripheriewinkel über dem gleichen Bogen  $AB$ ). Dabei entspricht ersichtlich dem Strahl  $SS_1$  des ersten Büschels im zweiten Büschel die Kreistangente in  $S_1$  und dem Strahl  $S_1S$  des zweiten Büschels im ersten Büschel die Kreistangente in  $S$ .

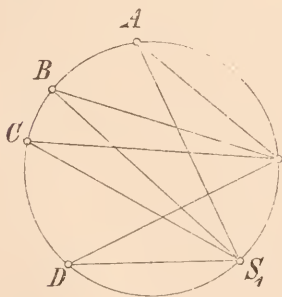


Fig. 172.

Verwandelt man den Kreis durch perspektive Abbildung in einen Kegelschnitt, so gehen (nach 263) die kongruenten Strahlbüschel der Kreisfigur — da die Kongruenz ein Spezialfall der Perspektivität

ist — in projektive Büschel beim Kegelschnitt über, und wir haben den Satz: Eine Reihe beliebig auf einem Kegelschnitt gegebener Punkte  $A, B, C, D, \dots$  wird aus irgend zwei festen Punkten  $S$  und  $S_1$  desselben durch projektive Strahlbüschel projiziert. Der Tangente in  $S$  (resp.  $S_1$ ) entspricht dabei der Strahl  $S_1S$  (resp.  $SS_1$ ).

Für den Kreis gilt offenbar auch die Umkehrung des obigen Satzes: Zwei kongruente Strahlbüschel erzeugen einen Kreis, d. h. ihre entsprechenden Strahlen schneiden sich in den Punkten eines Kreises, der durch die Scheitel der beiden Büschel hindurchgeht. Dagegen wissen wir nicht, ob zwei beliebig gegebene projektive Strahlbüschel einen Kegelschnitt erzeugen. Dazu gehört noch der Nachweis, daß zwei derartige Strahlbüschel stets durch perspektive Abbildung aus zwei kongruenten Strahlbüscheln gewonnen werden können, was erst im nächsten Abschnitt gezeigt wird.

**265.** Zieht man an einen Kreis irgend welche Tangenten  $a, b, c, d, \dots$ , so schneiden sie auf zwei beliebig gewählten Kreistangenten  $t$  und  $t_1$  projektive Punktreihen aus. Beide Punktreihen werden vom Kreismittelpunkt  $M$  durch kongruente Strahlbüschel projiziert (Fig. 173). Bezeichnen wir die auf  $t$  und  $t_1$  ausgeschnittenen Reihen mit  $A, B, C, D, \dots$  resp.  $A_1, B_1, C_1, D_1, \dots$ , so brauchen wir nur zu zeigen, daß die Strahlen  $MA, MB, MC, \dots$  in die Strahlen  $MA_1, MB_1, MC_1, \dots$  durch Drehung um den gleichen Winkel und in dem gleichen Sinne übergehen. Dann sind die Strahlbüschel

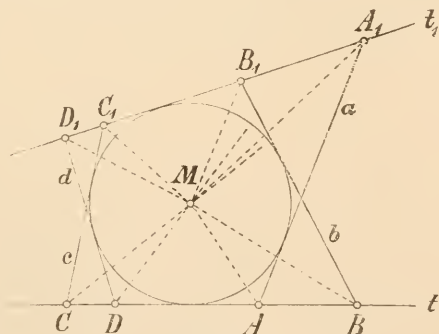


Fig. 173.

kongruent und schneiden auf  $t$  und  $t_1$  projektive Punktreihen aus. Nun bilden  $t$  und  $t_1$  mit jeder der Tangenten  $a, b, c, \dots$  ein Dreieck und alle diese Dreiecke haben  $\angle tt_1$  gemein. Folglich ist  $\angle CAA_1 + \angle C_1A_1A = \angle CBB_1 + \angle C_1B_1B$ , oder wenn man alle Winkel der Gleichung halbiert:  $\angle MAA_1 + \angle MA_1A = \angle MBB_1 + \angle MB_1B$ , was die Relation  $\angle AMA_1 = \angle BMB_1$  nach sich zieht. Durch Drehung um diesen Winkel gehen  $MA$  und  $MB$  in  $MA_1$  und  $MB_1$  über. Man zeigt ebenso einfach, daß  $\angle CMC_1 = 2R - \angle AMA_1$  ist;  $\angle CMC_1$  ist aber in entgegengesetztem Sinne gerechnet wie  $\angle AMA_1$ .



Dreht man also  $MC$  in gleichem Sinne und um den gleichen Winkel, wie bei der Drehung von  $MA$  nach  $MA_1$ , so fällt die gedrehte Gerade mit der verlängerten Geraden  $MC_1$  zusammen, w. z. b. w.

Nach 263 erkennen wir unmittelbar die Richtigkeit des Satzes: Zieht man an einen Kegelschnitt irgend welche Tangenten  $a, b, c, d, \dots$ , so schneiden sie auf zwei beliebig gewählten Tangenten  $t$  und  $t_1$  desselben projektive Punktreihen aus. Auch hier ist zu bemerken, daß die Umkehrung noch später zu beweisen ist.

**266.** Die weiteren Sätze beziehen sich auf Polygone, die einem Kreise oder Kegelschnitt ein- oder umgeschrieben sind. An erster Stelle wollen wir hier den Satz ableiten, auf den sich weiterhin einerseits die Theorie von Pol und Polare und andererseits die doppelte Erzeugungsweise der Kegelschnitte stützen soll. Die erstere findet sich im folgenden Abschnitt eingehender entwickelt und ist schon in 238 auf anderer Basis kurz besprochen worden; der letzteren ist der übernächste Abschnitt gewidmet.

Schreibt man einem Kreise oder Kegelschnitt ein beliebiges Viereck um, so schneiden sich seine beiden Diagonalen und die beiden Sehnen, welche die Berührungspunkte seiner Gegenseiten verbinden in einem Punkte.

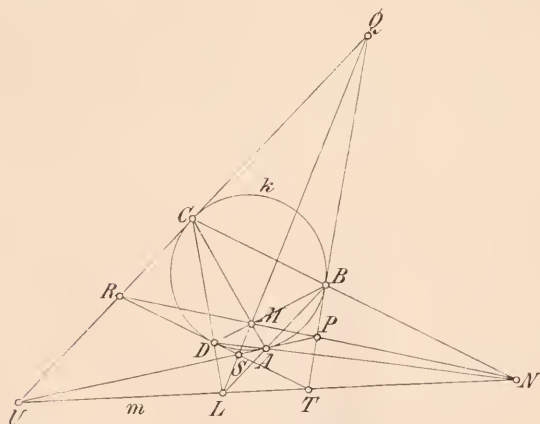


Fig. 174.

Es seien  $PQ, QR, RS, SP$  die Seiten des Vierecks und  $B, C, D, A$  die zugehörigen Berührungspunkte (Fig. 174). Bezeichnen wir nun mit  $C (QBAD)$  einen Strahlbüschel, dessen Scheitel  $C$  ist und dessen Strahlen durch  $Q, B, A, D$  gezogen sind, so erkennen wir, daß die beiden Strahlbüschel  $C (QBAD)$  und  $B (QCDA)$  in der Figur

kongruent sind. Falls jedoch an Stelle des Kreises  $k$  ein Kegelschnitt tritt, werden die bezüglichen Strahlbüschel nur noch projektiv sein (264) und nur diese Eigenschaft benutzen wir für den Beweis unseres Satzes. Nach 190 sind auch die Strahlbüschel  $C (QBAD)$  und  $B (QCDA)$  projektiv, und da der beiden gemeinsame Strahl  $CB$  sich selbst entspricht, sind sie auch perspektiv. Somit liegen die

Punkte  $Q$ ,  $M = CA \times BD$  und  $L = CD \times BA$  in gerader Linie. Ganz ebenso sind die Strahlbüschel  $D(SABC)$  und  $A(SDCB)$  projektiv und die Punkte  $S$ ,  $M$  und  $L$  liegen auf einer Geraden. Es gehören also die vier Punkte  $Q$ ,  $S$ ,  $M$ ,  $L$  der nämlichen Geraden an; ferner befinden sich die vier Punkte  $P$ ,  $R$ ,  $M$  und  $N = CB \times DA$  auf einer zweiten Geraden, und die Punkte  $L$ ,  $N$ ,  $U = SP \times QR$  und  $T = PQ \times RS$  auf einer dritten, wie man ganz analog beweist. Hiermit ist aber nicht nur der obige Satz erwiesen, sondern zugleich der folgende allgemeinere Satz: Schreibt man einem Kegelschnitt in den nämlichen vier willkürlich gewählten Punkten ein vollständiges Viereck ein und ein Vierseit um, so verbinden die Diagonalen des letzteren die Diagonalpunkte des ersteren. (Die Seiten des Vierseits berühren den Kegelschnitt in den Ecken des Vierecks.)

**267.** Da der vorstehende Satz, wie wir noch sehen werden, von fundamentaler Bedeutung für die ganze Theorie der Kegelschnitte ist, so mag hier für den Fall des Kreises noch ein Beweis stehen, der auf der Anwendung ganz einfacher planimetrischer Sätze beruht. Gilt der Satz aber für den Kreis, dann gilt er selbstverständlich auch für sein perspektives Bild, den Kegelschnitt.

Es seien wieder  $PQ$ ,  $QR$ ,  $RS$ ,  $SP$  die Seiten des umgeschriebenen Vierecks und  $B$ ,  $C$ ,  $D$ ,  $A$  die zugehörigen Berührungspunkte (Fig. 175). Schneiden sich dann  $CA$  und  $QS$  in  $M$ , so hat man:  $MQ:MS = QC:SA$ . Liegt nämlich  $G$  auf  $AC$  und ist  $QG \parallel AS$ , so ist:  $MQ:MS = QG:SA$ ; zugleich ist  $QG = QC$ , denn die Winkel bei  $G$  und  $C$  sind beide gleich dem Winkel bei  $A$ . Schneiden sich weiter  $BD$  und  $QS$  in  $M'$ , so erhält man analog:  $M'Q:M'S = QB:SD$ . Nun ist  $QB = QC$  und  $SD = SA$ , also auch:  $M'Q:M'S = MQ:MS$ ; dies hat aber das Zusammenfallen von  $M'$  und  $M$  zur Folge, da zwei verschiedene Punkte auf einer Strecke nicht das gleiche Abstandsverhältnis besitzen können. Somit geht  $QS$  durch den Schnittpunkt von  $AC$  und  $BD$ . Die gleiche Beweisführung zeigt, daß auch  $PR$  durch diesen Schnittpunkt hindurchgeht, so daß sich die vier Geraden  $AC$ ,  $BD$ ,  $PR$  und  $QS$  in dem Punkte  $M$  schneiden.

Indem wir von dem umgeschriebenen Viereck  $PQRS$  ausgingen, zeigten wir soeben, daß die vier Geraden  $AC$ ,  $BD$ ,  $PR$  und  $QS$  sich

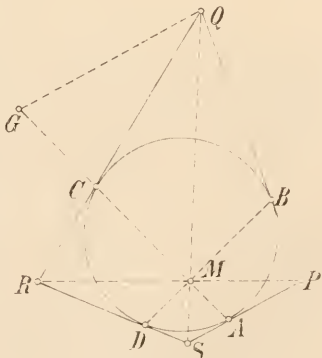


Fig. 175.

in einem Punkte  $M$  schneiden (Fig. 174). Legen wir das Viereck  $STQU$  zu Grunde, so sind  $QS$  und  $UT$  seine Diagonalen, während seine zwei Paar Gegenseiten in  $D$  und  $C$ , resp.  $B$  und  $A$  berühren. Ganz in der gleichen Weise wie vorher findet man, daß sich jetzt die vier Geraden  $QS$ ,  $UT$ ,  $CD$  und  $BA$  in einem Punkte  $L$  schneiden. Endlich folgern wir aus dem umgeschriebenen Viereck  $RTPU$ , daß die vier Geraden  $PR$ ,  $UT$ ,  $DA$  und  $CB$  einen Punkt  $N$  gemein haben, womit unser Satz abermals bewiesen ist.

**268.** Die Gegenseiten eines einem Kreise oder Kegelschnitte eingeschriebenen Sechsecks schneiden sich in den Punkten einer Geraden. Dieser Satz heißt der Pascal'sche Satz und die Gerade die zu dem Sechseck gehörige Pascal'sche Gerade.<sup>9)</sup>

Es seien  $P = 12 \times 45$ ,  $Q = 23 \times 56$  und  $R = 34 \times 61$  die Schnittpunkte der Gegenseiten und überdies  $S = 34 \times 56$ ,  $T = 45 \times 61$  (Fig. 176). Die

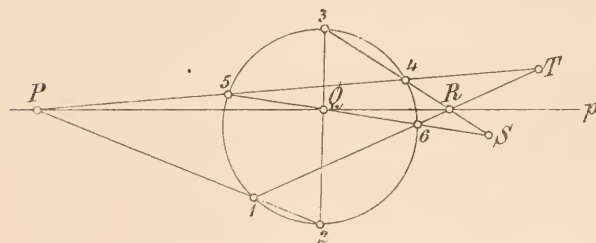


Fig. 176.

aus den Punkten 1 und 3 als Scheitel nach 2, 4, 5, 6 gezogenen Strahlen bilden entweder kongruente oder projektive Büschel, je nachdem das Sech-

seck 123456 einem Kreise oder einem Kegelschnitte eingeschrieben ist. Die Schnittpunkte des ersten Büschels mit der Geraden 45 sind der Reihe nach:  $P$ , 4, 5,  $T$ , die des zweiten mit der Geraden 56 aber:  $Q$ ,  $S$ , 5, 6. Diese Punktreihen sind projektiv als Schnitte projek-

tiver Büschel und, da sie den Punkt 5 entsprechend gemein haben in perspektiver Lage, d. h. die Verbindungslinien  $p = PQ$ , 4  $S$  (oder 3 4),  $T6$  (oder 6 1) schneiden sich in einem Punkte  $R$ , w. z. b. w.

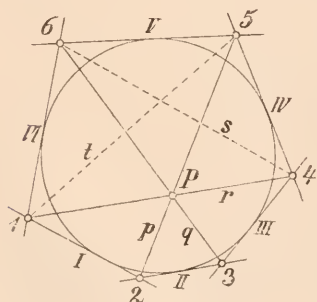


Fig. 177.

**269.** Die Verbindungslinien der Gegenecken eines einem Kreise oder Kegelschnitte umgeschriebenen Sechsecks schneiden sich in einem Punkte. Dieser Satz rührt von Brianchon her und der zu dem Sech-

seit gehörige Punkt wird sein Brianchon'scher Punkt genannt.<sup>10)</sup>

Es seien I, II, III, IV, V, VI die Seiten,  $p = 25$ ,  $q = 36$ ,  $r = 14$  die Verbindungslinien der Gegenecken und  $s = 46$ ,  $t = 51$  (Fig. 177). Die auf den Tangenten I und III von den Tangenten II, IV, V, VI ausgeschnittenen Punkte bilden nach 265 zwei projektive Punktreihen. Die Punkte der ersten Reihe werden aus dem Centrum 5 durch die Strahlen  $p$ , IV, V,  $t$ , die Punkte der zweiten Reihe aus dem Centrum 6 durch die Strahlen  $q$ ,  $s$ , V, VI projiziert. Diese Strahlbüschel sind folglich projektiv und, da sie den Strahl V entsprechend gemein haben, in perspektiver Lage, d. h. die Schnittpunkte

$$P = p \times q, IV \times s \text{ (oder 4)}, t \times VI \text{ (oder 1)}$$

liegen auf einer Geraden  $r$ , w. z. b. w.

**270.** Die Sätze von Pascal und Brianchon lassen eine Reihe von Spezialisierungen zu, die wir hier erwähnen müssen. Läßt man bei dem eingeschriebenen Sechseck 1 2 3 4 5 6 die beiden Ecken 5 und 6 sich mehr und mehr nähern, bis sie zusammenfallen, dann wird die Seite 5 6 zur Tangente  $t$  im Punkt  $5 = 6$ . Aus dem Pascal'schen Satze folgt alsdann, daß die Punkte:  $12 \times 45 = P$ ,  $23 \times t = S$  und  $34 \times 51 = R$  in gerader Linie liegen (Fig. 178). Teilt man die fünf Seiten eines einem Kegelschnitt einbeschriebenen Fünfecks beliebig in zwei Paare und eine einzelne Seite, doch so daß jedes Paar vier Ecken enthält, dann liegen die Schnittpunkte der beiden Paare in gerader Linie mit dem Schnittpunkt der letzten Seite und der Tangente in der gegenüberliegenden Ecke.

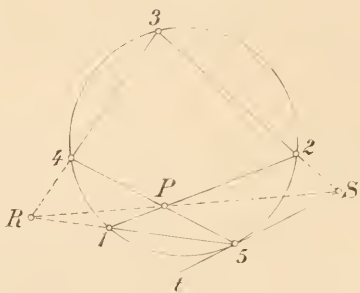


Fig. 178.

**271.** Auch der in 266 aufgestellte Satz ist als spezieller Fall des Pascal'schen Satzes anzusehen (Fig. 174). Lassen wir nämlich in dem einem Kegelschnitt einbeschriebenen Sechseck  $AA_1BCC_1D$  die Ecke  $A_1$  mit  $A$  und die Ecke  $C_1$  mit  $C$  zusammenrücken, so entsteht das eingeschriebene Viereck  $ABCD$  mit den beiden Tangenten in  $A$  und  $C$ ; folglich liegen die Punkte  $AB \times CD = L$ ,  $BC \times DA = N$  und  $U$  als Schnittpunkt der beiden Tangenten in  $A$  und  $C$  auf einer Geraden. Das Sechseck  $ABB_1CDD_1$ , bei welchem einerseits  $B_1$  und  $B$  und andererseits  $D_1$  und  $D$  unendlich nahe liegen, liefert bei Anwendung des Pascal'schen Satzes das Resultat, daß  $AB \times CD = L$ ,  $BC \times DA = N$  und  $T$  als Schnittpunkt der Tangenten in  $B$  und  $D$  auf einer Geraden liegen.





266 durch Spezialisierung ableiten. Läßt man von dem umgeschriebenen Sechseit die erste Seite mit der zweiten und ebenso die vierte mit der fünften zusammenfallen, so erhält man ein umgeschriebenes Vierseit, und der Brianchon'sche Satz sagt aus, daß sich bei diesem die beiden Diagonalen und die Verbindungslinie der Berührungspunkte zweier Gegenseiten in einem Punkte schneiden. Durch mehrmalige Anwendung ergeben sich wieder die Eigenschaften der Fig. 174.

Sind endlich bei dem umgeschriebenen Sechseit die erste und zweite, die dritte und vierte, die fünfte und sechste Seite zusammengerückt, so wird aus demselben ein umgeschriebenes Dreiseit und aus seinen sechs Ecken gehen die Ecken und Berührungspunkte des Dreiseits hervor. In Fig. 179 sind dies der Reihe nach die Punkte  $ARBPCQ$ , so daß sich  $AP$ ,  $BQ$  und  $CR$  in einem Punkte  $M$  schneiden. Schreibt man einem Kegelschnitt ein Dreiseit um, so schneiden sich die Verbindungslinien seiner Ecken mit den Berührungspunkten seiner Gegenseiten in einem Punkte.

**274.** Es mag noch darauf hingewiesen werden, daß die Sätze von Pascal und Brianchon und die daraus abgeleiteten Sätze beim Kreise für besondere Lagen der Punkte oder Tangenten unmittelbar einleuchtend sind, und daß daraus auch die Richtigkeit der Sätze bei allgemeiner Lage geschlossen werden kann. Schreibt man z. B. dem Kreise ein gleichseitiges Dreieck um, so gehen die Verbindungslinien seiner Ecken mit den Berührungspunkten (Mittelpunkten) der gegenüberliegenden Seiten durch den Kreismittelpunkt. Nach 255 kann aber der Kreis so in einen andern Kreis perspektiv abgebildet werden, daß die Berührungspunkte des gleichseitigen Dreiecks in drei beliebige Punkte des zweiten Kreises übergehen. Damit gilt dann der Satz für jedes einem Kreise umgeschriebene Dreiseit.

Ferner kann nach 253 ein Kreis so in einen andern Kreis abgebildet werden, daß dabei das Bild einer vorgegebenen Geraden — die allerdings den Kreis nicht schneiden darf — ins Unendliche rückt. Dadurch geht z. B. die Fig. 174 in die Fig. 181 über, wenn dabei das Bild von  $m = NL$  un-

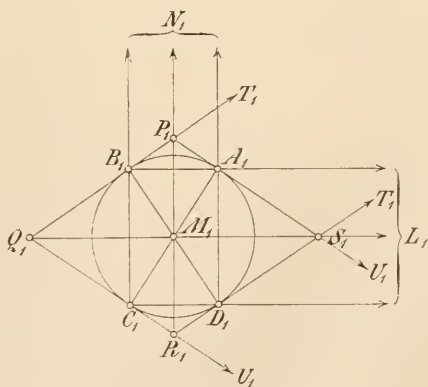


Fig. 181.

endlich fern wird. Das eingeschriebene Viereck wird hier zum Rechteck und die Wahrheit des Satzes in 266 ist in die Augen springend.

Auch das einem Kreise um- oder einbeschriebene Sechseck kann man durch Perspektive in besondere Formen bringen, für welche die angeführten Sätze sich leicht erweisen lassen, doch soll hier nicht weiter darauf eingegangen werden.

### Pol und Polare eines Kegelschnittes; Mittelpunkt, Durchmesser und Achsen.

275. In 238 wurden die Haupteigenschaften von Pol und Polare abgeleitet, indem wir sie als Centrum und Achse einer ebenen Perspektive ansahen, die den Kreis in sich selbst abbildet. Hier sollen diese Eigenschaften nochmals nachgewiesen werden und zwar gestützt auf den Satz vom Viereck und Vierseit, die einem Kegelschnitt in den nämlichen vier Punkten ein- und umgeschrieben

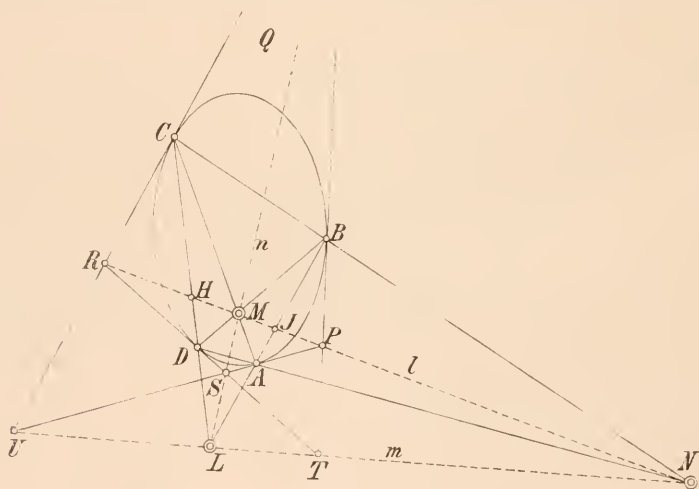


Fig. 182.

sind. In Fig. 182 sind  $ABCD$  die vier Punkte auf dem Kegelschnitt.  $PR, QS$  und  $TU$  sind die drei Diagonalen des umgeschriebenen Vierseits; sie bilden ein Dreieck, dessen Ecken  $L, M$  und  $N$  zugleich die Diagonalpunkte des eingeschriebenen Vierecks sind. Nach 203 werden auf jeder Seite eines vollständigen Vierecks die beiden Ecken durch einen Diagonalpunkt und den Schnittpunkt mit der Verbindungslinie der beiden andern harmonisch getrennt. So teilen  $L$  und  $J = AB \times MN$  die Sehne  $AB$ , ferner  $L$  und  $H = CD \times MN$  die Sehne  $CD$  harmonisch.

Auf der Geraden  $MN$  liegen noch die vier weiteren Punkte  $P,$

$R, H, J$ . Durch zwei von ihnen, etwa  $P$  und  $J$ , ist diese Gerade bestimmt. Die Wahl des Punktes  $L$  und der Sehne  $AB$  durch  $L$  genügt aber, um  $P$  als Schnitt der Tangenten in  $A$  und  $B$ , sowie  $J$  als vierten harmonischen Punkt zu  $AB$  und  $L$  zu konstruieren. Hält man also den Punkt  $L$  und die eine Sehne durch ihn, nämlich  $AB$ , fest, während man die andere Sehne  $CD$  sich um  $L$  drehen läßt, so bewegen sich zwar auch die Punkte  $H, R, M$  und  $N$  auf der Geraden  $PJ$ , die Lage der Geraden selbst aber bleibt ungeändert. Hält man dagegen die Sehne  $CD$  fest und läßt die Sehne  $AB$  sich um  $L$  drehen, so bleiben  $R$  und  $H$  fest und damit wiederum die Lage der Geraden.

Demnach kann man beide Sehnen nacheinander Drehungen um  $L$  ausführen lassen, was auch eine Bewegung der sechs Punkte  $M, N, P, R, H, J$  nach sich zieht, ohne daß der Träger dieser Punkte seine Lage verändert. Das will aber doch sagen, daß die Gerade  $MN$  nur von der Wahl des Punktes  $L$ , nicht aber von der Wahl der durch  $L$  gezogenen Sehnen abhängt. Aus der Figur können wir nun unmittelbar die schon früher aufgezählten Eigenschaften von Pol und Polare hinsichtlich des Punktes  $L$  und der Geraden  $l$  ablesen.

$\alpha$ ) Je zwei beliebige Sehnen durch den Pol besitzen vier Endpunkte, deren vier Verbindungslinien sich zweimal zu zwei auf der Polare schneiden (woraus ihre Konstruktion folgt).

$\beta$ ) Jede Sehne durch den Pol bestimmt in ihren Endpunkten zwei Tangenten, die sich auf der Polare schneiden.

$\gamma$ ) Jede Sehne durch den Pol wird von diesem und seiner Polare harmonisch geteilt.

$\delta$ ) Die Tangenten aus dem Pol — falls es solche giebt — haben ihre Berührungspunkte auf der Polare. Eine aus  $L$  an den Kegelschnitt gezogene Tangente ist nämlich als unendlich kleine Sehne aufzufassen, und da  $L$  außerhalb der Sehne liegt, muß der vierte harmonische Punkt auf ihr liegen, d. h. er fällt mit dem Berührungspunkt der Tangente zusammen.

**276.** Die Fig. 182 läßt uns erkennen, daß nicht nur  $MN$  die Polare von  $L$  ist, sondern daß auch  $LM$  die Polare von  $N$  und  $LN$  die Polare von  $M$  ist. Denn  $BC$  und  $AD$  sind zwei Sehnen durch  $N$ ; deshalb schneiden sich die vier Verbindungslinien ihrer Endpunkte paarweise auf der Polare von  $N$ , nämlich  $BD$  und  $AC$  in  $M$  und  $AB$  und  $CD$  in  $L$ . Das Dreieck  $LMN$  hat die besondere Eigenschaft, daß jede Seite die Polare der gegenüberliegenden Ecke ist. Ein solches Dreieck nennt man ein Polardreieck des Kegelschnittes.

Der Anblick unserer Figur lehrt uns sofort die beiden Sätze: Die Diagonalepunkte eines einem Kegelschnitte eingeschriebenen vollständigen Vierecks  $ABCD$  bilden die Ecken eines Polardreiecks. Die Diagonalen eines dem Kegelschnitte umschriebenen Vierseits  $PQRS$  bilden die Seiten eines Polardreiecks.

**277.** Der wichtigste Satz der Polarentheorie lautet nun: Geht die Polare eines Punktes  $L$  durch einen Punkt  $N$ , so geht auch umgekehrt die Polare von  $N$  durch den Punkt  $L$ . Zieht man nämlich durch  $N$  eine beliebige Sehne  $BC$  (Fig. 182) und verbindet ihre Endpunkte  $B$  und  $C$  mit  $L$ , so schneiden diese den Kegelschnitt noch je in einem Punkte  $A$  resp.  $D$ .  $AB$  und  $CD$  sind aber zwei Sehnen durch  $L$ ; die vier Verbindungslinien ihrer Endpunkte schneiden sich somit paarweise in zwei Punkten der Polare von  $L$ . So wird  $BC$  von  $AD$  in einem Punkte der genannten Polare getroffen; dies kann jedoch nur der Punkt  $N$  sein, da nach der Voraussetzung  $N$  ein Punkt dieser Polare ist. Nun gehen  $BC$  und  $AD$  durch  $N$ , folglich liegt  $L = AB \times CD$  auf der Polare  $n$  von  $N$ . Zwei Punkte, von denen jeder auf der Polare des andern liegt, heißen harmonische oder konjugierte Pole in Bezug auf den gegebenen Kegelschnitt. Die Beziehung zwischen beiden ist wechselseitig, und falls ihre Verbindungslinie den Kegelschnitt schneidet, liegen sie zu diesen Schnittpunkten harmonisch. Das folgt unmittelbar aus den Eigenschaften von Pol und Polare.

**278.** Die soeben gewonnenen Resultate kann man noch in anderer Form aussprechen. Bewegt sich ein Punkt  $L$  auf einer Geraden  $n$ , so dreht sich seine Polare  $l$  um den Pol  $N$  dieser Geraden und umgekehrt. Da nämlich hierbei  $L$  stets auf  $n$  liegt, oder mit anderen Worten die Polare  $n$  von  $N$  stets durch  $L$  geht, so muß auch die Polare  $l$  von  $L$  stets durch  $N$  gehen, w. z. b. w.

Hieraus ergibt sich auch die Konstruktion des Poles  $L$  einer Geraden  $l$ . Man nehme dazu auf  $l$  zwei beliebige Punkte  $J$  und  $K$  an und bestimme ihre Polaren  $i$  und  $k$  nach 275a. Der Punkt  $i \times k$  ist dann der Pol von  $l$ , denn die Polare eines jeden Punktes von  $l$  geht ja durch den zu  $l$  gehörigen Pol  $L$ .

**279.** Liegt der Pol einer Geraden  $l$  auf einer Geraden  $n$ , so liegt auch umgekehrt der Pol von  $n$  auf der Geraden  $l$ . Denn ist  $L$  der Pol von  $l$  und  $N$  der Pol von  $n$ , so liegt  $L$  nach der Voraussetzung auf  $n$ . Da somit die Polare von  $N$  durch  $L$  geht, muß nach dem Satze in 277 auch die Polare von  $L$ , also  $l$

durch  $N$  gehen. Zwei Gerade, von denen jede durch den Pol der andern geht, heißen harmonische oder konjugierte Polaren in Bezug auf den gegebenen Kegelschnitt.

Kann man vom Schnittpunkt zweier konjugierter Polaren Tangenten an den gegebenen Kegelschnitt legen, so teilen sie den Winkel dieser Tangenten harmonisch. Sind  $l$  und  $m$  die konjugierten Polaren,  $L$  auf  $m$  und  $M$  auf  $l$  die zugehörigen Pole, so ist  $LM$  die Polare von  $N = l \times m$  nach der vorigen Nummer (Fig. 183). Die Berührungspunkte  $T_1$  und  $T_2$  der von  $N$  an den Kegelschnitt gelegten Tangenten  $t_1$  und  $t_2$  liegen auf der Polare von  $N$ , d. h. auf  $LM$ .  $L$  und  $M$  sind aber konjugierte Pole und teilen deshalb die Sehne  $T_1T_2$  harmonisch, und somit teilen auch  $l$  und  $m$  den Winkel der Tangenten  $t_1$  und  $t_2$  harmonisch.

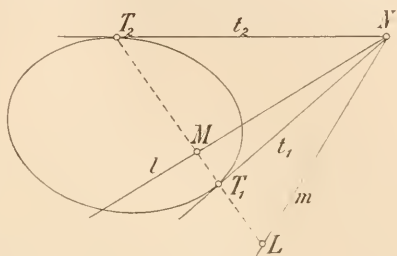


Fig. 183.

**280.** Nach dem Vorausgehenden gelten offenbar auch die Sätze: Die harmonischen Pole zu einem gegebenen Pole  $P$  in Bezug auf einen Kegelschnitt liegen auf einer Geraden  $p$ , der Polare von  $P$ . Die harmonischen Polaren zu einer gegebenen Polare  $p$  in Bezug auf einen Kegelschnitt gehen durch einen Punkt  $P$ , den Pol von  $p$ . Ferner ist klar: Berührt die Polare den Kegelschnitt, so ist ihr Pol der Berührungspunkt, und umgekehrt. In Fig. 183 teilen  $M$  und  $L$  die Sehne  $T_1T_2$  harmonisch. Nähert sich nun  $L$  dem Punkt  $T_1$ , so nähert sich auch  $M$  diesem Punkt, und rückt  $L$  in  $T_1$  hinein, so thut dies auch  $M$ . Es ist aber  $M$  der Pol von  $LN$ ; rückt also der Pol auf den Kegelschnitt, so wird seine Polare zur Tangente in ihm.

Ein Punkt in der Ebene eines Kegelschnittes heißt äußerer oder innerer Punkt, je nachdem seine Polare denselben schneidet oder nicht (vergl. 259).

**281.** Der in 278 aufgestellte Satz kann noch in folgender Weise erweitert werden: Beschreibt ein Punkt eine Punktreihe, so beschreibt die ihm in Bezug auf einen gegebenen Kegelschnitt zugehörige Polare einen Strahlbüschel, der projektiv zur Punktreihe ist und umgekehrt. Bewegt sich der Punkt  $L$  auf einer Geraden  $m$ , so dreht sich seine Polare  $l$  um den Pol  $M$  von  $m$ . Die Konstruktion der Polare des Punktes  $L$



in seinen verschiedenen Lagen, die wir mit  $L, L_1, L_2, \dots$  bezeichnen, führen wir folgendermaßen aus (Fig. 184). Durch  $M$  legen wir irgend eine Sehne  $AC$ , die wir für alle Konstruktionen festhalten. Die Geraden  $LA$  und  $LC$  schneiden den Kegelschnitt noch in je einem Punkte  $D$  resp.  $B$ . Nach 275a liegen dann die Punkte  $AC \times BD$  und  $AB \times CD$  auf der Polare  $l$  von  $L$ . Da aber  $l$  durch den Punkt  $M$  von  $AC$  geht, so schneiden sich  $AC$  und  $BD$  in  $M$ ,

während sich  $AB$  und  $CD$  in einem Punkte  $N$  der Geraden  $m$  schneiden müssen (man konstruiert ja geradezu die Polare  $m$  von  $M$  als Verbindungslinie der Punkte  $AB \times CD = N$  und  $AD \times BC = L$ ). Ganz ebenso verbindet die Polare  $l_1$  des Punktes  $L_1$  die Punkte  $M$  und  $N_1 = AB_1 \times CD_1$ , wobei  $M$  als Schnittpunkt der Sehnen  $AC$  und

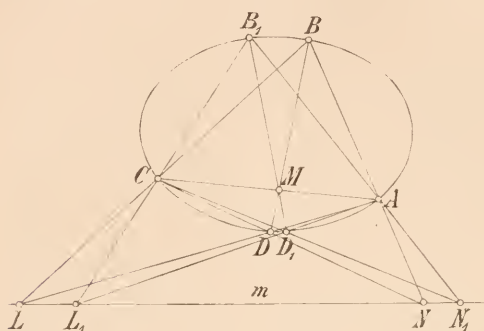


Fig. 184.

$B_1D_1$  erscheint. Wir können uns noch weitere Polaren konstruiert denken, dabei wird allgemein die Polare von  $L_i$  als Verbindungslinie der Punkte  $M$  und  $N_i = AB_i \times CD_i$  erhalten. Auf der Geraden  $m$  befinden sich nun zwei projektive Punktreihen  $(L, L_1, L_2, \dots)$  und  $(N, N_1, N_2, \dots)$ . Denn zieht man von  $C$  aus Strahlen nach den Punkten der ersten Reihe und von  $A$  aus Strahlen nach denen der zweiten, so erhält man zwei Strahlbüschel, deren Scheitel auf dem Kegelschnitt liegen und deren entsprechende Strahlen sich in Punkten  $B, B_1, B_2, \dots$  desselben schneiden. Solche Büschel sind aber nach 264 projektiv. Aus der Projektivität der Reihen können wir sofort schließen, daß auch die Punktreihe  $(L, L_1, L_2, \dots)$  und der Strahlbüschel  $M(N, N_1, N_2, \dots)$  projektiv sind, w. z. b. w.

**282.** Die beiden Punktreihen  $(L, L_1, L_2, \dots)$  und  $(N, N_1, N_2, \dots)$  sind indessen nicht nur projektiv, sondern sogar involutorisch. Um dies zu beweisen, haben wir nach 220 nur zu zeigen, daß dem Punkte  $N$  als einem Punkt der ersten Reihe in der zweiten Reihe wiederum der Punkt  $L$  entspricht. Von einem Punkte  $L_i$  der ersten Reihe gelangt man aber zu dem entsprechenden  $N_i$  in der zweiten, indem man  $L_i$  mit  $C$  verbindet, diese Gerade mit dem Kegelschnitt in  $B_i$  schneidet; dann liegt  $N_i$  auf der Verbindungslinie von  $B_i$  mit  $A$ . Fällt  $L_i$  mit  $N$  zusammen, so rückt

$B_i$  nach  $D$  und  $DA$  schneidet auf  $m$  den entsprechenden Punkt  $N_i$  aus, der sich also mit  $L$  deckt. Die Punktepaare  $LN, L_1N_1, L_2N_2, \dots$  sind harmonische Pole in Bezug auf den gegebenen Kegelschnitt. Das giebt den Satz: Auf einer jeden Geraden bilden die Paare harmonischer Pole eine Involution. Schneidet die Gerade den Kegelschnitt, so sind ihre Schnittpunkte die Doppelpunkte der Involution. Das letztere ist ohne weiteres klar, da diese Schnittpunkte zu jedem Paar harmonischer Pole harmonisch liegen (223).

Betrachtet man in Fig. 184 die harmonischen Polaren durch den Punkt  $M$ , so erkennt man sofort, daß sie involutorische Strahlbüschel bilden, da sie die Gerade  $m$  in den Punktepaaren  $LN, L_1N_1, L_2N_2, \dots$  einer Involution schneiden. Alle durch einen Punkt gehenden Geraden ordnen sich in Bezug auf einen Kegelschnitt in Paare harmonischer Polaren zusammen und diese bilden eine Involution. Kann man von dem Punkt aus Tangenten an denselben legen, so sind sie die Doppelstrahlen der Involution.

**283.** Aus der Fig. 184 können wir noch weitere Schlüsse ziehen. Indem wir von den einzelnen Punkten des Kegelschnittes aus Strahlenpaare nach den festen Punkten  $A$  und  $C$  ziehen, schneiden diese auf der Geraden  $m$  die Punktepaare einer Involution aus, welche harmonische Pole bilden. Dabei ist nur die Voraussetzung gemacht, daß  $AC$  durch den Pol  $M$  von  $m$  geht, daß also  $m$  und  $AC$  harmonische Polaren sind. Die Verbindungslinien beliebiger Punkte  $B, B_1, \dots$  eines Kegelschnittes mit zwei festen Punkten  $A$  und  $C$  desselben schneiden jede Gerade  $m$ , die harmonische Polare zu  $AC$  ist, in harmonischen Polen  $L$  und  $N, L_1$  und  $N_1, \dots$

**284.** Die Resultate der letzten Nummern haben wir aus der Fig. 184 mit Hilfe des eingeschriebenen Vierecks abgeleitet. Wir können sie aber auch aus den Eigenschaften des umgeschriebenen Vierseits gewinnen (Fig. 185). Lassen wir hier den Punkt  $M$  und somit auch seine Polare  $m$  ungeändert und halten ferner den Punkt  $U$  und die durch ihn gehenden Seiten  $a$  und  $c$  des Vierseits fest, während wir dem Punkte  $T$  verschiedene Lagen  $T, T_1, T_2, \dots$  auf  $m$  erteilen. Dann nehmen auch die Seiten  $b$  und  $d$  des Vierseits verschiedene Lagen an und ebenso seine Diagonalen  $l = PR$  und  $n = QS$ . Doch gehen diese letzteren in allen ihren Lagen  $l$  und  $n, l_1$  und  $n_1, l_2$  und  $n_2, \dots$  durch den Punkt  $M$  und bilden harmonische Polaren. Man erhält je zwei harmonische Polaren durch  $M$  dadurch,

daß man die festen Tangenten  $a$  und  $c$  mit einer beliebigen weiteren Tangente, etwa  $b$ , schneidet und die Schnittpunkte  $P$  und  $Q$  mit  $M$  verbindet. Da verschiedene Tangenten  $b, b_1, b_2, \dots$  auf  $a$  und  $c$  projektive Reihen  $P, P_1, P_2, \dots$  und  $Q, Q_1, Q_2, \dots$  ausschneiden, so sind auch die Strahlbüschel  $M(P, P_1, P_2, \dots)$  und  $M(Q, Q_1, Q_2, \dots)$

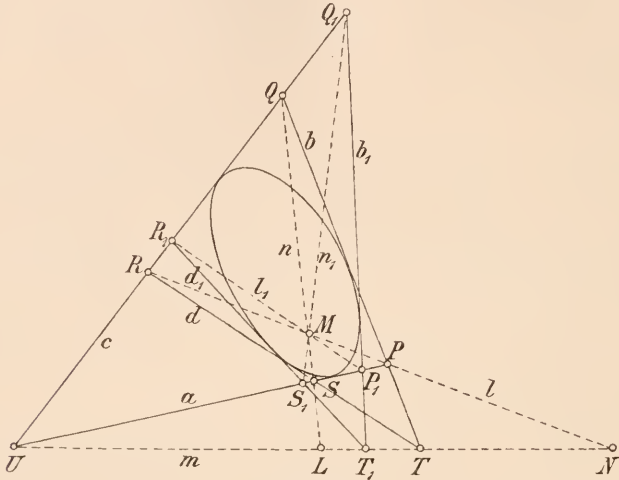


Fig. 185.

projektiv und sogar involutorisch. Denn dem Punkt  $S$  der ersten Reihe entspricht der Punkt  $R$  der zweiten; die Strahlen  $MP = MR$  und  $MQ = MS$  entsprechen sich also vertauschbar. Hiermit sind aber die Sätze in 281 und 282 aufs neue bewiesen. Auch erkennen wir aus diesen Darlegungen den Satz: Die Schnittpunkte be-

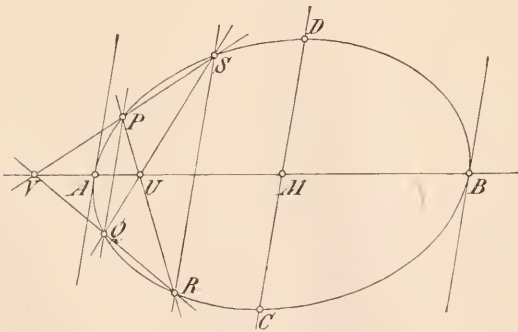


Fig. 186.

liebiger Tangenten eines Kegelschnittes mit zwei festen Tangenten  $a$  und  $c$  desselben liefern mit irgend einem Punkt  $M$ , der harmonischer Pol zu  $U = a \times c$  ist, verbunden harmonische Polaren  $l$  und  $n, l_1$  und  $n_1, \dots$

**285.** Der Mittelpunkt und der unendlich ferne Punkt auf jeder Sehne eines Kegelschnittes sind harmonische Pole. Hieraus folgt:

Die Mittelpunkte paralleler Sehnen eines Kegelschnittes liegen auf einer Geraden, der Polare ihres unendlich fernen Punktes (ihrer Richtung); dieselbe heißt ein Durchmesser des Kegelschnittes.

Der Durchmesser enthält die Pole aller der gedachten Sehnen, insbesondere also die Berührungspunkte der zu ihnen parallelen Tangenten des Kegelschnittes (Figg. 186, 187, 188).

Liegt die Kurve gezeichnet vor, so wird ein Durchmesser  $AB$  mit Hilfe zweier paralleler Sehnen  $PQ$  und  $RS$  konstruiert, indem man ihre Endpunkte wechselseitig verbindet und den Durchmesser durch die Punkte  $U = PR \times QS$  und  $V = PS \times QR$  legt.

**286.** Alle Durchmesser eines Kegelschnittes gehen als Polaren unendlich ferner Punkte durch den Pol der unendlich fernen Geraden; dieser heißt Mittelpunkt des Kegelschnittes. Man übersieht diese Verhältnisse am besten, wenn man sich vom Kegelschnitt zum Kreise, dessen perspektives Bild er darstellt, zurückwendet. Der Verschwindungslinie und ihrem Pol in Bezug auf den Kreis entsprechen in der Bildfigur die unendlich ferne Gerade und der Mittelpunkt des Kegelschnittes, der den Pol der unendlich fernen Geraden bezüglich des Kegelschnittes bildet.

Der Mittelpunkt der Ellipse liegt in ihrem Innern, weil sie von der unendlich fernen Geraden nicht getroffen wird.

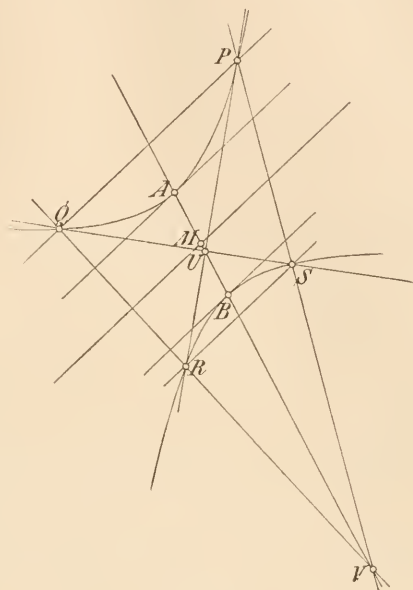


Fig. 187.

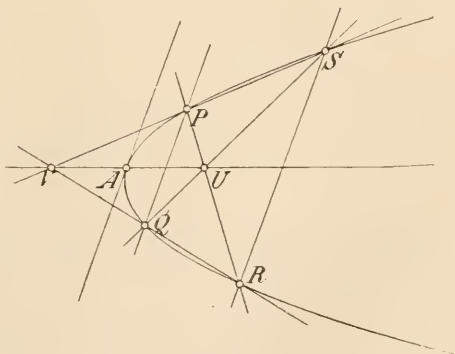


Fig. 188.

Für die Hyperbel ist der Mittelpunkt ein äußerer Punkt, denn es giebt von ihm aus zwei Tangenten. Ihre Berührungspunkte sind die Schnittpunkte der Hyperbel mit der Polare des Mittelpunktes, d. h. mit der unendlich fernen Geraden. Die Hyperbel besitzt ja zwei unendlich ferne Punkte und die Tangenten in diesen Punkten, die Asymptoten, schneiden sich im Mittelpunkte (vergl. 261).

Der Mittelpunkt der Parabel fällt mit ihrem unendlich fernen Punkte zusammen, weil dieser als Berührungspunkt der unendlich fernen Geraden zugleich deren Pol ist. Man erkennt dies auch sofort daraus, daß die Parabel als perspektives Bild eines Kreises erhalten wird, wenn die Verschwindungslinie den Kreis berührt; der Pol der Verschwindungslinie bezüglich des Kreises ist dann eben ihr Berührungspunkt. Die Parabeldurchmesser sind sämtlich nach dem unendlich fernen Punkt der Parabel gerichtet, also unter sich parallel. Bei der Parabel sagt man auch, sie habe keinen Mittelpunkt, da er ja nicht mehr im Endlichen liegt und also die Durchmesser nicht mehr halbiert (vergl. 287).

**287.** Ein Durchmesser schneidet entweder den Kegelschnitt und wird dann durch die Schnittpunkte begrenzt (reeller Durchmesser), oder er trifft den Kegelschnitt nicht und ist unbegrenzt (imaginärer Durchmesser). Im ersten Falle ist sein unendlich ferner Pol ein äußerer, im zweiten ein innerer Punkt des Kegelschnittes (vergl. 280).

Die Durchmesser der Ellipse sind sämtlich begrenzt, weil die unendlich fernen Punkte ihrer Ebene alle außerhalb der Kurve liegen.

Unter den Durchmessern der Hyperbel giebt es begrenzte und unbegrenzte, weil die Punkte der unendlich fernen Geraden durch die unendlich fernen Punkte der Hyperbel in äußere und innere Punkte geschieden werden. Zwischen beiden Arten von Durchmessern bilden die Asymptoten den Übergang.

Bei der Ellipse und Hyperbel werden die begrenzten Durchmesser vom Mittelpunkt der Kurve halbiert; denn die Endpunkte eines jeden Durchmessers werden vom Mittelpunkt und seiner Polare, der unendlich fernen Geraden, harmonisch geteilt.

Die Durchmesser der Parabel sind einerseits durch einen Punkt im Endlichen begrenzt und erstrecken sich andererseits bis zu ihrem unendlich fernen Punkte.

Alle hier erwähnten Eigenschaften ergeben sich auch aus den Polareigenschaften des Kreises durch perspektive Abbildung.

**288.** Zwei Durchmesser eines Kegelschnittes heißen konjugiert, wenn jeder den unendlich fernen Pol des andern



enthält. Jedes Paar konjugierter Durchmesser bildet mit der unendlich fernen Geraden zusammen ein Polardreieck, dessen eine Ecke im Mittelpunkt des Kegelschnittes liegt. Bei der Centralprojektion des Kreises gehen nämlich alle Polardreiecke, deren eine Seite mit der Verschwindungslinie und deren eine Ecke mit ihrem Pol zusammenfällt, in die vorher erwähnten Polardreiecke des Kegelschnittes über. Es folgen hieraus noch weiter die Sätze: Von zwei konjugierten Durchmessern halbiert jeder die zum andern parallelen Sehnen. Die Tangenten in den Endpunkten eines Durchmessers sind zum konjugierten Durchmesser parallel. Konjugierte Durchmesser eines Kreises sind zu einander rechtwinklig.

**289.** Zu irgend einem Durchmesser der Parabel ist als konjugierter stets die unendlich ferne Gerade zu rechnen, so daß man hier eigentlich nicht von konjugierten Durchmessern reden kann. Beim Kreise, dessen Bild die Parabel ist, entsprechen den Parabeldurchmessern alle Kreissehnen, die durch den nämlichen Punkt des Kreises gehen, in dem er von der Verschwindungslinie berührt wird. Zu allen Sehnen durch den nämlichen Punkt eines Kreises ist aber die Tangente in diesem Punkte eine konjugierte Polare; dagegen können zwei derartige Sehnen nicht konjugierte Polaren sein, da nicht eine den Pol der andern enthalten kann.

Jeder Parabeldurchmesser halbiert ein System paralleler Sehnen, zu dem auch die Tangente in seinem Endpunkte parallel ist. Auch die Parabelsehnen, die zu der Richtung aller Durchmesser senkrecht stehen, werden von einem bestimmten Durchmesser halbiert. Die Parabel besitzt eine Symmetrielinie oder Achse, die alle zu ihr normalen Sehnen halbiert. Der Endpunkt der Achse heißt Scheitel, die zugehörige Tangente ist normal zur Achse.

**290.** Die Paare konjugierter Durchmesser eines Kegelschnittes bilden an seinem Mittelpunkt eine Involution; denn sie sind harmonische Polaren (282, 288).

Bei der Ellipse hat die Involution der konjugierten Durchmesser keine Doppelstrahlen. Dagegen hat diese Involution bei der Hyperbel Doppelstrahlen; es sind die vom Mittelpunkt an die Hyperbel gelegten Tangenten oder Asymptoten (282). Jedes Paar konjugierter Durchmesser der Hyperbel liegt zu ihren Asymptoten harmonisch.

**291.** Unter den konjugierten Durchmessern einer Ellipse oder Hyperbel giebt es stets zwei zu einander rechtwinklige; sie heißen Achsen und ihre Endpunkte die

Scheitel. Die Achsen sind Symmetrielinien des Kegelschnittes (vergl. 230).

Die Achsen der Ellipse endigen in vier Scheiteln. Die Achsen der Hyperbel halbieren die Winkel zwischen ihren Asymptoten; die eine trägt die beiden Scheitel der Hyperbel, die andere ist unbegrenzt.

Von der Konstruktion der Achsen wird weiterhin noch die Rede sein.

**292.** Nach Früherem (276) erhält man ein Polardreieck eines Kegelschnittes entweder als Diagonaldreieck eines eingeschriebenen Vierecks, oder als Diagonaldreieck eines umgeschriebenen Vierseits.

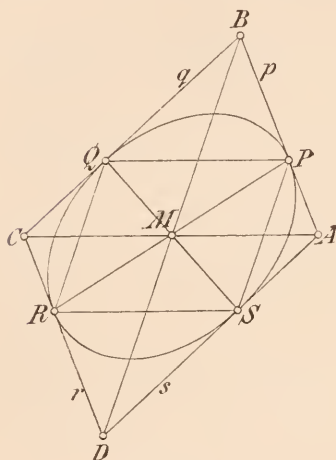


Fig. 189.

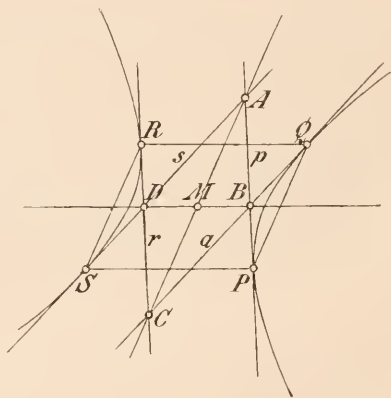


Fig. 190.

Geht nun das Viereck oder Vierseit in ein Parallelogramm über, so erhält das von ihm abhängige Polardreieck eine unendlich ferne Seite und die beiden andern werden zu konjugierten Durchmessern des Kegelschnittes. Hieraus folgen die Sätze:

Die Diagonalen eines dem Kegelschnitte eingeschriebenen Parallelogrammes schneiden sich im Mittelpunkte; seine Seiten geben die Richtungen konjugierter Durchmesser an. Die Diagonalen eines dem Kegelschnitte umschriebenen Parallelogrammes sind konjugierte Durchmesser.

In den Figg. 189 und 190 sind diese beiden Sätze veranschaulicht unter der Annahme, daß das umschriebene Parallelogramm  $ABCD$  den Kegelschnitt in den Ecken des eingeschriebenen Pa-

rallelogrammes  $PQRS$  berühre. Es werden dann die Diagonalen  $AC$  und  $BD$  des ersteren den Seiten des letzteren parallel, wie aus dem Satze in 276 folgt.

## Die Erzeugung der Kegelschnitte durch projektive Strahlbüschel und Punktreihen.

**293.** Schon in 264 und 265 wurde gezeigt, daß die Kegelschnitte durch projektive Strahlbüschel und durch projektive Punktreihen erzeugt werden können. Dort wurden zuerst die gleichen Eigenschaften für den Kreis nachgewiesen und dann auf die Kegelschnitte, als Bilder des Kreises, übertragen. Hier nun sollen die projektiven Strahlbüschel und Punktreihen den Ausgangspunkt bilden, und wir wollen die Kurven studieren, die durch solche Strahlbüschel und Punktreihen erzeugt werden können. Dabei werden wir von den seither gewonnenen Resultaten keinen Gebrauch machen, sondern lediglich die Eigenschaften der Kurven aus ihrer Erzeugungsweise ableiten. An die Spitze stellen wir die Definition:

*Zwei projektive Strahlbüschel erzeugen einen Kegelschnitt als Ort der Schnittpunkte entsprechender Strahlen.* Diese Definition deckt sich zunächst nicht mit der in 258 aufgestellten Definition; doch haben wir nachgewiesen, daß die perspektiven Bilder des Kreises als Erzeugnisse von projektiven Strahlbüscheln erhalten werden können. Es erübrigt noch zu zeigen, daß sich die hier definierten Kegelschnitte auch stets als perspektive Bilder eines Kreises gewinnen lassen; daraus folgt dann die Identität beider Definitionen, der jetzigen und der früheren. Der hier geforderte Beweis findet sich gegen Ende dieses Abschnittes in 307 u. 308, da die zunächst folgenden Untersuchungen von der früheren Definition keinen Gebrauch machen und nur die neue Definition zur Grundlage haben.

**294.** Sind  $a$  und  $a_1$ ,  $b$  und  $b_1$ ,  $c$  und  $c_1$ , ... entsprechende Strahlen zweier projektiver Strahlbüschel mit den Scheiteln  $S$  und  $T_1$ , so wird der Verbindungslinie  $ST_1$  der beiden Scheitel, betrachtet als Strahl  $t$  des ersten Büschels, ein Strahl  $t_1$  im zweiten und, betrachtet als Strahl  $s_1$  des zweiten Büschels, ein Strahl  $s$  im ersten entsprechen (Fig. 191). Dann gehören dem Kegelschnitt die Punkte  $A = a \times a_1$ ,  $B = b \times b_1$ ,  $C = c \times c_1$ ,  $D = d \times d_1$ ,  $S = s \times s_1$ ,  $T_1 = t \times t_1$  an. Auf jedem Strahle durch  $S$  liegen zwei Punkte des Kegelschnittes, nämlich der Punkt  $S$  und der Schnittpunkt dieses Strahles mit dem entsprechenden des zweiten Büschels. Für den Strahl  $s$  fallen beide Punkte zusammen, so daß  $s$  zwei zusammenfallende Punkte mit dem



seits, dessen Diagonalen  $LM$ ,  $PQ$  und  $ST$  sind; deshalb werden  $S$  und  $T$  durch  $N$  und  $J = ST \times LM$  harmonisch geteilt. In gleicher Weise teilen  $N_1$  und  $J_1 = ST \times L_1M_1$  die Strecke  $ST$  harmonisch u. s. f. Nun ist der Büschel  $S(P, P_1, P_2, \dots)$  perspektiv zur Reihe  $(M, M_1, M_2, \dots)$ ; diese Reihe ist von  $U$  aus perspektiv zur Reihe  $(J, J_1, J_2, \dots)$  und diese letztere endlich ist nach 223 involutorisch zur Reihe  $(N, N_1, N_2, \dots)$ , d. h. die beiden letztgenannten Reihen sind projektiv, nur ist das Entsprechen ihrer Punkte ein vertauschbares. Somit sind auch die Büschel  $S(P, P_1, P_2, \dots)$  und  $Q(N, N_1, N_2, \dots)$  oder  $Q(P, P_1, P_2, \dots)$  projektiv; unser Kegelschnitt kann also auch durch diese beiden projektiven Strahlbüschel erzeugt werden.

**296.** Schreibt man einem Kegelschnitt ein Viereck  $ABCD$  ein und in den nämlichen Punkten ein Vierseit  $PQRS$  um (Fig. 182), so sind nach dem letzten Satz die vier Strahlbüschel mit den Scheiteln  $A, B, C, D$ , deren entsprechende Strahlen sich in Punkten des Kegelschnittes schneiden, projektiv. So sind die vier Strahlen  $A(A, B, C, D)$  projektiv zu  $B(A, B, C, D)$ , zu  $C(A, B, C, D)$  und zu  $D(A, B, C, D)$ ; wenn  $AA, BB, \dots$  wieder als Verbindungslinien zweier zusammenfallender Kurvenpunkte die Tangenten in den bezüglichen Punkten bedeuten. Nach 190 sind auch die Büschel  $A(A, B, C, D)$  und  $B(B, A, D, C)$  projektiv und, da  $AB$  ein entsprechend gemeinsamer Strahl ist, sind sie perspektiv, also liegen  $P, M$  und  $N$  in gerader Linie. Aus der Perspektivität von  $C(A, B, C, D)$  und  $D(B, A, D, C)$  folgt, daß  $R, M$  und  $N$  in gerader Linie liegen. In gleicher Weise folgt aus der Perspektivität von  $A(A, B, C, D)$  und  $C(C, D, A, B)$  die geradlinige Lage der Punkte  $U, L$  und  $N$ , u. s. f. Wir gelangen so wiederum zu dem Satze (266): Schreibt man einem Kegelschnitt in den nämlichen vier beliebig gewählten Punkten ein vollständiges Viereck ein und ein Vierseit um, so verbinden die Diagonalen des letzteren die Diagonalpunkte des ersteren.

**297.** Hieran kann nun wieder, ganz wie im vorigen Abschnitt, die Theorie von Pol und Polare angeknüpft und entwickelt werden, so daß wir hier davon absehen können. Dagegen wollen wir die Figur des dem Kegelschnitte umgeschriebenen Vierseits benutzen, um seine Erzeugung durch projektive Punktreihen darzuthun. Seien  $A, B, C$  irgend welche feste Punkte eines Kegelschnittes und  $AP, BQ, CQ$  die zugehörigen Tangenten, während wir einem weiteren Punkte  $D$  verschiedene Lagen  $D, D_1, D_2, \dots$  auf dem Kegelschnitt erteilen (Fig. 193). Die Tangenten in diesen Punkten schneiden auf  $PA$  eine Punktreihe  $S, S_1, S_2, \dots$  und auf  $QC$  eine Punktreihe



$R, R_1, R_2, \dots$  aus; beide Reihen sind unter sich und mit dem Strahlbüschel  $B$  ( $D, D_1, D_2, \dots$ ) projektiv. Denn nach dem vorausgehenden Satze schneiden sich  $PR, QS, BD$  und  $AC$  in einem Punkte  $M$ , ebenso  $PR_1, QS_1, BD_1$  und  $AC$  in einem Punkte  $M_1$ , u. s. f. Die Punkte  $M, M_1, M_2, \dots$  bilden eine auf  $AC$  liegende Punktreihe, die somit von  $P$  aus gesehen mit der Reihe  $R, R_1, R_2, \dots$  auf  $QC$  und von  $Q$  aus gesehen mit der Reihe  $S, S_1, S_2, \dots$  auf  $PA$  perspektiv liegt; zugleich gehen die Strahlen des Büschels  $B$  ( $D, D_1, D_2, \dots$ ) durch die bezüglichen Punkte jener Reihe. Alle diese Reihen und Büschel sind projektiv. Daher der Satz: Legt man an einen Kegelschnitt eine Anzahl Tangenten, so schneiden sie auf irgend zwei festen Tangenten projektive Punktreihen aus. Zu diesen Reihen ist auch der Strahlbüschel projektiv, dessen Scheitel irgendwo auf dem Kegelschnitt liegt und dessen Strahlen durch die Berührungspunkte der bezüglichen Tangenten gehen.

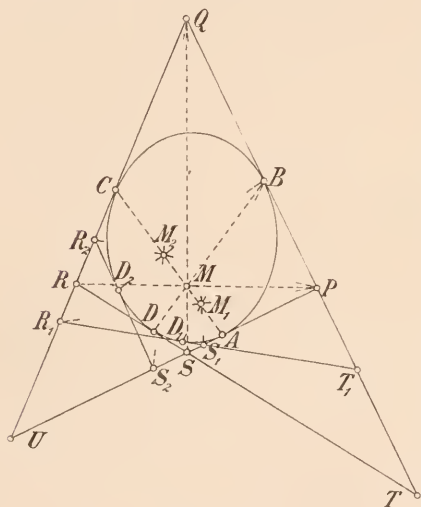


Fig. 193.

**298.** Wenn man die in 293 aufgestellte Definition des Kegelschnittes beachtet, so kann man den letzten Satz auch wie folgaussprechen: Jeder Kegelschnitt, der durch zwei projektive Strahlbüschel erzeugt wird, kann auch durch zwei projektive

Punktreihen erzeugt werden, d. h. die Verbindungslinien entsprechender Punkte umhüllen ihn. Insbesondere ist aus Fig. 193 und den voranstehenden Betrachtungen klar, daß der Kegelschnitt die Träger beider Punktreihen berührt und zwar in den Punkten, die ihrem Schnittpunkt (aufgefaßt als Punkt der einen Reihe, in der andern Reihe) entsprechen. Bewegt sich z. B. die Tangente  $R_1S_1$  so, daß  $R_1$  auf  $QC$  nach  $U$  rückt, so rückt  $S_1$  auf  $PA$  in den Berührungspunkt  $A$ , der somit dem Punkt  $U$  entspricht.

**299.** Von dem letzten Satze gilt auch die Umkehrung: Jede Kurve, die von zwei projektiven Punktreihen erzeugt wird,

d. h. von den Verbindungslinien entsprechender Punkte umhüllt wird, läßt sich auch durch projektive Strahlbüschelerzeugen, ist also ein Kegelschnitt.

Zum Beweise dieses Satzes werden wir zunächst noch einige andere Eigenschaften unserer Kurve ableiten. In Fig. 193 seien  $PU$  und  $QU$  die Träger der projektiven Punktreihen  $R, R_1, R_2, \dots$  und  $S, S_1, S_2, \dots$ ; insbesondere mag dem Punkt  $U$  der ersten Reihe der Punkt  $A$  der zweiten und dem Punkt  $U$  der zweiten der Punkt  $C$  der ersten Reihe entsprechen. Die Träger berühren die Kurve als Verbindungslinien  $UA$  und  $CU$  von entsprechenden Punkten. Während aber durch  $R$  zwei Tangenten  $RQ$  und  $RS$  gehen, fallen sie für  $C$  — und ebenso für  $A$  — zusammen, d. h.  $A$  und  $C$  sind die Berührungspunkte der Träger. Ist dann  $QP$  irgend eine Tangente, welche beide Träger in den entsprechenden Punkten  $Q$  und  $P$  schneidet, so ist  $(UCQR)$  projektiv zu  $(AUPS)$  und nach 190 auch projektiv zu  $(UASP)$ . Die erste und letzte Reihe sind aber perspektiv, es schneiden sich also  $AC, QS$  und  $PR$  in einem Punkte  $M$ . Ganz ebenso schneiden sich  $AC, QS_1$  und  $PR_1$  in einem Punkte  $M_1$  u. s. f. Die Strahlbüschel  $P(R, R_1, R_2, \dots)$  und  $Q(S, S_1, S_2, \dots)$  sind perspektiv, sie liefern auf  $AC$  die nämliche Punktreihe  $(M, M_1, M_2, \dots)$ .

In dem Viereck  $PQRS$  sind  $U, M$  und  $T = PQ \times RS$  die Diagonalepunkte, so daß nach 203 die Träger  $UP$  und  $UQ$  durch die Strahlen  $UM$  und  $UT$  harmonisch geteilt werden. In gleicher Weise trennen auch die Strahlen  $UM_1$  und  $UT_1$  die beiden Träger harmonisch, wie sich aus dem Viereck  $PQR_1S_1$  ergibt, u. s. f. Nach 223 bilden somit  $UM$  und  $UT, UM_1$  und  $UT_1, UM_2$  und  $UT_2, \dots$  die Strahlenpaare einer Involution, deren Doppelstrahlen die beiden Träger sind. Demnach sind  $U(M, M_1, M_2, \dots)$  und  $U(T, T_1, T_2, \dots)$  projektive Strahlbüschel, deren Strahlen sich vertauschbar entsprechen. Die Punktreihe  $(M, M_1, M_2, \dots)$  auf  $AC$  ist folglich projektiv zur Punktreihe  $(T, T_1, T_2, \dots)$  auf  $PQ$ , und da die erstere zu den Reihen  $R, R_1, R_2, \dots$  und  $(S, S_1, S_2, \dots)$  perspektiv ist, haben wir den Satz: Die Tangenten unserer Kurve schneiden auf jeder einzelnen Tangente und auf den gegebenen Trägern projektive Punktreihen aus. So sind also je zwei Tangenten unserer Kurve Träger projektiver Punktreihen, welche dieselbe erzeugen.

**300.** Sind  $B$  und  $D$  die Berührungspunkte der Tangenten  $PQ$  und  $RS$ , so ist nach diesem Satze die Reihe  $(T, B, P, Q)$  projektiv zur Reihe  $(D, T, S, R)$  und nach 190 auch projektiv zur Reihe  $(T, D, R, S)$ ; es schneiden sich also  $BD, PR$  und  $QS$  in einem Punkte.

Hiernach und nach dem Obigen haben die vier Geraden  $AC$ ,  $BD$ ,  $PR$  und  $QS$  den Punkt  $M$  gemein. In gleicher Weise folgt, daß sich die vier Geraden  $AC$ ,  $BD_1$ ,  $PR_1$  und  $QS_1$  in einem Punkte  $M_1$  schneiden, wenn  $D_1$  der Berührungspunkt der Tangente  $R_1S_1$  ist, u. s. f. Es ist also der Strahlbüschel  $B(D, D_1, D_2, \dots)$  projektiv zu der Reihe  $(M, M_1, M_2, \dots)$  und somit projektiv zu den Reihen  $(R, R_1, R_2, \dots)$  und  $(S, S_1, S_2, \dots)$ . Nun ist  $PQ$  eine beliebige Tangente und  $B$  ihr Berührungspunkt. Für jeden andern Punkt  $B_1$  der Kurve gilt das Gleiche, so daß die genannten Reihen auch zu dem Büschel  $B_1(D, D_1, D_2, \dots)$  projektiv sind. Damit ist der Satz in 299 bewiesen.

**301.** Die in diesem Abschnitt behandelte doppelte Erzeugungsweise der Kegelschnitte durch zwei projektive Punktreihen oder Strahlbüschel giebt uns die Mittel an die Hand, beliebig viele Tangenten und Punkte desselben in einfachster Weise zu zeichnen. Zunächst gilt der Satz: Fünf Punkte einer Ebene, von denen keine drei in einer Geraden liegen, bestimmen einen Kegelschnitt, der sie enthält. Die aus zweien der gegebenen Punkte,  $A$  und  $B$ , nach den übrigen  $C, D, E$  gezogenen Strahlen bestimmen nämlich zwei projektive Strahlbüschel und diese erzeugen einen durch die fünf Punkte verlaufenden Kegelschnitt. Den nämlichen

Kegelschnitt erhält man nach 295 auch, wenn man irgend zwei andere unter den gegebenen Punkten als Scheitel zweier projektiver Strahlbüschel wählt, in denen sich wieder je zwei Strahlen durch den nämlichen Kurvenpunkt entsprechen.

Ist  $F$  irgend ein Punkt des Kegelschnittes, so sind die Strahlbüschel  $A(C, D, E, F, \dots)$  und  $B(C, D, E, F, \dots)$  projektiv. Den ersteren schneiden wir mit  $CD$ , den letzteren mit  $CE$ , dann sind

auch die Punktreihen  $(C, D, E_1, F_1, \dots)$  und  $(C, D_2, E, F_2, \dots)$  projektiv (Fig. 194) und sogar perspektiv. Sonach geht  $F_1F_2$  durch den Schnittpunkt  $O = DD_2 \times E_1E$ . Man erhält also jedesmal einen Punkt des Kegelschnittes, indem man eine beliebige Gerade durch  $O$  zieht, ihren Schnittpunkt auf  $CD$  mit  $A$  und ihren Schnittpunkt auf  $CE$  mit  $B$  verbindet; beide Verbindungslinien schneiden sich auf

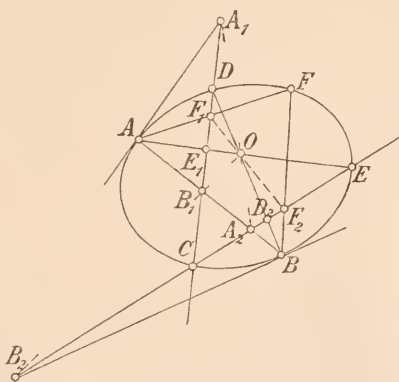


Fig. 194.

der Kurve. Da insbesondere dem Strahl  $AB$  des ersten Büschels im zweiten die Tangente in  $B$  entspricht, so verbinde man  $B_1 = AB \times CD$  mit  $O$ , dann geht die in  $B$  berührende Tangente durch  $B_2 = B_1 O \times CE$ .

**302.** Aus unserer Figur folgt auch wiederum der Pascal'sche Satz. Denn bei dem Sechseck  $AFBDCE$  liegen die Punkte  $AF \times DC = F_1$ ,  $FB \times CE = F_2$  und  $BD \times EA = O$  in gerader Linie. Der Pascal'sche Satz ist hiernach eine unmittelbare Folge der Erzeugungsweise eines Kegelschnittes durch zwei projektive Strahlbüschel. Während aber bei dieser zwei Punkte desselben als Scheitel der Büschel auftreten, sind beim Pascal'schen Satz alle sechs Punkte gleichberechtigt. Kennt man fünf Punkte  $BDCEA$  des Kegelschnittes, so findet man einen weiteren, wenn man durch  $A$  irgend einen Strahl zieht, seinen Schnittpunkt auf  $CD$  mit  $O$  verbindet, diese Linie mit  $CE$  schneidet und dann von  $B$  aus einen Strahl durch diesen Schnittpunkt zieht. Die Strahlen durch  $A$  und  $B$  liefern einen neuen Punkt des Kegelschnittes.

Aus unserer Figur erkennt man auch, daß die Umkehrung des Pascal'schen Satzes Geltung hat. Die Ecken eines Sechsecks, dessen drei Paar Gegenseiten sich in drei Punkten einer Geraden schneiden, liegen stets auf einem Kegelschnitt.

**303.** Ein Kegelschnitt ist bestimmt durch vier Punkte und die Tangente in einem derselben, oder durch drei Punkte und die Tangenten in zweien. Sind  $A, B, C, D$  und die Tangente in  $A$  gegeben, und ist  $F$  irgend ein Punkt des Kegelschnittes, so ist  $B(A, C, D, F)$  projektiv zu  $A(A, C, D, F)$ , wenn  $AA$  die Tangente in  $A$  bedeutet (Fig. 194). Daraus folgt die Perspektivität der Reihen  $(A_2, C, D_2, F_2)$  und  $(A_1, C, D, F_1)$ , und es ist  $O = A_1 A_2 \times DD_2$  das Centrum dieser perspektiven Beziehung. Die Konstruktion von  $F$  geschieht dann wie vorher.

Sind drei Punkte  $A, B, C$  und die Tangenten  $PA$  und  $PB$  in  $A$  und  $B$  gegeben, so ziehe man durch  $P$  einen beliebigen Strahl, der  $AC$  und  $BC$  in  $M$  und  $N$  schneiden mag; dann ist  $D = AN \times BM$  ein Punkt des Kegelschnittes (Fig. 195). Denn die Büschel  $A(P, B, C, D)$  und  $B(P, A, D, C)$  sind perspektiv, also sind die Büschel  $A(P, B, C, D)$  und  $B(A, P, C, D)$  projektiv, wie es für den gesuchten Kegelschnitt sein muß (294). Ist  $L = AB \times CD$ , so ist  $\triangle LMN$  ein Polardreieck und die Tangenten in  $A, B, C, D$  schneiden sich paarweise auf seinen Seiten (vergl. 296).

**304.** Fünf Gerade einer Ebene, von denen keine drei durch einen Punkt gehen, bestimmen einen Kegel-

schnitt, der sie berührt. Die auf zwei von den gegebenen Geraden,  $a$  und  $b$ , durch die übrigen  $c, d, e$  ausgeschnittenen Punkte

bestimmen nämlich zwei projektive Punktreihen, und diese erzeugen einen die fünf Geraden berührenden Kegelschnitt. Ist  $f$  irgend eine von seinen weiteren Tangenten (Fig. 196), so sind die von  $c, d, e, f, \dots$  auf  $a$  und  $b$  ausgeschnittenen Punktreihen  $(C_1, D_1, E_1, F_1, \dots)$  und  $(C_2, D_2, E_2, F_2, \dots)$  projektiv und folglich die Strahlbüschel  $P_1 (C_1, D_1, E_1, F_1, \dots)$  und  $P_2 (C_2, D_2, E_2, F_2, \dots)$

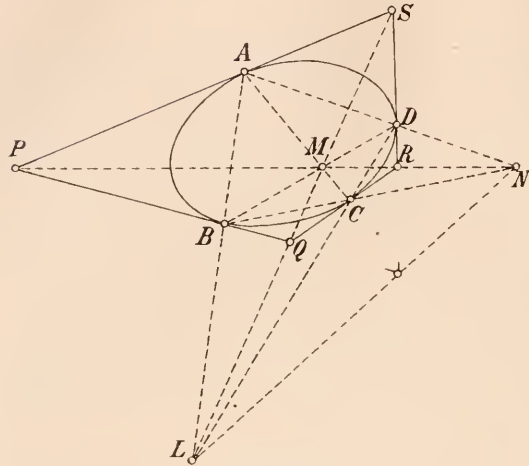


Fig. 195.

perspektiv, wo  $P_1 = c \times d$  und  $P_2 = c \times e$  ist. Demnach liegt der Punkt  $P_1 F_1 \times P_2 F_2 = F$  auf der Geraden  $D_2 E_1$ . Man erhält also jedesmal eine Tangente des Kegelschnittes, indem man von  $P_1$  und  $P_2$

nach einem beliebigen Punkt von  $D_2 E_1$  Strahlen zieht und die Punkte, die sie auf  $a$  resp.  $b$  ausschneiden, miteinander verbindet. Da insbesondere dem Punkt  $a \times b = B_1$  der ersten Reihe in der zweiten der Berührungspunkt  $B_2$  entspricht, so geht die Verbindungslinie von  $P_2$  mit  $P_1 B_1 \times D_2 E_1$  durch  $B_2$  hindurch.

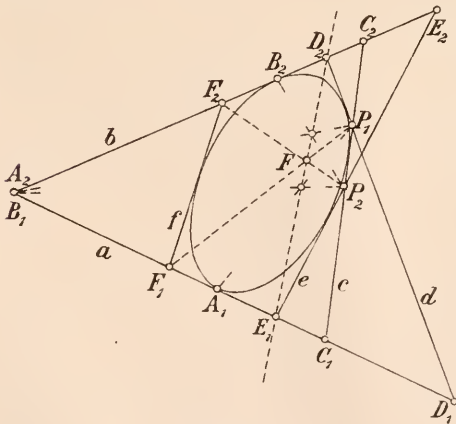


Fig. 196.

von den sechs Seiten  $afbdce$  in der angeführten Reihenfolge gebildeten Sechseck sind  $a \times f = F_1$  und  $d \times c = P_1$ , ferner  $f \times b = F_2$  und  $c \times e = P_2$ , endlich  $b \times d = D_2$  und  $e \times a = E_1$  drei Paar Gegenecken, deren Verbindungslinien durch den nämlichen Punkt  $F$  gehen.

**305.** Unsere Figur liefert auch wiederum den Brianchon'schen Satz. In dem





nun noch zeigen, daß diese Definition mit der früheren übereinstimmt, d. h. daß ein durch zwei projektive Strahlbüschel erzeugter Kegelschnitt sich immer als perspektives Bild eines Kreises ansehen läßt. Zu diesem Zwecke beweisen wir den Satz: Zwei projektive Strahlbüschel kann man durch perspektive Abbildung stets derart in zwei kongruente Strahlbüschel verwandeln, daß der eine von ihnen ungeändert bleibt. Dabei geht dann natürlich der von den ersteren Büscheln erzeugte Kegelschnitt in den von den letzteren erzeugten Kreis über.

Es seien  $a, b, c$  und  $a_1, b_1, c_1$  je drei Strahlen der gegebenen projektiven Büschel mit den Scheiteln  $S$  und  $S_1$  (Fig. 198). Dann geht der Kegelschnitt  $k$  durch die Punkte  $S, S_1, A=a \times a_1, B=b \times b_1,$

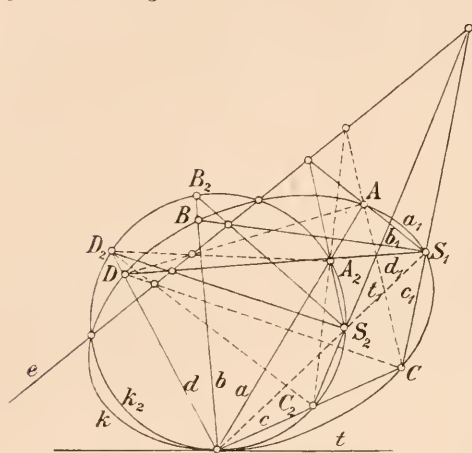


Fig. 198.

$C=c \times c_1$  und berührt in  $S$  die Gerade  $t$ , welche dem Strahl  $S_1 S = t_1$  entspricht und nach 301 konstruiert wird (im Fünfeck  $SS_1ABC$  schneidet die Verbindungsline von  $SS_1 \times BC$  und  $S_1A \times CS$  auf  $AB$  einen Punkt der gesuchten Tangente  $t$  aus). Zieht man nun einen beliebigen Kreis  $k_2$ , der  $t$  in  $S$  berührt, so ist er perspektiv zum Kegelschnitt  $k$ , und zwar ist  $S$  das Centrum der Perspektive. Das ergibt sich, wie

folgt. Der Kreis  $k_2$  möge  $t_1, a, b, c$  in  $S_2, A_2, B_2, C_2$  schneiden; ferner sei  $D = d \times d_1$  ein beliebiger Punkt von  $k$  und  $D_2$  der auf  $d$  liegende Punkt von  $k_2$ . Nach der Voraussetzung sind die Strahlbüschel  $(t, a, b, c, d)$  und  $(t_1, a_1, b_1, c_1, d_1)$  projektiv, und der erstere ist zu dem Büschel  $S_2 (S, A_2, B_2, C_2, D_2)$  kongruent. Demnach ist auch der zweite Büschel zu dem dritten projektiv und sogar perspektiv, da beide den Strahl  $t_1$  entsprechend gemein haben. Es liegen also die Schnittpunkte von  $a_1$  und  $S_2 A_2$ , von  $b_1$  und  $S_2 B_2$ , von  $c_1$  und  $S_2 C_2$ , von  $d_1$  und  $S_2 D_2$  auf einer Geraden  $e$ . Die perspektive Beziehung, für welche  $S$  das Centrum,  $e$  die Achse bildet und  $S_1, S_2$  ein Paar entsprechender Punkte sind, läßt den Büschel mit dem Scheitel  $S$  ungeändert und verwandelt den Büschel  $S_1$  in den Büschel  $S_2$ . Insbesondere bildet sie den Strahl  $d_1$  in den

Strahl  $S_2D_2$  und den beliebigen Punkt  $D$  von  $k$  in den Punkt  $D_2$  von  $k_2$  ab, w. z. b. w.

Ein Kegelschnitt läßt sich stets durch Perspektive in einen Kreis verwandeln, wobei man einen beliebigen Punkt auf ihm zum Centrum wählen kann. Diese perspektive Beziehung zwischen Kreis und Kegelschnitt läßt sich auch zur Konstruktion des letzteren verwenden. Sucht man insbesondere die Verschwindungslinie und ihren Pol in Bezug auf den Kreis auf, so erhält man als entsprechenden Punkt zu diesem Pole den Mittelpunkt des Kegelschnittes. Zwei konjugierte Polaren des Kreises, die durch den genannten Pol gehen, bilden sich als konjugierte Durchmesser des Kegelschnittes ab (vergl. 288).

**308.** Einen Kegelschnitt  $k$  durch fünf Punkte  $A, B, C, D, E$  kann man auch in folgender Weise in einen dazu perspektiven Kreis  $k_2$  überführen. Man zeichne nach 301 die Tangenten  $AJ$  und  $BJ$  in  $A$  und  $B$ ; dann lege man durch diese beiden Punkte einen beliebigen Kreis  $k_2$  und ziehe seine Tangenten  $AJ_2$  und  $BJ_2$  (Fig. 199). Sollen  $k$  und  $k_2$  perspektiv sein, so sind  $J$  und  $J_2$  entsprechende Punkte und  $e = AB$  ist die Achse der Perspektive. Zugleich entspricht dem Punkte  $C$  von  $k$  ein Punkt  $C_2$  von  $k_2$ , und zwar liegt  $C_2$  auf der Verbindungslinie von  $J_2$  mit dem Punkte  $e \times JC$ . Die Geraden  $JJ_2$  und  $CC_2$  schneiden sich aber im Centrum  $O$  der Perspektive. In der That bildet die Perspektive, welche  $e$  zur Achse,  $O$  zum Centrum und  $C_2$  und  $C$  zu entsprechenden Punkten hat, den Kreis  $k_2$  in einen Kegelschnitt ab, der  $AJ$  in  $A$ ,  $BJ$  in  $B$  berührt und durch  $C$  geht. Da es aber nur einen derartigen Kegelschnitt giebt, so muß er mit dem Kegelschnitt  $k$  durch die fünf gegebenen Punkte identisch sein.

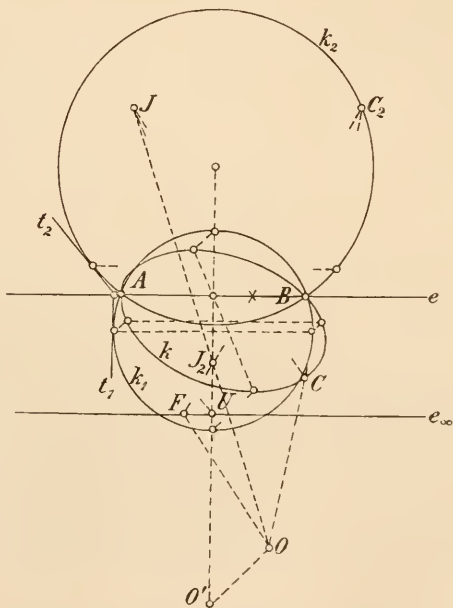


Fig. 199.

**309.** Dem unendlich fernen Punkt von  $CJ$  entspricht der

Fluchtpunkt  $F$  auf  $C_2J_2$  ( $OF \parallel CJ$ ) und der unendlich fernen Geraden die Fluchtlinie  $e_\infty$  durch  $F$  ( $e_\infty \parallel e$ ). Ist  $k$  eine Ellipse, so schneidet  $e_\infty$  den Kreis  $k_2$  nicht. Dann läßt sich eine neue perspektive Beziehung angeben, die den Kreis  $k_2$  in einen neuen Kreis  $k_1$  überführt, wobei  $e$  wiederum die Achse, aber  $e_\infty$  die Verschwindungslinie ist, während das neue Centrum  $O'$  auf der Mittelsenkrechten von  $AB$  liegen muß. Schneidet dieselbe  $e_\infty$  in  $U$  und legt man von  $U$  aus eine Tangente  $t_2$  an  $k_2$ , so entspricht ihr bei der neuen Perspektive eine zu  $e$  normale Tangente  $t_1$  von  $k_1$  ( $t_2 \times t_1$  auf  $e$ ). Es läßt sich also  $k_1$  als einer der beiden Kreise durch  $A$  und  $B$  zeichnen, die  $t_1$  berühren, das Centrum  $O'$  ist ein Ähnlichkeitspunkt der beiden Kreise  $k_2$  und  $k_1$ .

Nach 162 liegt nun der Kegelschnitt  $k$  auch zu dem Kreise  $k_1$  perspektiv; hierbei ist  $e$  wieder die Achse und das Centrum liegt mit  $O$  und  $O'$  in gerader Linie. Aber die Perspektive, welche  $k$  in  $k_2$  verwandelt, führt die unendlich ferne Gerade in  $e_\infty$  über, während die Perspektive, welche  $k_2$  in  $k_1$  verwandelt, die Gerade  $e_\infty$  wieder in die unendlich ferne Gerade überführt. Bei der perspektiven Beziehung zwischen  $k$  und  $k_1$  gehen somit unendlich ferne Punkte wieder in unendlich ferne Punkte, also parallele Gerade immer wieder in parallele Gerade über. Das will sagen, daß  $k$  und  $k_1$  affin sind;  $e$  ist die Achse und  $OO'$  die Richtung der Affinität. Der zu  $e$  normale Durchmesser von  $k_1$  geht dabei in einen Durchmesser der Ellipse  $k$  über, dessen Verlängerung den Punkt  $J$  trägt. Jede Ellipse läßt sich als affines Bild eines Kreises darstellen.

Schon in 24 haben wir die Aufgabe gelöst: eine Ellipse durch fünf gegebene Punkte zu zeichnen, indem wir sie dort als eine zum Kreis affine Kurve definierten. Hier sind wir von der neuen Definition ausgegangen, wonach die Ellipse das perspektive Bild eines Kreises oder das Erzeugnis projektiver Strahlbüschel ist, und haben gezeigt, daß auch die so definierte Ellipse stets als Parallelprojektion eines Kreises gewonnen werden kann.

### **Einige Konstruktionsaufgaben bei Kegelschnitten. Metrische Eigenschaften.**

**310.** Die Kegelschnitte — mag man sie als Erzeugnisse projektiver Strahlbüschel und Punktreihen, oder als perspektive Bilder eines Kreises auffassen — sind nach dem Früheren konstruierbar. Auf jedem Strahl, der durch einen seiner Punkte gezogen wird, kann man einen zweiten zeichnen (302), durch jeden Punkt, der auf einer seiner

Tangenten liegt, kann man eine zweite ziehen (305). Aber die Frage nach den beiden Tangenten an einen Kegelschnitt aus einem beliebigen Punkt, oder nach den beiden Schnittpunkten mit einer beliebigen Geraden ist noch nicht gelöst, ebensowenig wie gewisse Fragen, die an die Polarentheorie anknüpfen. Solche Fragen sollen nun hier behandelt werden. Sie führen uns zu projektiven Strahlbüscheln mit dem nämlichen Scheitel, zu projektiven Punktreihen auf derselben Geraden, sowie zu involutorischen Punktreihen und Strahlbüscheln, und erfordern die Konstruktion von Doppelpunkten, von entsprechenden rechten Winkeln, von Gegenpunkten. Diese Konstruktionen werden aber selbst am besten mit Hilfe eines Kegelschnittes und zwar eines Kreises durchgeführt und sollen zunächst ihre Erledigung im folgenden finden.

**311.** Zwei projektive Punktreihen auf einer Geraden haben entweder keinen, oder einen oder zwei Doppelpunkte, d. h. Punkte, die sich selbst entsprechen. Daß solche Punktreihen einen Doppelpunkt haben können, ist ersichtlich; denn durch Verschiebung der einen Reihe auf dem gemeinsamen Träger können zwei entsprechende Punkte zur Deckung gebracht werden. Daß ferner den beiden Reihen nicht drei oder mehr Doppelpunkte zukommen können, ohne daß sie sich Punkt für Punkt decken, folgt aus 180.

Zwei entgegenlaufende projektive Punktreihen auf derselben Geraden besitzen stets zwei Doppelpunkte; denn die sie durchlaufenden, entsprechenden Punkte müssen sich auf ihrem Wege zweimal begegnen. Aus gleichen Gründen besitzen zwei projektive, konzentrische Strahlbüschel keinen, einen oder zwei Doppelstrahlen. Sind diese Strahlbüschel entgegenlaufend, so sind stets zwei Doppelstrahlen vorhanden. Sind die genannten Punktreihen oder Strahlbüschel gleichlaufend, so können noch alle drei Fälle eintreten.

**312.** Zwei projektive Strahlbüschel mit demselben Scheitel  $S$  seien durch die sich entsprechenden Strahlen  $a, b, c$  und  $a_1, b_1, c_1$  gegeben (Fig. 200). Man lege durch  $S$  einen beliebigen Hilfskreis  $k$ , der die gegebenen Strahlen in  $A, B, C$  resp.  $A_1, B_1, C_1$  schneiden mag. Der Strahlbüschel mit dem Scheitel  $A_1$  ist zu dem ersteren Büschel projektiv, wenn sich je zwei Strahlen entsprechen, die sich auf  $k$  schneiden. Ebenso ist der Strahlbüschel mit dem Scheitel  $A$  zu dem letzteren Büschel projektiv, wenn ihre entsprechenden Strahlen sich auf  $k$  schneiden. Demnach sind auch die Büschel  $A_1 (A, B, C, \dots)$  und  $A (A_1, B_1, C_1, \dots)$  projektiv und sogar perspektiv, weil sie  $A_1A$  entsprechend gemein haben. Ihre Perspektivitätsachse  $p$  verbindet die Punkte  $AB_1 \times A_1B$  und  $AC_1 \times A_1C$ .



Entsprechende Strahlen der Büschel  $A$  und  $A_1$  schneiden den Kreis  $k$  in Punkten, die mit  $S$  entsprechende Strahlen der gegebenen Büschel bestimmen. Schneidet daher die Achse  $p$  den Hilfskreis  $k$  in den Punkten  $U$  und  $V$ , so sind  $u = SU$  und  $v = SV$  die gesuchten Doppelstrahlen. Dieselben fallen in einen zusammen, wenn  $p$

den Hilfskreis  $k$  berührt; es existieren keine Doppelstrahlen, wenn  $p$  außerhalb  $k$  liegt.

Um die sich entsprechenden Rechtwinkelpaare  $x, y$  und  $x_1, y_1$  zu finden, bestimme man in den perspektiven Strahlbüscheln  $A$  und  $A_1$  die sich entsprechenden rechten Winkel (nach 183) mittels eines zweiten Hilfskreises  $k_0$ , der durch  $A$  und  $A_1$  geht und dessen Centrum  $K_0$  auf der Achse  $p$  liegt. Die fraglichen rechten Winkel sind  $\angle X_0 A_1 Y_0$

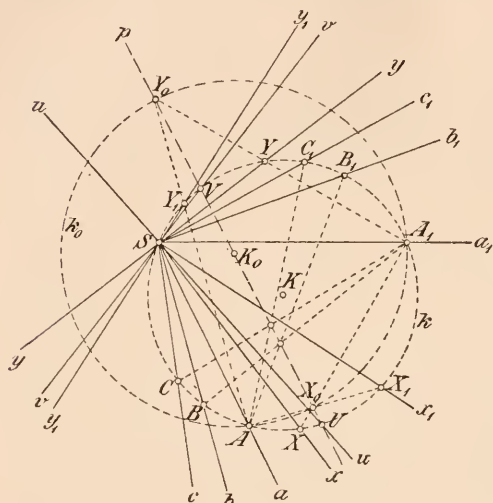


Fig. 200.

und  $\angle X_0 A Y_0$ , wenn  $X_0$  und  $Y_0$  die Schnittpunkte von  $k_0$  mit  $p$  bedeuten. Schneiden ihre Schenkel den Kreis  $k$  resp. in  $X, Y$  und  $X_1, Y_1$ , so sind  $x = SX$ ,  $y = SY$  und  $x_1 = SX_1$ ,  $y_1 = SY_1$  die entsprechenden Rechtwinkelpaare der gegebenen Strahlbüschel.

**313.** Sind zwei projektive Punktreihen auf derselben Geraden  $g$  durch die sich entsprechenden Punkte  $A, B, C$  und  $A_1, B_1, C_1$  festgelegt (Fig. 201), so wähle man einen Hilfskreis  $k$ , der den gemeinsamen Träger berührt und lege aus den gegebenen Punkten an ihn die Tangenten  $a, b, c$  und  $a_1, b_1, c_1$ . Die Punktreihen  $A', B', C', \dots$  auf  $a_1$  und  $A', B'_1, C'_1, \dots$  auf  $a$  sind zu den gegebenen Reihen  $A, B, C, \dots$  resp.  $A_1, B_1, C_1, \dots$  projektiv, wenn je zwei Punkte sich entsprechen, die auf einer Kreistangente liegen. Die Reihen auf  $a_1$  und  $a$  sind somit zu einander projektiv und, da  $A'$  beiden entsprechend gemein ist, auch perspektiv; das zugehörige Centrum ist  $O = B'B'_1 \times C'C'_1$ . Die aus entsprechenden Punkten dieser perspektiven Reihen auf  $a$  und  $a_1$  an  $k$  gelegten Tangenten schneiden auf  $g$  entsprechende Punkte der gegebenen Reihen aus. Die Koinzidenz tritt ein für die beiden aus  $O$  an den

Kreis  $k$  gelegten Tangenten  $u$  und  $v$ ; diese schneiden also auf  $g$  die gesuchten Doppelpunkte aus. Dieselben fallen in einen einzigen zusammen, wenn  $O$  auf dem Hilfskreis  $k$  liegt; sie kommen in Wegfall, wenn  $O$  im Innern desselben liegt.

Man hätte die Aufgabe auch auf die vorhergehende zurückführen können, indem man die beiden Punktreihen auf  $g$  durch zwei Strahlbüschel aus einem Punkte  $S$  projiziert hätte. Die Doppelstrahlen dieser Büschel würden dann die Doppelpunkte der gegebenen Reihen ausgeschnitten haben.

Um die Gegenpunkte  $G_v$  und  $G_\infty$  der gegebenen Punktreihen zu finden, lege man an den Kreis  $k$  die zu  $g$  parallele Tangente  $w$ , bestimme zu ihren Schnittpunkten mit  $a$  und  $a_1$  die perspektiven Punkte auf  $a_1$  und  $a$  und ziehe aus den letzteren die Tangenten an  $k$ , welche  $g$  in  $G_v$  und  $G_\infty$  treffen.

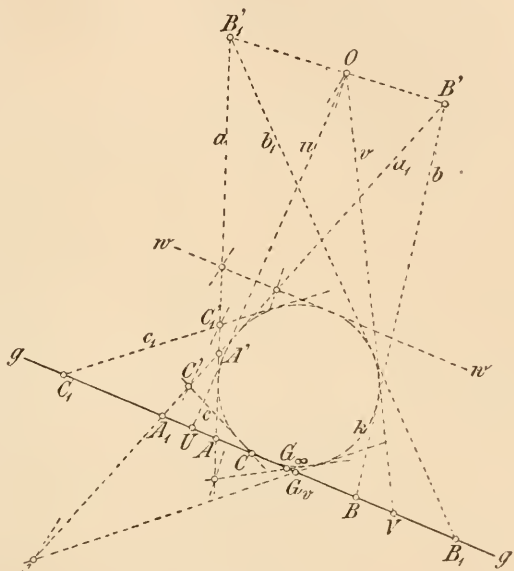


Fig. 201.

**314.** Der Punktreihe auf einer Geraden und dem Strahlbüschel durch einen Punkt stellt man die Punktreihe auf einem Kegelschnitt und den Tangentenbüschel an einem Kegelschnitt gegenüber. In den beiden letztgenannten Fällen bildet der Kegelschnitt den Träger.

Zwei Punktreihen auf einem Kegelschnitt heißen projektiv, wenn sie aus einem und folglich aus allen Punkten desselben durch projektive Strahlbüschel projiziert werden. Ebenso heißen zwei Tangentenbüschel an einem Kegelschnitt projektiv, wenn sie auf einer und mithin auf allen Tangenten desselben projektive Punktreihen ausschneiden. Ferner nennt man zwei Punktreihen oder zwei Tangentenbüschel eines Kegelschnittes involutorisch, wenn sie mit einem beliebigen Punkte resp. auf einer beliebigen Tangente desselben involutorische Strahlbüschel oder Punktreihen bestimmen.

Nach 297 gilt der Satz: Jede Punktreihe auf einem Kegelschnitt ist projektiv zu dem Tangentenbüschel, dessen Tangenten ihn in den entsprechenden Punkten der Reihe berühren. Beachtet man, daß hiernach zu zwei projektiven Punktreihen auf einem Kegelschnitt zwei projektive Tangentenbüschel gehören, und daß zwei projektive Reihen involutorisch liegen, wenn ein vertauschbares Entsprechen zwischen ihren Punkten stattfindet, so ergibt sich ein neuer Satz: Bilden auf einem Kegelschnitt die Punktepaare  $AA_1$ ,  $BB_1$ ,  $CC_1$ , ... eine Involution, so gilt das Gleiche von den Tangentenpaaren  $aa_1$ ,  $bb_1$ ,  $cc_1$ , ..., deren Berührungspunkte jene sind.

**315.** Die Verbindungslinien der Punktepaare  $AA_1$ ,  $BB_1$ ,  $CC_1$ , ... einer auf einem Kegelschnitt liegenden Involution gehen durch einen Punkt  $M$ , den Mittelpunkt der Involution (Fig. 202). Zunächst ist aus 224 bekannt, daß zwei Paare entsprechender Punkte genügen, um die Involution festzulegen. Die vier Punkte  $A$ ,  $B_1$ ,  $C$ ,  $C_1$  des Kegelschnittes sind projektiv zu den ihnen involutorisch entsprechenden Punkten  $A_1$ ,  $B$ ,  $C_1$ ,  $C$ . Folglich ist auch der Strahlbüschel  $B(A, B_1, C, C_1)$  projektiv zu dem Büschel  $A(A_1, B, C_1, C)$  und nach 190 projektiv zu dem Büschel  $A(B, A_1, C, C_1)$ . Der erste und dritte Büschel

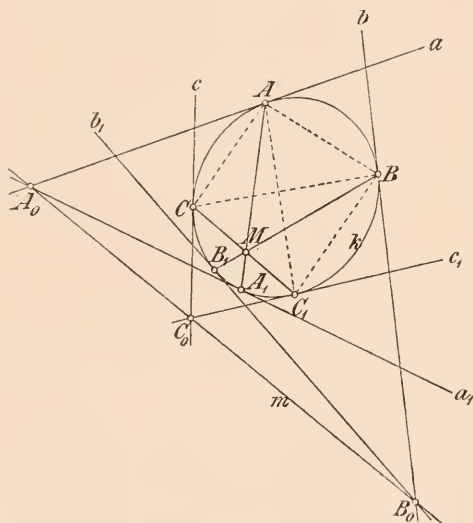


Fig. 202.

haben den Strahl  $BA$  entsprechend gemein, sie sind somit perspektiv; folglich liegen die Punkte  $AA_1 \times BB_1 = M$ ,  $C$  und  $C_1$  auf einer Geraden, oder die Geraden  $AA_1$ ,  $BB_1$ ,  $CC_1$  gehen durch einen Punkt  $M$ .

**316.** Sind nun  $a$ ,  $a_1$ ,  $b$ ,  $b_1$ ,  $c$ ,  $c_1$ , ... die Tangenten des Kegelschnittes  $k$  in den Punkten  $A$ ,  $A_1$ ,  $B$ ,  $B_1$ ,  $C$ ,  $C_1$ , ... der vorhin betrachteten Involution, so bilden sie die Paare einer Involution von Tangenten an demselben. Zugleich sind die Punkte  $a \times a_1$ ,  $b \times b_1$ ,  $c \times c_1$ , ... die Pole der Verbindungslinien  $AA_1$ ,  $BB_1$ ,  $CC_1$ , ... in Bezug auf den Kegelschnitt. Da letztere durch einen Punkt  $M$  gehen, liegen erstere auf seiner Polare  $m$ , daher gilt der Satz:

Sind  $aa_1, bb_1, cc_1, \dots$  die Paare einer Involution von Tangenten an einem Kegelschnitt, so liegen ihre Schnittpunkte auf einer Geraden  $m$ , der Achse der Involution.

**317.** Eine Strahleninvolution mit dem Scheitel  $S$  sei durch zwei Paare  $a$  und  $a_1, b$  und  $b_1$  sich vertauschbar entsprechender Strahlen gegeben. Man konstruiere: erstens zu einem gegebenen Strahl  $c$  den entsprechenden  $c_1$ , zweitens das Paar rechtwinkliger Strahlen, drittens die Doppelstrahlen der Involution.

Die gegebenen Strahlen schneiden einen beliebig durch  $S$  gelegten Kreis  $k$  in Punktpaaren  $A$  und  $A_1, B$  und  $B_1$  einer Involution (Fig. 203). Man findet den Mittelpunkt  $M$  der Involution als  $AA_1 \times BB_1$ . Schneidet der Strahl  $c$  den Kreis in  $C$ , so trifft ihn der entsprechende Strahl  $c_1$  in  $C_1$ , wo  $C_1$  den zweiten Schnittpunkt der Linie  $MC$  mit  $k$  bedeutet. Schneidet ferner die Verbindungslinie von  $M$  mit dem Kreismittelpunkt  $K$  aus dem Kreis die Punkte  $X$  und  $X_1$  aus, so sind  $x = SX$  und  $x_1 = SX_1$  die sich entsprechenden rechtwinkligen Strahlen. Sind endlich  $U$  und  $V$  die Berührungspunkte der aus  $M$  an den Kreis gelegten Tangenten (oder die Schnittpunkte mit der Polare  $m$  von  $M$ ), so bilden  $u = SU$  und  $v = SV$  die Doppelstrahlen der Involution.

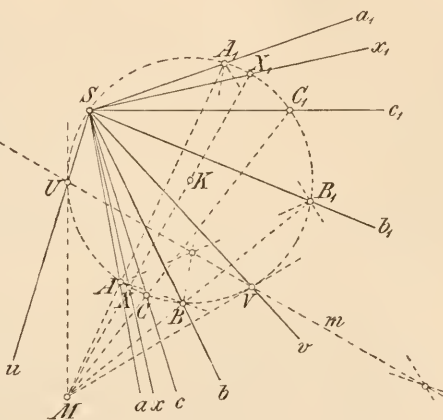


Fig. 203.

**318.** Eine Involution von Punkten auf einer Geraden  $g$  sei durch zwei Paare  $A$  und  $A_1, B$  und  $B_1$  sich vertauschbar entsprechender Punkte gegeben. Man bestimme: erstens zu einem gegebenen Punkt  $C$  den entsprechenden  $C_1$ , zweitens den Mittelpunkt und drittens die Doppelpunkte der Involution.

Man lege an den Träger  $g$  der Involution einen berührenden Kreis  $k$ ; seine durch die gegebenen Punkte verlaufenden Tangenten  $a$  und  $a_1, b$  und  $b_1$  bestimmen eine Involution von Tangenten (Fig. 204). Die Achse  $p$  derselben ergibt sich als Verbindungslinie von  $A_0 = a \times a_1$  mit  $B_0 = b \times b_1$ . Je zwei Tangenten  $c$  und  $c_1$  des Hilfskreises, die sich in einem Punkte  $C_0$  von  $p$  treffen, schneiden

auf  $g$  entsprechende Punkte  $C$  und  $C_1$  aus. Der zu  $g$  parallelen Tangente  $m_1$  entspricht auf gleiche Weise die den Mittelpunkt  $M$  der Involution enthaltende Tangente  $m$ . Endlich entsprechen die

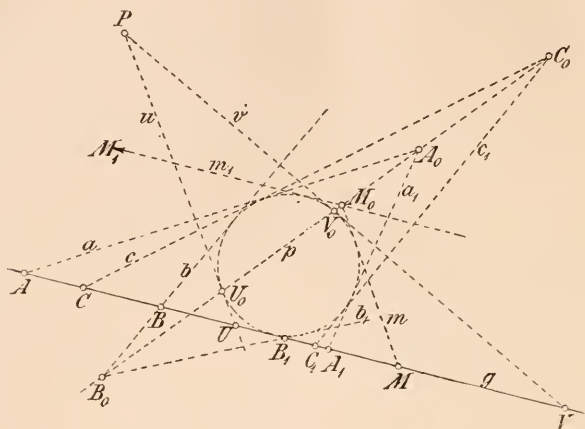


Fig. 204.

Tangenten  $u$  und  $v$  in den Schnittpunkten des Kreises mit der Achse  $p$  sich selbst und bestimmen daher auf  $g$  die Doppelpunkte  $U$  und  $V$  der Involution.

Man hätte auch die ganze Aufgabe auf die vorhergehende zurückführen können, indem man die Punkthinvolutions aus einem beliebigen Punkt durch eine Strahleninvolution projizierte.

**319.** Wir wenden uns jetzt zu den am Anfang dieses Abschnittes erwähnten Aufgaben über Kegelschnitte.

Es sollen die Schnittpunkte einer Geraden  $g$  mit einem Kegelschnitte  $k$  gefunden werden, von dem man fünf Punkte

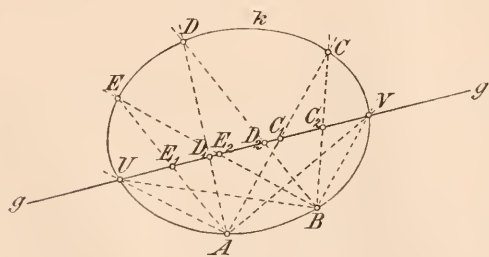


Fig. 205.

$A, B, C, D, E$  kennt. Zwei den Kegelschnitt erzeugende projektive Strahlenbüschel sind z. B. durch die von  $A$  und  $B$  nach den Punkten  $C, D, E$  laufenden Strahlen gegeben; sie schneiden auf der Geraden  $g$  zwei projektive Punktreihen  $C_1, D_1, E_1$  und  $C_2, D_2, E_2$  aus, deren Doppelpunkte  $U$  und  $V$  sich nach 313 bestimmen lassen. Dann sind  $AU$  und  $BV$  — und ebenso  $AV$  und  $BV$  — entsprechende Strahlen der vorher genannten projektiven



Strahlbüschel, ihre Schnittpunkte  $U$  und  $V$  liegen also auf dem Kegelschnitt und sind die gesuchten Schnittpunkte von  $g$  und  $k$  (Fig. 205). Zur Lösung unserer Aufgabe ist demnach ein Verzeichnen des Kegelschnittes selbst nicht erforderlich.

**320.** Analog wird die Aufgabe behandelt: Aus einem Punkte  $S$  die Tangenten an einen Kegelschnitt  $k$  zu ziehen, von dem man fünf Tangenten  $a, b, c, d, e$  kennt. Die Schnittpunkte zweier der gegebenen Tangenten, z. B.  $a$  und  $b$ , mit den drei übrigen,

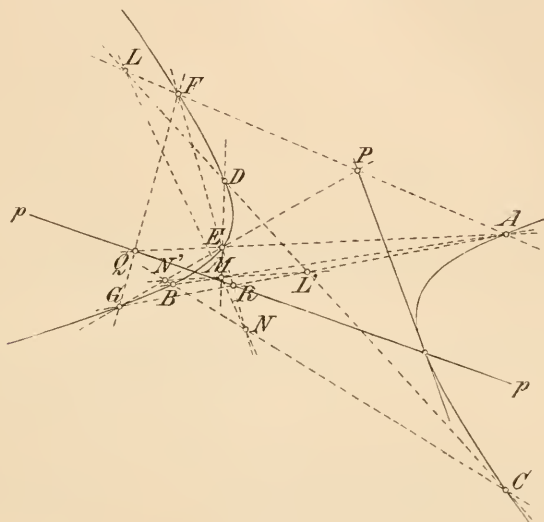


Fig. 206.

$c, d$  und  $e$ , bilden die erzeugenden Punktreihen von  $k$  und bestimmen mit  $S$  als Scheitel zwei projektive Strahlbüschel, deren Doppelstrahlen  $u$  und  $v$  die gesuchten Tangenten sind. Hier wie dort können sich je nach der Lage von  $g$  und  $S$  gegen den Kegelschnitt zwei getrennte, zwei vereinte oder keine Doppелеlemente als Lösung ergeben.

**321.** Die Polare eines Punktes  $P$  in Bezug auf einen durch fünf Punkte  $ABCDE$  gegebenen Kegelschnitt  $k$  wird konstruiert, indem man  $P$  mit zweien der Punkte, etwa  $A$  und  $E$ , verbindet und auf den erhaltenen Strahlen die zweiten Schnittpunkte  $F$  und  $G$  mit  $k$  aufsucht. Letzteres geschieht mit Hilfe des Pascalschen Satzes (vergl. 268). Dann verbindet die Polare  $p$  von  $P$  nach 275a die beiden Punkte  $AE \times FG = Q$  und  $AG \times EF = R$  (Fig. 206).

**322.** Analog konstruiert man den Pol einer Geraden  $p$  in Bezug auf einen durch fünf Tangenten bestimmten

Kegelschnitt  $k$ . Man schneide nämlich  $p$  mit zweien der Tangenten, etwa  $a$  und  $e$ , und ziehe aus diesen beiden Schnittpunkten die noch

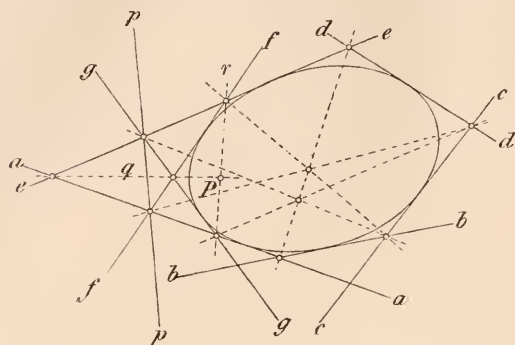


Fig. 207.

fehlenden Tangenten  $f$  und  $g$  an  $k$ , was mit Hilfe des Brianchon'schen Satzes geschieht (Fig. 207). Dann gehen die Verbindungslinien  $q$  von  $a \times e$  und  $f \times g$ , sowie  $r$  von  $a \times g$  und  $e \times f$  durch den gesuchten Pol  $P$  von  $p$  ( $pqr$  ist Polardreieck nach 276).

**323.** Wenn man zu einemingegebener Rich-

tung unendlich fern liegenden Punkte  $P$  die Polare  $p$  in Bezug auf den Kegelschnitt durch die fünf Punkte  $ABCDE$  konstruiert, so bildet  $p$  einen Durchmesser desselben. Ist ferner  $P_1$  der unendlich ferne Punkt des Durchmessers  $p$  und  $p_1$  seine Polare, so bestimmen  $p$  und  $p_1$  den Mittelpunkt  $M$  des Kegelschnittes und sind konjugierte Durchmesser (288). Zwei Paare konjugierter Durchmesser  $p$  und  $p_1$ ,  $q$  und  $q_1$  bilden im Mittelpunkt  $M$  zwei Strahlenpaare einer Involution, deren Doppelstrahlen  $u, v$  die Asymptoten und deren rechtwinkliges Strahlenpaar  $x, y$  die Achsen des Kegelschnittes ergeben (291). Hiernach können die genannten Elemente aus fünf gegebenen Punkten eines Kegelschnittes konstruiert werden, ohne daß dieser vorher selbst verzeichnet werden müßte. Die End-

punkte der Achsen ergeben sich nach 328.

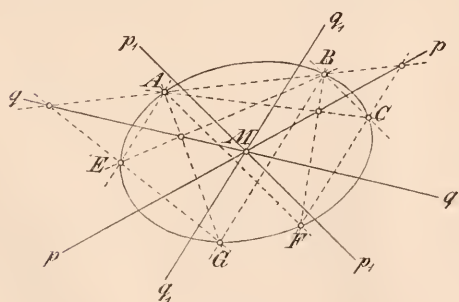


Fig. 208.

Die erforderlichen zwei Paare konjugierter Durchmesser werden am einfachsten folgendermaßen gefunden. Man konstruiere, ausgehend von den fünf gegebenen Punkten  $ABCDE$  den zweiten Endpunkt  $F$  der Kegelschnittsehne  $AF \parallel BC$  und ebenso den zweiten

Endpunkt  $G$  der Sehne  $BG \parallel AE$ . (Diese Konstruktion, bei der man sich des Pascal'schen Satzes bedienen kann, ist in Fig. 208 als be-

reits vollzogen angenommen). Bei dem vollständigen Viereck  $ABCF$  schneiden sich die zwei Paar nicht parallelen Gegenseiten in zwei Punkten eines Durchmessers  $p$ . Ebenso liefert das vollständige Viereck  $ABGE$  einen Durchmesser  $q$ , der durch die Schnittpunkte der nicht parallelen Gegenseiten geht. Die zu  $p$  und  $q$  konjugierten Durchmesser  $p_1$  und  $q_1$  sind zu  $BC$  und  $AE$  resp. parallel (288).

**324.** Man kann die soeben behandelte Aufgabe auch in der Weise lösen, daß man nach 307 zu dem Kegelschnitt durch die fünf Punkte  $ABCDE$  einen perspektiven Kreis zeichnet, Achse und Verschwindungslinie der Perspektive bestimmt und zu letzterer den Pol in Bezug auf den Kreis sucht. Diesem Pol entspricht der Mittelpunkt des zum Kreise perspektiven Kegelschnittes. Zugleich liefern je zwei Geraden durch den Pol, welche harmonische Polaren in Bezug auf den Kreis sind, als perspektive Bilder zwei konjugierte Durchmesser des Kegelschnittes samt ihren Endpunkten. Man hat nach 288 nur ein Polardreieck des Kreises zu suchen, dessen eine Seite die Verschwindungslinie ist und dasselbe perspektiv abzubilden.

**325.** Ist der Kegelschnitt durch fünf Tangenten  $abcde$  gegeben, so findet man ein Paar konjugierter Durchmesser  $p$  und  $p_1$  und damit den Mittelpunkt  $M$ , wie folgt.

Man konstruiere mittels des Brianchon'schen Satzes zu zweien der gegebenen Tangenten die Paralleltangenten des Kegelschnittes, etwa  $f \parallel a$ ,  $g \parallel e$  (Fig. 209). (Beim Sechseit  $afedcb$  schneiden sich die Verbindungslinien von  $e \times d$  und  $a \times b$ ,

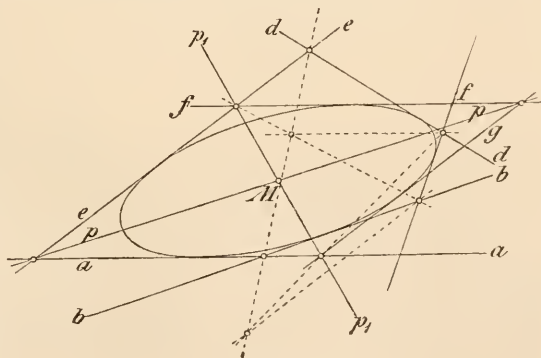


Fig. 209.

sowie von  $f \times a$  und  $c \times d$ , d. h. die Parallele zu  $a$  durch  $c \times d$  in einem Punkte, durch den auch die Verbindungslinie von  $e \times f$  und  $c \times b$  geht). Die Diagonalen des dem Kegelschnitt umgeschriebenen Parallelogramms  $afge$  bilden ein Paar konjugierter Durchmesser  $p$  und  $p_1$  (292). Aus zwei solchen Paaren können wiederum die Achsen des Kegelschnittes und — falls eine Hyperbel vorliegt — die Asymptoten abgeleitet werden. Auch kann man vermöge der Involution der konjugierten Durchmesser zu jedem Durchmesser den

konjugierten finden, und ist der erstere zu einer Tangente parallel, so geht der letztere durch ihren Berührungspunkt.

**326.** Um auf einer gegebenen Geraden  $g$  die Involution harmonischer Pole des Kegelschnittes  $ABCDE$  zu konstruieren,

hat man zu zwei beliebigen Punkten  $P$  und  $Q$  auf  $g$  die Polaren  $p$  und  $q$  nach 321 zu suchen. Diese schneiden  $g$  in den konjugierten Polen  $P_1$  und  $Q_1$  zu  $P$  und  $Q$ , sie schneiden sich außerdem gegenseitig in  $S$ , dem Pol von  $g$  (Fig. 210). Die Doppelstrahlen  $u$  und  $v$  der Involution harmonischer Polaren, die durch die Paare  $SP = p_1$ ,  $SP_1 = p$  und  $SQ = q_1$ ,  $SQ_1 = q$  bestimmt ist, sind die Tan-

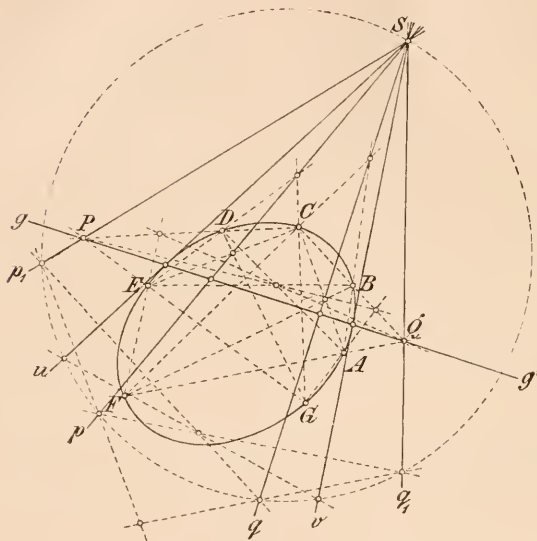


Fig. 210.

genten des Kegelschnittes in seinen Schnittpunkten  $U$  und  $V$  mit der Geraden  $g$ . Zur Vereinfachung der Konstruktion wählt man etwa  $P$  auf dem Strahle  $CD$  und  $Q$  auf  $CB$ .

Analog kann man verfahren, um die Involution harmonischer Polaren des Kegelschnittes  $abcde$  an einem gegebenen Scheitel  $S$  zu konstruieren. Man erhält zugleich auf der Polare  $g$  von  $S$  die Involution der konjugierten Pole. Die Doppелеlemente bilden die Tangenten des Kegelschnittes aus dem Punkte  $S$  resp. die Schnittpunkte mit der Geraden  $g$ .

**327.** Eng verwandt mit diesen letzten Aufgaben sind auch die beiden folgenden. Von einem Punkte  $S$  sollen die beiden Tangenten an den Kegelschnitt  $ABCDE$  gelegt werden. Man bestimme auf  $SA$  und  $SB$  die weiteren Kegelschnittpunkte  $F$  und  $H$ ; dann liegen die Punkte  $P = AH \times BF$  und  $P_1 = AB \times FH$  auf der Polare  $g$  von  $S$  und bilden ein Paar harmonischer Pole. Ebenso schneiden  $CB$  und  $CH$  nach 283 ein Paar harmonischer Pole  $Q$  und  $Q_1$  auf  $g$  aus (zugleich ist  $BQ_1 \times HQ = J$  ein neuer Kurvenpunkt).

Die Punktepaare  $PP_1$  und  $QQ_1$  bestimmen eine Involution und ihre Doppelpunkte sind die Berührungspunkte der gesuchten Tangenten.

Eine Gerade  $g$  sei mit dem Kegelschnitt  $abcde$  zu schneiden. Man lege aus den Punkten  $g \times a$  und  $g \times b$  die weiteren Tangenten  $f$  und  $h$  an den Kegelschnitt; dann schneiden sich die Geraden  $p$  und  $p_1$ , welche  $a \times h$  und  $b \times f$  resp.  $a \times b$  und  $f \times h$  verbinden, in dem Pol  $S$  von  $g$  und bilden ein Paar harmonischer Polaren. Ebenso erhält man ein Paar harmonischer Polaren  $q$  und  $q_1$ , wenn man  $S$  mit  $c \times b$  und  $c \times h$  verbindet. Die Strahlenpaare  $pp_1$  und  $qq_1$  bestimmen eine Involution, deren Doppelstrahlen den Kegelschnitt berühren und zwar in ihren Schnittpunkten mit  $g$ .

**328.** Auch die Endpunkte einer Achse bestimmt man mittels der Involution harmonischer Pole auf ihr. Der Mittelpunkt  $M$  des Kegelschnittes ist zugleich Mittelpunkt dieser Involution, da ihm die unendlich ferne Gerade als Polare zugehört. Sind  $A$  und  $B$  zwei Punkte des Kegelschnittes, so gehören ihm auch die in Bezug auf die Achse symmetrischen Punkte  $A_1$  und  $B_1$  an und es bilden  $AB_1 \times BA_1 = P$  und  $AB \times A_1B_1 = P_1$  ein Punktepaar der Involution, deren Doppelpunkte die Achsenendpunkte  $X$  und  $X_1$  sind. Nach 226 gilt die Relation  $(MX)^2 = MP \cdot MP_1$ , und hiernach sind die Punkte  $X$  und  $X_1$  in Fig. 211 konstruiert.

Sind vom Kegelschnitt zwei Tangenten  $a$  und  $b$  gegeben und sind  $a_1$  und  $b_1$  die in Bezug auf die Achse symmetrischen Tangenten, so schneiden die Verbindungslinien von  $a \times b$  mit  $a_1 \times b_1$  und von  $a \times b_1$  mit  $a_1 \times b$  zwei harmonische Pole  $P$  und  $P_1$  auf der Achse aus. Denn die Achse bildet mit den genannten Verbindungslinien ein Polardreieck des Kegelschnittes nach 276. Die weitere Konstruktion der Achsenendpunkte ist dann wieder wie vorher (Fig. 212).

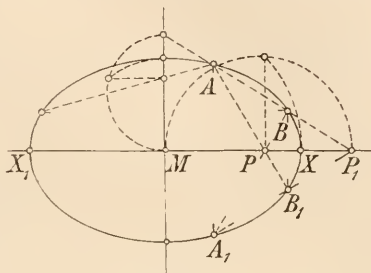


Fig. 211.

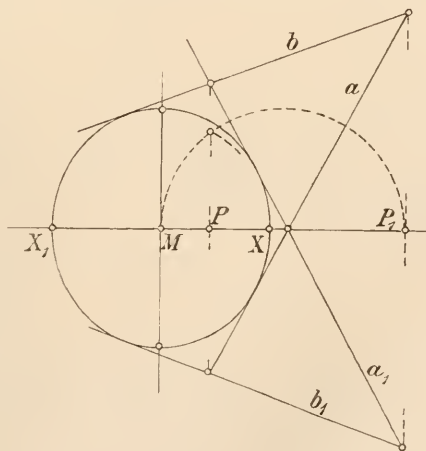


Fig. 212.



**329.** Um zu entscheiden, welche Art von Kegelschnitt zwei projektive Strahlbüschel erzeugen, beachte man, daß ein unendlich ferner Punkt desselben nur erhalten wird, wenn zwei entsprechende Strahlen der erzeugenden Büschel zu einander parallel laufen. Verschiebt man den einen Strahlbüschel parallel mit sich selbst, bis sich sein Scheitel mit dem des andern deckt, so kommen auch die sich entsprechenden Parallelstrahlen zur Deckung. Daher folgt: Zwei projektive Strahlbüschel in schiefer Lage erzeugen eine Hyperbel, Parabel oder Ellipse, je nachdem sie, durch Parallelverschiebung an einem Scheitel vereinigt, zwei getrennte, zwei vereinte oder keine Doppelstrahlen bestimmen. Die Anwendung dieses Kriteriums ist nur bei gleichlaufenden Büscheln erforderlich, zwei entgegengesetzten Büschel erzeugen offenbar stets eine Hyperbel.

**330.** Zwei projektive Punktreihen erzeugen eine Parabel, wenn sich ihre unendlich fernen Punkte entsprechen, oder wenn sie ähn-

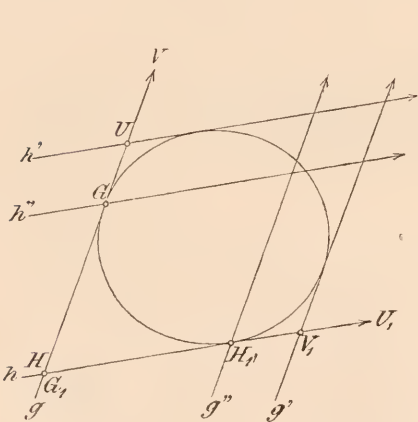


Fig. 213.

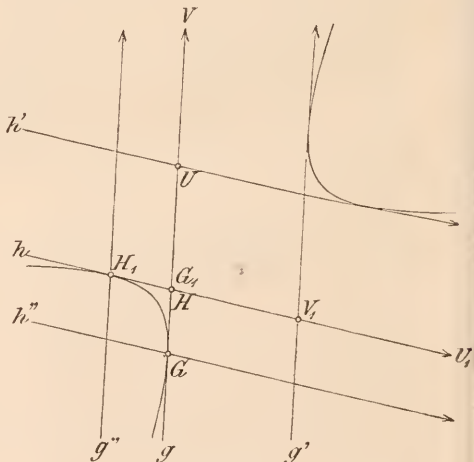


Fig. 214.

lich sind, denn alsdann ist die unendlich ferne Gerade als Verbindungslinie entsprechender Punkte eine Tangente des entstehenden Kegelschnittes.

Zur Bestimmung eines Kegelschnittes seien zwei (nicht ähnliche) Punktreihen  $g$  und  $h$  gegeben; ihre unendlich fernen Punkte seien  $U_1$  und  $V$ . Man konstruiere die Gegenpunkte  $U$  und  $V_1$ , sowie die dem Schnittpunkte ( $G_1 = H$ ) der Träger entsprechenden Berührungspunkte  $G$  und  $H_1$  und ziehe die Parallelen  $h'$  und  $h''$ ,  $g'$  und  $g''$  resp.

zu  $h$  und  $g$  (Figg. 213 und 214). Zwei parallele Tangenten des Kegelschnittes begrenzen in der Ebene einen Flächenstreifen, und der Kegelschnitt liegt entweder ganz innerhalb oder ganz außerhalb desselben, je nachdem er eine Ellipse oder Hyperbel vorstellt. Denn beide Kurven sind geschlossen, sie müssen also entweder ganz innerhalb oder ganz außerhalb liegen, sonst würden sie den Rand des Streifens überschneiden. Daß wir es im ersten Fall mit der Ellipse, im zweiten Fall mit der Hyperbel — die aus zwei Ästen besteht — zu thun haben, ist evident. Die Tangenten  $gg'h'h'$  bilden ein Parallelogramm, das die Ellipse umschließt, ihre Berührungspunkte liegen auf seinen Seiten. Bei der Hyperbel schließt das Parallelogramm der Tangenten  $gg'h'h'$  die Kurve aus; ihre Berührungspunkte liegen auf den verlängerten Seiten desselben.

Zwei projektive Punktreihen in schiefer Lage erzeugen eine Ellipse oder Hyperbel, je nachdem in einer der Reihen der Berührungspunkt zwischen ihrem Gegenpunkt und ihrem Schnittpunkt mit der andern Reihe liegt oder nicht. Eine Parabel entsteht, wenn der Gegenpunkt unendlich fern liegt.

**331.** Die Abschnitte, welche auf zwei parallelen Tangenten  $t$  und  $u$  eines Kegelschnittes zwischen ihren Berührungspunkten  $T$  und  $U$  und ihren Schnittpunkten  $P$  und  $Q$  mit irgend einer dritten Tangente  $v$  liegen, haben ein konstantes Produkt:

$$PT \cdot QU = \text{konst.}$$

Werden nämlich  $S$  auf  $t$  und  $R$  auf  $u$  durch irgend eine vierte Tangente  $w$  ausgeschnitten, so schneiden sich  $PR$  und  $QS$  in einem Punkte  $N$  von  $TU$  nach 266, und man hat (Fig. 215):  $PT:UR = TS:QU$ , oder:

$$PT \cdot QU = ST \cdot RU.$$

Bei der Ellipse liegen die Schnittpunkte jeder weiteren Tangente mit den parallelen Tangenten  $t$  und  $u$  auf der nämlichen Seite von  $TU$ , bei der Hyperbel aber nicht, wie aus der vorigen Nummer hervorgeht.

Läßt man bei einer Ellipse die Gerade  $v$  parallel zu  $TU$  werden, so findet man den konstanten Wert des Produktes:

$$PT \cdot QU = b^2,$$

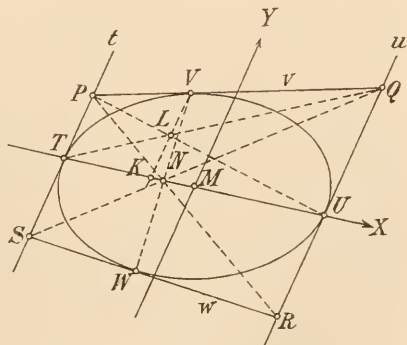


Fig. 215.

wo  $2b$  den zu  $TU = 2a$  konjugierten Durchmesser bezeichnet. Gehen  $t, u, v, w$  in die vier Scheiteltangenten der Ellipse über (Fig. 216a), so bedeuten  $a$  und  $b$  die Halbachsen.

Läßt man dagegen bei der Hyperbel die Gerade  $v$  in eine Asymptote übergehen, so ergibt sich, da jetzt  $PT$  und  $QU$  entgegengesetzte Richtung haben:

$$PT \cdot QU = -b^2,$$

wo  $2b$  das zwischen den Asymptoten liegende Stück der Tangenten in den Endpunkten des Durchmessers  $TU = 2a$  bezeichnet. Gehen speziell  $t, u, v, w$  in die Scheiteltangenten und Asymptoten über

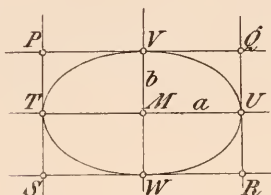


Fig. 216a.

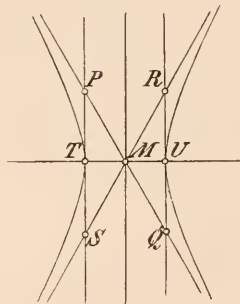


Fig. 216b.

(Fig. 216b), so bedeutet  $a$  die reelle Halbachse der Hyperbel, während man  $b$  als imaginäre Halbachse bezeichnet.

**332.** Es seien  $MX$  und  $MY$  konjugierte Durchmesser des Kegelschnittes, und zwar sei  $MY$  parallel zu den Tangenten  $t$  und  $u$ , während  $MX$  durch ihre Berührungspunkte  $T$  und  $U$  geht. Wir legen ihnen (wie in Fig. 215 durch Pfeile angedeutet) einen bestimmten Durchlaufungssinn bei. Die parallel zu  $MX$  und  $MY$  gemessenen Abstände irgend eines Punktes der Ebene von  $MY$  resp.  $MX$  nennen wir seine Koordinaten  $x, y$  und geben ihnen das positive oder negative Vorzeichen, je nachdem sie mit  $MX$  und  $MY$  von gleichem Sinne sind, oder nicht.  $X$  und  $Y$  seien die unendlich fernen Punkte der betrachteten konjugierten Durchmesser. Letztere würden in der Sprache der analytischen Geometrie als Achsen des schiefwinkligen Koordinatensystems zu bezeichnen sein und ihr Schnittpunkt  $M$  als Koordinatenanfangspunkt.

Das Dreieck  $PQY$  ist dem Kegelschnitt umschrieben; die Verbindungslinien seiner Ecken mit den Berührungspunkten der Gegenseiten:  $PU, QT, YV$  schneiden sich daher in einem Punkte  $L$  (273).

Ist also noch:  $K = MX \times IY$ , d. h.  $VK \parallel MY$ , so ergeben sich die Beziehungen:

$$KL:TP = KU:TU = VQ:PQ = LV:TP, \text{ also } KL = LV;$$

$$KL:UQ = KT:UT, \text{ also } (KL \cdot TU)^2 = KU \cdot TK \cdot TP \cdot UQ.$$

Setzt man  $x, y$  als die Koordinaten des Kegelschnittpunktes  $V$  ein, so hat man  $MK = x$  (in der Figur ist  $x$  negativ),  $KV = y = 2KL$ ,  $KU = a - x$ ,  $TK = a + x$  und überdies  $TP \cdot UQ = \pm b^2$ , je nachdem eine Ellipse oder Hyperbel vorliegt. Demnach erhält man:

$$\frac{x^2}{a^2} + \frac{y^2}{b^2} = 1$$

als Gleichung der Ellipse und:

$$\frac{x^2}{a^2} - \frac{y^2}{b^2} = 1$$

als Gleichung der Hyperbel, beide bezogen auf zwei konjugierte Durchmesser (oder speziell die Achsen) als Koordinatenachsen.

**333.** Der Satz über das einem Kegelschnitt umschriebene Viereck, wonach seine Diagonalen und die Verbindungslinien der Berührungspunkte seiner Gegenseiten durch den nämlichen Punkt gehen (266), läßt noch eine sehr wertvolle Anwendung auf die Hyperbel zu, wenn man zwei Gegenseiten dieses Vierecks mit den Asymptoten zusammenfallen läßt. In Fig. 217 stellt  $PQRS$  ein solches Viereck dar, und es müssen sich seine Diagonalen  $PR$  und  $QS$  auf der unendlich fernen Geraden schneiden, da die letztere die Berührungspunkte der Asymptoten verbindet. Aus dem Parallelismus von  $PR$  und  $QS$  folgt die Ähnlichkeit der Dreiecke  $MPR$  und  $MQS$ , und diese liefert die Relation:

$$MP \cdot MS = MQ \cdot MR = \text{konst.}$$

Denn wenn das Produkt für zwei beliebige Tangenten gleich ist, so muß es konstant für alle Tangenten sein. Die Hyperbeltangenten schneiden auf den Asymptoten Strecken ab, deren Produkt konstant ist. Oder mit anderen Worten: Das von einer beliebigen Tangente der

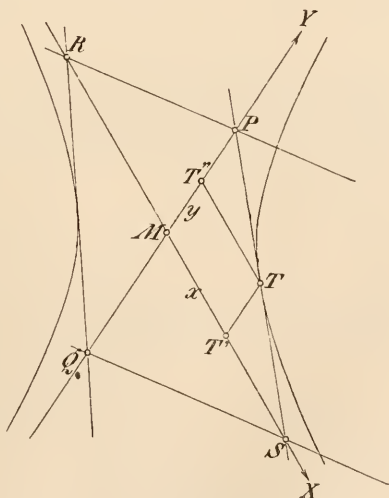


Fig. 217.

Hyperbel und ihren Asymptoten begrenzte Dreieck hat konstanten Flächeninhalt.

Faßt man  $PMS$  als ein der Hyperbel umschriebenes Dreieck auf, so müssen sich die Verbindungslinien seiner Ecken mit den Berührungspunkten der gegenüberliegenden Seiten in einem Punkte schneiden. Ist also  $T$  der Berührungspunkt der Tangente  $PS$ , so geht  $MT$  durch den Schnittpunkt der Geraden, die man durch  $P$  und  $S$  resp. zu  $MS$  und  $MP$  parallel ziehen kann.  $T$  ist demnach der Mittelpunkt des Parallelogramms mit den Seiten  $MP$  und  $MS$  und halbiert die Strecke  $PS$ . Die von den Asymptoten auf einer beliebigen Hyperbeltangente begrenzte Strecke wird vom Berührungspunkt halbiert.

**334.** Nimmt man die Asymptoten als Koordinatenachsen und setzt für den Hyperbelpunkt  $T$  die Koordinaten:

$$x = MT' = \frac{1}{2} MS, \quad y = MT'' = \frac{1}{2} MP$$

an, so folgt als Gleichung der Hyperbel:

$$xy = \text{konst.}$$

Das Produkt der Abstände eines Hyperbelpunktes von den Asymptoten ist konstant, wenn diese Abstände jedesmal in der Parallelen zur andern Asymptote gemessen werden. Oder auch: Das Produkt der Abstände eines Hyperbelpunktes von den Asymptoten ist konstant, wenn alle Abstände in der gleichen Richtung gemessen werden. Denn sind  $P$  und  $Q$  zwei Hyperbelpunkte und  $MP'$ ,  $MP''$ ,  $MQ'$ ,  $MQ''$  die zugehörigen Koordinaten (Fig. 218), so ist:  $MP' : MQ' = MQ'' : MP''$ . Schneiden nun zwei Parallelen durch  $P$  und  $Q$  die Asymptoten in  $A_1$ ,  $A_2$ , resp.  $B_1$ ,  $B_2$ , so folgt:

$$MP' : MQ' = PA_1 : QB_1$$

und:

$$MP'' : MQ'' = PA_2 : QB_2.$$

Die linken Seiten dieser Gleichungen stimmen überein, also auch die rechten; so ergibt sich die gewünschte Relation:

$$PA_2 \cdot PA_1 = QB_2 \cdot QB_1.$$

Stehen die Asymptoten einer Hyperbel aufeinander senkrecht, so heißt sie gleichseitig. In diesem Falle folgt nämlich aus 331 :  $b = a$ .

**335.** Die konjugierten Durchmesser eines Kegelschnittes bilden eine Involution und bei der Hyperbel sind die Asymptoten die Doppelstrahlen dieser Involution (290). Demnach liegen die Asymptoten der Hyperbel zu jedem Paare konjugierter Durchmesser harmonisch. Zieht man also (Fig. 219) zu irgend einem Durchmesser



eine Parallele  $DE$ , so halbiert der konjugierte Durchmesser die Strecke  $DE$ , welche von den Asymptoten auf ihr abgeschnitten wird ( $CD = CE$ ). Andererseits wird aber jede zu einem Durchmesser parallele Sehne vom konjugierten Durchmesser halbiert, so daß  $CA = CB$  ist. Die Strecken, welche auf einer Sekante

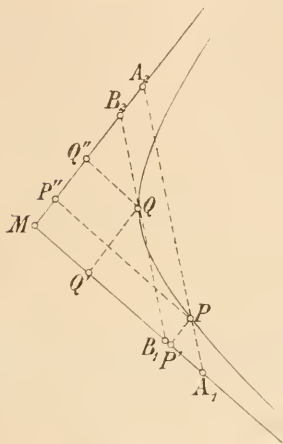


Fig. 218.

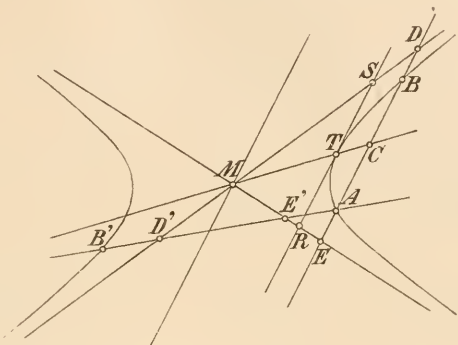


Fig. 219.

zwischen der Hyperbel und ihren Asymptoten liegen, sind einander gleich ( $AE = BD$ ).

Daraus ergibt sich auch wieder das obige Resultat für die Tangente, nämlich  $TR = TS$ . Aus dem Gesagten kann man die Hyperbel leicht konstruieren, wenn man ihre Asymptoten und einen ihrer Punkte  $A$  kennt.

Auf einem Strahl durch  $A$ , der die Asymptoten in  $D$  und  $E$  trifft, erhält man den zweiten Hyperbelpunkt  $B$  durch die Relation  $BD = AE$ .

**336.** Verbindet man die Mitte  $W$  der Sehne  $UV$  eines Kegelschnittes mit dem Schnittpunkt  $L$  der in  $U$  und  $V$  gezogenen Tangenten, so ist  $WL$  ein Durchmesser.

Führen wir diese Konstruktion insbesondere bei der Parabel aus (Fig. 220), so geht dieselbe durch die Mitte  $O$  der

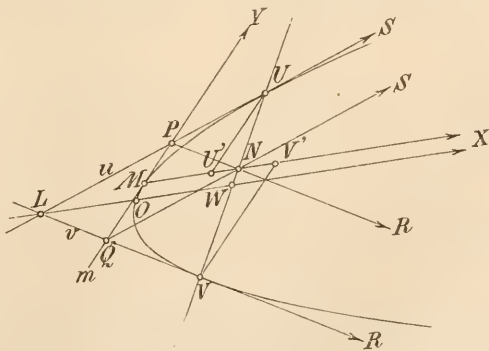


Fig. 220.

Strecke  $LW$ , da  $L$  und  $UV$  als Pol und Polare den genannten Durchmesser, dessen einer Endpunkt unendlich fern ist, harmonisch teilen. Es besteht also der Satz: Die Strecke zwischen dem Mittelpunkt einer Parabelsehne und ihrem Pole wird von der Parabel halbiert.

Wie in 333 der Hyperbel, so wollen wir jetzt der Parabel ein Viereck umschreiben, und zwar wählen wir als dessen Seiten drei beliebige Tangenten  $u, v, m$  und die unendlich ferne Gerade. Sind  $U, V$  und  $M$  die Berührungspunkte von  $u, v$  und  $m$ , sind ferner  $P$  und  $Q$  die Schnittpunkte von  $u$  und  $v$  mit  $m$ , endlich  $S$  und  $R$  die auf  $u$  und  $v$  liegenden unendlich fernen Punkte, so schneiden sich  $PR(\parallel v)$  und  $QS(\parallel u)$  in einem Punkte  $N$ , durch den sowohl die Sehne  $UV$  als auch der durch  $M$  gezogene Durchmesser gehen. Daraus folgt:

$$PU:PL = NU:NV = QL:QV.$$

Auf zwei Parabeltangente werden die Strecken zwischen ihrem Schnittpunkt und ihren Berührungspunkten von jeder weiteren Tangente nach demselben Verhältnisse geteilt.

**337.** Ziehen wir in unserer Figur noch  $UU' \parallel VV' \parallel m$  ( $U'$  und  $V'$  auf  $MN$ ), so können wir

$x = MU', y = U'U$  als Koordinaten von  $U$   
und

$x_1 = MV', y_1 = V'V$  als Koordinaten von  $V$   
ansetzen. Dabei spielen die Tangente in  $M$  und der durch  $M$  gehende Parabeldurchmesser die Rolle der Koordinatenachsen. Nun verhalten sich zwei parallele Strecken  $PU$  und  $QN$  ebenso wie ihre Parallelprojektionen  $MU'$  und  $MN$  auf die Gerade  $MX$ , also:

$$MU':MN = PU:QN = NU:VN = UU':VV':$$

ferner

$$MN:MV' = PN:QV' = NU:VN = UU':VV'.$$

Durch Multiplikation folgt hieraus als Gleichung der Parabel:

$$x:x_1 = y^2:y_1^2, \text{ oder } y^2:x = y_1^2:x_1 = \text{konst.}$$

Wählt man irgend einen Durchmesser der Parabel zur Abscissenachse und die Tangente in seinem Endpunkte zur Ordinatenachse, so verhalten sich die Abscissen der Parabelpunkte wie die Quadrate ihrer Ordinaten. Insbesondere verhalten sich die senkrechten Abstände der Parabelpunkte von der Scheiteltangente, wie die Quadrate ihrer Abstände von der Achse der Parabel.

**338.** Schon im vorigen Abschnitt (307 und 308) sind perspektive Beziehungen zwischen einem beliebigen Kegelschnitt und einem Kreise hergestellt worden. Von der dort behandelten ebenen Per-

spektive kann man leicht zur räumlichen Perspektive übergehen, indem man den Kegelschnitt um die Perspektivitätsachse aus der gemeinsamen Ebene herausdreht. Hier erscheint dann der Kegelschnitt als Kurve auf einem schiefen Kreiskegel. Es läßt sich aber zeigen, daß man durch jeden Kegelschnitt auch Rotationskegel legen kann und zwar unendlich viele. Umgekehrt lassen sich aus einem gegebenen Rotationskegel alle möglichen Ellipsen, Parabeln und Hyperbeln (die letzteren nur innerhalb gewisser Grenzen) ausschneiden, und dieser Frage wollen wir jetzt näher treten.

Man soll aus einem gegebenen Rotationskegel eine Ellipse mit den vorgegebenen Halbachsen  $a$  und  $b$  ausschneiden ( $a > b$ ).

Wir legen durch die Kegelachse  $l$  eine Ebene  $\Pi$ , Meridianebene, die den Kegelmantel in zwei Erzeugenden  $m$  und  $m_1$  schneidet (Fig. 221 a), dabei sei der am Scheitel  $S$  gelegene Winkel  $\angle mm_1 = \alpha$ . Alle zur Meridianebene  $\Pi$  normalen Sehnen des Kegels werden von dieser aus Gründen der Symmetrie halbiert. Es gilt nun der Satz: Die Mittelpunkte aller zu einer Meridianebene normalen Sehnen des Rotationskegels, welche eine vorgeschriebene Länge  $2b$  besitzen, liegen auf einer Hyperbel. Die Asymptoten sind die in der Meridianebene liegenden Erzeugenden  $m$  und  $m_1$ , sie schneiden auf der Scheiteltangente die Strecke  $2b$  ab. Es möge  $O$  ein beliebiger Punkt von  $\Pi$  sein, in dem die normale Sehne die Länge  $2b$  aufweist, und ebenso sei  $L$  ein Punkt der Kegelachse  $l$  mit einer normalen Sehne von der Länge  $2b$ . Zieht man ferner durch  $O$  und

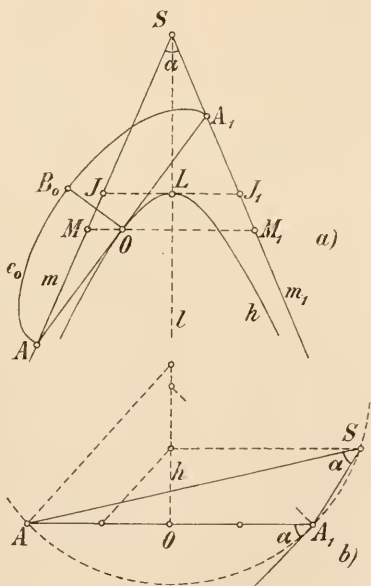


Fig. 221.

$L$  Senkrechte zur Kegelachse und schneiden diese die Erzeugenden in  $M$  und  $M_1$  resp. in  $J$  und  $J_1$ , so gelten die Relationen  $OM \cdot OM_1 = b^2$  und  $LJ \cdot LJ_1 = b^2$ ; da ja die normalen Kegelsehnen in  $O$  und  $L$  zugleich Sehnen der über den Durchmessern  $MM_1$  und  $JJ_1$  beschriebenen Kreise sind. Nach 334 liegt somit  $O$  auf einer Hyperbel

$h$  mit den Asymptoten  $m$  und  $m_1$  und dem Scheitel  $L$ . (Die Endpunkte aller zu  $\Pi$  normalen Sehnen von der Länge  $2b$  liegen auf zwei zu  $h$  parallelen Hyperbeln.)

Soll nun die in  $O$  auf  $\Pi$  senkrechte Kegelsehne  $BB_1$  ( $= 2b$ ) die kleine Achse einer Ellipse sein, so ist  $O$  der Mittelpunkt ihrer großen Achse  $AA_1$ , die von den Erzeugenden  $m$  und  $m_1$  begrenzt wird. Demnach muß  $AA_1$  die Hyperbel  $h$  in  $O$  berühren. Die großen Achsen aller auf dem Rotationskegel liegender Ellipsen, deren kleine Achsen zur Meridianebene  $\Pi$  normal und von der Länge  $2b$  sind, tangieren die genannte Hyperbel  $h$  in ihren Mittelpunkten.

**339.** Diese Hyperbel  $h$  hat nach 333 die Eigenschaft, daß  $SA \cdot SA_1 = SJ \cdot SJ_1$  ist, oder daß die Dreiecke  $SAA_1$  und  $SJJ_1$  gleichen Flächeninhalt besitzen. Richtet man es insbesondere so ein, daß  $AA_1$  die vorgeschriebene Länge  $2a$  hat, so stellt  $AA_1$  die große Achse einer auf dem Kegel liegenden Ellipse  $e$  mit den vorgegebenen Halbachsen  $a$  und  $b$  dar. Diese Aufgabe erfordert die Konstruktion des Dreiecks  $SAA_1$ , von dem man die Länge der Seite  $AA_1$ , den gegenüberliegenden Winkel  $\alpha$  und den Inhalt ( $= \triangle SJJ_1$ ) kennt. In Fig. 221 b ist diese Konstruktion ausgeführt. Es ist  $AA_1$  mit dem Mittelpunkt  $O$  angenommen, dann ist die Höhe  $h$  des  $\triangle SAA_1$  aus der Proportion  $h:SL = LJ:OA$  abgeleitet (in den Dreiecken  $JJ_1S$  und  $AA_1S$  verhalten sich die Grundlinien umgekehrt wie die Höhen). Die Ecke  $S$  liegt also auf einer Parallelen zu  $AA_1$  im Abstände  $h$  und auf einem Kreise, der über der Sehne  $AA_1$  beschrieben ist und  $\angle \alpha$  als zugehörigen Peripheriewinkel faßt. Trägt man nun noch die Strecken  $SA$  und  $SA_1$  von  $S$  aus auf  $m$  und  $m_1$  auf, so ist  $AA_1$  die große Achse der gesuchten Ellipse  $e$ , deren Ebene auf  $\Pi$  senkrecht steht. In der Figur 221 a ist sie um  $AA_1$  in  $\Pi$  als  $e_0$  umgelegt.

**340.** Ein Rotationskegel soll in einer vorgegebenen Parabel geschnitten werden.

Wir nehmen wie vorher eine Meridianebene  $\Pi$  an, die aus dem Kegel zwei Mantellinien  $m$  und  $m_1$  ausschneidet. Dann schneiden alle zu  $\Pi$  senkrechten Ebenen, deren Spurlinien in  $\Pi$  zu  $m$  (resp.  $m_1$ ) parallel sind, aus dem Kegel Parabeln aus. Die vorgegebene Parabel  $p$  ist durch die Richtung ihrer Achse  $a$ , den Scheitel  $A$  auf ihr und einen ihrer Punkte  $B$  völlig bestimmt (Fig. 222 b). Man ziehe also (Fig. 222 a) zu  $m$  eine Parallele  $n$ , die auf  $m_1$  die Strecke  $SP = AO$  abschneidet, errichte in  $S$  auf  $l$  die Normale, welche  $n$  in  $Q$  trifft, und trage an  $Q$  die Strecke  $QR = OB$  senkrecht zu  $QS$  an. Dann bestimme man  $K$  auf  $SQ$  so, daß  $\angle SRK = 90^\circ$  ist, und  $M_1$  auf  $m_1$

durch die Gerade  $KM_1 \parallel m$ ; hierauf ziehe man senkrecht zu  $l$  die Gerade  $MM_1$ , welche  $n$  in  $O$  begegnet. Die zu  $\Pi$  senkrechte Ebene, deren Spur  $a$  durch  $O$  und parallel zu  $m_1$  geht, schneidet aus dem Kegel die verlangte Parabel  $p$  aus. Ihr Scheitel  $A$  liegt nämlich in  $m \times a$  und sie besitzt im Abstand  $AO$  eine zu  $a$  normale Sehne  $BB_1$  von der vorgeschriebenen Länge. Denn das Quadrat der halben Sehne ist gleich  $OM \cdot OM_1 = QS \cdot QK = (QR)^2$ , wie verlangt. In der Figur ist die Parabel um  $a$  als  $p_0$  umgelegt.

**341.** Einen Rotationskegel in einer vorgeschriebenen Hyperbel zu schneiden.

Die Hyperbel  $h$  ist durch den Winkel  $\varepsilon$  ihrer Asymptoten und die Größe  $2a$  ihrer reellen Achse der Gestalt nach völlig bestimmt. Man gehe nun wieder von einer Meridianebene  $\Pi$  aus und den beiden Erzeugenden  $m$  und  $m_1$  in ihr ( $\angle mm_1 = \alpha$ ) (Fig. 223). Schneidet eine zu  $\Pi$  normale Ebene  $E$  den Kegel in einer Hyperbel, so schneidet eine zu ihr parallele Ebene durch die Kegelspitze  $S$  ein Paar Mantellinien  $u$  und  $v$  aus. Auf ihnen liegen die unendlich fernen Punkte der Hyperbel, d. h. sie sind zu deren Asymptoten parallel. Soll also  $E$  die verlangte Hyperbel  $h$  ausschneiden, so müssen  $u$  und  $v$  den Winkel  $\varepsilon$  miteinander einschließen. Das ist aber nur dann möglich, wenn  $\varepsilon \leq \alpha$  ist. Um  $u$  und  $v$  zu finden, lege man einen Normalschnitt zur Kegellachse  $l$ ,

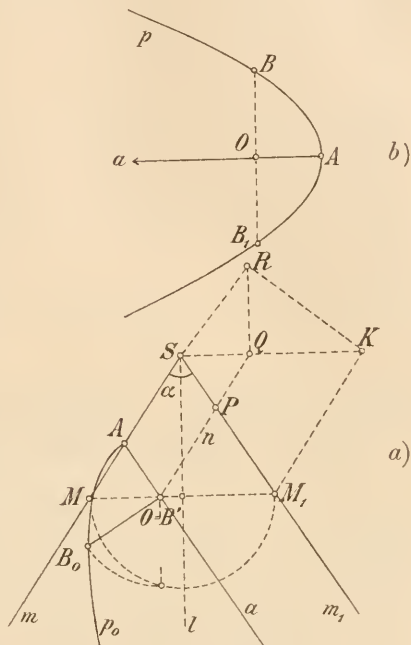


Fig. 222.

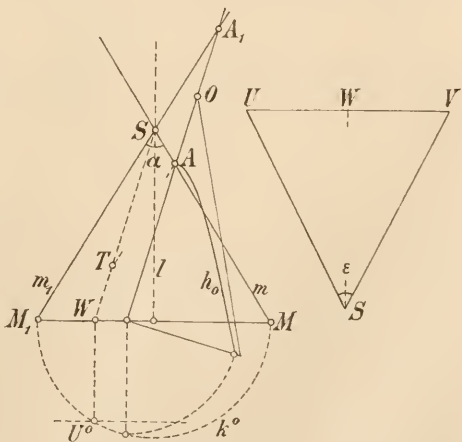


Fig. 223.



der  $m, m_1, u, v$  resp. in den Punkten  $M, M_1, U, V$  schneiden mag ( $SM = SM_1 = SU = SV$ ). Dieser schneidet den Kegel in einem Kreis  $k$ , für welchen  $MM_1$  ein Durchmesser und  $UV$  eine Sehne ist, und es gilt die Relation  $WM \cdot WM_1 = (WU)^2$ , ( $W = UV \times MM_1$ ).  $WU$  ist aber die halbe Basis des gleichschenkligen Dreiecks  $SUV$ , das sich aus der Länge seiner Schenkel ( $= SM$ ) und dem Winkel  $\varepsilon$  an seiner Spitze zeichnen läßt, so daß sich daraus auch der Punkt  $U$  auf  $k$  ergibt (in der Figur sind  $k$  und  $U$  in der Umlegung  $k^0$  und  $U^0$  gezeichnet) und dann der Punkt  $W$  auf  $MM_1$ . Trägt man noch auf  $SW$  die Strecke  $ST = 2a$  auf und zeichnet das Parallelogramm  $STAA_1$ , dessen Ecken  $A$  und  $A_1$  auf  $m$  resp.  $m_1$  liegen, so ist  $AA_1$  der Lage und der Länge nach die reelle Achse der gesuchten Hyperbel  $h$ . In der Figur ist die um  $AA_1$  umgelegte Hyperbel  $h_0$  angegeben.

### **Gesetz der Dualität. Reciprokalfiguren in Bezug auf einen Kegelschnitt. Aufgaben zweiten Grades. Imaginäre Lösungen.**

**342.** In den vorausgehenden Entwicklungen weist die öfters bemerkbare paarweise Gegenüberstellung von Sätzen auf ein allgemeines geometrisches Gesetz hin, welches sowohl die ebenen wie die räumlichen Figuren beherrscht: das Gesetz der Dualität. Seine Bedeutung besteht darin, daß aus jedem synthetisch-geometrischen Satze sofort ein anderer abgeleitet werden kann, indem man gewisse sich entsprechende Begriffe durcheinander ersetzt. Es nimmt zwei verschiedene Formen an, je nachdem man Figuren in der Ebene oder im Raume betrachtet.

**343.** In der Ebene bilden der Punkt und die Gerade die sich dual entgegenstehenden Begriffe, weil beide für die Zusammensetzung der ebenen Gebilde als Elemente betrachtet werden können und weil die hierbei allein zur Geltung kommenden Grundgesetze:

Zwei Punkte bestimmen	Zwei Gerade bestimmen
eine Gerade;	einen Punkt;

durch Vertauschung beider Begriffe auseinander hervorgehen. Demnach entsprechen allen Punkten einer Geraden (einer Punktreihe) alle Gerade durch einen Punkt (ein Strahlbüschel), einem vollständigen Viereck mit seinen sechs Seiten ein vollständiges Vierseit mit seinen sechs Ecken, also vier harmonischen Punkten vier harmonische Strahlen, perspektiven resp. projektiven Punktreihen perspektive resp. projektive Strahlbüschel, dem Kegelschnitt als Erzeugnis

projektiver Strahlbüschel ein Kegelschnitt als Erzeugnis projektiver Punktreihen, den Punkten des ersteren also die Tangenten des letzteren, einem Pascal'schen Sechseck ein Brianchon'sches Sechseck u. s. f.

**344.** Im Raume bilden der Punkt und die Ebene dual entgegengesetzte Begriffe, der geraden Linie entspricht wieder eine gerade Linie. In der That lassen die für die Zusetzung der Raumgebilde aus diesen Elementen geltenden Grundgesetze die Vertauschung der als dual bezeichneten Begriffe zu. Es sind diese:

Zwei Punkte bestimmen eine Gerade;

Drei Punkte bestimmen eine Ebene, wenn sie nicht auf einer Geraden liegen;

Zwei Ebenen bestimmen eine Gerade;

Drei Ebenen bestimmen einen Punkt, wenn sie nicht durch eine Gerade gehen.

Einfache Beispiele dualer Sätze sind die folgenden:

Beliebig viele Gerade liegen in einer Ebene, wenn je zwei einen, aber nicht alle denselben Punkt gemein haben.

Eine gemeinsame Sekante dreier windschiefer Geraden ist die Schnittlinie der Verbindungsebenen, die ein Punkt der ersten mit jeder der beiden andern bestimmt.

Beliebig viele Gerade gehen durch einen Punkt, wenn je zwei eine, aber nicht alle dieselbe Verbindungsebene haben.

Eine gemeinsame Sekante dreier windschiefer Geraden ist Verbindungslinie der Schnittpunkte, die eine Ebene durch die erste mit jeder der beiden andern bestimmt.

**345.** Dem Gesetz der Dualität sind nur die Eigenschaften der Figuren unterworfen, die reine Lagebeziehungen ihrer Elemente ausdrücken und\* folglich durch Projektion nicht zerstört werden (projektive Eigenschaften). Die an den Figuren stattfindenden metrischen Relationen unterliegen jenem Gesetz nicht, weil sie Begriffe enthalten, für die wir dual entgegengesetzte nicht haben, nämlich den Begriff der Strecke und den des Winkels. Beispielsweise entspricht zwar der Konstruktion der Doppelstrahlen zweier involutorischer Büschel (317) durch Dualität die Konstruktion der Doppelpunkte zweier involutorischer Reihen (318), aber dieses Entsprechen erstreckt sich nicht auf die Bestimmung des Rechtwinkel-paares der Strahleninvolution und die des Mittelpunktes der Punktinvolution.

**346.** Duale Figuren in der Ebene können insbesondere, die eine aus der andern, nach einem bestimmten Gesetz abgeleitet werden; man bezeichnet es als das Gesetz der Reciprozität in Bezug auf einen Kegelschnitt und nennt letzteren die Direktrix (den Leitkegelschnitt) der Reciprozität. Denkt man sich nämlich zu allen Punkten und Geraden einer ebenen Figur  $\mathfrak{F}_1$  die Polaren und Pole in Bezug auf einen gegebenen Leitkegelschnitt  $k$  konstruiert, so bilden diese eine duale Figur  $\mathfrak{F}_2$ , von der man rückwärts auf die gleiche Art wieder zu der Anfangsfigur  $\mathfrak{F}_1$  gelangt.  $\mathfrak{F}_1$  und  $\mathfrak{F}_2$  heißen polarverwandte oder Reciprokalfiguren in Bezug auf die Direktrix  $k$ . Jeder Punktreihe der einen Figur entspricht ein mit ihr projektiver Strahlbüschel der andern und umgekehrt (281); projektiven und speziell involutorischen Reihen der einen Figur entsprechen projektive, bzw. involutorische Büschel der andern u. s. f.

**347.** Als Beispiel führen wir an, daß man die drei Kegelschnittgattungen als Reciprokalfiguren eines Kreises  $k_1$  in Bezug auf einen andern Kreis  $k$  als Direktrix erhält. Indem man sich  $k_1$  durch zwei

projektive(kongruente) Strahlbüschel erzeugt denkt, ergibt sich für die Reciprokalkurve eine Erzeugung durch zwei projektive Punktreihen; sie ist daher jedenfalls ein Kegelschnitt  $k_2$ . Den Punkten und Tangenten von  $k_1$  entsprechen die Tangenten und Punkte von  $k_2$ . Nun gehört zu dem Centrum  $M$  des Leitkreises  $k$  als Polare in Bezug auf

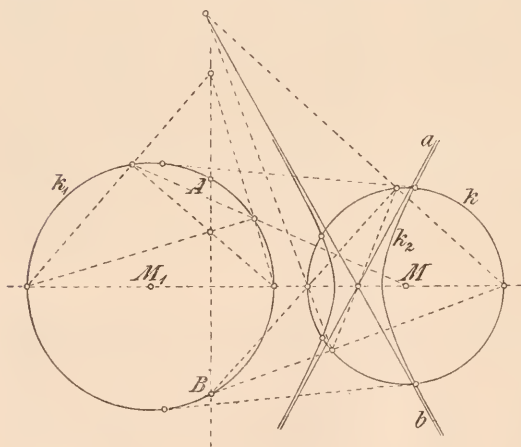


Fig. 224.

$k$  die unendlich ferne Gerade, ferner gehören zu den Punkten  $A$  und  $B$  von  $k_1$ , deren Tangenten durch  $M$  gehen, als Polaren in Bezug auf  $k$  zwei Gerade  $a$  und  $b$  ( $a \perp AM$ ,  $b \perp BM$ ). Da  $A$  und  $B$  auf  $k_1$  liegen, so sind  $a$  und  $b$  Tangenten von  $k_2$ , und da die zu  $A$  und  $B$  gehörigen Tangenten durch  $M$  gehen, so liegen die Berührungspunkte von  $a$  und  $b$  mit  $k_2$  unendlich fern; d. h.  $a$  und  $b$  sind die Asymptoten von  $k_2$  (Fig. 224). Einer gemeinsamen

Tangente von  $k_1$  und  $k$  gehört als Polare ihr Berührungspunkt mit  $k$  zu; durch diesen Punkt geht also  $k_2$  hindurch. Nach dem Gesagten ist ersichtlich, daß die Reciprokalkurve eine Hyperbel, Parabel oder Ellipse ist, je nachdem das Centrum  $M$  des Leitkreises  $k$  außerhalb, auf oder innerhalb der Peripherie des gegebenen Kreises  $k_1$  liegt.

**348.** Eine Konstruktion, die nur gerade Linien benutzt, heißt linear; ihr Resultat ist unzweideutig bestimmt. Bei allen Aufgaben, die nur eine bestimmte Lösung zulassen, darf man umgekehrt stets eine lineare Konstruktion erwarten; sie heißen Aufgaben ersten Grades. Probleme dagegen, zu deren Lösung ein Kegelschnitt erforderlich ist, besitzen im allgemeinen zwei Lösungen und heißen Aufgaben zweiten Grades; zu ihrer Konstruktion bedient man sich in der Regel eines Kreises. Da die Gerade und der Kreis die einzigen Gebilde sind, die sich unmittelbar zeichnen lassen, so ist klar, daß man jede kompliziertere Aufgabe, soweit thunlich, auf solche vom ersten und zweiten Grade zurückzuführen suchen muß. Wir haben uns hier nur mit den letzteren zu beschäftigen.

**349.** Für alle Probleme zweiten Grades bilden die folgenden zwei die Grundlage:

die Schnittpunkte eines Kegelschnittes (Kreises) mit einer gegebenen Geraden zu bestimmen;

die Tangenten an einen Kegelschnitt (Kreis) aus einem gegebenen Punkte zu bestimmen;

sie stehen einander dual gegenüber und lassen sich unter einem gemeinsamen Gesichtspunkte betrachten. Ihre Lösungen bilden nämlich bezw.

die Doppelpunkte der Involution harmonischer Pole, welche der Kegelschnitt auf der gegebenen Geraden bestimmt;

die Doppelstrahlen der Involution harmonischer Polaren, welche der Kegelschnitt an dem gegebenen Punkte bestimmt.

Die Fundamentalaufgabe lautet daher in allgemeiner Fassung so:

Gegeben sind zwei projektive Punktreihen oder Strahlbüschel mit demselben Träger; man soll ihre sich selbst entsprechenden Elemente konstruieren.

**350.** Denkt man sich die gegebenen Gebilde nach analytischer Methode durch Gleichungen zwischen den Koordinaten ihrer Punkte

oder Geraden dargestellt, so wird jedes geometrische Problem abhängig sein von der Auflösung gewisser Gleichungen. Die uns vorliegenden Aufgaben zweiten Grades im besonderen führen auf algebraische Gleichungen zweiten Grades mit reellen Koeffizienten. Die drei möglichen Fälle, daß die betreffende Gleichung zweiten Grades, zwei reelle verschiedene, zwei reelle gleiche oder zwei konjugiert imaginäre Wurzeln hat, entsprechen genau denen, wo sich auf konstruktivem Wege zwei getrennte, vereinte oder keine die Aufgabe befriedigenden Elemente finden lassen. Die nicht konstruierbaren, sondern nur analytisch definierten Lösungen werden aus Zweckmäßigkeitsgründen auch in der synthetischen Geometrie mitgezählt als imaginäre geometrische Elemente.

Indem wir es als selbstverständlich ansehen, daß die beiden Lösungen einer Aufgabe zweiten Grades reell oder konjugiert imaginär sein, bzw. durch Koincidenz eine besondere reelle Lösung bestimmen können, wird es überflüssig, dies bei den einzelnen Sätzen ausdrücklich hervorzuheben. Wir sagen also z. B.:

Je zwei projektive Grundgebilde (Ebenen-, Strahlbüschel oder Punktreihen) mit einerlei Träger bestimmen zwei Doppelemente (sich selbst entsprechende Elemente).

Auf jeder Geraden der Ebene liegen zwei Punkte eines gegebenen Kegelschnittes.	Durch jeden Punkt der Ebene gehen zwei Tangenten eines gegebenen Kegelschnittes.
--	--

**351.** Konstruktiv sind nur reelle geometrische Elemente verwendbar; wenn trotzdem von einer Konstruktion aus imaginären Elementen gesprochen wird, so ist dies nur eine abgekürzte Ausdrucksweise. Man sieht dann nur reelle Elemente als gegeben an, die durch ihre Beziehung zu einander die imaginären ersetzen.

Zwei konjugiert imaginäre Punkte werden durch hinreichend viele reelle Punktepaare gegeben, die auf der reellen Verbindungslinie zwei projektive (involutorische) Punktreihen mit den gedachten Punkten als Doppelementen bestimmen.	Zwei konjugiert imaginäre Strahlen werden durch hinreichend viele reelle Strahlenpaare gegeben, die an dem reellen Schnittpunkt zwei projektive (involutorische) Strahlbüschel mit den gedachten Strahlen als Doppelementen bestimmen.
--	--

Zwei konjugiert imaginäre Punkte liegen also stets auf einer reellen Geraden und können auf dieser durch zwei Punktepaare



einer gleichlaufenden Involution als deren Doppelpunkte definiert werden. Sie liegen also zu beiden Punktepaaren harmonisch (232). Ein Punktepaar, das gleichzeitig zu zwei gegebenen Punktepaaren einer Geraden harmonisch liegt, ist konjugiert imaginär, wenn die gegebenen Paare sich gegenseitig trennen; in allen übrigen Fällen ist es reell. Ein gleicher Satz gilt infolge der Dualität für konjugiert imaginäre Strahlen.

Die auf die vorstehenden Definitionen sich gründende Ausdrucksweise bietet außer ihrer Kürze den weiteren Vorteil, daß der Zusammenhang gewisser Sätze untereinander deutlicher erkennbar wird. Im folgenden sollen einige Konstruktionen und Sätze nebst ihren dualen als Beispiele hierfür behandelt werden.

**352.** Zwei Punktepaare, die harmonisch liegen, sind entweder beide reell, oder die Punkte des einen sind reell, die des andern konjugiert imaginär; dagegen können nicht beide Paare aus konjugiert imaginären Punkten bestehen. Bildet das erste Paar — mag es nun reell oder imaginär sein — die Doppelpunkte einer Involution, so stellt das zweite Paar zwei sich entsprechende Punkte dieser Involution dar (223). Nehmen wir die Involution auf einem Kreise  $k$  an (317) (falls sie auf einer Geraden liegt, projizieren wir sie aus einem Punkte durch eine Strahleninvolution und schneiden diese mit einem Kreise durch den Scheitel), so schneiden sich die Verbindungslinien entsprechender Punkte alle in einem Punkte  $M$ , dem Mittelpunkt der Involution. Liegt  $M$  außerhalb  $k$ , so sind die Doppelpunkte der Involution reell und werden aus  $k$  durch die Polare  $m$  von  $M$  ausgeschnitten. Jeder Strahl durch  $M$  schneidet den Kreis in zwei zu den reellen Doppelpunkten harmonisch liegenden Punkten. Diese letzteren können reell oder konjugiert imaginär sein; denn durch  $M$  gehen auch Strahlen, die den Kreis nicht in reellen Punkten schneiden. Liegt  $M$  innerhalb  $k$ , so sind die Doppelpunkte der Involution konjugiert imaginär, denn die Polare  $m$  von  $M$  hat mit  $k$  keine reellen Punkte gemein. Jetzt schneidet jeder Strahl durch  $M$  den Kreis in zwei reellen Punkten, die zu den imaginären Doppelpunkten harmonisch liegen. Hieraus erkennt man auch, daß zwei Punktepaare auf einem Kegelschnitt harmonisch liegen, wenn von ihren beiden Verbindungslinien jede durch den Polder andern geht.

**353.** Sind drei Punktepaare so beschaffen, daß je zwei harmonisch liegen, so sind zwei von ihnen reell, die Punkte des dritten sind konjugiert imaginär. Denn nach dem voranstehenden Satze müssen ihre drei Verbindungslinien, wenn die Punkte-

paare auf einem Kegelschnitt liegen, ein Polardreieck bilden, da jede von ihnen die Pole der beiden andern enthalten muß. Eine Ecke eines Polardreiecks liegt aber immer innerhalb, die beiden andern liegen außerhalb des Kegelschnittes; zwei Seiten des Polardreiecks schneiden ihn deshalb in reellen, die dritte in konjugiert imaginären Punkten.

Es seien zwei Involutionen von Punkten (oder Tangenten) auf einem Kegelschnitte  $k$  gegeben. Sind  $M$  und  $N$  ihre Mittelpunkte (315),  $m$  und  $n$  deren Polaren, also die Achsen der Involutionen, so bestimmt  $m$  auf  $k$  die Doppelpunkte der einen,  $n$  die der andern Involution und  $MN$  das gemeinsame Punktepaar. Letzteres wird imaginär, wenn die Gerade  $MN$  den Kegelschnitt nicht schneidet, also wenn ihr Pol  $m \times n$  innerhalb liegt. In diesem Falle aber hat jede der Involutionen ein reelles Doppelpunktepaar und die Punkte des einen trennen die des andern. Dieses Ergebnis überträgt sich auf Paare von Punktinvolutionen auf einer Geraden, oder Strahleninvolutionen an einem Scheitel; denn um an ihnen die entsprechenden Konstruktionen auszuführen, muß man, wie oben (317, 318) angegeben wurde, zu Involutionen auf einem Hilfskegelschnitt übergehen. Daher gilt allgemein der Satz:

Zwei Involutionen auf demselben Träger haben ein Elementepaar gemeinsam, welches reell ist, sobald nicht beide Involutionen reelle Doppelemente besitzen, die einander wechselseitig trennen; in letzterem Falle ist das gemeinsame Paar imaginär. Das gemeinsame Paar liegt zu den Doppelementen beider Involutionen harmonisch. Im besonderen können beide Involutionen ein Doppelement gemein haben, das dann zugleich das gemeinsame Elementepaar darstellt.

**354.** Zwei Punktinvolutionen  $\mathfrak{I}$  und  $\mathfrak{I}'$  auf zwei Geraden  $g$  und  $g'$  können in doppelter Weise durch die nämliche Strahleninvolution ausgeschnitten werden. Dazu ist nur nötig, daß zwei Strahlenpaare der Strahleninvolution aus den Geraden  $g$  und  $g'$  je zwei Punktepaare der gegebenen Involutionen  $\mathfrak{I}$  resp.  $\mathfrak{I}'$  ausschneiden. Denn sowohl die Strahleninvolution als auch die Punktinvolutionen sind durch je zwei Elementepaare völlig bestimmt. Ist  $\mathfrak{I}$  durch die Punktepaare  $A, A_1$  und  $B, B_1$  gegeben und  $\mathfrak{I}'$  durch die Punktepaare  $C', C'_1$  und  $D', D'_1$ , so kann man zunächst zu dem Punkte  $S = g \times g'$  den entsprechenden Punkt  $S_1$  in der Involution  $\mathfrak{I}$  und den entsprechenden Punkt  $S'_1$  in der Involution  $\mathfrak{I}'$  zeichnen (224, Fig. 225). Nun sind auf  $g'$  die Punkt-

reihen  $S, S_1', C', C_1', \dots$  und  $S_1', S, C_1', C', \dots$  projektiv, folglich sind es auch die Strahlbüschel, die sie aus den Punkten  $A$  resp.  $A_1$  projizieren. Schneiden wir beide Büschel mit der Geraden  $S_1S_1'$ , so erhalten wir die projektiven Punktreihen  $S_1, S_1', P, Q, \dots$  und  $S_1', S_1, P_1, Q_1, \dots$ . In ihnen entsprechen sich die Punkte  $S_1$  und  $S_1'$  vertauschbar; deshalb liegen sie involutorisch und es sind  $S_1S_1', PP_1, QQ_1$  Punktpaare einer Involution  $\mathfrak{Z}''$ . Zwei Strahlen durch  $A$  und  $A_1$ , welche  $g'$  in entsprechenden Punkten von  $\mathfrak{Z}'$  schneiden, liefern auch entsprechende Punkte von  $\mathfrak{Z}''$  und umgekehrt. Ist also  $O$  ein Doppelpunkt der Involution  $\mathfrak{Z}''$ , so schneiden die Strahlenpaare  $OS, OS_1, OA, OA_1$  sowohl auf  $g$  Punktpaare von  $\mathfrak{Z}$  als auch auf  $g'$  Punktpaare von  $\mathfrak{Z}'$  aus.  $O$  ist somit der Scheitel einer Strahleninvolution, die aus  $g$  und  $g'$  die gegebenen Involutionen  $\mathfrak{Z}$  und  $\mathfrak{Z}'$  ausschneidet. Gleiches gilt für den andern Doppelpunkt  $O'$  von  $\mathfrak{Z}''$ .

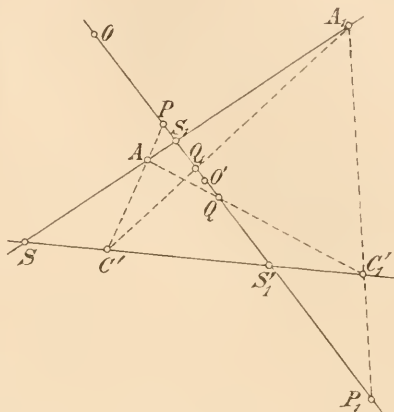


Fig. 225.

**355.** Besitzen beide Involutionen  $\mathfrak{Z}$  und  $\mathfrak{Z}'$  reelle Doppelpunkte, so gehen ersichtlich je zwei ihrer Verbindungslinien durch  $O$  resp.  $O'$ . Besitzen dagegen beide Involutionen  $\mathfrak{Z}$  und  $\mathfrak{Z}'$  konjugiert imaginäre Doppelpunkte, so enthält die Strecke  $SS_1$  einen Punkt des Paares  $AA_1$  etwa  $A$  und die Strecke  $SS_1'$  einen Punkt des Paares  $C'C_1'$  etwa  $C'$ . Dann liegen die Schnittpunkte  $Q$  und  $Q_1$  von  $S_1S_1'$  mit  $AC_1'$  resp.  $A_1C'$  beide auf der Strecke  $S_1S_1'$  und die Involution  $\mathfrak{Z}''$  hat wiederum reelle Doppelpunkte  $O$  und  $O'$ . Nur wenn eine der gegebenen Involutionen reelle und die andere imaginäre Doppelpunkte aufweist, wird das Punktpaar  $QQ_1$  durch einen der beiden Punkte  $S_1$  resp.  $S_1'$  getrennt und die Doppelpunkte von  $\mathfrak{Z}''$  werden konjugiert imaginär.

Zwei Punktinvolutionen auf verschiedenen Trägern werden dann (und zwar in doppelter Weise) durch die nämliche Strahleninvolution projiziert, wenn sie entweder beide reelle, oder beide imaginäre Doppelpunkte besitzen.

Das Prinzip der Dualität liefert noch den dualen Satz: Zwei Strahleninvolutionen mit verschiedenen Scheiteln werden dann (und zwar in doppelter Weise) von einer Geraden in der nämlichen Punktinvolution geschnitten, wenn sie ent-

weder beide reelle, oder beide imaginäre Doppelstrahlen aufweisen. Auch die Konstruktion dieser Geraden geht aus der Dualität hervor.

**356.** Ein Kegelschnitt ist konstruierbar aus drei reellen Punkten  $A, B, C$  und zwei konjugiert imaginären (d. h. der gleichlaufenden Involution seiner harmonischen Pole  $D_1, D_2$  und  $E_1, E_2$  auf einer Geraden  $g$ ).

Man suche zunächst einen Punkt  $S$  so, daß  $SD_1 \perp SD_2$  und  $SE_1 \perp SE_2$  wird, was mit Hilfe zweier Halbkreise über den Durchmessern  $DD_1$  und  $EE_1$  geschieht. Dann ist  $S$  der Scheitel für eine Involution rechter Winkel, deren Schenkel auf  $g$  die Involution

harmonischer Pole ausschneiden (Fig. 226). Sind ferner  $B_1$  resp.  $C_1$  die Schnittpunkte der Strahlen  $AB$  und  $AC$  mit  $g$ , sind endlich  $B_2$  resp.  $C_2$  die zu diesen Punkten gehörigen harmonischen Pole, so bestimmen die Strahlen  $B_2B$  und  $C_2C$  den zweiten Schnittpunkt  $A'$  der durch  $A$  gehenden harmonischen Polare  $h$  zu  $g$  (vergl. 283). Die

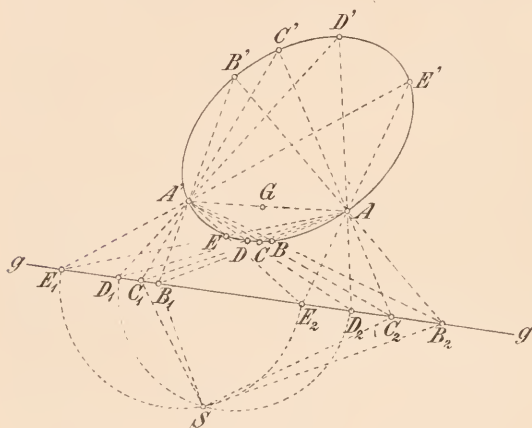


Fig. 226.

Verbindungslinien irgend zweier harmonischer Pole ( $D_1$  und  $D_2$ ,  $E_1$  und  $E_2$ , . . .) mit  $A$  und  $A'$  (oder mit  $A'$  und  $A$ ) ergeben neue Punkte ( $D$  und  $D'$ ,  $E$  und  $E'$ , . . .) des gesuchten Kegelschnittes. Die Punkte  $A, B, C, D, E, \dots$  bilden mit  $A', B', C', D', E' \dots$  eine Involution auf dem Kegelschnitt, deren Achse  $g$  und deren Mittelpunkt ihr Pol  $G$  ist (315, 316).

Das Prinzip der Dualität ergibt unmittelbar die Lösung des Problems: Aus drei reellen Tangenten  $a, b, c$  und zwei konjugiert imaginären (d. h. der gleichlaufenden Involution seiner harmonischen Polaren an einem gegebenen Scheitel  $S$ ) einen Kegelschnitt zu konstruieren.

**357.** Ein Kegelschnitt ist bestimmt durch einen reellen und zwei Paare konjugiert imaginärer Punkte (die durch

die gleichlaufenden Involutionen harmonischer Pole auf zwei Geraden  $g$  und  $h$  vertreten werden).

Auf jeder der beiden Geraden  $g$  und  $h$  müssen zwei Paare harmonischer Pole gegeben sein. Man kann dann zu  $P = g \times h$  sowohl auf  $g$  den harmonischen Pol  $Q_1$ , als auch auf  $h$  den harmonischen Pol  $R_1$  konstruieren und erhält so in  $p = Q_1 R_1$  die Polare von  $P$  (Fig. 227).  $P$

liegt außerhalb des gesuchten Kegelschnittes, da die Geraden  $g$  und  $h$  ihn nicht schneiden; demnach muß seine Polare  $p$  zwei reelle Punkte  $Q$  und  $R$  mit demselben gemein haben. Ist nun  $A$  der gegebene reelle Punkt des Kegelschnittes, so schneiden die Strahlen  $AQ = q$  und  $AR = r$  nach 283 sowohl auf  $g$  als auf  $h$  harmonische Pole aus, da ja  $g$  und  $h$  beide harmonische Polaren zu  $p$  sind. Projiziert

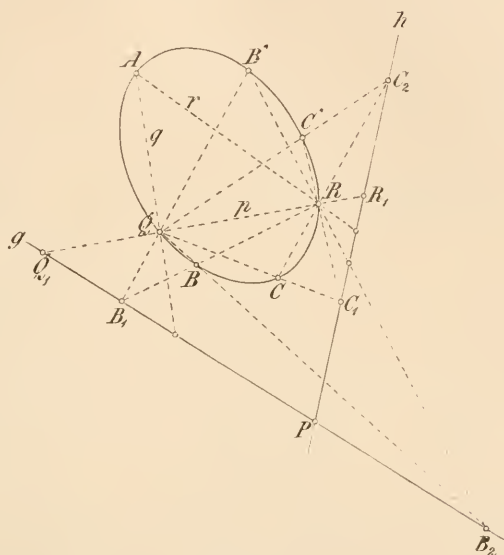


Fig. 227.

man also die Punktinvolutionen auf  $g$  und  $h$  von  $A$  aus, so erhält man zwei Strahleninvolutionen, deren gemeinsames Strahlenpaar die gesuchten Strahlen  $q$  und  $r$  sind. Zur Konstruktion lege man durch  $A$  einen Hilfskreis, auf diesem schneiden die genannten Strahleninvolutionen zwei Punktinvolutionen aus; das gemeinsame Punktepaar der letzteren liegt auf der Verbindungslinie ihrer Mittelpunkte (353) und bestimmt die Strahlen  $q$  und  $r$ . Sind so auf  $p$  die Punkte  $Q$  und  $R$  des Kegelschnittes gefunden, so sind  $QP$  und  $RP$  die zugehörigen Tangenten. Sind  $B_1$  und  $B_2$  harmonische Pole auf  $g$ , so sind nach 283  $B' = QB_1 \times RB_2$  und  $B = QB_2 \times RB_1$  zwei Punkte des Kegelschnittes u. s. f.

Durch das Dualitätsprinzip ergibt sich hieraus der Satz:

Ein Kegelschnitt ist konstruierbar aus einer reellen und zwei Paaren konjugiert imaginärer Tangenten (diedurch



die gleichlaufenden Involutionen harmonischer Polaren an zwei Scheiteln  $S$  und  $T$  vertreten werden).

**358.** Ein Kegelschnitt ist bestimmt durch einen reellen Punkt  $A$  und zwei konjugiert imaginäre Punkte mit den zugehörigen konjugiert imaginären Tangenten. Zur Bestimmung der imaginären

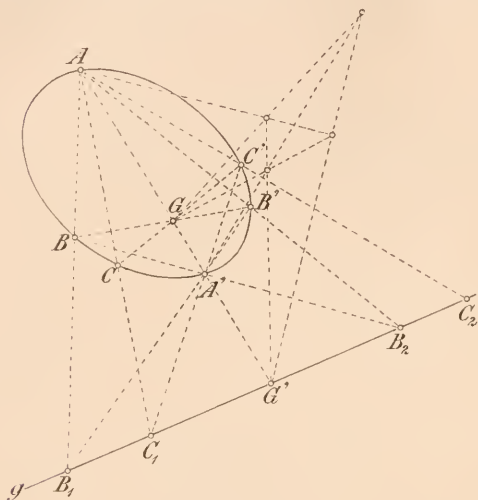


Fig. 228.

Elemente denke man sich eine reelle Gerade  $g$  (als Verbindungslinie der Berührungspunkte) und ihren Pol  $G$  (als Schnittpunkt der Tangenten) gegeben und überdies entweder die gleichlaufende Involution der harmonischen Pole des Kegelschnittes auf  $g$  oder die seiner Polaren am Scheitel  $G$ . Von dieser Involution liefert eine die andere, weil sie perspektiv sind.

Ist  $G'$  der Schnittpunkt der Geraden  $AG$  mit  $g$  (Fig. 228), so findet man ihren zweiten Schnittpunkt  $A'$  mit dem Kegelschnitt als denjenigen, der zu  $A$  in Bezug auf  $G$  und  $G'$  harmonisch liegt. Sind ferner  $B_1$  und  $B_2$ ,  $C_1$  und  $C_2$ , ... Punktepaare der Involution auf  $g$ , so sind  $B = AB_1 \times A'B_2$ ,  $B' = AB_2 \times A'B_1$ ,  $C = AC_1 \times A'C_2$ ,  $C' = AC_2 \times A'C_1$ , ... neue Punkte des gesuchten Kegelschnittes.

**359.** Wenn eine Strahleninvolution zwei Paare rechtwinkliger Strahlen enthält, so ist sie eine Involution rechter Winkel. Denn schneidet man die gegebenen Strahlen mit einem durch den Scheitel gelegten Hilfskreis, so erhält man Paare einer Punktinvolution und als Mittelpunkt der letzteren den Kreismittelpunkt. Jeder Durchmesser bestimmt ein neues Punktepaar auf dem Kreise und das zugehörige Strahlenpaar schließt wieder einen rechten Winkel ein.

Betrachtet man irgend zwei Rechtwinkelinvolutionen in derselben Ebene, so liegt zu jedem Strahlenpaar der einen ein Strahlenpaar der andern parallel, oder beide bestimmen auf der unendlich fernen Geraden dieselbe gleichlaufende Punktinvolution. Die imaginären Doppelstrahlen zweier Rechtwinkelinvolutionen sind daher parallel,

sie gehen durch dieselben beiden imaginären Punkte der unendlich fernen Geraden, die Doppelpunkte der gedachten Punktinvolution. Man bezeichnet sie als die imaginären Kreispunkte der Ebene und zwar deshalb, weil sie allen Kreisen der Ebene angehören. In der That bilden alle rechten Winkel mit gemeinsamem Scheitel die Involution der konjugierten Durchmesser für jeden um den Scheitel als Centrum beschriebenen Kreis und ihre imaginären Doppelstrahlen sind die Tangenten des Kreises, deren Berührungspunkte unendlich fern liegen.

**360.** Wenn man beachtet, daß alle Kreise einer Ebene durch die imaginären Kreispunkte gehen, so erscheinen die beiden nachfolgenden Sätze als Spezialfälle des Satzes in 301.

Drei reelle Punkte, die nicht in einer Geraden liegen, oder ein reeller Punkt und zwei konjugiert imaginäre bestimmen einen Kreis. Wir geben für den zweiten Fall noch kurz die Konstruktion des Kreises an. Es sei  $A$  der gegebene reelle Punkt,  $B_1$  und  $B_2$ ,  $C_1$  und  $C_2$  Paare harmonischer Pole des Kreises auf der reellen Geraden  $g$  (Fig. 229). Zieht man durch den Schnittpunkt  $S$  der beiden über den Durchmessern  $B_1B_2$  und  $C_1C_2$  geschlagenen Kreise die Senkrechte zu  $g$ , so schneidet sie den Mittelpunkt  $M$  der Involution auf  $g$  aus und stellt als Polare des unendlich fernen Punktes von  $g$  einen Durchmesser des gesuchten Kreises dar. Sind  $D$  und  $E$  die Endpunkte dieses Durchmessers, so schneiden ihre Verbindungslinien mit dem Punkte  $A$  nach 283 auf  $g$  ein Paar harmonischer Pole aus, da  $g$  und  $ED$  konjugierte Polaren sind. Zieht man umgekehrt von  $A$  aus Strahlen nach den harmonischen Polen auf  $g$ , so entsteht eine Strahleninvolution, deren rechtwinklige Strahlen durch  $D$  und  $E$  respektive gehen. Ein Hilfskreis  $k$  durch  $A$  schneidet aber die Strahleninvolution in einer Punktinvolution mit dem Mittelpunkt  $N$ ; die Endpunkte  $X$ ,  $Y$  seines durch  $N$  gezogenen Durchmessers liegen dann auf den gesuchten Rechtwinkelstrahlen.

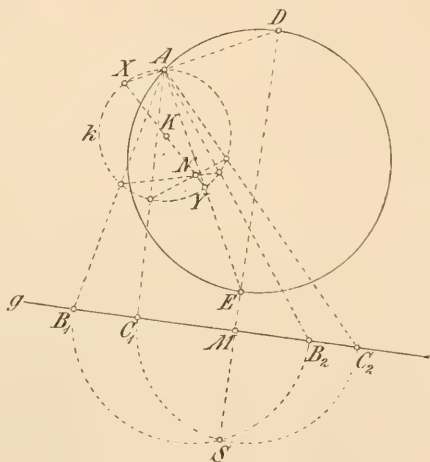


Fig. 229.

Sind  $D$  und  $E$  die Endpunkte dieses Durchmessers, so schneiden ihre Verbindungslinien mit dem Punkte  $A$  nach 283 auf  $g$  ein Paar harmonischer Pole aus, da  $g$  und  $ED$  konjugierte Polaren sind. Zieht man umgekehrt von  $A$  aus Strahlen nach den harmonischen Polen auf  $g$ , so entsteht eine Strahleninvolution, deren rechtwinklige Strahlen durch  $D$  und  $E$  respektive gehen. Ein Hilfskreis  $k$  durch  $A$  schneidet aber die Strahleninvolution in einer Punktinvolution mit dem Mittelpunkt  $N$ ; die Endpunkte  $X$ ,  $Y$  seines durch  $N$  gezogenen Durchmessers liegen dann auf den gesuchten Rechtwinkelstrahlen.

Man kann auch einen Kreis durch  $S$  und  $A$  zeichnen, dessen Mittelpunkt auf  $g$  liegt; er schneidet auf  $g$  zwei harmonische Pole aus, deren Verbindungslinien mit  $A$  zu einander rechtwinklig sind, also durch  $D$  und  $E$  resp. gehen.

### Brennpunkte und Leitlinien eines Kegelschnittes.

**361.** Wir haben früher den Kegelschnitt als perspektives Bild eines Kreises definiert und später gezeigt (308), wie ein Kegelschnitt zu jedem Kreise seiner Ebene, der ihn in zwei Punkten schneidet, in perspektiver Beziehung steht. Wir haben aber auch gesehen, daß jeder Kegelschnitt aus einem Rotationskegel ausgeschnitten werden kann (338—341). Aus beiden Erzeugungsweisen des Kegelschnittes können die Eigenschaften seiner Brennpunkte und Leitlinien leicht gewonnen werden, wie das im Folgenden dargelegt werden soll.<sup>11)</sup>

Wir gehen zunächst vom Rotationskegel mit dem Scheitel  $S$  aus und legen durch seine Achse senkrecht zur Ebene des Kegelschnittes  $c$  die Aufrißebene, während wir jene als Grundrißebene benutzen. In den Figg. 230a), b) und c) sind dann der elliptische, der hyperbolische und der parabolische Schnitt dargestellt. Im ersten Falle enthält die  $x$ -Achse die große Achse  $AB$  der Ellipse, im zweiten die Hauptachse  $AB$  der Hyperbel und im dritten die Parabelachse mit dem Scheitel  $A$ . Jeder Punkt der Kegelachse kann als Mittelpunkt einer Kugel gewählt werden, welche den Kegelmantel längs eines Kreises mit zur Achse normaler Ebene berührt. Unter diesen berührenden Kugeln giebt es zwei (beim Parabelschnitt nur eine), die außerdem die Ebene des Kegelschnittes  $c$  berühren. Sie schneiden die Aufrißebene in Kreisen, die außer den Mantellinien  $SA$  und  $SB$  auch noch die  $x$ -Achse tangieren.

Es seien nun  $K_1$  und  $K_2$  die Mittelpunkte dieser Kugeln und zugleich der ebengenannten Kreise. Sie mögen die Ebene des Kegelschnittes  $c$  in den Punkten  $F_1$  resp.  $F_2$  (auf  $x$ ) berühren und den Kegelmantel in den Kreisen  $k_1$  und  $k_2$ , deren Aufrisse mit den Durchmessern  $T_1U_1$  resp.  $T_2U_2$  zusammenfallen. Die Ebenen dieser Kreise  $k_1$  und  $k_2$  haben zwei auf  $x$  senkrecht stehende Gerade  $d_1$  resp.  $d_2$  zu Grundrißspuren und  $T_1U_1$  resp.  $T_2U_2$  zu Aufrißspuren. Eine beliebige Mantellinie des Kegels mag  $k$ ,  $k_1$  und  $k_2$  in  $P$ ,  $P_1$  und  $P_2$  respektive schneiden und der durch  $P$  gehende Kegelkreis  $k$  mag sich als Durchmesser  $TU$  im Aufriß projizieren. Dann gelten die Beziehungen:

$$PF_1 = PP_1 \quad \text{und} \quad PF_2 = PP_2,$$

da alle Kugeltangenten aus einem Punkte gleich lang sind.

Daher ist bei der Ellipse (Fig. 230a) die Summe:

$$PF_1 + PF_2 = PP_1 + PP_2 = P_1P_2 = T_1T_2,$$

also konstant und zwar  $= AF_1 + AF_2 = AB$ .

Analog ist bei der Hyperbel (Fig. 230b) die Differenz:

$$PF_1 - PF_2 = PP_1 - PP_2 = P_1P_2 = T_1T_2,$$

also konstant und zwar  $= BF_1 - BF_2 = AB$ .

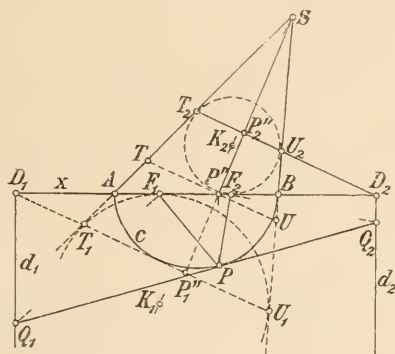


Fig. 230 a.

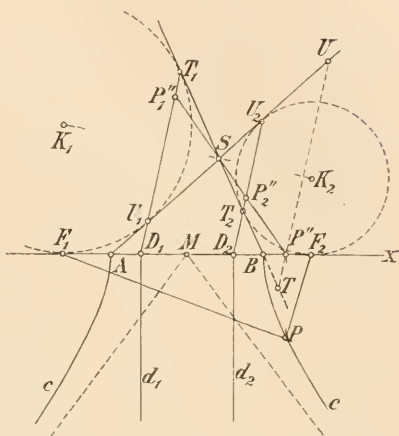


Fig. 230 b.

Ferner haben wir bei beiden Kurven:

$$PF_2 = PP_2 = TT_2 \quad \text{und} \quad TT_2 : AT_2 = P'D_2 : AD_2,$$

mithin:  $PF_2 : P'D_2 = AT_2 : AD_2$ , also konstant. Ebenso ergibt sich:

$PF_1 : P'D_1 = AT_1 : AD_1$ , also konstant.

Für die Parabel (Fig. 230c) folgt insbesondere:  $PP_1 = TT_1 = P'D_1$ .

Die Punkte  $F_1$  und  $F_2$  bezeichnet man als die Brennpunkte des Kegelschnittes  $c$  und die Geraden  $d_1$  und  $d_2$  als seine Leitlinien. Nach dem letzten Resultat ist:  $AF_1 : AD_1 = BF_1 : BD_1$  (wenn wir statt  $P$  einmal den Punkt  $A$  und einmal den Punkt  $B$  setzen). Die vier Punkte liegen also harmonisch (218), und es ist jeder Brennpunkt der Pol einer Leitlinie in Bezug auf den Kegelschnitt  $c$ . Hiernach gilt der Satz:

Ellipse und Hyperbel be-

sitzen auf der großen, resp. auf der reellen Achse je zwei Brennpunkte  $F_1$  und  $F_2$  und deren Polaren als Leitlinien

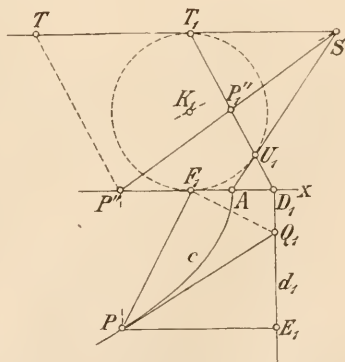


Fig. 230 c.

$d_1$  und  $d_2$ . Die Parabel hat auf ihrer Achse nur einen Brennpunkt  $D_1$  und eine zugehörige Leitlinie  $d_1$ . Für jeden Punkt  $P$  einer Ellipse ist die Summe der Brennstrahlen  $PF_1 + PF_2$ , für jeden Punkt einer Hyperbel ihre Differenz  $PF_1 - PF_2$  konstant, nämlich gleich der Hauptachse  $AB$ .

Für jeden Punkt eines beliebigen Kegelschnittes ist das Verhältnis seiner Entfernungen von einem Brennpunkte (Fokus) und von der zugehörigen Leitlinie (Direktrix) konstant. Dieses Verhältnis hat bei der Parabel den Wert 1 und ist bei der Ellipse  $< 1$  und bei der Hyperbel  $> 1$ .

**362.** Aus diesem Satze können wir leicht noch eine weitere charakteristische Eigenschaft der Brennpunkte ableiten. Ziehen

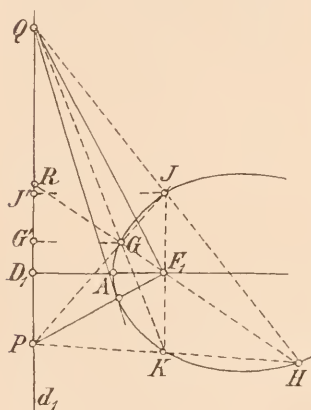


Fig. 231.

wir durch einen Brennpunkt  $F_1$  eine Sehne  $JK$  parallel zu der zugehörigen Leitlinie  $d_1$  ( $d_1$  Polare von  $F_1$ ) und eine beliebige andere Sehne  $GH$ , so schneiden sich die Verbindungslinien ihrer Endpunkte paarweise in zwei harmonischen Polen  $P$  und  $Q$ , die auf der Leitlinie  $d_1$  liegen (Fig. 231). Offenbar halbiert die Gerade  $GH$  die Strecke  $PQ$  in  $R$ , da sie die dazu parallele Strecke  $JK$  in  $F_1$  halbiert. Nun ist  $\triangle JGF_1 \sim \triangle PGR$ , also  $F_1G : F_1J = RG : RP$ , und nach dem voranstehenden Satz:  $F_1G : F_1J = GG' : JJ' = GG' : F_1D_1 = RG : RF_1$ . Aus beiden Relationen folgt  $RP = RF_1$ ; d. h.

schlägt man um einen beliebigen Punkt  $R$  der Leitlinie  $d_1$  als Centrum einen Kreis, dessen Peripherie den zugehörigen Brennpunkt  $F_1$  enthält, so schneidet er die Leitlinie in harmonischen Polen  $P$  und  $Q$ . Die Polare von  $P$  geht durch  $Q$  und  $F_1$  und die Polare von  $Q$  durch  $P$  und  $F_1$ , und da nach dem soeben Gesagten  $F_1Q \perp F_1P$  ist, haben wir den Satz: Je zwei harmonische Polaren durch einen Brennpunkt sind zu einander rechtwinklig und umgekehrt. Diesem Satze kann man auch noch eine andere Form geben, wenn man bedenkt, daß der Berührungspunkt einer von  $Q$  an den Kegelschnitt gezogenen Tangente auf der Polare  $PF_1$  von  $Q$  liegt. Auf jeder Tangente eines Kegelschnittes wird das vom Berührungspunkt und einer Leitlinie begrenzte Stück aus dem zugehörigen Brennpunkt durch einen rechten Winkel projiziert.







$G_\infty$ , so entsprechen den Punkten  $F$ ,  $P_1$ ,  $G_\infty$ ,  $U$ , wo  $U$  den unendlich fernen Punkt von  $g$  bezeichnet, die Punkte  $F$ ,  $P$ ,  $U$ ,  $G_v$ . Demnach ist

$$\frac{FP_1}{FG_\infty} : \frac{UP_1}{UG_\infty} = \frac{FP}{FU} : \frac{G_vP}{G_vU}, \quad \text{oder} \quad FP_1 : FG_\infty = FP : G_vP.$$

Ist  $m$  der senkrechte Abstand der Brennpunkte von der Fluchtlinie  $e_\infty$ ,  $r$  der Radius des Kreises  $k_1$ ,  $d$  der Abstand des Punktes  $P$  von der Leitlinie  $e_v$  und  $f$  sein Abstand vom Brennpunkt, so hat man  $FG_\infty : G_vP = m : d$  und  $FP_1 = r$ ,  $FP = f$ , mithin die Relation  $f : d = r : m$ . Da aber  $r$  und  $m$  unveränderlich sind, ergibt sich wieder der Satz in 361.

In den Figuren 232, 233, 234 sind die drei Fälle dargestellt, wo die Fluchtlinie den Kreis  $k_1$  nicht schneidet, schneidet oder berührt, also der Kegelschnitt  $k$  zur Ellipse, Hyperbel oder Parabel wird.

Die soeben besprochene perspektive Beziehung zwischen Kreis und Kegelschnitt gestattet auch den in 265 bewiesenen Satz am Kreis unmittelbar auf den Kegelschnitt zu übertragen. Die auf einer beweglichen Tangente eines Kegelschnittes von zwei festen Tangenten begrenzte Strecke erscheint vom Brennpunkte aus unter konstantem Winkel.

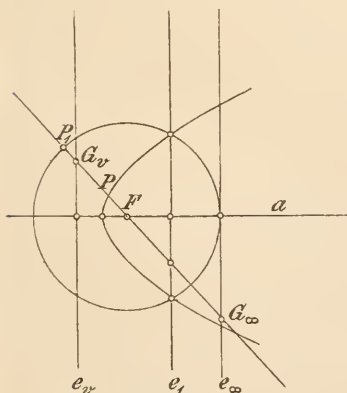


Fig. 234.

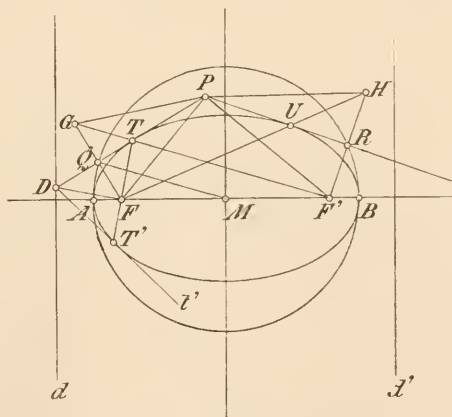


Fig. 235.

**366.** Es seien  $t$  und  $u$  (Fig. 235) die aus einem Punkte  $P$  an eine Ellipse gezogenen Tangenten mit den Berührungspunkten  $T$  und  $U$ . Die auf sie aus den Brennpunkten  $F$  und  $F'$  gefällten Lote  $FQ$  und  $F'R$  mögen um ihre eigene Länge resp. bis  $G$  und  $H$  verlängert werden. Dann ist  $TG = TF$  und  $\angle GTQ = \angle FTQ = \angle F'TP$ , also (nach 361)  $F'G = AB$  und, da  $M$  und  $Q$  die Strecken

$FF'$  und  $FG$  halbieren, folgt weiter:  $MQ = MA$ . Fällt man von den Brennpunkten Lote auf die Tangenten einer Ellipse, so liegen ihre Fußpunkte auf einem Kreise, der ihre Hauptachse (große Achse) zum Durchmesser hat.

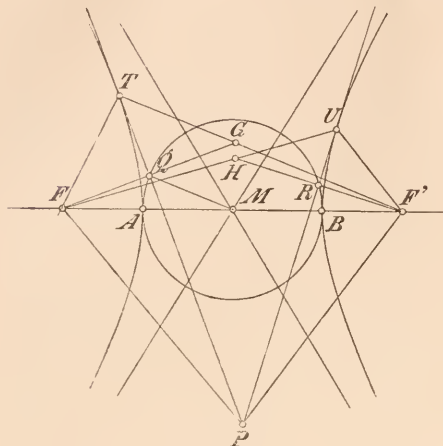


Fig. 236.

und  $S$  der zugehörige Scheitel, so sind die Abstände des Punktes  $T$  von Brennpunkt  $F$  und Leitlinie  $d$  einander gleich ( $TG = TF$ ) und  $S$  halbiert den Abstand zwischen  $F$  und  $d$  (Fig. 237). Die

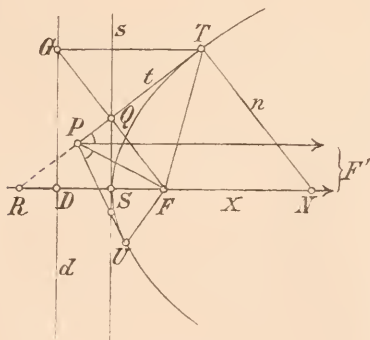


Fig. 237.

Scheiteltangente halbiert infolgedessen die Strecke  $FG$  in  $Q$  und  $TQ$  steht auf dieser Strecke in ihrem Mittelpunkt senkrecht; somit halbiert  $TQ$  den Winkel  $GTF$  und fällt nach 363 mit der Parabeltangente  $t$  in  $T$  zusammen.

**368.** Die zuletzt bewiesenen Sätze gestatten die Konstruktion der beiden Kegelschnitttangenten aus einem beliebigen Punkte  $P$ . In den Figuren 235 und 236 ergibt sich der Punkt  $Q$

der gesuchten Tangente  $PT$  als Schnitt zweier Kreise, die über den Durchmessern  $AB$  und  $PF$  resp. beschrieben sind. Durch den andern Schnittpunkt dieser Kreise geht die Tangente  $PU$ . Bei der Parabel schneiden die Tangenten aus  $P$  die Scheiteltangente in Punkten, die auf einem Kreise mit dem Durchmesser  $PF$  liegen.

**369.** Aus den Figuren 235 und 236 können wir noch erkennen, daß  $\triangle GPF' \cong \triangle FPH$  ist ( $PG = PF$ ,  $PH = PF'$  und  $GF' = HF = AB$ );

mithin haben wir  $\angle GPF' = \angle FPH$ , also  $\angle GPF = \angle HPF'$  und auch  $\angle TPF' = \angle UPF'$ , denn diese sind halb so groß wie die vorangehenden. Das giebt den Satz: Die eine Tangente aus dem beliebigen Punkt  $P$  an den Kegelschnitt schließt mit dem von ihm ausgehenden Strahl nach dem einen Brennpunkt den gleichen Winkel ein, wie die andere Tangente mit dem Strahl nach dem andern Brennpunkt.

Dieser Satz gilt in gleicher Weise für die Parabel, wenn man ihren zweiten Brennpunkt auf ihrer Achse unendlich fern annimmt, so daß der Strahl nach diesem Brennpunkt zur Achse parallel wird (Fig. 237).

**370.** Wir wollen zuletzt noch die Brennpunkte als Doppelpunkte einer bestimmten Involution auf der bezüglichen Achse nachweisen, indem wir zunächst den Satz aufstellen: Die Punkte einer jeden Achse eines Kegelschnittes gehören paarweise in der Art zusammen, daß je zwei rechtwinklige Strahlen, deren jeder einen Punkt des Paares enthält, harmonische Polaren sind.

Es mögen die beiden rechtwinkligen harmonischen Polaren  $s$  und  $s_1$  auf einer Achse  $a$  die Punkte  $P$  und  $P_1$  ausschneiden (Fig. 238). Der Strahlbüschel mit dem Scheitel  $P$  ist projektiv zu der Punktreihe der zu den Strahlen gehörigen Pole. Projiziert man diese Punktreihe aus  $P_1$ , so erhält man zwei projektive Strahlbüschel mit den Scheiteln  $P$  und  $P_1$ , deren entsprechende Strahlen harmonische Polaren sind. Nun sind drei Strahlen des zweiten Büschels normal zu den entsprechenden Strahlen des ersten. Sind nämlich  $n$  und  $n_1$  die auf der Achse  $a$  in  $P$  und  $P_1$  errichteten Senkrechten, so entsprechen den Strahlen  $n, a$  und  $s$  des ersten Büschels die Strahlen  $a, n$  und  $s_1$  im zweiten, denn die Pole von  $n$  und  $n_1$  liegen auf  $a$ . Beide Büschel sind somit kongruent (184) und jeder Strahl steht auf seinem entsprechenden senkrecht.

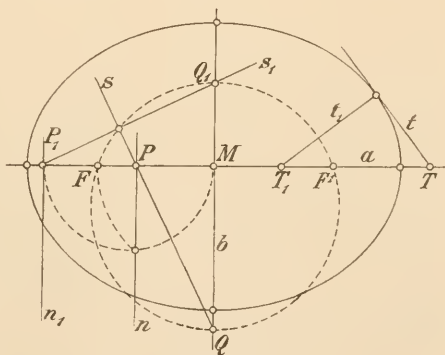


Fig. 238.

Schneiden  $s$  und  $s_1$  die andere Achse, sie sei  $b$ , in den Punkten  $Q$  und  $Q_1$ , so gilt auch für dieses Punktpaar unser Satz. Je zwei



rechtwinklige Strahlen durch  $Q$  und  $Q_1$  liefern also auf der Achse  $a$  ein Punktepaar von der im Satze ausgesprochenen Beschaffenheit; ebenso liefern je zwei rechtwinklige Strahlen durch  $P$  und  $P_1$  ein solches Punktepaar auf  $b$ . Die Punktepaare auf  $a$  können somit durch entsprechende Strahlen zweier kongruenter Strahlbüschel mit den Scheiteln  $Q$  und  $Q_1$  ausgeschnitten werden. Insbesondere bildet der Mittelpunkt  $M$  des Kegelschnittes mit dem unendlich fernen Punkt  $U$  von  $a$  ein solches Paar, dessen Punkte sich vertauschbar entsprechen, da sowohl  $QM \perp Q_1U$  als auch  $Q_1M \perp QU$  ist. Die Punktepaare auf der Achse  $a$  (und ebenso auf der Achse  $b$ ) bilden hiernach eine Involution, deren Mittelpunkt  $M$  ist.

**371.** Die Brennpunkte auf der Achse eines Kegelschnittes sind die Doppelpunkte einer Involution, deren Mittelpunkt mit seinem Mittelpunkt zusammenfällt. Je zwei rechtwinklige harmonische Polaren, so auch jede Tangente mit der zugehörigen Normalen, schneiden ein Punktepaar dieser Involution aus. In der That hat jeder Doppelpunkt dieser Involution die Eigenschaft, daß je zwei rechtwinklige Strahlen durch ihn harmonische Polaren sind.

Aus Fig. 238 erkennt man auch, daß nur die Involution auf der einen Achse reelle Doppelpunkte besitzen kann. Denn wenn  $P$  und  $P_1$  auf derselben Seite von  $M$  aus liegen, werden  $Q$  und  $Q_1$  notwendigerweise durch  $M$  getrennt. Die Achse mit den reellen Brennpunkten heißt Brennpunkts- oder Hauptachse, die andere Nebenachse. Zur Konstruktion der Brennpunkte kann man etwa die Relation  $MP \cdot MP_1 = (MF)^2$  benutzen (Fig. 238). Auch der Kreis über dem Durchmesser  $QQ_1$  schneidet auf der Hauptachse die Brennpunkte aus, denn die Verbindungslinien eines solchen Punktes mit  $Q$  und  $Q_1$  sind zu einander rechtwinklig und zugleich harmonische Polaren. Die Relation  $BF = BF' = MA$  dient ebenfalls zur Konstruktion der Brennpunkte.

**372.** Bei der Parabel ist die Involution der Punktepaare, die von rechtwinkligen harmonischen Polaren aus der Achse ausgeschnitten werden, von spezieller Art. Eine Gerade  $s$  parallel zur Achse hat hier einen unendlich fernen Pol; sie stellt ja einen Durchmesser vor, der ein System paralleler Sehnen halbiert. Die rechtwinklige harmonische Polare  $s_1$  zu  $s$  liegt deshalb unendlich fern, so daß der unendlich ferne Punkt der Achse selbst ein Doppelpunkt der genannten Involution ist, da er zugleich auf  $s$  und  $s_1$  liegt. Jedes Punktepaar einer Involution liegt aber zu seinen Doppelpunkten harmonisch. Der Brennpunkt  $F$  einer Parabel halbiert also

alle auf der Achse von zwei rechtwinkligen harmonischen Polaren begrenzten Strecken.

Zu den rechtwinkligen harmonischen Polaren gehören insbesondere Tangente und Normale in den einzelnen Kurvenpunkten. Tangente und Normale in jedem Punkt einer Parabel schneiden ihre Achse in Punkten, die vom Brennpunkt gleich weit abstehen. Dieses Resultat ist auch aus Fig. 237 leicht abzuleiten. Es ist nämlich  $QT = QR$ , also auch  $FR = FN$ .

**373.** Zieht man in einem beliebigen Punkte  $P$  die rechtwinkligen harmonischen Polaren  $x$  und  $y$  in Bezug auf einen gegebenen Kegelschnitt, so schneiden sie seine Achse  $a$  in dem Punktepaar  $X, Y$  einer Involution (Fig. 239), deren Doppelpunkte die Brennpunkte  $F$  und  $F'$  sind. Es liegen also  $F, F'$  und  $X, Y$  harmonisch, und ebenso  $PF = f, PF' = f'$  und  $x, y$ ; d. h.  $x$  und  $y$  halbieren die beiden Winkel der Strahlen  $f$  und  $f'$ .

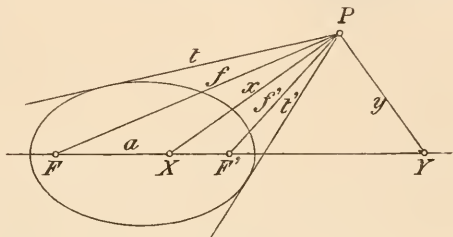


Fig. 239.

Die harmonischen Polaren durch  $P$  bilden ebenfalls eine Involution;  $x, y$  ist ein Strahlenpaar derselben, während die Tangenten  $t$  und  $t'$  ihre Doppelstrahlen sind. Aus der harmonischen Lage von  $t, t'$  und  $x, y$  folgt weiter, daß  $x$  und  $y$  die beiden Winkel der Tangenten  $t$  und  $t'$  halbieren. Die von einem Punkte  $P$  in der Ebene eines Kegelschnittes an diesen gezogenen Tangenten und seine Verbindungslinien mit den Brennpunkten bilden Winkel, deren Halbierungslinien zusammenfallen und rechtwinklige harmonische Polaren sind. (Das ist der Satz in 369.)

**374.** Der Satz am Ende von 365 hat für die Parabel einen speziellen Satz zur Folge. Die Schnittpunkte dreier Parabeltangenten liegen mit dem Brennpunkt auf einem Kreise.

Sind nämlich  $a$  und  $b$  zwei Parabeltangenten mit dem Schnittpunkt  $C$ , sind ferner  $A$  und  $B$  ihre Schnittpunkte mit einer dritten Tangente  $c$  sowie  $A_\infty$  und  $B_\infty$  ihre Schnittpunkte mit der unendlich fernen Geraden, die ebenfalls Tangente ist, so werden die Strecken  $AA_\infty$  und  $BB_\infty$  aus dem Brennpunkte  $F$  unter gleichem Winkel gesehen. Man hat daher:  $\angle AFB = \angle A_\infty FB_\infty = \angle ACB$ , woraus die Behauptung folgt (Fig. 240).

Sind  $A$  und  $B$  die Schnittpunkte einer Tangente der Hyperbel

mit ihren Asymptoten, so gelten infolge des Satzes in 365 die Gleichungen:  $\angle AFB = \angle MFU$  und  $\angle AF'B = \angle MF'U$ , wenn  $U$  der unendlich ferne Punkt auf einer Asymptote ist (Fig. 241). Die

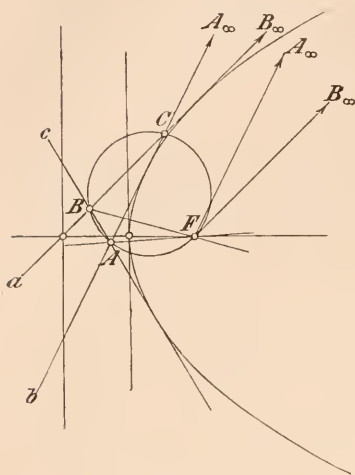


Fig. 240.

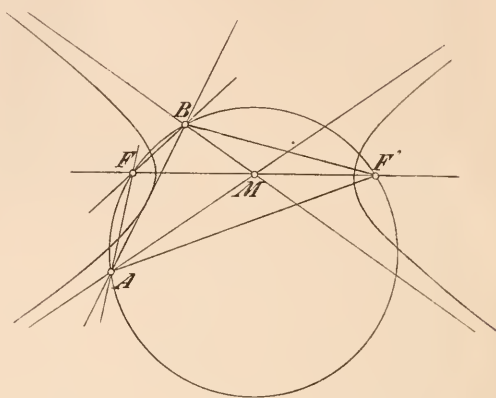


Fig. 241.

Summe der Winkel  $AFB$  und  $AF'B$  beträgt sonach  $180^\circ$ , und es gilt der Satz:

Die beiden Schnittpunkte einer Tangente der Hyperbel mit ihren Asymptoten liegen mit den beiden Brennpunkten auf einem Kreise.

**375.** Haben zwei Kegelschnitte beide reellen und folglich auch alle imaginären Brennpunkte gemein, so heißen sie konfokal. Die Schenkel der rechten Winkel in einem reellen Brennpunkt  $F$  schneiden ja die Nebenachse in den Punktepaaren einer Involution, deren konjugiert imaginäre Doppelpunkte nach der Definition ebenfalls als Brennpunkte zu gelten haben. Auch auf der unendlich fernen Geraden bestimmen die genannten Rechtwinkelstrahlen eine Involution, deren konjugiert imaginäre Doppelpunkte als Brennpunkte anzusehen sind. Die nämliche Involution wird von den rechtwinkligen Durchmesser eines jeden Kreises auf der unendlich fernen Geraden ausgeschnitten; ihre Doppelpunkte sind deshalb die allen Kreisen gemeinsamen konjugiert, imaginären, unendlich fernen Punkte.

Die Gesamtheit aller Kegelschnitte mit denselben Brennpunkten bezeichnet man als konfokale Kegelschnittschar.

Liegen beide Brennpunkte  $F'$  und  $F''$  im Endlichen (Fig. 242), so besteht die konfokale Schar aus Ellipsen und Hyperbeln, deren Achsen zusammenfallen. Durch jeden Punkt  $P$  der Ebene geht eine Ellipse und eine Hyperbel dieser Schar, die sich rechtwinklig schneiden. Denn die Tangente der Ellipse halbiert den  $\angle FPF''$ , die Tangente der Hyperbel aber dessen Nebenwinkel (Fig. 230). Aus den Achsen, einem Punkt und der zugehörigen Tangente lassen sich aber von der Ellipse und der Hyperbel leicht beliebig viele Punkte und Tangenten zeichnen.

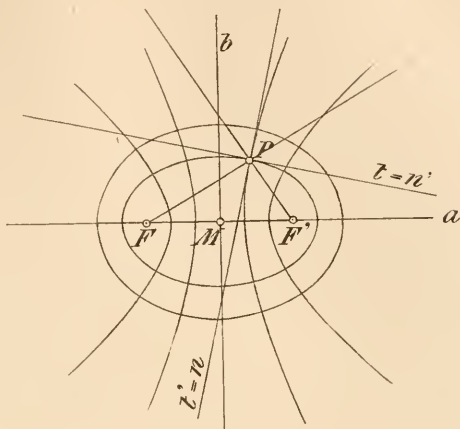


Fig. 242.

Legt man um die Brennpunkte  $F'$  und  $F''$  Systeme konzentrischer Kreise, deren Radien Vielfache einer und derselben Strecke sind, so gehören die Schnittpunkte solcher Kreise der beiden Systeme, für welche die Summe oder Differenz der Radien gleich groß ist, je einer Kurve der konfokalen Schar an.

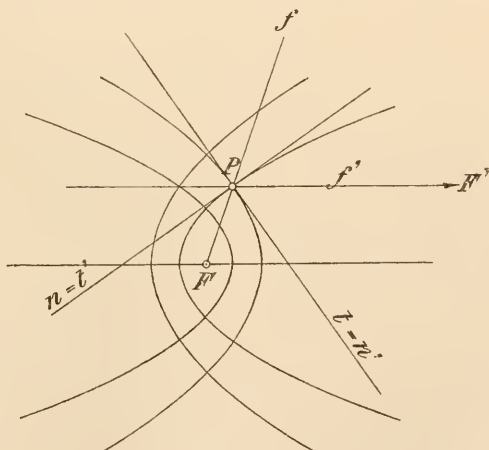


Fig. 243.

**376.** Liegt ein Brennpunkt  $F'$  im Endlichen, der andere  $F''$  unendlich fern (Fig. 243), so enthält die konfokale Schar nur Parabeln, deren Achsen zusammenfallen und deren Scheitel auf beiden Seiten des Brennpunktes liegen. Durch jeden Punkt  $P$  der Ebene gehen zwei Parabeln der Schar, die sich rechtwinklig schneiden und deren Scheitel durch  $F'$  getrennt werden. Die Tangente der einen Parabel halbiert den Winkel  $FPF''$ , die der andern seinen Nebenwinkel. Legt man um  $F'$  ein System konzentrischer

Kreise, deren Radien Vielfache derselben Strecke sind, und zieht ein System von Parallelen senkrecht zur Achse, deren Abstände von  $F$  ebenfalls Vielfache der nämlichen Strecke sind, so kann jede von diesen Parallelen einer Parabel als Leitlinie dienen. Die Schnittpunkte der konzentrischen Kreise mit den Parallelen, deren Abstand von der gewählten Leitlinie dem betreffenden Kreisradius gleich ist, liegen jedesmal auf einer Kurve der Schar.

**377.** In beiden konfokalen Kegelschnittscharen schneiden sich die Kurven der gleichen Art nicht, die Kurven verschiedener Art aber unter rechten Winkeln.

Aus 371 folgt noch, daß je zwei rechtwinklige Strahlen, welche harmonische Polaren für einen Kegelschnitt der konfokalen Schar sind, die gleiche Eigenschaft in Bezug auf alle Kegelschnitte der Schar besitzen. Denn die von solchen Strahlen auf einer Achse ausgeschnittene Involution ist durch die gegebenen Brennpunkte bestimmt. Insbesondere folgt:

Die Winkel der Tangentenpaare aus einem beliebigen Punkte der Ebene an die Kegelschnitte einer konfokalen Schar haben dieselben Halbierungslinien.

### Krümmungskreise der Kegelschnitte.

**378.** Es giebt unendlich viele Kreise, die einen Kegelschnitt  $k$  in einem gegebenen Punkte  $O$  berühren; sie berühren alle die Tangente  $t$  im Punkte  $O$  von  $k$  und ihre Mittelpunkte liegen auf der zugehörigen Normalen  $n$  des Kegelschnittes. Man wähle nun einen Kreis, der den Kegelschnitt  $k$  noch in einem Punkte  $P$  schneidet und lasse  $P$  sich allmählich dem Berührungspunkte  $O$  nähern. Dann ändert sich auch der Kreis, der  $k$  in  $O$  berührt und in  $P$  schneidet. Läßt man schließlich  $P$  nach  $O$  rücken, so wird der bezügliche Kreis den Kegelschnitt in  $O$  gleichzeitig berühren und schneiden, d. h. er wird  $k$  in  $O$  berühren und dort zugleich von der einen Seite von  $k$  auf die andere übertreten. Ein solches Verhalten eines Kreises gegen einen Kegelschnitt wird als Oskulation bezeichnet, der Kreis selbst heißt Oskulations- oder Krümmungskreis. Während also die Berührung zweier Kurven durch Zusammenrücken zweier Schnittpunkte entsteht, entsteht die Oskulation durch Zusammenrücken eines Berührungs- und eines Schnittpunktes, oder dreier Schnittpunkte. Der Krümmungskreis schmiegt sich also im Punkte  $O$  enger an den Kegelschnitt an, als die andern berührenden Kreise.<sup>12)</sup> Berührt insbesondere der Kreis den Kegelschnitt in einem



Scheitel, so schneidet er ihn noch in zwei zur Achse symmetrischen Punkten; diese rücken gleichzeitig in den Scheitel, wenn der Kreis in den Krümmungskreis übergeht.

**379.** Es seien jetzt  $k_1$  und  $k_2$  irgend zwei Kreise, welche  $k$  in  $O$  berühren. Nach den Ausführungen in 307 bestehen dann sowohl zwischen  $k$  und  $k_1$ , als zwischen  $k$  und  $k_2$  perspektive Beziehungen, deren Centren in  $O$  liegen. Sei  $\mathfrak{P}'$  die Perspektive zwischen  $k$  und  $k_1$ ,  $a'$  ihre Achse und  $P, P_1$  ein Paar entsprechender Punkte; sei ferner  $\mathfrak{P}''$  die Perspektive zwischen  $k$  und  $k_2$ ,  $a''$  ihre Achse und  $P, P_2$  ein Paar entsprechender Punkte. Die Punkte  $P, P_1, P_2$  liegen auf einem Strahl durch  $O$ , dem Centrum von  $\mathfrak{P}'$  und  $\mathfrak{P}''$ . Es ist aber offenbar  $O$  auch ein Ähnlichkeitscentrum für die beiden Kreise  $k_1$  und  $k_2$ , und es sind  $P_1$  und  $P_2$  entsprechende Punkte einer zwischen ihnen bestehenden Ähnlichkeitsbeziehung  $\mathfrak{A}$ .

Wendet man auf  $k$  zunächst die Perspektive  $\mathfrak{P}''$  an, so erhält man  $k_2$ , und von  $k_2$  gelangt man zu  $k_1$  durch  $\mathfrak{A}$ . Dabei geht  $P$  zunächst in  $P_2$  und dieser Punkt dann in  $P_1$  über; ebenso gehen zwei durch  $P$  gelegte Gerade  $g$  und  $h$  vermöge  $\mathfrak{P}''$  in die Geraden  $g_2$  und  $h_2$  durch  $P_2$  und die letzteren vermöge  $\mathfrak{A}$  in  $g_1$  und  $h_1$  durch  $P_1$  über (Fig. 244) ( $g_1 \parallel g_2$ ,  $h_1 \parallel h_2$ ). Durch die Perspektive  $\mathfrak{P}'$  wird aber  $k$  direkt in  $k_1$  und ebenso werden  $P, g, h$  direkt in  $P_1, g_1, h_1$  über-

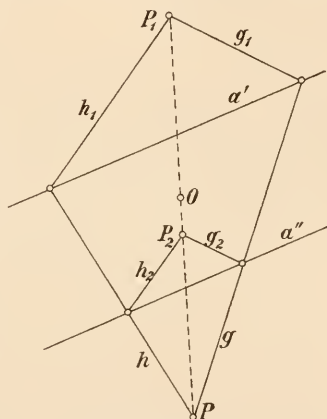


Fig. 244.

geführt; deshalb müssen die Punkte  $g \times g_2$  und  $h \times h_2$  auf  $a''$ , die Punkte  $g \times g_1$  und  $h \times h_1$  auf  $a'$  liegen. Daraus folgt, daß  $a'$  und  $a''$  parallel sind und daß  $a'$  die Strecke  $PP_1$  in dem gleichen Verhältnis teilt, wie  $a''$  die Strecke  $PP_2$ .

Die Perspektivitätsachse  $a''$  schneidet  $k$  und  $k_2$  in denselben beiden reellen oder konjugiert imaginären Punkten, in gleicher Weise verhält sich  $a'$  zu  $k$  und  $k_1$ . Wir erkennen also, daß alle Kreise, die einen Kegelschnitt in dem nämlichen Punkte berühren, ihn noch in je zwei weiteren (reellen oder konjugiert imaginären) Punktschneiden, deren Verbindungslinien parallellaufen.

**380.** Ist im besonderen  $k_1$  der Krümmungskreis des Kegelschnittes  $k$  im Punkte  $O$ , so muß die Achse  $a'$  der zwischen  $k$  und  $k_1$  bestehenden perspektiven Beziehung  $\mathfrak{P}'$  durch  $O$  hindurchgehen. Denn die Achse schneidet  $k$  in zwei Punkten, durch die auch  $k_1$

geht, und der Krümmungskreis ist nach obigem dadurch definiert, daß einer dieser Schnittpunkte mit dem Berührungspunkt  $O$  zusammenfällt. Wir können hiernach die Aufgabe lösen:

Den Krümmungskreis  $k_1$  in einem Punkte  $O$  eines Kegelschnittes  $k$  zu bestimmen, wenn von demselben fünf Punkte  $O, P, Q, R, S$  gegeben sind.

Zunächst zeichnen wir nach 270 die Tangente  $t$  im Punkte  $O$  von  $k$  und die zugehörige Normale  $n$ , ferner einen beliebigen Kreis  $k_2$ , der  $t$  in  $O$  berührt. Die Strahlen  $OP, OQ, OR$  werden  $k_2$  in  $P_2, Q_2, R_2$  respektive schneiden, und es sind  $QR$  und  $Q_2R_2$ , sowie  $PQ$  und  $P_2Q_2$  entsprechende Gerade der Perspektive  $\mathfrak{P}''$ , so daß

ihre Schnittpunkte auf der zugehörigen Achse  $a''$  liegen (Fig. 245). Nun ziehe man durch  $O$  zu  $a''$  die Parallele  $a'$ , dann ist nach obigem  $P_1Q_1 \parallel P_2Q_2$  und schneidet sich mit  $PQ$  auf  $a'$ .

Um den Mittelpunkt  $M_1$  des Krümmungskreises  $k_1$  zu finden, verbinde man  $P_2$  mit dem Mittelpunkt  $M_2$  von  $k_2$ , schneide diese Gerade mit  $a''$  in  $U$ , ziehe  $PU$  und durch  $a \times PU = V$  die

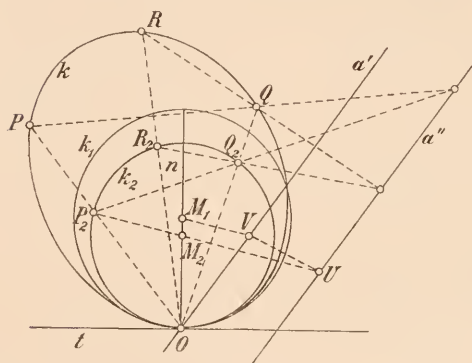


Fig. 245.

Parallele  $VM_1$  zu  $P_2M_2$ . In der That müssen der Geraden  $PU$  vermöge der perspektiven Beziehungen  $\mathfrak{P}''$  und  $\mathfrak{P}'$  zwei Parallele  $P_2U$  und  $P_1V$  entsprechen, von denen die erstere durch  $M_2$  und folglich die letztere durch  $M_1$  geht.

**381.** Die zwischen dem Kegelschnitt  $k$  und den Kreisen  $k_2$  und  $k_1$  (Krümmungskreis) bestehenden perspektiven Beziehungen  $\mathfrak{P}''$  und  $\mathfrak{P}'$  können dazu verwendet werden die Krümmungskreise auch in den Fällen zu konstruieren, wo die Achsen oder ein Paar konjugierte Durchmesser des Kegelschnittes  $k$  gegeben sind. Dabei lassen sich jedoch bedeutende Vereinfachungen der Konstruktion erzielen, die wir noch eingehender verfolgen wollen. Ist der Krümmungskreis im Scheitel  $O$  einer Ellipse  $k$  mit den Achsen  $OP$  und  $OQ$  zu finden, so ziehe man (Fig. 246) den Kreis  $k_2$  über  $OP$  als Durchmesser, dann stehen  $a''$  und  $a'$  (die Achsen der Perspektiven  $\mathfrak{P}''$  und  $\mathfrak{P}'$ ) in  $P$  resp.  $O$  auf  $OP$  senkrecht. Der Strahl  $OQ$  schneidet  $k_2$  in  $Q_2$  und es entsprechen sich in  $\mathfrak{P}''$  die Geraden  $PQ$  und  $PQ_2$ . Der

Geraden  $PQ$  entspricht vermöge  $\mathfrak{P}'$  die Gerade  $P_1G$ , die sich mit  $PQ$  im Punkte  $G$  von  $a'$  schneidet und zu  $PQ_2$  parallel, also zu  $OQ$  normal ist.

$P_1$  und  $P$  sind entsprechende Punkte der ähnlich liegenden Kreise  $k_1$  und  $k_2$ ;  $OP_1$  ist also der auf der Achse von  $k$  liegende Durchmesser des Krümmungskreises  $k_1$ . Für seinen Mittelpunkt  $M_1$ , den zu  $O$  gehörigen Krümmungsmittelpunkt, ergibt sich folgende Konstruktion. Man ziehe in den Scheiteln  $O$  und  $Q$  die Parallelen zu den Achsen der Ellipse und fälle von ihrem Schnittpunkt  $J$  ein Lot auf  $OQ$ ; dieses schneidet auf beiden Achsen die Krümmungsmittelpunkte aus. Denn  $J$  ist der Mittelpunkt von  $OG$  und folglich  $M_1$  der von  $OP_1$ .

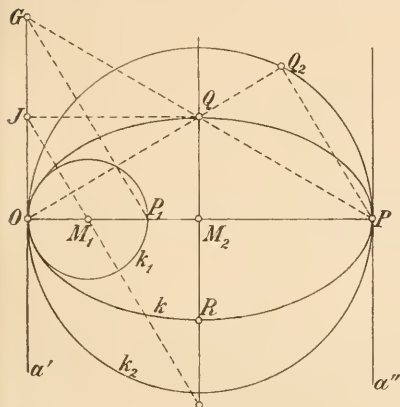


Fig. 246.

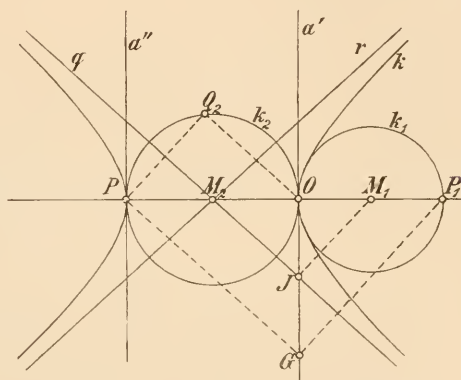


Fig. 247.

**382.** Ist  $OP$  die Achse einer Hyperbel  $k$  mit den Asymptoten  $q$  und  $r$ , so ziehe man wieder (Fig. 247) den Kreis  $k_2$  über  $OP$  als Durchmesser, dann stehen  $a''$  und  $a'$  wieder auf  $OP$  in  $P$  resp.  $O$  senkrecht. Der zu  $q$  parallele Strahl durch  $O$  schneide  $k_2$  in  $Q_2$ , der zu  $q$  parallele Strahl durch  $P$  schneide  $a'$  in  $G$ . Ziehen wir noch durch  $G$  eine Parallele zu  $PQ_2$ , so schneidet sie auf der Hyperbelachse den Durchmesser  $OP_1$  des Krümmungskreises  $k_1$  ab. In der That entspricht dem unendlich fernen Punkt von  $q$  vermöge  $\mathfrak{P}''$  der Punkt  $Q_2$  von  $k_2$ , also der Geraden  $PG$  die Gerade  $PQ_2$ . Ferner entspricht der Geraden  $PG$  vermöge  $\mathfrak{P}'$  die zu  $PQ_2$  parallele Gerade  $GP_1$ . Hieraus folgt die Konstruktion. Im Schnittpunkt  $J$  der Scheiteltangente  $a'$  mit einer Asymptote  $q$  errichte man eine Senkrechte auf der letzteren, so geht sie durch den Krümmungsmittelpunkt  $M_1$ . Denn  $J$  halbiert  $OG$  und  $M_1$  ebenso die Strecke  $OP_1$ .

**383.** Kennt man von einem Kegelschnitt  $k$  (Ellipse oder Hyperbel) die Lage zweier konjugierter Durchmesser  $x$  und  $y$ , sowie



$OU:OU_1$ ; demnach ist  $U_1L \parallel UV$  und geht durch  $M_1$ . Das führt zu folgender Konstruktion. Man fälle von  $T$  und  $U$  bezw. die Lote auf  $x$  und  $y$ , die sich in  $V$  schneiden, und schneide das erstere mit  $n$  in  $M_2$ . Jetzt ziehe man durch  $M_2$  eine Parallele zu  $t$  und schneide sie mit  $OF$  in  $L$ , dann geht die durch  $L$  senkrecht zu  $y$  gezogene Gerade durch  $M_1$ .

In den Figuren 249 und 250 sind statt zweier konjugierter Durchmesser die Achsen  $x$  und  $y$  angenommen, was die angegebenen

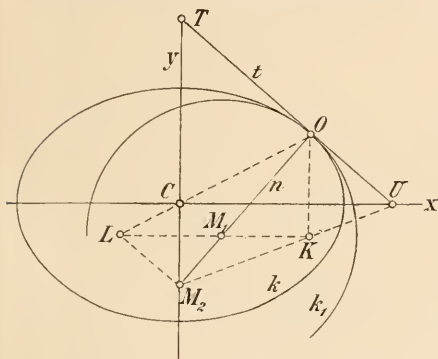


Fig. 249.

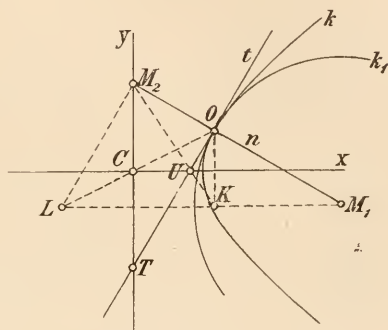


Fig. 250.

Konstruktionen noch etwas vereinfacht. Man verbinde  $M_2 = y \times n$  mit  $U = x \times t$ , ziehe durch  $O$  eine Parallele zu  $y$  und schneide sie mit  $M_2U$  in  $K$ , dann liegt  $M_1$  auf einer Parallelen zu  $x$  durch  $K$ . Oder man ziehe den Durchmesser durch  $O$  und schneide ihn mit einer Parallelen zu  $t$  durch  $M_2$  in  $L$ , dann ist  $LM_1 \parallel x$ .

**384.** Wir behandeln jetzt den Fall, daß von einer Ellipse  $k$  zwei konjugierte Durchmesser  $OP$  und  $QR$  gegeben sind, die sich im Mittelpunkte  $C$  schneiden (Fig. 251) und suchen den Krümmungsradius im Endpunkte eines Durchmessers. Dazu ziehen wir die Tangente  $t$  und die Normale  $n$  in  $O$  und außerdem die Tangenten in  $Q$  und  $R$ , welche  $t$  in  $T$  resp.  $U$  schneiden. Dann fallen

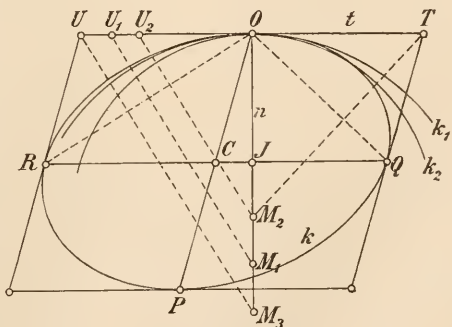


Fig. 251.

wir von  $T$  auf  $OQ$  ein Lot und machen seinen Schnittpunkt  $M_2$  mit  $n$  zum Mittelpunkt des Kreises  $k_2$ . In der Perspektive  $\mathfrak{P}''$ , die



$k$  in  $k_2$  überführt, entspricht der Strahl  $OQ$  und auch der Punkt  $T$  sich selbst, da dem Strahl  $OQ$  sowohl in Bezug auf  $k$  als in Bezug auf  $k_2$  der nämliche Pol  $T$  zugehört. Demnach ist  $T$  ein Punkt der Achse  $a''$  von  $\mathfrak{P}''$ , während die Achse  $a'$  der perspektiven Beziehung  $\mathfrak{P}'$  zwischen Ellipse  $k$  und Krümmungskreis  $k_1$  durch  $O$  hindurchgeht. Sind nun  $U$ ,  $U_2$  und  $U_1$  die Pole von  $OR$  bezüglich  $k$ ,  $k_2$  und  $k_1$ , so lassen  $\mathfrak{P}''$  und  $\mathfrak{P}'$  den Strahl  $OR$  ungeändert, sie führen also den Punkt  $U$  bzw. in die Punkte  $U_2$  und  $U_1$  über ( $U$ ,  $U_1$  und  $U_2$  auf  $t$ ). Nach 379 besteht deshalb die Relation:  $OU:OU_1 = TU:TU_2$ , und da  $OU = \frac{1}{2}TU$  ist, folgt weiter:  $OU_1 = \frac{1}{2}TU_2 = \frac{1}{2}(OU + OU_2)$ , d. h.  $UU_1 = U_1U_2$ . Da  $U_2$  und  $U_1$  die Pole von  $OR$  in Bezug auf  $k_2$  und  $k_1$  sind, stehen  $M_2U_2$  und  $M_1U_1$  auf  $OR$  senkrecht. Zieht man noch durch  $U$  eine Senkrechte zu  $OR$ , so schneidet sie  $n$  in einem Punkte  $M_3$  und es ist  $M_1M_2 = M_1M_3$ . Schreibt man also der Ellipse  $k$  in den Endpunkten zweier konjugierter Durchmesser ein Parallelogramm um, errichtet im Mittelpunkt  $O$  der einen Seite die Normale  $n$  und fällt von den Endpunkten dieser Seite die Lote auf die Diagonalen des Parallelogramms, so schneiden sie auf  $n$  eine Strecke aus, deren Mittelpunkt das Centrum des Krümmungskreises ist.

**385.** Hieraus ergibt sich noch eine einfachere Konstruktion, wenn man bedenkt, daß  $JQ:JO = OM_2:OT$  und  $JR:JO = OM_3:OU$  ist.

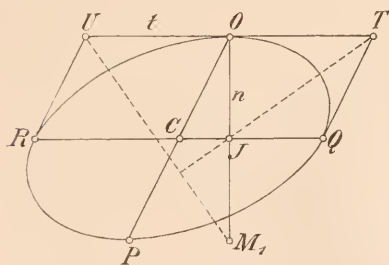


Fig. 252.

Denn bildet man die halbe Summe dieser Relationen, so erhält man:  $CQ:JO = OM_1:OU$  oder  $OJ \cdot OM_1 = (OU)^2$ . Das besagt aber, daß  $UM_1$  auf  $TJ$  senkrecht steht (Fig. 252). Man ziehe also in  $O$  die Tangente  $t$  und die Normale  $n$ , trage auf  $t$  die Strecken  $OT = OU = CQ$  auf und fälle von  $U$  das Lot auf die Verbindungs-

linie von  $T$  mit  $J$ , dem Schnittpunkt von  $n$  und  $QR$ ; dieses Lot schneidet dann auf  $n$  den Krümmungsmittelpunkt  $M_1$  von  $k_1$  aus.

Diese Resultate lassen sich auch aus Nummer 383 einfach ableiten, wenn man dort  $CT$  und  $CU$  als konjugierte Durchmesser  $x$  und  $y$  benutzt.

**386.** Ganz analog zu den letzten Darlegungen gestalten sich die Verhältnisse bei einer Hyperbel  $k$  mit dem Mittelpunkt  $C$ , wenn ihre beiden Asymptoten  $q$  und  $r$  und der Punkt  $O$  gegeben sind (Fig. 253). Man ziehe in  $O$  die Tangente  $t$  und die Normale  $n$ ;

erstere schneide  $q$  und  $r$  respektive in  $T$  und  $U$ , dann ist bekanntlich  $OT = OU$ , woraus sich die Lage von  $t$  ergibt. Hierauf errichte man in  $T$  eine Normale auf  $q$  und mache seinen Schnittpunkt  $M_2$  mit  $n$  zum Mittelpunkte des Kreises  $k_2$ . Bedeutet  $Q_\infty$  den unendlich fernen Punkt der Asymptote  $q$ , so ist  $T$  der Pol von  $OQ_\infty$  sowohl in Bezug auf  $k$  als in Bezug auf  $k_2$ . Bei der perspektiven Beziehung  $\mathfrak{P}''$  zwischen  $k$  und  $k_2$  entspricht demnach  $T$  sich selbst und liegt somit auf der Achse  $a''$ . Sind ferner  $U$ ,  $U_2$  und  $U_1$  die Pole von  $OR_\infty$  ( $R_\infty$  unendlich ferner Punkt von  $r$ ) bezüglich  $k$ ,  $k_2$  und  $k_1$ , so entsprechen dem Punkte  $U$  vermöge  $\mathfrak{P}''$  und  $\mathfrak{P}'$  die Punkte  $U_2$  und  $U_1$  und es besteht nach 379 wieder die Relation  $OU : OU_1 = TU : TU_2$ , aus der wiederum  $UU_1 = U_1U_2$  folgt. Da  $U_1$  und  $U_2$  die Pole von  $OR_\infty$  in Bezug auf  $k_1$  und  $k_2$  sind, stehen  $M_1U_1$  und  $M_2U_2$  auf  $OR_\infty$  senkrecht. Zieht man noch durch  $U$  eine Senkrechte zu  $OR_\infty$ , so schneidet sie  $n$  in einem Punkte  $M_3$  und es ist  $M_1M_2 = M_1M_3$ . Errichtet man also in den Schnittpunkten einer Hyperbeltangente  $t$  mit den Asymptoten auf diesen die Normalen, so schneiden sie auf der zugehörigen Normalen  $n$  eine Strecke aus, die vom Krümmungsmittelpunkt halbiert wird.

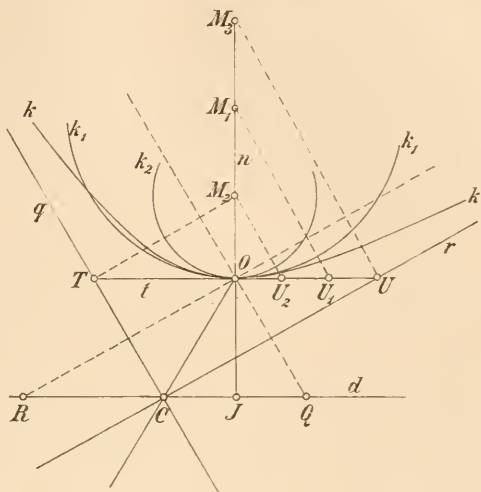


Fig. 253.

**387.** Hieraus leitet man eine noch einfachere Konstruktion ab durch Benutzung der Relationen  $OM_2 : OT = JQ : JO$  und  $OM_3 : OU = JR : JO$ . Dabei bedeuten  $J$ ,  $Q$  und  $R$  die Schnittpunkte des zu  $OC$  konjugierten

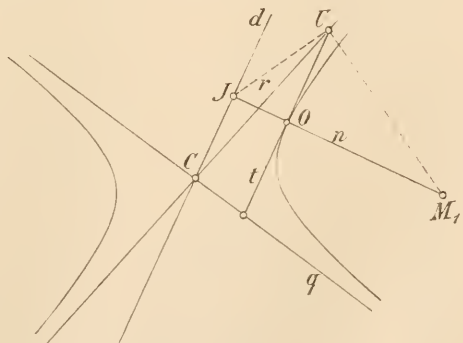


Fig. 254.

Durchmessers  $d$  mit den Geraden  $n$ ,  $OQ_\infty$  und  $OR_\infty$ . Die halbe Summe der Seiten beider Gleichungen ergibt wieder:  $OM_1:OU = CQ:JO$ , oder  $OM_1 \cdot OJ = (OU)^2$ . Man ziehe also im Punkte  $O$  der Hyperbel die Tangente  $t$  und die Normale  $n$  und schneide letztere mit dem zu  $t$  parallelen Durchmesser in  $J$  und erstere mit einer Asymptote in  $U$ , dann ist  $UM_1$  senkrecht zu  $UJ$  (Fig. 254).

388. Die Krümmungskreise der Parabel. Es sei  $d$  ein Durchmesser,  $S$  sein Endpunkt,  $s$  die zugehörige Tangente und  $O$  ein beliebiger Punkt der Parabel  $k$  (Fig. 255). Die Parabeltangente  $t$  in  $O$  schneidet  $d$  in einem Punkte  $T$  und dieser ist der Pol von  $OP$  in Bezug auf  $k$  ( $OP \parallel s$ ,  $QO = QP$ ,  $Q$  auf  $d$ ,  $ST = SQ$ ).  $T$  ist

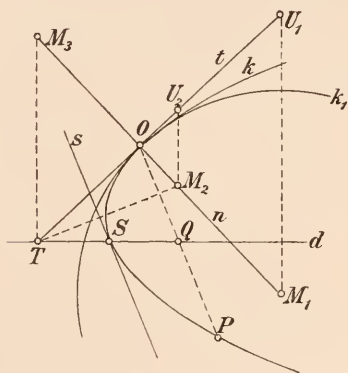


Fig. 255.

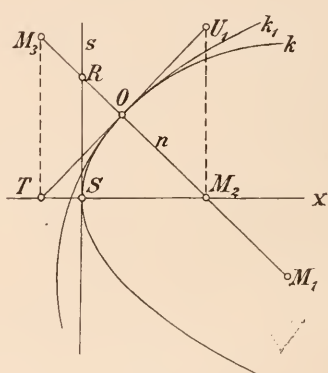


Fig. 256.

auch der Pol von  $OP$  in Bezug auf einen Kreis  $k_2$ , dessen Mittelpunkt  $M_2$  aus  $n$  durch das von  $T$  auf  $OP$  gefällte Lot ausgeschnitten wird und dessen Peripherie durch  $O$  geht. In der zwischen  $k$  und  $k_2$  bestehenden Perspektive  $\mathfrak{P}''$  entspricht  $OP$  sich selbst und folglich ist das Gleiche bei  $T$  der Fall, so daß  $T$  auf der Achse  $a''$  von  $\mathfrak{P}''$  liegt. Nun ziehe man durch  $O$  eine Parallele  $u$  zu  $d$  und bezeichne mit  $U$ ,  $U_2$  und  $U_1$  ihre Pole in Bezug auf  $k$ ,  $k_2$  und den Krümmungskreis  $k_1$ . Dann liegen  $U$ ,  $U_2$  und  $U_1$  auf  $t$  und zwar ist  $U$  unendlich fern, während  $M_2U_2$  und  $M_1U_1$  auf  $d$  senkrecht stehen. In den perspektiven Beziehungen  $\mathfrak{P}''$  zwischen  $k$  und  $k_2$ , sowie  $\mathfrak{P}'$  zwischen  $k$  und  $k_1$  entspricht  $u$  sich selbst, sonach sind  $U$  und  $U_2$  entsprechende Punkte von  $\mathfrak{P}''$  und  $U$  und  $U_1$  solche von  $\mathfrak{P}'$ . Da  $a''$  durch  $T$  und  $a'$  durch  $O$  geht, gilt die Relation  $TU:TO = OU:OU_1$  oder, da  $TU:OU = 1$  ist:  $TU_2 = OU_1$  und  $TO = U_2U_1$ . Daraus folgt weiter:  $M_2M_1 = OM_3$ , wenn eine in  $T$  auf  $d$  errichtete Normale durch  $M_3$  auf  $n$  geht, und schließlich  $OM_1 = M_2M_3$ .

Daher folgende Konstruktion. Ist  $d$  ein beliebiger Durchmesser der Parabel und  $s$  seine Tangente im Endpunkt, sind ferner  $t$  und  $n$  Tangente und Normale in einem Punkte  $O$ , so errichte man in  $T = t \times d$  eine Normale auf  $d$  und fälle von  $T$  ein Lot auf  $s$ , dann schneiden diese beiden Geraden auf  $n$  die Länge des Krümmungsradius ab.

Ist insbesondere  $d$  die Achse und  $s$  die Scheiteltangente (Fig. 256), so liegt  $M_2$  auf  $d$  und es ist  $OM_3 = 2 OR$  ( $R = s \times n$ ). Auf jeder Parabelnormalen giebt die vom Parabelpunkt und der Achse begrenzte Strecke, vermehrt um die doppelte vom Parabelpunkt und der Scheiteltangente begrenzte Strecke, die Länge des betreffenden Krümmungsradius.

### Gemeinsame Elemente zweier Kegelschnitte.

#### Büschel und Scharen von Kegelschnitten. Perspektivische Lage zweier beliebiger Kegelschnitte.

**389.** Vier Punkte einer Ebene bestimmen mit jedem beliebigen fünften Punkte einen Kegelschnitt.

Vier Gerade einer Ebene bestimmen mit jeder beliebigen fünften Geraden einen Kegelschnitt.

Daher gelten die dualen Sätze:

Durch vier Grundpunkte  $A, B, C, D$  einer Ebene, von denen keine drei in einer Geraden liegen, gehen unendlich viele Kegelschnitte; ihre Gesamtheit heißt Kegelschnittbüschel. Durch jeden Punkt der Ebene geht ein und nur ein Kegelschnitt des Büschels.

Vier Grundlinien  $a, b, c, d$  einer Ebene, von denen keine drei sich in einem Punkte schneiden, werden von unendlich vielen Kegelschnitten berührt; ihre Gesamtheit heißt Kegelschnittschar. Jede Gerade der Ebene wird von einem und nur von einem Kegelschnitt der Schar berührt.

Hiernach ist klar, daß zwei Kegelschnitte  $k$  und  $k_1$  vier Schnittpunkte und vier gemeinsame Tangenten besitzen können; daß sie aber auch immer wirklich vier gemeinsame Punkte und vier gemeinsame Tangenten haben müssen, wird weiterhin gezeigt werden. Zunächst ist hervorzuheben, daß die vier Schnittpunkte (und ebenso die gemeinsamen Tangenten) teilweise, oder alle vier imaginär werden können, denn nach 357 kann man stets einen Kegelschnitt konstruieren, der durch zwei Paare konjugiert imaginärer Punkte und einen reellen Punkt geht, oder der zwei Paare konjugiert imaginärer Geraden und eine reelle Gerade berührt.

**390.** Zwei Kegelschnitte besitzen stets eine gerade

Zahl (0, 2 oder 4) von reellen Schnittpunkten und von reellen gemeinsamen Tangenten. Wir beweisen nur den ersten Teil des Satzes, der zweite folgt dann daraus durch Anwendung des Prinzips der Dualität. In Bezug auf einen Kegelschnitt  $k$  liegen nun die Punkte einer Ebene teils innerhalb und teils außerhalb (259). Der Kegelschnitt  $k$  scheidet also die ganze Ebene in zwei Gebiete, von denen das eine die inneren, das andere die äußeren Punkte umfaßt. Bei der Hyperbel giebt es scheinbar zwei getrennte Gebiete innerer Punkte, dieselben hängen aber im Unendlichen zusammen. Denn schneidet eine Gerade beide Hyperbeläste, so liegen die Punkte der von der Hyperbel begrenzten endlichen Strecke außerhalb, die andern Punkte innerhalb der Kurve; die beiden unendlichen Strecken der Geraden hängen aber im Unendlichen zusammen. Das zeigt sich auch, wenn man die Hyperbel als perspektives Bild eines Kreises betrachtet, wobei die innern Punkte der Hyperbel aus den innern Punkten des Kreises hervorgehen. Schneidet daher ein Kegelschnitt  $k_1$  den Kegelschnitt  $k$  in einem reellen Punkte  $A$  und durchläuft ein Punkt den Kegelschnitt  $k_1$ , der ja eine in sich geschlossene Kurve ist, in einem bestimmten Bewegungsinne, so wird er beim Passieren von  $A$  aus seiner Anfangslage im äußeren Gebiete in das innere Gebiet von  $k$  übergehen. Nach Durchlaufen des ganzen Kegelschnittes  $k_1$  gelangt der Punkt wieder in seine Anfangslage, d. h. in das äußere Gebiet zurück, er muß also auf seinem Wege nochmals den Kegelschnitt  $k$  überschreiten. Ein reeller Schnittpunkt  $A$  von  $k$  und  $k_1$  erfordert also mindestens einen zweiten reellen Schnittpunkt  $B$ , und ganz ebenso überzeugt man sich, daß ein dritter reeller Schnittpunkt einen vierten nach sich zieht. Damit ist aber der obige Satz bewiesen. Wir werden weiterhin erkennen, daß die imaginären Schnittpunkte und gemeinsamen Tangenten von  $k$  und  $k_1$  paarweise konjugiert imaginär sein müssen.

**391.** Die Untersuchung der gemeinsamen Elemente zweier Kegelschnitte  $k$  und  $k_1$  basiert auf den Eigenschaften der harmonischen Pole und Polaren, und wir wollen daher, bevor wir in diese Untersuchungen selbst eintreten, folgenden Doppelsatz vorausschicken und beweisen.

Wenn zwei Paare Gegenecken eines vollständigen Vierseits harmonische Pole eines Kegelschnittes sind, so besitzt das dritte Paar die gleiche Eigenschaft; das Vierseit heißt Polvierseit.

Wenn zwei Paare Gegenseiten eines vollständigen Vierecks harmonische Polare eines Kegelschnittes sind, so besitzt das dritte Paar die gleiche Eigenschaft; das Viereck heißt Polviereck.



Es seien  $s$  eine Seite des Vierseits und  $A, B, C$  die auf ihr liegenden Ecken, ferner seien  $A', B', C'$  die zugehörigen Gegenecken. In Bezug auf einen gegebenen Kegelschnitt  $k$  mögen  $A, A'$  und ebenso  $B, B'$  harmonische Pole und  $S$  der Pol von  $s$  sein (Fig. 257). Dann ist  $SA'$  die Polare von  $A$ , denn diese muß einerseits durch den Pol  $S$  von  $s$  und andererseits durch den zu  $A$  harmonischen Pol  $A'$  gehen; ebenso ist  $SB'$  die Polare von  $B$ . Die harmonischen Polaren durch  $S$  bestimmen eine Involution, von der  $SA$  und  $SA'$ , sowie  $SB$  und  $SB'$  je ein Strahlenpaar vorstellen. Nach 229 bilden auch  $SC$  und  $SC'$  ein Strahlenpaar der genannten Involution und sind somit harmonische Polaren. Daraus folgt weiter, daß  $C$  der Pol von  $SC'$  ist, denn der Pol von  $SC'$  liegt sowohl auf der zugehörigen harmonischen Polare  $SC$  als auf der Polare  $s$  von  $S$ . Damit ist der erste Satz bewiesen, das Gesetz der Dualität liefert sodann den zweiten

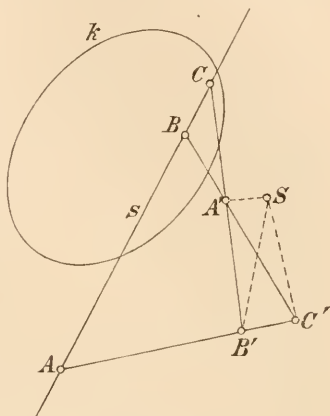


Fig. 257.

**392.** Wir gehen bei unseren weiteren Betrachtungen von zwei beliebigen, einer Ebene angehörigen Kegelschnitten  $k$  und  $k_1$  aus. Offenbar giebt es im allgemeinen zu jedem Punkte  $P$  der Ebene einen einzigen harmonischen Pol  $P'$  in Bezug auf beide Kegelschnitte. Sind  $p$  und  $p_1$  die Polaren von  $P$  bezüglich  $k$  resp.  $k_1$ , so ist  $P' = p \times p_1$  bezüglich beider Kegelschnitte der zu  $P$  gehörige harmonische Pol. Hier gilt nun ersichtlich der Satz: Bewegt sich ein Punkt  $P$  auf einer Geraden  $g$ , so bewegt sich der ihm in Bezug auf  $k$  und  $k_1$  zugehörige harmonische Pol  $P'$  auf einem Kegelschnitt  $g'$ ; dieser enthält die Pole  $G$  und  $G_1$  von  $g$  bezüglich  $k$  resp.  $k_1$ . Denn dem Punkte  $P$  von  $g$  gehören hinsichtlich  $k$  resp.  $k_1$  zwei Polaren  $p$  resp.  $p_1$  zu, die durch  $G$  resp.  $G_1$  gehen. Bewegt sich also  $P$  auf  $g$ , so drehen sich  $p$  und  $p_1$  um  $G$  und  $G_1$  respektive; dabei ist nach 281 die von  $P$  auf  $g$  erzeugte Punktreihe projektiv zu den von  $p$  resp.  $p_1$  erzeugten Strahlbüscheln mit den Scheiteln  $G$  resp.  $G_1$ . Diese Büschel sind somit selbst projektiv und erzeugen einen Kegelschnitt  $g'$ , der durch ihre Scheitel hindurchgeht.

Auf jeder Geraden  $g$  liegen zwei reelle oder konjugiert imaginäre, gemeinsame harmonische Pole von  $k$  und  $k_1$ .

Denn auf  $g$  bilden die harmonischen Pole von  $k$  eine Involution und die harmonischen Pole von  $k_1$  eine andere Involution; beide haben aber ein reelles oder konjugiert imaginäres Punktepaar gemein. Konjugiert imaginär sind die gemeinsamen harmonischen Pole auf  $g$  nach 353 nur dann, wenn  $g$  beide Kegelschnitte in reellen Punkten schneidet und die Schnittpunkte von  $g$  mit jedem von ihnen durch den andern getrennt werden.

**393.** Den soeben abgeleiteten Resultaten stehen die folgenden dual gegenüber. Zu jeder Geraden giebt es eine einzige Gerade, die ihr in Bezug auf zwei Kegelschnitte  $k$  und  $k_1$  als harmonische Polare zugehört. Dreht sich eine Gerade um einen Punkt  $P$ , so umhüllt die ihr in Bezug auf  $k$  und  $k_1$  zugehörige harmonische Polare einen Kegelschnitt; dieser berührt die Polaren  $p$  und  $p_1$  von  $P$  bezüglich  $k$  resp.  $k_1$ . Durch jeden Punkt  $P$  gehen zwei reelle oder konjugiert imaginäre, gemeinsame harmonische Polaren von  $k$  und  $k_1$ . Konjugiert imaginär werden diese harmonischen Polaren nur dann, wenn man aus  $P$  an jeden der beiden Kegelschnitte ein reelles Tangentenpaar legen kann und jedes Tangentenpaar durch das andere getrennt wird.

**394.** Wir betrachten jetzt zwei Gerade  $g$  und  $h$  und bestimmen ganz wie in 392 die zugehörigen Kegelschnitte  $g'$  und  $h'$ , deren Punkte die harmonischen Pole zu den Punkten von  $g$  resp.  $h$  in Bezug auf beide Kegelschnitte  $k$  und  $k_1$  sind. Dem Schnittpunkt  $S = g \times h$  gehört als harmonischer Pol bezüglich  $k$  und  $k_1$  ein Punkt  $S'$  zu, der zugleich auf  $g'$  und  $h'$  liegt. Demnach haben die Kegelschnitte  $g'$  und  $h'$  noch mindestens einen weiteren reellen Schnittpunkt  $L$  gemein. Da der Punkt  $L$  sowohl auf  $g'$  als auf  $h'$  liegt, gehört ihm sowohl auf  $g$  als auf  $h$  ein harmonischer Pol zu. Die Verbindungslinie  $l$  dieser beiden Pole ist somit die Polare von  $L$  hinsichtlich beider Kegelschnitte  $k$  und  $k_1$ , denn die Polare eines Punktes enthält alle seine harmonischen Pole (280). Es giebt stets einen reellen Punkt  $L$ , dem in Bezug auf zwei gegebene Kegelschnitte  $k$  und  $k_1$  die nämliche Polare  $l$  zukommt.

**395.** Auf  $l$  liegen nach 392 zwei reelle oder konjugiert imaginäre, gemeinsame harmonische Pole von  $k$  und  $k_1$ . Diese bilden zusammen mit  $L$  die Ecken eines beiden Kegelschnitten gemeinsamen Polardreiecks, da je zwei seiner Ecken harmonische Pole bezüglich beider Kegelschnitte sind. Zwei Kegelschnitte  $k$  und  $k_1$  besitzen immer ein gemeinsames Polardreieck; von diesem ist stets eine Ecke  $L$  und die gegenüberliegende Seite  $l$  reell. Die

beiden andern Ecken  $M$  und  $N$  sind ebenfalls reell, solange die Gerade  $l$  nicht  $k$  und  $k_1$  zugleich schneidet und nicht ihre Schnittpunkte mit  $k$  durch *einen* ihrer Schnittpunkte mit  $k_1$  getrennt werden; im andern Falle sind sie konjugiert imaginär.

**396.** Wiederum sei  $L$  der reelle Punkt, dem in Bezug auf  $k$  und  $k_1$  die nämliche Polare  $l$  zukommt. Legt man nun durch  $L$  irgend eine Gerade  $g$ , so liegen ihre Pole  $G$  und  $G_1$  bezüglich  $k$  resp.  $k_1$  auf  $l$ . Die Punktreihe auf  $g$  und die beiden Strahlbüschel mit den Scheiteln  $G$  resp.  $G_1$  sind projektiv, wenn man jedem Punkt von  $g$  seine Polaren bezüglich  $k$  resp.  $k_1$  zuordnet. Die beiden Strahlbüschel haben aber den Strahl  $GG_1 = l$  entsprechend gemein (da  $l$  die Polare von  $L$  für beide Kegelschnitte ist), sie sind also perspektiv. Demnach liegen die Schnittpunkte ihrer entsprechenden Strahlen, d. h. die harmonischen Pole zu den Punkten von  $g$  auf einer Geraden  $g'$ . Diese geht ebenfalls durch  $L$ , da  $L$  der harmonische Pol zu  $g \times l$  ist. Auf diese Weise werden die Strahlen durch  $L$  einander paarweise zugeordnet derart, daß jedem Punkt des einen ein Punkt des andern als harmonischer Pol in Bezug auf beide Kegelschnitte zukommt. Da das Entsprechen vertauschbar ist, bilden die Strahlenpaare durch  $L$  eine Involution. Je zwei gemeinsame harmonische Pole von  $k$  und  $k_1$  liegen auf zwei entsprechenden Strahlen dieser Involution. Alle Punktpaare der Ebene, die zugleich harmonische Pole von  $k$  und  $k_1$  sind, werden aus  $L$  durch die Strahlenpaare einer Involution projiziert. Insbesondere bilden die durch  $L$  gehenden Seiten des beiden Kegelschnitten gemeinsamen Polardreiecks ein Strahlenpaar dieser Involution.

**397.** Die Doppelstrahlen der Strahleninvolution mit dem Scheitel  $L$  haben die Eigenschaft, daß jedem Punkt eines solchen Strahles wieder ein Punkt des nämlichen Strahles als gemeinsamer harmonischer Pol (bezw.  $k$  und  $k_1$ ) entspricht. Demnach ist jeder Doppelstrahl der Träger einer Punktinvolution, deren Punktpaare harmonische Pole in Bezug auf beide Kegelschnitte sind. Die Doppelemente der soeben genannten Punktinvolution liegen sowohl auf  $k$  wie auf  $k_1$  (282); durch  $L$  gehen also zwei reelle oder konjugiert imaginäre Strahlen, von denen jeder mit beiden Kegelschnitten die nämlichen (reellen oder imaginären) Punkte gemein hat und die man deshalb als gemeinsame Sehnen von  $k$  und  $k_1$  bezeichnet. Diese gemeinsamen Sehnen durch  $L$  liegen harmonisch zu den beiden von  $L$  ausgehenden Seiten des gemeinsamen Polardreiecks (223).

**398.** Die dualen Betrachtungen ergeben, daß alle Geradenpaare der Ebene, die zugleich harmonische Polaren von  $k$  und  $k_1$  sind, auf der Seite  $l$  des gemeinsamen Polardreiecks eine Punktinvolution ausschneiden. Die auf  $l$  liegenden Ecken des Polardreiecks bilden ein Punktepaar dieser Involution. Ihre Doppelpunkte bilden die Scheitel von Strahleninvoluntionen, deren Strahlenpaare harmonische Polaren in Bezug auf beide Kegelschnitte sind. Die Doppelstrahlen dieser Strahleninvoluntionen berühren zugleich  $k$  und  $k_1$  (282); auf  $l$  liegen also zwei reelle oder konjugiert imaginäre Punkte, durch jeden von ihnen gehen zwei (reelle oder imaginäre) gemeinsame Tangenten an  $k$  und  $k_1$ . Die beiden Punkte auf  $l$  mit gemeinsamen Tangenten liegen harmonisch zu den beiden auf  $l$  befindlichen Ecken des Polardreiecks.

**399.** In Bezug auf die Realitätsverhältnisse ist noch folgendes zu bemerken. Sind die durch  $L$  gehenden Seiten des gemeinsamen Polardreiecks reell, so können die gemeinsamen Sehnen durch  $L$  reell oder konjugiert imaginär sein. Sind jene Seiten aber konjugiert imaginär, so müssen die gemeinsamen Sehnen durch  $L$  reell sein (352). Die auf reellen Sehnen durch  $L$  liegenden Involutionen gemeinsamer harmonischer Pole haben entweder beide reelle Doppelpunkte, oder keine von ihnen hat reelle Doppelpunkte, oder nur eine von ihnen hat solche. In dem ersten und zweiten Fall können die Punktinvolutionen in zweifacher Weise durch die nämliche reelle Strahleninvolution ausgeschnitten werden (355); die Scheitel dieser Strahleninvoluntionen seien  $M$  und  $N$ . Im ersten Falle besitzen  $k$  und  $k_1$  vier reelle Schnittpunkte, deren Verbindungslinien (Sehnen) sich paarweise in den reellen Ecken  $L$ ,  $M$  und  $N$  des gemeinsamen Polardreiecks schneiden. Im zweiten Falle haben  $k$  und  $k_1$  zwei Paare konjugiert imaginärer Punkte gemein; durch  $L$  gehen zwei reelle, durch  $M$  und  $N$  je zwei konjugiert imaginäre Sehnen,  $M$  und  $N$  bestimmen aber wie vorher mit  $L$  ein reelles gemeinsames Polardreieck. Im dritten Falle haben  $k$  und  $k_1$  zwei reelle und zwei konjugiert imaginäre Punkte gemein; jetzt ist vom gemeinsamen Polardreieck nur noch eine Ecke  $L$  und eine Seite  $l$  reell, seine beiden auf  $l$  liegenden Ecken sind jedoch konjugiert imaginär.

Sind die Ecken  $L$ ,  $M$ ,  $N$  des gemeinsamen Polardreiecks reell, so können nach obigem die beiden Sehnen durch  $L$  auch konjugiert imaginär sein. Dann müssen auch die Sehnen durch  $M$  (oder  $N$ ) imaginär sein; denn wären gleichzeitig die Sehnen durch  $M$  und  $N$



reell, so besäßen sie vier reelle Schnittpunkte, die zugleich Schnittpunkte von  $k$  und  $k_1$  wären, und die Sehnen durch  $L$  wären ebenfalls reell. Wir haben also hier zwei Strahleninvolutionen mit den Scheiteln  $L$  und  $M$ , deren Doppelstrahlen die genannten konjugiert imaginären Sehnen sind. Es giebt aber zwei reelle Gerade, von denen jede beide Strahleninvolutionen in der nämlichen Punktinvolution schneidet. Diese beiden reellen Geraden gehen nach 354 u. 355 durch den Punkt  $N$ , da dem Strahl  $LM$  in den genannten Strahleninvolutionen die Strahlen  $LN$  resp.  $MN$  entsprechen. Je zwei entsprechende Punkte  $P$  und  $P_1$  der auf einer solchen Geraden liegenden Involution sind gemeinsame harmonische Pole von  $k$  und  $k_1$ ; denn sie liefern mit  $L$  resp.  $M$  verbunden entsprechende Strahlen der bezüglichen Strahleninvolutionen, wie das nach 396 für gemeinsame harmonische Pole sein muß. Die beiden reellen Geraden durch  $N$  sind also Träger von Involutionen, deren Punktepaare gemeinsame harmonische Pole von  $k$  und  $k_1$  sind, d. h. jede von ihnen hat mit beiden Kegelschnitten  $k$  und  $k_1$  die nämlichen beiden konjugiert imaginären Punkte gemein. Dieser Fall stimmt also mit dem weiter oben erwähnten zweiten Fall überein, nur spielt hier der Punkt  $N$  die Rolle, die dort dem Punkt  $L$  zukommt.

**400.** Das Prinzip der Dualität gestattet uns noch folgende Resultate den vorigen hinzuzufügen. Besitzen zwei Kegelschnitte  $k$  und  $k_1$  ein gemeinsames reelles Polardreieck  $LMN$ , so haben sie entweder vier reelle gemeinsame Tangenten, oder dieselben sind paarweise konjugiert imaginär. Im ersten Falle liegen ihre sechs reellen Schnittpunkte paarweise auf den Seiten des Polardreiecks. Im zweiten Falle liegen nur auf einer Seite des Polardreiecks zwei reelle Punkte, in denen sich je zwei konjugiert imaginäre gemeinsame Tangenten schneiden, während jede der beiden andern Seiten zwei konjugiert imaginäre Schnittpunkte dieser Tangenten trägt. Hat jedoch das gemeinsame Polardreieck von  $k$  und  $k_1$  nur eine reelle Ecke  $L$  und eine reelle Seite  $l$ , so liegen auf  $l$  zwei reelle Punkte, in denen sich je zwei gemeinsame Tangenten von  $k$  und  $k_1$  schneiden. Die gemeinsamen Tangenten aus einem dieser beiden Punkte sind reell, aus dem andern aber konjugiert imaginär. Denn die Annahme, daß die Tangenten aus beiden Punkten reell, oder aus beiden Punkten konjugiert imaginär seien, würde zu einem völlig reellen gemeinsamen Polardreieck führen.

**401.** Wir fassen nun unsere Resultate in die folgenden Sätze zusammen:

Zwei Kegelschnitte  $k$  und  $k_1$  haben stets vier Punkte



und vier Tangenten gemein; die nicht reellen unter ihnen sind paarweise konjugiert imaginär. Ferner besitzen sie

ein gemeinsames Polardreieck, das entweder ganz reell ist, oder eine reelle Ecke und eine reelle Seite aufweist.

Ist das gemeinsame Polardreieck  $LMN$  völlig reell, so sind vier verschiedene Fälle zu unterscheiden.

$\alpha$ ) Alle gemeinsamen Punkte und Tangenten von  $k$  und  $k_1$  sind reell. Dann liegen die Punkte paarweise

auf sechs reellen Strahlen; durch jede Ecke des Polardreiecks gehen zwei von ihnen, sie teilen den bez. Winkel harmonisch. Ebenso schneiden sich die Tangenten paarweise in sechs reellen Punkten;

auf jeder Seite des Polardreiecks liegen zwei von ihnen, sie teilen die bez. Seite harmonisch (Fig. 258).

$\beta$ ) Alle gemeinsamen Punkte sind reell, die gemeinsamen Tangenten aber paarweise konjugiert imaginär. Für die Punkte gilt wieder das unter  $\alpha$ ) Gesagte. Auf einer Seite des Polardreiecks liegen zwei reelle Punkte, durch die je zwei konjugiert imaginäre gemeinsame Tan-

genten gehen; sie teilen die Seite harmonisch. Die übrigen Schnittpunkte der Tangenten liegen paarweise auf den beiden andern Seiten und sind konjugiert imaginär (Fig. 259).

$\gamma$ ) Die gemeinsamen Punkte sind paarweise konjugiert

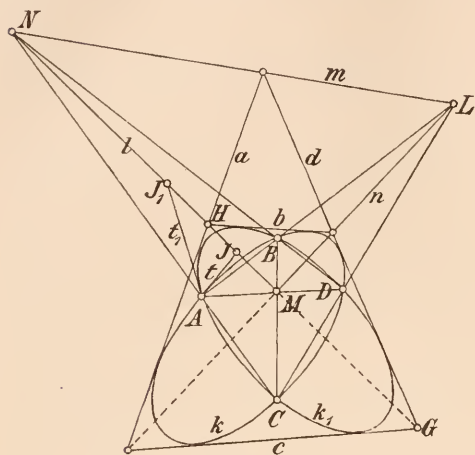


Fig. 258.

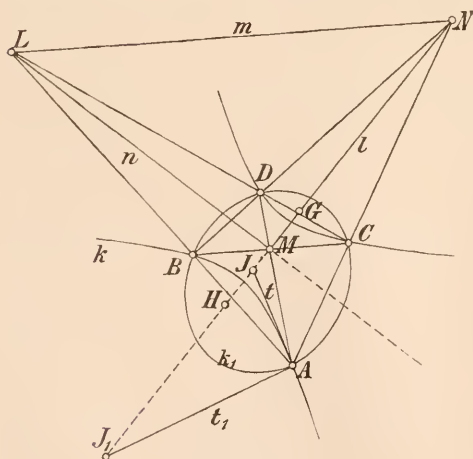


Fig. 259.

imaginär, die gemeinsamen Tangenten aber alle reell. Für die Tangenten gilt dann das unter  $\alpha$ ) Gesagte. Durch eine Ecke des Polardreiecks gehen zwei reelle Strahlen, auf denen je zwei konjugiert imaginäre gemeinsame Punkte liegen; sie teilen den bez. Winkel harmonisch. Die übrigen

Verbindungs-  
linien  
der Punkte gehen  
paarweise durch die  
beiden andern Ecken  
und sind konjugiert  
imaginär (Fig. 260).

d) Sowohl die gemeinsamen Punkte wie die gemeinsamen Tangenten sind paarweise konjugiert imaginär. Hier gehen durch eine Ecke des Polardreiecks zwei reelle Strahlen, die je zwei konjugiert imaginäre gemeinsame Punkte tragen und den bez. Winkel harmonisch teilen. Zugleich liegen auf einer Seite desselben zwei reelle Punkte, die je zwei konjugiert imaginäre gemeinsame Tangenten aussenden und die Seite harmonisch teilen (Fig. 261). Jene Ecke mit den reellen Strahlen und diese Seite mit den reellen Punkten liegen einander gegenüber; der Beweis hierfür findet sich weiter unten.

Ist vom gemeinsamen Polardreieck nur eine Ecke  $L$  und die gegenüberliegende Seite  $l$  reell, so erhalten wir den weiteren Fall:

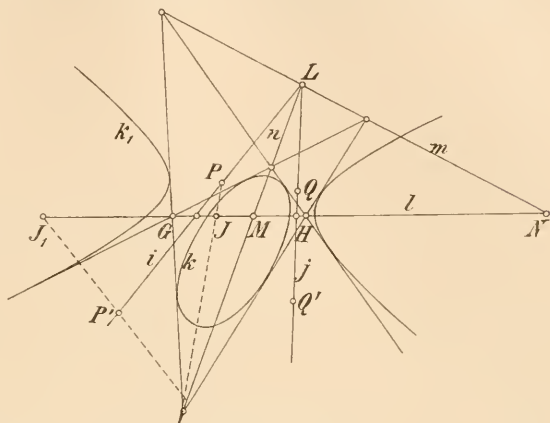


Fig. 260.

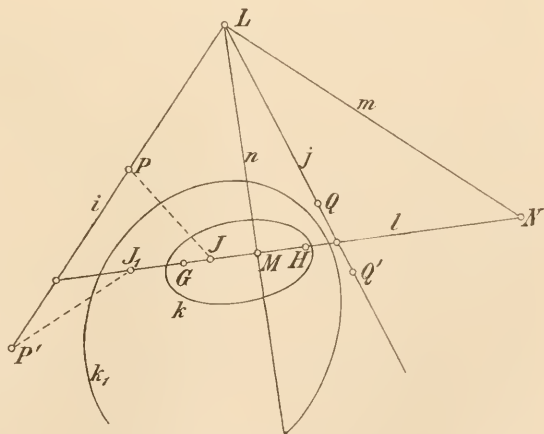


Fig. 261.



die Polare von  $P'$  in Bezug auf  $k$ , also sind  $PJ$  und  $P'J_1$  harmonische Polaren von  $k$ ; es ist aber auch  $P'J_1$  die Polare von  $P$  in Bezug auf  $k_1$ , so daß  $P'J_1$  und  $PJ$  auch harmonische Polaren von  $k_1$  sind. Ist  $i$  eine gemeinsame Sehne von  $k$  und  $k_1$  und sind  $J$  und  $J_1$  ihre Pole bezüglich  $k$  resp.  $k_1$ , so gehört zu jedem Strahl durch  $J$  als gemeinsame harmonische Polare ein Strahl durch  $J_1$ ; je zwei derartige Strahlen schneiden auf  $i$  zwei gemeinsame harmonische Pole aus. Daraus folgt weiter:  $J$  und  $J_1$  gehören einer Seite des gemeinsamen Polardreiecks an und liegen harmonisch zu den beiden Punkten, welche die gemeinsamen Tangenten der Kegelschnitte auf ihr ausschneiden (398).

Natürlich gelten auch die dualen Sätze: Ist  $H$  ein Punkt, von dem sich zwei (reelle oder imaginäre) gemeinsame Tangenten an  $k$  und  $k_1$  legen lassen, und sind  $h$  und  $h_1$  seine Polaren bezüglich  $k$  resp.  $k_1$ , so gehört zu jedem Punkt von  $h$  als gemeinsamer harmonischer Pol ein Punkt von  $h_1$ ; je zwei derartige Punkte liefern mit  $H$  verbunden zwei gemeinsame harmonische Polaren von  $k$  und  $k_1$ .  $h$  und  $h_1$  enthalten eine Ecke des gemeinsamen Polardreiecks und liegen harmonisch zu den beiden durch die Ecke gehenden gemeinsamen Sehnen der Kegelschnitte.

**403.** In Figg. 258 und 259 sind  $A, B, C, D$  die den beiden Kegelschnitten  $k$  und  $k_1$  gemeinsamen reellen Punkte und  $t$  und  $t_1$  sind die bezüglichlichen Tangenten in  $A$ . Ist dann  $AB \times CD = L$ ,  $BC \times AD = M$ ,  $BD \times AC = N$  und setzt man  $MN = l$ ,  $NL = m$ ,  $LM = n$ , so sind  $J = t \times l$  und  $J_1 = t_1 \times l$  die Pole von  $i = AB$  in Bezug auf  $k$  und  $k_1$ . Die Punkte  $H$  und  $G$  von  $l$ , in denen sich die gemeinsamen Tangenten der beiden Kegelschnitte paarweise schneiden, teilen die Punktepaare  $M, N$  und  $J, J_1$  harmonisch. Ähnliches gilt für die Seiten  $m$  und  $n$ . Man sieht, daß in Fig. 258  $t$  und  $t_1$  jede Seite des Dreiecks  $LMN$  entweder in zwei zwischen den Ecken oder zwei außerhalb liegenden Punkten schneiden; deshalb liefern die gemeinsamen Tangenten auf jeder Seite zwei reelle Schnittpunkte. In Fig. 259 wird dagegen nur eine Seite gleichzeitig von  $t$  und  $t_1$  in Punkten geschnitten, von denen keiner zwischen den Ecken liegt.

**404.** In Figg. 260 und 261 sind  $i$  und  $j$  die beiden gemeinsamen Sehnen, die je ein Paar konjugiert imaginärer gemeinsamer Punkte von  $k$  und  $k_1$  tragen. Auf  $i$  und  $j$  liegen Involutionen gemeinsamer harmonischer Pole.  $P, P'$  auf  $i$  und  $Q, Q'$  auf  $j$  mögen solche Paare gemeinsamer harmonischer Pole sein. Natürlich muß man zur Festlegung dieser Involutionen auf  $i$  und  $j$  noch je ein

weiteres Punktepaar kennen. Sucht man dann in jeder der beiden Involutionen zu  $L = i \times j$  den entsprechenden Punkt, so ist ihre Verbindungslinie die Polare  $l$  von  $L$  in Bezug auf beide Kegelschnitte. Die Ecken  $M$  und  $N$  des Polardreiecks sind diejenigen Punkte auf  $l$ , aus denen sich die auf  $i$  und  $j$  liegenden Involutionen durch die nämliche Strahleninvolution projizieren (396). Man erhält demnach  $M$  und  $N$  als die beiden Punkte der Geraden  $l$ , die sowohl zu ihren Schnittpunkten mit  $i$  und  $j$ , als auch zu ihren Schnittpunkten mit  $PQ'$  und  $P'Q$  harmonisch liegen (vergl. 354). Nimmt man nun noch  $J$  und  $J_1$  als Pole von  $i$  in Bezug auf  $k$  resp.  $k_1$  an, so sind diese Kegelschnitte bestimmt und können leicht gezeichnet werden. Die Schnittpunkte der gemeinsamen Tangenten mit  $l$  liegen harmonisch zu  $M$ ,  $N$  und zu  $J$ ,  $J_1$ . Die Schnittpunkte der gemeinsamen Tangenten mit  $m$  (oder  $n$ ) werden durch  $L$ ,  $N$  (oder  $L$ ,  $M$ ) einerseits und durch  $PJ$ ,  $P'J_1$  andererseits harmonisch geteilt. In Fig. 260 sind die gemeinsamen Tangenten reell und schneiden auf allen Seiten des Dreiecks  $LMN$  reelle Punkte aus.

**405.** In Fig. 261 sind die gemeinsamen Tangenten paarweise konjugiert imaginär, jedes Paar schneidet sich in einem reellen Punkte von  $l$ . Um dies zu erkennen, schließen wir folgendermaßen:  $L$  liegt außerhalb der Kegelschnitte  $k$  und  $k_1$ , denn sonst würden die reellen Sehnen  $i$  und  $j$  durch  $L$  dieselben in reellen Punkten schneiden. Somit schneidet  $l$  beide Kegelschnitte in reellen Punkten. Die Schnittpunkte von  $k$  mit  $l$  liegen aber sowohl zu  $M$  und  $N$  als auch zu  $J$  und  $i$  harmonisch; demnach befinden sich  $i \times l$  und  $J$  entweder beide auf der Strecke  $MN$ , oder beide auf ihrer Verlängerung. Auch  $i \times l$  und  $J_1$  müssen sich so verhalten, daß auch  $J$  und  $J_1$  entweder beide auf der Strecke  $MN$ , oder beide auf ihrer Verlängerung liegen. Es giebt also zwei reelle Punkte  $G$  und  $H$  auf  $l$ , die gleichzeitig zu  $M$ ,  $N$  und zu  $J$ ,  $J_1$  harmonisch liegen; in jedem von ihnen schneiden sich zwei konjugiert imaginäre gemeinsame Tangenten von  $k$  und  $k_1$ . Dagegen giebt es auf  $n$  keine Punkte, die zu  $L$  und  $M$ , sowie zu den Schnittpunkten von  $n$  mit  $PJ$  und  $P'J_1$  harmonisch liegen, d. h. die gemeinsamen Tangenten von  $k$  und  $k_1$  schneiden auf  $n$  keine reellen Punkte aus.

**406.** In Fig. 262 ist  $i$  die Sehne durch die reellen Schnittpunkte  $A$  und  $B$  und  $j$  die Sehne durch die konjugiert imaginären. Die letzteren sind wieder durch eine Involution bestimmt, von der  $P$ ,  $P'$  und  $L = i \times j$ ,  $j \times l$  Punktepaare sind ( $A$  und  $B$  werden durch  $L$  und  $l$  harmonisch getrennt). Ferner mögen in  $A$  die Tangenten  $t$  und  $t_1$  an  $k$  und  $k_1$  gegeben sein, dann lassen sich die



Kegelschnitte zeichnen. Die Punkte  $G$  und  $H$  von  $l$ , in denen sich die gemeinsamen reellen bzw. konjugiert imaginären Tangenten schneiden, liegen einerseits harmonisch zu den Polen  $J$  und  $J_1$  von  $i$  in Bezug auf  $k$  resp.  $k_1$  und andererseits zu den Polen  $Y$  und  $Y_1$  von  $j$  in Bezug auf  $k$  und  $k_1$ .

**407.** Zwei Kegelschnitte  $k$  und  $k_1$  bestimmen einen Kegelschnittbüschel, dessen Kurven alle die vier Schnittpunkte von  $k$  und  $k_1$  als Grundpunkte enthalten. Zu den Kegelschnitten des Büschels gehören auch die Geradenpaare durch diese Grundpunkte, von denen eins oder drei reell sind. Die Schnittpunkte der drei Geradenpaare sind die Ecken des allen Kegelschnitten gemeinsamen Polardreiecks. Zwei Punkte, welche harmonische Pole in Bezug auf  $k$  und  $k_1$  sind, sind es auch in Bezug auf jeden andern Kegelschnitt des Büschels. Die vier gemeinsamen Punkte von  $k$  und  $k_1$ , mögen sie reell oder ganz oder teilweise imaginär sein, liegen stets paarweise auf zwei reellen Geraden  $i$  und  $j$ . Auf jeder von den beiden Geraden bilden die gemeinsamen harmonischen Pole von  $k$  und  $k_1$  eine Involution. Ist  $P$  ein beliebiger Punkt, so giebt es durch ihn ein Strahlenpaar, das zugleich aus  $i$  und  $j$  je ein Punktepaar der betreffenden Involutionen ausschneidet. Es ist das nichts anderes als das gemeinsame Strahlenpaar der beiden Strahleninvolutionen, deren Strahlen  $P$  mit den Punkten der Involutionen auf  $i$  resp.  $j$  verbinden. Sei  $Q, Q'$  das genannte Punktepaar auf  $i$  und  $R, R'$  dasjenige auf  $j$ , so daß  $QR$  und  $Q'R'$  durch  $P$  gehen, so ist  $P' = QR' \times Q'R$  der harmonische Pol zu  $P$  in Bezug auf  $k$  und  $k_1$  (391).  $Q, Q'$  sind aber auch harmonische Pole in Bezug auf jeden andern Kegelschnitt des Büschels, und Gleiches ist für  $R, R'$  der Fall. Demnach sind auch  $P, P'$  harmonische Pole für alle Kegelschnitte des Büschels. Die Punktepaare  $Q, Q'$  und  $R, R'$ , die beim Beweise auftreten, sind nach 353 stets reell, solange nicht alle vier Grundpunkte des Büschels reell sind. In diesem Falle können sie auch konjugiert imaginär sein, doch behält auch dann der Beweis mit einiger Modifikation seine Gültigkeit.

Dem obigen Satze kann man noch die folgenden Formen geben. Die Polaren eines beliebigen Punktes in Bezug auf alle Kegelschnitte eines Büschels schneiden sich in einem zweiten Punkt. Auf jeder Geraden schneiden die Kegelschnitte eines Büschels eine Involution aus. Denn jede Gerade enthält ein Paar gemeinsamer harmonischer Pole von  $k$  und  $k_1$ , die somit die gleiche Eigenschaft in Bezug auf alle andern Kegel-

schnitte des Büschels besitzen, so daß ihre Schnittpunktpaare zu denselben harmonisch liegen.

**408.** Den vorstehenden Sätzen lassen wir noch die dualen folgen, ohne sie jedoch besonders zu beweisen. Zwei Kegelschnitte  $k$  und  $k_1$  bestimmen eine Kegelschnittschar, deren Kurven alle die vier gemeinsamen Tangenten von  $k$  und  $k_1$  als Grundlinien berühren. Zu den Kegelschnitten der Schar gehören auch die Punktpaare, in denen sich diese Tangenten, in zwei Paare verteilt, schneiden und von denen eins oder drei reell sind. Die Verbindungslinien der drei Punktpaare sind die Seiten des allen Kegelschnitten gemeinsamen Polardreiecks. Zwei Gerade, welche harmonische Polaren in Bezug auf  $k$  und  $k_1$  sind, sind es auch in Bezug auf jeden andern Kegelschnitt der Schar. Die Pole einer beliebigen Geraden in Bezug auf alle Kegelschnitte einer Schar liegen auf einer zweiten Geraden. In jedem Punkt bilden die Tangentenpaare an alle Kegelschnitte einer Schar eine Involution.

**409.** Zwei Gerade  $u$  und  $v$ , die durch reelle Grundpunkte  $A$  und  $B$  eines Kegelschnittbüschels gezogen sind, werden von seinen Kurven in perspektiven Punktreihen geschnitten. Es seien  $k, k_1, k_2, \dots$  Kurven des Büschels und  $s, s_1, s_2, \dots$  die Polaren von  $S = u \times v$  in Bezug auf die einzelnen Kurven, dann gehen alle diese Polaren durch einen Punkt  $S'$ , der dem Punkt  $S$  als harmonischer Pol in Bezug auf den Büschel zugehört (407). Die Polaren  $s, s_1, s_2, \dots$  schneiden demnach auf  $u$  und  $v$  perspektive Punktreihen  $U, U_1, U_2, \dots$  resp.  $V, V_1, V_2, \dots$  aus. Ferner schneiden  $k, k_1, k_2, \dots$  auf  $u$  und  $v$  zwei Punktreihen  $P, P_1, P_2, \dots$  resp.  $Q, Q_1, Q_2, \dots$  aus, die sich durch die erstgenannten Reihen bestimmen; denn allgemein liegen  $P_i$  und  $A$  zu  $S$  und  $U_i$  harmonisch und ebenso  $Q_i$  und  $B$  zu  $S$  und  $V_i$ . Deshalb sind die Punktreihen  $U, U_1, U_2, \dots$  und  $P, P_1, P_2, \dots$  projektiv und ebenso die Reihen  $V, V_1, V_2, \dots$  und  $Q, Q_1, Q_2, \dots$ . Denn läßt man in Fig. 138  $F, J, K, S, T$  ungeändert und beschreibt  $E$  auf  $FS$  eine Punktreihe, so beschreibt  $R$  eine dazu projektive Reihe. Es müssen nun auch die Reihen  $P, P_1, P_2, \dots$  und  $Q, Q_1, Q_2, \dots$  projektiv sein und sogar perspektiv, da  $S$  sich selbst entspricht als Schnittpunkt von  $u$  und  $v$  mit dem nämlichen Kegelschnitt.

Der duale Satz zu dem obigen ist leicht anzugeben.

**410.** Die beiden Kegelschnitte zu zeichnen, die durch vier gegebene Punkte  $A, B, C, D$  gehen und eine gegebene Gerade  $g$  berühren. Alle Kegelschnitte durch  $A, B, C, D$  bilden

einen Büschel und schneiden auf  $g$  die Punktepaare einer Involution aus. Geht insbesondere ein Kegelschnitt des Büschels durch einen Doppelpunkt dieser Involution, so muß er daselbst die Gerade  $g$  berühren. Man bestimme also auf  $g$  die beiden Punkte  $U$  und  $U'$ , welche harmonische Pole in Bezug auf alle Kurven des Büschels sind, dann sind sie die Berührungspunkte der gesuchten Kegelschnitte.

Sind die vier Punkte  $A, B, C, D$  reell, so schneiden  $AB$  und  $CD$  und ebenso  $AC$  und  $BD$  je ein Punktepaar der vorher genannten Involution auf  $g$  aus; daraus lassen sich dann ihre Doppelpunkte  $U$  und  $U'$  konstruieren. Die folgende Konstruktion läßt sich verwenden, falls von den gegebenen Punkten ein Paar oder zwei Paare konjugiert imaginär sind. Es seien  $i$  und  $j$  die Geraden  $AB$  und  $CD$  (Fig. 263), und zwar mögen  $A, B$  auf  $i$  als Doppelpunkte einer Involution definiert sein, von der  $P, P'$  und  $L, i \times l$  zwei Punktepaare sind. Ebenso mögen  $C, D$  auf  $j$  als Doppelpunkte einer Involution mit den Punktepaaren  $Q, Q'$  und  $L, j \times l$  definiert sein. Der Kegelschnitt  $k$  des Büschels, der durch den Punkt  $E = g \times l$  geht, schneidet  $g$  noch in einem Punkte  $F$  und  $l$  in einem Punkte  $E_1$ , und zwar müssen  $FE$  und  $FE_1$  nach 283 auf  $i$  und  $j$  harmonische Pole ausschneiden, da  $i$  und  $j$  harmonische Polaren zu  $l$  in Bezug auf  $k$  sind. Man suche also in der Involution auf  $i$  zu  $g \times i$  den entsprechenden Punkt und ebenso in der Involution auf  $j$  zu  $g \times j$  den entsprechenden. Die Verbindungslinie dieser beiden Punkte schneidet  $l$  und  $g$  in  $E_1$  und  $F$ . Nun findet man  $U$  und  $U'$  wieder als Doppelpunkte einer Involution, der  $E, F$  und  $g \times i, g \times j$  als Punktepaare angehören.

Sind die gegebenen Punktepaare sowohl auf  $i$  wie auf  $j$  imaginär (wie in der Figur), so besitzt der Büschel, dem die gesuchten Kegelschnitte angehören, ein reelles gemeinsames Polardreieck.  $L$  ist eine Ecke dieses Dreiecks, seine Ecken  $M$  und  $N$  trennen  $E$  und  $E_1$  sowie  $l \times i$  und  $l \times j$  harmonisch. Sucht man noch auf jeder Seite des Polardreiecks den Punkt, der mit  $g$  zusammen die bez. Seite harmonisch teilt, so gehen durch diese Punkte die vier gemeinsamen Tangenten der gesuchten Kegelschnitte hindurch. Man kennt also von jedem vier Tangenten und deren Berührungspunkte.

Ist eines der beiden Punktepaare reell, das andere imaginär, so bestimme man auf  $LU$  den Punkt  $V$  derart, daß  $UV$  durch  $L$  und  $l$  harmonisch geteilt wird. Dann sind  $EU$  und  $EV$  Tangenten der gesuchten Kegelschnitte, die sie in  $U$  und  $V$  resp.  $U'$  und  $V'$  berühren. Man kennt also von jedem zwei reelle Punkte und zwei reelle Tangenten mit ihren Berührungspunkten.

Die beiden Kegelschnitte zu zeichnen, die vier gegebene

Gerade  $a, b, c, d$  berühren und durch einen gegebenen Punkt  $G$  gehen. Diese Aufgabe ist zu der vorangehenden dual und ihre Lösung ergibt sich aus dem Gesagten, wenn man überall die dualen Konstruktionen verwendet.

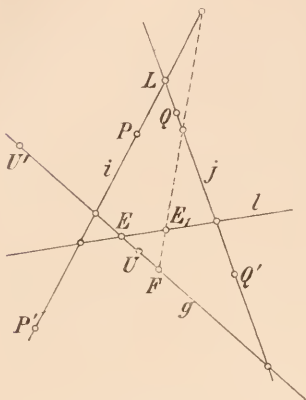


Fig. 263.

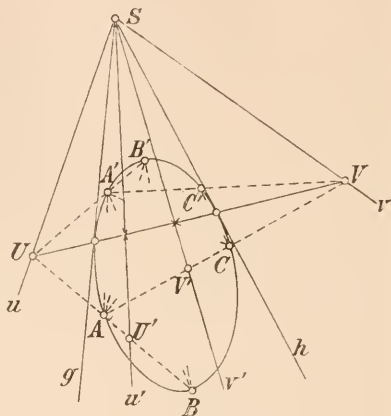


Fig. 264.

**411.** Die vier Kegelschnitte zu zeichnen, die durch drei gegebene Punkte  $A, B, C$  gehen und zwei Gerade  $g$  und  $h$  berühren. Diese Aufgabe schließt sich an die vorhergehende an und soll hier gelöst werden, obgleich sie mit dem Kegelschnittbüschel nicht in näherem Zusammenhang steht. Der Punkt  $S = g \times h$  ist der Scheitel einer Strahleninvolution  $\mathfrak{S}$ , der  $g$  und  $h$  als Doppelstrahlen angehören, umgekehrt kann man durch eine solche Strahleninvolution  $\mathfrak{S}$  zwei reelle oder konjugiert imaginäre Gerade definieren. Sind sie Tangenten eines Kegelschnittes, so sind die Strahlenpaare der Involution harmonische Polaren desselben. Nun suche man dasjenige Strahlenpaar  $u, u'$  von  $\mathfrak{S}$ , das zu  $SA$  und  $SB$  harmonisch liegt (353), sowie das Strahlenpaar  $v, v'$  von  $\mathfrak{S}$ , das zu  $SA$  und  $SC$  harmonisch liegt. Schneiden  $u, u'$  die Gerade  $AB$  in  $U, U'$  und ebenso  $v, v'$  die Gerade  $AC$  in  $V, V'$ , so muß erstens entweder  $U$  der Pol von  $u'$ , oder  $U'$  der Pol von  $u$  sein und zweitens entweder  $V$  der Pol von  $v'$ , oder  $V'$  der Pol von  $v$  sein. Ist nämlich  $U$  nicht der Pol von  $u'$ , so muß ein anderer Punkt  $U_1$  von  $u$  der Pol von  $u'$  sein. Die Polare von  $U'$  muß dann sowohl durch  $U$  als auch durch  $U_1$  gehen, d. h.  $u$  ist dann die Polare von  $U'$ ; damit ist aber die Behauptung erwiesen. Wir haben sonach vier Fälle zu unterscheiden und jeder liefert einen von den gesuchten Kegelschnitten.

1.  $U$  ist Pol von  $u'$  und  $V$  Pol von  $v'$ ,
2.  $U$  ist Pol von  $u'$  und  $V'$  Pol von  $v$ ,
3.  $U'$  ist Pol von  $u$  und  $V$  Pol von  $v'$ ,
4.  $U'$  ist Pol von  $u$  und  $V'$  Pol von  $v$ .

Im ersten Falle wird  $UV$  die Polare von  $S = u' \times v'$  sein, sie schneidet aus  $g$  und  $h$  die Berührungspunkte mit einem unserer Kegelschnitte aus. Ferner findet man auf  $SA$ ,  $SB$ ,  $SC$  die Kurvenpunkte  $A_1$ ,  $B_1$ ,  $C_1$  dadurch, daß  $A$  und  $A_1$  durch  $S$  und  $UV$  harmonisch geteilt werden u. s. w. In gleicher Weise ergeben sich die drei übrigen Kegelschnitte. Die Aufgabe hat reelle Lösungen, wenn die Geraden  $u$ ,  $u'$ ,  $v$ ,  $v'$  reell sind. Es müssen also  $g$  und  $h$  die Strecke  $AB$  (und ebenso  $AC$ ) entweder gleichzeitig schneiden oder gleichzeitig nicht schneiden.

Aus diesen Betrachtungen findet man mit Hilfe des Prinzipes der Dualität auch die Lösung der dualen Aufgabe: Die vier Kegelschnitte zu zeichnen, die durch zwei gegebene Punkte  $G$  und  $H$  gehen und drei gegebene Gerade  $a$ ,  $b$  und  $c$  berühren.

**412.** Zwei beliebige Kegelschnitte  $k$  und  $k_1$  befinden sich stets in perspektiver Lage und zwar, wenn ihre gemeinsamen Punkte und Tangenten sämtlich reell sind, auf zwölf Arten, in jedem andern Falle auf vier Arten. Als Centrum der Perspektive kann der Schnittpunkt je zweier gemeinsamer Tangenten, als Achse jede gemeinsame Sehne dienen. Den beiden Perspektivitätscentren, die auf einer Seite des den Kegelschnittengemeinsamen Polardreiecks liegen, kann als Achse jede der beiden gemeinsamen Sehnen durch die gegenüberliegende Ecke des Polardreiecks zugeteilt werden.

Besteht zwischen  $k$  und  $k_1$  eine perspektive Beziehung, so ordnet sie einem jeden Punkt und seiner Polare in Bezug auf  $k$  wieder einen Punkt und dessen Polare in Bezug auf  $k_1$  zu; sie führt also harmonische Pole oder Polaren von  $k$  in harmonische Pole oder Polaren von  $k_1$  über. Im Centrum  $O$  der Perspektive entspricht jeder Strahl sich selbst; je zwei Strahlen durch  $O$ , welche harmonische Polaren von  $k$  sind, sind deshalb auch harmonische Polaren von  $k_1$ .  $O$  ist somit Scheitel einer Strahleninvolution, deren Strahlenpaare gemeinsame harmonische Polaren und deren Doppelstrahlen gemeinsame (reelle oder konjugiert imaginäre) Tangenten von  $k$  und  $k_1$  sind. Auf der Achse  $a$  der Perspektive entspricht jeder Punkt sich selbst; je zwei auf ihr liegende harmonische Pole von  $k$  sind zugleich harmonische Pole von  $k_1$ . Somit ist  $a$  Träger einer Involution gemeinsamer harmonischer



Pole von  $k$  und  $k_1$  und ihre Doppelpunkte gehören beiden Kegelschnitten an.

Nun liegt  $O$  auf einer Seite des gemeinsamen Polardreiecks  $LMN$  von  $k$  und  $k_1$ , etwa auf  $m = LN$  (vergl. 398) (Fig. 265). Die

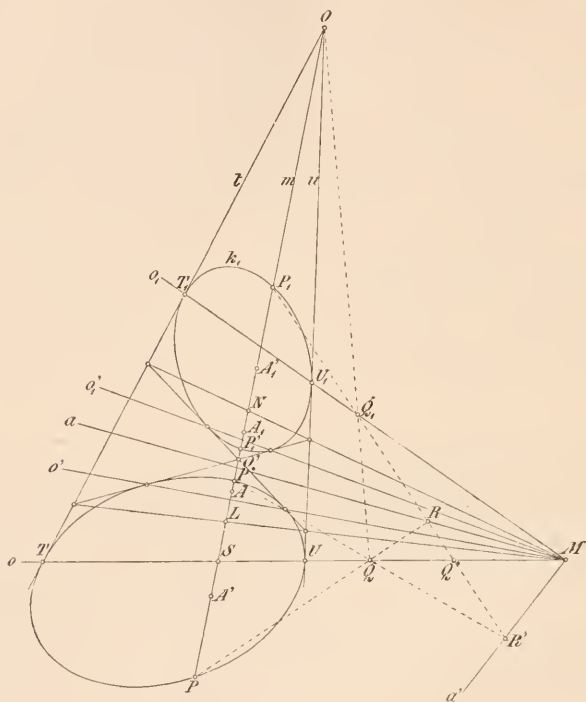


Fig. 265.

Polaren  $o$  und  $o_1$  von  $O$  in Bezug auf  $k$  resp.  $k_1$  müssen sich auf der Achse  $a$  schneiden; andererseits ist  $o \times o_1$  der gemeinsame harmonische Pol zu  $O$ , diese Eigenschaft kommt aber dem Punkt  $M$  zu; es geht also  $a$  durch  $M$ .

Die Perspektive, welche  $O$  zum Centrum und  $a$  zur Achse hat, und die Gerade  $o$  in die Gerade  $o_1$  überführt, verwandelt nun in der That den Kegelschnitt  $k$  in den Kegelschnitt  $k_1$ . Denn es entspricht hierbei dem Kegelschnitt  $k$  ein neuer Kegelschnitt  $k'$ ; dieser hat mit  $k_1$  die beiden (reellen oder konjugiert imaginären) Punkte auf  $a$  gemein, ferner die beiden (reellen oder konjugiert imaginären) Tangenten aus  $O$  und deren Berührungspunkte auf  $o_1$ , so daß  $k'$  mit  $k_1$  identisch ist. In der Figur sind auf  $m$  die beiden Centren  $O$

und  $O'$  angegeben und durch  $M$  die beiden Achsen  $a$  und  $a'$ ; jedes Centrum bestimmt mit jeder Achse eine perspektive Beziehung zwischen  $k$  und  $k_1$ . So ergeben sich vier perspektive Beziehungen, indem man die Ecke  $M$  und die Seite  $m$  des Polardreiecks zu Grunde legt; in gleicher Weise ergeben sich acht weitere. Beachtet man die Resultate in 401, so erkennt man unmittelbar, daß von den Perspektiven zwischen  $k$  und  $k_1$  stets vier reell sind und es sogar zwölf reelle Perspektiven zwischen  $k$  und  $k_1$  giebt, wenn ihre gemeinsamen Punkte und Tangenten alle reell sind.

Sind  $u$  und  $t$  die gemeinsamen Tangenten aus  $O$ , so sind  $U = u \times o$ ,  $T = t \times o$  und  $U_1 = u \times o_1$ ,  $T_1 = t \times o_1$  ihre Berührungspunkte mit  $k$  resp.  $k_1$ . Nun sind  $U$  und  $U_1$  harmonische Pole in Bezug auf beide Kegelschnitte, denn die Polaren von  $U$  gehen beide durch  $U_1$ ; nach 396 liegen also  $o$  und  $o_1$  harmonisch zu  $a$  und  $a'$ .

Die Achsen  $a$  und  $a'$  der genannten Perspektiven liegen harmonisch sowohl zu den Polaren  $o$  und  $o_1$  des Centrums  $O$ , als auch zu den Polaren  $o'$  und  $o'_1$  des Centrums  $O'$ . Ebenso liegen die Centren  $O$  und  $O'$  harmonisch sowohl zu den Polen  $A$  und  $A_1$  der Achse  $a$ , als auch zu den Polen  $A'$  und  $A'_1$  der Achse  $a'$ .

In der Figur ist noch der Zusammenhang zwischen  $O$  und  $a$  resp.  $a_1$  angedeutet. Sind  $P$  und  $P_1$  entsprechende Punkte von  $k$  und  $k_1$  und ebenso  $Q$  und  $Q_1$  entsprechende Punkte von  $o$  und  $o_1$ , so liegt  $R = PQ \times P_1Q_1$  auf  $a$ . In gleicher Weise liegt  $R' = P'Q \times P'_1Q'_1$  auf  $a'$ .

## SECHSTES KAPITEL.

### Ebene Kurven und Raumkurven.

#### Begriff des Unendlichkleinen in der Geometrie.

**413.** Die bisherigen Untersuchungen boten uns bereits an einzelnen Stellen Anlaß, von geometrischen Größen zu sprechen, die man sich unbeschränkt wachsend vorstellt, so daß sie größer als jede angebbare Größe, d. h. „unendlich groß“ werden. Bei dem Studium der Kurven und krummen Flächen ist es unumgänglich, auch solche Größen einzuführen, die unbeschränkt abnehmen,

so daß sie kleiner als jede angebbare Größe oder „unendlich klein“ werden. Die nähere Untersuchung der Begriffe des Unendlichkleinen und Unendlichgroßen gehört freilich in die Analysis (Infinitesimalrechnung); indessen mögen hier namentlich über den ersteren Begriff einige Bemerkungen seiner geometrischen Anwendung vorausgeschickt werden.

Die genannten Begriffe knüpfen sich an die Voraussetzung einer stetigen Veränderlichkeit der zu betrachtenden Größen. — Läßt sich von einer unveränderlichen (konstanten) Größe zeigen, daß sie kleiner als jede angebbare Größe ist, so ist sie gleich Null. Ist sie aber der Veränderung fähig und wird sie stetig kleiner als jede angebbare Größe, so darf man sie unendlich klein nennen. Zwischen „Null“ und „unendlich klein“ besteht demnach ein begrifflicher Unterschied.

Wenn wir gegebene Größen vergleichen, so sagen wir, daß sie in einem Verhältnis stehen. Kann dieses Verhältnis durch eine rationale Zahl angegeben werden, so heißen die verglichenen Größen kommensurabel, andernfalls inkommensurabel. In letzterem Falle begnügt man sich mit der Angabe zweier rationaler Zahlen als Grenzen, zwischen denen der Wert des Verhältnisses liegt; man hat aber, um letzteren als eine bestimmte irrationale Zahl ansehen zu dürfen, nachzuweisen, daß sich die Differenz der Grenzen so klein machen läßt, als man will. — Setzt man an die Stelle des wirklichen Verhältnisses eine der beiden Grenzen, so begeht man einen Fehler, der aber jedenfalls nicht größer ist als jene Differenz und der folglich mit ihr beliebig klein wird.

Wird das Verhältnis einer variablen Größe zu einer gegebenen endlichen Größe kleiner (oder größer) als jede angebbare Zahl, so wird sie selbst unendlich klein (oder unendlich groß).

**414.** Veränderliche und insbesondere verschwindende Größen können nun untereinander ebenso wie gegebene Größen verglichen werden, wenn zwischen ihnen ein irgendwie, etwa geometrisch, definierbarer fester Zusammenhang besteht. So wird z. B. die Diagonale eines Quadrates zu seiner Seite immer das Verhältnis  $\sqrt{2}$  behalten, auch wenn beide Strecken mit dem Quadrate selbst unendlich klein werden.

Stehen jetzt die Veränderungen mehrerer Größen in einem gegebenen Zusammenhange, so unterscheidet man unabhängige Größen und abhängige („Funktionen“). Oft hat man nur eine unabhängige Variable, deren Wert nach Willkür geändert werden

darf, woraus sich dann die Veränderungen der abhängigen Größen ergeben; doch können auch mehrere unabhängig sein. Bei der Vergleichung variabler Größen untereinander wählt man aber stets eine, und zwar unabhängige Größe als Maßstab für die übrigen, und dies gilt auch dann noch, wenn die Größen zusammen verschwinden. Man nennt dann diese eine Größe unendlich klein von der 1. Ordnung; die anderen können von verschiedener Ordnung unendlich klein sein. Hierüber aber wird nach folgendem Grundsatz entschieden: Stehen zwei verschwindende Größen in einem endlichen Verhältnis, so heißen sie von derselben Ordnung unendlich klein. Größen heißen unendlich klein von der 1., 2., ...  $m$ . Ordnung, wenn sie zu der 1., 2., ...  $m$ . Potenz einer unendlich kleinen Größe 1. Ordnung in einem endlichen Verhältnis stehen. Die Ordnungszahl  $m$  kann auch gebrochen, ja sogar irrational sein. Letzteres kommt für unsere Untersuchungen nicht in Betracht und auch die gebrochenen Ordnungszahlen lassen sich meist durch geeignete Wahl der unabhängig veränderlichen Größe vermeiden.

Was von den unendlich kleinen Größen gesagt wurde, läßt sich unmittelbar auf die ins Unendliche wachsenden Größen übertragen.

**415.** Setzen sich Größen verschiedener Ordnungen in endlicher Anzahl zu einer Summe zusammen, so kommen unendlich kleine Größen gegenüber etwa vorhandenen endlichen Größen nicht in Betracht; ebenso sind unendlich kleine Größen höherer Ordnung, denen niederer Ordnung gegenüber wegzulassen. Denn der Fehler, den man bei ihrer Unterdrückung scheinbar begeht, ist im Verhältnis zum Resultate selbst unendlich klein. In einer Gleichung zwischen unendlich kleinen Größen sind also auf beiden Seiten nur die Glieder beizubehalten, welche von ein und derselben niedersten Ordnung sind. Waren bei der Ableitung der Gleichung Glieder verschiedener Ordnung aufgetreten, so sind die der höheren Ordnungen zu beseitigen.

Bei dem Gebrauche unendlich kleiner Größen nimmt man stets die Ermittlung bestimmter Werte zum Ziele und zwar geschieht dies in doppelter Weise. Einmal kann eine bestimmte Größe als Grenzwert des Verhältnisses zweier unendlich kleiner Größen auftreten, das will sagen als derjenige Wert, den der Quotient zweier veränderlicher Größen annimmt, wenn die eine und damit zugleich die andere, von ihr abhängige, verschwindet. Dem entspricht in der Analysis der Begriff des „Differentialquotienten einer Funktion“. — Zum andern erhält man den Wert einer endlichen, aber nicht direkt meßbaren Größe, wenn man sie in sehr

viele, sehr kleine Teile — sogenannte Elemente — zerlegt, diese mißt und sie hierauf wieder zusammenfügt. Streng genommen müßte man sich dann die Teilung unbeschränkt fortgesetzt denken, so daß jedes Element unendlich klein, gleichzeitig aber die Anzahl der Elemente unendlich groß wird, und thatsächlich zeigt die Analysis, wie unter dieser Annahme die gesuchte Größe als Grenzwert einer Summe von unendlich vielen, unendlich kleinen Größen, nämlich durch ein „bestimmtes Integral“ berechnet werden kann. Die konstruierende Geometrie begnügt sich in einem solchen Falle mit einer angenäherten Bestimmung, indem sie die Anzahl der Teile zwar endlich, aber doch so groß annimmt, daß alle die einzelnen kleinen Elemente nach demselben Verfahren gemessen, womöglich sogar als einander gleich angesehen werden dürfen, und zugleich der Unterschied zwischen der gesuchten Größe und der Summe aller jener Elemente nachweislich genügend klein ausfällt. — So liegt z. B. der Umfang eines Kreises zwischen den Perimetern eines ihm ein- und eines ihm umgeschriebenen  $n$ -Ecks und wird daher durch einen dieser Werte mit jedem gewünschten Grade der Genauigkeit dargestellt, wenn man nur die Seitenzahl  $n$  groß genug nimmt (vergl. 445).

**416.** Zum besseren Verständnis des Gesagten mögen sogleich einige, weiterhin verwendbare Beispiele für den Zusammenhang unendlich kleiner Größen verschiedener Ordnung untereinander hier mitgeteilt werden.

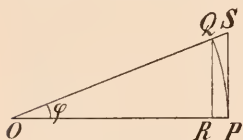


Fig. 266.

Nimmt man das Verhältnis eines Kreisbogens zu seinem Radius als Maß des zugehörigen Centriwinkels und setzt in Fig. 266 den Radius  $OP$  einer Längeneinheit gleich, so ist der Bogen  $PQ = \varphi$  das Maß des Winkels

bei  $O$ , der spitz angenommen sein mag. Zieht man nun  $QR$  und  $PS$  senkrecht zu  $OP$ , so wird:

$$OR = \cos \varphi, \quad RQ = \sin \varphi, \quad PS = \tan \varphi.$$

Die Flächen des Dreiecks  $ORQ$ , des Kreissektors  $OPQ$  und des Dreiecks  $OPS$  sind resp. durch die Ausdrücke  $\frac{1}{2} \cos \varphi \sin \varphi$ ,  $\frac{1}{2} \varphi$ ,  $\frac{1}{2} \tan \varphi$  gegeben, und da ersichtlich die erste kleiner als die zweite, diese aber kleiner als die dritte ist, so folgt:

$$\cos \varphi \cdot \sin \varphi < \varphi < \tan \varphi.$$

Dividiert man diese Relation mit der positiven Größe  $\sin \varphi$ , so gilt:

$$\cos \varphi < \frac{\varphi}{\sin \varphi} < \frac{1}{\cos \varphi},$$



oder auch für die reziproken Werte:

$$\frac{1}{\cos \varphi} > \frac{\sin \varphi}{\varphi} > \cos \varphi.$$

Wird jetzt  $\varphi$  unendlich klein, so geht  $OR$  in  $OP$ , also  $\cos \varphi$  (sowie  $\frac{1}{\cos \varphi}$ ) in 1 über und es folgt, daß das Verhältnis  $\frac{\sin \varphi}{\varphi}$  und ebenso  $\frac{\tan \varphi}{\varphi}$  dem Grenzwerte 1 zustreben; das will sagen:

Der Sinus und die Tangente eines Winkels werden mit diesem selbst von der gleichen Ordnung unendlich klein, während sein Cosinus gleich Eins wird.

**417.** Wird also in einem rechtwinkligen Dreieck  $PQR$  (Fig. 267) der Winkel  $\varepsilon$  bei  $Q$  unendlich klein 1. Ordnung, während die Hypotenuse  $QR$  endlich bleibt, so bleibt die dem Winkel  $\varepsilon$  anliegende Kathete  $QP$  endlich, während die gegenüberliegende  $PR$  unendlich klein 1. Ordnung ausfällt. — Macht man auf der Hypotenuse  $QS = QP$ , so ist  $\angle RPS = \frac{1}{2}\varepsilon$  wiederum unendlich klein 1. Ordnung, also  $SR = QR - QP$  unendlich klein 2. Ordnung. — Wird auch noch die Seite  $QR$  unendlich klein 1. Ordnung, so folgt, daß nun  $PR$  von der 2. und  $SR = QR - QP$  von der 3. Ordnung unendlich klein wird. — Allgemeiner darf man sagen: Wird  $\varepsilon$  von der  $m$ . Ordnung,  $QR$  von der  $n$ . Ordnung unendlich klein, so werden  $QP$  von der  $n$ . Ordnung,  $PR$  und  $PS$  von der  $(m + n)$ . Ordnung,  $\angle RPS$  von der  $m$ . Ordnung und  $SR = QR - QP$  von der  $(2m + n)$ . Ordnung unendlich klein.

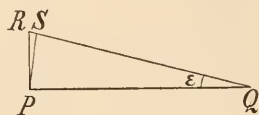


Fig. 267.

**418.** Zwei Ebenen  $E$  und  $\Delta$  mögen sich in der Geraden  $t$  schneiden (Fig. 268). Durch einen Punkt  $Q$  von  $t$  ziehen wir eine Gerade  $u$  in der Ebene  $\Delta$  und wählen auf  $u$  einen Punkt  $R$ ; seine senkrechten Projektionen auf  $t$  resp.  $E$  seien  $P$  und  $U$ . Der Winkel der beiden Ebenen ist dann  $\eta = \angle RPU$ , der der beiden Geraden ist  $\varepsilon = \angle PQR$  und  $\delta = \angle RQU$  ist der Neigungswinkel von  $u$  gegen  $E$ . — Werden nun die Strecke  $QR$  und die Winkel  $\eta$  und  $\varepsilon$  unendlich klein 1. Ordnung, so wird  $QP = QR \cdot \cos \varepsilon$  von der 1. Ordnung,  $RP = QR \cdot \sin \varepsilon$  von der 2. Ordnung und folglich  $RU = RP \cdot \sin \eta$  von der dritten Ordnung

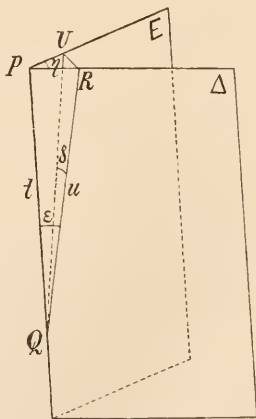


Fig. 268.

unendlich klein; da aber andererseits  $RU = QR \cdot \sin \delta$  ist, so müssen  $\sin \delta$  und  $\delta$  von der 2. Ordnung unendlich klein sein. Die Differenz  $QR - QP$  ist von der 3. Ordnung und die Differenz  $QR - QU$  von der 5. Ordnung unendlich klein, wie man mit Hilfe des vorigen Beispiels sofort erkennt.

### Erzeugung ebener Kurven.

**419.** Eine ebene Kurve kann man sich in doppelter Weise entstanden denken, einmal durch Bewegung eines Punktes, zum andern durch Bewegung einer Geraden. Wir wollen zunächst die ebene Kurve als die Bahn eines bewegten Punktes auffassen. Zwei unmittelbar aufeinanderfolgende Lagen des bewegten Punktes sollen als benachbarte, konsekutive oder Nachbarpunkte der Kurve bezeichnet werden, wobei der Abstand benachbarter Punkte als unendlich klein zu denken ist. Zwei Nachbarpunkte begrenzen einen unendlich kleinen Teil der Kurve, ein Kurvenelement. Eine Kurve heißt in einem Punkte stetig, wenn es zu diesem nach beiden Seiten Nachbarpunkte giebt, unstetig dagegen, wenn er ein freies Ende bildet. Wir betrachten nur stetige Kurven.

Eine Gerade, die zwei Kurvenpunkte  $A$  und  $B$  miteinander verbindet, heißt Sekante, die Strecke  $AB$  selbst heißt Sehne. Hält man den Punkt  $A$  fest, während man den Punkt  $B$  auf der Kurve bewegt und sich dem Punkte  $A$  unbegrenzt nähern läßt, so wird sich auch die Sekante  $AB$  stetig um ihren Endpunkt  $A$  drehen und sich schließlich einer bestimmten Geraden  $t$  durch  $A$

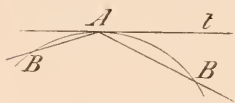


Fig. 269.

unbegrenzt nähern. Diese Gerade  $t$  heißt die Tangente der Kurve im Punkte  $A$ ; der Winkel, den Tangente und Sekante miteinander einschließen, wird beim Grenzübergang zugleich mit der Strecke  $AB$  unendlich

klein. Wenn es gleichgültig ist, von welcher Seite der Punkt  $B$  sich dem Punkte  $A$  unbegrenzt nähert, und man dabei die nämliche Grenzlage  $t$  erhält, so sagt man: die Kurve sei im Punkte  $A$  stetig in Bezug auf ihre Tangente. In Punkten, wo man zu zwei Grenzlagen gelangt, je nachdem sich  $B$  von der einen oder andern Seite dem Punkte  $A$  nähert, bildet die Kurve eine Ecke und heißt dort unstetig in Bezug auf ihre Tangente. Solche Fälle schließen wir hier zunächst aus. Eine Tangente hat mit der Kurve zwei benachbarte Punkte, also ein Kurvenelement gemein.

**420.** Durch Bewegung einer Geraden in einer Ebene entsteht ebenfalls eine Kurve, nämlich als Hüllkurve aufeinanderfolgender Lagen der Geraden, ihrer Tangenten. Zwei unmittelbar auf einanderfolgende Lagen der bewegten Geraden liefern benachbarte oder konsekutive Tangenten, deren Winkel unendlich klein ist und als Kontingenzwinkel bezeichnet wird. Diese Erzeugungsweise einer Kurve ist zu der erstgenannten dual und nach den Prinzipien der Dualität (vergl. 343) können wir aus den obigen Resultaten die folgenden ableiten. Betrachten wir eine feste Tangente  $t$  unserer Hüllkurve und eine bewegliche, die sich jener unbegrenzt nähert, so bestimmt diese auf  $t$  eine Punktreihe, deren Punkte sich bei der Bewegung einer bestimmten Grenzlage  $A$  unbegrenzt nähern:  $A$  repräsentiert eben den Berührungspunkt von  $t$ . Die Kurvenpunkte sind als Schnittpunkte benachbarter Tangenten aufzufassen.



Fig. 270.

Im Vergleich mit den Endpunkten endlicher Strecken und den Schenkeln meßbarer Winkel sind zwei unendlich nahe Punkte oder zwei Gerade mit unendlich kleinem Winkel als zusammenfallend und nicht verschieden anzusehen. Nur bei dem Grenzprozeß, wenn die gegen Null abnehmende Strecke oder der gegen Null abnehmende Winkel mit andern davon abhängigen Größen verglichen wird, muß auf diese unendlich kleinen Größen Rücksicht genommen werden.

**421.** Bildet man die Punkte und Tangenten einer ebenen Kurve durch Parallel- oder Centralprojektion ab, so erhält man Punkte und Tangenten einer neuen Kurve, der Projektion der ersteren. Es ist nach den vorausgegangenen Definitionen unmittelbar klar, daß die Stetigkeit einer Kurve eine projektive Eigenschaft ist, d. h. daß sie sich bei beliebiger Projektion nicht ändert. Nur für unendlich ferne Punkte einer Kurve bedarf dies noch der Erläuterung. Projiziert man einen Kurvenpunkt  $Q$  unendlich fern, so verlaufen die Projektionen der beiden Kurvenstücke, die in ihm zusammenstoßen, ins Unendliche. Läßt man einen Punkt auf dem einen oder andern unbegrenzten Kurvenast sich nach dem Unendlichen hinbewegen, so nähert sich die zugehörige Tangente in beiden Fällen der nämlichen Grenzlage, die als Asymptote bezeichnet wird und die Tangente in dem gemeinsamen unendlich fernen Punkte der beiden Kurvenäste darstellt. Sie ist eben die Projektion der Tangente in dem Punkte  $Q$  der ursprünglichen Kurve, dessen Projektion ins Unendliche fällt. Da die Teile der ursprünglichen Kurve

in  $Q$  zusammenhängen, so sagt man auch von zwei unendlichen Ästen mit der gleichen Asymptote, daß sie im Unendlichen zusammenhängen. Liegt die Kurve in der Nähe des Punktes  $Q$  ganz auf einer Seite der Tangente, wie z. B. beim Kreise, so liegen die unendlichen Äste der Projektion auf verschiedenen Seiten ihrer Asymptote, wie z. B. bei der Hyperbel.

**422.** Wir betrachten jetzt gleichzeitig die beiderlei Erzeugungsweisen einer ebenen Kurve, indem wir einen Punkt mit seiner zugehörigen Tangente ins Auge fassen. Geht der Punkt in eine Nachbarlage über, so schreitet er auf seiner Tangente fort und die benachbarte Tangente entsteht aus der anfänglichen durch Drehung um ihren Berührungspunkt. Auf diese Weise rollt die Tangente auf der Kurve ohne zu gleiten, indem sie sich nur um ihren jeweiligen Berührungspunkt dreht. Das Fortschreiten des Berührungspunktes auf der Tangente kann aber in zweierlei Richtung erfolgen, ebenso kann die Drehung der Tangente um ihren Berührungspunkt in zweierlei Drehsinn stattfinden. Passiert nun der bewegliche Punkt einen festen Punkt  $P$  der Kurve und zugleich die bewegliche Tangente eine feste Tangente  $t$ , so kann jede der beiden Bewegungen von der andern unabhängig ihren Sinn beibehalten oder umkehren. Entweder bleiben Fortschreitungsinn und Drehsinn beim Passieren von  $P$  ungeändert, dann ist  $P$  ein gewöhnlicher Kurvenpunkt, oder der Drehsinn ändert sich allein, dann ist  $P$  ein Wendepunkt, oder der Fortschreitungsinn allein ändert sich, dann ist  $P$  ein Rückkehrpunkt, eine Spitze, oder endlich beide ändern sich gleichzeitig, dann bildet  $P$  eine Schnabelspitze (vergl. Fig. 294).

Zu diesen besonderen oder singulären Punkten der Kurve gesellt sich noch der Doppelpunkt; es ist ein Punkt, in dem die Kurve sich selbst durchschneidet. Im Doppelpunkt giebt es zwei Tangenten, nämlich an jeden Kurvenast durch ihn eine. Durch das



Fig. 271.

Gesetz der Dualität gelangt man von den Doppelpunkten zu den Doppeltangenten, diese besitzen zwei Berührungspunkte (Fig. 271). Rückkehrpunkte und Wendepunkte entsprechen sich nach dem Gesetz der Dualität gegen-

seitig, während die Schnabelspitze sich selbst entspricht. Durch Vereinigung mehrerer solcher singulärer Punkte können höhere Singularitäten entstehen, so die Selbstberührungspunkte, die vielfachen Punkte u. s. w.; die aufgezählten Vorkommnisse werden indes für unsere weiteren Untersuchungen genügen.<sup>13)</sup>

Es ist hier noch darauf hinzuweisen, daß auch gelegentlich einzelne Punkte — die keinem Kurvenast angehören — einer Kurve zuzurechnen sind, indem sie dem nämlichen Gesetze entsprechen wie die übrigen Kurvenpunkte. Solche Punkte heißen isolierte Punkte und sind als Doppelpunkte aufzufassen, durch die indes keine reellen Tangenten gehen.

### Konstruktion von Tangenten und Normalen.

**423.** In vielen Fällen lassen sich direkt aus der geometrischen Definition einer Kurve beliebig viele Punkte derselben und in ihnen die Tangenten konstruieren. Mittels dieser Punkte und Tangenten oder auch der Punkte allein kann dann die Kurve mit ziemlicher Genauigkeit gezeichnet werden, wenn sie in den Punkten und Tangenten stetig ist, und nur mit solchen Kurven werden wir es zu thun haben. Durch Übung erlangt man ein so empfindliches Gefühl für den stetigen Verlauf einer Kurve, daß man sich schon mit verhältnismäßig wenigen Punkten begnügen kann und gleichwohl eine genaue Zeichnung der Kurve gewinnt. Dabei ist zu bemerken, daß man gut thut, dort wo die Kurve schärfer gekrümmt ist, mehr Punkte zu bestimmen als wo sie nur wenig gekrümmt ist. Da die Bestimmung einzelner Kurvenpunkte immer mit geringen Fehlern behaftet ist, so kann es, wenn zu viele Punkte bestimmt sind, vorkommen, daß eine durch diese Punkte gezogene Kurve eine fehlerhafte wellige Form annimmt; die Kurve muß dann so gezeichnet werden, daß sie einen richtigen Eindruck macht, wobei die bestimmten Punkte teils auf der Kurve, teils rechts und links in kleinen Abständen — den Fehlern entsprechend — liegen müssen. Im allgemeinen ist es zweckmäßig, außer Punkten auch einige Tangenten, und wo es leicht ausführbar ist, Krümmungskreise aufzusuchen.

**424.** Liegt nun eine Kurve gezeichnet vor, so läßt sich die Aufgabe lösen, von einem Punkte  $A$  an dieselbe die Tangente  $t$  zu legen und deren Berührungspunkt  $B$  zu bestimmen (Fig. 272).

Die Tangente zieht man direkt durch Anlegen des Lineals, was sich leicht mit großer Schärfe ausführen läßt. Dagegen wird ihr Berührungspunkt  $B$  ungenau; durch Bestimmung

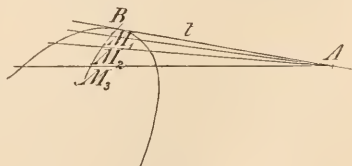


Fig. 272.

einer durch ihn verlaufenden sogenannten Fehlerkurve kann er indessen mit ziemlicher Genauigkeit gefunden werden. Zieht man



nämlich durch  $A$  mehrere Sehnen — gewöhnlich zwei oder drei — die der Tangente ziemlich nahe liegen, so liegen ihre Mittelpunkte auf einer Kurve, die verlängert offenbar durch den gesuchten Berührungspunkt  $B$  verlaufen muß. Denn die Sehnen durch  $A$  kann man, wenn sie der Tangente sehr nahe kommen, als fehlerhafte Tangenten auffassen; ihre Mittelpunkte  $M_1, M_2, \dots$  aber nähern sich dem Berührungspunkte  $B$ , da die wirkliche Tangente eine unendlich kleine Sehne und ihr Mittelpunkt den Berührungspunkt bildet. Die der Tangente am nächsten liegende Sehne muß so gewählt werden, daß sie noch brauchbare Schnittpunkte mit der Kurve bildet, aber sich doch nicht zu weit von der Tangente entfernt.

Liegt der Punkt  $A$  unendlich fern, d. h. soll  $t$  eine vorgeschriebene Richtung aufweisen, so verfährt man ganz wie vorher, nur werden dann die benutzten Sehnen parallel. Man kann auch andere Fehlerkurven benutzen, doch darf man sich auf die angegebene als die einfachste beschränken, da sie nicht weniger genau als andere ist.

Fällt der gesuchte Punkt  $B$  in die Nähe eines Wendepunktes der Kurve, so ist die Konstruktion nicht mehr direkt anwendbar, weil die Strahlen aus  $A$  die Kurve in der Umgebung des Wendepunktes nur in je einem Punkte schneiden. Man zieht dann durch  $A$  zwei Paar Strahlen, symmetrisch in Bezug auf eine der Wendetangente nahe kommende Linie, und bestimmt die zu ihren Schnittpunkten mit der Kurve symmetrischen Punkte. Jetzt liegen wieder auf jedem Strahl zwei Punkte und die Mittelpunkte ihrer Strecken ergeben die Fehlerkurve.

Es mag bemerkt werden, daß die Fehlerkurve bei einem Kreise wieder ein Kreis, bei einem Kegelschnitt wieder ein Kegelschnitt ist.

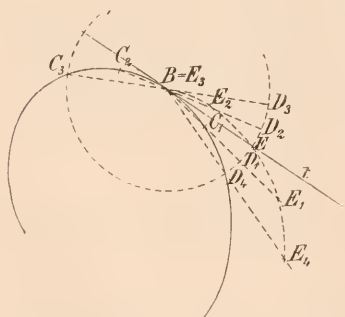


Fig. 273.

**425.** In einem Punkt  $B$  einer Kurve, die gezeichnet vorliegt, die Tangente zu ziehen (Fig. 273).

Um  $B$  als Mittelpunkt beschreibe man einen Kreis und lege verschiedene Gerade durch  $B$ . Auf diesen schneidet die gegebene Kurve die Sehnen  $BC_1, BC_2, \dots$  aus, während der Kreis auf ihnen die Radien  $BD_1, BD_2, \dots$  bestimmt, die von  $B$  aus nach derselben Seite liegen. Verschiebt man nun auf diesen Geraden die Sehnen  $BC_1, BC_2, \dots$  bis ihr Endpunkt  $B$  nach  $D_1, D_2, \dots$  fällt, so definieren ihre andern

schneidet man nun auf diesen Geraden die Sehnen  $BC_1, BC_2, \dots$  bis ihr Endpunkt  $B$  nach  $D_1, D_2, \dots$  fällt, so definieren ihre andern

Endpunkte, die in  $E_1, E_2 \dots$  liegen, eine Fehlerkurve. Auf jedem Strahl durch  $B$  ist nun die Strecke zwischen Kreis und Fehlerkurve gleich der Länge der bezüglichen Sehne, also geht die gesuchte Tangente  $t$  durch den Schnittpunkt  $E$  von Kreis und Fehlerkurve. Schneidet der Kreis die gegebene Kurve in  $C_3$  und  $C_4$ , so fällt  $E_3$  mit  $B$  zusammen und es ist  $BD_4 = D_4E_4$ ; die Fehlerkurve berührt also die Gerade  $BC_3$  im Punkte  $B$ . Außer den Strahlen  $BC_3$  und  $BD_4$  wird man noch zwei weitere  $BC_1$  und  $BC_2$  benutzen, für welche  $BC_1 = BC_2$  nahezu dem halben Kreisradius gleich ist.

Statt des Hilfskreises kann man auch jede andere Hilfskurve wählen, z. B. mit Vorteil eine Gerade, die mit der gesuchten Tangente nahezu einen rechten Winkel einschließt.

**426.** Ein anderes zweckmäßiges Verfahren besteht darin, daß man um  $B$  Kreise schlägt, die auf der gegebenen Kurve Punktepaare  $C_1D_1, C_2D_2 \dots$  ausschneiden (Fig. 274). Die Geraden  $C_1D_1, C_2D_2 \dots$  umhüllen dann eine Kurve, die auch von der gesuchten

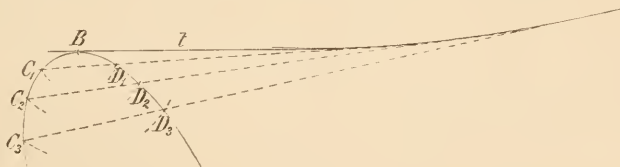


Fig. 274.

Tangente berührt werden muß. Denn die letztere ergibt sich durch Benutzung eines Kreises mit unendlich kleinem Radius. Es sind mindestens drei Hilfskreise zu benutzen; durch die bezüglichen drei Geraden als Tangenten wird dann angenähert ein Kurvenstück bestimmt, mit dessen Hilfe die gesuchte Tangente sich zeichnen läßt. Die durch die Hilfskreise bestimmten Geraden schneiden sich zwar unter sehr spitzen Winkeln, so daß ihre Schnittpunkte nicht sehr genau werden; das hat indessen wenig Einfluß auf die Genauigkeit des Resultates.

Da die Normale in einem Punkte einer Kurve diejenige Gerade ist, die auf der bezüglichen Tangente senkrecht steht, so kann nach dem Vorausgehenden mit Hilfe der Tangente die Normale in einem gegebenen Kurvenpunkte bezeichnet werden. Dagegen bedarf die folgende Aufgabe noch der Erwägung.

**427.** Von einem Punkte  $A$  außerhalb einer in Zeichnung vorliegenden Kurve an dieselbe eine Normale zu ziehen.

Man ziehe (Fig. 275) um  $A$  als Mittelpunkt mehrere Kreise mit zunehmenden Radien, von denen der größte die gegebene Kurve in zwei nahe bei einander liegenden Punkten  $C_1D_1$  schneidet. Auch die übrigen Kreise schneiden Punktepaare  $C_2D_2, \dots$  aus und die Mittelpunkte der Sehnen  $C_1D_1, C_2D_2, \dots$  bilden eine Fehlerkurve, die die gegebene Kurve in dem Fußpunkt  $B$  der gesuchten Normalen



Fig. 275.

schneiden muß. Da nämlich die Fehlerkurve der Ort der Mittelpunkte aller Sehnen ist, die durch die Kreise um den Mittelpunkt  $A$  bestimmt werden, so muß der Kreis durch  $B$  die Kurve in  $B$  berühren, sein Radius  $AB$  steht also auf der Kreistangente in  $B$ , die zugleich Kurventangente ist, senkrecht. Man muß mindestens drei Hilfskreise anwenden.

**428.** Die Konstruktion der Punkte einer ebenen Kurve kommt stets darauf hinaus, daß jeder solche Kurvenpunkt als Schnittpunkt zweier Hilfskurven erscheint, und zwar sind diese Hilfskurven in sehr vielen Fällen Gerade oder Kreise. Es läßt sich nun eine genaue Tangentenkonstruktion bei einer ebenen Kurve auf die zur Bestimmung ihrer Punkte verwendeten Hilfskurven gründen.<sup>14)</sup>

Seien  $P_1$  und  $P_2$  zwei Punkte unserer Kurve  $c$  (Fig. 276), seien ferner  $k_1, l_1$  die Hilfskurven durch  $P_1$  und  $k_2, l_2$  diejenigen durch  $P_2$ , und zwar derart, daß bei einem stetigen Übergange von  $P_2$  in  $P_1$  die Kurven  $k_2, l_2$  resp. in  $k_1, l_1$  stetig übergehen. Dann betrachten wir das Viereck  $P_1MP_2N$  (wo  $M = k_1 \times l_2$  und  $N = k_2 \times l_1$ ), dessen Seiten von Stücken der Kurven  $k_1, k_2, l_1, l_2$  gebildet werden. Wählen wir nun den Punkt  $P_2$  unendlich nahe bei  $P_1$ , so wird das genannte Viereck unendlich klein; wir können dann seine Seiten als geradlinig ansehen und seine Diagonale  $P_1P_2$  fällt offenbar mit der Tangente  $t$  von  $c$  im Punkte  $P_1$  zusammen. Ferner werden die Kurven  $k_1, k_2$  — und ganz ebenso die Kurven  $l_1, l_2$  — in ihrer ganzen Erstreckung nur unendlich wenig voneinander abweichen, deshalb dürfen wir

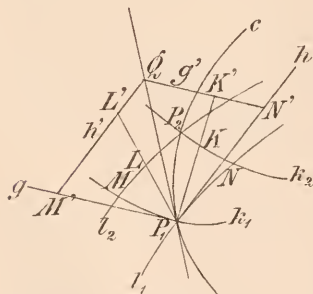


Fig. 276.

(nach 420)  $P_1M$  und  $P_2N$  und analog  $P_1N$  und  $P_2M$  als parallel ansehen; denn die Neigungswinkel der Gegenseiten sind unendlich klein. Das

Viereck  $P_1MP_2N$  wird also beim Übergang zur Grenze ein Parallelogramm, von dessen Seiten zwei in die Tangenten  $g$  und  $h$  der Kurven  $k_1$  und  $l_1$  im Punkte  $P_1$  fallen. Denken wir uns nun auf der gesuchten Tangente  $t$  einen beliebigen Punkt  $Q$  und durch ihn Parallelen zu  $g$  und  $h$ , so entsteht ein Parallelogramm  $P_1M'QN'$ , das zu dem unendlich kleinen Parallelogramm  $P_1MP_2N$  ähnlich sein und ähnlich liegen muß. Kann man umgekehrt ein Parallelogramm  $P_1M'QN'$  zeichnen, das zu dem unendlich kleinen Parallelogramm  $P_1MP_2N$  ähnlich ist und ähnlich liegt, so ist  $Q$  ein Punkt der gesuchten Tangente  $t$ .

Man zeichne deshalb zunächst die Tangenten  $g$  und  $h$ ; die Parallelen  $g'$ ,  $h'$  zu  $g$  und  $h$ , die einen Punkt  $Q$  von  $t$  liefern, findet man dann folgendermaßen. Kennt man den Wert, den das Verhältnis  $MP_1:NP_1$  beim Übergang zur Grenze annimmt, so bestimmt man einfach  $M'$  und  $N'$  auf  $g$  resp.  $h$  so, daß  $M'P_1:N'P_1$  diesem Grenzwerte gleich wird, dann geht  $g'$  durch  $N'$  und  $h'$  durch  $M'$ . Meistens ist es einfacher statt der Punkte  $M'$  und  $N'$  zwei andere Punkte  $L'$  und  $K'$  von  $g'$  resp.  $h'$  zu konstruieren (vergl. Figg. 277, 278). Durch die Kurven  $l_1$  und  $l_2$  wird auf jeder Geraden durch  $P_1$  eine Strecke ausgeschnitten, z. B. auf  $P_1L'$  die Strecke  $P_1L$ ; ganz analoges geschieht durch die Kurven  $k_1$ ,  $k_2$  auf den Geraden durch  $P_1$ , z. B. hat man auf  $P_1K'$  die Strecke  $P_1K$ . Ist nun der Grenzwert  $P_1L:P_1K$  bekannt (für den Fall, daß die Kurven  $k_1$ ,  $k_2$  und  $l_1$ ,  $l_2$  einander unendlich nahe rücken), so bestimme man  $L'$  und  $K'$  so, daß  $P_1L':P_1K'$  gleich dem genannten Grenzwerte wird; damit ergeben sich dann  $g'$  und  $h'$  und ihr Schnittpunkt  $Q$ .

**429.** Einige Beispiele werden diese Konstruktion in ihrer Bedeutung richtig erkennen lassen. Sind  $F_1$  und  $F_2$  die beiden Brennpunkte einer Ellipse, so erscheinen ihre Punkte als Durchschnitte je zweier Hilfskreise mit den Mittelpunkten  $F_1$  resp.  $F_2$  und den Radien  $\varrho_1$  resp.  $\varrho_2$ , wobei  $\varrho_1 + \varrho_2 = 2a$ , der großen Achse der Ellipse, ist. Entsteht also  $P_1$  durch Schnitt zweier Kreise mit den Radien  $\varrho_1$  und  $\varrho_2$ , so entsteht sein Nachbarpunkt als Schnitt zweier Kreise mit den Radien  $(\varrho_1 + \delta)$  und  $(\varrho_2 - \delta)$  wo  $\delta$  eine unendlich kleine Größe ist.

Die beiden Hilfskreise um  $F_1$  schneiden also auf  $F_1P_1$  eine Strecke  $\delta$  ab, Gleiches thun die Hilfskreise um  $F_2$  auf  $F_2P_1$ . Hiernach ist  $L'P_1 = K'P_1$  beliebig anzunehmen, und  $L'Q \perp F_1P_1$  sowie  $K'Q \perp F_2P_1$

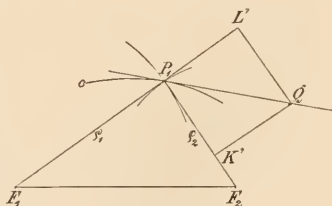


Fig. 277.





nun  $A_2$  ein Punkt von  $a$  in der Nähe von  $A_1$ , so schneidet  $OA_2$  den Kreis mit dem Mittelpunkt  $A_2$  und dem Radius  $\varrho$  in dem Kurvenpunkte  $P_2$ . Eine Parallele zu  $a$  durch  $P_1$  schneidet jene Gerade  $OA_2$  im Punkte  $N$  und diesen Kreis im Punkte  $M$ , wo  $MP_1 = A_2A_1$  ist, ( $A_1P_1 = A_2M = \varrho$ ). Es ist aber  $MP_1 : NP_1 = A_2A_1 : NP_1 = A_1O : P_1O$  von der Lage des Strahles  $OP_2$  unabhängig, repräsentiert also zugleich den Grenzwert. Wir bestimmen deshalb auf der Parallelen zu  $a$  durch  $P_1$  die Punkte  $M'$  und  $N'$  so, daß  $M'P_1 = A_1O$  und  $N'P_1 = P_1O$  ist, dann liefern  $QM' \perp P_1O$  und  $QN' \parallel P_1O$  den Punkt  $Q$  der gesuchten Tangente.

**432.** Dreht sich ein Strahl um einen festen Punkt  $O$  und trägt man auf ihm jedesmal von seinem Schnittpunkte mit einem festen Kreise

$a$  durch  $O$  die nämliche konstante Strecke  $\varrho$  nach beiden Seiten auf, so erhält man eine *Pascal'sche Schneckenlinie* (Fig. 280). Enthält ein Strahl den Kurvenpunkt  $P_1$  und schneidet den Kreis  $a$  in  $A_1$ , so ändert sich die vorausgegangene Kon-

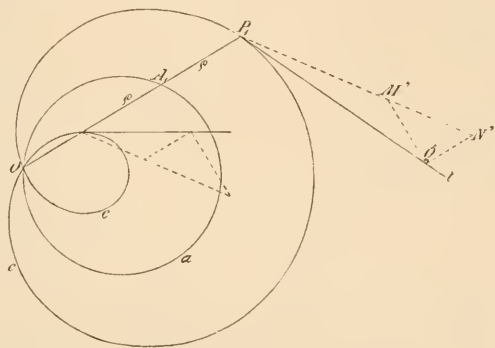


Fig. 280.

struktion offenbar nur insofern ab, als wir im Punkte  $P_1$  eine Parallele zur Tangente des Kreises  $a$  im Punkte  $A_1$  ziehen. Auf dieser Parallelen bestimmen sich  $M'$  und  $N'$  wieder wie vorher und ebenso auch  $Q$ .

**433.** Zum Schluß mag hier noch eine Anwendung auf eine große Klasse von Kurven gemacht werden, die eine gemeinsame Entstehungsweise haben. Sind zwei beliebige Kurven  $u$  und  $v$  gegeben und bewegt man einen Winkel so, daß seine Schenkel fortwährend die Kurven  $u$  resp.  $v$  berühren, so beschreibt sein Scheitel eine Kurve. Als Hilfskurven, die sich in den Punkten unserer Kurve  $c$  schneiden, treten hier einerseits die Tangenten von  $u$ , andererseits diejenigen von  $v$  auf.

Die folgende Konstruktion ist demnach nur dann anwendbar, wenn man an die Kurven  $u$  und  $v$  bequem Tangenten legen kann. Zwei benachbarte Tangenten von  $u$  und die entsprechenden benachbarten Tangenten von  $v$  schließen nun den gleichen unendlich kleinen

Winkel  $\varepsilon$  ein; das von ihnen gebildete unendlich kleine Viereck kann als Parallelogramm angesehen werden, da sich seine Gegenseiten nur um unendlich kleine Größen 2. Ordnung unterscheiden. Berühren die Tangenten, die sich in dem Kurvenpunkt  $P_1$  schneiden, die Kurven  $u$  und  $v$  resp. in  $A$  und  $B$ , so ist der Abstand der Parallelogrammseiten, die  $u$  berühren, gleich  $P_1A \cdot \varepsilon$ , ebenso der Abstand der Seiten, die  $v$  berühren, gleich  $P_1B \cdot \varepsilon$ . Tragen wir hiernach  $P_1M' \perp P_1A$  und  $P_1N' \perp P_1B$  auf, indem wir  $P_1M' = P_1A$  und  $P_1N' = P_1B$  machen (in der Fig. 281 ist wegen Mangel an Platz  $P_1M' = \frac{1}{2} P_1A$  und  $P_1N' = \frac{1}{2} P_1B$ ) und ziehen durch  $M'$  und  $N'$  resp. Parallele zu  $P_1A$  und  $P_1B$ , so schneiden sich diese in dem Punkte  $Q$  der gesuchten Tangente. Dies ist zugleich die Tangente des Kreises, der durch die Punkte  $ABP_1$  geht.<sup>1</sup>

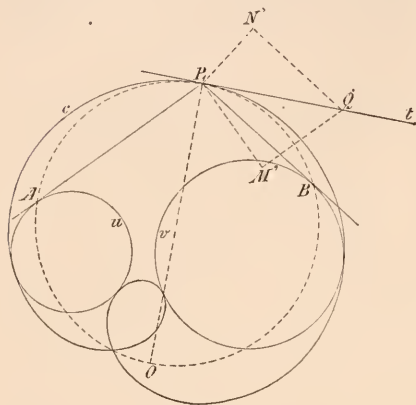


Fig. 281.

Sind die zu Grunde gelegten Kurven  $u$  und  $v$  Kreise, so gelangt man wieder zu der Pascal'schen Schnecke, wie eine einfache Überlegung zeigt. Dabei können irgend zwei Kreise, die die Pascal'sche Schnecke zweimal berühren, als Ausgangskurven gewählt werden.

### Krümmung der Kurven, Evoluten.

**434.** Eine Kurve ist in einem Punkte um so mehr gekrümmt, je rascher sie sich von der Tangente in jenem Punkte entfernt. Ein Kreis zeigt in allen seinen Punkten die gleiche Krümmung, denn er verhält sich gegen alle seine Tangenten in gleicher Weise. Es wird mithin geeignet sein, die Krümmung der Kurven in ihren einzelnen Punkten durch diejenige entsprechender Kreise zu messen. Die Definition der Krümmung bei einem Kreise werden wir nun so

<sup>1</sup> Die Bewegung eines Winkels von einer Lage in seine Nachbarlage kann auch durch Drehung um den unendlich kleinen Winkel  $\varepsilon$  geschehen, wobei der auf dem Kreise durch  $ABP_1$  dem  $P_1$  diametral gegenüberliegende Punkt  $O$  fest bleibt (Momentancentrum).

einzurichten haben, daß sie sowohl für endliche, als auch für unendlich kleine Bogenstücke des Kreises ihre Gültigkeit behält.

Unter der Krümmung  $k$  verstehen wir beim Kreise den reciproken Wert seines Radius  $r$ , also:  $k = \frac{1}{r}$ . Ist aber  $l$  die Länge eines Kreisbogens und  $\gamma$  der zugehörige Centriwinkel, so hat man:  $k = \frac{1}{r} = \frac{\gamma}{l}$ ; und diese letztere Definition gilt auch dann noch, wenn der Kreisbogen und damit der zugehörige Centriwinkel unendlich klein werden.

Die Schenkel des genannten Centriwinkels sind aber nichts anderes als die Normalen in den Endpunkten des Kreisbogens  $l$ , und der Winkel dieser Normalen ist gleich dem Winkel der Tangenten in den Endpunkten des Bogens  $l$ . Daher läßt sich unsere Erklärung sofort auf beliebige Kurven übertragen, bei denen sich freilich die Krümmung von Stelle zu Stelle ändert.

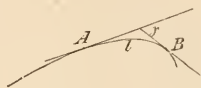


Fig. 282.

Man nennt nämlich den Ausdruck:  $k = \frac{\gamma}{l}$  die mittlere Krümmung eines Kurvenbogens von der Länge  $l$ , wenn seine Endtangenten den Winkel  $\gamma$  einschließen.

Geht man zur Grenze über, indem man den Kurvenbogen unendlich klein, d. h. zum Kurvenelement  $e$  werden läßt, wobei dann der Winkel der Endtangenten zum Winkel zweier Nachbartangenten oder Kontingenzwinkel  $\varepsilon$  wird, so heißt:  $k = \frac{\varepsilon}{e}$  die *Krümmung* der Kurve in dem betreffenden Punkte.<sup>15)</sup>

Ändert sich die Krümmung einer Kurve stetig, wenn der zugehörige Punkt sich stetig auf der Kurve fortbewegt, so heißt die Kurve stetig in Bezug auf ihre Krümmung, und nur mit solchen Kurven haben wir es in unseren Problemen zu thun. Auch diese Eigenschaft der Kurven bleibt bei einer Projektion ungeändert.

**435.** Für das Weitere wird es gut sein, folgende Bemerkungen vorzuschicken. Ist ein Kurvenbogen  $AB$  gegeben und soll man den Winkel der Tangenten in den Endpunkten bestimmen, so verschlägt es nichts, wenn man an Stelle der Tangenten in  $A$  und  $B$  die Sekanten  $AA_1$  und  $BB_1$  zu Grunde legt, wobei  $AA_1$  und  $BB_1$  unendlich klein sind. Denn diese Sekanten bilden nur einen unendlich kleinen Winkel mit den entsprechenden Tangenten, so daß der begangene Fehler als unendlich kleine Größe gegenüber dem endlichen Winkel nicht in Betracht kommt. Ist dagegen der Bogen  $AB$  bereits unendlich klein, also auch der Winkel der Endtangenten ein un-

endlich kleiner Kontingenzwinkel, so darf man nur Fehler außer acht lassen, welche von höherer Ordnung unendlich klein sind als der gesuchte Kontingenzwinkel. Teilt man aber den Bogen  $AB$  in  $n$  Teile und läßt die Zahl  $n$  über jede Grenze wachsen, wobei  $AA_1$  den ersten Teil,  $BB_1$  einen gleichen Teil darstellt, so werden  $AA_1$  und  $BB_1$  unendlich klein von der 2. Ordnung und ebenso die Winkel der Sekanten  $AA_1$  und  $BB_1$  mit den bezüglichen wirklichen Tangenten. Der Winkel der Sekanten  $AA_1$  und  $BB_1$  unterscheidet sich also nur um eine unendlich kleine Größe 2. Ordnung von dem gesuchten Kontingenzwinkel, und man kann den ersteren an Stelle des letzteren setzen.

**436.** Berührt ein Kreis eine Kurve in einem Punkt und stimmt daselbst bei beiden die Krümmung der Größe und dem Sinne nach überein, so heißt der Kreis der Krümmungskreis und sein Mittelpunkt der Krümmungsmittelpunkt für den betreffenden Kurvenpunkt. Die gegebene Kurve und der Kreis müssen an der bezüglichen Stelle auf der nämlichen Seite der zugehörigen Tangente liegen und dies soll dadurch ausgedrückt werden, daß wir sagen: die Krümmung beider Kurven stimmt dem Sinne nach überein. In jedem Kurvenpunkte unterscheidet man eine konvexe Seite, nämlich diejenige auf der die zugehörige Tangente liegt, und eine konkave Seite. Bei einer Kurve wird es im allgemeinen einzelne Punkte geben, in denen ein Wechsel der Krümmung eintritt, es sind das diejenigen Punkte, die nach 422 als Wendepunkte bezeichnet werden.

**437.** Wir können zu dem Krümmungskreis durch einen gewissen Grenzprozeß gelangen und dieser soll uns jetzt etwas näher beschäftigen. Ist der Krümmungskreis im Punkte  $P$  der Kurve  $c$  zu bestimmen, so fassen wir alle die Kreise ins Auge, die die Kurve in  $P$  berühren, deren Mittelpunkte also auf der zugehörigen Normalen  $n$  liegen. Wählen wir nun in der Nähe von  $P$  auf der Kurve

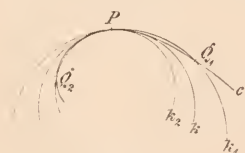


Fig. 283.

einen Punkt  $Q_1$ , so giebt es einen Kreis  $k_1$  der  $c$  in  $P$  berührt und in  $Q_1$  schneidet. Liegt  $Q_1$  nahe genug bei  $P$ , so wird der Kreis den Kurvenbogen  $PQ_1$  nicht mehr schneiden und es liegt dieser Bogen  $Q_1P$  und seine nächste Fortsetzung über  $P$  hinaus

ganz innerhalb des Kreises  $k_1$ , wie Fig. 283 zeigt. Ganz ebenso läßt sich ein Kreis  $k_2$  angeben, der  $c$  in einem Punkte  $Q_2$  schneidet, wo  $Q_2$  in der Nähe von  $P$ , aber von  $Q_1$  durch  $P$  getrennt liegt. Der Bogen  $Q_2P$ , sowie seine nächste Fortsetzung über  $P$  hinaus liegt

hier ganz außerhalb des Kreises  $k_2$  und somit liegt auch  $k_2$  innerhalb  $k_1$ . Läßt man jetzt den Punkt  $Q_1$  sich stetig nach  $P$  hinbewegen, bis er zu  $P$  unendlich nahe wird, so nähert sich der Kreis  $k_1$  unbegrenzt einer bestimmten Grenzlage  $k$ , die nichts anderes als der Krümmungskreis der Kurve  $c$  in  $P$  sein kann. Ebenso konvergiert der Kreis  $k_2$  beim Übergang zur Grenze unbegrenzt gegen  $k$ . Dieser Übergang läßt uns zugleich erkennen, daß der Krümmungskreis in seinem Berührungspunkte  $P$  von einer Seite der Kurve  $c$  auf die andere übertritt, oder wie wir auch sagen können, daß  $k$  drei konsekutive Punkte mit der Kurve gemein hat (Berührung 2. Ordnung, Oskulation vergl. 378).

Den Beweis für die Richtigkeit unserer Behauptung, daß  $k$  der bezügliche Krümmungskreis ist, erbringen wir, indem wir zeigen, daß beim Grenzübergang der Kurvenbogen  $Q_1P$  gleich dem Kreisbogen  $Q_1P$  und die zugehörigen Kontingenzwinkel ebenfalls einander gleich werden — abgesehen von unendlich kleinen Größen höherer Ordnung. Da die Krümmung in einem Kurvenpunkte gleich dem Quotienten von Kontingenzwinkel und Bogenelement ist, so ist dann die Übereinstimmung der Krümmung von  $k$  und  $c$  in  $P$  bewiesen.

**438.** Die Kurven  $c$  und  $k$  berühren sich in  $P$ , ihre gemeinsame Normale ist  $n$ , sie schneiden sich in  $Q_1$ . Die Kreistangente in  $Q_1$  sei  $Q_1S$ , die Kurventangente  $Q_1T$ , wo  $S$  und  $T$  auf  $n$  liegen, und das Lot von  $Q_1$  auf  $n$  sei  $Q_1N$ . Nun ist in dem rechtwinkligen Dreieck:  $NQ_1T$  offenbar:  $Q_1N < \text{Kurvenbogen } Q_1P < Q_1T$ . Denn teilt man den Bogen  $Q_1P$  in unendlich viele Teile und zieht durch die Teilpunkte Parallelen zu  $n$ , so teilen die Parallelen auch  $Q_1N$  und  $Q_1T$  in unendlich viele Teile. Jedes Element des Kurvenbogens ist aber kleiner als das entsprechende Element von  $Q_1T$ , da dieses gegen die Parallelen stärker geneigt ist, — die Stetigkeit des Bogens  $Q_1P$  in Bezug auf die Tangente vorausgesetzt; hieraus ergibt sich die Richtigkeit unserer Behauptung. Beim Übergang zur Grenze erkennen wir nach 417, daß  $Q_1T - Q_1N$  von der 3. Ordnung unendlich klein wird, da  $Q_1N$  und  $\angle NQ_1T$  von der 1. Ordnung unendlich klein werden. Daraus schließen wir unmittelbar, daß der Kurvenbogen  $Q_1P$  und der Kreisbogen  $Q_1P$  sich in der Grenze nur um eine unendlich kleine Größe von mindestens 3. Ordnung unterscheiden, denn sie sind beide gleich  $Q_1N$  bis auf solche Größen.

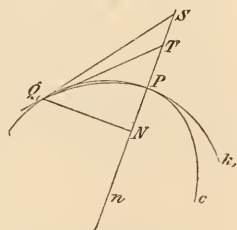


Fig. 284.



**439.** Die Kontingenzwinkel, die dem Kreis- und Kurvenbogen  $Q_1P$  zugehören, stimmen bis auf unendlich kleine Größen 2. Ordnung überein, denn die Sehne  $Q_1P$  schließt mit den Kreistangenten in ihren Endpunkten gleiche Winkel ein, während sie mit den Kurventangenten beim Grenzübergang unendlich kleine Winkel einschließt, die sich nur um ein unendlich Kleines 2. Ordnung unterscheiden. Um sich davon zu überzeugen teile man eine Kurve in lauter gleiche Elemente und verbinde alle Teilpunkte mit einem bestimmten unter ihnen  $P$ . Die um  $P$  entstehenden Winkel sind

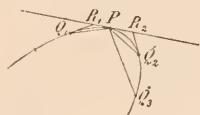


Fig. 285.

alle unendlich klein 1. Ordnung, und wegen der vorausgesetzten Stetigkeit ist die Differenz zweier aufeinanderfolgender Winkel unendlich klein 2. Ordnung; zu den Strahlen durch  $P$  gehört auch die Tangente und es ist deshalb in Fig. 285 die Differenz:  $\angle Q_1PR_1 - \angle Q_2PR_2$  unendlich klein 2. Ordnung. Aber auch die Differenz:  $\angle R_1Q_1P - \angle R_2PQ_2$  ist unendlich klein 2. Ordnung, weil  $PQ_1$  und  $Q_2P$  gleiche Elemente und beide Winkel gleichartig definiert sind, und folglich ist:  $\angle R_1PQ_1 - \angle R_1Q_1P$  unendlich klein 2. Ordnung (Fig. 284).

Das Gesagte läßt weiter erkennen, daß der Krümmungsmittelpunkt der Schnittpunkt zweier benachbarter Kurvennormalen ist. Denn schneiden sich die Kreisnormalen in  $P$  und  $Q_1$  im Punkte  $M_1$ , die bezüglichen Kurvennormalen in  $M'$ , so ist  $M_1M'$  unendlich klein von der 1. Ordnung, da  $\angle M_1Q_1M' = \angle SQ_1T$  von der 2. Ordnung unendlich klein ist.

**440.** Denkt man sich in allen Punkten einer Kurve  $c$  die Normalen gezeichnet, so umhüllen diese eine neue Kurve  $v$ , welche als Evolute von  $c$  bezeichnet wird, während  $c$  selbst die Evolvente heißt.

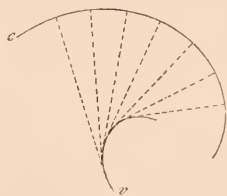


Fig. 286.

Da sich benachbarte Normalen in einem Krümmungsmittelpunkte schneiden, so bildet die Evolute der Kurve  $c$  den Ort aller ihrer Krümmungsmittelpunkte. Aus dem Früheren geht unmittelbar hervor, daß die Längen zweier Normalen in zwei benachbarten Kurvenpunkten, gemessen von der Kurve bis zu ihrem Schnittpunkte (dem Krümmungs-

mittelpunkt) sich nur um eine unendlich kleine Größe 3. Ordnung unterscheiden. Daraus können wir folgendes schließen. Läßt man eine Tangente der Kurve  $v$  auf ihr abrollen, ohne daß dabei ein Gleiten stattfindet, so beschreibt jeder ihrer Punkte eine Evolvente zu  $v$ . Denken wir uns also an die Evo-

lute  $v$  einen Faden angelegt und wickeln ihn von ihr ab, wobei er immer gespannt bleiben muß, so beschreibt sein Endpunkt eine Evolvente.

**441.** Wie wir oben gesehen haben, tritt der Krümmungskreis in dem zugehörigen Kurvenpunkte im allgemeinen von der einen Seite der Kurve auf die andere über. Es ist indessen hier ein Ausnahmefall zu erwähnen. Berührt ein Kreis  $k_1$  die Kurve  $c$  im Punkte  $P$  und schneidet sie in einem nahe bei  $P$  liegenden Punkte  $Q_1$ , so kann es eintreten, daß er  $c$  noch in einem Punkte  $Q_2$  schneidet, der ebenfalls nahe bei  $P$  aber von  $Q_1$  durch  $P$  getrennt liegt. Läßt man dann  $Q_1$  stetig nach dem Berührungspunkte  $P$  hinarücken und tritt dann von selbst das Gleiche für  $Q_2$  ein, so daß sich in der Grenzlage  $k$  gleichzeitig  $Q_1$  und  $Q_2$  mit  $P$  vereinigen, dann hat der Krümmungskreis  $k$  in  $P$  vier (nicht nur wie im allgemeinen drei) benachbarte Punkte mit der Kurve  $c$  gemein, und diese liegt in der Nähe von  $P$  ganz auf einer Seite von  $k$ . Ein solches Verhalten (Berührung 3. Ordnung) zeigen z. B. die Krümmungskreise in den Scheiteln der Kegelschnitte, und deshalb sollen derartige Punkte auch bei andern Kurven als Scheitelpunkte bezeichnet werden (vergl. 381 und 382).

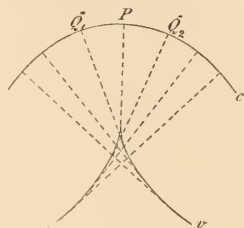


Fig. 287.

Das Verhalten der Evolute im vorliegenden Falle ist leicht zu übersehen. Während ein Punkt sich auf  $c$  fortbewegt, umhüllt die zugehörige Normale die Evolute und der zugehörige Krümmungsmittelpunkt durchläuft dieselbe. In dem Augenblick, wo die Normale einen Scheitelpunkt passiert, bleibt ihr Berührungspunkt mit der Evolute still stehen, um dann seinen Fortschreitungsinn auf der Tangente umzukehren; demgemäß weist die Evolute an der betreffenden Stelle nach 422 eine Spitze auf.

**442.** Verhalten der Krümmung im Wendepunkte, bei der gewöhnlichen Spitze und der Schnabelspitze. Beim Wendepunkte sehen wir, daß der Winkel benachbarter Tangenten, d. h. der Kontingenzwinkel sein Vorzeichen ändert. Stellen wir uns vor, daß die Kurve in lauter gleiche Elemente geteilt sei, so ist ja der Drehsinn der Tangente beim Übergange von einer Lage in die Nachbarlage (wenn man die Kurve in demselben Sinne durchläuft) ein verschiedener, je nachdem ihr Berührungspunkt vor oder hinter dem Wendepunkte liegt. Der Kontingenzwinkel wird deshalb im Wendepunkte selbst gleich Null sein, d. h. es werden zwei benach-

barte Kurvenelemente in dieselbe Gerade fallen, die Tangente im Wendepunkte enthält drei konsekutive Kurvenpunkte und der zugehörige Krümmungsradius ist unendlich groß. Die Evolute hat also die bezügliche Normale zur Asymptote.

Aus analogen Gründen oder aus dem Prinzip der Dualität schließen wir, daß bei gleichen Kontingenzwinkeln — wobei dann die Kurvenelemente ungleich sind — in einem Rückkehrpunkte

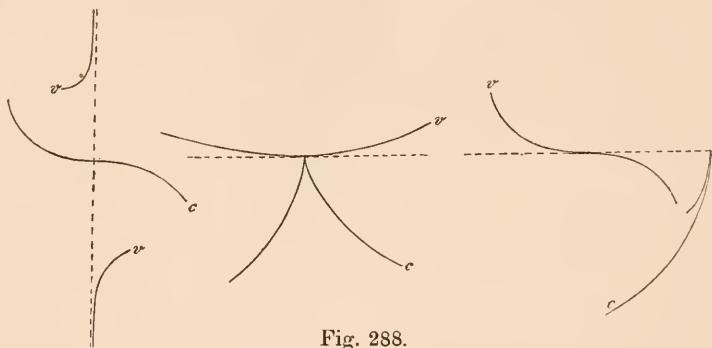


Fig. 288.

das Kurvenelement gleich Null wird. Hieraus ersieht man, daß der Rückkehrpunkt ein spezieller Fall des Doppelpunktes ist, in dem zwei konsekutive Kurvenpunkte zusammenfallen. Durch den Rückkehrpunkt gehen drei konsekutive Tangenten und der zugehörige Krümmungsradius ist Null, die Evolute berührt also die Kurvennormale in der Spitze. Bei der Schnabelspitze — die eigentlich eine Vereinigung von Wendepunkt und Rückkehrpunkt ist — wählt man eine Hilfsvariable, von der die Lage des beschreibenden Kurvenpunktes gesetzmäßig abhängt, und läßt sie sich um gleiche unendlich kleine Größen ändern. Unendlich kleinen Änderungen der Hilfsvariablen entsprechen im allgemeinen Kurvenelemente und Kontingenzwinkel, die zu jener Änderung in einem endlichen Verhältnisse stehen. Für den Wendepunkt wird das letztere, für den Rückkehrpunkt das erstere Verhältnis gleich Null; für die Schnabelspitze werden beide Verhältnisse unendlich klein, doch wird der Quotient von Kontingenzwinkel und Kurvenelement endlich bleiben, und somit ist auch der Krümmungsradius für die Schnabelspitze endlich. Die Evolute hat die zugehörige Normale zur Wendetangente, da ja die Tangente der Evolute, d. h. die Normale der Kurve  $c$  in der Schnabelspitze rückläufig wird (Fig. 288).

**443.** Die Aufgabe: den Krümmungskreis für einen Punkt einer gegebenen Kurve zu konstruieren, kann nur bei wenigen

Kurven im Anschlusse an ihre geometrische Definition genau gelöst werden, wie wir das bereits bei den Kegelschnitten gesehen haben und noch bei einigen weiteren Kurven später sehen werden. Indessen kann man bei einer Kurve, die gezeichnet vorliegt, den Krümmungskreis mit ziemlicher Genauigkeit durch bloßes Probieren finden, indem man für den betreffenden Punkt zunächst die Normale zeichnet und dann denjenigen unter den berührenden Kreisen auswählt, der die Kurve im Berührungspunkte durchsetzt. Man muß dann bei geringer Variation des Radius Kreise erhalten, die die Kurve an der gegebenen Stelle berühren und außerdem ganz nahe dabei noch schneiden. Dieser weitere Schnittpunkt liegt auf der einen oder andern Seite des Berührungspunktes, je nachdem der Radius größer oder kleiner als der gesuchte Krümmungsradius ist und gerade auf diesem Umstande beruht die verhältnismäßig gute Genauigkeit.

Man kann die oben beschriebene Methode des Probierens noch etwas vervollkommen, indem man vier die Kurve  $c$  im Punkte  $P$  berührende Hilfskreise  $k_1, k_2, k_3, k_4$  benutzt und eine Fehlerkurve zeichnet. Wählt man auf  $c$  in der Nähe von  $P$  vier Punkte und zwar  $Q_1, Q_2$  auf der einen,  $Q_3, Q_4$  auf der andern Seite von  $P$ , und zeichnet vier Kreise  $k_1, k_2, k_3, k_4$  durch  $P$  und durch  $Q_1, Q_2, Q_3, Q_4$  respektive, so sind ihre Mittelpunkte  $M_1, M_2, M_3, M_4$  die Schnittpunkte der Normalen  $n$  mit den Mittelsenkrechten der Sehnen  $PQ_1, \dots, PQ_4$ . Zieht man nun durch  $M_1, \dots, M_4$  Parallele und trägt auf ihnen

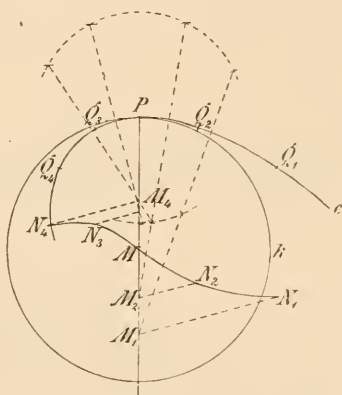


Fig. 289.

$$M_1N_1 = PQ_1, \quad M_2N_2 = PQ_2, \quad M_3N_3 = PQ_3, \quad M_4N_4 = PQ_4$$

respektive auf (wobei  $M_1N_1, M_2N_2$  gleiche,  $M_3N_3, M_4N_4$  die entgegengesetzte Richtung erhalten), so definieren die Punkte  $N_1, N_2, N_3, N_4$  eine Fehlerkurve, die offenbar die Normale  $n$  im Krümmungsmittelpunkte  $M$  schneidet.

**444.** Wir wollen uns noch fragen, in welcher Beziehung die Krümmung einer ebenen Kurve zu der ihres perspektiven Bildes steht. Nehmen wir an, die zu Grunde gelegte Kurve sei  $c$ , ihr perspektives Bild  $c'$ ,  $O$  sei das Centrum und  $a$  die Achse der Perspektive (Fig. 290). Dabei können wir voraussetzen, daß die

Kurve  $c$  und ihr Bild  $c'$  in der gleichen Ebene liegen.  $PP_1 = e$  sei ein Element von  $c$ ,  $t$  und  $t_1$  seien die Tangenten in  $P$  resp.  $P_1$  und  $s$  die Sekante  $PP_1$ ; diese Geraden mögen die Achse  $a$  in den

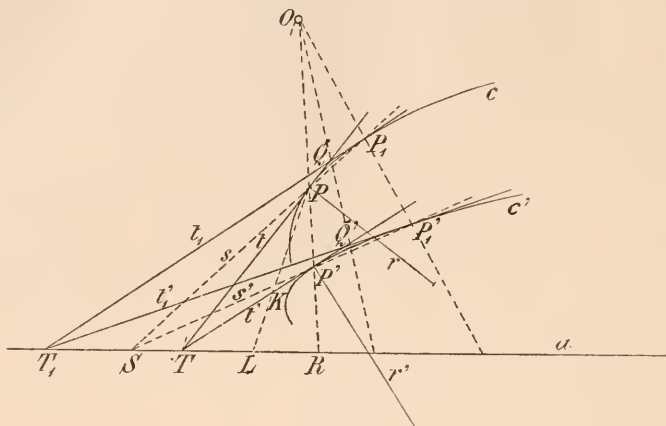


Fig. 290.

Punkten  $T$ ,  $T_1$ ,  $S$  respektive schneiden. Haben  $P'P'_1 = e'$ ,  $t'$ ,  $t'_1$  und  $s'$  die analoge Bedeutung für  $c'$ , und setzen wir  $PT = t$ ,  $P'T' = t'$ , so kommt:

$$\frac{e}{e'} = \frac{OP}{OP'} \cdot \frac{SP_1}{SP'_1} = \frac{OP}{OP'} \cdot \frac{t}{t'},$$

abgesehen von unendlich kleinen Größen. Ferner ist:

$$\frac{\varepsilon}{TT_1} = \frac{\sin t a}{QT_1} \quad \text{und} \quad \frac{\varepsilon'}{T'T_1} = \frac{\sin t' a}{Q'T'_1}$$

also:

$$\frac{\varepsilon}{\varepsilon'} = \frac{\sin t a}{\sin t' a} \cdot \frac{Q'T'_1}{QT_1} = \frac{\sin t a}{\sin t' a} \cdot \frac{t'}{t} = \frac{RP}{RP'} \cdot \frac{t'^2}{t^2},$$

(wo  $Q = t \times t_1$ ,  $Q' = t' \times t'_1$ ,  $R = OP \times a$ ,  $\varepsilon = \angle tt_1$  und  $\varepsilon' = \angle t't'_1$ ).

Nun ist aber der Krümmungsradius im Punkte  $P$  von  $c$  bestimmt durch:  $r = e : \varepsilon$  und analog gilt  $r' = e' : \varepsilon'$ , also folgt:

$$r : r' = \left[ \frac{OP}{OP'} : \frac{RP}{RP'} \right] \cdot \frac{t^3}{t'^3}.$$

Zur Konstruktion diene folgendes. Zieht man durch  $P$  eine Parallele zu  $OT_1$ , die  $t'$  und  $a$  in  $K$  und  $L$  schneidet, so ist nach 216:

$$\frac{OP}{OP'} : \frac{RP}{RP'} = \frac{LK}{LP}.$$

Zeichnet man ferner ein rechtwinkliges Dreieck mit den Katheten  $t$  und  $t'$ , und errichtet auf der Hypotenuse Senkrechte in den Endpunkten, so schneiden diese auf den Verlängerungen der Katheten





ein und dann diese (in der gleichen Anzahl) auf einer Graden auf. Die Länge der gleichen Sehnen ist natürlich verschieden zu wählen, je nach der Stärke der Krümmung des Kurvenbogens; bei stärkerer Krümmung wählt man die Sehnen kleiner, bei schwächerer Krümmung größer. Nach Untersuchungen von Chr. Wiener<sup>17)</sup> ist es bei der Rektifikation eines Kreises von 2, 6, 10, 20 cm Durchmesser zweckmäßig eine Sehnenlänge von  $\frac{1}{10}$ ,  $\frac{1}{16}$ ,  $\frac{1}{20}$ ,  $\frac{1}{27}$  des Durchmessers zu verwenden; dieses liefert einen Anhaltspunkt auch für andere Rektifikationen.

Eine besondere Bedeutung hat die Rektifikation eines Kreises; der Kreisumfang ist gleich  $2\pi r$ , wo  $r$  den Radius und  $\pi$  die Zahl 3,14159 . . . bedeutet. Man darf also annehmen, daß der Kreisumfang angenähert gleich  $3\frac{1}{7}$  Durchmesser ist; der Fehler beträgt bei 10 cm Durchmesser nur etwa  $\frac{1}{8}$  mm. Bei Kreisen mit wesentlich größeren Durchmessern wird man einen genaueren Wert für die Zahl  $\pi$  einsetzen müssen.

### Raumkurven und ihre Projektionen; abwickelbare Flächen.

**446.** Bewegt sich ein Punkt im Raume (ohne in einer und derselben Ebene zu bleiben), so beschreibt er eine Raumkurve, die hier als eine Aufeinanderfolge von Punkten erscheint. Zwei benachbarte, unendlich nahe Lagen des bewegten Punktes bestimmen ein Kurvenelement und eine Tangente, nämlich die Gerade, die das Kurvenelement enthält; die zwei unendlich nahen Punkte der Kurve fallen mit dem Berührungspunkte der Tangente zusammen. Die Tangente kann demgemäß als Grenzlage einer Sehne der Raumkurve angesehen werden. Läßt man den einen Endpunkt  $P$  einer Sehne fest, während man den andern  $Q$  sich auf der Raumkurve fortbewegen und schließlich mit dem festen Endpunkt zusammenfallen läßt, so geht die Sehne in der Grenzlage in die Tangente im Punkte  $P$  über. Jede Ebene durch die Tangente  $t$  in  $P$  ist eine Tangentialebene der Raumkurve. Legt man eine solche Tangentialebene durch einen in der Nähe von  $P$  befindlichen Punkt  $R$  der Raumkurve und läßt  $R$  sich nach  $P$  bewegen, so nimmt die Ebene durch  $t$  eine gewisse Grenzlage an, sie wird zur Schmiegungeebene. Während die Raumkurve bei einer gewöhnlichen Tangentialebene in der Nähe des Berührungspunktes ganz auf einer Seite dieser Ebene liegt, durchsetzt sie die Schmiegungeebene im Berührungspunkte; denn dieser entsteht ja durch Vereinigung des Berührungspunktes mit einem Schnittpunkt einer Tangentialebene. Die Schmiegunge-

ebene enthält zwei benachbarte Kurvenelemente oder drei benachbarte Kurvenpunkte; sie kann auch als Grenzlage einer Ebene gewonnen werden, die durch drei nahe bei einander liegende Kurvenpunkte  $P, Q, R$  geht, wenn diese sich vereinigen.

Steht eine Gerade auf einer Tangente im Berührungspunkte senkrecht, so heißt sie Normale; alle Normalen in einem Punkte der Raumkurve liegen in einer Ebene, der Normalebene. Die Normale in der Schmiegungeebene heißt Hauptnormale, die auf ihr senkrechte Normale die Binormale; die Ebene durch Tangente und Binormale nennt man rektifizierende Ebene.

**447.** Bewegt sich ein Punkt auf der Raumkurve, so führen gleichzeitig die zugehörige Tangente und die zugehörige Schmiegungeebene Bewegungen aus, und zwar dreht sich die Tangente stets um den bezüglichen Berührungspunkt in der Schmiegungeebene und die Schmiegungeebene um die bezügliche Tangente. Denken wir uns zunächst ein kleines aber endliches Stück  $PQ$  der Raumkurve, so erhalten wir eine bestimmte Bogenlänge, einen bestimmten Winkel der Endtangente und einen bestimmten Winkel der Schmiegungeebenen in den Endpunkten. Lassen wir den Bogen  $AB$  unendlich klein werden, so tritt gleiches für den Winkel der Tangente und den Winkel der Schmiegungeebenen ein, falls die Kurve stetig ist, wie wir voraussetzen wollen. Im allgemeinen — d. h. abgesehen von einzelnen Punkten — sind nun die Verhältnisse der genannten drei unendlich kleinen Größen endlich. Zu dem Bogenelement  $e$  gehört hiernach ein bestimmter Kontingenzwinkel  $\varepsilon$ , Winkel benachbarter Tangente, und ein bestimmter Torsionswinkel  $\eta$ , Winkel benachbarter Schmiegungeebenen. Das Verhältniß  $k = \frac{\varepsilon}{e}$  wird wie bei den ebenen Kurven als Krümmung, das Verhältniß  $\tau = \frac{\eta}{e}$  als Torsion der Raumkurve an der betreffenden Stelle bezeichnet. Wie bei den ebenen Kurven giebt es ferner durch drei benachbarte Punkte der Raumkurve einen Krümmungskreis, er liegt in der zugehörigen Schmiegungeebene und sein Mittelpunkt auf der Hauptnormale.

**448.** Bei der angeführten Bewegung beschreibt die Tangente eine geradlinige Fläche, welche die zur Raumkurve gehörige abwickelbare Fläche oder kurz die abwickelbare Fläche der Raumkurve genannt wird; die Tangente der Raumkurve heißen die Erzeugenden der Fläche. Gleichzeitig führt die zugehörige Schmiegungeebene eine solche Bewegung aus, daß sie die abwickel-

bare Fläche in allen ihren Lagen umhüllt; das will sagen, daß jede Schmiegungeebene die abwickelbare Fläche längs der in ihr liegenden Tangente der Raumkurve berührt. Um die Richtigkeit des Gesagten zu erkennen, ist es nötig, näher auf die gegenseitige Lage benachbarter Tangenten und Schmiegungeebenen einzugehen (Fig. 292). Seien  $P$  und  $P_1$  zwei benachbarte Punkte unserer Raumkurve,  $t$  und  $t_1$  die zugehörigen Tangenten,  $\Sigma$  und  $\Sigma_1$  die Schmiegungeebenen, und  $PP_1 = s$  die Sekante. Dann ist nach 418 der Abstand des Punktes  $P_1$  von der Schmiegungeebene  $\Sigma$  unendlich klein von der 3. Ordnung; ganz ebenso ist der Abstand der Tangenten  $t$  und  $t_1$  unendlich klein 3. Ordnung, denn die Ebenen durch  $t$  und  $s$  resp.  $t_1$  und  $s$  schließen einen unendlich kleinen Winkel ein und zugleich sind  $\angle ts$ ,  $\angle t_1 s$  und  $PP_1$  von der 1. Ordnung unendlich klein. Ziehen wir auf der abwickelbaren Fläche eine Kurve, die  $t$  und  $t_1$  in den benachbarten Punkten  $Q$  und  $Q_1$  schneidet, so ist das Lot  $Q_1 Q'$ , gefällt von  $Q_1$  auf  $\Sigma$  unendlich klein 2. Ordnung (nach 418), folglich schließt  $QQ_1$  mit  $\Sigma$  einen unendlich kleinen Winkel ein, und wir können deshalb sagen, daß die Tangente der auf der abwickelbaren Fläche gezogenen Kurve im Punkte  $P$  in die Schmiegungeebene  $\Sigma$  fällt (in der Figur ist eine Hilfsebene  $E$  durch  $QQ_1$  senkrecht zu  $\Sigma$  benutzt). Die Schmiegungeebene  $\Sigma$  tangiert also wirklich die abwickelbare Fläche längs ihrer Erzeugenden  $t$ .

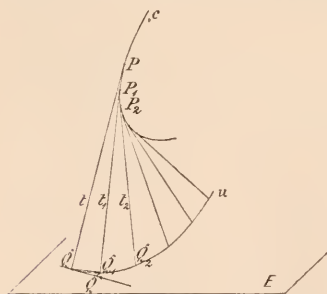


Fig. 292.

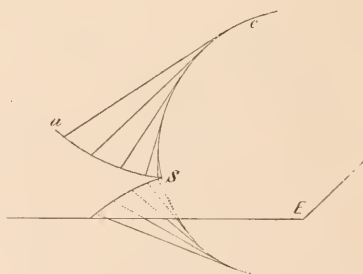


Fig. 293.

**449.** Die Raumkurve bildet auf der zugehörigen abwickelbaren Fläche eine Rückkehrkurve oder Rückkehrkante, d. h. jeder ebene Schnitt der abwickelbaren Fläche weist in den Durchstoßpunkten mit der Raumkurve Rückkehrpunkte oder Spitzen auf. In der That, schneidet eine Ebene  $E$  die Raumkurve  $c$  in  $S$  (Fig. 293) und läßt man einen Punkt auf dieser fortwandern, wobei er auch die Lage  $S$  passiert, dann liefert die zu dem wandernden Punkte zugehörige Tangente und Schmiegungeebene die Punkte und Tangenten

der Schnittkurve  $u$  von  $E$  mit der abwickelbaren Fläche. Passiert der bewegte Punkt die Lage  $S$ , so behalten Tangente und Schmiegungsebene ihren Drehsinn bei — falls  $S$  ein gewöhnlicher Punkt der Raumkurve ist. Demnach behält auch die Tangente der ebenen Schnittkurve ihren Drehsinn bei, dagegen ändert der sie beschreibende Punkt in  $S$  seinen Fortschreitungsinn. Denn bezeichnen wir die beiden Teile der Tangente einer Raumkurve, vom Berührungspunkte aus gerechnet, als positiv und negativ, so wird der eine Teil der Schnittkurve bis zum Punkte  $S$  hin von dem positiven Teile der bewegten Tangente beschrieben, der andere vom negativen Teile, wodurch jene Änderung hervorgebracht wird.

**450.** Lassen wir nun eine Ebene, welche die abwickelbare Fläche längs einer Erzeugenden berührt, sich auf dieser fortwälzen, wobei wir indes nur einen der beiden Teile der Fläche, die längs der Rückkehrkurve aneinandergrenzen, in Betracht ziehen. Beim Abwälzen oder Abrollen der Ebene auf einem Teile der abwickelbaren Fläche werden die Erzeugenden alle nacheinander zu Berührungslinien der wälzenden Ebene, die sich in jedem Augenblicke um die Berührungslinie ohne zu gleiten dreht. Indem bei dieser Bewegung jeder Punkt der Fläche einmal in die wälzende Ebene fällt, liefert jede Erzeugende und jede Kurve unserer Fläche eine Gerade respektive eine Kurve in der wälzenden Ebene, sie werden als die Abwickelungen jener Gebilde bezeichnet. Natürlich kann auch die Ebene festgehalten und die abwickelbare Fläche ohne Gleiten auf ihr abgewälzt werden, was offenbar darauf hinauskommt, daß der eine Teil einer abwickelbaren Fläche ohne Dehnung oder Zerreißung und ohne Stauchung oder Faltung in einer Ebene ausgebreitet werden kann. Um sich die geschilderten Vorgänge völlig klar zu machen, denke man sich auf der abwickelbaren Fläche eine Reihe von Erzeugenden  $t_1 t_2 t_3 \dots t_n \dots$  gezogen, die einander benachbart sind, deren Winkel  $\varepsilon_{12} = \angle t_1 t_2$ ,  $\varepsilon_{23} = \angle t_2 t_3 \dots$  also unendlich klein sind. Würde nun jede Erzeugende die vorhergehende schneiden, so würden sie die Verlängerungen der Seiten eines räumlichen Polygons bilden und damit die Abwickelbarkeit in eine Ebene unmittelbar klar sein. Denn dazu gehört nur, daß man die Winkel, die je zwei aufeinanderfolgende Flächenelemente  $t_1 t_2, t_2 t_3, t_3 t_4 \dots$  einschließen, zu  $2R$  ausstreckt, so daß alle Elemente in die nämliche Ebene zu liegen kommen. Der Flächenstreifen zwischen zwei Erzeugenden, etwa  $t_1$  und  $t_2$ , der abwickelbaren Fläche ist nun an und für sich nicht eben, da jedoch die gemeinsame Normale von  $t_1$  und  $t_2$  unendlich klein von der



3. Ordnung ist, so darf man sie als absolut gleich 0 annehmen, ohne daß der dadurch begangene Fehler einen Einfluß auf das Resultat ausübt. In der Figur ist die abwickelbare Fläche durch eine Kurve  $u$  begrenzt, deren Abwicklung  $u_0$  ist.

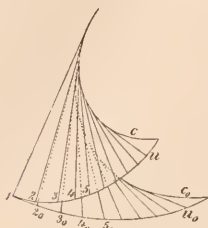


Fig. 294.

451. Aus dem Vorgange der Abwicklung einer abwickelbaren Fläche ergeben sich noch unmittelbar folgende Beziehungen. Der Winkel konsekutiver Erzeugenden ändert sich bei der Abwicklung nicht, ebensowenig die Länge einer Erzeugenden zwischen

irgend zwei auf ihr gewählten Punkten. Hieraus folgt dann weiter, daß jeder Kurvenbogen auf der abwickelbaren Fläche gleich lang mit seiner Abwicklung ist und daß eine Erzeugende den Kurvenbogen unter dem gleichen Winkel schneidet, wie ihre Abwicklung die abgewickelte Kurve. Beim Abwickelungsprozeß geht hiernach die Rückkehrkurve  $c$  der abwickelbaren Fläche in eine ebene Kurve  $c_0$  über, die mit jener an entsprechenden Stellen stets die gleiche Krümmung zeigt, da ja Kurvenelement und Kontingenzwinkel dabei ungeändert bleiben (vergl. Fig. 294).

452. Während die Krümmung der Rückkehrkurve beim Abwickeln ungeändert bleibt, erfährt die Krümmung aller andern Kurven der Fläche eine Änderung, und wir wollen uns fragen, in welcher Beziehung der Krümmungsradius  $r$  im Punkte  $P$  einer Kurve  $k$  der abwickelbaren Fläche zum Krümmungsradius  $r_0$

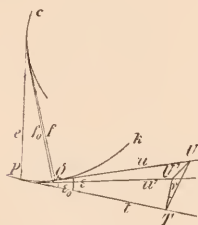


Fig. 295.

des Punktes  $P_0$  der abgewickelten Kurve  $k_0$  steht (Fig. 295). Sind  $P$  und  $Q$  benachbarte Punkte von  $k$ ,  $t$  und  $u$  die zugehörigen Tangenten,  $e$  und  $f$  die durch  $P$  resp.  $Q$  verlaufenden Erzeugenden, und haben  $P_0, Q_0, t_0, u_0, e_0, f_0$  die analoge Bedeutung für die Abwicklung in der Ebene, so hat man:  $r:r_0 = \varepsilon_0:\varepsilon$ , wo  $\angle tu = \varepsilon$  und  $\angle t_0 u_0 = \varepsilon_0$  ist; denn es ist ja  $PQ = P_0 Q_0$ .

Bei der Abwicklung ändert sich nun die Lage

von  $u$  gegen  $t$  dadurch, daß die Gerade  $u$  eine unendlich kleine Drehung um  $e$  macht, bis sie in die Ebene  $te$  zu liegen kommt; diese Drehung können wir durch eine Projektion ersetzen, indem wir  $u$  senkrecht auf die Ebene  $te$  nach  $u'$  projizieren, der hierbei entstehende Fehler ist ja von höherer Ordnung unendlich klein; es ist demnach  $\angle tu' = \angle t_0 u_0 = \varepsilon_0$ . Nun ist aber  $\angle tu' = \angle tu \cdot \cos \nu$ ,

wenn  $\nu$  den Neigungswinkel der Ebene  $tu$  gegen die Ebene  $te$  bedeutet; denn ist die Ebene  $UU'T \perp t$ , so ist  $\angle UTU' = \nu$  und also  $\operatorname{tg} \varepsilon_0 = \operatorname{tg} \varepsilon \cdot \cos \nu$ . Wir können mithin sagen: Der Krümmungsradius  $r$  einer Kurve der abwickelbaren Fläche in einem ihrer Punkte ist gleich dem Krümmungsradius  $r_0$  der abgewickelten Kurve im entsprechenden Punkte multipliziert mit  $\cos \nu$ , wenn  $\nu$  den Neigungswinkel der Schmiegungeebene jener Kurve mit der Tangentialebene der Fläche in dem genannten Punkte bedeutet.

Ist der Neigungswinkel  $\nu = R$ , d. h. steht die Schmiegungeebene der Kurve  $k$  an der betreffenden Stelle  $P$  auf der Tangentialebene der abwickelbaren Fläche senkrecht, so wird in der Projektion  $\angle tu = 0$  und es besitzt  $k_0$  in  $P_0$  einen Wendepunkt; in der That giebt auch die Formel:  $r_0 = r : \cos \nu$  den Wert  $r_0 = \infty$ .

**453.** Eine Kurve der abwickelbaren Fläche, die bei der Abwicklung in eine Gerade übergeht, heißt geodätische Linie. Wie die Gerade in der Ebene, so ist die geodätische Linie auf der Fläche die kürzeste Verbindungslinie zweier Punkte. Aus dem Vorausgehenden ergiebt sich, daß in jedem Punkte einer geodätischen Linie die Schmiegungeebene auf der Tangentialebene der Fläche senkrecht steht. Diese Eigenschaft besitzt die geodätische Linie auf jeder beliebigen krummen Oberfläche.

**454.** Zu jeder Raumkurve gehört eine ebene Kurve, die mit ihr in allen entsprechenden Punkten gleiche Krümmung hat; letztere entsteht aus der ersteren durch Abwicklung ihrer abwickelbaren Fläche, wobei ja Bogenelement  $e$  und Kontingenzwinkel  $\varepsilon$  der Rückkehrkurve ungeändert bleiben. Zu jeder Raumkurve gehört aber auch ein bestimmter Kegel — Richtkegel — den man erhält, indem man durch einen beliebigen Punkt  $O$  zu den Erzeugenden der abwickelbaren Fläche die Parallelstrahlen zieht. Hierdurch werden zugleich die Tangentialebenen des Kegels zu den entsprechenden Schmiegungeebenen der Raumkurve parallel, so daß Kontingenzwinkel  $\varepsilon$  und Torsionswinkel  $\eta$  der Raumkurve bezw. mit dem Winkel benachbarter Erzeugenden und Tangentialebenen des Richtkegels übereinstimmen.

**455.** Wir haben bereits gesehen, daß die Schmiegungeebenen einer Raumkurve ihre abwickelbare Fläche umhüllen. Es kann demgemäß die abwickelbare Fläche als Hüllfläche aller Lagen einer bewegten Ebene erzeugt werden. Je zwei benachbarte Ebenen schneiden sich in einer Erzeugenden der Fläche, je drei benachbarte Ebenen in einem Punkte ihrer Rückkehrkurve. So bestimmen

alle Normalebenen einer Raumkurve eine abwickelbare Fläche, die man als Evolutenfläche der Raumkurve bezeichnet. Läßt man auf der Evolutenfläche eine Ebene wälzen, ohne daß sie dabei gleitet, so beschreibt jeder ihrer Punkte eine Raumkurve — Evolvente — unter denen sich auch die ursprüngliche Raumkurve befindet. Die Evolventen durchsetzen die Tangentialebenen der Evolutenfläche rechtwinklig.

**456.** Die Parallel- oder Centralprojektion einer Raumkurve ist eine ebene Kurve, deren Tangenten die Projektionen der Tangenten der Raumkurve sind. Es ergibt sich dies einfach daraus, daß die Tangenten als spezielle Sekanten aufzufassen sind, bei denen durch einen Grenzübergang zwei Schnittpunkte mit der Kurve zusammengedrückt sind. Liegt das Projektionscentrum auf einer Tangente  $t$  der Raumkurve, so projiziert sich ihr Berührungspunkt  $B$  als Spitze. Man kann sich hiervon Rechenschaft geben, indem man einen Punkt der Raumkurve durchlaufen läßt und zugleich auf die Bewegung der zugehörigen Tangente achtet; denn während der Punkt die Lage  $B$  passiert (Fig. 296), bleibt seine Projektion einen Augenblick still stehen, um dann rückläufig zu werden.

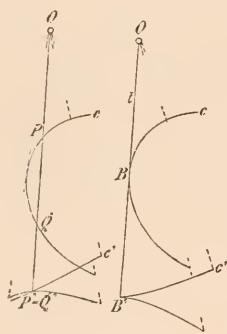


Fig. 296.

Man kann aber auch wieder den Grenzübergang benutzen. Geht die Verbindungslinie zweier Kurvenpunkte  $P$  und  $Q$  durch das Projektionscentrum, so bildet die Projektion  $P' = Q'$  einen Doppelpunkt der Projektionskurve; beim Übergang zur Grenze wird die Sekante zur Tangente und der Doppelpunkt zur Spitze. Ein Kurvenpunkt, dessen Schmiegungsebene durch das Projektionscentrum geht, liefert in der Projektion einen Wendepunkt; da zwei benachbarte Tangenten die gleiche Projektion besitzen. Hieraus folgt, daß bei orthogonaler Projektion einer Raumkurve

aus einem gewöhnlichen Punkte  $P$  ein gewöhnlicher, ein Wendepunkt oder ein Rückkehrpunkt wird, je nachdem man auf die Schmiegungs-, die rektifizierende oder die Normalebene projiziert.

**457.** Die Raumkurve kann verschiedene Singularitäten aufweisen, von denen man die gewöhnlicheren auf folgende Weise erhält. Durchläuft ein Punkt  $P$  die Raumkurve, so dreht sich die zugehörige Tangente  $t$  um diesen Punkt und die zugehörige Schmiegungsebene  $\Sigma$  um die Tangente  $t$ . Während in einem gewöhnlichen Kurvenpunkt der Fortschreitungsinn von  $P$  auf  $t$ , der Drehsinn von  $t$  um  $P$  und der Drehsinn von  $\Sigma$  um  $t$  ungeändert bleiben, wird sich in

speziellen Punkten der Sinn einer oder mehrerer dieser Bewegungen umkehren; es giebt das — den gewöhnlichen Punkt eingerechnet — acht Kombinationen. Kehrt die Schmiegungeebene ihren Drehsinn um, so muß ihre Drehung an einer bestimmten Stelle gleich Null sein, so daß dort drei Kurvenelemente oder vier benachbarte Kurvenpunkte in einer Ebene liegen, die stationäre Ebene genannt wird. Kehrt die Tangente ihren Drehsinn um, so fallen zwei Kurvenelemente oder drei konsekutive Punkte in eine Gerade, und es entsteht der Wende- oder Streckungspunkt. Kehrt der Punkt seinen Fortschreitungsinn um, so entsteht die Spitze oder der Rückkehrpunkt. Hiernach kann man sich auch über die anderen Kombinationen Klarheit verschaffen; die Besprechung der verschiedenen Möglichkeiten kann aber hier unterlassen werden.<sup>18)</sup>

**458.** Die Tangente und Schmiegungeebene sollen in einem Punkte einer Raumkurve konstruiert werden. Natürlich wird es bei manchen Raumkurven infolge der Art ihrer Definition möglich sein, die Tangente und Schmiegungeebene in jedem Punkte genau zu konstruieren. Insbesondere wird man bei der Bestimmung der Tangente ganz ähnlich wie in 428 verfahren können, indem der Kurvenpunkt als Schnitt dreier Hilfsflächen erscheint, wodurch dann die Tangente als Diagonale eines unendlich kleinen Parallelepipeds definiert ist, das durch ein ähnliches endliches Parallelepipet ersetzt werden kann. Es ist leicht, Beispiele in großer Zahl hierfür anzugeben, doch soll hier nicht weiter darauf eingegangen werden.

Wenn die Raumkurve in ihren beiden Projektionen gezeichnet vorliegt, so läßt sich unsere Aufgabe in folgender Weise konstruktiv durchführen (Fig. 297). Sind  $c'$ ,  $c''$  die Projektionen der Raumkurve und  $P'$ ,  $P''$  die eines Punktes auf ihr, so bestimmt man nach 425 die

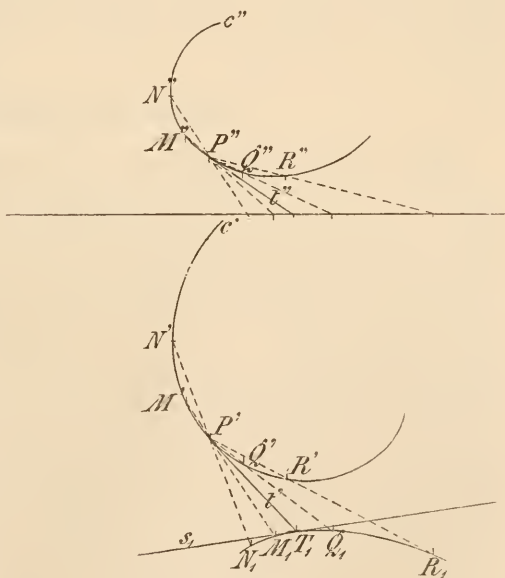


Fig. 297.

Wenn die Raumkurve in ihren beiden Projektionen gezeichnet vorliegt, so läßt sich unsere Aufgabe in folgender Weise konstruktiv durchführen (Fig. 297). Sind  $c'$ ,  $c''$  die Projektionen der Raumkurve und  $P'$ ,  $P''$  die eines Punktes auf ihr, so bestimmt man nach 425 die



Tangenten  $t'$  in  $P'$  an  $c'$  und  $t''$  in  $P''$  an  $c''$ ;  $t'$ ,  $t''$  sind dann die Projektionen der gesuchten Tangente  $t$  in  $P$  an  $c$ . Die gesuchte Schmiegungsebene  $\Sigma$  geht durch  $t$  und kann durch einen Grenzübergang definiert werden. Zieht man von  $P$  aus Strahlen nach allen Punkten der Raumkurve, so erhält man einen Kegel, dessen Mantelfläche auch  $t$  enthält, die Tangentialebene des Kegels längs der Mantellinie  $t$  (vergl. 454) ist die gesuchte Schmiegungsebene. Läßt man nämlich einen Punkt  $Q$  auf  $c$  sich nach  $P$  hin bewegen, so schneidet die Ebene  $tQ$  den Kegelmantel in den Erzeugenden  $t$  und  $PQ$ ; sie wird beim Grenzübergang zur Tangentialebene des Kegels und zugleich zur Schmiegungsebene von  $c$ . Man wähle deshalb in der Nähe von  $P$  auf  $c$  beiderseitig je zwei Punkte, etwa  $Q, R$  resp.  $M, N$  und suche die Spurpunkte der Strahlen  $PQ, PR, PM, PN$  und  $t$  in einer der beiden Projektionsebenen, etwa  $\Pi_1$ . Dann geht die Spurkurve der Kegelfläche durch die Punkte  $Q_1, R_1, T_1, M_1, N_1$  und kann hiernach gezeichnet werden; die Spurlinie  $s_1$  von  $\Sigma$  ist jetzt als Tangente der Spurkurve im Punkte  $T_1$  bestimmt.

### Krumme Oberflächen.

**459.** Wir haben bereits in den abwickelbaren Flächen einen speziellen Fall der krummen Flächen kennen gelernt, und wollen nun zu den allgemeinen krummen Flächen übergehen. Wir können dieselben zunächst als Gebilde definieren, die von jeder Ebene in einer Kurve geschnitten werden. Diese Kurven können freilich auch aus mehreren Teilen, insbesondere auch aus geraden Linien bestehen. Für unsere Zwecke ist es nun unerläßlich, daß wir auf der krummen Fläche mindestens ein System von Raum- oder ebenen Kurven angeben können. Unter einem System von Kurven verstehen wir hierbei unendlich viele Kurven, die die ganze Fläche überdecken, so daß durch jeden Punkt der Fläche wenigstens eine solche Kurve hindurchgeht. Zu jeder Kurve giebt es demgemäß in dem System zwei benachbarte Kurven, die sich in ihrer Lage und zwar ihrer ganzen Erstreckung nach von jener nur unendlich wenig unterscheiden. Die Kurven des Systems können in speziellen Fällen entweder alle kongruent, oder ähnlich und nur der Größe nach verschieden sein; im allgemeinen Falle sind sie in ihrer Gestalt veränderlich, nur müssen auch dann noch zwei benachbarte Kurven bis auf unendlich kleine Unterschiede übereinstimmen. Im ersten Falle wird die Fläche erzeugt durch stetige Bewegung einer konstanten Kurve. So entstehen z. B. durch Bewegung



einer Geraden die abwickelbaren Flächen und die windschiefen Regelflächen; bei den letzteren steht der Abstand je zweier benachbarter Geraden (Erzeugenden) zu ihrem Winkel in einem endlichen Verhältnis, bei ersteren ist dieses Verhältnis unendlich klein. So entstehen z. B. durch Bewegung einer Kurve Translations-, Rotations- und Schraubenflächen, wenn die Punkte der bewegten konstanten Kurve kongruente Bahnen, Kreisbahnen um eine feste Achse oder Schraubenlinien um eine solche Achse beschreiben. (Vergl. darüber die späteren Kapitel.) Im allgemeinen Falle wird die Fläche erzeugt durch stetige Bewegung einer Kurve, die zugleich ihre Form stetig ändert. Dabei müssen natürlich die Gesetze für Bewegung und Formänderung und ihre gegenseitige Abhängigkeit gegeben sein.

**460.** Die Tangente einer Fläche wird, wie bei den Kurven, durch einen Grenzübergang definiert, indem man zunächst eine Gerade durch zwei getrennte Punkte der Fläche legt und diese dann sich gegenseitig nähern und schließlich zusammenfallen läßt. Zieht man auf einer Fläche irgend eine Kurve, so ist jede ihrer Tangenten auch Tangente der Fläche und enthält zwei unendlich nahe Punkte derselben. In jedem Punkte  $P$  einer Fläche giebt es unendlich viele Tangenten, die im allgemeinen in einer Ebene — der Tangentialebene der Fläche in  $P$  — liegen. Zieht man nämlich irgend zwei Tangenten  $t_1, t_2$  im Punkte  $P$  der Fläche, so schneidet die Ebene  $t_1 t_2$  die Fläche in einer Kurve, die in  $P$  einen Doppelpunkt besitzt, da sowohl  $t_1$  als  $t_2$  mit der Schnittkurve im Punkte  $P$  zwei unendlich nahe Punkte gemein haben. Jede Gerade der Ebene  $t_1 t_2$  durch den Punkt  $P$  hat mit der Kurve und sonach mit der Fläche zwei zusammenfallende Punkte gemein, d. h. sie ist Tangente der Fläche; hiermit ist aber unsere Behauptung erwiesen. Es kann allerdings in einzelnen Punkten der Fläche vorkommen, daß jede Gerade durch ihn die Fläche in zwei zusammenfallenden Punkten schneidet; ein solcher Punkt heißt dann Knotenpunkt unserer Fläche, jede Ebene durch ihn schneidet eine Kurve aus, die in ihm einen Doppelpunkt besitzt. Denn, giebt es eine Gerade  $t_3$  durch  $P$ , die dort die Fläche in zwei zusammenfallenden Punkten schneidet und nicht in der Ebene  $t_1 t_2$  liegt, so enthält jede Ebene durch  $t_3$  außer  $t_3$  noch eine weitere Tangente der Fläche im Punkte  $P$  und damit unendlich viele Tangenten.

**461.** Daß die Tangenten in einem Punkte  $P$  einer Fläche im allgemeinen in einer Ebene liegen, kann noch klarer durch folgende Überlegung eingesehen werden, die an die obige Definition der Fläche

anknüpft. Wir gehen zu diesem Zwecke von dem Kurvensysteme aus, durch das die Fläche erzeugt worden ist, und betrachten die durch  $P$  verlaufende Kurve  $k$  des Systems und ihre Nachbarkurve  $l$ . Wir wählen dann auf  $l$  zwei unendlich nahe Punkte  $A$  und  $B$ , deren Entfernung von  $P$  ebenfalls unendlich klein ist, so daß das Dreieck  $APB$  unendlich klein ist, aber endliche Winkel zeigt. Teilen wir jetzt den Kurvenbogen  $AB$  durch Punkte  $C_1, C_2, C_3 \dots C_n$  — wo die Zahl  $n$  über jede Grenze wachsen mag — so sind die Geraden  $PC_1, PC_2 \dots PC_n$  Tangenten unserer Fläche; diese schließen aber mit der Ebene  $APB$  unendlich kleine Winkel ein, können also als in dieser Ebene liegend angesehen werden. Daß eine Gerade  $PC_i$  mit der genannten Ebene einen unendlich kleinen Winkel einschließt, folgt daraus, daß die Entfernung des Punktes  $C_i$  von der Sehne  $AB$ , und damit auch von der Ebene  $APB$ , unendlich klein von der 2. Ordnung ist, wenn  $AB$  und damit  $PA, PB$  und  $PC_i$  unendlich klein von der 1. Ordnung ist.

**462.** Die Senkrechte im Berührungspunkte  $P$  der Tangentialebene heißt die Flächennormale im Punkte  $P$ ; die Ebenen durch diese Normale liefern die Normalschnitte der Fläche. Die Krümmung kann nun für alle Normalschnitte den gleichen Sinn haben, d. h. ihre Krümmungsradien, die ja in die Normale fallen, können alle von  $P$  aus gleich gerichtet sein; dann liegt die Fläche in der Umgebung von  $P$  ganz auf der einen Seite der Tangentialebene und heißt dort elliptisch gekrümmt. Die Tangentialebene schneidet demnach die Fläche in einer Kurve, die  $P$  zum isolierten Doppelpunkt hat; das einfachste Beispiel bildet die Kugel.

Die Krümmung kann aber auch für einen Teil der Normalschnitte im Punkte  $P$  den entgegengesetzten Sinn haben, wie für den andern Teil; die Normalschnitte berühren dann die Tangentialebene im Punkte  $P$  von verschiedenen Seiten. Die Fläche liegt in der Umgebung von  $P$  auf beiden Seiten der Tangentialebene und heißt dort hyperbolisch gekrümmt. Die Tangentialebene schneidet die Fläche in einer Kurve, die in  $P$  einen Doppelpunkt mit reellen Ästen hat. Den Übergang von einem Teil der Normalschnitte zum andern bilden die beiden Normalschnitte mit der Krümmung Null, die also  $P$  zum Wendepunkt haben. Die beiden eigentlichen Tangenten der in der Tangentialebene liegenden Schnittkurve, die die beiden reellen Kurvenäste im Doppelpunkte  $P$  berühren, haben nämlich mit ihr — wie der Übergang zeigt — drei zusammenfallende Punkte gemein; somit haben sie auch mit der Fläche und mit dem zugehörigen

Normalschnitt drei zusammenfallende Punkte gemein; diese Geraden sind demnach Wendetangenten der sie enthaltenden Normalschnitte und werden als Haupttangenten der Fläche im Punkte  $P$  bezeichnet.

**463.** Schneidet die Tangentialebene in einem Punkte  $P$  die Fläche in einer Kurve mit einer Spitze in  $P$ , so heißt die Fläche in  $P$  parabolisch gekrümmt. Alle Normalschnitte in  $P$  berühren die Tangentialebene von der nämlichen Seite, nur ein Normalschnitt hat den Punkt  $P$  zum Wendepunkt, da es nur eine eigentliche Tangente in der Spitze giebt. In einem Punkte parabolischer Krümmung fallen hiernach die beiden Haupttangenten zusammen. Die Fläche liegt in der Umgebung von  $P$  auf einer Seite der Tangentialebene bis auf eine zugespitzte Partie, die von den beiden in der Spitze zusammenlaufenden Kurvenästen begrenzt wird.

Im allgemeinen bilden auf einer Fläche die Punkte parabolischer Krümmung eine Raumkurve, die allerdings in mehrere Teile zerfallen kann. Die Kurve parabolischer Krümmung trennt die elliptisch gekrümmten und die hyperbolisch gekrümmten Flächenteile.

Die zugleich der Fläche angehörigen Elemente der Haupttangenten in benachbarten Flächenpunkten lassen sich stetig aneinanderreihen und erzeugen so Kurven auf der Fläche, die man als Haupttangentenkurven bezeichnet. Reelle Kurven dieser Art existieren nur auf den hyperbolisch gekrümmten Teilen einer Fläche und, wo sie an die Kurve parabolischer Krümmung herantreten, kehren sie unter Bildung einer Spitze wieder um. Bei den abwickelbaren Flächen und bei den Kegel- und Cylinderflächen ist die Krümmung in jedem Punkte parabolisch. Denn jede Tangentialebene berührt längs einer Geraden, der Erzeugenden; für jeden Punkt  $P$  derselben fallen die beiden Haupttangenten zusammen, nämlich in die Erzeugende selbst. In der nächsten Umgebung jedes solchen Punktes liegt die Fläche ganz auf einer Seite ihrer Tangentialebene und reicht nur längs der Erzeugenden an sie heran.

**464.** Die Tangenten, die man von einem Raumpunkte  $Q$  aus an eine Fläche legen kann, bilden eine Kegelfläche (vergl. 474), d. h. ihre Berührungspunkte liegen auf einer Kurve der Fläche. Die Tangentialebenen in den Punkten dieser Kurve gehen durch  $Q$  und umhüllen jene Kegelfläche. In der That, berührt eine Tangentialebene durch  $Q$  die Fläche in einem Punkte  $P$ , so ist dieser für ihre Schnittkurve ein Doppelpunkt und die Verbindungslinie  $QP$  vertritt zwei zusammenfallende Tangenten, wie der Grenzprozeß unmittelbar erkennen läßt. Denn dreht man die Tangentialebene um  $QP$  um einen unendlich

kleinen Winkel, so liefert sie in ihrer neuen Lage eine Schnittkurve ohne Doppelpunkt, die sich von der Schnittkurve mit Doppelpunkt in der Tangentialebene nur unendlich wenig unterscheiden kann, nur hat sich der Doppelpunkt aufgelöst. Die entstehende neue Kurve muß dann die Tangente  $QP$  und eine zweite Tangente aus  $Q$  aufweisen, die ihr unendlich nahe ist. Die Figuren zeigen diese Übergänge beim

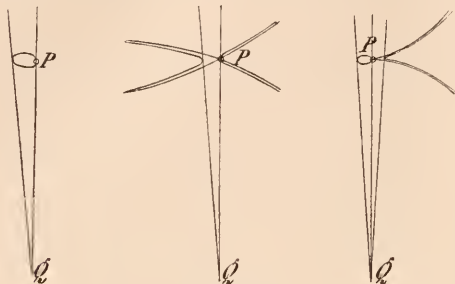


Fig. 298.

isolierten Doppelpunkt zu einem kleinen Oval, beim Doppelpunkt mit sich schneidenden Ästen zu zwei getrennten Ästen, bei der Spitze zu einem Kurvenast und einem kleinen Oval.

isolierten Doppelpunkt zu einem kleinen Oval, beim Doppelpunkt mit sich schneidenden Ästen zu zwei getrennten Ästen, bei der Spitze zu einem Kurvenast und einem kleinen Oval.

## SIEBENTES KAPITEL.

### Kugel, Cylinder, Kegel.

#### Kugel, Cylinder und Kegel, ihre Projektionen, Eigen- und Schlagschatten.

**465.** Von der Darstellung einer krummen Oberfläche gilt ganz das Gleiche, was schon früher von der Darstellung einer Ebene oder eines Stückes einer Ebene gesagt wurde. Es kann nicht unmittelbar entschieden und auch nicht direkt aus der Zeichnung entnommen werden, welches die beiden Projektionen eines durch gewisse Angaben bestimmten Punktes der Oberfläche sind. Vielmehr muß das Entstehungsgesetz der Oberfläche in einer Form bekannt sein, die uns gestattet, ein oder mehrere Kurvensysteme derselben in ihren beiden Projektionen zu zeichnen. Ist dann die eine Projektion eines Punktes der Fläche gegeben, so zeichnet man eine durch ihn verlaufende erzeugende Kurve in der gleichnamigen Projektion, sodann ihre andere Projektion, worauf sich auf dieser auch die andere Projektion des gemeinten Punktes ergibt.



Ist die Oberfläche durch eine Randkurve begrenzt, so begrenzen deren Projektionen auch die Projektionen der Oberfläche.

**466.** Wir betrachten zuerst das Verhalten einer krummen Oberfläche gegen die projizierenden Strahlen, indem wir uns auf eine einzige Projektionsebene und das zugehörige System paralleler projizierender Strahlen beschränken. Wir nehmen an, daß die Oberfläche aus einem einzigen Stück bestehe, da wir für jeden ihrer Bestandteile die gleiche Betrachtung anstellen können. Trifft jeder projizierende Strahl die Fläche entweder nur in einem Punkte oder gar nicht, so ist sie in ihrer ganzen Ausdehnung sichtbar; der Flächenrand scheidet die Strahlen, welche die Fläche treffen, von denen, die sie nicht treffen. Giebt es projizierende Strahlen, die die Fläche in mehreren Punkten schneiden, so ist sie teilweise sichtbar und teilweise unsichtbar. Auf dem sichtbaren Teil der Fläche liegt der erste Durchstoßpunkt  $S_1$  des Strahles, wenn wir ihn in der Projektionsrichtung durchlaufen, der zweite  $S_2$  auf dem unsichtbaren Teile. Die nächste Umgebung von  $S_1$  wird sichtbar, die von  $S_2$  unsichtbar sein, beide Bereiche können nun weiter und weiter ausgedehnt werden, wobei ihre Randkurven immer von dem nämlichen projizierenden Cylinder ausgeschnitten werden mögen. Die beiden Bereiche, in denen  $S_1$  resp.  $S_2$  liegen, werden im allgemeinen, wenn so weit wie möglich ausgedehnt, längs einer Kurve aneinander grenzen; diese muß man überschreiten, um aus dem sichtbaren Bereich in den unsichtbaren zu gelangen und umgekehrt. Der projizierende Strahl durch jeden Punkt dieser Kurve muß dort die Fläche in zwei zusammenfallenden Punkten schneiden oder tangieren. Es kann dieses entweder so geschehen, daß der Bereich, in dem  $S_1$  liegt, den andern längs einer Kurve durchdringt, dann vertauschen sich Sichtbarkeit und Unsichtbarkeit der beiden Bereiche zu beiden Seiten der Durchdringungskurve — die man als Doppelkurve bezeichnet. Oder die Kurve, die den sichtbaren Teil der Fläche von dem unsichtbaren scheidet, hat die Eigenschaft, daß die projizierenden Strahlen durch ihre Punkte die Fläche berühren; diese Strahlen bilden dann eine Cylinderfläche, welche unsere Oberfläche längs jener Kurve berührt, aber außerdem noch durchdringen kann. Ganz ähnliche Resultate gewinnt man, wenn man den zweiten und dritten Durchstoßpunkt  $S_2$  und  $S_3$  eines projizierenden Strahles mit der Oberfläche und die sie einschließenden Bereiche betrachtet, nur kann man diese Bereiche nicht mehr als sichtbare und unsichtbare unterscheiden. Man kann demgemäß den Satz aussprechen: Alle projizierenden Strahlen, die eine Oberfläche berühren,



bilden eine Cylinderfläche, welche jene längs einer Kurve berührt (die mehrteilig sein kann); diese Kurve auf der Oberfläche heißt der wahre Umriß und ihre Projektion der scheinbare Umriß. In dem wahren Umriß grenzen zwei Flächengebiete aneinander, deren Projektionen aufeinander fallen; jede Kurve der Oberfläche, die den wahren Umriß schneidet, projiziert sich als Kurve, die den scheinbaren Umriß berührt. Im allgemeinen wird es schwierig sein, auf einer Fläche hiernach den wahren Umriß zu bestimmen, d. h. Punkte zu finden, in denen eine Tangente parallel zur Projektionsrichtung existiert. Nun liegen aber alle Tangenten in einem gewöhnlichen Punkte einer Oberfläche nach 461 in einer Ebene — seiner Tangentialebene, es läßt sich also auch die Definition geben: Auf dem wahren Umriß liegen alle Punkte, deren Tangentialebenen der Projektionsrichtung parallel sind. Hierauf werden wir in den meisten Fällen die Konstruktion beliebig vieler Punkte des Umrisses gründen können.

467. Setzen wir an die Stelle der projizierenden Strahlen parallele Lichtstrahlen, so wird das bisher Gesagte zu Recht bestehen bleiben, wenn wir einige einfache Abänderungen im Ausdruck treffen. Alle die Fläche berührenden Lichtstrahlen bilden einen Cylinder; die Kurve, längs der er die Fläche berührt, heißt Eigenschattengrenze, Lichtgrenze oder Grenzkurve. Die Tangentialebenen in den Punkten der Grenzkurve sind den Lichtstrahlen parallel. Die Grenzkurve trennt immer zwei Flächenteile, von denen der eine im Eigenschatten, der andere entweder im Lichte oder im Schlagschatten liegt. Denn von den Durchstoßpunkten eines Lichtstrahles mit einer Oberfläche liegt der erste im Licht, der zweite, vierte u. s. w. im Eigenschatten, der dritte, fünfte u. s. w. im Schlagschatten.

468. Eine Kugel, die Lichtgrenze auf ihr sowie ihren Schlagschatten zu zeichnen. Da jede Tangentialebene einer Kugel auf dem Radius ihres Berührungspunktes senkrecht steht und also auch gleiches für jede Tangente gilt, so erkennt man, daß der wahre Umriß ein größter Kreis ist, dessen Ebene den Kugelmittelpunkt enthält und auf der Projektionsrichtung normal, d. h. der bezüglichen Projektionsebene parallel ist. Ganz ebenso bildet die Lichtgrenze einen größten Kreis, dessen Ebene zur Lichtstrahlrichtung senkrecht ist.

Sind also  $M'$ ,  $M''$  die Projektionen des Kugelmittelpunktes, so sind die scheinbaren Umrisse  $k'$  und  $i''$  Kreise, deren Radien dem

Kugelradius  $r$  gleich sind und die  $M'$  resp.  $M''$  zu Mittelpunkten haben. Die anderen Projektionen dieser Kreise sind parallele Linien zur  $x$ -Achse durch  $M''$  resp.  $M'$  (Fig. 299).

Die Lichtgrenze  $u$  ist ein größter Kreis, dessen Ebene  $\Gamma$  senkrecht zum Lichtstrahl  $l$  ist; ihre Projektionen  $u'$  und  $u''$  sind Ellipsen. Sind  $AB$  und  $CD$  zwei Durchmesser des Kreises  $u$  und ist  $AB \parallel \Pi_1$  eine Hauptlinie,  $CD \perp AB$  eine Falllinie von  $\Gamma$ , so ist  $A'B'$

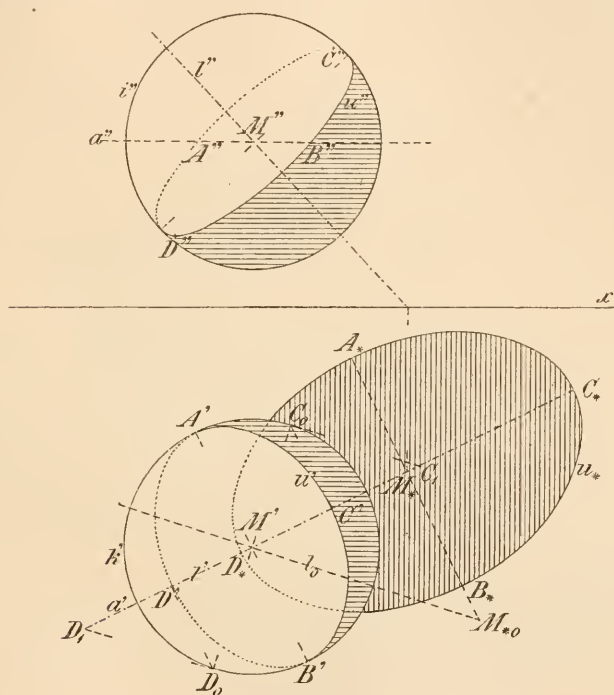


Fig. 299.

( $\perp AB$ ) die große und  $C'D'$  ( $\perp A'B'$ ) die kleine Achse der Ellipse  $u'$ . Legt man durch  $M$  den Lichtstrahl  $l$  und durch ihn die erste projizierende Ebene, so schneidet diese auf  $\Gamma$  die Gerade  $CD$  aus. Diese Ebene dreht man um die Gerade  $a$  parallel zu  $\Pi_1$ , so nimmt  $M_*$  die Lage  $M_{*0}$  ( $M_*M_{*0} = (M'' \dashv x)$ ), also  $l$  die Lage  $l_0 = MM_{*0}$  und  $CD$  die Lage  $C_0D_0 \perp l_0$  an. Durch Zurückdrehen findet man dann  $C'D'$  (wo  $C_0C' \perp a'$ ). Ganz in der gleichen Weise kann man die Achsen der Ellipse  $u''$  finden. Die Aufrißprojektionen  $A, B, C, D$  sind offenbar  $A'', B'', C'', D''$ , wo  $(C'' \dashv a'') = C_0C'$  ist.

Der Schlagschatten  $u_*$  von  $u$  auf die Horizontalebene ist natürlich wieder eine Ellipse; die Schlagschatten der rechtwinkligen

Durchmesser  $AB$  und  $CD$  von  $u$ , nämlich  $A_*B_*$  und  $C_*D_*$ , stehen aufeinander senkrecht, bilden also die Achsen der Ellipse  $u_*$ . Da  $AB \parallel \Pi_1$ , so ist  $A_*B_* \nparallel A'B'$ ; um  $C_*D_*$  zu finden, suchen wir zuerst den Schatten von  $CD$  auf eine Horizontalebene durch den Kugelmittelpunkt. Die Lichtstrahlen durch  $C$  und  $D$  liegen aber mit  $l$  in einer Vertikalebene, die wir bereits oben um eine Achse  $a$  parallel zu  $\Pi_1$  gedreht haben. Bei dieser Drehung werden die genannten Lichtstrahlen parallel zu  $l_0$  und ihre Schnittpunkte  $C_1, D_1$  mit  $a$  sind zugleich die Schnittpunkte jener Lichtstrahlen durch  $C$  und  $D$  mit der horizontalen Hilfsebene, da sie sich bei der Drehung ja nicht ändern. Nun hat man nur noch  $M_*C_* = M_*D_* = M'C_1 = M'D_1$  zu machen. Man kann die Punkte  $C', D', C_*, D_*$  auch dadurch bestimmen, daß man die erste projizierende Ebene von  $l$  um die vertikale Achse durch  $M$  zum Aufriß parallel dreht. Dann erscheint im Aufriß der Durchmesser  $CD$  normal zum mitgedrehten Lichtstrahl und kann samt seinem Schatten leicht gezeichnet werden. Schließlich hat man wieder zurückzudrehen.

Fällt ein Teil des Schlagschattens in den Aufriß, so kann man entweder wie vorher die Achsen der Schlagschattenellipse im Aufriß bestimmen, oder man konstruiert zu einzelnen Punkten den Aufrißschatten aus dem Grundrißschatten. Sind  $P_*$  und  $P^*$  die Schatten von  $P$  im Grund- und Aufriß, und projiziert man sie auf die  $x$ -Achse, so liegt der erste mit der Projektion des zweiten auf einer Parallelen zu  $l'$  und der zweite mit der Projektion des ersten auf einer Parallelen zu  $l''$ .

**469.** Eine Cylinderfläche entsteht, wenn eine Gerade parallel mit sich selbst so fortbewegt wird, daß sie dabei ständig eine feste Kurve, die Leitkurve oder Grundkurve, schneidet. Die einzelnen Lagen der bewegten Geraden heißen Mantellinien oder Erzeugende. Die erzeugte Fläche wird von jeder Ebene, die den Mantellinien parallel ist, in einer Anzahl Mantellinien geschnitten. Man kann diese konstruieren, indem man die Cylinderfläche und die Ebene mit einer Hilfsebene schneidet; Spurkurve und Spurgerade in dieser schneiden sich dann in Punkten der gesuchten Mantellinien. Hält man eine Mantellinie fest und dreht die Ebene um sie, so bewegen sich deren weitere Schnittgeraden. Setzt man die Drehung fort, bis die erwähnte Spurgerade der Ebene die Spurkurve der Cylinderfläche berührt, so fallen zwei Schnittlinien zusammen, die Ebene berührt in dieser Lage die Fläche längs einer Mantellinie. In der That tangiert jede Gerade dieser Ebene die Cylinderfläche, da zwei ihrer Schnittpunkte auf jener Mantellinie zusammen-

fallen. Kennt man von einer Cylinderfläche irgend eine, alle Mantellinien schneidende, ebene oder Raumkurve und die Richtung ihrer Mantellinien, so ist sie bestimmt. Jene Kurve kann nämlich als Leitkurve dienen.

**470.** Der wahre Umriß einer Cylinderfläche besteht aus einer Anzahl Mantellinien, da in allen Punkten einer solchen die nämliche Tangentialebene berührt. Sind  $m'$ ,  $m''$  die Projektionen

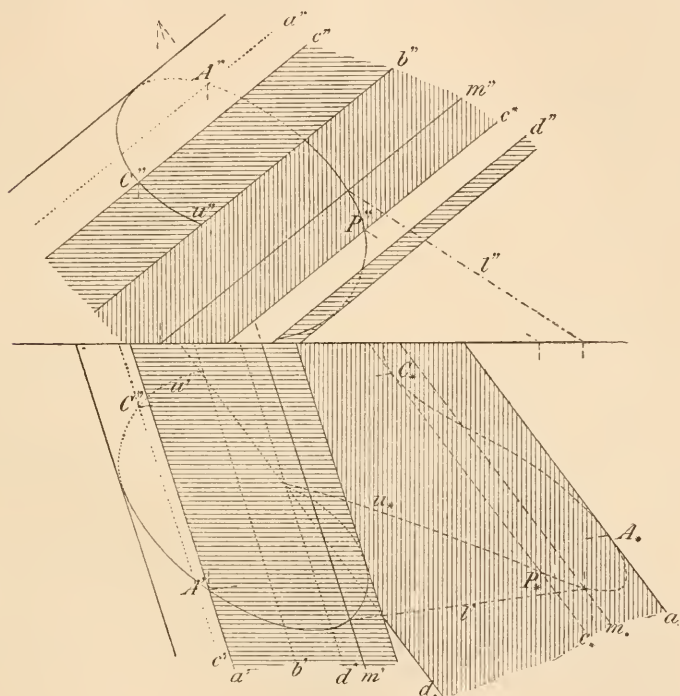


Fig. 300.

einer Mantellinie und  $u'$ ,  $u''$  die einer beliebigen Kurve der Cylinderfläche, so bestehen die scheinbaren Umrisse aus denjenigen Tangenten von  $u'$  resp.  $u''$ , die zu  $m'$  resp.  $m''$  parallel laufen. Auch die Lichtgrenze besteht aus einer Anzahl Mantellinien, längs deren die Tangentialebenen parallel zum Lichtstrahl sind. Ist  $u_*$  und  $m_*$  der Horizontalschatten von  $u$  und  $m$  (Fig. 300) und zieht man an  $u_*$  Tangenten parallel zum  $m_*$ , so bilden diese die Horizontalspuren von Ebenen, die zu den Lichtstrahlen parallel sind und die Cylinderfläche tangieren. Ist  $a_*$  eine solche Tangente und  $A_*$  ihr Berührungspunkt mit  $u_*$ , so lege man durch  $A_*$  einen Lichtstrahl, der  $u$  in

einem Punkte  $A$  schneidet; die Mantellinie  $a$  durch  $A$  bildet dann einen Teil der Lichtgrenze, trennt also ein im Eigenschatten liegendes Flächengebiet von einem andern, das sich im Licht oder im Schlagschatten befindet. Ebenso findet man die Lichtgrenze  $c$ , ihr Schlagschatten  $c_*$  kommt indessen auf der Horizontalebene nicht wirklich zu stande, da er in das Innere des Schlagschattens des Cylinders fällt. Es giebt deshalb eine zweite Mantellinie, deren Schatten ebenfalls nach  $c_*$  fällt, sie geht durch den Punkt  $P$  von  $u$ , dessen Schatten  $P_* = c_* \times u_*$  ist, und empfängt von  $c$  Schlagschatten.

Das Verfahren läßt sich vereinfachen, wenn die Kurve  $u$  auf der Cylinderfläche in einer Ebene  $E$  liegt. Dann bestimme man den Schatten von  $m$  auf  $E$ , etwa  $m^*$ , und lege an  $u$  Tangenten parallel zu  $m^*$ ; die Mantellinien durch ihre Berührungspunkte bilden die Lichtgrenze. Wirft eine Mantellinie Schlagschatten auf einen Teil der Cylinderfläche, so ist dieser wieder eine Mantellinie; beide besitzen in der Ebene  $E$  Spurpunkte auf  $u$ , deren Verbindungslinie zu  $m^*$  parallel ist.

**471.** Nachdem wir hiermit die allgemeinen Methoden kennen gelernt haben, wollen wir dieselben auf einzelne Fälle anwenden. Wir werden dabei annehmen, daß die Cylinderfläche von zwei ebenen parallelen Schnitten begrenzt sei und sie kurz als Cylinder bezeichnen. Wie man solche ebene Schnitte findet, davon wird weiterhin noch die Rede sein.

Sei die Grundebene  $E$  und in ihr als Grundkurve eines Cylinders eine Ellipse  $u$  durch ihre erste Projektion  $u'$ , sowie die Richtung  $m$  seiner Mantellinien gegeben; es sollen die Projektionen des Cylinders, sein Eigen- und Schlagschatten gefunden werden.

Seien  $e_1, e_2$  die Spuren von  $E$ , seien ferner  $M'$  der Mittelpunkt und  $A'B', C'D'$  zwei konjugierte Durchmesser von  $u'$  und bilde  $MN$  (als Parallele zu den Mantellinien) die Cylinderachse (Fig. 301). Man findet dann sofort die konjugierten Durchmesser  $A''B'', C''D''$  der Ellipse  $u''$  (denn  $AB, CD$  liegen in  $E$ ) und kann daraus die Ellipsen  $u'$  und  $u''$  selbst zeichnen. Der scheinbare Umriß in  $\Pi_1$  wird von den beiden Tangenten von  $u'$  gebildet, die zu  $M'N'$  parallel laufen; ihre Berührungspunkte liegen aber auf dem Durchmesser  $J'K'$ , der zu  $M'N'$  konjugiert ist. Zeichnet man demnach in  $A'$  die Tangente und Normale von  $u'$  und bestimmt auf der letzteren den Punkt  $P_0$ , so daß  $P_0A' = M'C' = M'D'$  wird, so ist der Kreis um  $P_0$  mit dem Radius  $P_0A'$  zu  $u'$  affin und die gemeinsame Tangente die Affinitäts-





Mittelpunkten  $M$  und  $N$  kongruent und parallel sind, so sind auch ihre Schatten kongruent;  $u'$  und  $u_*$  sind affin,  $e_1$  ist die Affinitätsachse.

Wäre die Grundkurve  $u$  des Cylinders keine Ellipse, sondern eine beliebige Kurve, so wäre die Konstruktion genau dieselbe geblieben, nur hätten wir die Tangenten und ihre Berührungspunkte nach den im vorigen Kapitel angeführten Methoden bestimmen müssen.

**472.** Denken wir uns den Cylinder hohl, so wird ein Teil seines oberen Randes  $v$  Schatten auf die innere Cylinderfläche werfen. Empfängt eine Mantellinie den Schatten einer anderen, so muß sie mit ihr in einer Parallelebene zum Lichtstrahle liegen, d. h. in einer Ebene, die zu  $MN^*$  parallel ist.  $MN^*$  ist aber die Spur dieser Ebene in  $E$ , jene Parallelebene besitzt also in  $E$  und in der Ebene der Ellipse  $v$  Spuren, die zu  $MN^*$  parallel laufen. Ist demnach die Sehne  $Q'R'$  von  $v'$  parallel zu  $M'N'^*$ , so wirft die Mantellinie durch  $Q$  und damit  $Q$  selbst seinen Schatten auf die Mantellinie durch  $R$ , wodurch sich  $Q^*$  sofort ergibt, da  $Q'Q^* \parallel l'$  ist. Der Schlagschatten  $v^*$  von  $v$  auf dem Cylinder verläuft offenbar von  $F'_1$  nach  $G_1$  und man kann in der geschilderten Weise beliebig viele Punkte von ihm zeichnen. Es bildet indes  $v^*$  eine Halbellipse, von der  $F'_1N' = N'G'_1$  und  $H_1^*N'$  ein Paar konjugierte Halbmesser sind ( $H_1'L'_1 \parallel M'N'^*$  und  $H_1'H_1^* \parallel l'$ ). In 506 wird nämlich gezeigt, daß zwei Cylinder, die sich in einer Ellipse durchschneiden, noch eine zweite Ellipse gemein haben; die beiden Ellipsen besitzen einen gemeinsamen Durchmesser und sind affin. Durch  $v$  geht nun außer dem gegebenen Cylinder noch ein Cylinder, dessen Mantellinien den Lichtstrahlen parallel laufen, sie durchdringen sich — abgesehen von  $v$  — noch in der Schlagschattenellipse  $v^*$ .

**473.** Wir wollen uns noch die Frage nach den Tangentialebenen eines Cylinders aus einem gegebenen Punkte vorlegen. Die Tangentialebene in einem Punkte des Cylinders berührt ihn längs der Mantellinie, die jenen Punkt enthält; alle Tangentialebenen sind also den Mantellinien parallel. Legt man demnach durch den gegebenen Punkt eine Parallele zu den Mantellinien, so müssen die gesuchten Tangentialebenen diese Parallele enthalten. Die Spuren der Tangentialebenen in  $E$  sind also die von dem Schnittpunkt der Parallelen mit  $E$  an  $u$  gelegten Tangenten; dadurch ergeben sich denn auch die Berührungslinien jener Ebenen. Würde man sich den gegebenen Punkt als Lichtquelle vorstellen, so würden die Berührungslinien die Lichtgrenzen auf dem Cylinder bedeuten. In der Fig. 301 ist die letzte Konstruktion nicht durchgeführt.

**474.** Eine Kegelfläche entsteht durch Bewegung einer Geraden, von der ein Punkt festgehalten wird und die an einer festen Leitkurve oder Grundkurve hingleitet. Die einzelnen Lagen der bewegten Geraden heißen Mantellinien oder Erzeugende, der gemeinsame feste Punkt die Spitze oder der Scheitel der Kegelfläche. Die erzeugte Fläche wird von jeder Ebene durch ihre Spitze in einer Anzahl Mantellinien geschnitten, die man dadurch konstruiert, daß man Kegelfläche und Ebene mit einer Hilfsebene schneidet; Spurkurve und Spurgrade schneiden sich dann in den Spurpunkten der gesuchten Mantellinien. Hält man eine solche fest und dreht die Ebene um sie, so bewegen sich die andern Schnittgeraden. Setzt man die Drehung fort bis die Spurgrade der Ebene die Spurkurve der Kegelfläche berührt, so fallen zwei Mantellinien zusammen; die Ebene berührt in dieser Lage die Fläche längs dieser Mantellinie. In der That tangiert jede Gerade dieser Ebene die Kegelfläche, da zwei ihrer Schnittpunkte auf jener Mantellinie zusammenfallen.

Kennt man von einer Kegelfläche die Spitze und irgend eine ebene oder Raumkurve, die alle Erzeugenden schneidet, so ist sie bestimmt.

**475.** Der wahre Umriß einer Kegelfläche besteht aus einer Anzahl Mantellinien, da in den Punkten einer solchen die gleiche Tangentialebene berührt. Sind  $S'$ ,  $S''$  die Projektionen der Spitze und  $u'$ ,  $u''$  die einer beliebigen Kurve der Kegelfläche (die alle Mantellinien schneidet), so bestehen die scheinbaren Umrisse aus den von  $S'$  resp.  $S''$  an die Kurve  $u'$  resp.  $u''$  gelegten Tangenten. Auch die Lichtgrenze besteht aus einer Anzahl Mantellinien; längs derselben sind die Tangentialebenen parallel zum Lichtstrahl. Sind  $S_*$  und  $u_*$  die Horizontalschatten von  $S$  und  $u$ , so sind die Tangenten von  $S_*$  an  $u_*$  die Horizontalspuren von Ebenen, die den Lichtstrahl  $SS_*$  durch die Kegelspitze enthalten und die Fläche tangieren. Ist  $a_*$  eine solche Tangente und  $A_*$  ihr Berührungspunkt auf  $u_*$ , so lege man durch  $A_*$  einen Lichtstrahl, der  $u$  in einem Punkte  $A$  schneidet; die Mantellinie  $SA$  bildet dann einen Teil der Lichtgrenze (Fig. 302).

Liegt die Kurve  $u$  der Kegelfläche in einer Ebene  $E$ , so verfährt man am bequemsten in folgender Weise. Man suche den Schatten von  $S$  auf  $E$ , etwa  $S^*$ , und lege von  $S^*$  Tangenten an  $u$ , dann bilden die Mantellinien durch ihre Berührungspunkte die Lichtgrenze. Wirft eine Mantellinie Schlagschatten auf einen Teil der Kegelfläche, so ist ihr Schatten wieder eine Mantellinie; beide

besitzen in der Ebene  $E$  Spurpunkte auf  $u$ , deren Verbindungsline durch  $S^*$  hindurchgeht (ihre Schatten in  $E$  decken sich).

Eine Kegelfläche, die durch die Spitze und einen ebenen Schnitt als Grundkurve begrenzt wird, heißt kurz Kegel. In 92—94 und 248—252 sind ausführlich die Eigenschaften der geraden

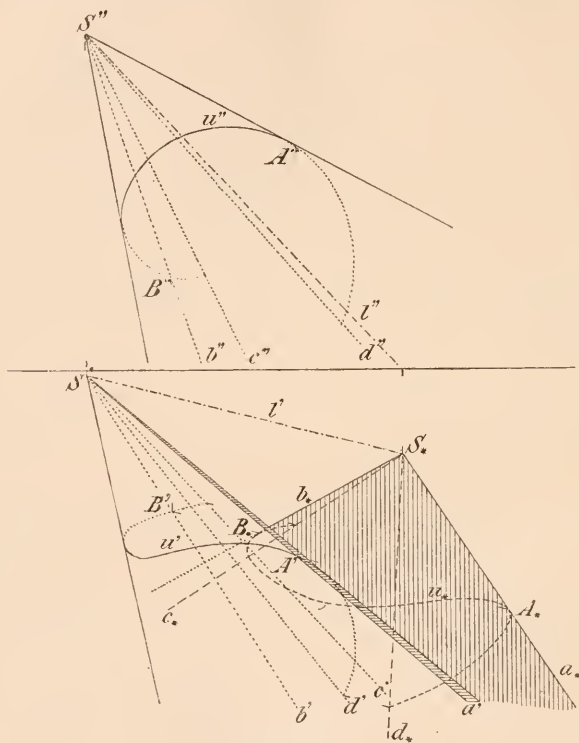


Fig. 302.

und schiefen Kreiskegel behandelt worden, auf die hier nochmals verwiesen sein mag.

**476.** Einen geraden Kreiskegel zu zeichnen, wenn die Basisebene  $E$ , seine Höhe  $h$ , sowie Mittelpunkt  $O$  und Radius  $r$  seines Grundkreises  $u$  gegeben sind; Eigen- und Schlagshadow zu bestimmen (Fig. 303).

Man legt durch  $O$  eine Hilfsebene  $\Pi_3$  senkrecht zu  $e_1$  und zeichnet in ihr einen Seitenriß. Zunächst ergibt sich  $e_3$  und  $O''$ , dann  $O''S'' \perp e_3$  und  $= h$  und als Seitenriß des Kegels das Dreieck  $A''B''S''$  ( $A''B'' = 2r$ ). Hieraus findet man unmittelbar  $S'$ ,  $S''$  (in der Figur liegt  $S$  in  $\Pi_1$ ) und die Achsen  $A'B'$  und  $C'D' = 2r$  von  $u'$ ;

die beiden Tangenten von  $S'$  an  $u'$  bilden dann den scheinbaren Umriß für die erste Projektion. Um die Berührungspunkte  $J'K'$  dieser Tangenten zu konstruieren, lege man  $u$  um  $e_1$  nach  $u_0$  nieder und benutze die Affinität von  $u_0$  und  $u'$ . Sucht man zu  $S'$  den

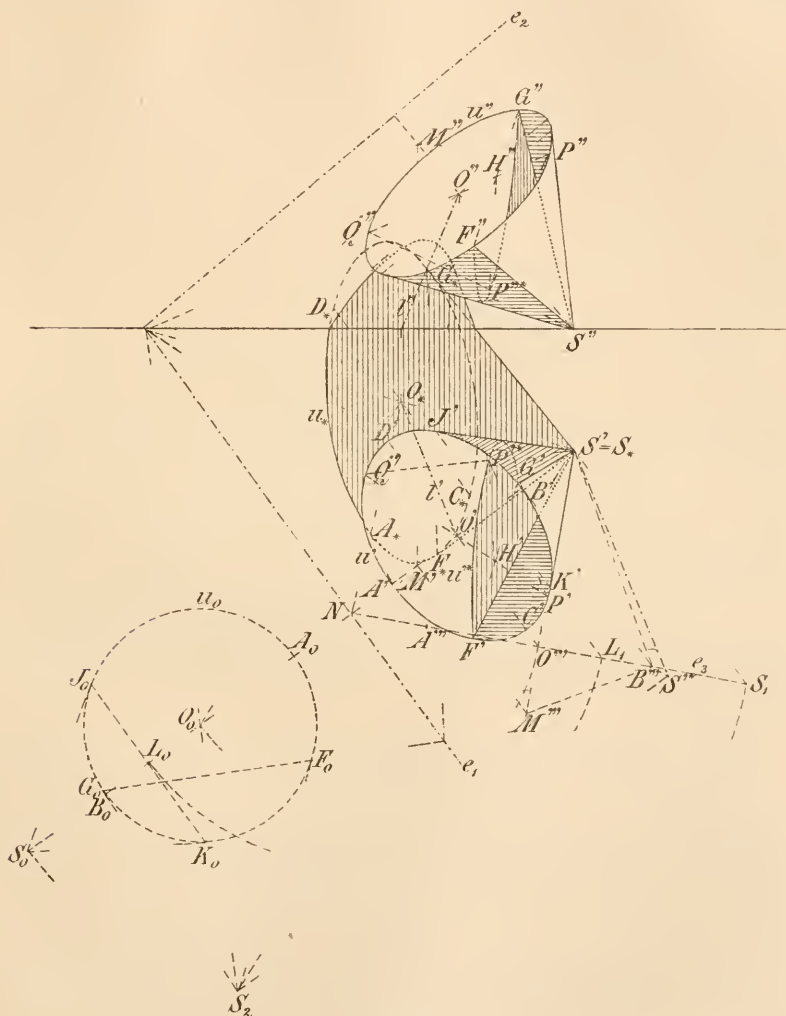


Fig. 303.

affinen Punkt  $S_0(S'S_1 \parallel e_1, S_1N = S_0N)$ , zieht die Kreistangenten  $S_0J_0$  und  $S_0K_0$ , so sind die affinen Linien  $S'J', S'K'$  die gesuchten Umrißlinien ( $L_0N = NL_1, J'K' = J_0K_0$  durch  $L_1$ ). Im Aufriß kann man ganz analog verfahren. Man kann die Tangenten  $S'J'$  und  $S'K'$



auch noch einfacher durch folgende Überlegung gewinnen. Man denke sich eine Kugel, die den Kegelmantel längs  $u$  berührt; der Seitenriß ihres Mittelpunktes  $M$  ist  $M''' (M'''B''' \perp B''S''')$  und ihr Radius  $= M'''B'''$ . Grundriß und Aufriß der Kugel sind Kreise mit dem gleichen Radius und den Mittelpunkten  $M'$  resp.  $M''$ . Die Tangenten an diese Kreise aus den Punkten  $S'$  bzw.  $S''$  und ihre Berührungspunkte fallen zusammen mit den gesuchten Tangenten an  $u'$  bzw.  $u''$  und ihren Berührungspunkten. In der That berührt jede Ebene, die den Kegel längs einer Mantellinie berührt, die Hilfskugel in dem auf  $u$  gelegenen Endpunkte der Mantellinie. Ist diese Tangentialebene zu einer Projektionsebene senkrecht, so liefert sie eine Umrißlinie des Kegels und einen Punkt auf dem Kugelumriß, der zugleich dem Kreise  $u$  angehört, was unsere Behauptung beweist.

Um den Horizontalschatten des Kegels zu konstruieren, zeichnen wir zunächst den Schatten  $A_*B_*C_*D_*S_*(C_*D_* = C'D')$ ; dann sind  $A_*B_*$  und  $C_*D_*$  zwei konjugierte Durchmesser der Ellipse  $u_*$  und die Tangenten von  $S_*$  an  $u_*$  bilden die Grenzlinien des Schlagsschattens. Um sie zu zeichnen, benutze man die Affinität von  $u_0$  und  $u_*$  ( $e_1$  Affinitätsachse), suche zu  $S_*$  den affinen Punkt  $S_2$  und lege an  $u_0$  die Tangenten  $S_2F_0$  und  $S_2G_0$ . Bestimmt man zur Berührungssehne  $F_0G_0$  rückwärts die affine Strecke  $F_*G_*$ , so ist sie die Berührungssehne der von  $S_*$  an  $u_*$  gelegten Tangenten. Aber auch  $u_0$  und  $u'$  sind affine Kurven ( $e_1$  Affinitätsachse) und die zu  $F_0G_0$  affinen Punkte  $F'G'$  von  $u'$  ergeben auf dem Kegel die Lichtgrenzen  $S'F'$  und  $S'G'$ , woraus sich dann leicht  $S''F''$  und  $S''G''$  finden lassen.

**477.** Nehmen wir an, daß der Kegel hohl sei, so wirft ein Teil des Randes  $u$  Schlagsschatten auf das Innere des Kegelmantels. Zwei Mantellinien, von denen eine auf die andere Schatten wirft, werfen den gleichen Schatten auf  $\Pi_1$ , man kann also mit Hilfe des Horizontalschattens zu jeder Mantellinie die von ihr Schatten empfangende Mantellinie des Kegels finden, und somit beliebig viele Punkte des Schattens  $u^*$  von  $u$  auf die Kegelfläche. Noch besser benutzt man, um Punkte dieses Schattens  $u^*$  zu konstruieren, den Schatten  $S^*$  von  $S$  auf  $E$ . Empfängt nun eine Mantellinie den Schatten einer andern, so liegen ihre Spurpunkte auf  $u$  in  $E$  mit  $S^*$  in gerader Linie.

Nach 506 durchdringen sich Cylinder- und Kegelfläche, die einen Kegelschnitt gemeinsam haben, noch in einem zweiten; die gemeinsame Sehne beider Kegelschnitte schneidet die Flächen in zwei Punkten, in denen sie die gleiche Tangentialebene aufweisen.

Der Schatten  $u^*$  erscheint aber als Schnitt der Kegelfläche mit einem Cylinder, dessen Grundkurve der Kreis  $u$  ist und dessen Mantellinien zu den Lichtstrahlen parallel sind. Es ist deshalb  $u^*$  ein Kegelschnitt und  $FG$  ist die gemeinsame Sehne von  $u$  und  $u^*$ . Die Kurven  $u$  und  $u^*$  sind affin, da sie auf dem nämlichen Cylinder liegen,  $FG$  ist die Affinitätsachse,  $P$  und  $P^*$  sind ein Paar affiner Punkte ( $P = u \times OS^*$ ,  $PP^* \parallel l$ ,  $S^*P \times SP^* = Q$  liegt auf  $u$ ). Was nun für  $u$  und  $u^*$  gesagt wurde, gilt in gleicher Weise für  $u'$  und  $u^{*'} (resp. für  $u''$  und  $u^{*''}$ ). Die Affinitätsachse ist  $F'G'$ , ein Paar affiner Punkte sind  $P'$  und  $P^{*'}; hiernach ist aber die Ellipse  $u^{*'} leicht als affine Kurve zu  $u'$  zu zeichnen.$$$

Liegt noch die Frage nach den Tangentialebenen eines Kegels aus einem gegebenen Punkte vor, so bemerkt man zunächst, daß jede solche Ebene längs einer Mantellinie berührt, also durch die Spitze  $S$  hindurchgeht. Die gesuchten Tangentialebenen enthalten demnach die Gerade  $ST$ , wenn  $T$  der gegebene Punkt ist. Ist  $U = ST \times E$ , so müssen die Spurlinien unserer Tangentialebenen in  $E$  durch  $U$  gehen und die Kurve  $u$  berühren, sie können mithin gezeichnet werden. In der Figur ist diese Konstruktion nicht durchgeführt.

478. Von einem Kegel ist der Scheitel  $S$  und die Grundkurve  $u$  bekannt, die eine Ellipse, Parabel oder Hyperbel sein kann; es sollen seine Achsen bestimmt werden.

Wir haben im vorausgehenden Kapitel gesehen, daß die Polareigenschaften eines Kegelschnittes bei Centralprojektion sich nicht ändern; hieraus lassen sich unmittelbar die Polareigenschaften des Kegels erschließen. Hat eine Kegelfläche den Scheitel  $S$  und die Grundkurve  $u$  und stellen  $A$  und  $a$  irgend einen Pol und seine Polare in Bezug auf  $u$  dar, so heißt  $SA = a_c$  der Polstrahl der Ebene  $Sa = A$  in Bezug auf die Kegelfläche und umgekehrt heißt  $A$  die Polarebene des Strahles  $a_c$ . Alle Kegelsehnen (d. h. Strecken, deren Endpunkte auf dem Kegel liegen) werden, falls sie selbst oder ihre Verlängerungen  $a_c$  schneiden, durch  $a_c$  und  $A$  harmonisch geteilt. Speziell werden alle Kegelsehnen, die zu  $a_c$  parallel sind, durch  $A$  halbiert. Analog werden alle Sehnen, die durch einen Punkt  $M$  von  $a_c$  gehen und zu  $A$  parallel sind, in  $M$  halbiert, oder mit andern Worten: die Mittelpunkte aller zu einer Ebene  $A$  parallelen Kegelschnitte liegen auf dem zu  $A$  gehörigen Polstrahl  $a_c$ . Diese Kegelschnitte sind natürlich ähnliche und ähnlich gelegene Kurven und zwar Ellipsen, Parabeln oder Hyperbeln; unter ihnen befindet sich der Ebene durch  $S$  entsprechend ein Punkt, eine

doppelte Gerade oder ein Geradenpaar. Steht ein Pohlstrahl auf seiner Polarebene senkrecht, so bildet er eine Achse und seine Polarebene eine Haupt- oder Symmetrieebene des Kegels; letztere halbiert alle zu ihr senkrechte Sehnen, erstere trägt die Mittelpunkte aller zu ihr senkrechten Schnittkurven. Durch jede Kegelachse gehen zwei Hauptebenen, nämlich die Ebenen, welche die Achsen der zu ihr senkrechten Kegelschnitte enthalten; denn sie halbieren die zu ihnen senkrechten Sehnen. Analog liegen in jeder Hauptebene zwei Kegelachsen; sie sind den Achsen der zu ihr parallelen Kegelschnitte parallel. Jeder Kegel besitzt demnach drei zu einander rechtwinklige Achsen, die zu zwei und zwei die drei Hauptebenen bestimmen (vergl. 252). Zunächst haben wir dabei vorausgesetzt, daß immer eine Achse existiert, die weitere Darlegung wird die Richtigkeit dieser Voraussetzung ergeben.

479. Zwei Strahlen durch  $S$ , von denen jeder in der Polarebene des anderen liegt, heißen harmonisch oder konjugiert. Zu jedem Strahl durch  $S$  giebt es einen harmonischen, rechtwinkligen Strahl, er bildet die Schnittlinie der zu jenem Strahl durch  $S$  gelegten Normalebene mit seiner Polarebene. Nur zu den Achsen sind alle Strahlen der zugehörigen Hauptebene rechtwinklig und zugleich harmonisch. Seien nun  $\Lambda$  und  $M$  zwei beliebige Ebenen durch den Scheitel  $S$  des Kegels,  $l$  und  $m$  ihre Spuren in der Ebene  $\Pi$  der Grundkurve  $u$ ,  $l_n$  und  $m_n$  ihre Normalen in  $S$ ,  $l_c$  und  $m_c$  ihre Polstrahlen; die Spurpunkte dieser Geraden in  $\Pi$  mögen  $L_n$ ,  $M_n$ ,  $L_c$ ,  $M_c$  respektive sein. Bezeichnen wir ferner mit  $A$  den Spurpunkt eines Strahles  $a$  durch  $S$ , mit  $A_n$  die Normalebene zu  $a$  in  $S$ , mit  $A_c$  die Polarebene von  $a$ , mit  $a_n$  resp.  $a_c$  die Spurlinien dieser Ebenen, dann ist  $a_1 = A_n \times A_c$  der harmonische rechtwinklige Strahl zu  $a$  und  $A_1 = a_n \times a_c$  sein Spurpunkt. Beschreibt nun  $a$  einen Strahlbüschel in der Ebene  $\Lambda$  mit dem Scheitel  $S$ , so beschreibt  $A_n$  einen dazu projektiven Ebenenbüschel mit der Achse  $l_n$  und  $A_c$  einen projektiven Ebenenbüschel mit der Achse  $l_c$ . In der Ebene  $\Pi$  durchläuft dann der Spurpunkt  $A$  von  $a$  die Punktreihe  $l$ , während der Spurpunkt  $A_1$  des zu  $a$  harmonischen, rechtwinkligen Strahles  $a_1$  einen Kegelschnitt  $l_1$  durchläuft; dieser Kegelschnitt wird erzeugt durch zwei projektive Strahlbüschel, deren entsprechende Strahlen  $a_n$  und  $a_c$  sich um die Scheitel  $L_n$  und  $L_c$  drehen, er enthält deshalb die Punkte  $L_n$  und  $L_c$ . In gleicher Weise werden den Punkten einer Geraden  $m$  von  $\Pi$  die Punkte eines Kegelschnittes  $m_1$  entsprechen, wenn wir die Spurpunkte harmonischer rechtwinkliger Strahlen kurzweg als entsprechende Punkte be-

zeichnen (Fig. 304). Dem Punkte  $W = l \times m$  entspricht ein gemeinsamer Punkt  $W_1$  von  $l_1$  und  $m_1$ ; diese Kegelschnitte müssen sich deshalb mindestens noch in einem weiteren Punkte  $X_1$  schneiden. Zu  $X_1$  giebt es mithin je einen entsprechenden Punkt auf  $l$  und  $m$ ; zu  $SX_1 = x_1$  giebt es also zwei harmonische rechtwinklige Strahlen, d. h.  $x_1$  ist eine Achse unseres Kegels, der nach Obigem noch zwei weitere Achsen besitzen muß. Die Kegelschnitte  $l_1$  und  $m_1$  schneiden sich — abgesehen von dem zu  $l \times m$  entsprechenden Punkte — in den Spurpunkten  $X_1, Y_1, Z_1$  der drei Kegelachsen  $x_1, y_1, z_1$ .

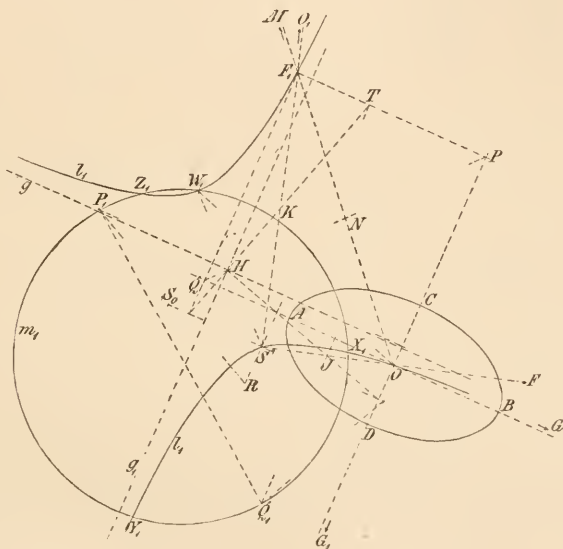


Fig. 304.

**480.** Hiernach genügt es zu zwei beliebigen Geraden  $l$  und  $m$  die entsprechenden Kegelschnitte  $l_1$  und  $m_1$  wirklich zu zeichnen, um ihre Schnittpunkte und damit die Achsen des Kegels zu gewinnen. Zur Erzeugung des Kegelschnittes  $l_1$  dienen zwei projektive Strahlbüschel; der eine hat seinen Scheitel im Pole  $L_c$  von  $l$  in Bezug auf  $u$ ; seine Strahlen sind die Polaren der bezüglichen Punkte von  $l$ . Der andere hat seinen Scheitel in  $L_n$ ; seine Strahlen stehen senkrecht auf den Verbindungslinien der bezüglichen Punkte von  $l$  mit  $S'$ , wo  $S'$  die Projektion von  $S$  auf  $\Pi$  bedeutet. Ist  $L_2$  der Fußpunkt des von  $S'$  auf  $l$  gefällten Lotes, so liegt  $L_n$  auf der Verlängerung dieses Lotes  $S'L_2$  über  $S'$  hinaus und genügt der Relation  $S'L_2 \cdot S'L_n = h^2$ , wenn man unter  $h = SS' = S'S_0$  die Höhe des Kegels versteht, da ja  $\angle L_2SL_n$  ein rechter Winkel ist. Jeder Geraden



in  $\Pi$  entspricht ein Kegelschnitt durch die Punkte  $X_1, Y_1, Z_1$ ; unter allen diesen Kegelschnitten wird man zwei besondere auswählen, die zur genauen Auffindung ihrer Schnittpunkte am meisten geeignet erscheinen. Als besonders geeignet ist die gleichseitige Hyperbel anzusehen, die der unendlich fernen Geraden entspricht, und der Kreis durch die Punkte  $X_1, Y_1, Z_1$ . Auf die Konstruktion und die Eigenschaften dieser beiden Kurven wollen wir jetzt näher eingehen.

Sei  $l$  die unendlich ferne Gerade, so fallen  $I_c$  und  $I_n$  respektive mit dem Mittelpunkte  $O$  von  $u$  und  $S'$  zusammen. Zu einem unendlich fernen Punkte, d. h. zu einer Richtung, erhält man den entsprechenden Punkt, indem man den zu dieser Richtung konjugierten Durchmesser von  $u$  mit der zur Richtung senkrechten Geraden durch  $S'$  schneidet. Dem unendlich fernen Punkte  $G$  der Achse  $AB$  von  $u$  entspricht demgemäß der unendlich ferne Punkt  $G_1$  der Achse  $CD$  und umgekehrt; dem unendlich fernen Punkt  $F$  von  $S'O$  entspricht der Punkt  $F_1$ , wobei  $F_1S' \perp S'O$  und  $F_1O, FO$  konjugierte Durchmesser von  $u$  sind. Der unendlich fernen Geraden entspricht deshalb der Kegelschnitt  $l_1$ , der die fünf Punkte  $O, S', F_1, G, G_1$  enthält; demnach ist  $l_1$  eine Hyperbel, deren Asymptoten zu den Achsen  $AB$  und  $CD$  von  $u$  parallel sind; eine solche Hyperbel mit rechtwinkligen Asymptoten nennt man gleichseitig. Nun liegen je zwei konjugierte Durchmesser einer Hyperbel zu ihren Asymptoten harmonisch (nach 290); bei der gleichseitigen Hyperbel liegen deshalb je zwei konjugierte Durchmesser symmetrisch zu den Asymptoten. Der Mittelpunkt  $H$  unserer Hyperbel  $l_1$  ergibt sich hiernach als Schnitt zweier Durchmesser, von denen der eine durch die Mitte  $J$  der Sehne  $S'O$  geht und mit der Achse  $AB$  den gleichen Winkel einschließt wie diese Sehne, während der andere die Mitte  $K$  der Sehne  $F_1S'$  enthält und mit dieser gegen die Achse  $AB$  gleich geneigt ist; denn jeder Durchmesser halbiert die Sehnen, die dem konjugierten Durchmesser parallel sind. Zeichnet man also drei Rechtecke, deren Seiten zu  $AB$  und  $CD$  parallel und deren erste Diagonalen  $S'O, S'F_1, F_1O$  respektive sind, so schneiden sich ihre zweiten Diagonalen im Mittelpunkt  $H$  der Hyperbel; von dieser findet man beliebig viele Punkte mittels ihrer Asymptoten  $g$  und  $g_1$  und der bekannten Punkte. Weiterhin wird noch eine Methode angegeben, um beliebige Durchmesser der Hyperbel  $l_1$  direkt zu bestimmen.

**481.** Zur Erlangung des Kreises durch die Punkte  $X_1, Y_1, Z_1$  bedürfen wir eines Satzes, der zunächst hier abgeleitet werden soll.



Einer beliebigen Geraden  $i$  entspricht in der oben geschilderten Weise ein Kegelschnitt  $i_1$ , jeder Punktreihe auf  $i$  entspricht eine zu ihr projektive Punktreihe auf  $i_1$ . Wählen wir auf  $i$  irgend eine Punktinvolution mit den Doppelpunkten  $J^u$  und  $J^v$ , so entspricht ihr auf  $i_1$  eine Punktinvolution mit den Doppelpunkten  $J_1^u$  und  $J_1^v$ . Die Verbindungslinien der Punktepaare dieser Involution auf  $i_1$  gehen durch das Centrum  $J$  der Involution (nach 315) und die Schnittpunkte der zugehörigen Tangentenpaare liegen auf der Achse  $j$  der Involution; dabei ist  $j$  die Polare von  $J$  in Bezug auf  $i_1$  und geht durch die Doppelpunkte  $J_1^u$  und  $J_1^v$  der Involution. Der Geraden  $j$  entspricht ein Kegelschnitt  $j_1$ , der offenbar durch die Punkte  $J^u$  und  $J^v$  von  $i$  hindurchgeht; der Involution auf  $j$  mit den Doppelpunkten  $J_1^u$  und  $J_1^v$  entspricht auf  $j_1$  die Involution mit den Doppelpunkten  $J^u$  und  $J^v$ , d. h. für diese Involution auf  $j_1$  ist  $i = J^u J^v$  die Achse und der Pol  $J$  von  $i$  in Bezug auf  $j_1$  ist das Centrum. Hieraus fließt der Satz:

Sucht man zu zwei beliebigen Geraden  $i$  und  $j$  die entsprechenden Kegelschnitte  $i_1$  und  $j_1$ , so entspricht der Involution der Punktepaare auf  $i$ , die hinsichtlich  $j_1$  konjugiert sind, die Involution auf  $i_1$ , deren Achse  $j$  ist; ebenso entspricht der Involution der Punktepaare auf  $j$ , die hinsichtlich  $i_1$  konjugiert sind, die Involution auf  $j_1$ , deren Achse  $i$  ist. Dieser Satz ist allerdings zunächst nur bewiesen, wenn  $i$  und  $j_1$ , also auch  $i_1$  und  $j$  sich schneiden; er gilt indes allgemein, wie unten noch gezeigt werden soll. Die Kegelschnitte  $i_1$  und  $j_1$  haben die Punkte  $X_1, Y_1, Z_1$  und außerdem den zu  $i \times j$  entsprechenden Punkt gemein.

**482.** Nun betrachten wir die unendlich ferne Gerade  $l$  und auf ihr die Involution, deren Punktepaare sich aus  $O$  (und also aus jedem endlichen Punkte) durch rechtwinklige Strahlen projizieren; dieser Involution auf  $l$  entspricht eine Involution auf der Hyperbel  $l_1$ , von der  $G, G_1$  und  $O, F_1$  zwei Punktepaare sind. Denn  $G, G_1$  gehören der Involution auf  $l$  an, also die entsprechenden Punkte  $G_1, G$  der Involution auf  $l_1$ , ebenso bilden  $F$  und der unendlich ferne Punkt  $O_1$  von  $S'F_1$  ( $S'F \perp S'O_1$ ) ein Punktepaar jener Involution, also die entsprechenden Punkte  $F_1$  und  $O$  ein Punktepaar der Involution auf  $l_1$ . Das Centrum der Involution auf  $l_1$  ist der Schnittpunkt  $GG_1 \times OF_1$ , d. h. der unendlich ferne Punkt  $M$  auf  $OF_1$ ; ihre Achse ist die Polare  $m$  von  $M$  in Bezug auf  $l_1$ , d. h. der Hyperbeldurchmesser  $HN$  ( $NO = NF_1$ ). Dieser Geraden  $m$  entspricht ein Kegelschnitt  $m_1$  durch  $X_1, Y_1, Z_1$ , für den die Punktepaare der Involution auf  $l$  kon-

jugierte Punkte sind, für den also je zwei konjugierte Durchmesser aufeinander senkrecht stehen; der Kegelschnitt  $m_1$  ist mithin der Kreis durch die Punkte  $X_1, Y_1, Z_1$ .

Die Punkte  $G, G_1, O, F_1$  bilden aber ein der Hyperbel  $l_1$  eingeschriebenes Viereck, von dem sich ein Paar Gegenseiten, nämlich  $GG_1$  und  $OF_1$  in  $M$  schneiden; die Punkte  $P = OG_1 \times F_1G$  und  $Q = OG \times F_1G_1$  liegen also auf der Polaren  $m$  von  $M$  und sind konjugiert in Bezug auf  $l_1$ . Nach dem vorausgeschickten Satze entspricht der Involution der hinsichtlich  $l_1$  konjugierten Punkte von  $m$  eine Involution auf dem Kreise  $m_1$ , deren Achse die unendlich ferne Gerade  $l$  ist, deren Punktepaare also auf den Durchmessern von  $m_1$  liegen. Die Punkte  $P_1, Q_1$ , die jenen Punkten  $P$  und  $Q$  entsprechen, sind somit die Endpunkte eines Durchmessers des Kreises  $m_1$ . In  $P_1$  schneiden sich die Polare von  $P$  in Bezug auf  $u$  und die Gerade  $RP_1$ , wenn  $RP_1 \perp S'P, S'T, S'R = (S'S_0)^2 = h^2, T = RS' \times F_1P, RT \parallel OP$ ; ähnlich findet sich  $Q_1$ . Der Kreis  $m_1$  und die gleichseitige Hyperbel  $l_1$  liefern die Spurpunkte  $X_1, Y_1, Z_1$  der drei Achsen unseres Kegels, sie schneiden sich noch in einem Punkte  $W_1$ , der dem Punkte  $m \times l$ , d. h. dem unendlich fernen Punkte von  $PQ$  entspricht ( $W_1S' \perp PQ, \angle W_1OA = \angle S'OA, H = PQ \times W_1S'$ ). Eine Kontrolle für die Richtigkeit der Zeichnung besteht darin, daß  $S'$  der Höhenschnittpunkt des Spurendreiecks  $X_1Y_1Z_1$  sein muß.

**483.** Um den Beweis des oben genannten Satzes in allgemein gültiger Form zu erbringen, können wir in folgender Weise verfahren. Zunächst erinnern wir daran, daß die Polaren eines Punktes in Bezug auf alle Kegelschnitte durch vier feste Punkte einen Punkt gemein haben (407); zu jedem Punkt giebt es also einen weiteren, der ihm in Bezug auf alle die Kegelschnitte jenes Büschels konjugiert ist.

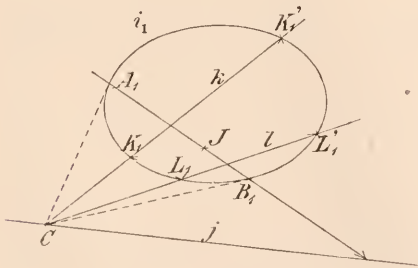


Fig. 305.

Wir kehren nun zurück zu den Geraden  $i$  und  $j$  und den Kegelschnitten  $i_1$  und  $j_1$ , die ihnen in dem früher angegebenen Sinne entsprechen. Legen wir durch  $J$  — den Pol von  $j$  in Bezug auf  $i_1$  — eine beliebige Gerade, die  $i_1$  in  $A_1$  und  $B_1$  schneidet (Fig. 305), so müssen wir zeigen, daß die entsprechenden Punkte  $A$  und  $B$  auf  $i$  in Bezug auf  $j_1$  konjugiert sind. Ist  $C$  der Pol von  $A_1B_1$  in Bezug auf  $i_1$ , so

entsprechen den Geraden durch  $C$  Kegelschnitte, die alle die vier Punkte  $X_1, Y_1, Z_1, C_1$  enthalten, wenn  $C_1$  der entsprechende Punkt zu  $C$  ist; zu diesen Kegelschnitten gehört auch  $j_1$ , da  $C$  auf  $j$  liegt. Sind aber  $k$  und  $l$  zwei Gerade durch  $C$ , die  $i_1$  in den Punkten  $K_1, K'_1$  respektive  $L_1, L'_1$  schneiden, so schneiden die entsprechenden Kegelschnitte  $k_1$  und  $l_1$  die Gerade  $i$  in den entsprechenden Punkten  $K, K'$  respektive  $L, L'$ . Da jedoch auf  $i_1$  die Punktpaare  $K_1, K'_1$  und  $L_1, L'_1$  durch  $A_1, B_1$  harmonisch getrennt werden, so werden auch auf  $i$  die Punktpaare  $K, K'$  und  $L, L'$  durch  $A, B$  harmonisch getrennt, d. h.  $A$  und  $B$  sind konjugierte Punkte in Bezug auf die beiden Kegelschnitte  $k_1$  und  $l_1$ , woraus denn nach dem oben citierten Satze folgt, daß  $A$  und  $B$  auch hinsichtlich des Kegelschnittes  $j_1$  konjugiert sind.

### Kugel, Cylinder, Kegel; ihre ebenen Schnitte und Abwickelungen.

**484.** Eine Kugel mit einer Ebene  $E$  von vorgegebenen Spuren  $e_1, e_2$  zu schneiden (Fig. 306).

Da die Schnittkurve ein Kreis ist, ihre Projektionen aber Ellipsen, so genügt es, zwei rechtwinklige Durchmesser dieses Kreises zu bestimmen, deren Projektionen konjugierte Durchmesser der Ellipsen sind. Wir legen nun durch den Kugelmittelpunkt  $O$  eine Ebene  $\Delta$  senkrecht zu  $e_1$ ; sie ist Symmetrieebene für die Kugel und die Ebene  $E$ , also auch für den Schnittkreis  $u$ , d. h.  $f = E \times \Delta$  ist ein Durchmesser von  $u$ . Seine Endpunkte  $A, B$  bestimmt man am besten, indem man  $\Delta$  um eine horizontale Achse  $a$  durch  $O$  in die Lage  $\Delta_0$  parallel zu  $\Pi_1$  dreht. Dabei geht der Schnitt von  $\Delta$  mit

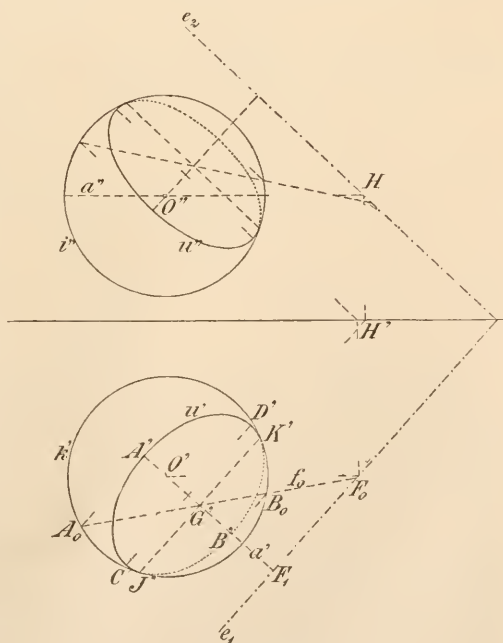


Fig. 306.

der Kugel in  $k'$  und  $f'$  in  $f'_0 = F'_0 G'$  über ( $F'_0 F'_1 = (O'' \dashv x)$ ,  $G = f' \times a$ ). Aus  $A_0 = f'_0 \times k'$  und  $B_0 = f'_0 \times k'$  ergibt sich sofort die kleine Achse  $A'B'$  von  $u'$ ; ihre große Achse ist  $C'D' = A_0 B_0$  und ihre Berührungspunkte  $J'$ ,  $K'$  mit  $k'$  liegen auf  $G'H'$  ( $H = a' \times e_2$ ), da  $GH$  die Schnittlinie von  $E$  mit der Ebene des Umrisses  $k$  ist. Im Aufriß bestimmt man entweder die konjugierten Durchmesser  $A''B''$  und  $C''D''$ , oder man verfährt wie beim Grundriß.

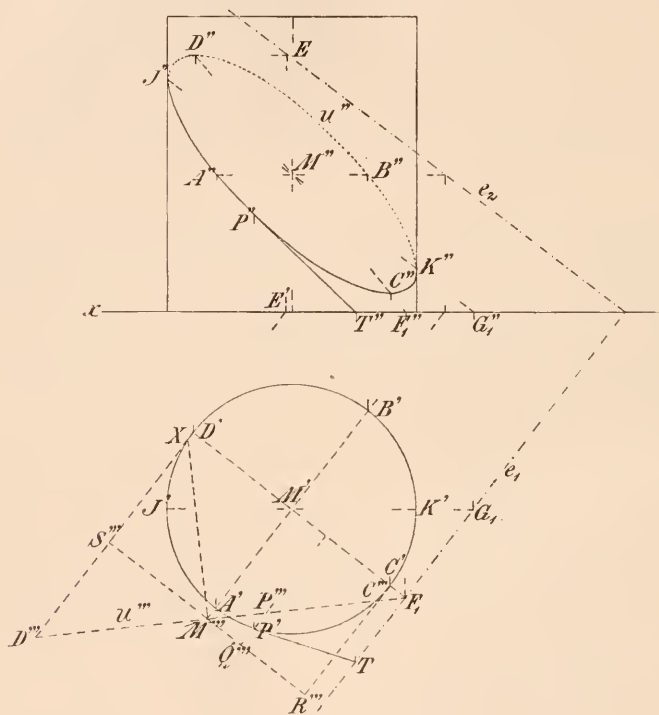


Fig. 307.

485. Will man die Schnittkurve einer Ebene  $E$  mit einer beliebigen Cylinderfläche bestimmen, so sucht man die Schnittpunkte von  $E$  mit den Mantellinien des Cylinders, indem man projizierende Ebenen durch sie legt. Ist auf der Cylinderfläche eine Raumkurve  $u$  gelegen, deren Projektionen  $u'$  und  $u''$  man kennt, so geht durch jeden Punkt  $P$  von  $u$  eine Mantellinie  $m$ . Die projizierende Ebene  $mm'$  schneidet  $E$  in einer Geraden  $s$  und der Aufriß des Schnittpunktes  $Q = m \times E$  ist  $Q'' = m'' \times s''$ . Da die projizierenden Ebenen durch die Mantellinien parallel sind, so sind es auch ihre Schnittlinien mit  $E$ , wovon man Gebrauch machen





zur Spur  $e_1$ , so erhält man rechtwinklige konjugierte Durchmesser, d. h. die Achsen der Schnittellipse  $u$ . Die kleine Achse  $AB$  ist als Hauptlinie gleich dem Durchmesser  $2r$  des Grundkreises, die große Achse  $CD$  ist als Falllinie gleich  $2r : \cos \alpha$ , wenn  $\alpha$  der Neigungswinkel der Schnittebene  $E$  gegen  $\Pi_1$  ist. Um die zweite Projektion der Falllinie zu finden ist in der Figur der erste Spurpunkt  $F_1$  und der Punkt  $D$  benutzt, durch den die Hauptlinie  $DE$  gelegt wurde.  $A''B''$  und  $C''D''$  sind konjugierte Durchmesser der Ellipse  $u''$ , ihre Berührungspunkte  $J''$ ,  $K''$  mit dem Umriß erhält man durch Anwendung einer Hilfsebene durch die Cylinderachse parallel zu  $\Pi_2 (J''K'' \parallel e_2)$ , denn eine solche schneidet den Cylinder in Mantellinien, die im Aufriß als Umrißlinien erscheinen.

487. Zur Abwicklung des Cylindermantels mit der Ellipse  $u$  ist noch in der Ebene  $CDC'D'$  ein Seitenriß gezeichnet worden ( $D'D'' = (D'' - x)$ ), in der die Ellipse als Gerade  $u'''$  erscheint. Der abgewinkelte Cylindermantel bildet ein Rechteck von der Höhe des Cylinders und von der Breite  $2r\pi$  (näherungsweise  $6\frac{2}{7}r$ ). Die Horizontalebene durch  $M$  schneidet den Cylinder in einem Kreise, dessen Abstand vom Grundkreise gleich  $M'''M'$  ist; die Punkte  $A, R, B, S$  (wobei  $RC, SD$  Mantellinien sind) teilen diesen Kreis in vier gleiche Teile, die man in der Abwicklung zunächst einträgt. In dieser bestimmt man weiter  $C$  und  $D$  ( $CR = DS = D'''S'''$ ), dann geht die abgewinkelte Ellipse durch  $CADBC$ , ihre Tangenten in  $C$  und  $D$  sind parallel der Grundlinie des Rechtecks, ihre Tangenten in  $A$  und  $B$  schließen mit dieser den Winkel  $\alpha = \angle M''F_1M'$  ein.  $A$  und  $B$  sind Wendepunkte der abgewinkelten Kurve nach 452, weil die Tangentialebenen des Cylinders in  $A$  resp.  $B$  auf der Ebene der Ellipse  $u$  senkrecht stehen. Je vier symmetrische Punkte von  $u$  haben von dem Kreise  $ARBS$  gleichen Abstand, wie man aus dem Seitenriß ersieht; die abgewinkelte Ellipse besteht deshalb aus vier symmetrischen Teilen. Um weitere Punkte von ihr zu erhalten, teile man den Viertelkreis  $AR$  in mehrere gleiche Teile, ziehe die zugehörigen Mantellinien, entnehme aus dem Seitenriß die Abstände der auf ihnen liegenden Ellipsenpunkte von dem Kreise, und trage diese Abstände in der abgewinkelten Figur an den entsprechenden Teilpunkten von  $AR$  senkrecht zu  $AR$  auf ( $AQ = \text{Bog } AQ = \text{Bog } A'P'$ ,  $QP = Q'''P'''$ ). Die Tangente in einem Punkte  $P$  der Ellipse  $u$  projiziert sich im Grundriß als Tangente des Kreises im Punkte  $P'$ , ihr Spurpunkt  $T$  liegt auf  $e_1$ , woraus sich dann ihr Aufriß ergibt. Der Neigungswinkel der Tangente  $PT$  gegen die Mantellinie bestimmt sich aus dem rechtwinkligen Dreieck  $PP'T$  und ist gleich

$\angle TPP'$ , und da derselbe bei der Abwicklung erhalten bleibt, hat man in der abgewickelten Figur nur das genannte Dreieck einzutragen, um die bezügliche Tangente der abgewickelten Ellipse zu erhalten.

Der Krümmungsradius  $OC$  im Punkte  $C$  der abgewickelten Ellipse ist nach 452 gleich dem Krümmungsradius  $\rho$  der Ellipse im Punkte  $C$  dividiert durch den Cosinus des Neigungswinkels der Ebene  $E$  gegen die Tangentialebene des Cylinders in  $C$ , oder es ist:  $OC = \rho : \sin \alpha$ . Da aber die Halbachsen der Ellipse:  $r : \cos \alpha$  und  $r$  sind, so wird:  $\rho = r^2 : \frac{r}{\cos \alpha} = r \cos \alpha$ , und:  $OC = r \cotg \alpha$ . Errichtet man demnach in  $M'''$  auf  $C'''D'''$  eine Senkrechte, die  $D'''D'$  in  $X$  scheidet, so ist  $S'''X = r \cotg \alpha = OC$ .

**488.** Schnitt eines schiefen Kreiscylinders, dessen Grundkreis in  $\Pi_1$  liegt, mit einer Ebene  $E$ ; Abwicklung dieser Kurve mit dem Cylindermantel (Fig. 309 u. 310).

Die Schnittkurve ist wiederum eine Ellipse  $u$ , die zum Grundkreis  $k$  affin ist; ebenso ist ihre Projektion  $u'$  affin zu  $k$ ,  $e_1$  ist die Affinitätsachse. Legt man durch die Cylinderachse  $a$  zwei Ebenen, deren Spuren in  $\Pi_1$  zu einander rechtwinklig sind, so sind ihre Schnittlinien mit  $E$  zwei konjugierte Durchmesser von  $u$ . Die Endpunkte dieser Durchmesser liegen auf den bezüglichen Mantellinien, die jene Ebenen aus dem Cylinder ausschneiden. Zur Durchführung dieser Konstruktion benutze man eine Hilfsebene  $\Pi_4 \parallel \Pi_1$  durch den oberen Endkreis des Cylinders und zeichne die Spur  $e_4$  von  $E$  in  $\Pi_4$ . So z. B. schneidet die Ebene durch  $a$  mit der Spur  $HJ$  in  $\Pi_1$  und der Spur  $H_1J_1$  in  $\Pi_4$  die Ebene  $E$  in  $EE_1$ , wo  $E = HJ \times e_1$  und  $E_1' = H_1'J_1' \times e_4'$  ist ( $e_4' \parallel e_1$ ,  $H_1'J_1' \parallel H_1J_1$ ). Da aber  $H, J$  die Spurpunkte der Umrißlinien des Cylinders sind, so schneidet  $EE_1'$  ihre Projektionen in den Punkten  $H_2', J_2'$ , wo sie von  $u'$  berührt werden, zugleich ist  $O_2' = EE_1' \times a'$  der Mittelpunkt von  $u'$ . Legt man durch  $a$  eine Ebene, deren erste Spur zum Aufriß parallel ist, so schneidet sie den Cylinder in den Mantellinien, die in  $\Pi_2$  als Umriß erscheinen; ihre Schnittlinie mit  $E$  hat in  $\Pi_1$  und  $\Pi_4$  die Spurpunkte  $F$  und  $F_1$  ( $O_1'F_1' \parallel OF \parallel x$ ) und es schneidet  $F''F'''_1$  die genannten Umrißlinien in ihren Berührungspunkten  $R_2''$  und  $S_2''$  mit  $u''$ . Die angegebene Konstruktion wird hinfällig für die zu  $\Pi_1$  senkrechte Ebene  $\Pi_3$  durch  $a$ , die wir deshalb um ihre Spur  $a'$  umlegen. Wir bestimmen zunächst  $a'''$  durch Umlegen von  $O_1$  nach  $O_1''$  und  $GG_1'''$  durch Umlegen von  $G_1$  nach  $G_1'''$  ( $G_1 = \Pi_3 \times e_4$ ), dann trifft  $GG_1 = \Pi_3 \times E$  den Cylinder in den Ellipsenpunkten  $K_2, L_2$ ,



Ebene durch  $PP_1$  ein zu jenem ähnliches Dreieck, dessen Seiten beim Umlegen zu den Seiten des Dreiecks  $KK_2'''G$  parallel werden. Da eine Ecke  $P$  unseres Dreiecks auf  $k$ , eine zweite auf  $e_1$  liegt, so ergibt sich  $P_2'''$  als dritte Ecke desselben und daraus dann  $P_2'$  (in der Figur ist diese Konstruktion nicht durchgeführt).

Die wahre Gestalt  $u^0$  der Ellipse  $u$  gewinnt man durch Umlegen der Ebene  $E$  um  $e_1$ , dadurch gelangt  $O_2$  nach  $O_2^0$  ( $O_2'''O_2' = O_2O_2^0$ ). Die gesuchte Ellipse  $u^0$  ist aber — ganz ebenso wie  $u$  — zu dem Kreise  $k$  affin und  $e_1$  ist die Affinitätsachse; da man nun ein Paar affiner Punkte  $O$  und  $O_2^0$  kennt, kann man hiernach  $u^0$  zeichnen. Den Achsen von  $u^0$  entsprechen beim Kreise zwei rechtwinklige Durchmesser; schneiden die Achsen  $e_1$  in den Punkten  $X$  und  $Y$ , so sind  $XO$  und  $YO$  die entsprechenden Kreisdurchmesser. Es werden demnach  $X$  und  $Y$  aus  $e_1$  durch einen Kreis ausgeschnitten, dessen Mittelpunkt auf  $e_1$  liegt und der durch  $O$  und  $O_2^0$  geht. Die Endpunkte der Kreisdurchmesser sind  $A, B, C, D$ , die affinen Punkte  $A_2^0, B_2^0, C_2^0, D_2^0$  sind die Endpunkte der Achsen von  $u^0$ .

**489.** Zur Abwicklung der Mantelfläche des Cylinders führen wir einen Normalschnitt mit den Spuren  $n_1$  und  $n_3$  in  $\Pi_1$  resp.  $\Pi_3$  aus; seine Schnittelellipse  $v$ , die  $k$  in  $L$  berührt, schneidet alle Mantellinien rechtwinklig und geht bei der Abwicklung in eine Gerade über. Wir teilen nun den Grundkreis von  $L$  ausgehend in eine Anzahl gleicher Teile, etwa 24, und bezeichnen sie mit:  $1 (= L), 2, 3, \dots, 7 (= J), 8, \dots, 13 (= K), 14, \dots, 19 (= H), 20, \dots, 24$ ; die zugehörigen Mantellinien schneiden  $v$  in den Punkten:  $1_v, 2_v, 3_v, \dots$  und  $u$  in den Punkten  $1_u, 2_u, 3_u, \dots$ . Die wahre Länge von  $KN$  ergibt sich aus dem rechtwinkligen Dreieck  $KN''L$ , das in Fig. 310 noch einmal eingetragen ist; die Strecken  $22_v, 33_v, 44_v, \dots$  verhalten sich zu  $KN$ , wie die Abstände der Punkte  $2, 3, 4, \dots$  von  $n_1$  zu  $KL$ . Lotet man also die Punkte  $2, 3, 4, \dots$  auf  $LK$ , so sind die Abstände der Lotpunkte von  $LN$  den Strecken  $22_v, 33_v, 44_v, \dots$  resp. gleich, d. h. die abgewickelten Punkte  $2, 3, 4, \dots$  liegen auf den durch die Lotpunkte gezogenen Parallelen zu  $LN$ , während die Abwicklung von  $v$  in die Verlängerung von  $LN$  fällt. Bedenkt man noch, daß die gleichen Kreisbogen  $12, 23, 34, \dots$  ihre Länge bei der Abwicklung nicht ändern (451) und daß die Bogen sowohl bei  $k$  als bei seiner Abwicklung näherungsweise durch die Sehnen ersetzt werden können, so ergibt sich die Gleichheit der Sehnen  $12, 23, 34, \dots$  des abgewickelten Kreises  $k$ . Die Abwicklung von  $k$  besteht aus vier symmetrischen Teilen  $LJ, JK, KH, HL$ , dabei sind  $L$  und  $K$  Scheitel,  $H$  und  $J$  Wendepunkte. Die Wendetangente in  $J$  schließt mit den





punkt. Eine zu jener Tangentialebene parallele Ebene erhält man also, wenn man durch einen beliebigen Punkt, etwa  $L_2$ , eine Mantellinie und eine Normale zu  $E$  zieht.  $L$  ist der erste Spurpunkt der Mantellinie,  $M$  der erste Spurpunkt der Normalen ( $L_2'M \perp e_1$ ,  $L_2'''M''' \perp GG_1'''$ ,  $M'''M \perp a'$ );  $LM$  ist demnach zur Spurlinie jener Tangentialebene parallel, deren Spur  $PT$  den Kreis  $k$  in  $P$  berührt ( $PT \parallel LM$ ,  $PO \perp LM$ ). Die Tangente von  $k$  in  $P$  und die Tangente von  $u$  in  $P_2$  schneiden  $e_1$  in dem nämlichen Punkte  $T$  und bilden das Dreieck  $PP_2T$ ; in der Abwicklung bilden die Tangenten in  $P$  und  $P_2$  das kongruente Dreieck  $PP_2T$ . Um dieses zu zeichnen verlängert man die Mantellinie bis  $P_1$  und fällt von  $P_1$  auf  $PT$  das Lot  $P_1U$  in der ursprünglichen Figur, bestimmt die Abwicklung von  $P$  und überträgt das rechtwinklige Dreieck  $P_1UP$ , von dem man  $PP_1$  und  $PU$  kennt, trägt  $PT$  von  $P$  aus auf  $PU$  auf und verbindet  $T$  mit  $P_2$ , so ist  $P_2T$  die gesuchte Wendetangente von  $u$ ,  $PT$  die Tangente des abgewickelten Kreises  $k$ . Die gleiche Konstruktion läßt sich für die Tangente in jedem Punkte der abgewickelten Ellipse  $u$  anwenden; der Krümmungsradius in einem solchen Punkt ergibt sich aus 444 und 452.

**490.** Schnitt und Abwicklung eines geraden Kreiskegels, dessen Grundkreis in der ersten Projektionsebene liegt (Fig. 311 und 312).

Man lege durch die Spitze  $S$  des Kegels eine Ebene senkrecht zu der ersten Spur  $e_1$  der Schnittebene  $E$ ; sie enthält die Kegelachse und steht auf  $E$  senkrecht, auf der sie eine Falllinie  $f$  ausschneidet;  $f$  ist dann offenbar Symmetrielinie oder Achse des gesuchten Kegelschnittes  $u$ . Durch Umlegen jener Ebene in  $\Pi_1$  gelangt  $S$  nach  $S_0$  und der Punkt  $G$  der Falllinie nach  $G_0$  ( $G'H' \parallel e_1$ ,  $G''H \parallel x$ ,  $G_0G' = HH'$ );  $F_1G_0 = f_0$  schneidet dann die umgelegten Mantellinien  $S_0A$ ,  $S_0B$  in den Punkten  $J_0$  resp.  $K_0$ . Hieraus ergeben sich sofort die beiden Projektionen der Achse  $JK$  von  $u$  und damit der Mittelpunkt  $O$  von  $u$  als Mittelpunkt von  $JK$ ; die zweite Achse von  $u$  ist die durch  $O$  gehende erste Hauptlinie von  $E$ . Um ihre Endpunkte  $L$ ,  $M$  zu finden, benutzen wir eine Ebene, die durch diese Achse und den Scheitel  $S$  geht, also die Gerade  $SO$  enthält; ihre Spurlinie geht durch  $Q$  ( $Q = S_0O_0 \times f''$ ), ist zu  $e_1$  parallel und schneidet den Grundkreis  $k$  in  $C$  und  $D$ . Diese Ebene enthält die Mantellinien  $SC$  und  $SD$ , auf ihnen liegen die Endpunkte  $L$  und  $M$  der zweiten Achse, deren Projektionen man also zeichnen kann. Die Ebene durch die Kegelachse parallel zum Aufriß enthält die Mantellinien, welche in  $\Pi_2$  als Umriß erscheinen; die Projektion ihrer Schnittlinie mit

$E$  schneidet dieselben in den Berührungspunkten  $X''$  und  $Y''$  von  $u''$ . Durch Umlegen von  $u$  um  $e_1$  gewinnt man die wahre Gestalt  $u^0$  der Schnittkurve ( $F_1O_0 = F_1O^0$  etc.). Beliebige Punkte von  $u$  kann man einfach dadurch konstruieren, daß man durch  $S$  irgend welche Ebenen  $\Delta$  legt, diese mit der Kegelfläche und  $E$  schneidet und so jedesmal zwei Punkte von  $u$  bekommt. Man gebraucht dabei eine horizontale Hilfsebene durch  $S$ , nimmt die erste Spur  $d_1$  von  $\Delta$  beliebig an, zieht durch  $S$  ihre zu  $d_1$  parallele Hilfsspur  $d_3$  und

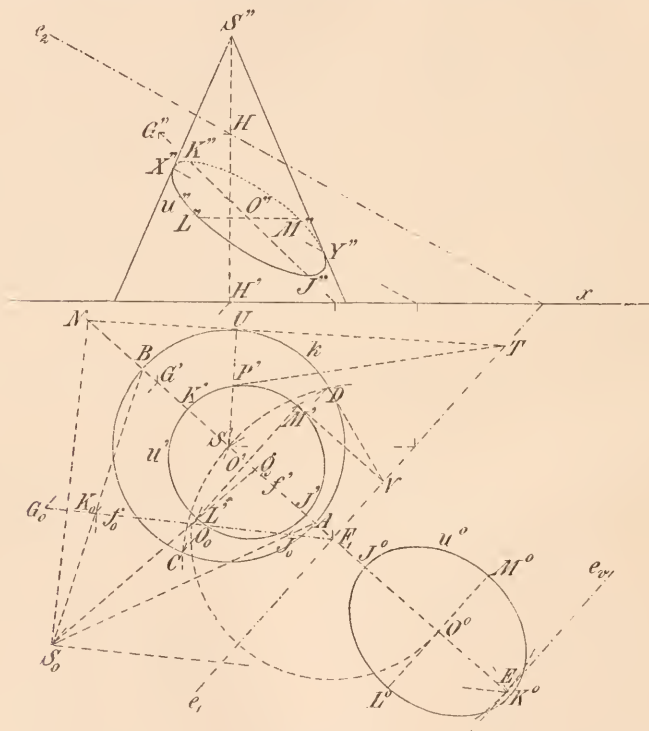


Fig. 311.

sucht die Hilfsspur  $e_3$  von  $E$ ; die Schnittlinie  $\Delta \times E$ , d. h. die Verbindungslinie von  $d_1 \times e_1$  und  $d_3 \times e_3$ , schneidet die bezüglichen Mantellinien in Punkten der Kurve  $u$ . Die Konstruktion ist in der Figur nicht durchgeführt, da sie schon beim Cylinder behandelt ist. Der Kreis  $k$  und die Schnittkurve  $u'$  sind nach 162 perspektive Figuren,  $S'$  ist das Centrum,  $e_1$  die Achse der Perspektivität,  $e_v$  ihre Verschwindungslinie ( $S_0E \parallel f_0$ ,  $e_v \parallel e_1$  geht durch  $E$ ). Dem Pol  $Q$  von  $e_v$  in Bezug auf  $k$  entspricht der Mittelpunkt  $O'$  von  $u'$ ; die Tan-

genten von  $E$  an  $k$  berühren in  $C$  und  $D$  und diesen Punkten entsprechen die Endpunkte  $L'$  und  $M'$  der zweiten Achse von  $u'$ . Ist  $V = e_1 \times ED$ , so ist  $VM' \parallel ES'$ , denn  $E$  ist der Verschwindungspunkt der Kreistangente  $DE$ . Auch die Kurven  $u^0$  und  $k$  sind perspektiv,  $e_1$  ist die Achse, das Centrum liegt auf  $f'$  um die Strecke  $S_0E$  über  $E$  hinaus (vergl. 164).

**491.** Beim Abwickeln des Kegelmantels gehen die Mantellinien in Strahlen durch den festen Punkt  $S$  und der Grundkreis  $k$  in einen Kreisbogen mit dem Radius  $S_0A$  über; die Länge dieses Kreisbogens wird gleich der Peripherie von  $k$ , was man durch Übertragen kleiner Teilstücke — etwa 24 Teile — erzielt. Der Kreissektor, der den abgewickelten Kegelmantel darstellt, hat einen Centriwinkel von

$4R \cdot \frac{S'A}{S_0A}$ . In Fig. 312 ist noch der in  $ABC$  liegende Seitenriß des Kegels eingezeichnet, in dem sich  $u$  als gerade Linie projiziert, so daß man unmittelbar die Projektionen der einzelnen Mantellinien und ihrer zwischen  $k$  und  $u$  liegenden Teile, sowie deren wahre Längen entnehmen kann, die man dann auf die abgewickelten Mantellinien aufträgt. Um die Wendepunkte des abgewickelten Kegelschnittes zu bestimmen, suchen wir die Tangentialebenen des Kegels auf, die zu  $E$  senkrecht sind, indem wir von  $S$  ein Lot auf  $E$  fallen, und von seinem ersten Spurpunkte  $N(S_0N \perp f_0)$  die beiden Tangenten an  $k$  ziehen. Diese Tangenten sind die ersten Spurlinien der gesuchten Tangentialebenen; berührt eine derselben den Kegel längs der Mantellinie  $SU$ , und trägt diese den Punkt  $P$  von  $u$ , so wird  $P$  bei der Abwicklung zum Wendepunkt. Schneidet die

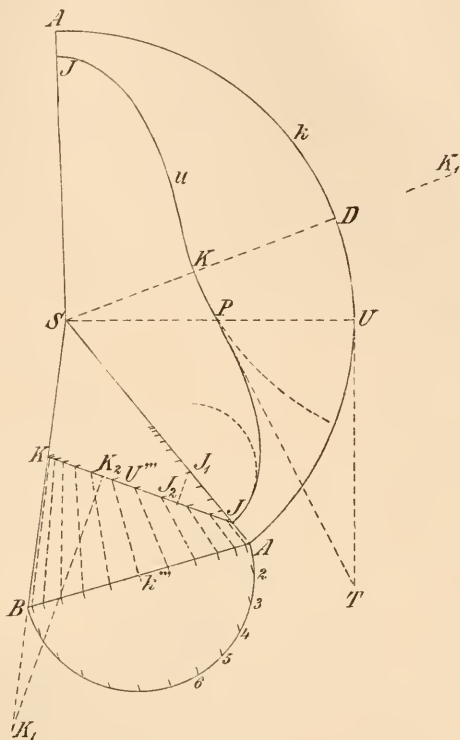


Fig. 312.

Kreistangente  $NU$  die Spur  $e_1$  in  $T$ , so ist  $PT$  die Tangente von  $u$  im Punkte  $P$ ; die bezüglichen Tangenten der abgewickelten Kurven  $k$  und  $u$  bilden ein rechtwinkliges Dreieck  $PUT$ , das zu dem  $\triangle PUT$  der ursprünglichen Figur kongruent ist. Ganz ebenso wie die Wendetangente in  $P$  überträgt man auch andere Tangenten in die Abwicklung. Die Punkte  $J$  und  $K$  sind Scheitelpunkte der abgewickelten  $u$ , die zugehörigen Krümmungsradien  $JJ_1$  und  $KK_1$  findet man nach 452 als  $\varrho : \cos \angle SJK$  und  $\varrho : \cos \angle BKJ$ , wenn  $\varrho$  den Krümmungsradius der Ellipse  $u^0$  in den Punkten  $J^0$  und  $K^0$  bedeutet ( $JJ_2 = KK_2 = \varrho$ ,  $J_1J_2 \perp JK$ ,  $K_1K_2 \perp JK$ ).

**492.** Schnitt und Abwicklung eines schiefen Kreiskegels, dessen Grundkreis in der ersten Projektionsebene liegt (Fig. 313 u. 314).

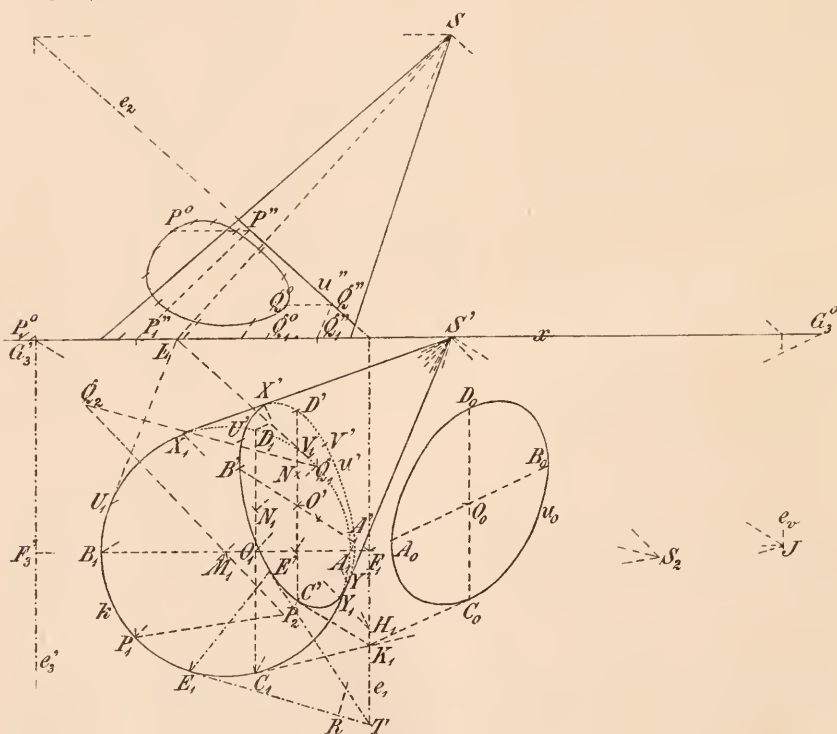


Fig. 313.

Wir benutzen außer der Ebene  $\Pi_1$  des Grundkreises  $k$  noch eine zweite Horizontalebene  $\Pi_3$  durch den Scheitel  $S$  des Kegels; die Ebene  $E$  hat dann die parallelen Spuren  $e_1$  und  $e_3$  ( $e_3' \parallel e_1$ ). Eine beliebige Spurlinie  $d_1$  in  $\Pi_1$  und eine zu ihr parallele Spurlinie  $d_3$





$S'$  von  $e_3'$ . Die Polare des Punktes  $J = A_1B_1 \times e_v$  muß wieder  $C_1D_1$  und  $O_1$  der Pol von  $e_v$  sein ( $JC_1$  berührt  $k$  in  $C_1$ ).  $J$ ,  $O_1$  und der unendlich ferne Punkt von  $e_v$  bilden ein Poldreieck von  $k$ ; das Bild von  $e_v$  fällt ins Unendliche, also ergeben die Bilder von  $A_1B_1$  und  $C_1D_1$  konjugierte Durchmesser von  $u'$  ( $A'B' \parallel S'J$  geht durch  $F_1$ ,  $C'D' \parallel e_1$  geht durch  $O'$ , wo  $O'$  das Bild von  $O_1$  ist). Ist  $K_1$  der Schnittpunkt von  $e_1$  mit der Kreistangente  $JC_1$ , so ist  $C'K_1 \parallel S'J$  die Tangente von  $u'$  in  $C'$  und  $C_0K_1$  die Tangente von  $u_0$  in  $C_0$ .

**493.** Zur Abwicklung des Kegelmantels nehmen wir die Ebene  $SP_1Q_1$ , die ihn in zwei symmetrische Teile zerlegt, und teilen den Kreisumfang von  $k$  von  $P_1$  ausgehend in lauter gleiche Stücke, etwa 24; die zugehörigen Mantellinien zerlegen den Kegelmantel in 24 Teile. Annäherungsweise kann nun der Kegel durch eine 24-seitige Pyramide ersetzt werden, deren Seitenflächen Dreiecke sind, die je zwei Mantellinien zu Seiten und gleiche Sehnen des Grundkreises zu Grundlinien haben. Die Abwicklung geschieht durch Nebeneinanderlegen der genannten Seitenflächen, wozu man die Längen der nach den 24 Teilpunkten laufenden Mantellinien braucht. Diese Längen findet man unter Benutzung einer Aufrißebene, die durch  $S$  senkrecht zu  $e_1$  gelegt ist, indem man die einzelnen Mantellinien um  $SS'$  in diese Aufrißebene dreht ( $S'P_1 = S'P_1^0$ ,  $SP_1 = SP_1^0$ ,  $SQ_1 = SQ_1^0$  etc.); hierbei ergeben sich auch ihre Schnittpunkte mit  $u$  ( $P = SP_1 \times E$ ,  $P' = SP_1' \times e_2$ ,  $P_0P'' \parallel x$ ,  $P_0 = P^0P'' \times SP_1^0$  etc.). Beim Abwickeln von  $k$  gelangen die 24 Teilpunkte auf 13 Kreise um den gemeinsamen Mittelpunkt  $S$ , deren Radien den bezüglichen Mantellinien gleich sind; die Radien für den größten und kleinsten sind  $SP_1$  und  $SQ_1$ ; die Abstände je zweier aufeinanderfolgender Teilpunkte auf der Abwicklung von  $k$  sind der Seite des  $k$  eingeschriebenen regulären 24-Ecks gleich. Auf den 24 abgewickelten Mantellinien (in der Figur sind nur 12 eingezeichnet) trägt man noch die von der Schnittkurve  $u$  begrenzten Teilstücke auf ( $SQ = SQ^0$ ,  $SP = SP^0$ , etc.) und gewinnt so Punkte der abgewickelten  $u$ .

Die Tangente im Punkte  $E$  von  $u$  liegt in  $E$  und in der Tangentialebene, die den Kegel längs  $SEE_1$  berührt und deren Spurlinie  $E_1T$  den Kreis  $k$  in  $E_1$  berührt; deshalb ist  $T = E_1T \times e_1$  der Spurpunkt der gesuchten Tangente ( $TE'$  berührt  $u'$  in  $E'$ ). Macht man  $S'R \perp E_1T$  und überträgt man das rechtwinklige  $\triangle SE_1R$  sowie  $E_1T$  in die abgewickelte Figur, so ist  $E_1R$  die Tangente des abgewickelten Kreises  $k$  im Punkte  $E_1$  und es ist  $ET$  die Tangente der abgewickelten Kurve  $u$ , da ihr Neigungswinkel gegen  $SE$  derselbe ist wie  $\angle E_1ET$  auf dem Kegelmantel selbst.

Die Wendepunkte der abgewickelten  $k$  sind  $X_1$  und  $Y_1$  nach 452, denn die Tangentialebenen längs der Umrißlinien  $SX_1$  und  $SY_1$  sind zu  $\Pi_1$  senkrecht. Die Wendepunkte der abgewickelten  $u$  sind  $U$  und  $V$ , wenn die Tangentialebenen längs der Kanten  $SU$  und  $SV$  auf  $E$  senkrecht stehen, d. h. wenn sie das von  $S$  auf  $E$  gefällte Lot  $SL$  enthalten ( $SL \perp e_2$ ).  $L$  ist der erste Spurpunkt dieses Lotes und die Tangenten von  $L$  an  $k$  sind die ersten Spurlinien der genannten Tangentialebenen; ihre Berührungspunkte  $U_1$  und  $V_1$  sind die ersten Spurpunkte der beiden Mantellinien, deren Abwickelungen die gesuchten Wendepunkte tragen. Die Punkte  $P_1$  und  $Q_1$  sind für die abgewickelte  $k$  Scheitelpunkte, deren Krümmungsradien  $P_1P_2$  und  $Q_1Q_2$  sind; denn  $\angle S_2Q_1S' = \angle Q_2Q_1M_1$  und  $\angle S_2P_1S' = \angle P_2P_1M_1$  ( $S_2S' \parallel Q_2M_1P_2 \perp S'M_1$ ,  $S_2S' = SS'$ ) sind die Neigungswinkel von  $SQ_1$  und  $SP_1$  gegen  $\Pi_1$ , und es ist  $P_1P_2 = r : \cos P_2P_1M_1$  und  $Q_1Q_2 = r : \cos Q_2Q_1M_1$ .

**494.** Die geodätischen Kurven auf dem geraden Kreiskegel (Fig. 315).

Nach 453 verstehen wir unter einer geodätischen Kurve auf einer abwickelbaren Fläche eine solche, die bei der Abwicklung in eine Gerade übergeht. Wickeln wir also die Mantelfläche des geraden Kreiskegels ab, wobei wir einen Kreisausschnitt erhalten (vergl. 491), so entspricht jede Gerade auf dem abgewickelten Mantel einer geodätischen Linie auf dem Kegel. Zu allen Geraden auf ersterem, deren Abstände von  $S$  unter sich gleich sind, gehören kongruente geodätische Linien auf letzterem; überhaupt sind je zwei geodätische Linien des Kegels ähnliche Kurven. Soll eine geodätische Linie zwei Punkte  $P$  und  $Q$  der Kegelfläche verbinden, so suche man die entsprechenden Punkte in der Abwicklung auf, verbinde sie durch eine Gerade  $u$  und konstruiere nun zu dieser die entsprechende Kurve  $u$  auf der Kegelfläche. Zu diesem Zweck teilt man den Grundkreis  $k$  in eine Anzahl gleicher Teile, zieht die nach den Teilpunkten verlaufenden Mantellinien, bestimmt ihre Abwickelungen, deren Schnittpunkte mit der Geraden  $u$  man wieder auf den Kegel überträgt. Die Linie  $SA_1 \perp u$  liefert den Punkt  $A = SA_1 \times u$ , der dem Scheitel der geodätischen Linie entspricht; die Linien  $SB_1$  sind beide Abwickelungen der nämlichen Mantellinie  $SB_1$  (Bog  $A_1B_1$  ist gleich dem halben Umfang von  $k$ ), deshalb entsprechen ihre auf der Geraden  $u$  liegenden Punkte  $B$  einem Doppelpunkt  $B$  der geodätischen Linie. In der Figur ist ein Teil des Kegelmantels doppelt abgewickelt, weil die geodätische Linie einen Teil der Mantellinien zweimal trifft.

495. In der Abwicklung sind  $SC_1$  und  $SD_1$  zu  $u$  parallel, auf dem Kegel tragen deshalb die Mantellinien  $SC_1$  und  $SD_1$  die unendlich fernen Punkte der geodätischen Linie. Die Tangente in einem Punkte  $P$  der geodätischen Linie schließt mit der Erzeugenden  $SP$  den gleichen Winkel ein, wie die Gerade  $u$  mit der abgewickelten  $SP$ . Der Spurpunkt  $Q$  jener Tangente liegt deshalb auf der Kreistangente des Punktes  $S$  in der Entfernung  $QS$ , die wir aus der

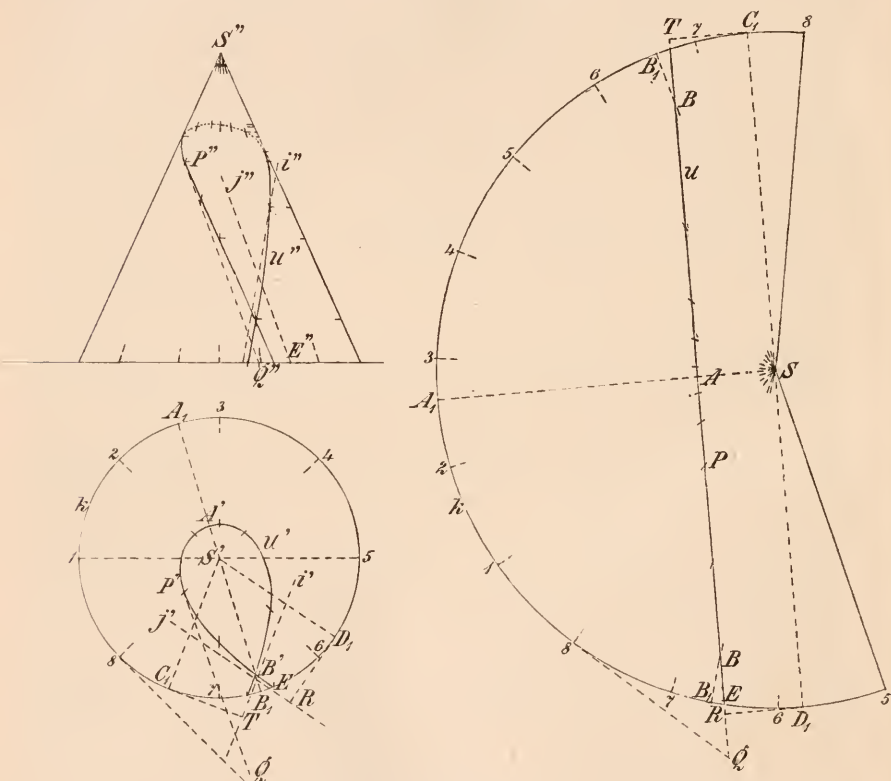


Fig. 315.

Abwicklung entnehmen können; ihre Projektionen sind  $QP'$  und  $Q''P''$ . Ganz ebenso erhält man als Spurpunkte der Asymptoten von  $u$  — d. h. der Tangenten in den unendlich fernen Punkten — die Punkte  $R$  und  $T$ ; sie liegen auf den Tangenten der Punkte  $D_1$  und  $C_1$  respektive und die Strecken  $D_1R$  und  $C_1T$  sind den bezüglichen Strecken in der Abwicklung gleich. Die Asymptoten  $i, j$  selbst sind zu den Geraden  $SC_1$  und  $SD_1$  parallel, ihre Projektionen also zu  $S'C_1, S'D_1, S''C_1, S''D_1$ .

Die Projektion  $u'$  ändert den Sinn ihrer Krümmung nicht, dagegen  $u''$ ; als Wendepunkte von  $u''$  projizieren sich die Punkte von  $u$ , deren Schmiegungebenen auf  $\Pi_2$  senkrecht stehen; die ersten Spurlinien dieser Schmiegungebenen stehen also auf der  $x$ -Achse senkrecht. Bestimmt man demnach die Spurkurve der abwickelbaren Fläche unserer geodätischen Linie und legt an sie Tangenten senkrecht zur  $x$ -Achse, zieht durch ihre Berührungspunkte die bezüglichen Tangenten an  $h$  und durch deren Berührungspunkte die Mantellinien, so schneiden diese aus  $u$  die Punkte aus, die sich im Aufriß als Wendepunkte projizieren. Läßt man in der Figur einen Punkt auf  $u$  von  $E$  nach  $P$  wandern, so beschreibt die zugehörige Tangente in  $\Pi_1$  eine Spurkurve, die  $E$  mit  $Q$  verbindet; dieses Kurvenstück  $EQ$  besitzt eine zur  $x$ -Achse senkrechte Tangente, woraus sich der zugehörige Wendepunkt auf  $P''E''$  mit seiner Tangente ergibt (in der Figur ist die Konstruktion weggelassen).

### Durchdringung von Kugel-, Cylinder- und Kegelflächen.

**496.** Um die Durchdringungslinie oder Schnittkurve zweier beliebiger Oberflächen zu zeichnen, muß man eine Reihe einzelner Punkte von ihr bestimmen. Dieses geschieht dadurch, daß man auf beiden Oberflächen Kurven aufsucht, die sich wirklich schneiden und so in den Schnittpunkten Punkte der Durchdringungslinie liefern. Schneidet man die gegebenen Oberflächen mit einer dritten, so erhält man auf denselben Kurven, deren Schnittpunkte auf der Durchdringungslinie liegen. Hiermit wird scheinbar unsere ursprüngliche Aufgabe: die Schnittkurve zweier Oberflächen zu finden, auf eine kompliziertere Aufgabe: die beiden Oberflächen mit einer dritten zu schneiden, zurückgeführt; da man indessen die dritte oder Hilfsfläche beliebig wählen darf, so läßt sich diese Wahl so treffen, daß die Schnittkurven mit den gegebenen Oberflächen leicht angegeben werden können. Es kommt also bei der Konstruktion der Durchdringungslinie zweier Flächen im wesentlichen darauf an, geeignete Hilfsflächen ausfindig zu machen. In den allermeisten Fällen benutzt man Ebenen als Hilfsflächen und es ist in jedem einzelnen Falle zu überlegen, welche Hilfsebenen am besten geeignet sind, um die Konstruktion so viel wie möglich zu vereinfachen. Häufig können Hilfsebenen parallel oder senkrecht zu einer Projektionsebene Verwendung finden, wobei dann die eine Projektion der in den Hilfsebenen liegenden Schnittkurven als gerade Linie erscheint.



**497.** Auf den Cylinder- und Kegelflächen liegen gerade Linien, die Erzeugenden oder Mantellinien; die Hilfsebenen zur Konstruktion der Durchdringungslinie zweier solcher Flächen wählt man deshalb so, daß sie beide Flächen in Erzeugenden schneiden. Handelt es sich dabei um zwei Kegel, so müssen die Hilfsebenen durch die Verbindungslinie ihrer Scheitel gelegt werden; handelt es sich um einen Kegel und einen Cylinder, so legt man die Hilfsebenen durch die Gerade, die durch den Scheitel des Kegels parallel zu den Mantellinien des Cylinders verläuft; sollen endlich zwei Cylinderflächen zum Durchschnitt gebracht werden, so nimmt man lauter Hilfsebenen, die den Erzeugenden beider parallel sind. Um die Mantellinien zu bestimmen, die eine Hilfsebene aus einer Cylinder- oder Kegelfläche ausschneidet, deren ebene Basiskurve man kennt, hat man nur die Schnittgerade der Hilfsebene und Basisebene mit der Basiskurve zu schneiden; durch diese Schnittpunkte verlaufen die gesuchten Mantellinien. Welcher Art die Basiskurve ist, ist hierbei gleichgültig.

**498.** Die Durchdringung zweier Cylinderflächen zu finden, deren Grundkurven Kegelschnitte sind (Fig. 316). Der eine Cylinder möge eine kreisförmige Basis  $k$  in  $\Pi_1$ , der andere eine elliptische  $c$  in einer Ebene  $E$  mit den Spuren  $e_1, e_2$  besitzen, die Aufrißebene  $\Pi_2$  möge auf  $E$  senkrecht stehen ( $e_1 \perp x$ ). Wir ziehen zunächst durch einen beliebigen Punkt  $Q$  Parallele zu den Mantellinien des einen und des andern Cylinders, deren erste Spurpunkte  $R_1$  und  $S_1$  wir aufsuchen. Die ersten Spurlinien der zu den Erzeugenden beider Cylinder parallelen Hilfsebenen sind dann zu  $R_1S_1$  parallel; ihre Spurgeraden in der Basisebene  $E$  des zweiten Cylinders sind parallel zu  $TU$  und deren Projektionen zu  $TU'$  ( $T = e_1 \times R_1S_1$ ,  $U'' = e_2 \times QS_1''$ ,  $U'$  auf  $QS_1$ ). Zieht man demnach durch einen beliebigen Punkt auf  $e_1$  Parallele zu  $R_1T$  und  $TU'$ , schneidet erstere mit  $k$ , letztere mit  $c'$  und legt durch diese Schnittpunkte die Projektionen der Erzeugenden der bez. Cylinder, so durchkreuzen sie sich in vier Punkten der Projektion  $u'$  der Durchdringungslinie. Die Kurve  $u'$  berührt die scheinbaren Umrißlinien beider Cylinder je zweimal; die Berührungspunkte können auch konjugiert imaginär sein. Die Berührungspunkte der Umrißlinie, die  $c'$  in  $A'$  berührt, erhält man, wenn man durch  $A'$  eine Parallele zu  $U'T$  und durch ihren Schnittpunkt  $V$  mit  $e_1$  eine Parallele zu  $TR_1$  zieht; letztere schneidet  $k$  in  $O$  und  $P$ ; die zugehörigen Mantellinien enthalten dann die Berührungspunkte  $J'$  resp.  $K'$ . Ganz analog erhält man die Berührungspunkte von  $u''$  mit den Umrißlinien des Aufrisses, indem man die Hilfsebenen durch die be-



züglichen Mantellinien legt. Die Hilfsebenen, welche den ersten Cylinder berühren, deren erste Spuren also  $k$  tangieren, schneiden den zweiten Cylinder in zwei Mantellinien, die von  $u$  und deren Projektionen von  $u'$  resp.  $u''$  berührt werden. Ebenso schneiden die Hilfsebenen, die den zweiten Cylinder berühren, deren Spuren in  $E$

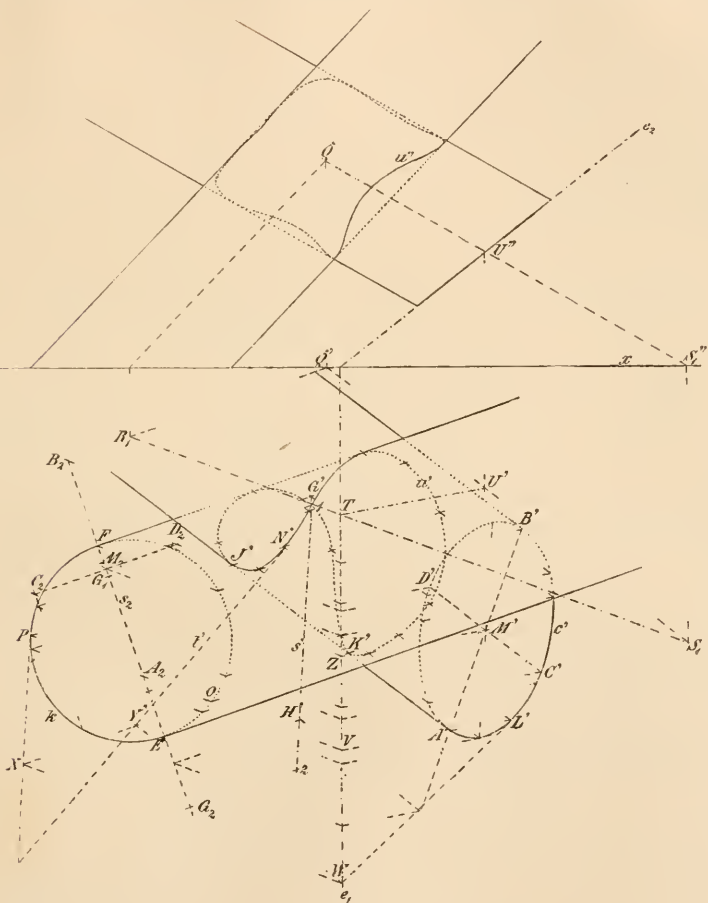


Fig. 316.

also  $c$  tangieren, den ersten Cylinder in je zwei Mantellinien, deren Projektionen  $u'$  resp.  $u''$  berühren.

Die Tangente  $t$  von  $u$  in einem Punkte  $N$  erscheint als Schnitt der beiden Ebenen, die die Cylinder längs der bez. Erzeugenden  $NP$  resp.  $NL$  tangieren. Die Spur der einen in  $\Pi_1$  berührt  $k$  in  $P$ , die Spur der andern in  $E$  berührt  $c$  in  $L$  und ihre Projektion be-

rührt  $c$  in  $L'$ . Die Hilfsebenen schneiden diese beiden Tangentialebenen in Geraden, die zu den bez. Mantellinien parallel laufen, daraus ergibt sich die Konstruktion eines Punktes von  $t$ . Die Spur  $WX$  ( $\parallel R_1T$ ) der Hilfsebene schneidet die genannten Tangenten von  $k$  und  $c'$  in  $X$  und  $W$  (wobei  $W = e_1 \times WL$  gewählt ist); sind dann  $XY'$  und  $WY'$  respektive parallel zu den Umrißlinien des ersten und zweiten Cylinders, so ist  $Y'$  ein Punkt von  $t'$ ; mit Hilfe des ersten Spurpunktes  $t' \times PX$  läßt sich unmittelbar  $t''$  zeichnen. Was die Sichtbarkeit von  $u'$  und  $u''$  anlangt, so ist zu bemerken, daß nur solche Teile dieser Kurven sichtbar sein können, die sich auf den sichtbaren Teilen beider Cylinder befinden. Man sucht also bei beiden Cylindern die sichtbaren Teile auf und zwar so, als ob jeder nur allein vorhanden wäre; sie werden von den Umrißlinien begrenzt; ein Punkt von  $u'$  (oder  $u''$ ) ist dann sichtbar, wenn die Erzeugenden durch ihn bei beiden Cylindern auf den sichtbaren Teilen ihrer ersten (oder zweiten) Projektion liegen. Die sichtbaren Teile von  $u'$  resp.  $u''$  endigen auf den Umrißlinien.

**499.** Jede beliebige Projektion von  $u$  zeigt zwei Doppelpunkte — gewöhnliche oder isolierte oder imaginäre — wie wir jetzt nachweisen wollen. Wir werden im Folgenden speziell die Doppelpunkte von  $u'$  bestimmen, die Betrachtungen bleiben indessen mit geringen Modifikationen für jede beliebige Projektionsrichtung gültig. Alle zu  $\Pi_1$  normale Sehnen des ersten Cylinders werden durch eine Ebene halbiert, die auch die Berührungspunkte der zu  $\Pi_1$  normalen Cylindertangenten und somit die Umrißlinien des Cylinders enthält (vergl. 478); die erste Spur dieser Ebene ist  $EF$ , wenn  $E$  und  $F$  die Spurpunkte der Umrißlinien sind. Ebenso halbiert eine Ebene die zu  $\Pi_1$  normalen Sehnen des zweiten Cylinders, sie enthält seine Umrißlinien und schneidet seine Basisebene  $E$  in  $AB$ . Die Schnittlinie beider Ebenen sei  $s$ , die erste projizierende Ebene durch  $s$  schneide den ersten Cylinder in dem Kegelschnitt  $i$ , den zweiten in dem Kegelschnitt  $j$ . Die Linie  $s$  halbiert zugleich die zu  $\Pi_1$  senkrechten Sehnen von  $i$  und von  $j$ ;  $s$  ist deshalb ein gemeinsamer Durchmesser von  $i$  und  $j$ ; die zu  $s$  konjugierten Durchmesser von  $i$  und  $j$  stehen auf  $\Pi_1$  senkrecht. Die vier Schnittpunkte von  $i$  und  $j$  liegen paarweise auf zwei Normalen zu  $\Pi_1$ , ihre ersten Projektionen liefern die beiden Doppelpunkte von  $u'$ ; es kommt also nur noch darauf an, die Schnittpunkte von  $i$  und  $j$  zu finden.

Um zunächst die Projektion  $s'$  von  $s$  zu zeichnen, auf der die gesuchten Doppelpunkte von  $u'$  liegen, haben wir die beiden Ebenen, die die Umrißlinien unserer Cylinder enthalten, zum Schnitt zu

bringen; eine von ihnen besitzt die Spur  $EF$  in  $\Pi_1$ , die andere die Spur  $AB$  in  $E$ . Ihre Schnittpunkte mit einer Hilfsebene sind den bezüglichen Umrißlinien parallel; die Hilfsebene durch einen Punkt  $Z$  von  $e_1$  schneidet  $\Pi_1$  in  $ZM_2$  ( $\parallel TR_1$ ) und  $E$  in  $ZM$  ( $\parallel TU, ZM' \parallel TU'$ ); durch  $M_2$  auf  $EF$  und durch  $M'$  auf  $A'B'$  zieht man die Parallelen zu den bez. Umrißlinien; sie treffen sich in einem Punkte  $G'$  von  $s'$ . Ganz analog ergibt sich der Punkt  $H'$  von  $s'$ . Die Schnittpunkte von  $i$  und  $j$  bestimmt man nun nicht direkt, sondern projiziert beide Kurven durch Strahlen parallel zu den Mantellinien des ersten Cylinders auf  $\Pi_1$ . Bezeichnet man mit  $i_2$  und  $j_2$  diese Projektionen von  $i$  und  $j$ , so ist  $i_2 = k$  und zugleich  $EF = s_2$  die gleichnamige Projektion von  $s$ ; die eine Achse  $A_2B_2$  von  $j_2$  liegt auf  $s_2$ , die andere  $C_2D_2$  steht in  $M_2$  darauf senkrecht, da ja beim Kreise konjugierte Durchmesser zu einander senkrecht sind. Die Punkte  $A_2, B_2, M_2, C_2, D_2$  liegen hierbei auf Parallelen zu  $R_1T$ , die  $e_1$  in den nämlichen Punkten treffen, wie die Geraden durch  $A', B', M', C', D'$ , die zu  $U'T$  parallel sind ( $A'V \parallel U'T, VA_2 \parallel TR_1$  u. s. w.); denn je zwei entsprechende Punkte  $A', A_2$  u. s. w. liegen in einer der parallelen Hilfsebenen.

Wir haben nun die Schnittpunkte von  $k$  und  $j_2$  zu bestimmen, wobei wir nach 396 u. ff. verfahren könnten, indem wir an dem unendlich fernen Punkte von  $C_2D_2$  die Involution gemeinsamer harmonischer Polaren und ihre Doppelstrahlen bestimmen. Die ersten Projektionen der zugehörigen Mantellinien des ersten Cylinders decken sich dann paarweise und tragen die beiden Doppelpunkte 1, 2 von  $u'$  (in der Figur ist 1 ein gewöhnlicher, 2 ein isolierter Doppelpunkt). Die vier Schnittpunkte von  $k$  und  $j_2$  liegen paarweise auf zwei zu  $s_2$  normalen Geraden  $g_1$  und  $g_2$ ;  $k, j_2$  und das Geradenpaar  $g_1g_2$  bilden also drei Kegelschnitte eines Büschels mit den nämlichen vier Grundpunkten und werden deshalb von jeder Geraden in drei Punktepaaren einer Involution geschnitten. Loten wir alle diese Involutionen auf  $s_2$ , so haben dieselben alle ein Punktepaar gemein, nämlich das Punktepaar  $G_1 = g_1 \times s_2, G_2 = g_2 \times s_2$ ; wir können dieses also als gemeinsames Punktepaar zweier Involutionen finden. Die eine Involution ist bestimmt durch die beiden Punktepaare  $E, F$  und  $A_2, B_2$ ; zwei Punktepaare einer andern Involution erhalten wir, indem wir  $k$  und  $j_2$  mit einer Geraden schneiden und die Schnittpunkte auf  $s_2$  loten; am besten wählt man dazu die Gerade durch  $C_2$  parallel zu  $s_2$ , die also  $j_2$  berührt. Das Aufsuchen des gemeinsamen Punktepaares  $G_1, G_2$  zweier Involutionen geschieht dann nach 353. Die Bestimmung der Doppelpunkte von  $u''$  kann

analog vorgenommen werden. Die Doppelpunkte von  $u'$  können entweder reell oder konjugiert imaginär sein, je nachdem das gemeinsame Punktepaaar der beiden Involutionen reell oder imaginär ist. Die reellen Doppelpunkte sind entweder beide gewöhnliche oder beide isolierte, oder es giebt unter ihnen einen gewöhnlichen und einen isolierten, je nachdem  $h$  und  $j_2$  vier, oder keinen, oder zwei reelle Punkte gemeinsam haben.

**500.** Durchdringung eines geraden Kreiskegels mit einem geraden Kreiscylinder (Fig. 317). Der Basiskreis  $h$  des Kegels liege in  $\Pi_1$ , der Basiskreis  $c$  des Cylinders in einer beliebigen Ebene  $E$  mit den Spuren  $e_1$  und  $e_2$ , und es sei  $c^0$  der um  $e_1$  in  $\Pi_1$  umgelegte Kreis  $c$ . Zur Konstruktion benutzen wir eine Seitenrißebene  $\Pi_3$ , die zu  $\Pi_1$  senkrecht und zu den Mantellinien des Cylinders parallel ist, also auf  $e_1$  senkrecht steht; gleichzeitig soll  $\Pi_3$  durch den Scheitel  $S$  des Kegels gehen ( $y = \Pi_3 \times \Pi_1$ ,  $y \perp e_1$ ). Wir suchen dann die dritte Spur  $e_3$  von  $E$  und mit ihrer Hilfe die kleine Achse  $B'C$  von  $c'$  ( $Y = y \times e_1$ ,  $YB'' = CB^0$ ), wonach sich dann der Grundriß des Cylinders ergibt. Nun ziehen wir durch  $S$  eine Parallele  $a$  zu den Erzeugenden des Cylinders, sie liegt in  $\Pi_3$  und schneidet  $\Pi_1$  in  $A_1$  und  $E$  in  $A_2$  ( $a'' \perp e_3$ ,  $a'' \times y = A_1$ ,  $a'' \times e_3 = A_2'''$ ,  $A_2'A_2''' \perp y$ ). Alle Hilfsebenen durch die Achse  $a$  schneiden sowohl aus dem Cylinder wie aus dem Kegel Mantellinien, ihre Schnittpunkte gehören der Durchdringungskurve  $u$  an. Jede Hilfsebene besitzt in  $\Pi_1$  eine durch  $A_1$  verlaufende Spur und in  $E$  eine durch  $A_2$  verlaufende Spur, beide Spuren schneiden sich auf  $e_1$ . Verbindet man also irgend einen Punkt von  $e_1$  einerseits mit  $A_1$ , andererseits mit  $A_2'$ , so schneidet erstere Linie  $h$  in zwei Punkten und bestimmt so zwei Erzeugende des Kegels, während letztere Linie  $c'$  in zwei Punkten trifft und so zwei Erzeugende des Cylinders bestimmt; die vier Schnittpunkte dieser Erzeugenden liegen auf  $u$ . Anstatt nun  $c'$  mit den Strahlen durch  $A_2'$  zu schneiden, ist es zweckmäßig, die Ebene  $E$  um  $e_1$  in  $\Pi_1$  umzulegen und  $c^0$  mit den Strahlen durch  $A_2^0$  zu schneiden. So erhält man z. B. auf der Umrißlinie des Cylinders, die  $c'$  in  $E'$  berührt, die Berührungspunkte  $F'$  und  $G'$  von  $u'$ , indem man den Punkt  $A_2^0E^0 \times e_1$  mit  $A_1$  verbindet, diese Linie mit  $h$  in  $F_1$  und  $G_1$  schneidet; dann liegt  $F'$  auf  $S'F_1$  und  $G'$  auf  $S'G_1$ . Berührt  $A_2^0U$  den Kreis  $c^0$  in  $H^0$  und schneidet  $A_1U$  den Kreis  $h$  in  $J_1$  und  $K_1$ , so berühren  $S'J_1$  und  $S'K_1$  die Kurve  $u'$  in  $J'$  und  $K'$ , wo  $H^0$ ,  $J'$ ,  $K'$  auf einer Parallelen zu  $y$  liegen. Berührt  $A_1V$  den Kreis  $h$  in  $L_1$  und schneidet  $A_2^0V$  den Kreis  $c^0$  in  $M^0$  und  $N^0$ , so werden die zugehörigen Erzeugenden des Cylinders von  $u$

berührt, so die Erzeugende durch  $M$  im Punkte  $L$  ( $M^0 L' \parallel y$ ,  $S' L_1 \times M^0 L' = L$ ). Im besonderen schneidet  $\Pi_3$  Cylinder und Kegel

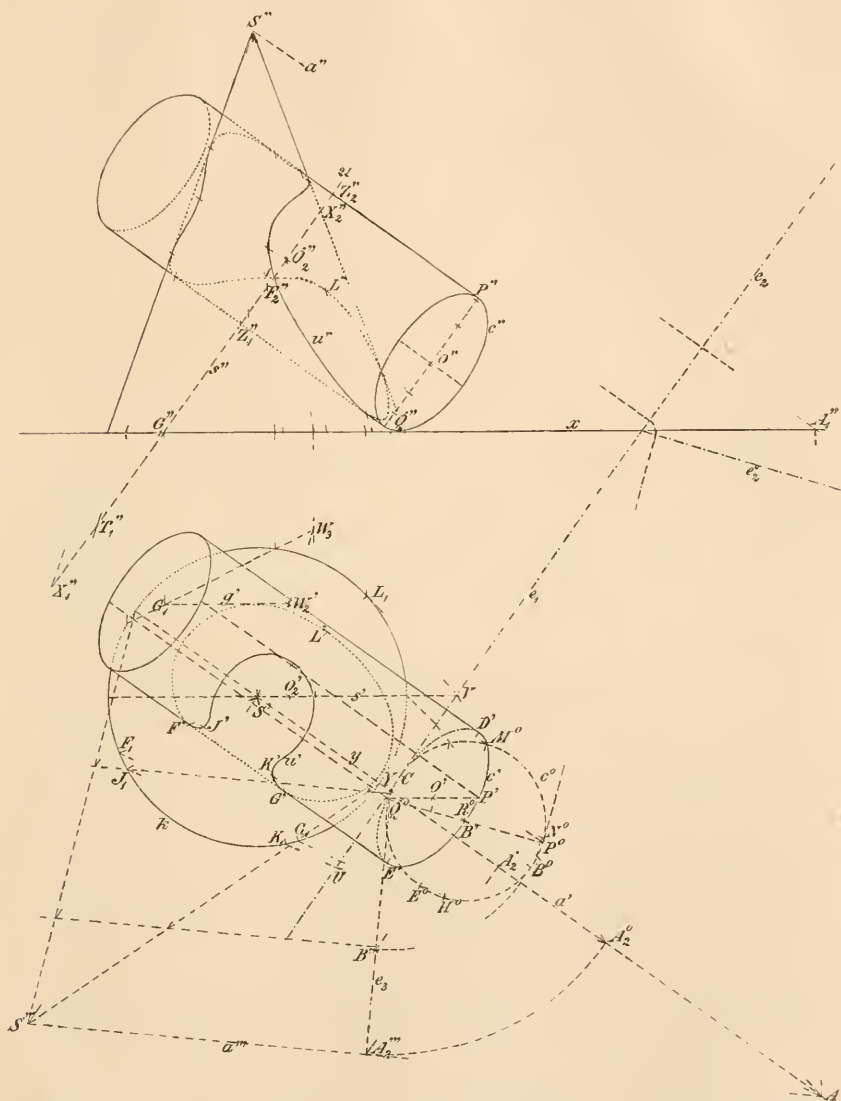


Fig. 317.

in Erzeugenden, deren Schnittpunkte aus dem Seitenriß entnommen werden können, man erhält so die vier Schnittpunkte von  $u'$  mit  $y$ .

Um den Aufriß  $u''$  der Durchdringungslinie genau zu zeichnen,



verfährt man am besten so, daß man für jeden Punkt von  $u''$  die zweiten Projektionen der beiden Mantellinien, die ihn enthalten, aufsucht. Die Mantellinien des Kegels ergeben sich unmittelbar im Aufriß; um diejenigen des Cylinders zu gewinnen, machen wir folgende Überlegung. Die projizierenden Ebenen durch die Erzeugenden des Cylinders stehen auf  $\Pi_2$  und auf  $E$ , also auch auf  $e_2$  senkrecht; sie schneiden deshalb  $E$  in zu  $e_2$  senkrechten Geraden. Legt man diese Geraden mit der Ebene  $E$  um  $e_1$  in  $\Pi_1$  nieder, so sind sie zu  $e_2^0$  senkrecht, wenn  $e_2^0$  die mit  $E$  niedergelegte zweite Spur bedeutet. Der zu  $e_2$  parallele Durchmesser  $PQ$  des Kreises  $c$  erscheint im Aufriß als die zu  $e_2$  parallele Achse  $P''Q''$  von  $c''$ , deren Endpunkte den Umrißlinien des Cylinders angehören; um sie zu zeichnen, benutzt man den zu  $e_2^0$  parallelen Durchmesser  $P^0Q^0$  von  $c^0$ , lotet  $P^0, Q^0$  auf  $e_2^0$  und überträgt sie von da auf  $e_2$ ; durch diese Punkte gehen dann die verlängerten Umrißlinien. Die ersten Projektionen dieser Umrißlinien gehen verlängert durch die Punkte  $P^0$  resp.  $Q^0$ , sie enthalten je zwei Punkte von  $u'$ , die von je zwei Erzeugenden des Kegels ausgeschnitten werden, deren erste Spurpunkte auf den Verbindungslinien von  $A_1$  mit  $e_1 \times P^0A_2^0$  resp.  $e_1 \times Q^0A_2^0$  liegen. Hiernach ergeben sich die Berührungspunkte von  $u''$  mit den Umrißlinien des Cylinders und ganz analog mit den Umrißlinien des Kegels, wenn man Hilfsebenen durch  $a$  benutzt, die sie enthalten. Ist  $L''$  irgend ein Punkt von  $u''$ , so sind seine Abstände von den Umrißlinien des Cylinders gleich den gegenseitigen Abständen der drei projizierenden Ebenen durch die bezüglichen Erzeugenden des Cylinders. Da aber  $PQ$  ( $\parallel e_2$ ) zu den projizierenden Ebenen normal ist, so haben ihre Schnittpunkte mit  $PQ$  die gleichen Abstände wie sie selbst; diese Schnittpunkte sind  $P, Q$  und  $R$ , wenn  $MR \perp PQ$  und  $M$  der auf  $c$  liegende Endpunkt der durch  $L$  gehenden Mantellinie des Cylinders ist. Die Abstände des Punktes  $L''$  von den Umrißlinien des Cylinders sind demnach gleich  $R^0P^0$  resp.  $R^0Q^0$  ( $M^0R^0 \perp P^0Q^0, L'M^0 \parallel y$ );  $u''$  berührt im Punkte  $L''$  die Projektion der bez. Mantellinie des Cylinders, da  $u$  die Mantellinie selbst in  $L$  berührt. Ganz analog können wir für jeden Punkt von  $u''$  die durch ihn verlaufende Erzeugende des Cylinders finden.

Die Sichtbarkeit der Kurven  $u'$  und  $u''$  ergibt sich wie in der vorausgehenden Aufgabe, indem man beim Cylinder und Kegel, und zwar bei jedem für sich allein, die sichtbaren Teile aufsucht; die Punkte der Kurven  $u'$  resp.  $u''$ , die den sichtbaren Teilen beider Flächen angehören, sind selbst sichtbar. Die sichtbaren Teile der Kurven  $u'$  und  $u''$  enden auf den Umrißlinien der Flächen.

**501.** Die Projektionen der Durchdringungskurve  $u$  unserer Flächen zeigen wie im vorhergehenden Beispiele je zwei Doppelpunkte. Wir wollen hier die Konstruktion der Doppelpunkte von  $u''$  besprechen, die sich zur früheren im wesentlichen analog gestaltet. Alle zu  $\Pi_2$  normalen Sehnen des Kegels werden von einer zu  $\Pi_2$  parallelen Ebene durch  $S$  halbiert, alle zu  $\Pi_2$  normalen Sehnen des Cylinders werden von einer Ebene halbiert, welche die Mantellinien durch  $P$  und  $Q$  enthält, die im Aufriß als Cylinderumriß erscheinen. Die Schnittlinie  $s$  beider Ebenen ergibt sich hieraus;  $s' \parallel x$  geht durch  $S'$ ,  $s'' \parallel e_2$  geht durch  $O_2''$ , wenn  $O_2$  der Schnittpunkt der Cylinderachse mit  $s$  ist ( $O'O_2' \parallel y$ ,  $O''O_2'' \perp e_2$ ). Die Ebene durch  $s$  senkrecht zu  $\Pi_2$  schneidet den Kegel in einer Ellipse  $i_2$ , deren eine Achse  $X_1X_2$  ist ( $X_1''$  und  $X_2''$  liegen auf den Umrißlinien des Kegels), sie schneidet den Cylinder in einer Ellipse  $j_2$ , deren eine Achse  $Z_1Z_2$  ist ( $Z_1''$  und  $Z_2''$  liegen auf dem Umriß des Cylinders). Die vier Schnittpunkte von  $i_2$  um  $j_2$  haben dann folgende Eigenschaften (vergl. 396 u. ff.). Ihre Projektionen auf  $\Pi_2$  fallen paarweise in die Doppelpunkte 1 und 2 von  $u''$  zusammen. Jede Gerade in der Ebene der beiden Kegelschnitte  $i_2$  und  $j_2$  schneidet diese in zwei Punktepaaren, deren Projektionen auf  $\Pi_2$  zwei Punktepaare einer Involution liefern, der auch das Punktepaar 1, 2 angehört. So bilden  $X_1'', X_2''$ ;  $Z_1'', Z_2''$  und 1, 2 drei Punktepaare einer Involution. Eine zweite Involution erhalten wir, wenn wir im Endpunkte  $W_2$  der zweiten Achse von  $j_2$  die Tangente  $g$  von  $j_2$  ziehen ( $g' \parallel s'$ ,  $g'' = s''$ ). Um die Schnittpunkte  $T_1, T_2$  von  $g$  mit dem Kegel zu gewinnen, schneiden wir den Kegel mit der Ebene  $Sg$ , deren erste Spur  $G_1W_3$  ist ( $G_1$  ist die erste Spur von  $g$  und  $W_3$  die erste Spur von  $SW_2$ ,  $W_2'' = O_2''$ );  $G_1W_3$  schneidet dann auf  $k$  die Spurpunkte der Mantellinien des Kegels aus, die  $T_1, T_2$  enthalten. Die drei Punktepaare  $O_2''$  (doppelt),  $T_1''T_2''$  und 1, 2 bilden dann ebenfalls eine Involution und aus beiden Involutionen ergeben sich 1 und 2 nach 353.

**502.** Durchdringung von Kugel und Kegel (Fig. 318). Hierbei wird man stets Hilfsebenen in Anwendung bringen, die das von dem Kegelscheitel auf eine Projektionsebene gefällte Lot enthalten; außerdem wird man eine zweite Projektionsebene wählen, die zur Ebene der Basiskurve des Kegels senkrecht steht. In der Figur ist der Einfachheit halber die Basiskurve  $c$  des Kegels in  $\Pi_1$  angenommen;  $S', S''$  sind die Projektionen des Scheitels,  $k'$  und  $l''$  die scheinbaren Umrißkreise der Kugel. Sind von  $c$  ein Paar konjugierte Halbmesser  $MA$  und  $MB$  gegeben, so zeichne man einen zu  $c$  affinen Kreis  $c_1$  mit dem Radius  $MA$ ; dann ist  $B_1$  der affine

Punkt zu  $B$ ,  $S_1$  der affine Punkt zu  $S'$  ( $B_1M \perp AM$ ,  $S'S_1 \parallel BB_1$ ,  $S'S_2 \parallel BM$ ,  $S_1S_2 \parallel B_1M$ ). Sind  $J_1$ ,  $K_1$  die Berührungspunkte der Tangenten von  $S_1$  an  $c_1$  und  $J$ ,  $K$  die affinen Punkte auf  $c$ , so sind  $S'J$  und  $S'K$  die Umrißlinien des Kegels. Um nun einzelne Punkte der Durchdringungslinie  $u$  bzw. ihrer Projektion  $u'$  zu finden, ziehe man durch  $S_1$  Sehnen des Kreises  $c_1$ , z. B.  $C_1D_1$ , suche die affine Sehne  $CD$  der Ellipse  $c$  und bestimme die Durchstoßpunkte

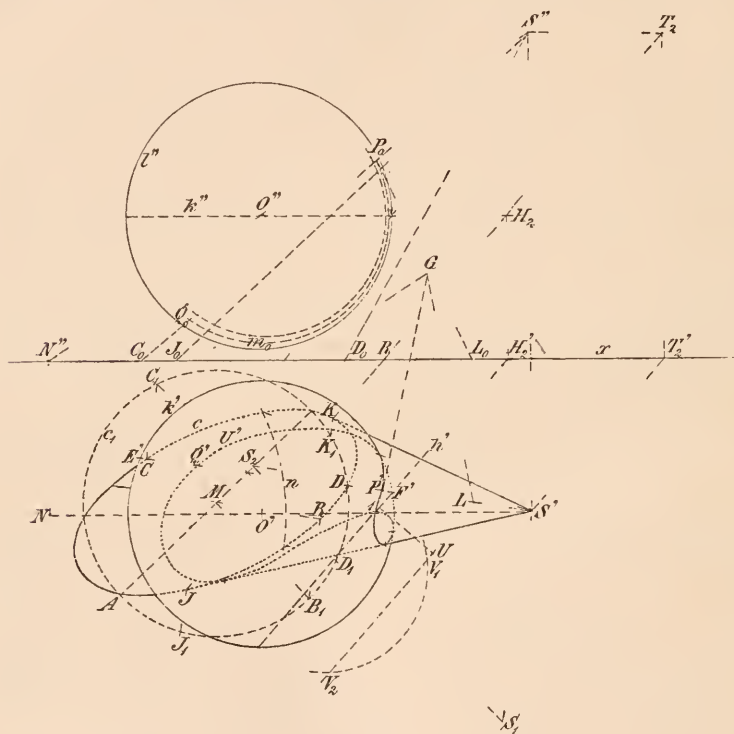


Fig. 318.

der Mantellinien  $SC$  und  $SD$  mit der Kugel. Die Ebene  $SCD$  ( $\perp \Pi_1$ ) schneidet auf der Kugel einen Kreis  $m$  mit dem Durchmesser  $EF$  aus; diese Ebene drehen wir samt dem Kreise  $m$  und den Geraden  $SC$  und  $SD$  um die Achse  $SS'$ , bis sie zu  $\Pi_2$  parallel wird. Im Aufriß erhält man dann den Kreis  $m_0$  und die Linien  $S''C_0$  und  $S''D_0$  und ihre Schnittpunkte  $P_0$  und  $Q_0$  ( $S''D_0$  und  $m_0$  schneiden sich in der Figur nicht), die durch die Drehung aus den in der Ebene  $SCD$  liegenden Punkten  $P$  und  $Q$  von  $u$  hervorgegangen sein müssen; es finden sich also  $P'S'$  und  $Q'S'$  gleich den Abständen der Punkte  $P_0$

resp.  $Q_0$  von  $S''S'$ . Verfährt man in der geschilderten Weise mit der Umrißlinie  $S'J$  des Kegels, so erhält man auf ihr die Berührungspunkte mit  $u'$ . Die Berührungspunkte von  $u'$  und  $k'$  liegen offenbar auf den Projektionen der Mantellinien, die  $k$  treffen; diese Mantellinien liegen also noch auf einem zweiten Kegel, dessen Scheitel  $S$  und dessen Basiskurve  $k$  ist. Der letztgenannte Kegel besitzt als erste Spurkurve einen Kreis  $n$  mit dem Mittelpunkt  $N$  — dem Spurpunkt von  $SO$  — und einem Radius, der sich zum Kugelradius verhält, wie  $S''N'' : S''O''$ . Die Spurkurven  $c$  und  $n$  beider Kegel schneiden sich in Punkten, die mit  $S'$  verbunden auf dem Kreise  $k'$  seine Berührungspunkte mit  $u'$  ergeben. Über die Sichtbarkeit von  $u'$  entscheidet man wie in den früheren Beispielen. Der Aufriß ist in der Figur weggelassen, würde indessen leicht hinzuzufügen sein.

Die Tangente im Punkte  $P$  von  $u$  ist die Schnittlinie der Tangentialebene im Punkte  $P$  der Kugel mit der Tangentialebene an den Kegel längs der Erzeugenden  $SC$ . Die Tangente  $CG$  im Punkte  $C$  von  $c$  ist die Spur der letzteren Ebene, die Spur  $LG$  der ersteren Ebene ist senkrecht zu  $O'P'$  und enthält den Spurpunkt  $L$  der Tangente des Kreises  $m$  im Punkte  $P$  ( $P_0L_0$  Tangente von  $m_0$ ,  $LS' = (L_0 \rightarrow S''S')$ ); dann ist  $P'G$  die Tangente von  $u'$  im Punkte  $P'$ .

**503.** Die Bestimmung der Doppelpunkte 1 und 2 von  $u'$  geschieht analog zu den früheren Beispielen. Alle zu  $\Pi_1$  normalen Kugelsehnen werden durch die Ebene des Umrisses  $k$  halbiert, ebenso alle zu  $\Pi_1$  normalen Kegelsehnen durch die Ebene der Umrißlinien  $SJ$  und  $SK$ . Denn Endpunkte, Mittelpunkt und unendlich ferner Punkt einer solchen Sehne liegen harmonisch, also auch die Spurpunkte der von  $S$  durch sie gelegten Strahlen, die auf einer Geraden durch  $S'$  liegen; zwei derselben fallen auf  $c$ , einer nach  $S'$ , der vierte also auf die Polare  $JK$  des Punktes  $S'$  in Bezug auf  $c$ . Beide Ebenen schneiden sich in einer Geraden  $h$  ( $h \parallel JK \parallel ST_2$ ,  $H_2 = k'' \times RT_2$ ), deren Projektion  $h'$  die Doppelpunkte von  $u'$  trägt. Die projizierende Ebene durch  $h$  schneidet die Kugel in einem Kreise  $i_2$  und den Kegel in einer Ellipse  $j_2$ ;  $h$  ist zugleich Durchmesser von  $i_2$  und Achse von  $j_2$ , so daß ihre vier Schnittpunkte paarweise auf zwei Senkrechten von  $\Pi_1$  liegen und bei der Projektion in die Doppelpunkte 1 und 2 von  $u'$  zusammenfallen. Für die Konstruktion der Schnittpunkte von  $i_2$  und  $j_2$  gilt das in den vorangehenden Beispielen Gesagte und soll hier nicht wiederholt werden, nur sei hinzugefügt, daß die eine Achse von  $j_2$  durch den Umriß  $SJ$  und  $SK$  begrenzt wird, die andere also im Mittelpunkt darauf senk-



recht steht; ihre Länge ergibt sich durch Umlegen der bezüglichen projizierenden Ebene. Von den Involutionen, denen das Punktepaar 1, 2 angehört, wird hier eine bestimmt durch die Punktepaare  $h' \times k'$  und  $h' \times S'J$ ,  $h' \times S'K$ , eine zweite wird definiert durch Lotung der Punktepaare  $U$  (doppelt) und  $V_1, V_2$  auf  $h'$ .

**504.** Eigenschaften der Durchdringungskurve  $u$  zweier Kegelflächen  $\Lambda_1$  und  $\Lambda_2$ , die eine beliebige Lage zu einander haben.<sup>19)</sup> Die Cylinderflächen erscheinen als spezielle Fälle der Kegelflächen und brauchen nicht besonders behandelt zu werden. Zunächst ist zu erkennen, daß jede Ebene die Kurve  $u$  in vier Punkten schneidet; es sind dies die vier gemeinsamen Punkte der beiden Kegelschnitte, die die Ebene aus den beiden Flächen ausschneidet. Die vier Punkte können alle reell sein, oder es ist ein Paar konjugiert imaginär, oder es sind zwei Paare konjugiert imaginär (vergl. 401). Die Durchdringungskurve  $u$  zweier Kegelflächen wird deshalb als Raumkurve 4. Ordnung bezeichnet, man nennt nämlich Ordnung einer Raumkurve die Zahl ihrer Schnittpunkte mit einer beliebigen Ebene. Seien nun  $S_1$  und  $S_2$  die Scheitel unserer Kegelflächen und  $s$  ihre Verbindungslinie, so giebt es zu  $s$  eine Polarebene  $\Sigma_1$  in Bezug auf den Kegel  $\Lambda_1$  und eine Polarebene  $\Sigma_2$  in Bezug auf  $\Lambda_2$  (vergl. 478); beide mögen sich in  $t$  schneiden. Eine beliebige Ebene  $E$  durch  $s$  enthält zwei Erzeugende  $a_1, b_1$  von  $\Lambda_1$  und zwei Erzeugende  $a_2, b_2$  von  $\Lambda_2$  und die vier Punkte  $E_1 = a_1 \times a_2$ ,  $E_2 = a_1 \times b_2$ ,  $E_3 = a_2 \times b_1$ ,  $E_4 = b_1 \times b_2$  von  $u$ . Der Punkt  $E_1 E_4 \times E_2 E_3 = J$  liegt auf  $t$ ; denn  $J$  liegt auf  $\Sigma_1$  und auf  $\Sigma_2$ , da  $G = s \times E_1 E_4$  und  $J$  die Strecke  $E_1 E_4$  harmonisch trennen, diese aber eine gemeinsame Sehne beider Kegel bildet. Die Ebene  $tG$  schneidet  $\Lambda_1$  resp.  $\Lambda_2$  in den Kegelschnitten  $l_1$  resp.  $l_2$ , die sich — abgesehen von  $E_1$  und  $E_4$  — noch in zwei weiteren Punkten  $F_1 F_4$  treffen, deren Verbindungslinie wiederum durch  $G$  geht. Denn  $t$  ist die Polare von  $G$  in Bezug auf die beiden Kegelschnitte  $l_1, l_2$  —  $t$  liegt ja in  $\Sigma_1$  und  $\Sigma_2$  —, nach 401 liegen also die Punkte  $F_1 E_1 \times F_4 E_4 = T_1$  und  $F_1 E_4 \times F_4 E_1 = T_2$  auf  $t$ , während  $E_1 E_4 \times F_1 F_4 = G$  der Pol von  $t$  für  $l_1$  und  $l_2$  ist. Zugleich ist  $T_1$  der Pol von  $GT_2$  und  $T_2$  der Pol von  $GT_1$  für beide Kegelschnitte  $l_1, l_2$ , d. h. die Ebene  $sT_1$  ist die Polarebene von  $S_1 T_2$  in Bezug auf  $\Lambda_1$ , und von  $S_2 T_2$  in Bezug auf  $\Lambda_2$ , und ebenso ist  $sT_2$  die Polarebene von  $S_1 T_1$  in Bezug auf  $\Lambda_1$  und von  $S_2 T_1$  in Bezug auf  $\Lambda_2$ . Auf jeder Geraden durch  $T_1$  werden mithin beide Kegelsehnen durch  $T_1$  und die Ebene  $sT_2$  harmonisch getrennt; haben beide Sehnen also einen Endpunkt gemein, so haben sie auch den zweiten End-



punkt gemein. Jede Gerade durch  $T_1$ , die nach einem Punkte von  $u$  gezogen ist, trifft  $u$  noch zum zweiten Male; Gleiches gilt für die Geraden durch  $T_2$ . Demnach bilden  $T_1$  resp.  $T_2$  die Scheitel zweier Kegel  $K_1$  resp.  $K_2$ , deren Erzeugende die Kurve  $u$  je zweimal treffen; also ganz so wie es sich mit den Erzeugenden der Kegel  $\Lambda_1$  und  $\Lambda_2$  verhält. Jede Ebene durch  $T_1$  schneidet den Kegel  $K_1$  in zwei reellen oder konjugiert imaginären Erzeugenden, auf denen paarweise die vier Schnittpunkte der Ebene mit  $u$  liegen; jede Ebene schneidet somit den Kegel  $K_1$  in einer Kurve 2. Ordnung — die von jeder Geraden der Ebene in zwei reellen oder konjugiert imaginären Punkten getroffen wird. Die früher von uns untersuchten Kegelschnitte sind solche Kurven 2. Ordnung und umgekehrt ist jede Kurve 2. Ordnung ein solcher Kegelschnitt. Die Durchdringungskurve  $u$  liegt auf vier Kegelflächen 2. Ordnung.

505. Projiziert man die Kurve  $u$  durch parallele Strahlen, oder durch Strahlen aus einem Centrum, so erhält man eine Kurve 4. Ordnung  $u'$  mit zwei Doppelpunkten. Der Beweis hierfür ist dem in den vorangehenden Beispielen gegebenen völlig analog und kann deshalb übergangen werden. Die Kurve  $u'$  besitzt ferner acht Doppeltangenten, denn jeder der vier Kegel durch  $u$  zeigt bei der Projektion als wahren Umriß zwei Gerade, die von  $u$  in je zwei reellen oder imaginären Punkten geschnitten werden; die acht scheinbaren Umrißlinien sind dann die Doppeltangenten. Die Doppeltangenten können natürlich auch paarweise imaginär werden.

Die Punkte von  $u$  liegen paarweise auf Erzeugenden des Kegels  $K_1$  (Gleiches gilt für die übrigen Kegel) und werden durch  $T_1$  und die Ebene  $S_1S_2T_2$  harmonisch getrennt, die Tangenten in den Punkten eines solchen Paares liegen in der bezw. Tangentialebene des Kegels  $K_1$  und schneiden sich in einem Punkte der Ebene  $S_1S_2T_2$ . Zu jedem Punkte von  $u$  lassen sich mit Hilfe des Tetraëders  $S_1S_2T_1T_2$  noch sieben weitere Punkte von  $u$  ableiten. Acht derartig zusammengehörige Punkte liegen sowohl paarweise auf vier Strahlen durch  $S_1$ , wie auf vier Strahlen durch  $S_2$ , wie auf vier Strahlen durch  $T_1$  und auf vier Strahlen durch  $T_2$ ; je zwei dieser acht Punkte werden entweder durch eine Ecke des Tetraëders  $S_1S_2T_1T_2$  und seine Gegenseite oder durch ein Paar Gegenkanten harmonisch getrennt. Die Punkte von  $u$  in den Tetraëderseiten haben stationäre Schmiegungebenen (vergl. 457).

Es ist noch zu erwähnen, daß bei der obigen Betrachtung die Punkte  $F_1$  und  $F_4$  konjugiert imaginär sein können; dann werden

auch die Scheitel  $T_1$  und  $T_2$  und damit die bezw. Kegel imaginär; die Kurve  $u$  liegt nur noch auf zwei reellen Kegeln.

**506.** Spezielle Durchdringungskurven zweier Kegelflächen  $\Lambda_1$  und  $\Lambda_2$ . Zwei Kegelflächen, die denselben Kegelschnitt  $a$  enthalten, haben noch einen weiteren Kegelschnitt  $b$  gemein. Seien  $S_1$  und  $S_2$  die Scheitel der Kegel, ferner  $A$  die Ebene des Kegelschnittes  $a$ , endlich  $q$  die Polare des Punktes  $Q = A \times S_1 S_2$  in Bezug auf die Kurve  $a$ . Legen wir nun durch  $S_1 S_2$  eine beliebige Ebene, die  $a$  in  $A_1$  und  $A_2$  schneidet, so gehören die Punkte  $S_1 A_1 \times S_2 A_2 = B_1$  und  $S_1 A_2 \times S_2 A_1 = B_2$  der Durchdringungskurve  $b$  an, die eine ebene Kurve sein muß. Die vier Erzeugenden bilden nämlich ein Vierseit und es liegen die Punkte  $A_1, A_2, Q$  und  $A_1 A_2 \times B_1 B_2$  harmonisch und ebenso die Punkte  $S_1, S_2, Q$  und  $S_1 S_2 \times B_1 B_2 = R$ ; d. h. die Gerade  $B_1 B_2$  liegt in der Ebene  $qR$ . Aber sowohl  $q$  wie  $R$  sind unabhängig von der Wahl der Ebene durch  $S_1 S_2$ , so daß die ganze Kurve  $b$  in der Ebene  $qR$  liegt und natürlich einen Kegelschnitt bildet.

Die Kegelflächen berühren sich in den beiden Schnittpunkten von  $a$  und  $b$ ; denn die Tangenten dieser Kurven in einem ihrer Schnittpunkte sind zugleich Tangenten der beiden Kegelflächen; ihre Ebene ist also für beide Flächen Tangentialebene und geht demnach auch durch ihre Scheitel. Umgekehrt zerfällt die Schnittkurve  $u$  zweier Kegel, die sich an zwei Stellen  $J$  und  $K$  berühren, in zwei Kegelschnitte. Denn eine Ebene durch  $J, K$  und einen Punkt  $P$  von  $u$  schneidet beide Kegel in Kegelschnitten, die sich in  $J$  und  $K$  berühren und durch  $P$  gehen, also zusammenfallen. Zwei Kegel mit gemeinsamem Scheitel durchschneiden sich in vier Erzeugenden. Zwei Kegelflächen, von denen jede den Scheitel der andern enthält, durchdringen sich in einem Kegelschnitt, wenn sie sich längs der Verbindungslinie der Scheitel berühren. Ist  $S_1 S_2 = s$  die gemeinsame Erzeugende und  $\Sigma$  die Ebene, die beide Kegel  $\Lambda_1$  und  $\Lambda_2$  längs  $s$  berührt, sind ferner  $a_1, a_2; b_1, b_2; c_1, c_2; d_1, d_2 \dots$  sich schneidende Erzeugende beider Kegel und  $A, B, C, D, \dots$  ihre Schnittpunkte, so betrachten wir zwei Ebenenbüschel mit den Achsen  $s$  resp.  $a_1$ , die den Kegel  $\Lambda_1$  erzeugen und zwei Ebenenbüschel mit den Achsen  $s$  resp.  $a_2$ , die den Kegel  $\Lambda_2$  erzeugen. Der Ebenenbüschel  $s (b_1, c_1, d_1, \dots s)$  oder  $s (b_2, c_2, d_2, \dots s)$  ist zu den Büscheln  $a_1 (b_1, c_1, d_1, \dots s)$  und  $a_2 (b_2, c_2, d_2, \dots s)$  projektiv, da sie Kegelflächen miteinander erzeugen; die letzten beiden Büschel sind aber zugleich perspektiv, denn die Ebenen  $a_1 s$  und  $a_2 s$  sind identisch; ihre entsprechenden Ebenen schneiden sich also in den

Strahlen eines Strahlbüschels, dessen Ebene einen beiden Kegelflächen gemeinsamen Kegelschnitt enthält.

**507.** Eigenschaften der Raumkurven 3. Ordnung.<sup>20)</sup> Zwei Kegelflächen  $\Lambda_1$  und  $\Lambda_2$  mit einer gemeinsamen Erzeugenden  $s$  durchdringen sich noch in einer Raumkurve 3. Ordnung  $u$ . Denn jede Ebene schneidet die ganze Durchdringungskurve, die sich aus  $s$  und  $u$  zusammensetzt, in vier Punkten. Sind  $S_1$  und  $S_2$  die auf  $s$  liegenden Scheitel der Kegel und schneiden sich in den Punkten  $A, B, C, D \dots$  von  $u$  respektive die Erzeugenden  $a_1, a_2; b_1, b_2; c_1, c_2; d_1, d_2 \dots$ , so ist das Ebenenbüschel  $s(b_1, c_1, d_1, \dots) = s(b_2, c_2, d_2, \dots)$  projektiv zu den Büscheln  $a_1(b_1, c_1, d_1, \dots)$  und  $a_2(b_2, c_2, d_2, \dots)$ . Die letzteren Büschel, deren Achsen sich in  $A$  schneiden, sind projektiv — aber nicht perspektiv — und erzeugen eine Kegelfläche mit dem Scheitel  $A$ , die ebenfalls durch  $u$  hindurchgeht. Jeder Punkt der Raumkurve 3. Ordnung kann als Scheitel eines Kegels 2. Ordnung dienen, der sie ganz enthält. Mit andern Worten: Die Projektion einer Raumkurve 3. Ordnung aus einem ihrer Punkte auf irgend eine Ebene ist immer ein Kegelschnitt.

Eine Raumkurve 3. Ordnung ist durch sechs von ihren Punkten bestimmt. Denn jeder dieser Punkte kann als Scheitel eines Kegels angesehen werden, der die Strahlen nach den fünf übrigen zu Erzeugenden hat, und je zwei dieser Kegel haben eine Erzeugende gemein, durchdringen sich also außerdem in der Raumkurve 3. Ordnung.

Jede Ebene hat mit der Raumkurve 3. Ordnung einen oder drei reelle Punkte gemein. Wenden wir dieses Resultat auf die unendlich ferne Ebene an, so erkennen wir, daß eine Raumkurve 3. Ordnung in einer oder in drei Richtungen ins Unendliche verläuft (in jeder Richtung zwei Äste) und daß demnach ein oder drei Cylinder durch sie hindurchgelegt werden können.

**508.** Die Raumkurve 3. Ordnung  $u$  als Schnitt zweier Kegel  $\Lambda_1$  und  $\Lambda_2$  mit einer gemeinsamen Mantellinie  $m$  zu konstruieren (Fig. 319). Wir denken uns die Spurkurven beider Kegel in einer Ebene  $\Pi$  bestimmt; es seien die Kegelschnitte  $l_1$  und  $l_2$  respektive, deren einer Schnittpunkt der Spurpunkt  $M$  von  $m$  ist; ihre andern Schnittpunkte seien  $A, B, C$ ; ferner seien  $S_1'$  und  $S_2'$  die Projektionen der Scheitel  $S_1$  und  $S_2$  auf  $\Pi$ . Kennen wir noch den Abstand des Scheitels  $S_1$  von  $\Pi$ , so ist die räumliche Lage beider Kegel gegeben, da  $S_1 S_1' : S_2 S_2' = S_1' M : S_2' M$  ist. Da wir hier bloß die Projektion  $u'$  von  $u$  auf  $\Pi$  zeichnen wollen, kommt es auf den

Abstand  $S_1S_1'$  nicht an, der denn auch in Fig. 319 weggelassen ist. Jede Ebene durch  $m$  schneidet  $\Pi$  in einer Geraden durch  $M$ , und diese trifft  $l_1$  und  $l_2$  je in einem Punkte  $P_1$  und  $P_2$ ;  $S_1P_1$  und  $S_2P_2$  liefern einen Punkt  $P$  von  $u$  und ihre Projektionen einen Punkt  $P'$  von  $u'$ . Die Tangente  $t$  von  $u$  im Punkte  $P$  liegt in den Tangentialebenen der Kegel längs der Erzeugenden  $S_1P$  resp.  $S_2P$ , deren Spurlinien die Tangenten  $P_1T$  von  $l_1$  und  $P_2T$  von  $l_2$  sind; ihr Schnittpunkt  $T$  ist der Spurpunkt von  $t$ , liegt also auch auf  $t'$ .

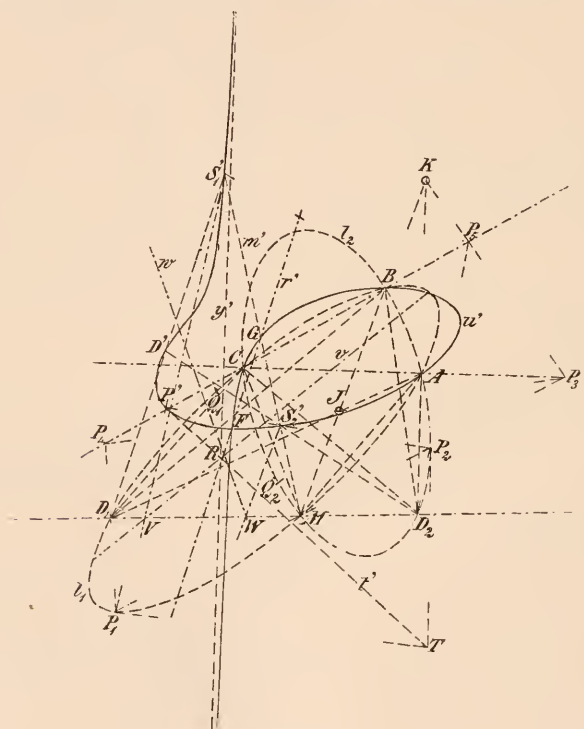


Fig. 319.

Die angegebene Konstruktion ist nur möglich, wenn die Kegelschnitte  $l_1$  und  $l_2$  gezeichnet vorliegen; ist dieses nicht der Fall, oder will man genauere Resultate erzielen, so muß man die projektiven Strahlbüschel benutzen, die die Kurven  $l_1$  und  $l_2$  erzeugen. Soll z. B. die Raumkurve 3. Ordnung durch die sechs Punkte  $S_1, S_2, A, B, C, D$  konstruiert werden, so wählen wir  $ABC$  als Projektionsebene  $\Pi$ , bestimmen in ihr die Spurpunkte  $D_1$  von  $S_1D$ ,  $D_2$  von  $S_2D$  und  $M$  von  $S_1S_2$ , dann gehen die Spurkurven  $l_1$  und  $l_2$  der beiden Kegel durch die gemeinsamen vier Punkte  $A, B, C, M$



und je einen der Punkte  $D_1$  resp.  $D_2$ . Hiernach betrachte man  $l_1$  als Erzeugnis der projektiven Strahlbüschel:  $D_1 (A, B, C, \dots)$  und  $M (A, B, C, \dots)$ . Schneiden wir den ersteren mit  $CB$ , den letzteren mit  $CA$ , so erhalten wir perspektive Punktreihen und  $J = D_1 A \times MB$  ist das Centrum der Perspektivität. Jede Gerade durch  $J$  schneidet  $CB$  und  $CA$  in entsprechenden Punkten der perspektiven Reihen, z. B.  $P_4$  und  $P_3$ , die mit  $D_1$  resp.  $M$  verbunden einen Punkt von  $l_1$  liefern, z. B.  $P_4 D_1 \times P_3 M = P_1$ . Ebenso ist  $l_2$  das Erzeugnis der projektiven Strahlbüschel  $D_2 (A, B, C, \dots)$  und  $M (A, B, C, \dots)$ , die auf  $CB$  resp.  $CA$  perspektive Punktreihen mit  $K = D_2 A \times MB$  als Centrum der Perspektivität ausschneiden. Jede Gerade durch  $K$  liefert zwei entsprechende Punkte der perspektiven Reihen, z. B.  $P_5$  und  $P_3$ , die mit  $D_2$  resp.  $M$  verbunden einen Punkt von  $l_2$  ergeben,  $P_5 D_2 \times P_3 M = P_2$ .  $J$  und  $K$  werden auf  $MB$  durch  $AD_1$  resp.  $AD_2$  ausgeschnitten, man hat dann, um einen Punkt von  $u$  zu zeichnen, folgende Linien zu ziehen. Irgend einen Punkt  $P_3$  von  $AC$  verbinde man mit  $J$ ,  $K$  und  $M$ , den Punkt  $P_4 = P_3 J \times BC$  mit  $D_1$  und den Punkt  $P_5 = P_3 K \times BC$  mit  $D_2$ , dann schneiden  $P_4 D_1$  und  $P_5 D_2$  die Gerade  $P_3 M$  in  $P_1$  resp.  $P_2$  und  $S_1 P_1 \times S_2 P_2 = P$  ist ein Punkt von  $u$ .

Unsere Kurve  $u$  verläuft nur einmal durchs Unendliche und es soll ihre Asymptote (d. h. die Tangente im unendlich fernen Punkt) gefunden werden. Die unendlich fernen Punkte von  $u$  liegen auf parallelen Erzeugenden der Kegel  $\Lambda_1$  und  $\Lambda_2$ ; verschiebt man  $\Lambda_1$  parallel mit sich selbst im Raume bis sein Scheitel  $S_1$  mit  $S_2$  zusammenfällt und er die Lage  $\Lambda_1^0$  annimmt, so kommen die parallelen Erzeugenden zur Deckung, bilden also die gemeinsamen Erzeugenden der Kegel  $\Lambda_2$  und  $\Lambda_1^0$ , abgesehen von der gemeinsamen Erzeugenden  $m$ . Die Spurellipse  $l_1^0$  des Kegels  $\Lambda_1^0$  ist zu  $l_1$  ähnlich und ähnlich gelegen,  $M$  ist das Ähnlichkeitscentrum,  $S_2'$  und  $S_1'$  sind entsprechende Punkte der ähnlichen Figuren, wonach  $l_1^0$  gezeichnet werden kann.  $l_2$  und  $l_1^0$  schneiden sich außer  $M$  nur noch in dem reellen Punkte  $Q_2$  ( $l_1^0$  ist nicht verzeichnet); es sind nun  $S_2 Q_2$  und  $S_1 Q_1$  parallele Erzeugende ( $Q_1 = M Q_2 \times l_1$ ) und die Tangenten von  $l_1$  in  $Q_1$  und  $l_2$  in  $Q_2$  schneiden sich in einem Punkte der Asymptote  $y$  ( $y \parallel S_1 Q_1 \parallel S_2 Q_2$ ).

**509.** Die Kurve  $u'$  besitzt einen Doppelpunkt, den eine einfache Betrachtung liefert. Die zu  $\Pi$  normalen Sehnen des Kegels  $\Lambda_1$  werden halbiert durch die Ebene seiner Umrißlinien, ihre Spur ist die Polare  $v$  von  $S_1'$  in Bezug auf  $l_1$  (vergl. 503), und sie enthält die Gerade  $VS_1$  ( $V = v \times D_1 D_2$ ). Ebenso halbiert die Ebene durch



$S_2$  und die Polare  $w$  von  $S_2'$  in Bezug auf  $l_2$  die zu  $\Pi$  normalen Sehnen des Kegels  $\Lambda_2$ ; diese Ebene enthält noch die Gerade  $WS_2$  ( $W = w \times D_1 D_2$ ). Die Schnittlinie  $r$  beider Ebenen hat den Punkt  $R = v \times w$  zur Spur und enthält außerdem den Punkt  $X = VS_1 \times WS_2$ . Die zu  $\Pi$  senkrechte Ebene durch  $r$  schneidet die beiden Kegel in zwei Kegelschnitten  $i_1$  und  $i_2$  respektive;  $r$  ist für beide gemeinsamer Durchmesser und halbiert die zu  $\Pi$  normalen Sehnen beider; die vier Schnittpunkte von  $i_1$  und  $i_2$  liegen also auf zwei Normalen zu  $\Pi$ . Die Kegelschnitte  $i_1$ ,  $i_2$  und das soeben genannte Normalenpaar bilden drei Kurven eines Büschels (mit vier gemeinsamen Grundpunkten), sie schneiden also  $r$  in drei Punktepaaren einer Involution. Das Punktepaar  $r \times i_1$  liegt auf den Umrißlinien von  $\Lambda_1$ , das Punktepaar  $r \times i_2$  auf den Umrißlinien von  $\Lambda_2$  (in der Figur sind diese nicht reell); ein Punkt des dritten Paares liegt auf der Normalen zu  $\Pi$ , die den auf  $m$  liegenden gemeinsamen Punkt von  $i_1$  und  $i_2$  enthält. In der Projektion bildet hiernach der Doppelpunkt  $F'$  von  $u'$  mit  $G = r' \times m'$  ein Punktepaar der Involution auf  $r'$ , von der ein Punktepaar von dem scheinbaren Umriß des Kegels  $\Lambda_1$  und ein zweites Punktepaar von dem scheinbaren Umriß des Kegels  $\Lambda_2$  ausgeschnitten wird; es läßt sich somit  $F'$  nach 224 oder 318 konstruieren.

Im vorliegenden Falle giebt es keine reellen Umrißlinien von  $\Lambda_2$ , das bezüglichliche Punktepaar auf  $r'$  ist imaginär. Wir projizieren das reelle und das imaginäre Punktepaar, sowie den Punkt  $G$  aus  $S_2'$  auf  $w$ , und die so gefundenen Punkte aus einem Punkte von  $l_2$  (z. B. von  $A$  aus) auf  $l_2$ , dann entsteht auf  $l_2$  eine Involution. Das imaginäre Punktepaar derselben liegt auf  $w$  und das reelle auf einer Geraden, die sich leicht zeichnen läßt; das dritte Paar, von dem wir einen Punkt kennen, liegt auf einer Geraden, die sich mit jenen beiden Geraden in einem Punkte schneidet. Daraus ergibt sich der zweite Punkt des dritten Paares und somit durch die genannten Projektionen der gesuchte Doppelpunkt  $F$ .

### Die sphärischen Kegelschnitte.

**510.** Die Durchdringungskurve einer Kugel mit einer konzentrischen Kegelfläche heißt ein sphärischer Kegelschnitt, wenn die Kegelfläche vom zweiten Grade ist, also eine Ellipse, Parabel oder Hyperbel zur Leitkurve hat. Die Eigenschaften solcher sphärischer Kegelschnitte sollen hier etwas näher untersucht werden.<sup>21)</sup> Wir gehen dabei aus von einer uns schon aus 361 be-

kannten Figur, indem wir einen Rotationskegel mit einer beliebigen Ebene  $\mathbf{E}$  schneiden und ihm eine Kugel einbeschreiben, die diese Ebene im Punkte  $F_1$  berührt;  $F_1$  ist dann der Brennpunkt der in  $\mathbf{E}$  liegenden Schnittkurve  $u$ . Ist  $S$  der Scheitel des Kegels und  $O$  das Centrum der Kugel, so machen wir die Ebene  $SOF_1$  zur Projektionsebene  $\Pi_1$ ; diese steht auf  $\mathbf{E}$  senkrecht, so daß sich  $u$  als Gerade  $u'$  mit den Endpunkten  $A, B$  projiziert, wo  $SA$  und  $SB$  die in  $\Pi_1$  liegenden Mantellinien des Kegels sind (Fig. 320). Sind  $J$  und  $K$  die Berührungspunkte von  $SA$  und  $SB$  mit der Kugel, so bildet  $JK$  einen Durchmesser des Berührungskreises vom Kegel mit der Kugel, dessen Ebene zu  $\Pi_1$  normal steht. Schneidet man nun den Kegel mit dem Scheitel  $O$  und der Basiskurve  $u$  mit der Kugel, so erhält man einen sphärischen Kegelschnitt, dessen Eigenschaften sich in einfachster Weise ergeben.

**511.** Die Tangenten aus einem Punkte  $P$  an eine Kugel sind gleich lang; durch Projektion dieser Tangenten vom Mittelpunkte  $O$  aus auf die Kugel erhält man gleich lange Stücke größter Kreise. Ist  $P$  ein Punkt von  $u$ , so berührt  $PS$  die Kugel, ihr Berührungspunkt  $L$  liegt auf dem Kreise mit dem Durchmesser  $JK$  und  $L'$  fällt auf  $JK$ . Die Tangenten  $PF_1$  und  $PL$  sind gleich und Bog  $QF_1 = \text{Bog } QL$ , wenn  $OP$  die Kugel in  $Q$  trifft. Der Bogen  $QF_1$  gehört einem größten Kreise mit dem Durchmesser  $F_1F_4$  an und der Bogen  $QL$  einem größten Kreise mit dem Durchmesser  $F_2F_3$ , der auf  $OS$  liegt. Da der Bogen  $QL$  auf dem Kreise  $JLK$  senkrecht steht, so giebt er den sphärischen Abstand des Punktes  $Q$  von jenem Kreise an und es erscheint der sphärische Kegelschnitt als Ort der Punkte, die von einem festen Punkte  $F_1$  und einem festen Kreise  $KLJ$  gleich weit abstehen, wobei diese Abstände durch Bogenstücke größter Kreise auf der Kugel zu messen sind. Dreht man den Bogen  $QF_1$  um die Achse  $F_1O$  in  $\Pi_1$ , so geht er in  $F_1Q^0$  über ( $Q'Q^0 \perp OF_1$ ); ebenso läßt sich der Bogen  $QL$  durch Drehung

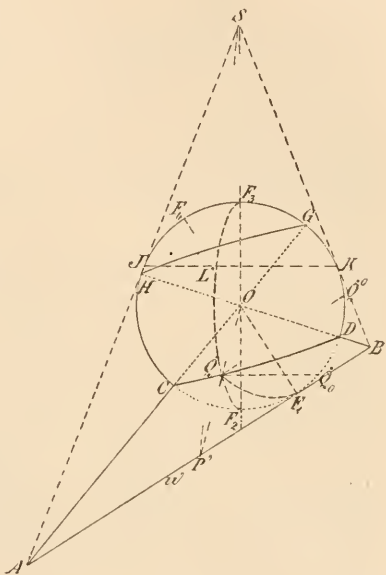


Fig. 320.

um die Achse  $SO$  in die Lage  $KQ_0$  bringen ( $Q'Q_0 \perp OS$ ). Demnach ist  $\text{Bog } KQ_0 = \text{Bog } F_1Q^0$ , und da  $BK = BF_1$ , ist auch  $\text{Bog } DK = \text{Bog } DF_1$ , wenn  $OB$  die Kugel in  $D$  schneidet; hieraus folgt aber durch Subtraktion  $\text{Bog } DQ_0 = \text{Bog } DQ^0$ . Dies ergibt eine einfache Konstruktion der Punkte des sphärischen Kegelschnittes. Schneidet man von  $D$  aus auf dem Kugelkreise in  $\Pi_1$  gleiche Bogen ab, z. B.  $DQ_0 = DQ^0$ , und zieht durch die Endpunkte Senkrechte zu  $OF_2$  und  $OF_1$  respektive, so ist ihr Schnittpunkt die Projektion eines Punktes des sphärischen Kegelschnittes, z. B.  $Q'$ .

Da  $\text{Bog } F_2Q = \text{Bog } F_2Q_0$  und  $\text{Bog } QL = \text{Bog } Q_0K$  ist, so folgt:  $\text{Bog } F_2Q + \text{Bog } QF_1 = \text{Bog } F_2K$ ; der letztgenannte Bogen ist aber von der Lage des Punktes  $P$  unabhängig. Der sphärische Kegelschnitt erscheint also als Ort der Punkte, für die die Summe der sphärischen Abstände von zwei festen Punkten konstant ist. Unter dem sphärischen Abstand zweier Kugelpunkte ist hierbei das von ihnen begrenzte Stück eines größten Kreises zu verstehen. Die Punkte  $F_1$  und  $F_2$  spielen für den sphärischen Kegelschnitt ganz die gleiche Rolle wie die Brennpunkte bei einer Ellipse und werden als seine Brennpunkte bezeichnet. Aus unserem Satze folgt, daß  $\text{Bog } F_2C = \text{Bog } F_1D$  sein muß, es ergibt sich dies auch aus den Relationen:  $\text{Bog } F_2J = \text{Bog } F_2K$ ,  $\text{Bog } CJ = \text{Bog } CF_1$  und  $\text{Bog } DF_1 = \text{Bog } DK$ ; die Summe der sphärischen Abstände eines Kurvenpunktes von den beiden Brennpunkten  $F_1$  und  $F_2$  ist demnach  $= \text{Bog } CD$ , d. h. gleich dem sphärischen Abstand der Scheitel  $C$  und  $D$ .

Es ist (wenn man den Kugelradius als Längeneinheit nimmt):  $\text{Bog } QF_2 = \pi - \text{Bog } QF_3$ ; durch Einsetzen dieses Wertes in die Relation:  $\text{Bog } QF_1 + \text{Bog } QF_2 = \text{Bog } CD$  kommt:  $\text{Bog } QF_3 - \text{Bog } QF_1 = \text{Bog } DG$ . Wir sehen hieraus, daß auch  $F_1$  und  $F_3$  die gleiche Rolle spielen, deshalb nennt man  $F_1, F_2, F_3, F_4$  die vier Brennpunkte unserer Kurve. Je nach der Auswahl zweier Brennpunkte ist die Summe oder die Differenz ihrer sphärischen Abstände von den Kurvenpunkten konstant; die bezüglichen Relationen sind:

$$\begin{aligned} \text{Bog } QF_1 + \text{Bog } QF_2 &= \text{Bog } CD, & \text{Bog } QF_3 - \text{Bog } QF_1 &= \pi - \text{Bog } CD, \\ \text{Bog } QF_3 + \text{Bog } QF_4 &= 2\pi - \text{Bog } CD, & \text{Bog } QF_4 - \text{Bog } QF_2 &= \pi - \text{Bog } CD. \end{aligned}$$

Legt man durch zwei benachbarte Punkte unserer Kurve zwei Ebenen senkrecht zu  $OF_1$  und ebenso zwei Ebenen senkrecht zu  $OF_2$ , so ist nach dem vorausgehenden Satze der sphärische Abstand der beiden benachbarten, zu  $OF_1$  senkrechten Kreise gleich dem sphärischen Abstand der beiden zu  $OF_2$  senkrechten Kreise. Die

zwei Paar Kugelkreise durch die benachbarten Kurvenpunkte bilden demnach einen unendlich kleinen Rhombus, dessen Diagonale die Kurventangente in dem betreffenden Punkte ist und den Winkel der genannten Kugelkreise halbiert. Die Kugelkreise, die den Kurvenpunkt mit den Brennpunkten verbinden, stehen aber auf jenen Kreisen senkrecht und wir erhalten den Satz: Die Tangente in einem Punkte eines sphärischen Kegelschnittes halbiert den Winkel (oder Nebenwinkel) der beiden Kreisbogen, die den Punkt mit zwei Brennpunkten verbinden.

**512.** Die erzielten Resultate lassen sich unmittelbar auf den Kegel mit dem Scheitel  $O$  und der Leitkurve  $u$  übertragen, der unsere sphärische Kurve aus dem Kugelcentrum projiziert. Die Strahlen  $OF_1$  und  $OF_2$  heißen die Brennstrahlen des Kegels. Die Ebene  $OAB$  oder  $\Pi_1$  ist eine Hauptebene des Kegels; die beiden Geraden, die den  $\angle AOB$  und seinen Nebenwinkel halbieren, bilden zwei Achsen des Kegels, dessen dritte Achse auf  $\Pi_1$  senkrecht steht (vergl. 478). Die beiden Brennstrahlen liegen zu den Achsen symmetrisch und es gilt für sie der Satz: Die Summe der Winkel, die jede Mantellinie des Kegels mit den beiden Brennstrahlen einschließt, ist konstant, nämlich  $= \angle AOB$ . Dabei ist natürlich auf die richtige Bildung dieser Winkel Rücksicht zu nehmen; läßt man an Stelle eines dieser Winkel den Nebenwinkel treten, so ist die Differenz der beiden Winkel konstant. Ferner ergibt sich: die Tangentialebene längs einer Mantellinie des Kegels halbiert den einen Winkel der beiden Ebenen, die die Brennstrahlen mit der Mantellinie verbinden. Jede Ebene, die auf einem Brennstrahl des Kegels senkrecht steht, schneidet ihn in einem Kegelschnitt, dessen einer Brennpunkt auf dem betreffenden Brennstrahl liegt.

Die Symmetrieebenen des Kegels sind auch solche für den sphärischen Kegelschnitt, der aus zwei getrennten Teilen besteht entsprechend den beiden Mantelflächen des Kegels.

**513.** Bei den voranstehenden Betrachtungen hatten wir zur Erzeugung des sphärischen Kegelschnittes einen Kegel benutzt, dessen Basiskurve  $u$  zu der schneidenden konzentrischen Kugel in einer besonderen Beziehung stand, indem der Berührungspunkt der Kugel zugleich Brennpunkt von  $u$  war. Wir wollen nun zeigen, wie man im allgemeinen Fall die Brennstrahlen eines Kegels konstruieren kann und dadurch wieder zu den früheren Resultaten gelangt.  $O$  sei der Scheitel des Kegels,  $OM$  die in seinem Innern liegende Kegelachse; als Basisebene des Kegels wählen wir eine zur





der Kugel umgeschrieben ist, so folgt daraus, daß  $F_1$  ein Brennpunkt von  $u$  ist, und man erhält so wieder die Beziehungen, wie sie sich in Fig. 320 darbieten. Zu diesem Zwecke ziehe man von  $A$  und  $B$  die Tangenten an  $k$ , deren Berührungspunkte respektive  $J$  und  $K$  seien; ihr Schnittpunkt  $S$  ist der Scheitel eines Kegels der die Kugel längs eines Kreises  $l$  mit dem Durchmesser  $JK$  berührt. Dieser Rotationskegel enthält aber die Kurve  $u$ , denn die Schnittkurve von  $E$  mit dem Rotationskegel hat mit  $u$  nach der Konstruktion die Achse  $AB$  und außerdem einen Punkt gemein, wie sogleich dargethan werden soll. Ist  $P' = AB \times OM$ , so ist  $SP'$  die Projektion einer Mantellinie  $SP$  des Rotationskegels, die die Kugel in  $Q$  berührt ( $Q' = SP' \times JK$ ) und es ist  $PF_1 = PQ$  (als Kugeltangenten).  $OP$  schneidet also die Kugel in einem Punkte, dessen sphärische Abstände von  $F_1$  einerseits und dem Kugelkreise  $l$  über  $JK$  anderseits einander gleich sind und dessen Projektion in  $OM$  liegt. Diese Eigenschaften besitzt aber der Kugelpunkt  $E$ ; der Strahl  $OE E_1$  geht demnach durch  $P$  hindurch, was zu beweisen war.

Nach 510 muß  $OS$  mit dem Brennstrahl  $f_2$  zusammenfallen; dies ergibt sich auch direkt, denn es ist  $\text{Bog } CJ = \text{Bog } CF_1$  ( $\angle CAJ = \angle CAF_1$ ) und  $\text{Bog } CF_2 = \text{Bog } F_1D = \text{Bog } DK$ , also auch  $\text{Bog } JF_2 = \text{Bog } F_2K$ , d. h.  $F_2$  liegt auf der Halbierungslinie des  $\angle JSK$ .

**514.** Die senkrechten Projektionen des sphärischen Kegelschnittes auf seine drei Symmetrieebenen sind wieder Kegelschnitte, wie im Folgenden nachgewiesen werden soll. Die Projektion auf die Ebene der Brennpunkte ist eine Ellipse  $c'$ , von der zwei Stücke  $AB$  und  $CD$  im Innern des Kreises  $k$  liegen, die beiden andern  $AC$  und  $BD$  aber außerhalb sich befinden (Fig. 322). Die Punkte jener beiden Stücke bilden die Projektionen von je zwei reellen, die Punkte dieser Stücke die Projektionen von je zwei konjugiert imaginären Kurvenpunkten. Die Ellipse  $c'$  ist zu dem Kreise  $k$  affin und zwar ist  $AD$  oder  $BC$  die Affinitätsachse. In der That erhält man jeden Punkt  $P'$  dieser Kurve, wenn man auf  $k$  gleiche Bogen  $AP_0 = AP^0$  abschneidet und  $P'P_0 \perp OF_1$  und  $P'P^0 \perp OF_2$  macht. Ist nun  $L = OA \times P_0P'$ , so folgt aus der erwähnten Gleichheit der Bogen, daß  $LP_0 = LP^0$  wird. Die Winkel des  $\triangle LP'P^0$  sind aber von der Wahl des Kurvenpunktes  $P'$  unabhängig, denn zwei seiner Seiten sind zu  $OF_1$  resp.  $OF_2$  senkrecht und  $\angle P'LP^0 = \angle P'LA - \angle P_0LA$ ; demnach ist auch das Verhältniß  $P'L:P^0L$  oder  $P'L:P_0L$  von der Wahl des Punktes  $P'$  auf  $c'$  unabhängig. Die Kurven  $c'$  und  $k$  sind also affin,  $OA$  ist die Affinitätsachse,  $P'P_0$  (oder auch  $P'P^0$ ) sind ein

Paar affiner Punkte; infolgedessen schneiden die Tangenten von  $k$  in  $P_0$  resp.  $P^0$  und die Tangente von  $c'$  in  $P'$  die Gerade  $OA$  in

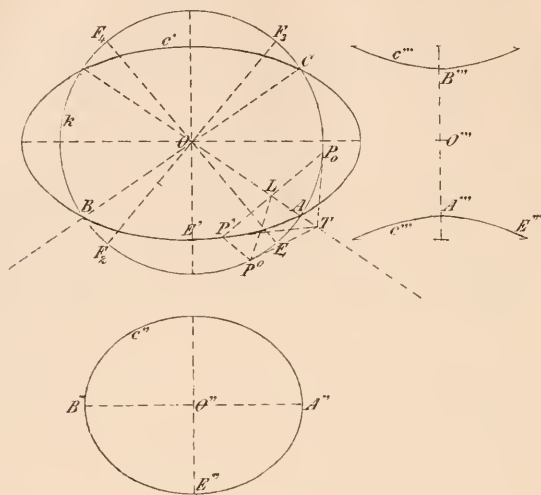


Fig. 322.

dem nämlichen Punkte  $T$ . Zu dem gleichen Resultat gelangt man auch nach 428, wenn man noch den zu  $P'$  benachbarten Punkt auf  $c'$  in Betracht zieht.

**515.** Seien  $x, y, z$  die Achsen des Kegels durch  $c$ , und zwar mag  $x$  den  $\angle F_1OF_2$  und  $y$  seinen Nebenwinkel halbieren, wo  $OF_1$  und  $OF_2$  nicht durch die Kegelflächen getrennt sind, während  $z$  auf der Ebene der Brennpunkte senkrecht steht. Dann ist die Projektion  $c''$  von  $c$  auf eine zur Ebene  $yz$  parallele Ebene eine vollständige Ellipse, deren Halbachsen gleich  $\frac{1}{2}AB$  resp.  $EE'$  sind; die Projektion  $c'''$  von  $c$  auf eine zu  $xz$  parallele Ebene dagegen liefert eine Hyperbel, deren Hauptachse gleich  $AC$  ist, der reelle Teil von  $c$  ergibt nur zwei Stücke derselben. Daß  $c''$  und  $c'''$  wirklich Kegelschnitte sind, erkennt man folgendermaßen. Ist  $P$  ein Punkt von  $c$  und sind  $p_1, p_2, p_3$  seine Entfernungen von den Ebenen  $xy, yz, xz$ , so ist  $p_1^2 + p_2^2 + p_3^2 = r^2$  ( $r$  = Kugelradius), da  $P$  auf der Kugel liegt. Für die Projektion  $P'$  auf  $xy$ , wobei  $p_2$  und  $p_3$  sich in wahrer Länge projizieren, haben wir:  $\frac{p_2^2}{a_1^2} + \frac{p_3^2}{b_1^2} = 1$ , wenn  $a_1 < b_1$  die Halbachsen der Ellipse  $c'$  sind (vergl. 332). Aus beiden Gleichungen können wir eine Relation zwischen  $p_1, p_3$ , nämlich  $p_1^2 + p_3^2 - \frac{p_3^2 a_1^2}{b_1^2}$

$= r^2 - a_1^2$  oder:  $\frac{p_1^2}{a_2^2} + \frac{p_3^2}{b_2^2} = 1$  ableiten, wo:  $a_2^2 = r^2 - a_1^2$  und  $b_2^2 = b_1^2(r^2 - a_1^2) : (b_1^2 - a_1^2)$  ist, und ebenso eine Relation zwischen  $p_1$  und  $p_2$ , nämlich:  $p_1^2 + p_2^2 - p_2^2 \frac{b_1^2}{a_1^2} = r^2 - b_1^2$ , oder:  $-\frac{p_1^2}{a_3^2} + \frac{p_2^2}{b_3^2} = 1$ , wo:  $a_3^2 = b_1^2 - r^2$ , und  $b_3^2 = a_1^2(b_1^2 - r^2) : (b_1^2 - a_1^2)$  ist. Diese Relationen sind aber nichts anderes als die Gleichungen der Projektionen  $c''$  und  $c'''$ , da ja  $p_1, p_3$  bei der Projektion von  $c$  auf die Ebene  $yz$  und  $p_1, p_2$  bei der Projektion von  $c$  auf die Ebene  $xz$  ungeändert bleiben. Die gefundenen Gleichungen beweisen also nach 332 die Behauptung.

### Die stereographische Projektion.

**516.** Projiziert man die Punkte und Linien auf einer Kugel aus einem der Kugelfläche selbst angehörigen Punkte  $O$  auf eine Ebene  $\Pi_1$ , die sie in dem  $O$  diametral gegenüberliegenden Punkte  $O_1$  berührt, so bezeichnet man dies als stereographische Projektion. Von ihr sollen jetzt die wichtigsten Eigenschaften abgeleitet werden.<sup>22)</sup> Jeder Kegel, dessen Spitze in  $O$  liegt und der  $\Pi_1$  in einem Kreise schneidet, schneidet auch die Kugel in einem Kreise (beide Kreise sind nach 251 Wechselschnitte); die stereographischen Bilder der Kugelschnitte sind also wieder Kreise. Wir legen die Zeichenebene  $\Pi_2$  durch den Kugeldurchmesser  $OMO_1$  und die Kegelachse; sie schneidet die Kugel in dem größten Kreis  $k$  und den Kegel in den Mantellinien  $OAA_1, OBB_1$ , wo  $A, B$  auf der Kugel  $A_1, B_1$  in der Ebene  $\Pi_1$  liegen. Die Gerade  $AB$  schneidet die den Kreis  $k$  in  $O$  berührende Tangente  $t$  im Punkte  $S$ , dessen Polare  $s$  in Bezug auf  $k$  durch  $O$  und den Mittelpunkt  $N_1$  von  $A_1B_1$  geht, denn die Strahlen  $OA_1, OB_1, ON_1, t$  liegen harmonisch. Auf der Kugel liegen  $A, B, O, N = s \times k$  harmonisch und es geht  $s$  als Polare von  $S$  durch den Schnittpunkt  $T$  der Tangenten von  $k$  in  $A$  und  $B$ . Hieraus fließt der Satz: Alle Kugelschnitte, deren Ebenen die Tangentialebene im Centrum der stereographischen Projektion in der nämlichen Geraden schneiden, ergeben konzentrische Bildkreise; ihr Mittelpunkt  $N_1$  ist das Bild des Berührungspunktes  $N$  der durch die Gerade an die Kugel gelegten Tangentialebene; er erscheint zugleich als Centralprojektion der Scheitel aller Kegel, die der Kugel längs jener Kreise umgeschrieben sind, aus dem Centrum  $O$ . Die Kugelschnitte durch die Punkte  $O, N$  haben die Durchmesser der konzentrischen Bildkreise als Bilder.

Zwei Kurven auf der Kugel schneiden sich unter gleichem Winkel, wie ihre Bilder. Die Abbildung der sphärischen Figuren durch stereographische Projektion wird deshalb winkeltreu oder konform genannt. Unter dem Winkel zweier Kurven in einem Schnittpunkte versteht man den Winkel der bezüglichen Tangenten und man erhält offenbar die Tangenten der Bildkurven, wenn man die Tangenten der Kurven auf der Kugel von  $O$  aus projiziert. Man braucht deshalb nur zu zeigen, daß in einem beliebigen Punkte  $N$  der Kugel drei Kugeltangenten die gleichen Winkel einschließen, wie ihre Centralprojektionen aus dem Centrum  $O$  auf  $\Pi_1$ . Dieses folgt aber daraus, daß beim Um-

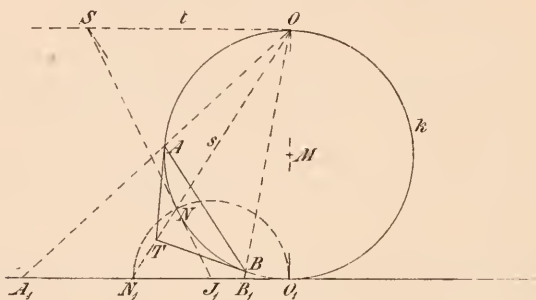


Fig. 323.

legen der Tangentialebene im Punkte  $N$  um ihre erste Spurlinie in  $\Pi_1$  der Punkt  $N$  mit seinem Bilde  $N_1$  zur Deckung kommt. Ist nämlich  $k$  der Kugelkreis durch  $O$ ,  $N$ ,  $O_1$  und hat die Tangente im Punkte  $N$  von  $k$  den ersten Spurpunkt  $J_1$ , so stehen  $NJ_1$  und  $N_1J_1$  auf jener Spurlinie senkrecht und es ist (wie aus der Figur ersichtlich)  $NJ_1 = O_1J_1 = N_1J_1$ .

Hieraus kann man weiter schließen, daß die Mantellinien und der Berührungskreis eines der Kugel umschriebenen Kegels sich von  $O$  aus auf  $\Pi_1$  als Strahlbüschel und eine alle diese Strahlen rechtwinklig schneidende Kurve projizieren, d. h. Berührungskreis und Scheitel des Kegels projizieren sich als Kreis und dessen Mittelpunkt.

**517.** Die stereographische Projektion findet bei der Herstellung von Landkarten eine wichtige Anwendung. — Aufgabe der Kartenprojektion ist es, Teile der Erdoberfläche in einer Ebene abzubilden und das hierzu dienende Verfahren so einzurichten, daß den beiden Forderungen der Konformität und Flächenäquivalenz thunlichst entsprochen werde. Das will sagen: es sollen einerseits

entsprechende Winkel im Original und Bild übereinstimmen, andererseits entsprechende Flächen gleichen Inhalt haben. Eine auf Projektion oder andern geometrischen Gesetzen beruhende Abbildungsmethode, die diese beiden Bedingungen gleichzeitig erfüllt, giebt es nun allerdings nicht; wohl aber genügt, wie wir sahen, die stereographische Projektion der ersten Bedingung.

Man geht beim Kartenzeichnen von der Darstellung des Gradnetzes aus, das auf der Erdkugel von den Meridian- und Breitenkreisen gebildet wird. Bei Benutzung des Prinzips der stereographischen Projektion nimmt nun das Gradnetzbild (das gewöhnlich nur für eine Halbkugel oder einen noch kleineren Teil der Fläche entworfen wird) dreierlei Formen an. Projiziert man aus einem Pole auf eine Parallelebene zum Äquator („Polarprojektion“), so ergeben die Meridiane einen Strahlbüschel und die Breitenkreise ein System konzentrischer Kreise um seinen Scheitel (Pol). Projiziert man aus einem Punkte des Äquators („Äquatorialprojektion“), so stellen sich jene beiden Kreissysteme durch zwei Kreisbüschel dar (vergl. 244); das Bild des Meridians durch den gewählten Äquatorpunkt (zugleich Bild der Polachse) ist die gemeinsame Chordale für die Meridiankreisbilder und das Äquatorbild ebenso für die Parallelkreisbilder. Projiziert man endlich aus einem beliebigen Punkte der Kugelfläche auf die Horizontalebene des Gegenpunktes („Horizontalprojektion“), so bilden sich die Meridian- und Breitenkreise wieder als zwei Kreisbüschel ab, aber nur der Meridian des gewählten Punktes wird durch eine Gerade (gemeinsame Chordale des ersten Büschels) repräsentiert. Das Gradnetzbild weist in allen Fällen lauter rechte Winkel auf.

Es ist bekannt, daß außer diesem Verfahren in der mathematischen Geographie auch noch die Centralprojektion aus dem Mittelpunkt der Erdkugel oder aus einem andern Punkte auf eine geeignete Ebene, sowie verschiedene Modifikationen solcher Abbildungsmethoden benutzt werden. Dahin gehört namentlich die sogenannte „Cylinderprojektion“. Sie entsteht, wenn man die Kugel aus ihrem Centrum auf einen umgeschriebenen (längs des Äquators berührenden) Cylinder projiziert und diesen auf die Ebene abwickelt. Das Gradnetzbild wird dann von zwei sich rechtwinklig schneidenden Systemen paralleler Geraden gebildet; während aber die Meridianlinien gleiche Abstände voneinander zeigen, wachsen die Abstände der Breitenlinien vom Äquator aus nach beiden Seiten im Verhältnis  $1:\cos^2 \varphi$ , wo  $\varphi$  die geographische Breite bedeutet. Mercator verbesserte dieses Abbildungsverfahren, indem er die Abstände der



Breitenlinien nur nach dem Verhältniß  $1:\cos\varphi$  wachsen ließ, wie es den Verhältnissen auf der Kugelfläche selbst entspricht, und erreichte u. a. hierdurch, daß eine alle Meridiane unter gleichem Winkel schneidende Linie auf der Kugel (Loxodrome) sich als gerade Linie abbildet. Das Mercator'sche Verfahren bildet keine Projektion im gewöhnlichen Sinne mehr.

### Schlagschatten auf Kegel- und Cylinderflächen.

518. Wirft eine Fläche Schlagschatten auf eine zweite Fläche, so hat man zunächst die Eigenschattengrenze, d. h. die Grenzkurve zwischen Licht und Schatten, auf der ersten Fläche zu ermitteln und dann diese Grenzkurve auf die zweite Fläche Schatten werfen zu lassen. Die parallelen Lichtstrahlen durch die Grenzkurve bilden einen Cylinder, dessen Schnittkurve mit der zweiten Kurve aufzusuchen ist. Ist die Schatten empfangende Fläche ein Cylinder oder Kegel, so kommt die vorliegende Aufgabe auf die bereits behandelte hinaus, den Cylinder oder Kegel mit dem Cylinder der Lichtstrahlen zu durchdringen, die die erste Fläche tangieren. Man kann hierbei ganz so verfahren, wie bereits auseinandergesetzt wurde, indem man einerseits die Spitze des Schatten empfangenden Kegels (oder eine Mantellinie des Cylinders) und andererseits die Grenzkurve auf die Ebene der Basiskurve des Kegels (oder Cylinders) Schatten werfen läßt. Eine Mantellinie  $m$  der zweiten Fläche empfängt nun Schatten von demjenigen Punkte  $P$  der Grenzkurve der ersten, dessen Schatten  $P_*$  auf der Geraden  $m_*$ , dem Schatten von  $m$ , liegt. Die Gerade  $m_*$  durch  $P_*$  kann man also ziehen und dann auch die Mantellinie  $m$ , die sich mit  $m_*$  auf der Basiskurve des Kegels (oder Cylinders) trifft; der Lichtstrahl durch  $P$  schneidet dann  $m$  in einem Punkte  $P^*$ , dem Schlagschatten von  $P$  auf den Kegel (oder Cylinder).

Gewöhnlich ist indessen das Verfahren etwas anders, indem man einerseits die Grenzkurve, andererseits den Kegel (oder Cylinder) auf die Horizontalebene Schatten werfen läßt. Es empfängt dann eine Mantellinie  $m$  Schatten von einem Punkte  $P$  der Grenzkurve, wenn ihr Schatten  $m_*$  auf  $\Pi_1$  durch den Schatten  $P_*$  von  $P$  auf  $\Pi_1$  geht. Indem man dann rückwärts  $m$  und  $P$  aufsucht und den Lichtstrahl durch  $P$  mit  $m$  zum Schnitt bringt, erhält man den Schatten  $P^*$  von  $P$  auf den Kegel (oder Cylinder). Diese Methode ist deshalb vorzuziehen, weil ja immer neben dem Schlagschatten der einen Fläche auf die zweite auch der Schatten

der Flächen auf die Horizontalebene verlangt wird; bei der zuerst geschilderten Methode müßte aber der Schatten auf  $\Pi_1$  noch nachträglich konstruiert werden.

**519.** Den Schlagschatten einer Kugelschale auf einen Kegel zu bestimmen. Die Kugelschale ruhe auf  $\Pi_1$ , ebenso der Kegel, der  $\Pi_1$  längs einer Erzeugenden berühren soll. Der Kegel sei ein gerader Kreiskegel; sein Basiskreis  $c$  hat die Projektionen  $c'$  und  $c''$ ;  $c_0$  ist der um die Spurlinie  $e_1$  der Basisebene in  $\Pi_1$  umgelegte Kreis  $c$ . Es giebt dann eine Kugel, welche den Kegel längs  $c$  be-

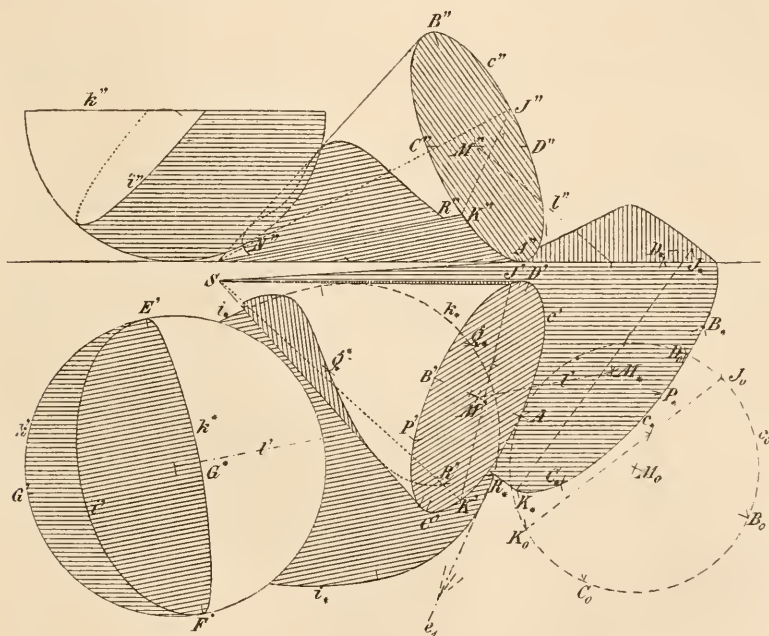


Fig. 324.

rührt (vergl. 476); ihr Mittelpunkt liegt auf der Kegelachse und offenbar senkrecht über  $A$ , daraus ergibt sich auch sein Aufriß. Die scheinbaren Umrißlinien des Kegels berühren die Umrißkreise dieser Kugel in den nämlichen Punkten, in denen sie die Ellipsen  $c'$  und  $c''$  tangieren, wodurch sich die Umrißlinien und ihre Berührungspunkte genau bestimmen. Den Schatten  $c_*$  von  $c$  auf  $\Pi_1$  zeichnen wir mit Hilfe der konjugierten Durchmesser  $AB_*$  und  $C_*D_*$ ;  $c_0$ ,  $c'$  und  $c_*$  sind affine Kurven,  $e_1$  ist die Affinitätsachse. Die beiden Tangenten von  $S$  an  $c_*$  bilden die Grenze des Kegelschattens; ihre Berührungspunkte  $J_*$  und  $K_*$  bestimmt man aus der Affinität von  $c_*$

und  $c_0$ , indem man zu  $S$  den affinen Punkt und die Berührungspunkte  $J_0, K_0$  der von ihm an  $c_0$  gelegten Tangenten sucht. Die Affinität zwischen  $c'$  und  $c_0$  ergibt dann auch die Punkte  $J'$  und  $K'$  auf  $c'$  und so die Mantellinien  $SJ$  und  $SK$ , die die Grenze zwischen Licht und Schatten auf dem Kegel bilden ( $J'K'$ ,  $J_0K_0$  und  $J_*K_*$  gehen durch den nämlichen Punkt von  $e_1$ ).

Auf der Kugelschale ist die Grenze zwischen Licht und Schatten ein Halbkreis  $i$ , dessen Projektionen  $i'$  und  $i''$  und dessen Schatten  $i_*$  sich wie in 468 finden. Der Schatten des halben Schalenrandes in das Innere der Schale ist nach 251 ein Halbkreis,  $EF$  ist ein Durchmesser desselben und der Schatten des Randpunktes  $G$  auf die Schale ist der Endpunkt des dazu senkrechten Durchmessers ( $E'F' \perp l'$ ). Der Rand  $k$  wirft demnach in die Schale den Schatten  $k^*$  und auf  $\Pi_1$  den Schatten  $k_*$ .

Es fehlt nun noch der Schatten der Kurven  $i$  und  $k$  auf den Kegel. Die Mantellinie  $SP$  wirft den Schatten  $SP_*$ , dieser schneidet  $k_*$  in  $Q_*$  und es empfängt daher  $SP$  Schatten von dem Rande  $k$  im Punkte  $Q^*$  ( $P'P_* \parallel Q^*Q_* \parallel l'$ ). — Wendet man das Verfahren speziell auf die Umrißlinien des Kegels an, so erhält man die Berührungspunkte der Projektion der Schlagschattenkurve mit dem scheinbaren Umriß. Die Endpunkte  $R$  und  $N$  der Schlagschattenkurve auf dem Kegel liegen auf  $SK$ , der Grenze zwischen Licht und Schatten; die Tangenten in diesen Endpunkten sind parallel zum Lichtstrahl  $l$  (also ihre Projektionen zu  $l'$  und  $l''$ ). Denn die Tangentialebene längs der Mantellinie  $SK$  ist parallel zu  $l$ , sie wird also von den Ebenen durch die Tangenten in den Punkten  $R$  von  $k$  und  $N$  von  $i$  respektive, die zum Lichtstrahle parallel laufen, in Parallelen zu  $l$  geschnitten.

### Beispiele für Anwendungen.

**520.** Die in diesem Kapitel entwickelten Methoden zur Darstellung der Kugel-, Cylinder- und Kegelflächen, ihrer ebenen Schnitte, Durchdringungen und Abwickelungen lassen zahlreiche Anwendungen zu, die hier nur kurz unter Hinweis auf wenige einfache Beispiele angedeutet werden können. Sie betreffen vorzugsweise zwei Klassen von Aufgaben, die der zeichnende Architekt zu lösen hat: Schatten- und Steinschnittkonstruktion.

Dem, was in 151, 467 und 518 von der Schattenkonstruktion im allgemeinen gesagt und dann auf einfache geometrische Gebiete angewandt wurde, sollen hier nur einige, die weitere Anwendung

vorbereitende Bemerkungen angefügt werden. Eine eingehendere Behandlung der Schattenkonstruktion bei höheren Flächen, sowie in der schiefen Projektion und der Perspektive findet man im zweiten Bande unseres Werkes.

Wenn an den Objekten kompliziertere krumme Flächen auftreten, so wird man stets Kurven benutzen, die auf ihnen liegen und gegeben sein müssen, um im Sinne von 459 als Erzeugende zu dienen. Zur Bestimmung des Schlagschattens auf eine Ebene geht man von den bezüglichlichen Schatten der Erzeugenden aus und findet als deren Hüllkurve die Schlagschattengrenze. Sucht man ferner die Berührungspunkte der Schlagschattengrenze mit den Schatten der Erzeugenden auf und zieht von ihnen aus rückwärts Lichtstrahlen bis wieder zu jenen Erzeugenden, so erhält man auf ihnen Punkte der Lichtgrenze. Ebenso liefert jeder Lichtstrahl, der von einem Kreuzungspunkte der gleichnamigen Schatten zweier Erzeugenden rückwärts gezogen wird, auf einer derselben einen Punkt der Schlagschattengrenze am Objekte selbst. — Wichtig ist ferner ein Satz über das Verhalten der Licht- und Schlagschattengrenzen in den Punkten, wo beide einander begegnen (vergl. 528). Wirft nämlich ein Teil des Objektes Schatten auf einen andern, so kann es geschehen, daß die Grenze dieses Schlagschattens die Lichtgrenze auf dem zweiten Teile überschneidet. Im Treffpunkte wird dann die Schlagschattengkurve von einem Lichtstrahl berührt; denn ihre Tangente ist die Schnittlinie der Tangentialebenen zweier Lichtstrahlencylinder, welche beiden Körperteilen längs ihrer Lichtgrenze (die beim ersteren auch eine Randkurve sein kann) umschrieben sind.

**521.** Die Lehre vom Steinschnitt (Stereotomie) bedient sich ebenfalls der bisher entwickelten Darstellungsmethoden. Unter ihren Aufgaben verdient besonders die Bestimmung des Schnittes der Gewölbsteine Beachtung, da für diese nicht, wie sonst meist geschieht, lauter ebene Begrenzungsflächen gewählt werden können.

Ist die Form eines Gewölbes vorgeschrieben, so ist die an der Wölbung sichtbar werdende eine Seitenfläche jedes Wölbsteines ihrer Natur nach bestimmt und muß genau nach Vorschrift bearbeitet werden. Die übrigen Seitenflächen der Steine heißen Fugen und sind am fertigen Bauwerk nicht sichtbar, weil entlang derselben die Wölbsteine, die sich gegenseitig stützen und spannen, aneinander oder auf dem Widerlager anliegen. Diese Fugen müssen (aus hier nicht weiter zu erörternden mechanischen Gründen) eine regelmäßige Anordnung erhalten und nach vorher bestimmten Formen



ebenfalls genau bearbeitet werden. Soweit die Fugen auf der Wölbfläche endigen, erzeugen sie auf ihr ein System von (sichtbaren) Fugenlinien.

Die Statik zeigt nun, daß es zur Erreichung möglichst hoher Stabilität des Bauwerkes zweckmäßig ist, von folgenden Gesichtspunkten auszugehen. — Die Wölbsteine werden, vom Widerlager anfangend, bis zum Schlußstein am Gewölbescheitel in Schichten angeordnet und jede Schicht thunlichst symmetrisch aus mehreren Steinen gebildet, deren Anzahl sich nach dem Umfange richtet. Demgemäß ist zuerst die gegebene Wölbfläche durch eine erste Reihe Fugenlinien in Streifen und diese durch eine zweite Reihe Fugenlinien in Felder zu zerlegen. Die Fugenlinien der zweiten Art sollen nun überall zu denen der ersten Art rechtwinklig verlaufen und werden überdies in den benachbarten Streifen gegeneinander versetzt, so daß sich keine von ihnen unmittelbar in die nächste fortsetzt. Später (vergl. 802) wird gezeigt, daß es auf jeder beliebigen krummen Fläche Kurven, nämlich die beiden Systeme von Krümmungslinien giebt, die sich überall rechtwinklig schneiden. In vielen Fällen können aber diese Kurvensysteme ohne weiteres angegeben werden. Es sollen ferner die Fugen selbst zur Wölbfläche normal stehen. Man denkt sie sich deshalb am einfachsten von den Normalen der Wölbfläche entlang einer Krümmungslinie erzeugt, so daß sie (nach 802) abwickelbare Flächen werden; bei den einfachsten Gewölbeformen fallen sie eben oder konisch aus.

**522.** In Fig. 325 ist ein runder Eckturm mit spitzem Dach dargestellt, der seinen Schatten auf die gebrochene Dachfläche, das Gesims und die Wand eines Hauses wirft. Die Wandung des Turmes wird von einem Cylinder gebildet (Achse  $a = S'S$ ); sein Dach ist aus konischen Teilen (Spitzen  $S$  und  $T$  auf  $a$ ) zusammengesetzt, wird unten teils von den in der Kante  $BC$  zusammenstoßenden ebenen Flächen in Ellipsenbogen  $PQ, QR, \dots$ , teils von dem Randkreise  $r$  begrenzt und endigt oben an einer kleinen Kugel mit aufgesetzter spitzer Stange. Die erwähnten Ellipsenbogen bestimmt man leicht aus ihren Hauptachsen, die man mittels des Seitenrisses  $f''' = D'''E'''$  einer Falllinie  $f = DE$  des Daches gewinnt (vergl. 490).

Die Schattenkonstruktion soll nun im Aufriß durchgeführt werden. Man bestimmt zuerst die Lichtgrenzen  $u$  und  $v$  auf den kegelförmigen Dachflächen als die Mantellinien, deren zugehörige Tangentialebenen die Lichtstrahlen durch  $S$  und  $T$  enthalten. Sind  $r_*, s_*, T_*, S_*$  die Horizontalschatten von  $r, s, T, S$ , so müssen die Schatten  $u_*$  und  $v_*$  von  $u$  und  $v$  die Kreise  $s_*$  resp.  $r_*$  berühren





ebene, dem Dachsim und der Dachebene befinden und von denen das letzte tangential in  $v^*$  übergeht. Es genügt, von ihnen einzelne Punkte (namentlich die Endpunkte) zu bestimmen. Im Punkte  $r^* \times w''$  ist die Tangente von  $r^*$  zu  $l''$  parallel und geht verlängert durch  $r^* \times w^*$ . Die Endpunkte auf den Dachkanten  $b$  und  $d$ , resp. auf ihren Schatten  $b^*$ ,  $d^*$  findet man durch rückwärts gezogene Lichtstrahlen aus den bezüglichen Kreuzungspunkten im Grundrißschatten. Analog ergibt sich die kurze Schlagschattenlinie, die, von der Linie  $u$  der oberen Kegelfläche herrührend, auf der unteren entsteht. Die Lichtgrenze auf der Kugel ist ein Hauptkreis, dessen Ebene zu  $l$  normal steht (vergl. 468); sein horizontaler und der hierzu rechtwinklige Durchmesser ergeben (in der Lichtrichtung auf die Dachebene projiziert) konjugierte Durchmesser der Schlagschattenellipse. Der eine geht durch den Schnittpunkt des horizontalen Kreisdurchmessers mit der durch  $b$  und  $c$  bestimmten Ebene und durch den bezüglichen Mittelpunktsschatten; der andere liegt auf  $a^*$  (die Konstruktion ist in der Figur angedeutet). Endlich sind noch einige sehr kleine Schlagschattenteile an der Turmspitze und den Turmfenstern einzutragen.

**523.** Das nächste Beispiel bilde eine Mauernische mit halbkreisförmiger Basis, die oben durch die Hälfte eines Kuppelgewölbes geschlossen ist (Fig. 326); außer dem Schatten soll der Steinschnitt in die Darstellung einbezogen werden.

Die Nischenfläche besteht aus einem Halbcylinder und einer Viertelkugel. Auf ersterem endigen die Fugen in 6 Mantellinien, die den Basishalbkreis in 7 gleiche Teile teilen und in horizontalen (gegeneinander versetzten) Kreisbögen, deren Abstand je  $\frac{1}{4}$  der Cylinderhöhe beträgt. In der Wölbfläche liegen die Fugenlinien auf 4 horizontalen Kreisen, deren Randpunkte  $A, B, C, D, \dots$  den Fronthalbkreis  $AE$  (Schildbogen) in 7 gleiche Teile zerlegen. Die gegeneinander verschobenen Fugenlinien der zweiten Art liegen auf 13 vertikal gestellten (Meridian-)Kreisen; diese treffen sich (verlängert) im Gewölbescheitel und teilen den Halbkreis  $i$  am Widerlager in 14 gleiche Teile. Die Projektionen sind nach diesen Angaben unmittelbar zu zeichnen. Die Fugen der Wölbsteine werden teils von Ebenen, teils von Rotationskegelflächen gebildet; letztere haben ihre Spitze im Centrum  $O$  der Wölbfläche und ihre gemeinsame Achse ist vertikal.

Die Richtung der parallelen Lichtstrahlen  $l$  ist wie gewöhnlich angenommen ( $\angle l'x = \angle l''x = 45^\circ$ ).

Die Lichtgrenze auf der Nischenfläche, eine Mantellinie  $u$  des

Cylinders und ein anschließender Hauptkreisbogen der Kugel, dessen Ebene zu  $l$  normal steht und der in dem Punkte  $W$  der Front endigt ( $\angle WOE = 45^\circ$ ), werden vom Schlagschatten bedeckt. Die elliptische

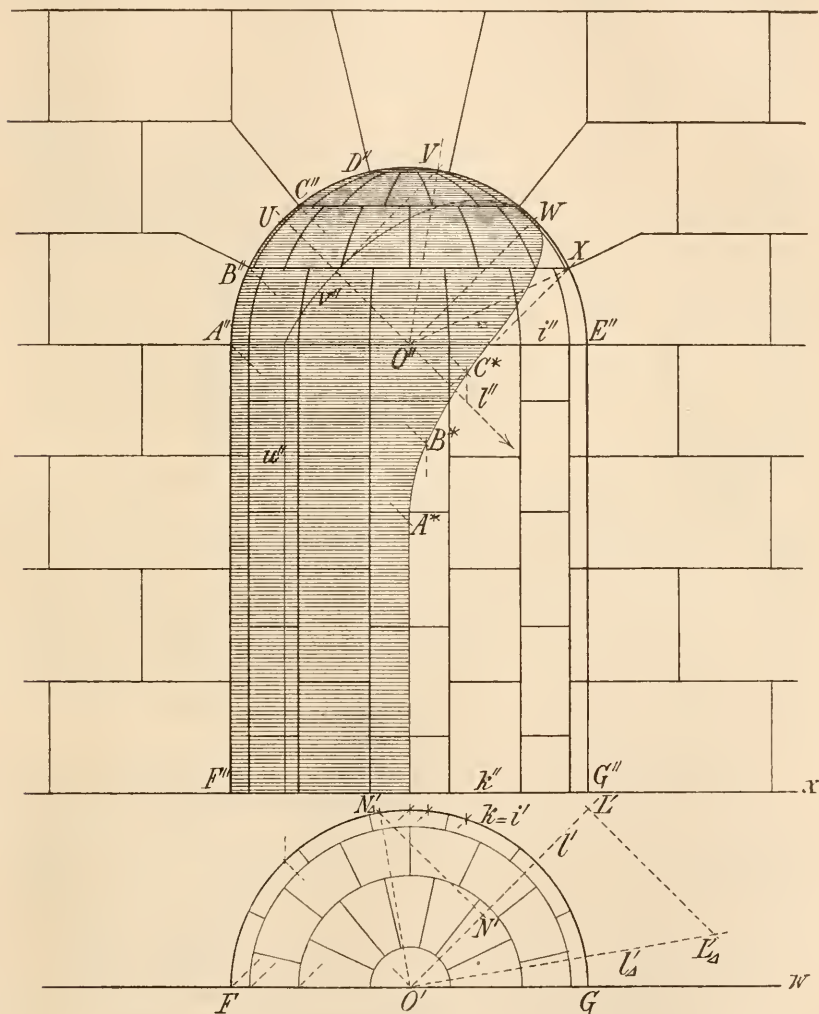


Fig. 326.

Projektion jenes Hauptkreisbogens ist nach 468 zu ermitteln, indem man einen Lichtstrahl  $OL$  um die Parallele zu  $l'$  durch  $O$  zu  $\Pi_1$  parallel dreht und den zu  $O'L_{\Delta'}$  normalen Halbmesser  $O'N_{\Delta'}$  auf  $O'L'$  projiziert; die Projektion  $O'N'$  giebt die kleine Halbachse jener Ellipse

an. Der Schlagschatten des Nischenrandes auf die Innenfläche setzt sich aus drei ganz verschiedenen Teilen zusammen. Das erste Stück verläuft geradlinig; es ist der Schatten des linken Cyllinderrandes  $FA$  auf den Hohlcyllinder ( $FA^{*'} \parallel l'$ ,  $A^{*'} \text{ auf } k$ ,  $A'A^{*'} \parallel l'$ ). Das zweite Stück gehört einer Raumkurve 4. Ordnung an, in welcher der Lichtstrahlencyllinder durch den Fronthalbkreis den Cylinder schneidet, und endigt auf  $i$ . Man findet einzelne seiner Punkte (z. B.  $B'B^{*'} \parallel l'$ ,  $B^{*'} \text{ auf } k$ ,  $B'B^{*'} \parallel l'$ ). Das letzte Stück liegt wieder auf einem Hauptkreis der Kugel und wird von dem nämlichen Lichtstrahlencyllinder ausgeschnitten (vergl. 251). Dieser Schlagschattenkreis liegt zum Frontkreis in Bezug auf die Ebene des Lichtgrenzkreises symmetrisch. Alle drei Kreise haben den Halbmesser  $OW$  gemein; ihre zu  $OW$  rechtwinkligen Halbmesser aber liegen in der zweiten projizierenden Ebene des Lichtstrahles  $l$  durch  $O$ . Wird diese Ebene zu  $\Pi_2$  parallel gedreht, so erscheinen jene Halbmesser im Aufriß als  $O''U$ ,  $O''V$  und  $O''X$  und es muß  $\angle VO''X = \angle UO''V$  sein, woraus sich der Aufriß des Schlagschattenkreises leicht bestimmen läßt.

**524.** Eine dorische Säule besteht aus dem Schaft und dem Kapitäl; ein Basisglied besitzt sie nicht, vielmehr ist der Schaft unmittelbar auf den Stylobat (Untersatzstufe) gestellt. Der Schaft verjüngt sich nach oben, hat 20 Kannelierungen, die in scharfen Kanten (ohne Stege) zusammenstoßen, und zeigt am Säulenhals einen Einschnitt. Den Übergang zum Kapitäl vermitteln drei schmale Riemen; dann folgt ein nach oben schwellender Wulst, der Echinus, und eine quadratisch geschnittene Platte, der Abakus, auf welchem der Architrav ruht.

In der Figur ist der obere Teil einer solchen Säule gezeichnet und es soll daran die Schattenkonstruktion vorgenommen werden. Die Kanten des konischen Schaftes endigen in jeder horizontalen Querschnittsebene (z. B. in  $\Pi_1$ ) auf einem Kreise; die bezügliche Spurkurve der kannelierten Fläche wird aus 20 nach innen gewandten kleinen Kreisbogen zusammengesetzt. Der Profilschnitt (Meridian) des Echinus mag von unten zuerst geradlinig ansteigen, dann aber in einen Kreisbogen stetig übergehen, so daß sich die Oberfläche unten kegelförmig (Spitze  $S$  auf der Säulenachse  $a$ ), oben kreisringförmig gestaltet.

Man zeichnet zunächst die Grundrißschatten aller Kanten des Objektes, die teils geradlinig, teils kreisförmig ausfallen, und findet hieraus ohne Mühe die Eigen- und Schlagschattengrenzen am Schaft. Besondere Aufmerksamkeit verdient die Grenzlinie des

vom Echinus herrührenden Grundrißschattens. Man benutzt einige auf seiner Fläche liegende horizontale Kreise, deren Schatten (kongruente Kreise) schnell gefunden werden; ihre Hüllkurve ist die gesuchte Linie. Durch Normalen zu ihr aus den Kreismittelpunkten

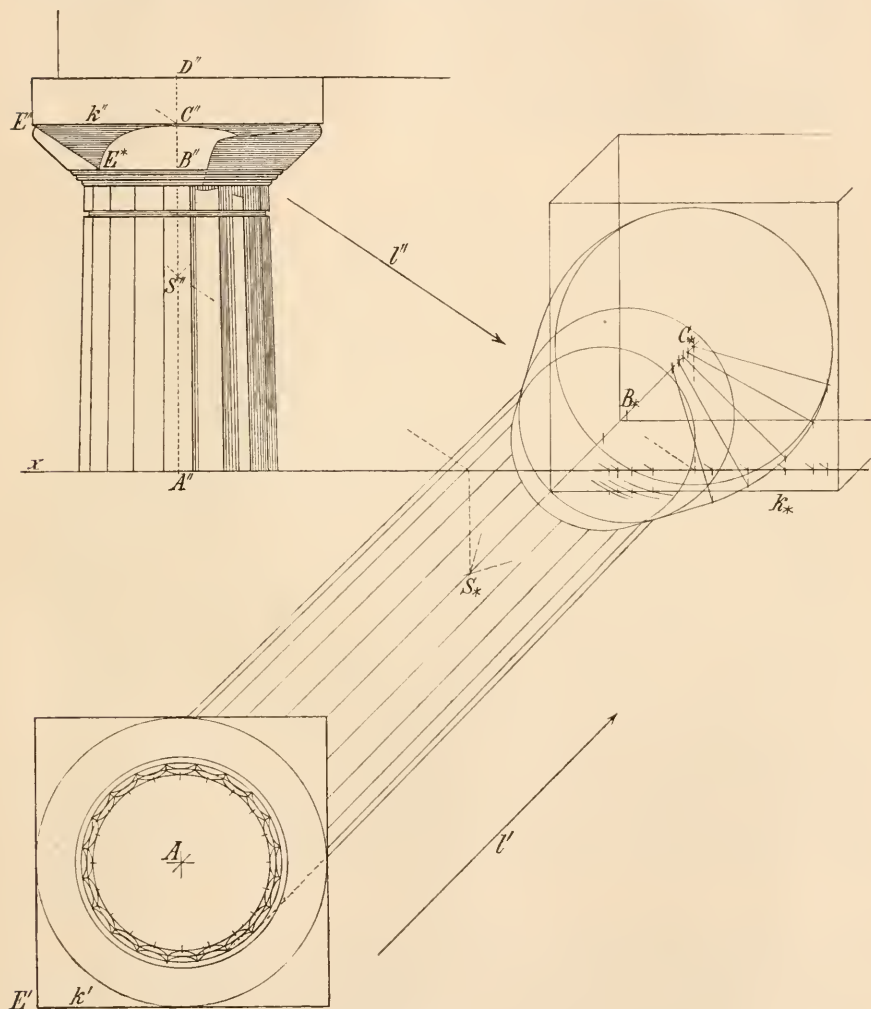


Fig. 327.

bestimmt man noch deren Berührungspunkte; die von ihnen aus rückwärts gezogenen Lichtstrahlen schneiden dann auf den Parallelkreisen am Echinus selbst Punkte der Lichtgrenze aus. Analog verfährt man mit den Schnittpunkten der Grundrißschatten jener



Kreise und der Kanten des Abakus und erhält so dessen Schlag-schatten auf dem Echinus. Die Grenzlinie verläuft im Aufriß bis zu der Ecke  $E^*$  gerade, dann krummlinig und endigt auf der Lichtgrenze mit zu  $l''$  paralleler Tangente. Zuletzt sind noch einige Details in die Zeichnung einzutragen, welche die am Säulenhals auftretenden Schatten betreffen. Auch hierbei geht man vom Grundrißschatten aus und benutzt das Verfahren der rückwärts durchlaufenen Lichtstrahlen.

## Litteraturnachweise und historische Anmerkungen.

### I. Kapitel.

1) Die Verwandtschaft der Ähnlichkeit zwischen ebenen Figuren ist schon von den Geometern des Altertums in Betracht gezogen worden und ebenso ihre ähnliche Lage, z. B. von Euklides (Elemente (ca. 300 v. Chr.), Ausg. v. Heiberg, Leipzig 1883/88. VI, 18; XI, 27). Die Bezeichnung: Ähnlichkeitscentrum (centrum similitudinis) tritt bei L. Euler auf (Nov. Act. Petrop. IX, p. 154). M. Chasles nennt ähnlichliegende Figuren homothetisch (Ann. de math. p. Gergonne, XVIII, p. 280). Wegen der auf solche Figuren anwendbaren allgemeinen Begriffe: kollinear, homographisch, homologisch, perspektiv vergleiche man die späteren Noten.

Wie M. Chasles berichtet (Aperçu historique sur l'origine et le développement des méthodes en géométrie, Paris 1837, 2. Aufl. 1875, p. 553), hat A. C. Clairault (Mém. de l'Acad. d. Sc., Paris 1731) die durch Parallelprojektion herstellbare Verwandtschaft ebener Figuren schon vor L. Euler untersucht, von dem sie den Namen Affinität erhalten hat („de similitudine et affinitate linearum curvarum“, Introd. in anal. infin., Lausanne 1748, II, 18, p. 239 ff.). J. V. Poncelet bespricht die affinen Figuren als spezielle Fälle seiner „figures homologiques“ (Traité des propriétés projectives des figures, Paris 1822, p. 174 ff.). In allgemeinerem Sinne wurde die Affinität aus analytischem Gesichtspunkte von A. F. Möbius betrachtet (Der barycentrische Calcul, Leipzig 1827, II, 3. p. 191 ff.). — Für die Zwecke der Darstellung legte J. H. Lambert die Gesetze der Parallelprojektion dar („v. d. perspektivischen Entwerfung aus einem unendlich entfernten Gesichtspunkte“, Freie Perspektive, Zürich 1774, VII, p. 156 ff.). Aus diesen Prinzipien folgerte K. Pohlke den Hauptsatz der Axonometrie (nach H. A. Schwarz, Crelle's Journ. Bd. 63, im J. 1853 gefunden, aber erst veröffentlicht in der Darstell. Geom., Berlin 1860, 4. Aufl. 1876, p. 109).

### II. Kapitel.

2) Die Keime zum Grund- und Aufrißverfahren zeigen sich bereits in der „Ichnographie“ und „Orthographie“ der Alten, von denen M. Vitruvius Pollio spricht (De architectura libri decem, I, 2; Ausg. v. V. Rose, Leipzig 1899, p. 10). Ihre einfachen Regeln wurden in der mittelalterlichen Rißkunst fortentwickelt und z. B. von A. Dürer (Unterweisung der Messung mit dem Zirkel und Richtscheit, Nürnberg 1525) zusammengestellt. Der Steinschnitt bildete das wichtigste Anwendungsgebiet; seine Aufgaben finden sich geometrisch behandelt bei G. Desargues (Coupe des pierres, 1640; Oeuvres p. Poudra, Paris 1876, p. 304 ff.) und bei M. Frézier (La théorie et la pratique de la coupe des pierres et des bois, ou traité de stéréotomie, Straßburg 1737—39).

Indessen entbehrte bis dahin das Darstellungsverfahren noch einer einheitlichen theoretischen Grundlage, die ihm erst von G. Monge gegeben wurde (*Géométrie descriptive*, Paris 1798; 6. Aufl. v. M. Brisson mit Zusätzen: *théorie des ombres et de la perspective*, Paris 1838; deutsch v. R. Haussner, Leipzig 1900). Monge gab den beiden Projektionstafeln eine bestimmte Verbindung untereinander, indem er ihre Schnittlinie (oder Achse) fixierte und um sie die eine Tafel in die andere umlegte; er bestimmte die Punkte, Gerade, Ebenen eindeutig durch ihre Projektionen, bezw. Spuren, stellte ebenso krumme Linien und Flächen dar (letztere mit Hilfe ihrer Erzeugenden) und löste zahlreiche Aufgaben, die zuvor nur analytisch behandelt worden waren, durch die Konstruktion. Insofern Monge nicht nur die Ziele und Aufgaben der darstellenden Geometrie klar zu definieren vermochte, sondern auch ihre Hauptmethode systematisch und vollständig entwickelte, gilt er mit Recht als ihr wissenschaftlicher Begründer.

Die Lehren der deskriptiven Geometrie verbreiteten sich rasch, wozu ihre vielseitige Anwendbarkeit in den technischen Wissenschaften nicht wenig beitrug, und wurden durch die Untersuchungen zahlreicher neuerer Autoren erweitert und vertieft. Es mögen hier nur einige umfassendere Werke genannt werden:<sup>1</sup>

C. F. A. Leroy, *Traité de géom. descr.*, Paris 1842; *Traité de stéréotomie*, Paris 1844; deutsch v. Kauffmann, Stuttgart.

G. Bellavitis, *Lezioni di geometria descrittiva*, Padua 1851, 2. Aufl. 1868.

J. de la Gournerie, *Traité de géom. descr.*, Paris 1860, 2. Aufl. 1873.

K. Pohlke, *Darstell. Geom.*, I. Berlin 1860, 4. Aufl. 1876; II. 1876.

W. Fiedler, *Die darstell. Geom.*, Leipzig 1871; 3. Aufl. u. d. T. *Die darstell. Geom. in organ. Verbindung mit d. Geom. d. Lage*, 3 Tle., Leipzig 1883—88.

A. Mannheim, *Cours de géom. descr.*, Paris 1880.

G. A. v. Peschka, *Darstell. u. proj. Geom.*, 4 Tle., Wien 1883—85.

Chr. Wiener, *Lehrb. d. darstell. Geom.*, Leipzig, I. 1884, II. 1887.

Die neue Disziplin übte alsbald nach ihrem Auftauchen einen befruchtenden Einfluß in anderen Zweigen der geometrischen Wissenschaft aus; so namentlich in der neueren synthetischen Geometrie. Indem diese das gesetzmäßige Aneinanderreihen der Elemente, das Projizieren und Schneiden als Erzeugungs- und Transformationsprinzip aufnahm, erstand in der (reinen) Geometrie der Lage und in der (die Mittel der Analysis nicht ausschließenden) projektiven Geometrie die synthetische Raumlehre der Mathematiker des Altertums in vollkommenerer Form zu frischem Leben. Wir nennen einige Hauptwerke dieser Richtung:

L. N. M. Carnot, *Géom. de position*, Paris 1801; deutsch v. Schuhmacher, Altona 1808—10.

Ch. J. Brianchon, *Mém. sur les lignes du 2<sup>ième</sup> ordre*, Paris 1817.

J. V. Poncelet, *Traité des propriétés projectives des figures*, Paris 1822.

A. F. Möbius, *Der barycentr. Calcul*, Leipzig 1827.

<sup>1</sup> Die älteren Schriften von S. F. Lacroix, M. Hachette, G. Schreiber, B. Gugler, Th. Olivier u. a. sind hier nicht mit aufgeführt. Ebenso wurde von Monographien abgesehen, die zum Teil weiterhin noch zu citieren sein werden.

- J. Steiner, *Systemat. Entwicklung d. Abhängigkeit geometrischer Gestalten*, Berlin 1832; *Die geom. Konstruktionen ausgeführt mittels der geraden Linie u. eines festen Kreises*, Berlin 1833; *Ges. Werke*, herausg. v. Weierstraß, Berlin 1882.
- M. Chasles, *Mém. de géom. sur deux principes généraux, la dualité et l'homographie*, Paris 1837; *Traité de géom. supérieure*, Paris 1852.
- G. K. Chr. v. Staudt, *Geom. d. Lage*, Nürnberg 1847; *Beiträge z. Geom. d. Lage*, Nürnberg 1856.
- Th. Reye, *Die Geom. d. Lage*, Leipzig 1866—67; 3. Aufl. 1886—92.
- L. Cremona, *Elementi di geometria proiettiva*, Turin 1873; deutsch v. Trautvetter, Stuttgart 1882.

Die von den neueren Autoren hergestellte enge Verbindung zwischen der darstellenden und projektiven Geometrie brachte es naturgemäß mit sich, daß die Centralprojektion als allgemeinstes Verfahren zum Ausgangspunkt für die Entwicklung der deskriptiven Methoden erhoben wurde. Dies betont namentlich W. Fiedler (*Darst. Geom.* 3. Aufl. I, p. 357). Wenn wir im vorliegenden Lehrbuche uns mehr dem ursprünglichen Gedankengange Monge's angeschlossen und die Parallelprojektion (speziell das Grund- und Aufrißverfahren) in den Vordergrund gestellt haben, so erklärt sich dies aus den damit verbundenen didaktischen Vorteilen und aus der überwiegenden Bedeutung, welche die Methode Monge's vor anderen in den technischen Anwendungen erlangt hat.

### III. Kapitel.

<sup>3)</sup> Die Aufgaben über die körperliche Ecke wurden von Monge nur gestreift (*Géom. descr.* 1798, p. 28); ihre konstruktive Lösung findet sich aber vollständig — und zwar auch unter Verwendung des supplementären oder Polardreikantes — bei M. Hachette (*Traité de géom. descr.*, Paris 1822, p. 122 ff.). G. Bellavitis verband mit der Konstruktion die Ableitung der Grundformeln der sphärischen Trigonometrie (*Lez. d. geom. descr.* Padua 1851, p. 43 ff.). Man vergl. über diesen Gegenstand: F. Hemming (*Zeitschr. f. Math. u. Phys.* XVII. 1872, p. 159).

Die Relation zwischen den Anzahlen der Ecken, Flächen und Kanten eines (einfach zusammenhängenden) Polyëders wurde von L. Euler 1752 (*Nov. Comm. Petrop.* IV, p. 109 u. 156) gegeben.

<sup>4)</sup> L. Poincot (*Mém. sur les polygones et les polyèdres*, *Journ. de l'école polyt.* 1810, cah. X, p. 16) untersuchte eingehend die Polyëder zweiter Art. Vergl. V. Eberhard (*Zur Morphologie der Polyëder*, Leipzig 1891).

### IV. Kapitel.

<sup>5)</sup> Die im Altertum nur zu einem kleinen Teile bekannten Regeln der Centralprojektion (Perspektive) wurden im Zeitalter der Renaissance Gegenstand lebhaften Interesses. Mathematisch wurden sie zuerst von G. Ubaldo (*Perspectivae libri sex*, Pisauri 1600) und S. Stevin (*Oeuvres math.*, 1605—1608, V, 1. Ausg. v. Girard, Leyden 1634, p. 521 ff.) behandelt.

Die „perspektive“ Raumauffassung, nach der man einer Geraden nur einen unendlich fernen Punkt, einer Ebene eine unendlich ferne Gerade zuschreibt, hat schon G. Desargues (*Oeuvres p. Poudra*, I, p. 103 ff.). Der Satz von der perspektiven Lage zweier Dreiecke, deren homologe Seiten sich auf

einer Geraden schneiden (woraus der Satz in 162 folgt) rührt ebenfalls von Desargues her (a. a. O. p. 413).

Weitere Fortschritte in der Darstellung durch Centralprojektion verdankt man W. J. van s'Gravesande (Essai de perspective, Haag 1711), Brook Taylor (New principles of linear perspective, London 1719), F. H. Lambert (Freie Persp., Zürich I. 1759, II. 1774) und später B. E. Cousinery (Géom. persp. ou principes de proj. polaire etc., Paris 1828). Die Untersuchungen dieser Autoren richteten sich auf die Entwicklung der graphischen Methoden, beschränkten sich indessen nicht auf die Abbildung der ebenen Figuren, sondern behandelten auch körperliche Gebilde.

Aber auch von den Gesichtspunkten der reinen synthetischen und der analytischen Geometrie aus betrachtet gewannen die aus der Centralprojektion entspringenden Beziehungen zwischen den Raumformen ein allgemeineres Interesse und forderten zu ihrer Untersuchung heraus. Wir erwähnen J. V. Poncelet, der auf sie die Ausdrücke: „figures homologiques, centre, axe d'homologie“ anwandte (Prop. proj. 297, p. 159). A. F. Möbius definiert seine „kollinearverwandten“ Figuren durch die Bedingung, daß den Punkten einer geraden Linie in der ersten stets die Punkte einer geraden Linie in der andern Figur entsprechen (Baryc. Calcul, VII, p. 301); er hebt hervor, daß die Projektionen ebener Figuren auf eine zweite Ebene zur Kollinearverwandtschaft führen (p. 321, Anm.), und beweist, daß sich je zwei kollineare ebene Figuren auf unendlich viele Arten in centrale Lage bringen lassen, wenn man zwei entsprechende Vierecke derselben kennt (p. 327). Von L. J. Magnus (Aufg. u. Lehrsätze a. d. analyt. Geom., Berlin 1833) rühren die heute gebräuchlichen Namen: „Kollineation, kollinear, Kollineationsachse, etc.“ her (a. a. O. p. 31, 43, 44). Bei M. Chasles tritt die Kollineation in dem „principe d'homographie“ (Aperçu histor., p. 261) als wichtigstes Mittel zur Generalisierung der Eigenschaften der Raumformen auf.

Die Abschnitte: Perspektive Grundgebilde (p. 144 ff.), Harmonische Grundgebilde, Vierseit und Viereck (p. 156 ff.) behandeln in der für unsere Zwecke geeigneten Form die Grundbegriffe der Geometrie der Lage. Näheres hierüber findet man in den obengenannten Werken von Steiner, von Staudt u. a.

<sup>6)</sup> Präzise Festsetzungen, nach denen die Messung von Strecken und Winkeln eindeutig ausgeführt werden kann, verdankt man im Wesentlichen Möbius, ebenso die Einführung des Begriffes: Doppelverhältnis („Doppelschnittsverhältnis“, Baryc. Calcul., p. 244 ff.). Vergl. Chasles (Ap. hist., Note IX, p. 302). — Der Begriff der harmonischen Teilung ist alt; vergl. Pappus (Collect. Math. VII, 145). Harmonische Strahlen kommen als „harmonicales“ bei Ph. de La Hire (Sect. con., Paris 1685), als „faisceau harmonique“ bei Brianchon (Mém. s. l. lignes du 2<sup>e</sup> ordre, Paris 1817) vor.

<sup>7)</sup> Der Name „Involution“ führt auf Desargues zurück (Traité des coniques, Oeuvres p. Poudra, I, p. 171). Vergl. Chasles (Ap. hist., Note X, p. 308, v. Staudt (Geom. d. Lage, p. 118).

## V. Kapitel.

<sup>8)</sup> Die Kegelschnitte sind von den Geometern des Altertums zunächst als Schnitte des geraden Kreiskegels definiert und untersucht worden. Apollonius von Pergae (ca. 220 v. Chr.) erkannte diese Kurven als ebene Schnitte



eines beliebigen schiefen Kreiskegels (Conicorum I. I). Die Theorie der Kegelschnitte hat eine so ausgebreitete litterarische Bearbeitung erfahren, daß wir es uns hier versagen müssen, näher darauf einzugehen. Zum Studium sind J. Steiner's Vorlesungen über synthetische Geometrie zu empfehlen (I. Die Theorie der Kegelschnitte in elementarer Darstellung, bearb. v. C. F. Geiser, II. Die Theorie der Kegelschnitte, gestützt auf projektivische Eigenschaften, bearb. v. H. Schröter, Leipzig 1867); ferner: M. Chasles (Traité des sections coniques, Paris 1865), u. s. f. —

<sup>9)</sup> Der Satz von Bl. Pascal über das „hexagrammum mysticum“ findet sich in seinem Essai pour les coniques, 1640 (Oeuvres p. Bossut, Paris 1779, 2. Aufl. 1819). Dieser Satz bildet mit seinen zahlreichen Folgerungen die Grundlage der Theorie der Pole und Polaren eines Kegelschnittes.

<sup>10)</sup> Ch. J. Brianchon (Journ. de l'école polyt. cah. XIII, 1806, p. 301). Der Satz von Brianchon steht dem Pascal'schen Satze dual gegenüber. Über die Begründung des Prinzips der Dualität sehe man Chasles (Ap. hist., Note XXXIV, p. 408).

<sup>11)</sup> Die hauptsächlichsten Fokaleigenschaften der Kegelschnitte waren schon im Altertum bekannt; vergl. Apollonius (Conic. I. III, 45 ff.).

<sup>12)</sup> Die Konstruktion der Krümmungskreise bei den Kegelschnitten ist von W. Fiedler aus der Centralkollineation hergeleitet worden (Darst. Geom. 3. Aufl. I, p. 188 ff.). Elegante Konstruktionen gab C. Pelz an (Die Krümmungshalbmesserkonstruktionen der Kegelschnitte als Korollarien eines Steiner'schen Satzes, Sitz.-Ber. d. k. böhm. Ges. d. W., 1879). Die im Texte gegebene noch einfachere Darstellung ist neu; vergl. K. Rohn (Konstruktion des Krümmungsradius bei einem Kegelschnitt durch fünf Punkte, Ber. d. Math.-phys. Kl. d. K. S. Ges. d. W., Leipzig 1900).

## VI. Kapitel.

<sup>13)</sup> Die einfachen Singularitäten der ebenen Kurven wurden zuerst von Euler analytisch untersucht (Introd. in. Anal. inf., 1748, II.), synthetisch findet man sie bei von Standt (Geom. d. Lage, 1847, p. 110 ff.) behandelt.

<sup>14)</sup> Diese Tangentenkonstruktionen bei ebenen Kurven beruhen auf einer Idee von G. Persone gen. Roberval (1602—1673), die sich in einer nachgelassenen Abhandlung dargelegt findet (Sur la composition des mouvements etc., Anc. Mém. de l'Ac. d. Sc. VI, Paris 1730).

<sup>15)</sup> Zur Theorie der Krümmung der ebenen Kurven machte Chr. Huygens in der Untersuchung: De evolutione et dimensione linearum curvarum (Horologium oscillatorium, Paris 1673, III. Kap.) den Anfang. Die beiden Begründer der Infinitesimalrechnung G. W. Leibniz (s. Acta Erudit., Leipzig 1686 u. 1692) und J. Newton (s. Principia phil. nat. math., 1687, The Method of Fluxions etc., London 1736, probl. V., VI., p. 59 ff.) fügten weitere wesentliche Sätze hinzu.

<sup>16)</sup> Die Relation zwischen dem Krümmungsradius einer Kurve und dem ihres Bildes leitete für Centralprojektion zuerst L. Geisenheimer ab (Zeitschr. f. Math. u. Phys. XXV, 1880); für Orthogonalprojektion gab schon G. Bellavitis (Geom. descritt., 1851, 338, p. 188) das Verhältnis an.

<sup>17)</sup> Chr. Wiener, Über die möglichst genaue Rektifikation eines verzeichneten Kurvenbogens, bestimmt auf Grundlage der Wahrscheinlichkeitsrechnung (Zeitschr. f. Math. u. Phys. XVI, 1871).

<sup>18)</sup> Die Entstehung der gewöhnlichen Singularitäten der Raumkurven ist von Chr. Wiener (Zeitschr. f. Math. u. Phys. XXV, 1880) besprochen und durch Modelle (1879) erläutert worden. Man vergl. von Staudt (Geom. d. Lage, 1847, p. 110 ff.).

## VII. Kapitel.

<sup>19)</sup> Bezüglich der Darstellung der Durchdringungskurve zweier Kegel (oder anderer Flächen 2. Grades) vergl. man Monge (Géom. descr., 1798, III. p. 59 ff.) und Haehette (Géom. descr., 1822, IV. p. 85 ff.). Wichtige allgemeine Eigenschaften dieser Raumkurven 4. Ordnung 1. Species, z. B. die Existenz der vier sie enthaltenden Kegel 2. Ordnung, gab zuerst Poncelet an (Prop. proj., 1822, p. 392 ff.). Man lese: H. Schröter (Grundzüge einer rein geometrischen Theorie der Raumkurven 4. Ordnung 1. Species, Leipzig 1890).

<sup>20)</sup> Einige Eigenschaften der Raumkurven 3. Ordnung erwähnt Möbius (Bar. Calcul, 1827, p. 118 ff.). Eine eingehendere Untersuchung lieferte Chasles (Comptes rendus, XL, 1857, p. 189 ff.). — Zum Studium dieser Kurven sind zu empfehlen: von Staudt (Beiträge z. Geom. d. Lage, 1860, § 33, p. 298), Reye (Geom. d. Lage. 3. Aufl. 1892, II. Abt., p. 188 ff. Im Vorwort z. 1. Aufl. d. II. Abt. findet man die Litteratur über die Raumkurven 3. Ordnung zusammengestellt), ferner H. Schröter (Theorie der Oberflächen 2. Ordnung u. d. Raumkurven 3. Ordnung als Erzeugnisse projektivischer Gebilde, Leipzig 1880).

<sup>21)</sup> N. v. Fuss (Problematum quorundam sphaericorum solutio; De proprietatibus quibusdam ellipseos in superficie sphaerica descriptae. Nov. Acta Petrop. II, III, 1788) definierte die sphärische Ellipse durch die Bedingung, daß die Summe der sphärischen Abstände jedes ihrer Punkte von zwei festen Punkten denselben Wert hat, und erkannte sie als Schnitt der Kugel mit einem konzentrischen Kegel 2. Ordnung. L. J. Magnus wurde in seiner Untersuchung (s. Ann. d. Mathém. XVI, 1826) auf den Satz geführt, daß die Hauptkreise, welche einen Kurvenpunkt mit den Brennpunkten verbinden, gleiche Winkel mit der sphärischen Tangente bilden. J. Steiner (Verwandlung und Teilung sphärischer Figuren durch Konstruktion, Crelle's Journ. II, 1827, p. 45) stellte die sphärische Ellipse als Hüllkurve dar. Dieselben Figuren behandelte Chasles (Mém. sur les propr. gen. des coniques sphériques, 1831), sowie Chr. Gudermann, Grundriß der analytischen Sphärik, Cöln 1830).

<sup>22)</sup> Diestereographische Projektion ist von Hipparch (ca. 160 v. Chr.) erfunden und von Ptolemaeus (ca. 140 n. Chr.) zur Abbildung der scheinbaren Himmelskugel im „Planisphaerium“ benutzt worden; ihren Namen hat sie von Fr. Aguillon (Opticorum lib. VI, Antwerpen 1613, p. 498) erhalten. Näheres über dieses Abbildungsverfahren findet man bei E. Reusch (Die stereographische Projektion, Leipzig 1881) und über seine Verwendung in der Kartographie bei H. Gretschel (Lehrbuch d. Kartenprojektion, Weimar 1873).

Verlag von VEIT & COMP. in Leipzig.

# DIE ENERGETIK

## NACH IHRER GESCHICHTLICHEN ENTWICKELUNG.

Von

**Dr. Georg Helm,**

o. Professor an der k. Techn. Hochschule zu Dresden.

Mit Figuren im Text.

gr. 8. 1898. geh. 8 *M* 60 *Pf*, geb. in Ganzleinen 9 *M* 60 *Pf*.

LEHRBUCH

DER

# DIFFERENTIALGLEICHUNGEN

VON

**Dr. Heinrich Liebmann,**

Privatdozent an der Universität Leipzig.

Mit zahlreichen Figuren im Text.

gr. 8. 1901. geh. 6 *M*, geb. in Ganzleinen 7 *M*.

ANWENDUNG

DER

# DIFFERENTIAL- UND INTEGRALRECHNUNG

AUF

# GEOMETRIE

VON

**Dr. Georg Scheffers,**

o. Professor an der Technischen Hochschule zu Darmstadt.

In zwei Bänden.

Erster Band. Einführung in die Theorie der Curven in der Ebene und im Raume.

Mit zahlreichen Figuren im Text.

Lex. 8. 1901. geh. 10 *M*, geb. in Ganzl. 11 *M*.

Der zweite Band erscheint noch im Laufe des Jahres 1901.

LEHRBUCH

DER

# ANALYTISCHEN GEOMETRIE

VON

**Dr. Friedrich Schur,**

Professor der Geometrie an der Technischen Hochschule zu Karlsruhe.

Mit zahlreichen Figuren im Text.

gr. 8. 1898. geh. 6 *M*, geb. in Ganzleinen 7 *M*.

Verlag von VEIT & COMP. in Leipzig.

# KANON DER PHYSIK.

DIE BEGRIFFE, PRINCIPIEN, SÄTZE, FORMELN, DIMENSIONSFORMELN  
UND KONSTANTEN DER PHYSIK

nach dem neuesten Stande der Wissenschaft systematisch dargestellt

von

**Dr. Felix Auerbach,**

Professor der theoretischen Physik an der Universität Jena.

Lex. 8. 1899. geh. 11 *M*, geb. 12 *M*.

# FUNKTIONENTHEORETISCHE VORLESUNGEN

von

**Heinrich Burkhardt,**

o. Professor an der Universität Zürich.

Mit zahlreichen Figuren im Text.

Zwei Bände.

gr. 8. 1897 u. 1899. geh. 16 *M*, geb. in Ganzleinen 18 *M*.

Erster Teil. Einführung in die Theorie der analytischen Funktionen einer complexen Veränderlichen. 1897. geh. 6 *M*, geb. in Ganzleinen 7 *M*.

Zweiter Teil. Elliptische Funktionen. 1899. geh. 10 *M*, geb. in Ganzleinen 11 *M*.

# SECHSSTELLIGE GAUSSISCHE

UND

# SIEBENSTELLIGE GEMEINE LOGARITHMEN

von

**Dr. S. Gundelfinger,**

Geh. Hofrat und Professor an der Technischen Hochschule zu Darmstadt.

4. 1900. kart. in Ganzleinen 2 *M* 80 *Sp*.

# DIE FUNDAMENTALEN PHYSIKALISCHEN EIGENSCHAFTEN

DER

# KRYSTALLE

IN ELEMENTARER DARSTELLUNG

von

**Dr. Woldemar Voigt,**

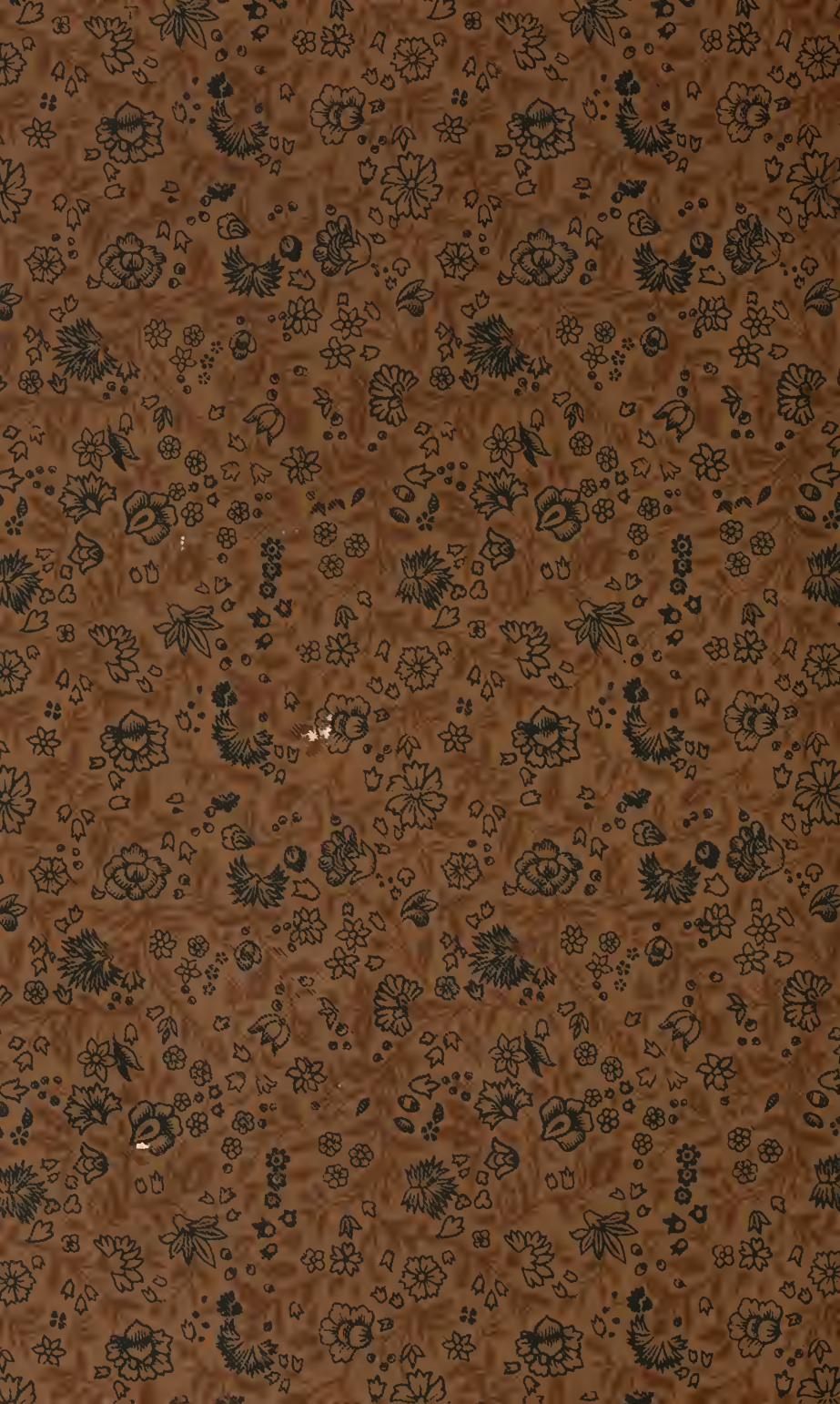
o. o. Professor der Physik an der Universität Göttingen.

Mit 52 Figuren im Text.

8. 1898. geh. 5 *M*.







QA

501

R73



3 9097 00145449 6

Rohn, Karl Friedrich

1901.

Lehrbuch der darstellenden Geome

Rohn, Karl Friedrich Wilhelm.

DATE DUE

Science  
Library

QA

501

.R73

Bd.1

Rohn, Karl Friedrich  
Wilhelm.Lehrbuch der darstel-  
lenden geometrie.Science  
Library

QA

501

.R73

Bd.1

BRANDEIS UNIVERSITY  
LIBRARY

